

# REGIONE SARDEGNA

Provincia del Nord-Est Sardegna

COMUNE DI BUDDUSO'



2	EMISSIONE PER INTEGRAZIONI MIC	30/06/23	FURNARI G.	LO PRESTI I.	LOMBARDO A.
1	EMISSIONE PER ENTI ESTERNI	13/10/21	FURNARI G.	FURNO C.	NASTASI A.
0	EMISSIONE PER COMMENTI	10/09/21	FURNARI G.	FURNO C.	NASTASI A.
REV.	DESCRIZIONE	DATA	REDATTO	CONTROL.	APPROV.

Committente:

**Hergo Renewables S.p.A.**

Via Privata Maria Teresa, 8 – 20123 Milano (MI)  
P.IVA: 10416260965; R.E.A. n.2529663



Società di Progettazione:

*Ingegneria & Innovazione*



Via Jonica, 16 – Loc. Belvedere – 96100 Siracusa (SR) Tel. 0931.1663409  
Web: [www.antexgroup.it](http://www.antexgroup.it) e-mail: [info@antexgroup.it](mailto:info@antexgroup.it)

Progetto:

**PARCO EOLICO DI "BUDDUSO"**

Progettista/Resp. Tecnico

Dott. Ing. Cesare Furno  
Ordine degli Ingegneri  
della Provincia di Catania  
n° 6130 sez. A

Elaborato:

RELAZIONE DI CALCOLO E TABULATI OPERE EDILI SSEU

Scala:

NA

Nome DIS/FILE:

C20025S05-PD-RT-08-02

Allegato:

1/1

F.to:

A4

Livello:

**DEFINITIVO**

*Il presente documento è di proprietà della ANTEX GROUP srl.  
È vietato la comunicazione a terzi o la riproduzione senza il permesso scritto della suddetta.  
La società tutela i propri diritti a rigore di Legge.*





**PARCO EOLICO DI "BUDDUSO"**

**RELAZIONE DI CALCOLO E TABULATI OPERE EDILI  
SSEU**



Ingegneria & Innovazione

30/06/2023

REV: 2

Pag. 2

**INDICE**

PREMESSA	3
1 - DESCRIZIONE GENERALE DELL'OPERA	4
2 - NORMATIVA DI RIFERIMENTO	5
3 - MATERIALI IMPIEGATI E RESISTENZE DI CALCOLO	5
4 - TERRENO DI FONDAZIONE	8
5 - ANALISI DEI CARICHI	9
6 - VALUTAZIONE DELL'AZIONE SISMICA	10
7 - AZIONI SULLA STRUTTURA	15
8 - CODICE DI CALCOLO IMPIEGATO	21
9 PROGETTO E VERIFICA DEGLI ELEMENTI STRUTTURALI	26
10 - TABULATI DI CALCOLO	38

Il presente documento è di proprietà della ANTEX GROUP srl.  
È vietato la comunicazione a terzi o la riproduzione senza il permesso scritto della suddetta.  
La società tutela i propri diritti a rigore di Legge.

Comm.: C20-025-S05





**PARCO EOLICO DI "BUDDUSO"**

**RELAZIONE DI CALCOLO E TABULATI OPERE EDILI  
SSEU**



Ingegneria & Innovazione

30/06/2023

REV: 2

Pag. 3

## PREMESSA

Con nota del 19/10/2021, acquisita al prot. MATTM-115575 in data 25/10/2021, la Società Infrastrutture S.p.a., ora Hergo Renewables Spa, ha presentato istanza per l'avvio del procedimento "Procedura di Valutazione di Impatto Ambientale ai sensi del l'art .23 del D.Lgs 152/2006 relativa al progetto di un impianto per la produzione di energia elettrica da fonte eolica denominato "Parco eolico Buddusò" costituito da 7 aereogeneratori con potenza unitaria di 6MW, per una potenza complessiva di 42MW, collegati alla stazione elettrica nel Comune di Buddusò ed opere accessorie nel comune di Buddusò". Per tale istanza è stata comunicata la procedibilità in data 19/07/23 – nota MITE 0090205 - con codice procedura ID: 7555.

In riscontro alla "Richiesta di chiarimenti e integrazioni alla documentazione di progetto" del Ministero della Cultura -nota MIC\_SS-PNRR\_17/08/2022\_0002524-P del 18/08/2022, e a seguito della nota del Ministero dell'Ambiente e della Sicurezza Energetica – nota MASE registro ufficiale uscita 0077793 del 15/05/23, il progetto definitivo è stato integrato con i chiarimenti e la documentazione aggiuntiva richiesta tenendo conto anche di una nuova configurazione del layout, per i motivi meglio specificati a seguire.

La Società proponente ha ottimizzato la configurazione del Layout modificando l'ubicazione di alcuni aerogeneratori al fine di ridurre l'impatto paesaggistico, rispondere alle esigenze del territorio e trovare il consenso dei proprietari dei terreni interessati dall'iniziativa.

In particolare:

- lo spostamento della turbina B3 è stato motivato sia da esigenze agricolo-pastorali sia per l'ottimizzazione della producibilità;
- lo spostamento della turbina B4 è stato motivato dalla volontà di allontanarsi dall'abitato di Buddusò, riducendo in questo modo l'impatto paesaggistico e lo sviluppo di viabilità e cavidotto interno;
- i piccoli spostamenti delle turbine B6 e B7, inferiori a 200 m, e della relativa viabilità di accesso, sono dovuti alle richieste dei proprietari dei terreni, volte a salvaguardare l'attività agricolo-pastorale;

Queste lievi variazioni hanno permesso di raggiungere il pieno consenso dei proprietari dei terreni interessati dall'iniziativa, che ha portato a siglare contratti per la costituzione del diritto di superficie per tutti gli aerogeneratori a progetto.

Tutti gli elaborati di progetto sono stati aggiornati recependo queste modifiche.



## PARCO EOLICO DI "BUDDUSO"

### RELAZIONE DI CALCOLO E TABULATI OPERE EDILI SSEU



Ingegneria & Innovazione

30/06/2023

REV: 2

Pag. 4

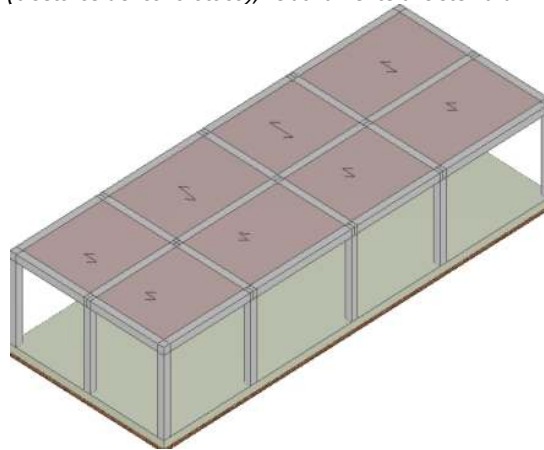
## 1 - DESCRIZIONE GENERALE DELL'OPERA

All'interno della Stazione di Trasformazione sarà presente la cabina di stazione avente le seguenti caratteristiche generali. Essa è destinata a contenere i quadri di comando e controllo della stazione, gli apparati di tele-operazione e i vettori, gli uffici ed i servizi per il personale di manutenzione, sarà formato da un corpo di dimensioni in pianta 18,50 x 7,30 m ed altezza fuori terra di 3,50 m. La costruzione dell'edificio è di tipo tradizionale con struttura in c.a. e tamponature in muratura di laterizio rivestite con intonaco di tipo civile. La copertura a tetto piano, opportunamente coibentata ed impermeabilizzata. Gli infissi realizzati in alluminio anodizzato naturale. Particolare cura è osservata ai fini dell'isolamento termico impiegando materiali isolanti idonei in funzione della zona climatica e dei valori minimi e massimi dei coefficienti volumici globali di dispersione termica, nel rispetto delle norme di cui alla Legge n. 373 del 04/04/1975 e successivi aggiornamenti nonché alla Legge n. 10 del 09/01/1991 e successivi regolamenti di attuazione. Tale edificio conterrà seguenti locali: locale Magazzino; locale quadri MT; locale G.E; locale quadri BT; ufficio e servizi.

Vengono riportate di seguito due viste assometriche contrapposte, allo scopo di consentire una migliore comprensione della struttura oggetto della presente relazione:

### Vista Anteriore

La direzione di visualizzazione (bisettrice del cono ottico), relativamente al sistema di riferimento globale 0,X,Y, Z, ha versore (1;1;-1)



### Vista Posteriore

La direzione di visualizzazione (bisettrice del cono ottico), relativamente al sistema di riferimento globale 0,X,Y, Z, ha versore (-1;-1;-1)

Il presente documento è di proprietà della ANTEX GROUP srl.  
È Vietato la comunicazione a terzi o la riproduzione senza il permesso scritto della suddetta.  
La società tutela i propri diritti a rigore di Legge.

Comm.: C20-025-S05





## PARCO EOLICO DI "BUDDUSO"

### RELAZIONE DI CALCOLO E TABULATI OPERE EDILI SSEU

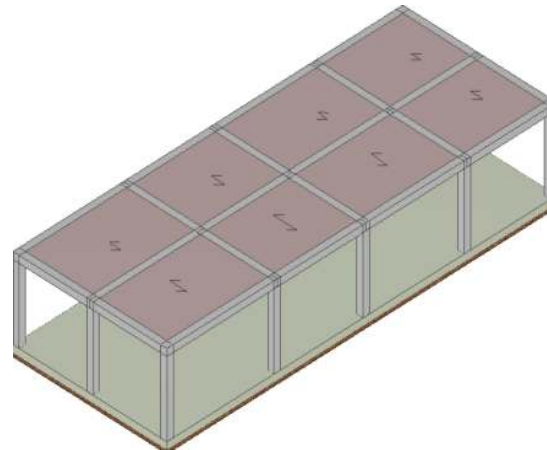


Ingegneria & Innovazione

30/06/2023

REV: 2

Pag. 5



## 2 - NORMATIVA DI RIFERIMENTO

Le fasi di analisi e verifica della struttura sono state condotte in accordo alle seguenti disposizioni normative, per quanto applicabili in relazione al criterio di calcolo adottato dal progettista, evidenziato nel prosieguo della presente relazione:

**Legge 5 novembre 1971 n. 1086** (G.U. 21 dicembre 1971 n. 321)

"Norme per la disciplina delle opere di conglomerato cementizio armato, normale e precompresso ed a struttura metallica".

**Legge 2 febbraio 1974 n. 64** (G.U. 21 marzo 1974 n. 76)

"Provvedimenti per le costruzioni con particolari prescrizioni per le zone sismiche".

Indicazioni progettive per le nuove costruzioni in zone sismiche a cura del Ministero per la Ricerca scientifica - Roma 1981.

**D. M. Infrastrutture Trasporti 17/01/2018** (G.U. 20/02/2018 n. 42 - Suppl. Ord. n. 8)

"Aggiornamento delle Norme tecniche per le Costruzioni".

Inoltre, in mancanza di specifiche indicazioni, ad integrazione della norma precedente e per quanto con esse non in contrasto, sono state utilizzate le indicazioni contenute nelle seguenti norme:

**Circolare 21 gennaio 2019, n. 7 C.S.LL.PP.** (G.U. Serie Generale n. 35 del 11/02/2019 - Suppl. Ord. n. 5)

Istruzioni per l'applicazione dell'«Aggiornamento delle "Norme tecniche per le costruzioni"» di cui al decreto ministeriale 17 gennaio 2018.

## 3 - MATERIALI IMPIEGATI E RESISTENZE DI CALCOLO

Tutti i materiali strutturali impiegati devono essere muniti di marcatura "CE", ed essere conformi alle prescrizioni del "REGOLAMENTO (UE) N. 305/2011 DEL PARLAMENTO EUROPEO E DEL CONSIGLIO del 9 marzo

Il presente documento è di proprietà della ANTEX GROUP srl.  
È vietato la comunicazione a terzi o la riproduzione senza il permesso scritto della suddetta.  
La società tutela i propri diritti a rigore di Legge.

Comm.: C20-025-S05





PARCO EOLICO DI "BUDDUSO"

RELAZIONE DI CALCOLO E TABULATI OPERE EDILI  
SSEU



Ingegneria & Innovazione

30/06/2023

REV: 2

Pag. 6

2011", in merito ai prodotti da costruzione.

Per la realizzazione dell'opera in oggetto saranno impiegati i seguenti materiali:

**MATERIALI CALCESTRUZZO ARMATO**

**Caratteristiche calcestruzzo armato**

N <sub>id</sub>	γ <sub>k</sub>	α <sub>T, i</sub>	E	G	C <sub>Erid</sub>	Stz	R <sub>ck</sub>	R <sub>cm</sub>	%R <sub>ck</sub>	γ <sub>c</sub>	f <sub>cd</sub>	f <sub>ctd</sub>	f <sub>cfm</sub>	N	n Ac
	[N/m <sup>3</sup> ]	[1/°C]	[N/mm <sup>2</sup> ]	[N/mm <sup>2</sup> ]	[%]		[N/mm <sup>2</sup> ]	[N/mm <sup>2</sup> ]			[N/mm <sup>2</sup> ]	[N/mm <sup>2</sup> ]	[N/mm <sup>2</sup> ]		
<b>Clas C25/30_B450C - (C25/30)</b>															
001	25.000	0,000010	31.447	13.103	60	P	30,00	-	0,85	1,50	14,11	1,19	3,07	15	002

**LEGENDA:**

- N<sub>id</sub>** Numero identificativo del materiale, nella relativa tabella dei materiali.
- γ<sub>k</sub>** Peso specifico.
- α<sub>T, i</sub>** Coefficiente di dilatazione termica.
- E** Modulo elastico normale.
- G** Modulo elastico tangenziale.
- C<sub>Erid</sub>** Coefficiente di riduzione del Modulo elastico normale per Analisi Sismica [E<sub>sisma</sub> = E · C<sub>Erid</sub>].
- Stz** Tipo di situazione: [F] = di Fatto (Esistente); [P] = di Progetto (Nuovo).
- R<sub>ck</sub>** Resistenza caratteristica cubica.
- R<sub>cm</sub>** Resistenza media cubica.
- %R<sub>ck</sub>** Percentuale di riduzione della R<sub>ck</sub>
- γ<sub>c</sub>** Coefficiente parziale di sicurezza del materiale.
- f<sub>cd</sub>** Resistenza di calcolo a compressione.
- f<sub>ctd</sub>** Resistenza di calcolo a trazione.
- f<sub>cfm</sub>** Resistenza media a trazione per flessione.
- n Ac** Identificativo, nella relativa tabella materiali, dell'acciaio utilizzato: [-] = parametro NON significativo per il materiale.

**MATERIALI ACCIAIO**

**Caratteristiche acciaio**

N <sub>id</sub>	γ <sub>k</sub>	α <sub>T, i</sub>	E	G	Stz	f <sub>yk,1</sub> / f <sub>yk,2</sub>	f <sub>tk,1</sub> / f <sub>tk,2</sub>	f <sub>yd,1</sub> / f <sub>yd,2</sub>	f <sub>td</sub>	γ <sub>s</sub>	γ <sub>M1</sub>	γ <sub>M2</sub>	γ <sub>M3,SLV</sub>	γ <sub>M3,SLE</sub>	NCn t	γ <sub>M7</sub> Cnt
	[N/m <sup>3</sup> ]	[1/°C]	[N/mm <sup>2</sup> ]	[N/mm <sup>2</sup> ]		[N/mm <sup>2</sup> ]	[N/mm <sup>2</sup> ]	[N/mm <sup>2</sup> ]	[N/mm <sup>2</sup> ]							
<b>Acciaio B450C - (B450C)</b>																
002	78.500	0,000010	210.000	80.769	P	450,00 -	-	391,30 -	-	1,15	-	-	-	-	-	-

**LEGENDA:**

- N<sub>id</sub>** Numero identificativo del materiale, nella relativa tabella dei materiali.
  - γ<sub>k</sub>** Peso specifico.
  - α<sub>T, i</sub>** Coefficiente di dilatazione termica.
  - E** Modulo elastico normale.
  - G** Modulo elastico tangenziale.
  - Stz** Tipo di situazione: [F] = di Fatto (Esistente); [P] = di Progetto (Nuovo).
  - f<sub>tk,1</sub>** Resistenza caratteristica a Rottura (per profili con t ≤ 40 mm).
  - f<sub>tk,2</sub>** Resistenza caratteristica a Rottura (per profili con 40 mm < t ≤ 80 mm).
  - f<sub>td</sub>** Resistenza di calcolo a Rottura (Bulloni).
  - γ<sub>s</sub>** Coefficiente parziale di sicurezza allo SLV del materiale.
  - γ<sub>M1</sub>** Coefficiente parziale di sicurezza per instabilità.
  - γ<sub>M2</sub>** Coefficiente parziale di sicurezza per sezioni tese indebolite.
  - γ<sub>M3,SLV</sub>** Coefficiente parziale di sicurezza per scorrimento allo SLV (Bulloni).
  - γ<sub>M3,SLE</sub>** Coefficiente parziale di sicurezza per scorrimento allo SLE (Bulloni).
  - γ<sub>M7</sub>** Coefficiente parziale di sicurezza precarico di bulloni ad alta resistenza (Bulloni - NCnt = con serraggio NON controllato; Cnt = con serraggio controllato). [-] = parametro NON significativo per il materiale.
  - f<sub>yk,1</sub>** Resistenza caratteristica allo snervamento (per profili con t ≤ 40 mm).
  - f<sub>yk,2</sub>** Resistenza caratteristica allo snervamento (per profili con 40 mm < t ≤ 80 mm).
  - f<sub>yd,1</sub>** Resistenza di calcolo (per profili con t ≤ 40 mm).
  - f<sub>yd,2</sub>** Resistenza di calcolo (per profili con 40 mm < t ≤ 80 mm).
- NOTE** [-] = Parametro non significativo per il materiale.

Comm.: C20-025-S05

Il presente documento è di proprietà della ANTEX GROUP srl.  
È vietato la comunicazione a terzi o la riproduzione senza il permesso scritto della suddetta.  
La società tutela i propri diritti a rigore di Legge.



## TENSIONI AMMISSIBILI ALLO SLE DEI VARI MATERIALI

Tensioni ammissibili allo SLE dei vari materiali			
Materiale	SL	Tensione di verifica	$\sigma_{d,amm}$ [N/mm <sup>2</sup> ]
Cls C25/30_B450C	Caratteristica(RARA)	Compressione Calcestruzzo	14,94
	Quasi permanente	Compressione Calcestruzzo	11,21
Acciaio B450C	Caratteristica(RARA)	Trazione Acciaio	360,00

### LEGENDA:

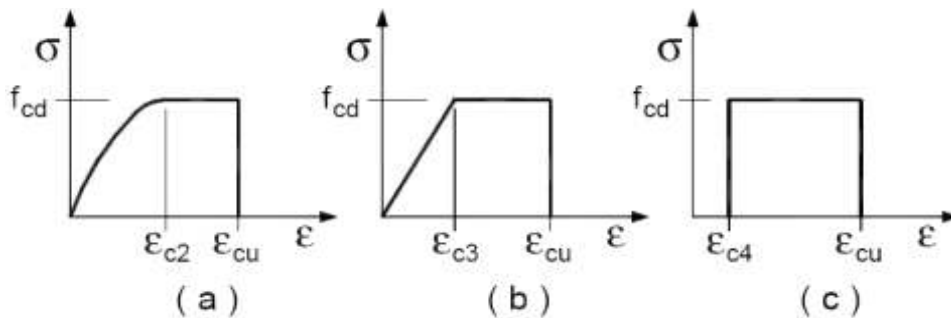
**SL** Stato limite di esercizio per cui si esegue la verifica.

$\sigma_{d,amm}$  Tensione ammissibile per la verifica.

I valori dei parametri caratteristici dei suddetti materiali sono riportati anche nei "*Tabulati di calcolo*", nella relativa sezione.

Tutti i materiali impiegati dovranno essere comunque verificati con opportune prove di laboratorio secondo le prescrizioni della vigente Normativa.

I diagrammi costitutivi degli elementi in calcestruzzo sono stati adottati in conformità alle indicazioni riportate al §4.1.2.1.2.1 del D.M. 2018; in particolare per le verifiche effettuate a pressoflessione retta e pressoflessione deviata è adottato il modello (a) riportato nella seguente figura.



Diagrammi di calcolo tensione/deformazione del calcestruzzo.

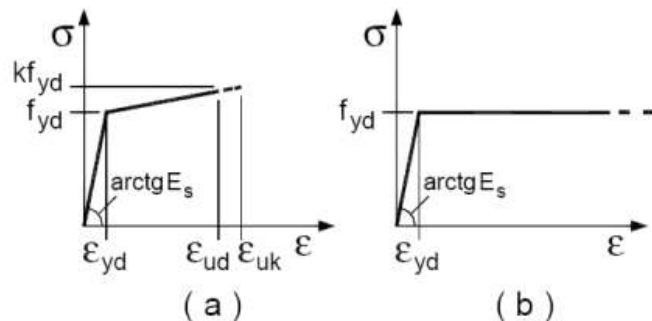
I valori di deformazione assunti sono:

$$\varepsilon_{c2} = 0,0020;$$

$$\varepsilon_{cu} = 0,0035.$$

I diagrammi costitutivi dell'acciaio sono stati adottati in conformità alle indicazioni riportate al §4.1.2.1.2.2 del D.M. 2018; in particolare è adottato il modello elastico perfettamente plastico tipo (b) rappresentato nella figura sulla destra.

La resistenza di calcolo è data da  $f_{yk}/\gamma_s$ . Il coefficiente di sicurezza  $\gamma_s$  si assume pari a 1,15.





PARCO EOLICO DI "BUDDUSO"

RELAZIONE DI CALCOLO E TABULATI OPERE EDILI SSEU



Ingegneria & Innovazione

30/06/2023

REV: 2

Pag. 8

4 - TERRENO DI FONDAZIONE

Le proprietà meccaniche dei terreni sono state investigate mediante specifiche prove mirate alla misurazione della velocità delle onde di taglio negli strati del sottosuolo. In particolare, è stata calcolata una velocità di propagazione equivalente delle onde di taglio con la seguente relazione (eq. [3.2.1] D.M. 2018):

Vs,eq = H / sum\_{i=1}^N (h\_i / Vs,i)

dove:

- hi è lo spessore dell'i-simo strato;
- Vs,i è la velocità delle onde di taglio nell'i-simo strato;
- N è il numero totale di strati investigati;
- H è la profondità del substrato con Vs >= 800 m/s.

Le proprietà dei terreni sono, quindi, state ricondotte a quelle individuate nella seguente tabella, ponendo H = 30 m nella relazione precedente ed ottenendo il parametro Vs,30.

Categorie di sottosuolo che permettono l'utilizzo dell'approccio semplificato (Tab. 3.2.II D.M. 2018)

Table with 2 columns: Categoria and Caratteristiche della superficie topografica. Categories A through E are listed with their respective soil characteristics.

Le indagini effettuate, mirate alla valutazione della velocità delle onde di taglio (Vs,30), permettono di classificare il profilo stratigrafico, ai fini della determinazione dell'azione sismica, di categoria B [B - Rocce tenere e depositi di terreni a grana grossa molto addensati o terreni a grana fina molto consistenti].

Le costanti di sottofondo (alla Winkler) del terreno sono state corrette secondo la seguente espressione:

K = c \* K1;

dove:

K1 = costante di Winkler del terreno riferita alla piastra standard di lato b = 30 cm;
c = coefficiente di correzione, funzione del comportamento del terreno e della particolare geometria degli elementi di fondazione. Nel caso di "Riduzione Automatica" è dato dalle successive espressioni (Rif. Evaluation of coefficients of subgrade reaction K. Terzaghi, 1955 p. 315):

c = ((B+b) / (2\*B))^2 per terreni incoerenti



**PARCO EOLICO DI "BUDDUSO"****RELAZIONE DI CALCOLO E TABULATI OPERE EDILI  
SSEU**

Ingegneria &amp; Innovazione

30/06/2023

REV: 2

Pag. 9

$$c = \left( \frac{L/B + 0,5}{1,5 \cdot L/B} \right) \cdot \frac{b}{B}$$

per terreni coerenti

Essendo:

b = 0,30 m, dimensione della piastra standard;

L = lato maggiore della fondazione;

B = lato minore della fondazione.

Nel caso di stratigrafia la costante di sottofondo utilizzata nel calcolo delle **sollecitazioni** è quella del terreno a contatto con la fondazione, mentre nel calcolo dei **cedimenti** la costante di sottofondo utilizzata è calcolata come media pesata delle costanti di sottofondo presenti nel volume significativo della fondazione.

Tutti i parametri che caratterizzano i terreni di fondazione sono riportati nei "Tabulati di calcolo", nella relativa sezione. Per ulteriori dettagli si rimanda alle relazioni geologica e geotecnica.

**5 - ANALISI DEI CARICHI**

Un'accurata valutazione dei carichi è un requisito imprescindibile di una corretta progettazione, in particolare per le costruzioni realizzate in zona sismica. Essa, infatti, è fondamentale ai fini della determinazione delle forze sismiche, in quanto incide sulla valutazione delle masse e dei periodi propri della struttura dai quali dipendono i valori delle accelerazioni (ordinate degli spettri di progetto).

La valutazione dei carichi e dei sovraccarichi è stata effettuata in accordo con le disposizioni del punto 3.1 del **D.M. 2018**. In particolare, è stato fatto utile riferimento alle Tabelle 3.1.I e 3.1.II del D.M. 2018, per i pesi propri dei materiali e per la quantificazione e classificazione dei sovraccarichi, rispettivamente.

La valutazione dei carichi permanenti è effettuata sulle dimensioni definitive.

Le analisi effettuate, corredate da dettagliate descrizioni, oltre che nei "Tabulati di calcolo" nella relativa sezione, sono di seguito riportate:

**ANALISI CARICHI**

N <sub>id</sub>	T. C.	Descrizione del Carico	Tipologie di Carico	Peso Proprio		Permanente NON Strutturale		Sovraccarico Accidentale		Carico Neve [N/m <sup>2</sup> ]
				Descrizione	PP	Descrizione	PNS	Descrizione	SA	
001	S	Platea	Autorimessa <= 30kN	*vedi le relative tabelle dei carichi	-	Sottofondo e pavimento di tipo industriale in calcestruzzo	2.000	Rimesse, aree per traffico, parcheggio e sosta di veicoli leggeri (peso a pieno carico fino a 30 kN) (Cat. F – Tab. 3.1.II - DM 17.01.2018)	2.500	0
002	S	LatCem Abitazione H20	Abitazioni	Solaio di tipo tradizionale latero-cementizio di spessore 20 cm (16+4)	2.800	Pavimento e sottofondo, incidenza dei tramezzi e intonaco inferiore	2.360	Civile abitazione (Cat. A – Tab. 3.1.II - DM 17.01.2018)	2.000	0

**LEGENDA:**

**N<sub>id</sub>** Numero identificativo dell'analisi di carico.

**T. C.** Identificativo del tipo di carico: [S] = Superficiale - [L] = Lineare - [C] = Concentrato.

**PP, PNS,** Valori, rispettivamente, del Peso Proprio, del Sovraccarico Permanente NON strutturale, del Sovraccarico Accidentale. Secondo il tipo di carico indicato nella colonna "T.C." ("S" - "L" - "C"), i valori riportati nelle colonne "PP", "PNS" e "SA", sono espressi in [N/m<sup>2</sup>] per carichi Superficiali, [N/m] per carichi Lineari, [N] per carichi Concentrati.

Comm.: C20-025-S05

Il presente documento è di proprietà della ANTEX GROUP srl.  
È Vietato la comunicazione a terzi o la riproduzione senza il permesso scritto della suddetta.  
La società tutela i propri diritti a rigore di Legge.





## PARCO EOLICO DI "BUDDUSO"

### RELAZIONE DI CALCOLO E TABULATI OPERE EDILI SSEU



Ingegneria & Innovazione

30/06/2023

REV: 2

Pag. 10

## 6 - VALUTAZIONE DELL'AZIONE SISMICA

L'azione sismica è stata valutata in conformità alle indicazioni riportate al §3.2 del D.M. 2018, particolare il procedimento per la definizione degli spettri di progetto per i vari Stati Limite per cui sono state effettuate le verifiche è stato il seguente:

- definizione della Vita Nominale e della Classe d'Uso della struttura, il cui uso combinato ha portato alla definizione del Periodo di Riferimento dell'azione sismica;
- individuazione, tramite latitudine e longitudine, dei parametri sismici di base  $a_g$ ,  $F_0$  e  $T_c^*$  per tutti e quattro gli Stati Limite previsti (SLO, SLD, SLV e SLC); l'individuazione è stata effettuata interpolando tra i 4 punti più vicini al punto di riferimento dell'edificio;
- determinazione dei coefficienti di amplificazione stratigrafica e topografica;
- calcolo del periodo  $T_c$  corrispondente all'inizio del tratto a velocità costante dello Spettro.

I dati così calcolati sono stati utilizzati per determinare gli Spettri di Progetto nelle verifiche agli Stati Limite considerate.

Si riportano di seguito le coordinate geografiche del sito rispetto al Datum **ED50**:

Latitudine	Longitudine	Altitudine
[°]	[°]	[m]
40.570632	9.291320	777

### 6.1 Verifiche di regolarità

Sia per la scelta del metodo di calcolo, sia per la valutazione del fattore di comportamento adottato, deve essere effettuato il controllo della regolarità della struttura. tabella seguente riepiloga, per la struttura in esame, le condizioni di regolarità in pianta ed in altezza soddisfatte.

REGOLARITÀ DELLA STRUTTURA IN PIANTA	
La distribuzione di masse e rigidzze è approssimativamente simmetrica rispetto a due direzioni ortogonali e la forma in pianta è compatta, ossia il contorno di ogni orizzontamento è convesso; il requisito può ritenersi soddisfatto, anche in presenza di rientranze in pianta, quando esse non influenzano significativamente la rigidzza nel piano dell'orizzontamento e, per ogni rientranza, l'area compresa tra il perimetro dell'orizzontamento e la linea convessa circoscritta all'orizzontamento non supera il 5% dell'area dell'orizzontamento	NO
Il rapporto tra i lati di un rettangolo in cui la costruzione risulta inscritta è inferiore a 4	NO
Ciascun orizzontamento ha una rigidzza nel proprio piano tanto maggiore della corrispondente rigidzza degli elementi strutturali verticali da potersi assumere che la sua deformazione in pianta influenzi in modo trascurabile la distribuzione delle azioni sismiche tra questi ultimi e ha resistenza sufficiente a garantire l'efficacia di tale distribuzione	SI

REGOLARITÀ DELLA STRUTTURA IN ALTEZZA	
Tutti i sistemi resistenti alle azioni orizzontali si estendono per tutta l'altezza della costruzione o, se sono presenti parti aventi differenti altezze, fino alla sommità della rispettiva parte dell'edificio	SI
Massa e rigidzza rimangono costanti o variano gradualmente, senza bruschi cambiamenti, dalla base alla sommità della costruzione (le variazioni di massa da un orizzontamento all'altro non superano il 25 %, la rigidzza non si riduce da un orizzontamento a quello sovrastante più del 30% e non aumenta più del 10%); ai fini della rigidzza si possono considerare regolari in altezza strutture dotate di pareti o nuclei in c.a. o pareti e nuclei in muratura di sezione costante sull'altezza o di telai controventati in acciaio, ai quali sia affidato almeno il 50% dell'azione sismica alla base	NO

Il presente documento è di proprietà della ANTEX GROUP srl.  
È Vietato la comunicazione a terzi o la riproduzione senza il permesso scritto della suddetta.  
La società tutela i propri diritti a rigore di Legge.

Comm.: C20-025-S05





PARCO EOLICO DI "BUDDUSO"

RELAZIONE DI CALCOLO E TABULATI OPERE EDILI  
SSEU



Ingegneria & Innovazione

30/06/2023

REV: 2

Pag. 11

Il rapporto tra la capacità e la domanda allo SLV non è significativamente diverso, in termini di resistenza, per orizzontamenti successivi (tale rapporto, calcolato per un generico orizzontamento, non deve differire più del 30% dall'analogo rapporto calcolato per l'orizzontamento adiacente); può fare eccezione l'ultimo orizzontamento di strutture intelaiate di almeno tre orizzontamenti	NO
Eventuali restringimenti della sezione orizzontale della costruzione avvengano con continuità da un orizzontamento al successivo; oppure avvengano in modo che il rientro di un orizzontamento non superi il 10% della dimensione corrispondente all'orizzontamento immediatamente sottostante, né il 30% della dimensione corrispondente al primo orizzontamento. Fa eccezione l'ultimo orizzontamento di costruzioni di almeno quattro orizzontamenti, per il quale non sono previste limitazioni di restringimento	SI

La rigidità è calcolata come rapporto fra il taglio complessivamente agente al piano e  $\delta$ , spostamento relativo di piano (il taglio di piano è la sommatoria delle azioni orizzontali agenti al di sopra del piano considerato). I valori calcolati ed utilizzati per le verifiche sono riportati nei "Tabulati di calcolo" nella relativa sezione. La struttura è pertanto:

in pianta  
**NON REGOLARE**

in altezza  
**REGOLARE**

## 6.2 Classe di duttilità

La classe di duttilità è rappresentativa della capacità dell'edificio di dissipare energia in campo anelastico per azioni cicliche ripetute. deformazioni anelastiche devono essere distribuite nel maggior numero di elementi duttili, in particolare le travi, salvaguardando in tal modo i pilastri e soprattutto i nodi travi pilastro che sono gli elementi più fragili. D.M. 2018 definisce due tipi di comportamento strutturale:

- a) comportamento strutturale non-dissipativo;
- b) comportamento strutturale dissipativo.

Per strutture con comportamento strutturale dissipativo si distinguono due livelli di Capacità Dissipativa o Classi di Duttilità (CD).

- CD "A" (Alta);
- CD "B" (Media).

La differenza tra le due classi risiede nell'entità delle plasticizzazioni cui ci si riconduce in fase di progettazione; per ambedue le classi, onde assicurare alla struttura un comportamento dissipativo e duttile evitando rotture fragili e la formazione di meccanismi instabili impreveduti, si fa ricorso ai procedimenti tipici della gerarchia delle resistenze.

La struttura in esame è stata progettata in classe di duttilità "**MEDIA**" (CD"B").

## 6.3 Spettri di Progetto per S.L.U. e S.L.D.

L'edificio è stato progettato per una **Vita Nominale** pari a **50** e per **Classe d'Uso** pari a **1**.

In base alle indagini geognostiche effettuate si è classificato il **suolo** di fondazione di **categoria B**, cui corrispondono i seguenti valori per i parametri necessari alla costruzione degli spettri di risposta orizzontale e verticale:

Stato Limite	$a_g/g$	$F_0$	Parametri di pericolosità sismica					
			$T^*_c$ [s]	$C_c$	$T_B$ [s]	$T_c$ [s]	$T_D$ [s]	$S_s$
SLO	0.0186	2.610	0.273	1.43	0.130	0.389	1.674	1.20

Comm.: C20-025-S05

Il presente documento è di proprietà della ANTEX GROUP srl.  
È vietato la comunicazione a terzi o la riproduzione senza il permesso scritto della suddetta.  
La società tutela i propri diritti a rigore di Legge.





PARCO EOLICO DI "BUDDUSO"

RELAZIONE DI CALCOLO E TABULATI OPERE EDILI  
SSEU



Ingegneria & Innovazione

30/06/2023

REV: 2

Pag. 12

SLD	0.0200	2.628	0.280	1.42	0.132	0.397	1.680	1.20
SLV	0.0452	2.855	0.332	1.37	0.152	0.456	1.781	1.20
SLC	0.0549	2.930	0.356	1.35	0.160	0.481	1.820	1.20

Per la definizione degli spettri di risposta, oltre all'accelerazione ( $a_g$ ) al suolo (dipendente dalla classificazione sismica del Comune) occorre determinare il Fattore di Comportamento ( $q$ ).

Il Fattore di comportamento  $q$  è un fattore riduttivo delle forze elastiche introdotto per tenere conto delle capacità dissipative della struttura che dipende dal sistema costruttivo adottato, dalla Classe di Duttilità e dalla regolarità in altezza.

Si è inoltre assunto il **Coefficiente di Amplificazione Topografica** ( $S_T$ ) pari a **1.00**.

Tali succitate caratteristiche sono riportate negli allegati "Tabulati di calcolo" al punto "DATI GENERALI ANALISI SISMICA".

Per la struttura in esame sono stati utilizzati i seguenti valori:

Stato Limite di Danno

Fattore di Comportamento ( $q_x$ ) per sisma orizzontale in direzione X: **1.00**;  
 Fattore di Comportamento ( $q_y$ ) per sisma orizzontale in direzione Y: **1.00**;  
 Fattore di Comportamento ( $q_z$ ) per sisma verticale: **1.00** (se richiesto).

Stato Limite di salvaguardia della Vita

Fattore di Comportamento ( $q_x$ ) per sisma orizzontale in direzione X: **1.500** ;  
 Fattore di Comportamento ( $q_y$ ) per sisma orizzontale in direzione Y: **1.500** ;  
 Fattore di Comportamento ( $q_z$ ) per sisma verticale: **1.50** (se richiesto).

Di seguito si esplicita il calcolo del fattore di comportamento per il sisma orizzontale:

Tipologia (§7.4.3.2 D.M. 2018)	Dir. X	Dir. Y
	A pendolo inverso	A pendolo inverso
Tipologia strutturale	-	-
$\alpha_u/\alpha_1$	<b>1</b>	<b>1</b>
$k_w$	-	-
$q_0$	<b>1.500</b>	<b>1.500</b>
$k_R$	<b>1.00</b>	

Il fattore di comportamento è calcolato secondo la relazione (7.3.1) del §7.3.1 del D.M. 2018:

$$q = q_0 \cdot k_R;$$

dove:

$k_w$  è il coefficiente che riflette la modalità di collasso prevalente in sistemi strutturali con pareti.

$q_0$  è il valore massimo del fattore di comportamento che dipende dal livello di duttilità attesa, dalla tipologia strutturale e dal rapporto  $\alpha_u/\alpha_1$  tra il valore dell'azione sismica per il quale si verifica la formazione di un numero di cerniere plastiche tali da rendere la struttura labile e quello per il quale il primo elemento strutturale raggiunge la plasticizzazione a flessione. **NOTA:** *il valore proposto di  $q_0$  è già ridotto dell'eventuale coefficiente  $k_w$ ;*

$k_R$  è un fattore riduttivo che dipende dalle caratteristiche di regolarità in altezza della costruzione, con valore



PARCO EOLICO DI "BUDDUSO"

RELAZIONE DI CALCOLO E TABULATI OPERE EDILI SSEU



Ingegneria & Innovazione

30/06/2023

REV: 2

Pag. 13

pari ad 1 per costruzioni regolari in altezza e pari a 0,8 per costruzioni non regolari in altezza.

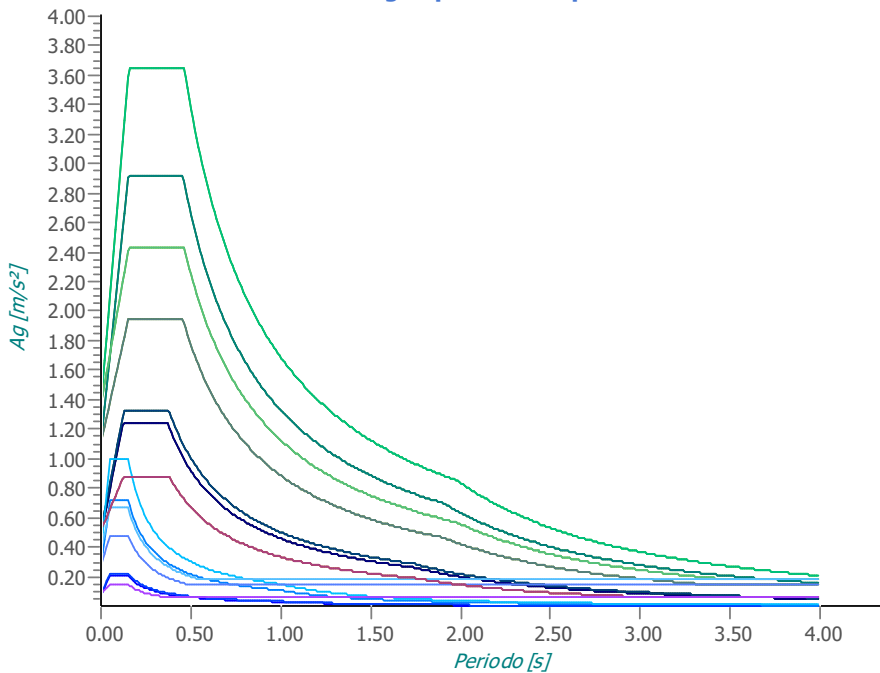
N.B.1: Per le costruzioni regolari in pianta, qualora non si proceda ad un'analisi non lineare finalizzata alla valutazione del rapporto alpha\_u/alpha\_1, per esso possono essere adottati i valori indicati nel §7.4.3.2 del D.M. 2018 per le diverse tipologie costruttive. Per le costruzioni non regolari in pianta, si possono adottare valori di alpha\_u/alpha\_1 pari alla media tra 1,0 ed i valori di volta in volta forniti per le diverse tipologie costruttive.

Valori massimi del valore di base q\_0 del fattore di comportamento allo SLV per costruzioni di calcestruzzo (§ 7.4.3.2 D.M. 2018)(cfr. Tabella 7.3.II D.M. 2018)

Tipologia strutturale	q_0	
	CD"A"	CD"B"
Strutture a telaio, a pareti accoppiate, miste (v. §7.4.3.1)	4,5 alpha_u/alpha_1	3,0 alpha_u/alpha_1
Strutture a pareti non accoppiate (v. §7.4.3.1)	4,0 alpha_u/alpha_1	3,0
Strutture deformabili torsionalmente (v. §7.4.3.1)	3,0	2,0
Strutture a pendolo inverso (v. §7.4.3.1)	2,0	1,5
Strutture a pendolo inverso intelaiate monopiano (v. §7.4.3.1)	3,5	2,5

Gli spettri utilizzati sono riportati nella successiva figura.

Grafico degli Spettri di Risposta



- Spettro Elastico SLO X
- Spettro Elastico SLD X
- Spettro Elastico SLV X
- Spettro Elastico SLC X
- Spettro Progetto SLV X
- Spettro Progetto SLC X
- Spettro Verifiche SLD X
- Spettro Elastico SLO Y
- Spettro Elastico SLD Y
- Spettro Elastico SLV Y
- Spettro Elastico SLC Y
- Spettro Progetto SLV Y
- Spettro Progetto SLC Y
- Spettro Verifiche SLD Y
- Spettro Elastico SLO Z
- Spettro Elastico SLD Z
- Spettro Elastico SLV Z
- Spettro Elastico SLC Z
- Spettro Progetto SLV Z
- Spettro Progetto SLC Z
- Spettro Verifiche SLD Z

Comm.: C20-025-S05

Il presente documento è di proprietà della ANTEX GROUP srl. È vietato la comunicazione a terzi o la riproduzione senza il permesso scritto della suddetta. La società tutela i propri diritti a rigore di Legge.





## 6.4 Metodo di Analisi

Gli effetti del sisma sono stati valutati convenzionalmente mediante analisi statica della struttura soggetta a:

- un sistema di forze orizzontali parallele alle direzioni ipotizzate per il sisma, distribuite (sia planimetricamente che altimetricamente) in modo da simulare gli effetti dinamici del sisma.
- un sistema di forze verticali, distribuite sulla struttura proporzionalmente alle masse presenti.

Le sollecitazioni derivanti da tali azioni sono state composte poi con quelle derivanti da carichi verticali, orizzontali non sismici secondo le varie combinazioni di carico probabilistiche. Il calcolo è stato effettuato mediante un programma agli elementi finiti le cui caratteristiche verranno descritte nel seguito.

Il calcolo degli effetti dell'azione sismica è stato eseguito con riferimento alla struttura spaziale, tenendo cioè conto degli elementi interagenti fra loro secondo l'effettiva realizzazione escludendo i tamponamenti. Non ci sono approssimazioni su tetti inclinati, piani sfalsati o scale, solette, pareti irrigidenti e nuclei.

Si è tenuto conto delle deformabilità taglianti e flessionali degli elementi monodimensionali; muri, pareti, setti, solette sono stati correttamente schematizzati tramite elementi finiti a tre/quattro nodi con comportamento a guscio (sia a piastra che a lastra).

Sono stati considerati sei gradi di libertà per nodo; in ogni nodo della struttura sono state applicate le forze sismiche derivanti dalle masse circostanti.

Le sollecitazioni derivanti da tali forze sono state poi combinate con quelle derivanti dagli altri carichi come prima specificato.

## 6.5 Valutazione degli spostamenti

Gli spostamenti  $d_E$  della struttura sotto l'azione sismica di progetto allo SLV sono stati ottenuti moltiplicando per il fattore  $\mu_d$  i valori  $d_{Ee}$  ottenuti dall'analisi lineare, dinamica o statica, secondo l'espressione seguente:

$$d_E = \pm \mu_d \cdot d_{Ee}$$

dove

$$\begin{aligned} \mu_d &= q & \text{se } T_1 \geq T_c; \\ \mu_d &= 1 + (q-1) \cdot T_c / T_1 & \text{se } T_1 < T_c. \end{aligned}$$

In ogni caso  $\mu_d \leq 5q - 4$ .

## 6.6 Combinazione delle componenti dell'azione sismica

Le azioni orizzontali dovute al sisma sulla struttura vengono convenzionalmente determinate come agenti separatamente in due direzioni tra loro ortogonali prefissate. In generale, però, le componenti orizzontali del sisma devono essere considerate come agenti simultaneamente. A tale scopo, la combinazione delle componenti orizzontali dell'azione sismica è stata tenuta in conto come segue:

- gli effetti delle azioni dovuti alla combinazione delle componenti orizzontali dell'azione sismica sono stati valutati mediante le seguenti combinazioni:

$$E_{EdX} \pm 0,30E_{EdY}$$

$$E_{EdY} \pm 0,30E_{EdX}$$

dove:

$E_{EdX}$  rappresenta gli effetti dell'azione dovuti all'applicazione dell'azione sismica lungo l'asse orizzontale X scelto



della struttura;

$E_{EdY}$  rappresenta gli effetti dell'azione dovuti all'applicazione dell'azione sismica lungo l'asse orizzontale Y scelto della struttura.

L'azione sismica verticale deve essere considerata in presenza di: elementi pressoché orizzontali con luce superiore a 20 m, elementi pressoché orizzontali precompressi, elementi a sbalzo pressoché orizzontali con luce maggiore di 5 m, travi che sostengono colonne, strutture isolate.

La combinazione della componente verticale del sisma, qualora portata in conto, con quelle orizzontali è stata tenuta in conto come segue:

- gli effetti delle azioni dovuti alla combinazione delle componenti orizzontali e verticali del sisma sono stati valutati mediante le seguenti combinazioni:

$$E_{EdX} \pm 0,30E_{EdY} \pm 0,30E_{EdZ}$$

$$E_{EdY} \pm 0,30E_{EdX} \pm 0,30E_{EdZ}$$

$$E_{EdZ} \pm 0,30E_{EdX} \pm 0,30E_{EdY}$$

dove:

$E_{EdX}$  e  $E_{EdY}$  sono gli effetti dell'azione sismica nelle direzioni orizzontali prima definite;

$E_{EdZ}$  rappresenta gli effetti dell'azione dovuti all'applicazione della componente verticale dell'azione sismica di progetto.

## 6.7 Eccentricità accidentali

Per valutare le eccentricità accidentali, previste in aggiunta all'eccentricità effettiva. Inoltre, sono state amplificate le forze agenti tramite il fattore  $\delta = 1 + 0,6 \cdot x / L_e$ , dove (cfr. § 4.3.3.2.4 UNI EN 1998-1:2005):

- $x$  è la distanza dell'elemento resistente verticale dal baricentro geometrico dell'edificio, misurata perpendicolarmente alla direzione dell'azione sismica considerata;
- $L_e$  è la distanza tra i due elementi resistenti più lontani, misurata allo stesso modo.

## 7 - AZIONI SULLA STRUTTURA

I calcoli e le verifiche sono condotti con il metodo semiprobabilistico degli stati limite secondo le indicazioni del D.M. 2018. I carichi agenti sui solai, derivanti dall'analisi dei carichi, vengono ripartiti dal programma di calcolo in modo automatico sulle membrature (travi, pilastri, pareti, solette, platee, ecc.).

I carichi dovuti ai tamponamenti, sia sulle travi di fondazione che su quelle di piano, sono schematizzati come carichi lineari agenti esclusivamente sulle aste.

Su tutti gli elementi strutturali è inoltre possibile applicare direttamente ulteriori azioni concentrate e/o distribuite (variabili con legge lineare ed agenti lungo tutta l'asta o su tratti limitati di essa).

Le azioni introdotte direttamente sono combinate con le altre (carichi permanenti, accidentali e sisma) mediante le combinazioni di carico di seguito descritte; da esse si ottengono i valori probabilistici da impiegare successivamente nelle verifiche.

### 7.1 Stato Limite di Salvaguardia della Vita



PARCO EOLICO DI "BUDDUSO"

RELAZIONE DI CALCOLO E TABULATI OPERE EDILI SSEU



Ingegneria & Innovazione

30/06/2023

REV: 2

Pag. 16

Le azioni sulla costruzione sono state cumulate in modo da determinare condizioni di carico tali da risultare più sfavorevoli ai fini delle singole verifiche, tenendo conto della probabilità ridotta di intervento simultaneo di tutte le azioni con i rispettivi valori più sfavorevoli, come consentito dalle norme vigenti.

Per gli stati limite ultimi sono state adottate le combinazioni del tipo:

gamma\_G1 \* G1 + gamma\_G2 \* G2 + gamma\_P \* P + gamma\_Q1 \* Q\_k1 + gamma\_Q2 \* psi\_Q2 \* Q\_k2 + gamma\_Q3 \* psi\_Q3 \* Q\_k3 + ..... (1)

dove:

- G1 rappresenta il peso proprio di tutti gli elementi strutturali; peso proprio del terreno, quando pertinente; forze indotte dal terreno (esclusi gli effetti di carichi variabili applicati al terreno); forze risultanti dalla pressione dell'acqua (quando si configurino costanti nel tempo);
G2 rappresenta il peso proprio di tutti gli elementi non strutturali;
P rappresenta l'azione di pretensione e/o precompressione;
Q azioni sulla struttura o sull'elemento strutturale con valori istantanei che possono risultare sensibilmente diversi fra loro nel tempo:
- di lunga durata: agiscono con un'intensità significativa, anche non continuativamente, per un tempo non trascurabile rispetto alla vita nominale della struttura;
- di breve durata: azioni che agiscono per un periodo di tempo breve rispetto alla vita nominale della struttura;
Q\_ki rappresenta il valore caratteristico della i-esima azione variabile;
gamma\_g, gamma\_q, gamma\_p coefficienti parziali come definiti nella Tab. 2.6.I del D.M. 2018;
psi\_Qi sono i coefficienti di combinazione per tenere conto della ridotta probabilità di concomitanza delle azioni variabili con i rispettivi valori caratteristici.

Le 226 combinazioni risultanti sono state costruite a partire dalle sollecitazioni caratteristiche calcolate per ogni condizione di carico elementare: ciascuna condizione di carico accidentale, a rotazione, è stata considerata sollecitazione di base (Q\_k1 nella formula precedente).

I coefficienti relativi a tali combinazioni di carico sono riportati negli allegati "Tabulati di calcolo".

In zona sismica, oltre alle sollecitazioni derivanti dalle generiche condizioni di carico statiche, devono essere considerate anche le sollecitazioni derivanti dal sisma. L'azione sismica è stata combinata con le altre azioni secondo la seguente relazione:

G1 + G2 + P + E + sum\_i(psi\_Qi \* Q\_ki)

dove:

- E rappresenta l'azione sismica per lo stato limite in esame;
G1 rappresenta peso proprio di tutti gli elementi strutturali;
G2 rappresenta il peso proprio di tutti gli elementi non strutturali;
P rappresenta l'azione di pretensione e/o precompressione;
psi\_Qi coefficiente di combinazione delle azioni variabili Qi;
Q\_ki valore caratteristico dell'azione variabile Qi.

Gli effetti dell'azione sismica sono valutati tenendo conto delle masse associate ai seguenti carichi gravitazionali:

G\_k + sum\_i(psi\_Qi \* Q\_ki)

I valori dei coefficienti psi\_Qi sono riportati nella seguente tabella:

Table with 2 columns: Categoria/Azione and psi\_Qi. Rows include Categoria A - Ambienti ad uso residenziale (0,3), Categoria B - Uffici (0,3), and Categoria C - Ambienti suscettibili di affollamento (0,6).

Il presente documento è di proprietà della ANTEX GROUP srl. È vietato la comunicazione a terzi o la riproduzione senza il permesso scritto della suddetta. La società tutela i propri diritti a rigore di Legge.

Comm.: C20-025-S05
ISO 9001 BUREAU VERITAS Certification
BUREAU VERITAS
UNICREDITO



**PARCO EOLICO DI "BUDDUSO"****RELAZIONE DI CALCOLO E TABULATI OPERE EDILI  
SSEU**

Ingegneria &amp; Innovazione

30/06/2023

REV: 2

Pag. 17

Categoria D - Ambienti ad uso commerciale	0,6
Categoria E - Biblioteche, archivi, magazzini e ambienti ad uso industriale	0,8
Categoria F - Rimesse e parcheggi (per autoveicoli di peso ≤ 30 kN)	0,6
Categoria G - Rimesse e parcheggi (per autoveicoli di peso > 30 kN)	0,3
Categoria H - Coperture	0,0
Categoria I - Coperture praticabili	*
Categoria K - Coperture per usi speciali (impianti, eliporti, ...)	*
Vento	0,0
Neve (a quota ≤ 1000 m s.l.m.)	0,0
Neve (a quota > 1000 m s.l.m.)	0,2
Variazioni termiche	0,0
* "Da valutarsi caso per caso"	

Le verifiche strutturali e geotecniche delle fondazioni, sono state effettuate con l'**Approccio 2** come definito al §2.6.1 del D.M. 2018, attraverso la combinazione **A1+M1+R3**. Le azioni sono state amplificate tramite i coefficienti della colonna A1 definiti nella Tab. 6.2.I del D.M. 2018.

I valori di resistenza del terreno sono stati ridotti tramite i coefficienti della colonna M1 definiti nella Tab. 6.2.II del D.M. 2018.

I valori calcolati delle resistenze totali dell'elemento strutturale sono stati divisi per i coefficienti R3 della Tab. 6.4.I del D.M. 2018 per le fondazioni superficiali.

Si è quindi provveduto a progettare le armature di ogni elemento strutturale per ciascuno dei valori ottenuti secondo le modalità precedentemente illustrate. Nella sezione relativa alle verifiche dei "*Tabulati di calcolo*" in allegato sono riportati, per brevità, i valori della sollecitazione relativi alla combinazione cui corrisponde il minimo valore del coefficiente di sicurezza.

## 7.2 Stato Limite di Danno

L'azione sismica, ottenuta dallo spettro di progetto per lo Stato Limite di Danno, è stata combinata con le altre azioni mediante una relazione del tutto analoga alla precedente:

$$G_1 + G_2 + P + E + \sum_i \psi_{2i} \cdot Q_{ki}$$

dove:

- E rappresenta l'azione sismica per lo stato limite in esame;
- G<sub>1</sub> rappresenta peso proprio di tutti gli elementi strutturali;
- G<sub>2</sub> rappresenta il peso proprio di tutti gli elementi non strutturali;
- P rappresenta l'azione di pretensione e/o precompressione;
- ψ<sub>2i</sub> coefficiente di combinazione delle azioni variabili Q<sub>i</sub>;
- Q<sub>ki</sub> valore caratteristico dell'azione variabile Q<sub>i</sub>.

Gli effetti dell'azione sismica sono valutati tenendo conto delle masse associate ai seguenti carichi gravitazionali:

$$G_k + \sum_i (\psi_{2i} \cdot Q_{ki})$$

I valori dei coefficienti ψ<sub>2i</sub> sono riportati nella tabella di cui allo SLV.

## 7.3 Stati Limite di Esercizio

Comm.: C20-025-S05

Il presente documento è di proprietà della ANTEX GROUP srl.  
È vietato la comunicazione a terzi o la riproduzione senza il permesso scritto della suddetta.  
La società tutela i propri diritti a rigore di Legge.



**PARCO EOLICO DI "BUDDUSO"****RELAZIONE DI CALCOLO E TABULATI OPERE EDILI  
SSEU**

Ingegneria &amp; Innovazione

30/06/2023

REV: 2

Pag. 18

Allo Stato Limite di Esercizio le sollecitazioni con cui sono state semiprogettate le aste in c.a. sono state ricavate applicando le formule riportate nel D.M. 2018 al §2.5.3. Per le verifiche agli stati limite di esercizio, a seconda dei casi, si fa riferimento alle seguenti combinazioni di carico:

rara	frequente	quasi permanente
$\sum_{j \geq 1} G_{kj} + P + Q_{k1} + \sum_{i \geq 1} \psi_{0i} \cdot Q_{ki}$	$\sum_{j \geq 1} G_{kj} + P + \psi_{11} \cdot Q_{k1} + \sum_{i \geq 1} \psi_{2i} \cdot Q_{ki}$	$\sum_{j \geq 1} G_{kj} + P + \sum_{i \geq 1} \psi_{2i} \cdot Q_{ki}$

dove:

- $G_{kj}$ : valore caratteristico della j-esima azione permanente;
- $P_{kh}$ : valore caratteristico della h-esima deformazione impressa;
- $Q_{k1}$ : valore caratteristico dell'azione variabile di base di ogni combinazione;
- $Q_{ki}$ : valore caratteristico della i-esima azione variabile;
- $\psi_{0i}$ : coefficiente atto a definire i valori delle azioni ammissibili di durata breve ma ancora significativi nei riguardi della possibile concomitanza con altre azioni variabili;
- $\psi_{1i}$ : coefficiente atto a definire i valori delle azioni ammissibili ai frattili di ordine 0,95 delle distribuzioni dei valori istantanei;
- $\psi_{2i}$ : coefficiente atto a definire i valori quasi permanenti delle azioni ammissibili ai valori medi delle distribuzioni dei valori istantanei.

Ai coefficienti  $\psi_{0i}$ ,  $\psi_{1i}$ ,  $\psi_{2i}$  sono attribuiti i seguenti valori:

Azione	$\psi_{0i}$	$\psi_{1i}$	$\psi_{2i}$
Categoria A – Ambienti ad uso residenziale	0,7	0,5	0,3
Categoria B – Uffici	0,7	0,5	0,3
Categoria C – Ambienti suscettibili di affollamento	0,7	0,7	0,6
Categoria D – Ambienti ad uso commerciale	0,7	0,7	0,6
Categoria E – Biblioteche, archivi, magazzini e ambienti ad uso industriale	1,0	0,9	0,8
Categoria F – Rimesse e parcheggi (per autoveicoli di peso $\leq 30$ kN)	0,7	0,7	0,6
Categoria G – Rimesse e parcheggi (per autoveicoli di peso $> 30$ kN)	0,7	0,5	0,3
Categoria H – Coperture	0,0	0,0	0,0
Vento	0,6	0,2	0,0
Neve (a quota $\leq 1000$ m s.l.m.)	0,5	0,2	0,0
Neve (a quota $> 1000$ m s.l.m.)	0,7	0,5	0,2
Variazioni termiche	0,6	0,5	0,0

In maniera analoga a quanto illustrato nel caso dello SLU le combinazioni risultanti sono state costruite a partire dalle sollecitazioni caratteristiche calcolate per ogni condizione di carico; a turno ogni condizione di carico accidentale è stata considerata sollecitazione di base [ $Q_{k1}$  nella formula (1)], con ciò dando origine a tanti valori combinati. Per ognuna delle combinazioni ottenute, in funzione dell'elemento (trave, pilastro, etc...) sono state effettuate le verifiche allo SLE (tensioni, deformazioni e fessurazione).

Negli allegati "*Tabulati Di Calcolo*" sono riportati i coefficienti relativi alle combinazioni di calcolo generate relativamente alle combinazioni di azioni "**Quasi Permanente**" (1), "**Frequente**" (7) e "**Rara**" (19).

Nelle sezioni relative alle verifiche allo SLE dei citati tabulati, inoltre, sono riportati i valori delle sollecitazioni relativi alle combinazioni che hanno originato i risultati più gravosi.

## 7.4 Azione del Vento

L'applicazione dell'azione del vento sulla struttura si articola in due fasi:

1. calcolo della pressione Normale e Tangenziale lungo l'altezza dell'edificio;

Il presente documento è di proprietà della ANTEX GROUP srl.  
È vietato la comunicazione a terzi o la riproduzione senza il permesso scritto della suddetta.  
La società tutela i propri diritti a rigore di Legge.

Comm.: C20-025-S05





## PARCO EOLICO DI "BUDDUSO"

### RELAZIONE DI CALCOLO E TABULATI OPERE EDILI SSEU



Ingegneria & Innovazione

30/06/2023

REV: 2

Pag. 19

2. trasformazione delle pressioni in forze (lineari/concentrate) sugli elementi (strutturali/non strutturali) dell'edificio.

#### 7.4.1 Calcolo pressione normale e tangenziale

##### • **Pressione Normale**

La pressione del vento è data dall'espressione:

$$p = q_r \cdot c_e \cdot c_p \cdot c_d \quad (\text{relazione 3.3.4 - D.M. 2018});$$

dove

-  $q_r$ : la pressione cinetica di riferimento data dall'espressione:

$$q_b = \frac{1}{2} \cdot \rho \cdot v_r^2 \quad (\text{relazione 3.3.6 - D.M. 2018});$$

con:

$\rho$ : densità dell'aria (assunta pari a 1,25 kg/m<sup>3</sup>);

$v_r$ : velocità di riferimento del vento (in m/s), data da (Eq. 3.3.2 - D.M. 2018):

$$v_r = v_b \cdot c_r, \text{ con:}$$

$c_r$ : coefficiente dato dalla seguente relazione:

$$c_r = 0,75 \cdot \sqrt{1 - 0,2 \cdot \ln \left[ -\ln \left( 1 - \frac{1}{T_R} \right) \right]} \quad (\text{relazione 3.3.3 - D.M. 2018});$$

$v_b$ : velocità di riferimento del vento associata ad un periodo di ritorno di 50 anni, data da:  $v_b = v_{b,0} \cdot c_a$

dove:

$c_a$  è il coefficiente di altitudine fornito dalla relazione:

$$c_a = 1 \quad \text{per } a_s \leq a_0.$$

$$c_a = 1 + k_s (a_s/a_0 - 1) \quad \text{per } a_0 < a_s \leq 1500 \text{ m.}$$

$v_{b,0}$ ,  $a_0$ ,  $k_s$ : parametri forniti dalla Tab. 3.3.I del §3.3.2 D.M. 2018;

$a_s$ : altitudine sul livello del mare (m.s.l.m) del sito ove sorge la costruzione;

$T_R$ : periodo di ritorno espresso in anni [10 anni; 500 anni].

-  $c_e$ : coefficiente di esposizione, che per altezza sul suolo ( $z$ ) non maggiori di 200 m è dato dalla formula:

$$\begin{aligned} c_e(z) &= k_z^2 \cdot c_t \cdot \ln(z/z_0) \cdot [7 + c_t \cdot \ln(z/z_0)] && \text{per } z \geq z_{\min} \\ c_e(z) &= c_e(z_{\min}) && \text{per } z < z_{\min} \end{aligned} \quad (\text{relazione 3.3.7 - D.M. 2018});$$

dove:

$k_z$ ,  $z_0$ ,  $z_{\min}$ : parametri forniti dalla Tab. 3.3.II del par. 3.3.7 D.M. 2018 (*funzione della categoria di esposizione del sito e della classe di rugosità del terreno*);

$c_t$ : coefficiente di topografia (assunto pari ad 1).

-  $c_p$ : coefficiente di forma (o coefficiente aerodinamico), funzione della tipologia e della geometria della costruzione e del suo orientamento rispetto alla direzione del vento (cfr. § 3.3.8 - D.M. 2018).

-  $c_d$ : coefficiente dinamico (assunto pari ad 1; par. 3.3.9 - D.M. 2018).

##### • **Pressione Tangenziale**

L'azione tangente per unità di superficie parallela alla direzione del vento è data dall'espressione

$$p_f = q_r \cdot c_e \cdot c_f \quad (\text{relazione 3.3.5 - D.M. 2018});$$

Comm.: C20-025-S05

Il presente documento è di proprietà della ANTEX GROUP srl.  
È vietato la comunicazione a terzi o la riproduzione senza il permesso scritto della suddetta.  
La società tutela i propri diritti a rigore di Legge.



**PARCO EOLICO DI "BUDDUSO"****RELAZIONE DI CALCOLO E TABULATI OPERE EDILI  
SSEU**

Ingegneria &amp; Innovazione

30/06/2023

REV: 2

Pag. 20

dove

- $q_r$ ,  $c_e$ : definiti in precedenza;
- $c_f$ : coefficiente d'attrito, funzione della scabrezza della superficie sulla quale il vento esercita l'azione tangente funzione (valori presi dalla Tab. C3.3.I della Circolare 2018).

Per il caso in esame:

**VENTO - CALCOLO PRESSIONE CINETICA DI RIFERIMENTO**

Vento - calcolo pressione cinetica di riferimento										
$\alpha$	DIR	$a_s$	Zona	$V_{b,0}$	$a_0$	$k_s$	$V_b$	$T_R$	$\alpha_R$	$q_b$
[°]		[m]		[m/s]	[m]		[m/s]	[anni]		[N/m <sup>2</sup> ]
0,00	+X; -X; +Y; -Y	777	3	27	500	0,370	32,54	50	1,00	<b>662</b>

**LEGENDA:**

$\alpha$	Angolo di inclinazione del vento rispetto all'asse x
DIR	Direzioni locali di calcolo del vento
$a_s$	Altitudine sul livello del mare (m.s.l.m) del sito ove sorge la costruzione;
Zona	Zona di riferimento per il calcolo del vento;
$V_{b,0}$ , $a_0$ , $k_s$	Parametri per la definizione della velocità base di riferimento
$V_b$	Velocità di riferimento del vento associata ad un periodo di ritorno di 50 anni;
$T_R$	Periodo di ritorno;
$\alpha_R$	Coefficiente per il calcolo della pressione cinetica di riferimento;
$q_b$	Pressione cinetica di riferimento.

**VENTO - CALCOLO COEFFICIENTE DI ESPOSIZIONE**

Vento - calcolo coefficiente di esposizione								
Z	$d_{ct}$	CIRg	Cat exp	$k_r$	$Z_G$	$Z_{min}$	$C_t$	$C_e$
[m]	[km]				[m]	[m]		
0,00	sulla costa,	D	III	0,20	0,10	5,00	1,00	<b>1,71</b>
3,50	oltre 30 Km							<b>1,71</b>

**LEGENDA:**

Z	Altezza dell'edificio a cui viene calcolata la pressione del vento;
$d_{ct}$	Distanza dalla costa;
CIRg	Classe di rugosità del terreno (A, B, C, D);
g	
Cat exp	Categoria di esposizione del sito (I, II, III, IV, V);
$k_r$	Parametri per la definizione del coefficiente di esposizione;
$Z_0$ ,	
$Z_{min}$	
$C_t$	Coefficiente di topografia;
$C_e$	Coefficiente di esposizione;

**VENTO - CALCOLO PRESSIONE DEL VENTO**

Vento - calcolo pressione del vento								
Z	$q_b$	$C_e$	$C_p$	$C_d$	p	Scz	$C_f$	$p_f$
[m]	[N/m <sup>2</sup> ]				[N/m <sup>2</sup> ]			[N/m <sup>2</sup> ]
0,00	662	1,71	1,00	1,00	<b>1.130</b>	-	-	-
3,50		1,71			<b>1.130</b>			-

**LEGENDA:**

Z	Altezza dell'edificio a cui viene calcolata la pressione del vento;
---	---

Comm.: C20-025-S05

Il presente documento è di proprietà della ANTEX GROUP srl.  
È vietato la comunicazione a terzi o la riproduzione senza il permesso scritto della suddetta.  
La società tutela i propri diritti a rigore di Legge.





## PARCO EOLICO DI "BUDDUSO"

### RELAZIONE DI CALCOLO E TABULATI OPERE EDILI SSEU



Ingegneria & Innovazione

30/06/2023

REV: 2

Pag. 21

#### Vento - calcolo pressione del vento

Z	q <sub>b</sub>	C <sub>e</sub>	C <sub>p</sub>	C <sub>d</sub>	p	Scz	C <sub>f</sub>	p <sub>f</sub>
[m]	[N/m <sup>2</sup> ]				[N/m <sup>2</sup> ]			[N/m <sup>2</sup> ]

**q<sub>b</sub>** Pressione cinetica di riferimento.

**C<sub>e</sub>** Coefficiente di esposizione;

**C<sub>p</sub>** Coefficiente di forma/aerodinamico.

(\*) Valorizzato al momento del calcolo della pressione agente sul singolo elemento strutturale ed è funzione della posizione dello stesso (sopravento/sottovento);

**C<sub>d</sub>** Coefficiente dinamico;

**p** Pressione normale (senza il contributo di C<sub>p</sub>);

**Scz** Scabrezza della superficie (liscia, scabra, molto scabra);

**C<sub>f</sub>** Coefficiente d'attrito;

**p<sub>f</sub>** Pressione tangenziale (senza il contributo di C<sub>p</sub>).

### 7.4.2 Applicazione delle forze sulla struttura

Per ogni superficie esposta all'azione del vento si individua la posizione del baricentro e in corrispondenza di esso, dal diagramma delle pressioni dell'edificio, si ricava la pressione per unità di superficie.

Per gli elementi **strutturali** la pressione è trasformata in:

- forze lineari per i beam (*pilastrini e travi*);
- forze nodali per le shell (*pareti, muri e solette*).

Per gli elementi **non strutturali** (*tamponature, solai e balconi*) la forza totale (pressione nel baricentro x superficie) viene divisa per il perimetro in modo da ottenere una forza per unità di lunghezza che viene applicata sugli elementi strutturali confinanti.

## 8 - CODICE DI CALCOLO IMPIEGATO

### 8.1 Denominazione

Nome del Software	<b>EdiLus</b>
Versione	BIM 2(a)
Caratteristiche del Software	Software per il calcolo di strutture agli elementi finiti per Windows
Numero di serie	ACCA EDILUS CA-AC V.32
Intestatario Licenza	licenza 16100990
Produzione e Distribuzione	<b>ACCA software S.p.A.</b> Contrada Rosole 13 83043 BAGNOLI IRPINO (AV) - Italy Tel. 0827/69504 r.a. - Fax 0827/601235 e-mail: info@acca.it - Internet: www.acca.it

### 8.2 Sintesi delle funzionalità generali

Il pacchetto consente di modellare la struttura, di effettuare il dimensionamento e le verifiche di tutti gli elementi strutturali e di generare gli elaborati grafici esecutivi.

Il presente documento è di proprietà della ANTEX GROUP srl.  
È vietato la comunicazione a terzi o la riproduzione senza il permesso scritto della suddetta.  
La società tutela i propri diritti a rigore di Legge.

Comm.: C20-025-S05





## PARCO EOLICO DI "BUDDUSO"

### RELAZIONE DI CALCOLO E TABULATI OPERE EDILI SSEU



Ingegneria & Innovazione

30/06/2023

REV: 2

Pag. 22

È una procedura integrata dotata di tutte le funzionalità necessarie per consentire il calcolo completo di una struttura mediante il metodo degli elementi finiti (FEM); la modellazione della struttura è realizzata tramite elementi Beam (travi e pilastri) e Shell (platee, pareti, solette, setti, travi-parete).

L'input della struttura avviene per oggetti (travi, pilastri, solai, solette, pareti, etc.) in un ambiente grafico integrato; il modello di calcolo agli elementi finiti, che può essere visualizzato in qualsiasi momento in una apposita finestra, viene generato dinamicamente dal software.

Apposite funzioni consentono la creazione e la manutenzione di archivi Sezioni, Materiali e Carichi; tali archivi sono generali, nel senso che sono creati una tantum e sono pronti per ogni calcolo, potendoli comunque integrare/modificare in ogni momento.

L'utente non può modificare il codice ma soltanto eseguire delle scelte come:

- definire i vincoli di estremità per ciascuna asta (vincoli interni) e gli eventuali vincoli nei nodi (vincoli esterni);
- modificare i parametri necessari alla definizione dell'azione sismica;
- definire condizioni di carico;
- definire gli impalcati come rigidi o meno.

Il programma è dotato di un manuale tecnico ed operativo. L'assistenza è effettuata direttamente dalla casa produttrice, mediante linea telefonica o e-mail.

Il calcolo si basa sul solutore agli elementi finiti **MICROSAP** prodotto dalla società **TESYS srl**. La scelta di tale codice è motivata dall'elevata affidabilità dimostrata e dall'ampia documentazione a disposizione, dalla quale risulta la sostanziale uniformità dei risultati ottenuti su strutture standard con i risultati internazionalmente accettati ed utilizzati come riferimento.

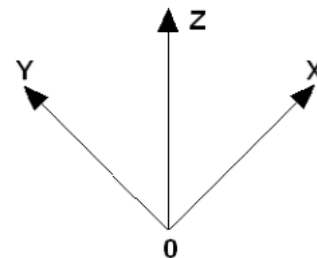
Tutti i risultati del calcolo sono forniti, oltre che in formato numerico, anche in formato grafico permettendo così di evidenziare agevolmente eventuali incongruenze.

Il programma consente la stampa di tutti i dati di input, dei dati del modello strutturale utilizzato, dei risultati del calcolo e delle verifiche dei diagrammi delle sollecitazioni e delle deformate.

## 8.3 Sistemi di Riferimento

### 8.3.1 Riferimento globale

Il sistema di riferimento globale, rispetto al quale va riferita l'intera struttura, è costituito da una terna di assi cartesiani sinistrorsa O, X, Y, Z (X, Y, e Z sono disposti e orientati rispettivamente secondo il pollice, l'indice ed il medio della mano destra, una volta posizionati questi ultimi a 90° tra loro).

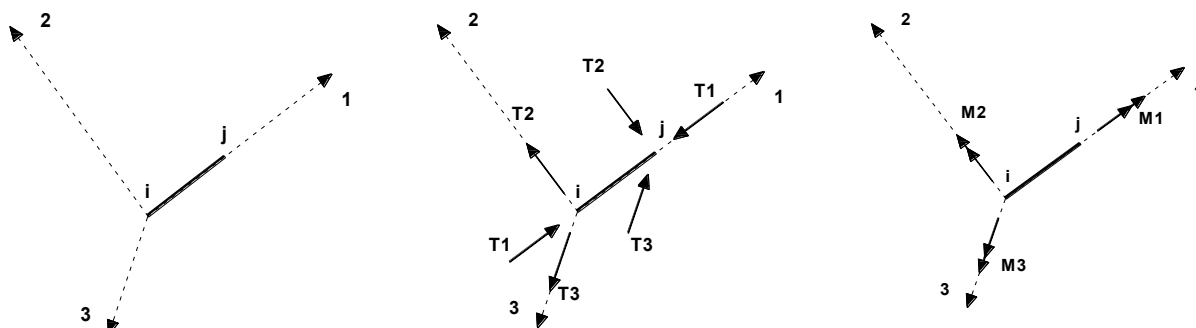


### 8.3.2 Riferimento locale per travi

Il presente documento è di proprietà della ANTEX GROUP srl.  
È vietato la comunicazione a terzi o la riproduzione senza il permesso scritto della suddetta.  
La società tutela i propri diritti a rigore di Legge.

Comm.: C20-025-S05





L'elemento Trave è un classico elemento strutturale in grado di ricevere Carichi distribuiti e Carichi Nodali applicati ai due nodi di estremità; per effetto di tali carichi nascono, negli estremi, sollecitazioni di taglio, sforzo normale, momenti flettenti e torcenti.

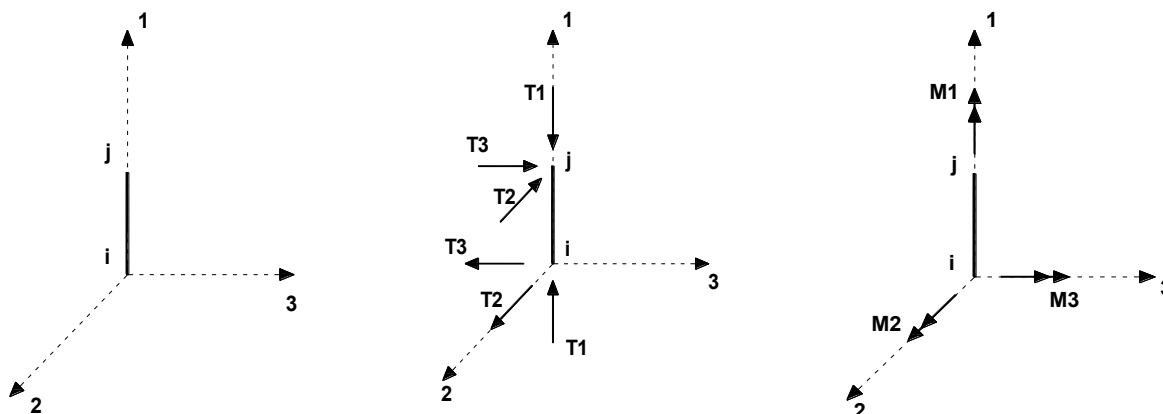
Definiti i e j (nodi iniziale e finale della Trave) viene individuato un sistema di assi cartesiani 1-2-3 locale all'elemento, con origine nel Nodo i così composto:

- asse 1 orientato dal nodo i al nodo j;
- assi 2 e 3 appartenenti alla sezione dell'elemento e coincidenti con gli assi principali d'inerzia della sezione stessa.

Le sollecitazioni verranno fornite in riferimento a tale sistema di riferimento:

1. Sollecitazione di Trazione o Compressione  $T_1$  (agente nella direzione i-j);
2. Sollecitazioni taglienti  $T_2$  e  $T_3$ , agenti nei due piani 1-2 e 1-3, rispettivamente secondo l'asse 2 e l'asse 3;
3. Sollecitazioni che inducono flessione nei piani 1-3 e 1-2 ( $M_2$  e  $M_3$ );
4. Sollecitazione torcente  $M_1$ .

### 8.3.3 Riferimento locale per pilastri



Definiti i e j come i due nodi iniziale e finale del pilastro, viene individuato un sistema di assi cartesiani 1-2-3 locale all'elemento, con origine nel Nodo i così composto:

- asse 1 orientato dal nodo i al nodo j;
- asse 2 perpendicolare all' asse 1, parallelo e discorde all'asse globale Y;
- asse 3 che completa la terna destrorsa, parallelo e concorde all'asse globale X.

Tale sistema di riferimento è valido per Pilastri con angolo di rotazione pari a '0' gradi; una rotazione del pilastro

nel piano XY ha l'effetto di ruotare anche tale sistema (ad es. una rotazione di '90' gradi porterebbe l'asse 2 a essere parallelo e concorde all'asse X, mentre l'asse 3 sarebbe parallelo e concorde all'asse globale Y). La rotazione non ha alcun effetto sull'asse 1 che coinciderà sempre e comunque con l'asse globale Z.

Per quanto riguarda le sollecitazioni si ha:

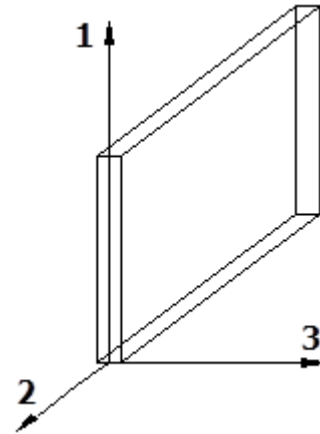
- una forza di trazione o compressione  $T_1$ , agente lungo l'asse locale 1;
- due forze taglianti  $T_2$  e  $T_3$  agenti lungo i due assi locali 2 e 3;
- due vettori momento (flettente)  $M_2$  e  $M_3$  agenti lungo i due assi locali 2 e 3;
- un vettore momento (torcente)  $M_1$  agente lungo l'asse locale nel piano 1.

### 8.3.4 Riferimento locale per pareti

Una parete è costituita da una sequenza di setti; ciascun setto è caratterizzato da un sistema di riferimento locale 1-2-3 così individuato:

- asse 1, coincidente con l'asse globale Z;
- asse 2, parallelo e discorde alla linea d'asse della traccia del setto in pianta;
- asse 3, ortogonale al piano della parete, che completa la terna levogira.

Su ciascun setto l'utente ha la possibilità di applicare uno o più carichi uniformemente distribuiti comunque orientati nello spazio; le componenti di tali carichi possono essere fornite, a discrezione dell'utente, rispetto al riferimento globale X,Y,Z oppure rispetto al riferimento locale 1,2,3 appena definito.



Si rende necessario, a questo punto, meglio precisare le modalità con cui EdiLus restituisce i risultati di calcolo. Nel modello di calcolo agli elementi finiti ciascun setto è discretizzato in una serie di elementi tipo "shell" interconnessi; il solutore agli elementi finiti integrato nel programma EdiLus, definisce un riferimento locale per ciascun elemento shell e restituisce i valori delle tensioni esclusivamente rispetto a tali riferimenti.

Il software EdiLus provvede ad omogeneizzare tutti i valori riferendoli alla terna 1-2-3. Tale operazione consente, in fase di input, di ridurre al minimo gli errori dovuti alla complessità d'immissione dei dati stessi ed allo stesso tempo di restituire all'utente dei risultati facilmente interpretabili.

Tutti i dati cioè, sia in fase di input che in fase di output, sono organizzati secondo un criterio razionale vicino al modo di operare del tecnico e svincolato dal procedimento seguito dall'elaboratore elettronico.

In tal modo ad esempio, il significato dei valori delle tensioni può essere compreso con immediatezza non solo dal progettista che ha operato con il programma ma anche da un tecnico terzo non coinvolto nell'elaborazione; entrambi, così, potranno controllare con facilità dal tabulato di calcolo, la congruità dei valori riportati.

Un'ultima notazione deve essere riservata alla modalità con cui il programma fornisce le armature delle pareti, con riferimento alla faccia anteriore e posteriore.

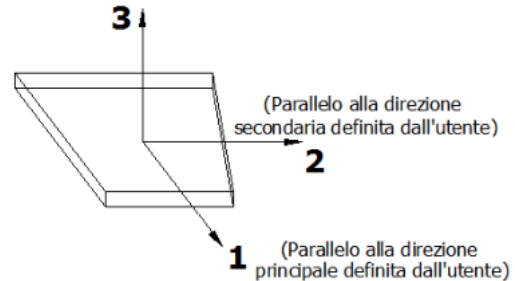
La faccia anteriore è quella di normale uscente concorde all'asse 3 come prima definito o, identicamente, quella posta alla destra dell'osservatore che percorresse il bordo superiore della parete concordemente al verso di tracciamento.

### 8.3.5 Riferimento locale per solette e platee



Ciascuna soletta e platea è caratterizzata da un sistema di riferimento locale 1,2,3 così definito:

- asse 1, coincidente con la direzione principale di armatura;
- asse 2, coincidente con la direzione secondaria di armatura;
- asse 3, ortogonale al piano della parete, che completa la terna levogira.



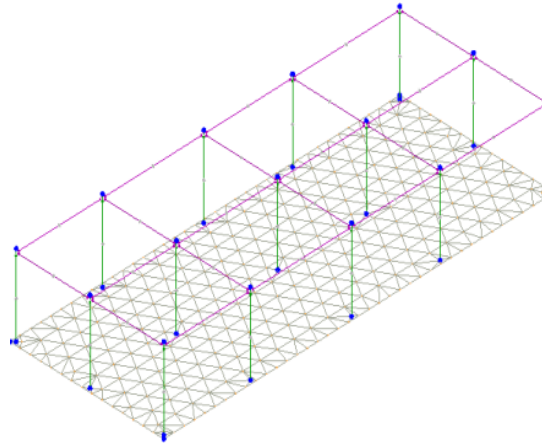
## 8.4 Modello di Calcolo

Il modello della struttura viene creato automaticamente dal codice di calcolo, individuando i vari elementi strutturali e fornendo le loro caratteristiche geometriche e meccaniche.

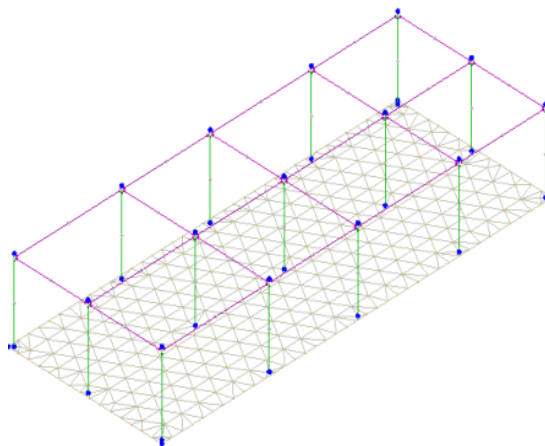
Viene definita un'opportuna numerazione degli elementi (nodi, aste, shell) costituenti il modello, al fine di individuare celermente ed univocamente ciascun elemento nei "*Tabulati di calcolo*".

Qui di seguito è fornita una rappresentazione grafica dettagliata della discretizzazione operata con evidenziazione dei nodi e degli elementi.

**Vista Anteriore**



**Vista Posteriore**



Le aste in **c.a.**, in **acciaio**, sia travi che pilastri, sono schematizzate con un tratto flessibile centrale e da due tratti (braccetti) rigidi alle estremità. I nodi vengono posizionati sull'asse verticale dei pilastri, in corrispondenza dell'estradosso della trave più alta che in esso si collega. Tramite i braccetti i tratti flessibili sono quindi collegati ad esso. In questa maniera il nodo risulta perfettamente aderente alla realtà poiché vengono presi in conto tutti gli eventuali disassamenti degli elementi con gli effetti che si possono determinare, quali momenti flettenti/torcenti aggiuntivi.

Le sollecitazioni vengono determinate solo per il tratto flessibile. Sui tratti rigidi, infatti, essendo (teoricamente) nulle le deformazioni, le sollecitazioni risultano indeterminate.

Questa schematizzazione dei nodi viene automaticamente realizzata dal programma anche quando il nodo sia determinato dall'incontro di più travi senza il pilastro, o all'attacco di travi/pilastri con elementi shell.

La modellazione del materiale degli elementi in c.a., acciaio e legno segue la classica teoria dell'elasticità lineare; per cui il materiale è caratterizzato oltre che dal peso specifico, da un modulo elastico (E) e un modulo tagliante (G).

La possibile fessurazione degli elementi in c.a. è stata tenuta in conto nel modello considerando un opportuno decremento del modulo di elasticità e del modulo di taglio, nei limiti di quanto previsto dalla normativa vigente per ciascuno stato limite.

Gli eventuali elementi di **fondazione** (travi, platee, plinti, plinti su pali e pali) sono modellati assumendo un comportamento elastico-lineare sia a trazione che a compressione.

## 9 PROGETTO E VERIFICA DEGLI ELEMENTI STRUTTURALI

La verifica degli elementi allo SLU avviene col seguente procedimento:

- si costruiscono le combinazioni non sismiche in base al D.M. 2018, ottenendo un insieme di sollecitazioni;
- si combinano tali sollecitazioni con quelle dovute all'azione del sisma secondo quanto indicato nel §2.5.3, relazione (2.5.5) del D.M. 2018;
- per sollecitazioni semplici (flessione retta, taglio, etc.) si individuano i valori minimo e massimo con cui



progettare o verificare l'elemento considerato; per sollecitazioni composte (pressoflessione retta/deviata) vengono eseguite le verifiche per tutte le possibili combinazioni e solo a seguito di ciò si individua quella che ha originato il minimo coefficiente di sicurezza.

## 9.1 Verifiche di Resistenza

### 9.1.1 Elementi in C.A.

Illustriamo, in dettaglio, il procedimento seguito in presenza di pressoflessione deviata (pilastri e trave di sezione generica):

- per tutte le terne  $M_x$ ,  $M_y$ ,  $N$ , individuate secondo la modalità precedentemente illustrata, si calcola il coefficiente di sicurezza in base alla formula 4.1.19 del D.M. 2018, effettuando due verifiche a pressoflessione retta con la seguente formula:

$$\left(\frac{M_{Ex}}{M_{Rx}}\right)^\alpha + \left(\frac{M_{Ey}}{M_{Ry}}\right)^\alpha \leq 1$$

dove:

$M_{Ex}$ ,  $M_{Ey}$  sono i valori di calcolo delle due componenti di flessione retta dell'azione attorno agli assi di flessione X ed Y del sistema di riferimento locale;

$M_{Rx}$ ,  $M_{Ry}$  sono i valori di calcolo dei momenti resistenti di pressoflessione retta corrispondenti allo sforzo assiale  $N_{Ed}$  valutati separatamente attorno agli assi di flessione.

L'esponente  $\alpha$  può dedursi in funzione della geometria della sezione, della percentuale meccanica dell'armatura e della sollecitazione di sforzo normale agente.

- se per almeno una di queste terne la relazione 4.1.19 non è rispettata, si incrementa l'armatura variando il diametro delle barre utilizzate e/o il numero delle stesse in maniera iterativa fino a quando la suddetta relazione è rispettata per tutte le terne considerate.

Sempre quanto concerne il progetto degli elementi in c.a. illustriamo in dettaglio il procedimento seguito per le travi verificate/semiprogettate a pressoflessione retta:

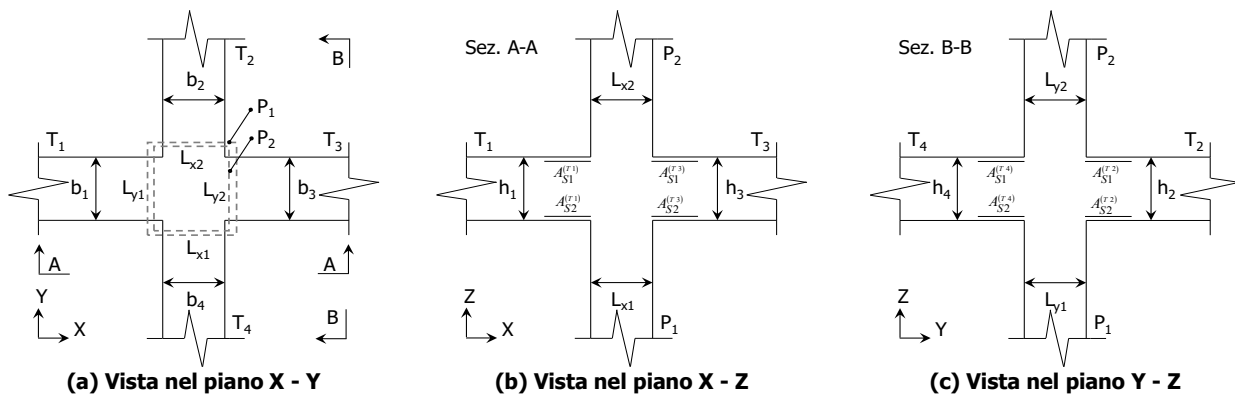
- per tutte le coppie  $M_x$ ,  $N$ , individuate secondo la modalità precedentemente illustrata, si calcola il coefficiente di sicurezza in base all'armatura adottata;
- se per almeno una di queste coppie esso è inferiore all'unità, si incrementa l'armatura variando il diametro delle barre utilizzate e/o il numero delle stesse in maniera iterativa fino a quando il coefficiente di sicurezza risulta maggiore o al più uguale all'unità per tutte le coppie considerate.

Nei "Tabulati di calcolo", per brevità, non potendo riportare una così grossa mole di dati, si riporta la terna  $M_x$ ,  $M_y$ ,  $N$ , o la coppia  $M_x$ ,  $N$  che ha dato luogo al minimo coefficiente di sicurezza.

Una volta semiprogettate le armature allo SLU, si procede alla verifica delle sezioni allo Stato Limite di Esercizio con le sollecitazioni derivanti dalle combinazioni rare, frequenti e quasi permanenti; se necessario, le armature vengono integrate per far rientrare le tensioni entro i massimi valori previsti. si procede alle verifiche alla deformazione, quando richiesto, ed alla fessurazione che, come è noto, sono tese ad assicurare la durabilità dell'opera nel tempo.

### 9.1.1.1 Verifica di confinamento dei nodi

La progettazione dei nodi delle strutture in c.a. viene condotta secondo le prescrizioni del § 7.4.4.3 del D.M. 2018. Sono stati esclusi dalla verifica i nodi "interamente confinati", come definiti nel seguito, progettati in CD "B", ovvero quelli di strutture progettate come non dissipative, ai sensi del § C7.4.4.3.1 della Circolare 2019 del D.M. 2018. Si consideri, in generale, lo schema di nodo rappresentato nella figura seguente in cui  $n_t = 4$  e  $n_p = 2$  sono, rispettivamente, il numero di travi e pilastri concorrenti nel nodo.



In base alle dimensioni geometriche delle membrature (travi e pilastri) concorrenti nel nodo è possibile classificare i nodi in:

- **Interamente Confinati [IC]**, se  $n_t = 4$  e:

$$\min \{b_1, b_3\} \geq \frac{3}{4} \max \{L_{y1}, L_{y2}\}$$

$$\min \{h_1, h_3\} \geq \frac{3}{4} \max \{h_1, h_3\}$$

$$\min \{b_2, b_4\} \geq \frac{3}{4} \max \{L_{x1}, L_{x2}\}$$

$$\min \{h_2, h_4\} \geq \frac{3}{4} \max \{h_2, h_4\}$$

- **Non Interamente Confinati [NIC]**, se non tutte le precedenti condizioni sono rispettate.

In base all'ubicazione del nodo nella struttura è possibile distinguere tra:

- **Nodi Interni [NI]**: in cui, evidentemente,  $n_t = 4$ ;
- **Nodi Esterni [NE]**, in cui  $1 \leq n_t < 4$ .

I nodi sono stati progettati considerando una sollecitazione tagliante pari a (cfr. [7.4.6-7] D.M. 2018):

$$V_{jbd}^{(T_i)} = \gamma_{Rd} \left( A_{S1}^{(T_i)} + A_{S2}^{(T_i)} \right) f_{yd} - V_C^{(P_{2,i})} \quad i = 1, \dots, n_t \quad [NI]$$

$$V_{jbd}^{(T_i)} = \gamma_{Rd} A_{S1}^{(T_i)} f_{yd} - V_C^{(P_{2,i})} \quad i = 1, \dots, n_t \quad [NE]$$

dove:

$\gamma_{Rd} = 1,20$  in CD-A e  $1,10$  in CD-B ed in caso di comportamento non dissipativo (cfr. Tab. 7.2.I e § 7.4.1 D.M. 2018);

$f_{yd}$  è la tensione di progetto dell'acciaio delle armature delle travi;

$V_C^{(P_{2,i})}$  è il taglio in condizioni sismiche del pilastro superiore, lungo la direzione della trave considerata:

**PARCO EOLICO DI "BUDDUSO"****RELAZIONE DI CALCOLO E TABULATI OPERE EDILI  
SSEU**

Ingegneria &amp; Innovazione

30/06/2023

REV: 2

Pag. 29

$$V_C^{(P_{2,i})} = V_C^{(P_{2,x})} \quad i = 1, 3$$

$$V_C^{(P_{2,i})} = V_C^{(P_{2,y})} \quad i = 2, 4$$

Le terne ( $A_{S1}$ ,  $A_{S2}$ ,  $V_C$ ) sono state scelte in modo da considerare la situazione più sfavorevole. La verifica a taglio-compressione si esegue controllando che (cfr. [7.4.8] D.M. 2018):

$$V_{jbd}^{(T_i)} \leq V_{R,jbd}^{(T_i)} = \eta f_{cd} b_j^{(T_i)} h_{jc}^{(P_{2,i})} \sqrt{1 - \frac{v_d}{\eta}}$$

dove:

$$\eta = \alpha_j \left( 1 - \frac{f_{ck} [MPa]}{250} \right);$$

$\alpha_j = 0,48 (f_{ck,c}/f_{ck})$  (cfr. § C7.4.4.3.1 Circolare 2019 del D.M. 2018);

$f_{ck,c}$  è la resistenza a compressione cilindrica caratteristica del calcestruzzo confinato (cfr. § 4.1.2.1.2.1 D.M. 2018);

$b_j$  è la larghezza effettiva del nodo, pari a:

$$b_j^{(T_i)} = \min \{ b_{j1}^{(T_i)}, b_{j2}^{(T_i)} \} \quad i = 1, \dots, n_t$$

$$b_{j1}^{(T_i)} = \max \{ L_{x1}, L_{x2}, b_i \} \quad i = 1, 3$$

$$b_{j1}^{(T_i)} = \max \{ L_{y1}, L_{y2}, b_i \} \quad i = 2, 4$$

$$b_{j2}^{(T_i)} = \max \left\{ L_{x1} + \frac{L_{y1}}{2}, b_i + \frac{L_{y1}}{2} \right\} \quad i = 1, 3$$

$$b_{j2}^{(T_i)} = \max \left\{ L_{y1} + \frac{L_{x1}}{2}, b_i + \frac{L_{x1}}{2} \right\} \quad i = 2, 4$$

$h_{jc}^{(P_{2,i})}$  è la distanza tra le armature del pilastro:

$$h_{jc}^{(P_{2,i})} = L_{x1} - 2(c + \Phi_{st}) - \Phi_L \quad i = 1, 3$$

$$h_{jc}^{(P_{2,i})} = L_{y1} - 2(c + \Phi_{st}) - \Phi_L \quad i = 2, 4$$

$c$ ,  $\Phi_{st}$  e  $\Phi_L$  sono, rispettivamente, il ricoprimento, il diametro delle staffe nel pilastro, ed il diametro delle armature longitudinali del pilastro;

$v_d = \frac{N_{Ed}^{(P_2)}}{L_{x2} L_{y2} f_{cd}}$  è lo sforzo normale adimensionalizzato del pilastro superiore.

Le armature a taglio per il confinamento del nodo sono progettate adottando la meno stringente tra la relazione ([7.4.10] D.M. 2018):

$$\frac{A_{sh,i} f_{ywd}}{b_j^{(T_i)} h_{jw}^{(T_i)}} \geq \frac{\left[ \frac{V_{jbd}^{(T_i)}}{b_j^{(T_i)} h_{jw}^{(T_i)}} \right]}{f_{ctd} + v_d f_{cd}} - f_{ctd} \quad i = 1, \dots, n_t$$

dove:

$A_{sh,i}$  è l'armatura totale a taglio nel nodo nella direzione in esame:

Comm.: C20-025-S05

Il presente documento è di proprietà della ANTEX GROUP srl.  
È vietato la comunicazione a terzi o la riproduzione senza il permesso scritto della suddetta.  
La società tutela i propri diritti a rigore di Legge.



**PARCO EOLICO DI "BUDDUSO"****RELAZIONE DI CALCOLO E TABULATI OPERE EDILI  
SSEU**

Ingegneria &amp; Innovazione

30/06/2023

REV: 2

Pag. 30

$$A_{sh,i} = n_{st,i} n_{br,x} \left( \frac{\pi \Phi_{st}^2}{4} \right) \quad i = 1, 3$$

$$A_{sh,i} = n_{st,i} n_{br,y} \left( \frac{\pi \Phi_{st}^2}{4} \right) \quad i = 2, 4$$

$n_{st,i}$  è il numero totale di staffe nel nodo, uniformemente ripartito lungo l'altezza della trave in esame;

$n_{br,x}$  e  $n_{br,y}$  sono il numero di bracci delle staffe nel nodo, nella direzione in esame;

$\Phi_{st}$  è il diametro delle staffe nel nodo;

$f_{ywd}$  è la tensione di progetto dell'acciaio delle staffe;

$$h_{jw}^{(T)} = h_i - 2(c + \Phi_{st}) - \Phi_L;$$

$c$ ,  $\Phi_{st}$  e  $\Phi_L$  sono, rispettivamente, il ricoprimento, il diametro delle staffe nella trave, ed il diametro delle armature longitudinali nella trave;

e le seguenti relazioni ([7.4.11-12] D.M. 2018):

$$A_{sh,i} f_{ywd} \geq \gamma_{Rd} \left( A_{s1}^{(T_i)} + A_{s2}^{(T_i)} \right) f_{yd} \left( 1 - 0,8 v_d^{[NI]} \right) \quad i = 1, \dots, n_t \quad [NI]$$

$$A_{sh,i} f_{ywd} \geq \gamma_{Rd} A_{s1}^{(T_i)} f_{yd} \left( 1 - 0,8 v_d^{[NE]} \right) \quad i = 1, \dots, n_t \quad [NE]$$

dove:

$$v_d^{[NI]} = \frac{N_{Ed}^{(P_2)}}{L_{x2} L_{y2} f_{cd}} \quad \text{è lo sforzo normale adimensionalizzato del pilastro superiore;}$$

$$v_d^{[NE]} = \frac{N_{Ed}^{(R)}}{L_{x1} L_{y1} f_{cd}} \quad \text{è lo sforzo normale adimensionalizzato del pilastro inferiore.}$$

Il passo delle staffe da disporre per tutta l'altezza del nodo (pari all'altezza maggiore delle travi in esso convergenti) è pari a:

$$p_{st} = \min_{i=1, \dots, n_t} \left\{ \frac{h_{jw}^{(T_i)}}{n_{st,i} + 1} \right\}$$

dove  $n_{st} = \max_i n_{st,i}$  è il numero totale di staffe da disporre nel nodo.

### 9.1.1.2 Verifica di punzonamento dei nodi

I nodi in c.a. sono stati verificati a punzonamento ai sensi dei §§ 6.4 e 9.4.3 dell'Eurocodice 2 (UNI EN 1992-1-1:2015). La verifica è stata eseguita nel modo illustrato nel seguito.

#### STEP 1: verifica dell'idoneità geometrica

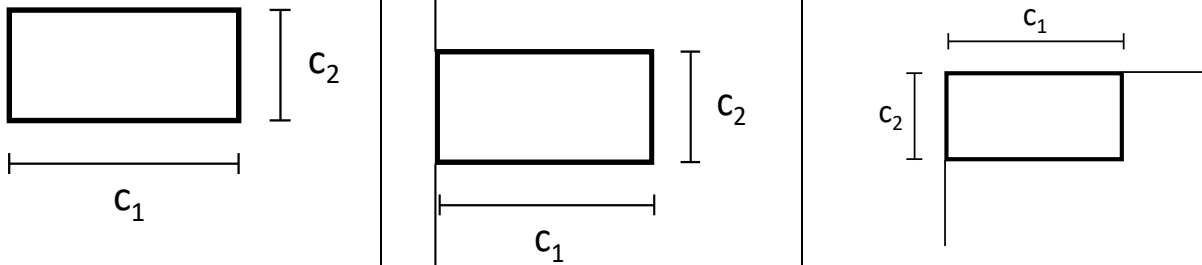
In primo luogo è stato verificato che l'elemento punzonante e quello punzonato siano dimensionati correttamente. Per effettuare questo controllo viene individuato un perimetro di verifica (detto  $u_0$ ) pari al perimetro utile dell'elemento punzonante (es. perimetro del pilastro) in funzione della posizione (interna, di bordo o d'angolo). Nella figura che segue vengono illustrati alcuni casi tipici.

interno	di bordo	d'angolo
$u_0 = 2 (C_1 + C_2)$	$u_0 = C_2 + 3d \leq C_2 + 2 C_1$	$u_0 = 3d \leq C_1 + C_2$

Il presente documento è di proprietà della ANTEX GROUP srl.  
È vietato la comunicazione a terzi o la riproduzione senza il permesso scritto della suddetta.  
La società tutela i propri diritti a rigore di Legge.

Comm.: C20-025-S05





Si noti che, nella tabella precedente,  $d$  rappresenta l'altezza utile dell'elemento punzonato, pari alla media delle altezze utili nelle due direzioni armate ( $d_y$  e  $d_z$ ):

$$d = \frac{d_y + d_z}{2};$$

dove:

- $d_y = h - c - \frac{\Phi_y}{2}$  è l'altezza utile lungo  $y$ ;
- $d_z = h - c - \Phi_y - \frac{\Phi_z}{2}$  è l'altezza utile lungo  $z$ ;
- $c$  è il copriferro, ovvero il ricoprimento delle armature;
- $\Phi_y$  e  $\Phi_z$  sono i diametri delle barre delle armature longitudinali della soletta nelle direzioni principale e secondaria. La verifica lungo il perimetro caricato consiste nel controllare che (eq. (6.53) UNI EN 1992-1-1:2015):

$$v_{Ed,0} = \beta \cdot V_{Ed} / (u_0 \cdot d) \leq v_{Rd,max} = 0,5 \cdot v \cdot f_{cd};$$

dove:

- $\beta$  è un coefficiente che dipende dall'eccentricità (rapporto tra momento flettente e sforzo normale) del carico applicato all'elemento punzonante. In via semplificata, questo fattore può essere stimato in relazione alla posizione in pianta del pilastro (si veda la seguente Fig. 6.21N della UNI EN 1992-1-1:2015 e la relativa tabella);
- $V_{Ed}$  è lo sforzo di punzonamento di progetto allo SLU;
- $v = 0,6 (1 - f_{ck}/250)$ .

posizione elemento punzonante	$\beta$
interna	1,15
di bordo	1,4
d'angolo	1,5

**STEP 2: Verifica lungo il perimetro critico in assenza di armature**

La verifica di punzonamento si esegue normalmente in corrispondenza del perimetro critico (indicato con  $u_1$ ) lungo il quale si assume che possa verificarsi, allo stato limite ultimo, la rottura a punzonamento. Il perimetro critico di pilastri in elevazione, ai sensi della UNI EN 1992-1-1:2015, è ad una distanza  $2d$  dal perimetro convesso dell'elemento punzonante, eventualmente escludendo i limiti della soletta (per pilastri di bordo e d'angolo, cfr. Figg. 6.13 e 6.15 UNI EN 1992-1-1:2015):

pilastro Interno	pilastro di Bordo	pilastro d'Angolo
$u_1 = 2 \cdot (c_1 + c_2) + 4 \cdot \pi \cdot d$	$u_1 = c_2 + 2 \cdot c_1 + 2 \cdot \pi \cdot d$	$u_1 = c_1 + c_2 + \pi \cdot d$



Nel caso di elementi di fondazione, invece, il perimetro critico è da individuarsi in modo iterativo tra tutti quelli con il minore coefficiente di sicurezza, fino ad una distanza di  $2d$  dal pilastro. Similmente a quanto avviene per gli elementi non armati a taglio con una specifica armatura trasversale (si pensi ai solai), è possibile assumere una resistenza intrinseca dell'elemento punzonato anche in assenza di armature (trattandosi di un meccanismo a taglio):

$$v_{Ed,1} = \frac{\beta V_{Ed}}{u_1 d} \leq v_{Rd,c} = C_{Rd,c} k (100 \rho_l f_{ck})^{1/3} + k_1 \sigma_{cp} \geq (v_{\min} + k_1 \sigma_{cp})$$

dove:

- $C_{Rd,c} = \frac{0,18}{\gamma_c}$  ;
- $k = \min \left[ 1 + \sqrt{\frac{200}{d [mm]}} ; 2 \right]$  ;
- $\rho_l = \sqrt{\rho_{ly} \cdot \rho_{lz}} \leq 0,02$  ;
- $\rho_{ly} = \frac{A_{sly}}{(c_1 + 6d)d}$  e  $\rho_{lz} = \frac{A_{slz}}{(c_2 + 6d)d}$  sono le armature longitudinali nelle due direzioni che attraversano la dimensione colonna ( $c_1$  o  $c_2$ ) maggiorata di  $3d$  su ciascun lato;
- $k_1 = 0,1$
- $\sigma_{cp} = \frac{\sigma_{cy} + \sigma_{cz}}{2}$  è la tensione normale media nelle direzioni  $y$  e  $z$  del piano della soletta (per esempio dovute alla precompressione);
- $\sigma_{cy} = \frac{N_{Ed,y}}{A_{cy}}$   $\sigma_{cz} = \frac{N_{Ed,z}}{A_{cz}}$  ;
- $v_{\min} = 0,035 k^{3/2} f_{ck}^{1/2} [MPa]$ .

### STEP 3: Progetto delle armature a punzonamento

Qualora non sia possibile, con il solo contributo del calcestruzzo, assorbire la totalità dello sforzo punzonante, vengono disposte delle armature a punzonamento di area totale, lungo il perimetro critico, pari ad  $A_{sw}$ . Siccome non è nota a priori la reale posizione della superficie critica di rottura a punzonamento, la norma prevede di "replicare" queste armature in modo concentrico rispettando i limiti dimensionali indicati nel prosieguo. Vengono, quindi, disposte un certo numero di "file", tutte di area totale  $A_{sw}$  e concentriche al pilastro e via via più distanti da questo. L'armatura totale a punzonamento di una fila ( $A_{sw}$ ) deve essere scelta in modo tale che sia soddisfatta la seguente verifica:

$$V_{Ed,1} \leq V_{Rd,cs} = 0,75 \cdot V_{Rd,c} + 1,5 \cdot (d/s_r) A_{sw} \cdot f_{ywd,ef} \cdot \sin \alpha / (u_1 \cdot d);$$

dove:

- $s_r$  è l'interasse radiale dell'armatura a punzonamento (ovvero la distanza tra due file di armature concentriche);
- $f_{ywd,ef}$  è la tensione di snervamento di progetto efficace delle armature a punzonamento:

$$f_{ywd,ef} = 250 + 0,25 \cdot d \leq f_{ywd};$$

- $\alpha$  è l'angolo di inclinazione dell'armatura a punzonamento con l'orizzontale.

È possibile scegliere tra due possibili tipologie di armature a punzonamento:

Comm.: C20-025-S05





## PARCO EOLICO DI "BUDDUSO"

### RELAZIONE DI CALCOLO E TABULATI OPERE EDILI SSEU



Ingegneria & Innovazione

30/06/2023

REV: 2

Pag. 33

- 1) *cuciture verticali* (pioli o perni tipo "stud"): in questo caso, trattandosi di armature verticali, sarà possibile assumere  $\alpha = 90^\circ$ ;
- 2) *ferrì piegati*: in questo caso, la piegatura potrà avvenire con un angolo  $\alpha$  compreso tra  $30^\circ$  e  $45^\circ$  e si potrà assumere, nel caso di un'unica fila di armature:

$$(d/s_r) = 0,67.$$

#### STEP 4: Dettagli esecutivi

La disposizione delle armature a punzonamento deve essere fatta seguendo i dettagli esecutivi indicati nel § 9.4.3 della UNI EN 1992-1-1:2015. In primo luogo occorrerà calcolare il perimetro  $u_{out}$  oltre il quale non sono più richieste armature. Quest'ultimo è pari a:

$$u_{out,ef} = \beta \cdot V_{Ed} / (V_{Rd,c} d).$$

I dettagli esecutivi possono essere così riassunti (cfr. Fig. 9.10 UNI EN 1992-1-1:2015):

- 1) *per cuciture verticali*: la prima fila deve partire ad una distanza compresa tra  $0,3$  e  $0,5$   $d$  dalla faccia del pilastro; le file devono essere distanziate tra loro di una quantità  $\leq$  di  $0,75$   $d$ ; l'ultima fila deve essere disposta ad una distanza  $\leq$  di  $1,5$   $d$  dal perimetro  $u_{out}$ ;
- 2) *per ferrì piegati*: la prima fila deve partire ad una distanza minore di  $0,5$   $d$  dalla faccia del pilastro; le barre possono essere disposte in pianta ad una distanza dalle facce del pilastro minore o uguale a  $0,25$   $d$ ; le file devono essere distanziate tra loro di una quantità minore o uguale a  $0,75$   $d$ ; l'ultima fila deve essere disposta ad una distanza minore o uguale a  $1,5$   $d$  dal perimetro  $u_{out}$ .

Infine, l'area minima della singola armatura a punzonamento deve risultare:

$$A_{sw,1} \geq A_{sw,min} = \frac{0,08 \sqrt{f_{ck}} / f_{yk}}{(1,5 \sin \alpha + \cos \alpha) (s_r s_t)};$$

dove  $s_t$  è la distanza tangenziale massima tra le armature lungo una stessa fila, pari ad almeno  $1,5$   $d$  per file interne al perimetro  $u_1$  e  $2$   $d$  per file esterne al perimetro  $u_1$ .

### 9.1.1.3 Fondazioni superficiali

Le metodologie, i modelli usati ed i risultati del calcolo del **carico limite** sono esposti nella relazione GEOTECNICA.

## 9.2 Gerarchia delle Resistenze

### 9.2.1 Elementi in C.A.

Relativamente agli elementi in c.a., sono state applicate le disposizioni contenute al §7.4.4 del D.M. 2018. Più in particolare:

- per le **travi**, al fine di escludere la formazione di meccanismi inelastici dovuti al **taglio**, le sollecitazioni di calcolo si ottengono sommando il contributo dovuto ai carichi gravitazionali agenti sulla trave, considerata incernierata agli estremi, alle sollecitazioni di taglio corrispondenti alla formazione delle cerniere plastiche



## PARCO EOLICO DI "BUDDUSO"

### RELAZIONE DI CALCOLO E TABULATI OPERE EDILI SSEU



Ingegneria & Innovazione

30/06/2023

REV: 2

Pag. 34

nella trave e prodotte dai momenti resistenti delle due sezioni di estremità, amplificati del fattore di sovrarresistenza  $\gamma_{Rd}$  assunto pari, rispettivamente, ad 1,20 per strutture in CD"A", ad 1,10 per strutture in CD"B". La verifica di resistenza è eseguita secondo le indicazioni del par. 7.4.4.1.1 D.M. 2018.

- per i **pilastr**i, al fine di scongiurare l'attivazione di meccanismi fragili globali, come il meccanismo di "piano debole" che comporta la plasticizzazione, anticipata rispetto alle travi, di gran parte dei pilastri di un piano, il progetto a **flessione** delle zone dissipative dei pilastri è effettuato considerando le sollecitazioni corrispondenti alla resistenza delle zone dissipative delle travi amplificata mediante il coefficiente  $\gamma_{Rd}$  che vale 1,3 in CD"A" e 1,3 per CD"B". In tali casi, generalmente, il meccanismo dissipativo prevede la localizzazione delle cerniere alle estremità delle travi e le sollecitazioni di progetto dei pilastri possono essere ottenute a partire dalle resistenze d'estremità delle travi che su di essi convergono, facendo in modo che, per ogni nodo trave-pilastro ed ogni direzione e verso dell'azione sismica, la resistenza complessiva dei pilastri sia maggiore della resistenza complessiva delle travi amplificata del coefficiente  $\gamma_{Rd}$ , in accordo con la formula (7.4.4) del D.M. 2018. Le verifiche di resistenza sono eseguite secondo le indicazioni del par. 7.4.4.2.1 D.M. 2018.

Al fine di escludere la formazione di meccanismi inelastici dovuti al **taglio**, le sollecitazioni di calcolo da utilizzare per le verifiche ed il dimensionamento delle armature si ottengono dalla condizione di equilibrio del pilastro soggetto all'azione dei momenti resistenti nelle sezioni di estremità superiore ed inferiore secondo l'espressione (7.4.5). Le verifiche di resistenza sono eseguite secondo le indicazioni del par. 7.4.4.2.1.

- per i **nodi trave-pilastro**, si deve verificare che la resistenza del nodo sia tale da assicurare che non pervenga a rottura prima delle zone della trave e del pilastro ad esso adiacente. L'azione di taglio, agente in direzione orizzontale per le varie direzioni del sisma, nel nucleo di calcestruzzo del nodo è calcolata secondo l'espressione (7.4.6) per i nodi interni e (7.4.7) per quelli esterni. Le verifiche di resistenza sono eseguite invece secondo le indicazioni del §7.4.4.3.1 D.M. 2018.
- per i **setti** sismo resistenti, le sollecitazioni di calcolo sono determinate secondo quanto indicato nel par. 7.4.4.5 D.M. 2018 Le verifiche di resistenza sono eseguite invece secondo le indicazioni del par. 7.4.4.5.1 D.M. 2018.

## 9.2.2 Fondazioni

Per quanto riguarda la struttura di fondazione sono applicate le disposizioni contenute al §7.2.5 del D.M. 2018. Più in particolare:

- le azioni trasmesse in fondazione derivano dall'analisi del comportamento dell'intera struttura, condotta esaminando la sola struttura in elevazione alla quale sono applicate le azioni statiche e sismiche;
- il dimensionamento della struttura di fondazione e la verifica di sicurezza del complesso fondazione-terreno sono eseguite, nell'ipotesi di comportamento strutturale dissipativo, assumendo come azioni in fondazione quelle trasferite dagli elementi soprastanti amplificate di un coefficiente  $\gamma_{Rd}$  pari a 1,1 in CD"B" e 1,3 in CD"A".

I risultati delle suddette verifiche sono riportate nei "Tabulati di calcolo".

## 9.3 DETTAGLI STRUTTURALI

Il progetto delle strutture è stato condotto rispettando i dettagli strutturali previsti dal D.M. 2018, nel seguito illustrati. Il rispetto dei dettagli può essere evinto, oltretutto dagli elaborati grafici, anche dalle verifiche riportate



nei tabulati allegati alla presente relazione.

### 9.3.1 Travi in c.a.

Le armature degli elementi trave sono state dimensionati seguendo i dettagli strutturali previsti al punto 4.1.6.1.1 del D.M. 2018:

$$A_s \geq A_{s,\min} = \max \left\{ 0,26 \frac{f_{ctm}}{f_{yk}} b_t d; 0,0013 b_t d \right\} \quad [\text{TR-C4-A}]$$

$$\max \{ A_s; A'_s \} \leq A_{s,\max} = 0,04 A_c \quad [\text{TR-C4-B}]$$

$$A_{st} \geq A_{st,\min} = 1,5 b \text{ mm}^2 / m \quad [\text{TR-C4-C}]$$

$$p_{st} \geq p_{st,\min} = \min \{ 33,3 \text{ cm}; 0,8 d \} \quad [\text{TR-C4-D}]$$

$$A_{st} \geq 0,5 A_{sw} \quad [\text{TR-C4-E}]$$

$$p_{st} \geq 15 \Phi \quad [\text{TR-C4-F}]$$

dove:

- $A_s$  e  $A'_s$  sono le aree di armature tese e compresse;
- $f_{ctm}$  è la resistenza a trazione media del cls;
- $f_{yk}$  è la resistenza caratteristica allo snervamento;
- $b_t$  è la larghezza media della zona tesa della trave (pari alla larghezza della trave o dell'anima nel caso di sezioni a T);
- $d$  è l'altezza utile della trave;
- $b$  è lo spessore minimo dell'anima in mm;
- $p_{st}$  è il passo delle staffe;
- $A_c$  è l'area della sezione di cls;
- $A_{st}$  è l'area delle staffe;
- $A_{sw}$  è l'area totale delle armature a taglio (area delle staffe più area dei ferri piegati);
- dove  $\Phi$  è il diametro delle armature longitudinali compresse.

Ai fini di un buon comportamento sismico, sono rispettate le seguenti limitazioni geometriche, ai sensi del § 7.4.6.1.1 del D.M. 2018:

$$b_t \geq b_{t,\min} = 20 \text{ cm} \quad [\text{TR-LG-A}]$$

$$b_t \leq b_{t,\max} = \min \{ b_c + h_t; b_c \} \quad [\text{TR-LG-B}]$$

$$b_t/h_t \geq (b_t/h_t)_{\min} = 0,25 \quad [\text{TR-LG-C}]$$

$$L_{zc} = 1,5 h_t \text{ (CD-A)}; L_{zc} = 1,0 h_t \text{ (CD-B)} \quad [\text{TR-LG-D}]$$

dove:

- $b_t$  e  $h_t$  sono la base e l'altezza delle travi, rispettivamente;
- $b_c$  è la larghezza della colonna;
- $L_{zc}$  è la larghezza della zona dissipativa.

Inoltre, per il dimensionamento delle armature, vengono rispettate le prescrizioni del § 7.4.6.2.1 del D.M. 2018, illustrate nel seguito.

#### Armature longitudinali

$$n_{\phi} > n_{\phi,\min} = 2 \quad [\text{TR-AL-A}]$$

$$\rho_{\min} = \frac{1,4}{f_{yk}} < \rho = \frac{A_s}{b h} < \rho_{\max} = \rho_{cmp} + \frac{3,5}{f_{yk}} \quad [\text{TR-AL-B}]$$

$$\rho_{cmp} \geq \rho_{cmp,min}$$

[TR-AL-C]

dove:

- $n_{\phi_l}$  è il numero di barre al lembo inferiore o superiore, di diametro almeno pari a 14 mm;
- $n_{\phi_l,min}$  è il minimo numero possibile di barre al lembo inferiore o superiore, di diametro almeno pari a 14 mm;
- $\rho$  è il rapporto geometrico relativo all'armatura tesa (rapporto tra le aree delle armature,  $A_s$ , e l'area della sezione rettangolare,  $b \times h$ );
- $\rho_{cmp}$  è il rapporto geometrico relativo all'armatura compressa;
- $\rho_{cmp,min} = 0,25 \rho$  per zone non dissipative, oppure  $\frac{1}{2} \rho$  per zone dissipative.
- $f_{yk}$  è la resistenza di snervamento caratteristica dell'acciaio in MPa.

### Armature trasversali

$$p_{st} \leq p_{st,max} = \min \left\{ \begin{array}{l} \left[ \frac{d}{4}; 175 \text{ mm}; 6\Phi_l; 24\Phi_{st} \right] \quad (CD-A) \\ \left[ \frac{d}{4}; 225 \text{ mm}; 8\Phi_l; 24\Phi_{st} \right] \quad (CD-B) \end{array} \right.$$

[TR-AT-A]

$$\Phi_{st} \geq \Phi_{st,min} = 6 \text{ mm}$$

[TR-AT-B]

dove:

- $d$  è l'altezza utile della sezione;
- $\Phi_l$  è il diametro più piccolo delle barre longitudinali utilizzate;
- $\Phi_{st}$  è il diametro più piccolo delle armature trasversali utilizzate;
- $\Phi_{st,min}$  è il minimo diametro delle staffe da normativa.

### 9.3.2 Pilastrini in c.a.

Le armature degli elementi pilastrini sono state dimensionati seguendo i dettagli strutturali previsti al punto 4.1.6.1.2 del D.M. 2018, nel seguito indicati:

$$\Phi_l \geq \Phi_{l,min} = 12 \text{ mm}$$

[PL-C4-A]

$$i \leq i_{max} = 300 \text{ mm}$$

[PL-C4-B]

$$A_{sl} \geq A_{sl,min} = \max \left\{ 0,10 \frac{N_{Ed}}{f_{yd}}; 0,003 A_c \right\}$$

[PL-C4-C]

$$p_{st} \leq p_{st,max} = \min \{ 12\Phi_l, 250 \text{ mm} \}$$

[PL-C4-D]

$$\Phi_{st} \geq \Phi_{st,min} = \max \left\{ 6 \text{ mm}; \frac{\Phi_{l,max}}{4} \right\}$$

[PL-C4-E]

$$A_{sl} \leq A_{sl,max} = 0,04 A_c$$

[PL-C4-F]

dove:

- $\Phi_l$  e  $\Phi_{l,min}$  sono, rispettivamente, il diametro più piccolo utilizzato ed il diametro minimo da norma delle barre longitudinali;
- $i$  e  $i_{max}$  sono, rispettivamente, l'interasse massimo utilizzato e l'interasse massimo consentito da norma delle barre longitudinali;
- $A_{sl}$  è l'area totale delle armature longitudinali;
- $N_{Ed}$  è la forza di compressione di progetto;

Comm.: C20-025-S05

**PARCO EOLICO DI "BUDDUSO"****RELAZIONE DI CALCOLO E TABULATI OPERE EDILI  
SSEU**

Ingegneria &amp; Innovazione

30/06/2023

REV: 2

Pag. 37

- $f_{yd}$  è la tensione di calcolo dell'acciaio;
- $A_c$  è l'area di cls;
- $p_{st}$  e  $p_{st,max}$  sono, rispettivamente, il passo massimo utilizzato ed il passo massimo consentito da norma per le staffe;
- $\Phi_{st}$  e  $\Phi_{st,min}$  sono, rispettivamente, il diametro minimo utilizzato ed il diametro minimo consentito da norma delle staffe;
- $\Phi_{l,max}$  è il diametro massimo delle armature longitudinali utilizzate;
- $A_{sl,max}$  è l'area massima da norma dei ferri longitudinali;
- $A_c$  è l'area di cls.

Ai fini di un buon comportamento sismico, sono rispettate le seguenti limitazioni geometriche, ai sensi del § 7.4.6.1.2 del D.M. 2018:

$$b_c \geq b_{c,min} = 25 \text{ cm} \quad \text{[PL-LG-A]}$$

$$L_{zc} \geq L_{zc,min} = \max\{h_c, 1/6 L_l, 45 \text{ cm}\} \text{ se } L_l \geq 3 h_{c,zc} \geq L_{zc,min} = \max\{h_c, L_l, 45 \text{ cm}\} \text{ se } L_l < 3 h_c \quad \text{[PL-LG-B]}$$

dove:

- $b_c$  è la dimensione minima della sezione trasversale del pilastro;
- $b_{c,min}$  è la dimensione minima consentita della sezione trasversale del pilastro;
- $L_{zc}$  è la lunghezza della zona critica;
- $L_{zc,min}$  è la lunghezza minima consentita della zona critica;
- $h_c$  è l'altezza del pilastro;
- $L_l$  è la luce libera del pilastro.

Inoltre, per il dimensionamento delle armature, vengono rispettate le prescrizioni del § 7.4.6.2.2 del D.M. 2018:

Armature longitudinali

$$i \leq i_{max} = 25 \text{ cm} \quad \text{[PL-AL-A]}$$

$$\rho_{min} = 1\% \leq \rho \leq \rho_{max} = 4\% \quad \text{[PL-AL-B]}$$

dove:

- $i$  e  $i_{max}$  sono, rispettivamente, l'interasse massimo utilizzato e l'interasse massimo consentito da norma delle barre longitudinali;
- $\rho$  è il rapporto tra l'area totale di armatura longitudinale e l'area della sezione retta.

Armature trasversali

$$\Phi_{st} > \Phi_{st,min} = \begin{cases} \max \left[ 6mm; \left( 0,4\Phi_{l,max} \sqrt{\frac{f_{yd,l}}{f_{yd,st}}} \right) \right] & \text{CD - A} \\ 6mm & \text{CD - B} \end{cases} \quad \text{[PL-AT-A]}$$

$$p_{st} \leq p_{st,max} = \min \begin{cases} [1/3 b_{c,min}; 12,5cm; 6d_{bl,min}] & \text{CD - A} \\ [1/2 b_{c,min}; 17,5cm; 8d_{bl,min}] & \text{CD - B} \end{cases} \quad \text{[PL-AT-B]}$$

dove:

- $\Phi_{st}$  è il più piccolo diametro delle staffe utilizzato;
- $\Phi_{st,min}$  è il minimo diametro delle staffe utilizzabile;
- $\Phi_{l,max}$  è il diametro massimo delle barre longitudinali utilizzate;
- $f_{yd,l}$  e  $f_{yd,st}$  sono le tensioni di snervamento di progetto delle barre longitudinali e delle staffe.
- $p_{st}$  e  $p_{st,max}$  sono, rispettivamente, il passo massimo utilizzato ed il passo massimo consentito da norma per

Comm.: C20-025-S05

Il presente documento è di proprietà della ANTEX GROUP srl.  
È vietato la comunicazione a terzi o la riproduzione senza il permesso scritto della suddetta.  
La società tutela i propri diritti a rigore di Legge.





## PARCO EOLICO DI "BUDDUSO"

### RELAZIONE DI CALCOLO E TABULATI OPERE EDILI SSEU



Ingegneria & Innovazione

30/06/2023

REV: 2

Pag. 38

le staffe;

- $b_{c,min}$  è la dimensione minore del pilastro;
- $db_{l,min}$  è il diametro minimo delle armature longitudinali.

Inoltre, è stato effettuato il seguente controllo sulla duttilità minima dei pilastri:

$$\omega_{wd} = \frac{V_{st} \cdot f_{yd}}{V_{nc} \cdot f_{cd}} \geq \omega_{wd,min} = 0,08 \quad [PL-AT-C]$$

dove:

- $V_{st} = A_{st} L_{st}$  è il volume delle staffe di contenimento;
- $V_{nc}$  è il volume del nucleo confinato (=  $b_0 h_0 s$  per sezioni rettangolari; =  $\pi(D_0/2)^2$  nel caso di sezioni circolari);
- $A_{st}$  è l'area delle staffe;
- $L_{st}$  è il perimetro delle staffe;
- $b_0$  e  $h_0$  sono le dimensioni del nucleo confinato, misurate con riferimento agli assi delle staffe;
- $D_0$  è il diametro del nucleo confinato misurato rispetto all'asse delle staffe;
- $s$  è il passo delle staffe;
- $f_{yd}$  è la tensione di snervamento di progetto delle staffe;
- $f_{cd}$  è la tensione di progetto a compressione del cls.

### 9.3.3 Nodi in c.a.

Il dimensionamento degli elementi trave e pilastro confluenti nel nodo è stato effettuato assicurando che le eccentricità delle travi rispetto ai pilastri siano inferiori ad 1/4 della larghezza del pilastro, per la direzione considerata (§ 7.4.6.1.3 D.M. 2018). staffe progettate nel nodo sono almeno pari alle staffe presenti nelle zone adiacenti al nodo del pilastro inferiore e superiore. Nel caso di nodi interamente confinati il passo minimo delle staffe nel nodo è pari al doppio di quello nelle zone adiacenti al nodo del pilastro inferiore e superiore, fino ad un massimo di 15 cm.

## 10 - TABULATI DI CALCOLO

Per quanto non espressamente sopra riportato, ed in particolar modo per ciò che concerne i dati numerici di calcolo, si riportano i "Tabulati di calcolo" costituente parte integrante della presente relazione.

### INFORMAZIONI GENERALI

Edificio	Cemento Armato
Costruzione	Nuova
Situazione	-
Intervento	-
Comune	Buddusò
Provincia	del Nord-Est Sardegna
Oggetto	
Parte d'opera	
Normativa di riferimento	D.M. 17/01/2018
Calcolo semplificato per siti a bassa sismicità (§ 7.0)	-
Analisi sismica	Statica equivalente

## MATERIALI CALCESTRUZZO ARMATO

Caratteristiche calcestruzzo armato

Il presente documento è di proprietà della ANTEX GROUP srl.  
È vietato la comunicazione a terzi o la riproduzione senza il permesso scritto della suddetta.  
La società tutela i propri diritti a rigore di Legge.





PARCO EOLICO DI "BUDDUSO"

RELAZIONE DI CALCOLO E TABULATI OPERE EDILI  
SSEU



Ingegneria & Innovazione

30/06/2023

REV: 2

Pag. 39

N <sub>id</sub>	$\gamma_k$ [N/m <sup>3</sup> ]	$\alpha_{T,i}$ [1/°C]	E [N/mm <sup>2</sup> ]	G [N/mm <sup>2</sup> ]	C <sub>Erid</sub> [%]	Stz	R <sub>ck</sub> [N/mm <sup>2</sup> ]	R <sub>cm</sub> [N/mm <sup>2</sup> ]	%R <sub>ck</sub>	$\gamma_c$	f <sub>cd</sub> [N/mm <sup>2</sup> ]	f <sub>ctd</sub> [N/mm <sup>2</sup> ]	f <sub>cfm</sub> [N/mm <sup>2</sup> ]	N	n Ac
<b>Clc C35/45_B450C - (C35/45)</b>															
002	25.000	0,000010	34.625	14.427	60	P	45,00	-	0,85	1,50	21,17	1,56	4,02	15	003

LEGENDA:

- N<sub>id</sub>** Numero identificativo del materiale, nella relativa tabella dei materiali.  
 **$\gamma_k$**  Peso specifico.  
 **$\alpha_{T,i}$**  Coefficiente di dilatazione termica.  
**E** Modulo elastico normale.  
**G** Modulo elastico tangenziale.  
**C<sub>Erid</sub>** Coefficiente di riduzione del Modulo elastico normale per Analisi Sismica [ $E_{sisma} = E \cdot C_{Erid}$ ].  
**Stz** Tipo di situazione: [F] = di Fatto (Esistente); [P] = di Progetto (Nuovo).  
**R<sub>ck</sub>** Resistenza caratteristica cubica.  
**R<sub>cm</sub>** Resistenza media cubica.  
**%R<sub>ck</sub>** Percentuale di riduzione della R<sub>ck</sub>  
 **$\gamma_c$**  Coefficiente parziale di sicurezza del materiale.  
**f<sub>cd</sub>** Resistenza di calcolo a compressione.  
**f<sub>ctd</sub>** Resistenza di calcolo a trazione.  
**f<sub>cfm</sub>** Resistenza media a trazione per flessione.  
**n Ac** Identificativo, nella relativa tabella materiali, dell'acciaio utilizzato: [-] = parametro NON significativo per il materiale.

MATERIALI ACCIAIO

N <sub>id</sub>	$\gamma_k$ [N/m <sup>3</sup> ]	$\alpha_{T,i}$ [1/°C]	E [N/mm <sup>2</sup> ]	G [N/mm <sup>2</sup> ]	Stz	Caratteristiche acciaio										
						f <sub>yk,1</sub> / f <sub>yk,2</sub> [N/mm <sup>2</sup> ]	f <sub>tk,1</sub> / f <sub>tk,2</sub> [N/mm <sup>2</sup> ]	f <sub>yd,1</sub> / f <sub>yd,2</sub> [N/mm <sup>2</sup> ]	f <sub>td</sub> [N/mm <sup>2</sup> ]	$\gamma_s$	$\gamma_{M1}$	$\gamma_{M2}$	$\gamma_{M3,SLV}$	$\gamma_{M3,SLE}$	$\gamma_{M7}$ NCnt Cnt	
<b>S235 - (S235)</b>																
001	78.500	0,000012	210.000	80.769	P	235,00 215,00	360 360	223,81 204,76	-	1,05	1,05	1,25	-	-	-	-
<b>Acciaio B450C - (B450C)</b>																
003	78.500	0,000010	210.000	80.769	P	450,00 -	-	391,30 -	-	1,15	-	-	-	-	-	-

LEGENDA:

- N<sub>id</sub>** Numero identificativo del materiale, nella relativa tabella dei materiali.  
 **$\gamma_k$**  Peso specifico.  
 **$\alpha_{T,i}$**  Coefficiente di dilatazione termica.  
**E** Modulo elastico normale.  
**G** Modulo elastico tangenziale.  
**Stz** Tipo di situazione: [F] = di Fatto (Esistente); [P] = di Progetto (Nuovo).  
**f<sub>yk,1</sub>** Resistenza caratteristica a Rottura (per profili con t ≤ 40 mm).  
**f<sub>tk,2</sub>** Resistenza caratteristica a Rottura (per profili con 40 mm < t ≤ 80 mm).  
**f<sub>td</sub>** Resistenza di calcolo a Rottura (Bulloni).  
 **$\gamma_s$**  Coefficiente parziale di sicurezza allo SLV del materiale.  
 **$\gamma_{M1}$**  Coefficiente parziale di sicurezza per instabilità.  
 **$\gamma_{M2}$**  Coefficiente parziale di sicurezza per sezioni tese indebolite.  
 **$\gamma_{M3,SLV}$**  Coefficiente parziale di sicurezza per scorrimento allo SLV (Bulloni).  
 **$\gamma_{M3,SLE}$**  Coefficiente parziale di sicurezza per scorrimento allo SLE (Bulloni).  
 **$\gamma_{M7}$**  Coefficiente parziale di sicurezza precarico di bulloni ad alta resistenza (Bulloni - NCnt = con serraggio NON controllato; Cnt = con serraggio controllato). [-] = parametro NON significativo per il materiale.  
**f<sub>yk,1</sub>** Resistenza caratteristica allo snervamento (per profili con t ≤ 40 mm).  
**f<sub>yk,2</sub>** Resistenza caratteristica allo snervamento (per profili con 40 mm < t ≤ 80 mm).  
**f<sub>yd,1</sub>** Resistenza di calcolo (per profili con t ≤ 40 mm).  
**f<sub>yd,2</sub>** Resistenza di calcolo (per profili con 40 mm < t ≤ 80 mm).  
**NOTE** [-] = Parametro non significativo per il materiale.

TENSIONI AMMISSIBILI ALLO SLE DEI VARI MATERIALI

Tensioni ammissibili allo SLE dei vari materiali			
Materiale	SL	Tensione di verifica	$\sigma_{d,amm}$ [N/mm <sup>2</sup> ]
Clc C35/45_B450C	Caratteristica(RARA) Quasi permanente	Compressione Calcestruzzo	22,41
		Compressione Calcestruzzo	16,81
Acciaio B450C	Caratteristica(RARA)	Trazione Acciaio	360,00

LEGENDA:

- SL** Stato limite di esercizio per cui si esegue la verifica.  
 **$\sigma_{d,amm}$**  Tensione ammissibile per la verifica.

Comm.: C20-025-S05

Il presente documento è di proprietà della ANTEX GROUP srl.  
È vietato la comunicazione a terzi o la riproduzione senza il permesso scritto della suddetta.  
La società tutela i propri diritti a rigore di Legge.





PARCO EOLICO DI "BUDDUSO"

RELAZIONE DI CALCOLO E TABULATI OPERE EDILI SSEU



Ingegneria & Innovazione

30/06/2023

REV: 2

Pag. 40

TERRENI

Table with columns: NTRN, gamma\_T, K1 (K1X, K1Y, K1Z), phi, Cu, c', Ed, Ecu, As-B. Row: Rocce tenere e depositi di terreni a grana grossa molto addensati o terreni a grana fina molto consistenti con spessori superiori a 30 m. Values: 29.000, 60, 60, 300, 36, 0,000, 0,000, 11, 0, 0,000.

LEGENDA:

- NTRN: Numero identificativo del terreno.
gamma\_T: Peso specifico del terreno.
K1: Valori della costante di Winkler riferita alla piastra Standard di lato b = 30 cm nelle direzioni degli assi del riferimento globale X (K1X), Y (K1Y), e Z (K1Z).
phi: Angolo di attrito del terreno.
Cu: Coesione non drenata.
c': Coesione efficace.
Ed: Modulo edometrico.
Ecu: Modulo elastico in condizione non drenate.
As-B: Parametro "A" di Skempton-Bjerrum per pressioni interstiziali.

SLU: Sismica - Strutturale senza azioni geotecniche

SLU: Sismica - Strutturale senza azioni geotecniche

Table with columns: IdComb, CC 01 (Carico Permanente), CC 02 (Permanenti NON Strutturali), CC 03 (Abitazioni), CC 04 (Autorimessa <= 30kN). Row 01: 1,00, 1,00, 0,30, 0,60.

LEGENDA:

- IdComb: Numero identificativo della Combinazione di Carico.
CC: Identificativo della tipologia di carico nella relativa tabella.
CC 01= Carico Permanente
CC 02= Permanenti NON Strutturali
CC 03= Abitazioni
CC 04= Autorimessa <= 30kN

COMBINAZIONI SISMICHE

Alle combinazioni riportate nella precedente tabella è stato aggiunto l'effetto del sisma. L'azione sismica è stata considerata come caratterizzata da tre componenti traslazionali lungo i tre assi globali X, Y e Z; la risposta della struttura è stata calcolata separatamente per i tre effetti e quindi combinata secondo la seguente espressione simbolica:

alpha = alpha\_i + 0,3 \* alpha\_ii + 0,3 \* alpha\_iii

con alpha effetto totale dell'azione sismica, alpha\_i, alpha\_ii e alpha\_iii azioni sismiche nelle tre direzioni. E' stata effettuata una rotazione degli indici e dei segni, per cui le combinazioni totali generate sono le:

(con alpha\_p sollecitazione dovuta alla combinazione delle condizioni statiche e alpha sollecitazione dovuta al sisma; in particolare alpha\_x, alpha\_y, alpha\_z, alpha\_ex, alpha\_ey sono rispettivamente le sollecitazioni dovute al sisma agente in direzione x, in direzioni y, in direzione z, per eccentricità accidentale positiva in direzione x e per eccentricità accidentale positiva in direzione y)

- 3) alpha'\_p + (alpha\_x + alpha\_ex) + 0,3 \* (alpha\_y + alpha\_ey) - 0,3 \* alpha\_z; 4) alpha'\_p + (alpha\_x + alpha\_ex) - 0,3 \* (alpha\_y + alpha\_ey) - 0,3 \* alpha\_z;
5) alpha'\_p + (alpha\_x + alpha\_ex) + 0,3 \* (alpha\_y - alpha\_ey) + 0,3 \* alpha\_z; 6) alpha'\_p + (alpha\_x + alpha\_ex) - 0,3 \* (alpha\_y - alpha\_ey) + 0,3 \* alpha\_z;
7) alpha'\_p + (alpha\_x - alpha\_ex) + 0,3 \* (alpha\_y - alpha\_ey) - 0,3 \* alpha\_z; 8) alpha'\_p + (alpha\_x - alpha\_ex) - 0,3 \* (alpha\_y - alpha\_ey) - 0,3 \* alpha\_z;
9) alpha'\_p + (alpha\_x - alpha\_ex) + 0,3 \* (alpha\_y + alpha\_ey) + 0,3 \* alpha\_z; 10) alpha'\_p + (alpha\_x - alpha\_ex) - 0,3 \* (alpha\_y + alpha\_ey) + 0,3 \* alpha\_z;
11) alpha'\_p + (alpha\_x - alpha\_ex) + 0,3 \* (alpha\_y + alpha\_ey) - 0,3 \* alpha\_z; 12) alpha'\_p + (alpha\_x - alpha\_ex) - 0,3 \* (alpha\_y + alpha\_ey) - 0,3 \* alpha\_z;
13) alpha'\_p + (alpha\_x - alpha\_ex) + 0,3 \* (alpha\_y - alpha\_ey) + 0,3 \* alpha\_z; 14) alpha'\_p + (alpha\_x - alpha\_ex) - 0,3 \* (alpha\_y - alpha\_ey) + 0,3 \* alpha\_z;
15) alpha'\_p + (alpha\_x - alpha\_ex) + 0,3 \* (alpha\_y - alpha\_ey) - 0,3 \* alpha\_z; 16) alpha'\_p + (alpha\_x - alpha\_ex) - 0,3 \* (alpha\_y - alpha\_ey) - 0,3 \* alpha\_z;
17) alpha'\_p + (alpha\_y + alpha\_ey) + 0,3 \* (alpha\_x + alpha\_ex) + 0,3 \* alpha\_z; 18) alpha'\_p + (alpha\_y + alpha\_ey) - 0,3 \* (alpha\_x + alpha\_ex) + 0,3 \* alpha\_z;
19) alpha'\_p + (alpha\_y + alpha\_ey) + 0,3 \* (alpha\_x - alpha\_ex) - 0,3 \* alpha\_z; 20) alpha'\_p + (alpha\_y + alpha\_ey) - 0,3 \* (alpha\_x - alpha\_ex) - 0,3 \* alpha\_z;
21) alpha'\_p + (alpha\_y + alpha\_ey) + 0,3 \* (alpha\_x - alpha\_ex) + 0,3 \* alpha\_z; 22) alpha'\_p + (alpha\_y + alpha\_ey) - 0,3 \* (alpha\_x - alpha\_ex) + 0,3 \* alpha\_z;
23) alpha'\_p + (alpha\_y - alpha\_ey) + 0,3 \* (alpha\_x - alpha\_ex) - 0,3 \* alpha\_z; 24) alpha'\_p + (alpha\_y - alpha\_ey) - 0,3 \* (alpha\_x - alpha\_ex) - 0,3 \* alpha\_z;
25) alpha'\_p + (alpha\_y - alpha\_ey) + 0,3 \* (alpha\_x + alpha\_ex) + 0,3 \* alpha\_z; 26) alpha'\_p + (alpha\_y - alpha\_ey) - 0,3 \* (alpha\_x + alpha\_ex) + 0,3 \* alpha\_z;
27) alpha'\_p + (alpha\_y - alpha\_ey) + 0,3 \* (alpha\_x + alpha\_ex) - 0,3 \* alpha\_z; 28) alpha'\_p + (alpha\_y - alpha\_ey) - 0,3 \* (alpha\_x + alpha\_ex) - 0,3 \* alpha\_z;
29) alpha'\_p + (alpha\_y - alpha\_ey) + 0,3 \* (alpha\_x - alpha\_ex) + 0,3 \* alpha\_z; 30) alpha'\_p + (alpha\_y - alpha\_ey) - 0,3 \* (alpha\_x - alpha\_ex) + 0,3 \* alpha\_z;
31) alpha'\_p + (alpha\_y - alpha\_ey) + 0,3 \* (alpha\_x - alpha\_ex) - 0,3 \* alpha\_z; 32) alpha'\_p + (alpha\_y - alpha\_ey) - 0,3 \* (alpha\_x - alpha\_ex) - 0,3 \* alpha\_z;
33) alpha'\_p + alpha\_z + 0,3 \* (alpha\_x + alpha\_ex) + 0,3 \* (alpha\_y + alpha\_ey); 34) alpha'\_p + alpha\_z - 0,3 \* (alpha\_x + alpha\_ex) + 0,3 \* (alpha\_y + alpha\_ey);

Comm.: C20-025-S05

Il presente documento è di proprietà della ANTEX GROUP srl. È vietato la comunicazione a terzi o la riproduzione senza il permesso scritto della suddetta. La società tutela i propri diritti a rigore di Legge.







PARCO EOLICO DI "BUDDUSO"

RELAZIONE DI CALCOLO E TABULATI OPERE EDILI SSEU



Ingegneria & Innovazione

30/06/2023

REV: 2

Pag. 41

- 35)  $\alpha'_p + \alpha_z + 0,3 \cdot (\alpha_x + \alpha_{ex}) - 0,3 \cdot (\alpha_y + \alpha_{ey})$ ; 36)  $\alpha'_p + \alpha_z - 0,3 \cdot (\alpha_x + \alpha_{ex}) - 0,3 \cdot (\alpha_y + \alpha_{ey})$ ;
- 37)  $\alpha'_p + \alpha_z + 0,3 \cdot (\alpha_x + \alpha_{ex}) + 0,3 \cdot (\alpha_y - \alpha_{ey})$ ; 38)  $\alpha'_p + \alpha_z - 0,3 \cdot (\alpha_x + \alpha_{ex}) + 0,3 \cdot (\alpha_y - \alpha_{ey})$ ;
- 39)  $\alpha'_p + \alpha_z + 0,3 \cdot (\alpha_x + \alpha_{ex}) - 0,3 \cdot (\alpha_y - \alpha_{ey})$ ; 40)  $\alpha'_p + \alpha_z - 0,3 \cdot (\alpha_x + \alpha_{ex}) - 0,3 \cdot (\alpha_y - \alpha_{ey})$ ;
- 41)  $\alpha'_p + \alpha_z + 0,3 \cdot (\alpha_x - \alpha_{ex}) + 0,3 \cdot (\alpha_y + \alpha_{ey})$ ; 42)  $\alpha'_p + \alpha_z - 0,3 \cdot (\alpha_x - \alpha_{ex}) + 0,3 \cdot (\alpha_y + \alpha_{ey})$ ;
- 43)  $\alpha'_p + \alpha_z + 0,3 \cdot (\alpha_x - \alpha_{ex}) - 0,3 \cdot (\alpha_y + \alpha_{ey})$ ; 44)  $\alpha'_p + \alpha_z - 0,3 \cdot (\alpha_x - \alpha_{ex}) - 0,3 \cdot (\alpha_y + \alpha_{ey})$ ;
- 45)  $\alpha'_p + \alpha_z + 0,3 \cdot (\alpha_x - \alpha_{ex}) + 0,3 \cdot (\alpha_y - \alpha_{ey})$ ; 46)  $\alpha'_p + \alpha_z - 0,3 \cdot (\alpha_x - \alpha_{ex}) + 0,3 \cdot (\alpha_y - \alpha_{ey})$ ;
- 47)  $\alpha'_p + \alpha_z + 0,3 \cdot (\alpha_x - \alpha_{ex}) - 0,3 \cdot (\alpha_y - \alpha_{ey})$ ; 48)  $\alpha'_p + \alpha_z - 0,3 \cdot (\alpha_x - \alpha_{ex}) - 0,3 \cdot (\alpha_y - \alpha_{ey})$ .

Nel caso di verifiche effettuate con sollecitazioni composte, per tenere conto del fatto che le sollecitazioni sismiche sono state ricavate come CQC delle sollecitazioni derivanti dai modi di vibrazione, dette N, Mx, My, Tx e Ty le sollecitazioni dovute al sisma, per ognuna delle combinazioni precedenti, sono state ricavate 32 combinazioni di carico permuotando nel seguente modo i segni delle sollecitazioni derivanti dal sisma:

- 1) N, Mx, My, Tx e Ty; 2) N, Mx, -My, Tx e Ty; 3) N, -Mx, My, Tx e Ty; 4) N, -Mx, -My, Tx e Ty; 5) -N, Mx, My, Tx e Ty; 6) -N, Mx, -My, Tx e Ty; 7) -N, -Mx, My, Tx e Ty; 8) -N, -Mx, -My, Tx e Ty; 9) N, Mx, My, Tx e -Ty; 10) N, Mx, -My, Tx e -Ty; 11) N, -Mx, My, Tx e -Ty; 12) N, -Mx, -My, Tx e -Ty; 13) -N, Mx, My, Tx e -Ty; 14) -N, Mx, -My, Tx e -Ty; 15) -N, -Mx, My, Tx e -Ty; 16) -N, -Mx, -My, Tx e -Ty; 17) N, Mx, My, -Tx e Ty; 18) N, Mx, -My, -Tx e Ty; 19) N, -Mx, My, -Tx e Ty; 20) N, -Mx, -My, -Tx e Ty; 21) -N, Mx, My, -Tx e Ty; 22) -N, Mx, -My, -Tx e Ty; 23) -N, -Mx, My, -Tx e Ty; 24) -N, -Mx, -My, -Tx e Ty; 25) N, Mx, My, -Tx e -Ty; 26) N, Mx, -My, -Tx e -Ty; 27) N, -Mx, My, -Tx e -Ty; 28) N, -Mx, -My, -Tx e -Ty; 29) -N, Mx, My, -Tx e -Ty; 30) -N, Mx, -My, -Tx e -Ty; 31) -N, -Mx, My, -Tx e -Ty; 32) -N, -Mx, -My, -Tx e -Ty.

COMBINAZIONI DI CARICO PER GEOTECNICA (Cedimenti)

		Combinazioni di carico per geotecnica (Cedimenti)
псmb	Comb	λ
001	SLE Rare:Carico Permanente * 1 + Permanenti NON Strutturali * 1 + Abitazioni * 0.7 + Autorimessa <= 30kN * 0.7	1,00
002	SLE Rare:Carico Permanente * 1 + Permanenti NON Strutturali * 1 + Abitazioni * 1 + Autorimessa <= 30kN * 0.7	1,00
003	SLE Rare:Carico Permanente * 1 + Permanenti NON Strutturali * 1 + Abitazioni * 0.7 + Autorimessa <= 30kN * 1	1,00
004	SLE Freq:Carico Permanente * 1 + Permanenti NON Strutturali * 1 + Abitazioni * 0.3 + Autorimessa <= 30kN * 0.6	1,00
005	SLE Freq:Carico Permanente * 1 + Permanenti NON Strutturali * 1 + Abitazioni * 0.5 + Autorimessa <= 30kN * 0.6	1,00
006	SLE Freq:Carico Permanente * 1 + Permanenti NON Strutturali * 1 + Abitazioni * 0.3 + Autorimessa <= 30kN * 0.7	1,00
007	SLE Perm:Carico Permanente * 1 + Permanenti NON Strutturali * 1 + Abitazioni * 0.3 + Autorimessa <= 30kN * 0.6	1,00

LEGENDA:

псmb Numero identificativo della Combinazione di Carico.

Comb Descrizione della Combinazione di Carico.

λ Moltiplicatore delle azioni orizzontali (λ=1 se tutte le azioni applicate sono in equilibrio con la reazione del terreno; λ<1 se la reazione del terreno è in grado di equilibrare solo un'aliquota delle azioni esterne).

COMBINAZIONI DI CARICO PER GEOTECNICA (Scorrimento)

		Combinazioni di carico per geotecnica (Scorrimento)
псmb	Comb	λ
001	SLU:Carico Permanente * 1	1,00
002	SLU:Carico Permanente * 1 + Permanenti NON Strutturali * 0.8	1,00
003	SLU:Carico Permanente * 1 + Permanenti NON Strutturali * 0.8 + Autorimessa <= 30kN * 1.05	1,00
004	SLU:Carico Permanente * 1 + Permanenti NON Strutturali * 0.8 + Abitazioni * 1.05	1,00
005	SLU:Carico Permanente * 1 + Permanenti NON Strutturali * 0.8 + Abitazioni * 1.05 + Autorimessa <= 30kN * 1.05	1,00
006	SLU:Carico Permanente * 1 + Permanenti NON Strutturali * 1.5	1,00
007	SLU:Carico Permanente * 1 + Permanenti NON Strutturali * 1.5 + Autorimessa <= 30kN * 1.05	1,00
008	SLU:Carico Permanente * 1 + Permanenti NON Strutturali * 1.5 + Abitazioni * 1.05	1,00
009	SLU:Carico Permanente * 1 + Permanenti NON Strutturali * 1.5 + Abitazioni * 1.05 + Autorimessa <= 30kN * 1.05	1,00
010	SLU:Carico Permanente * 1 + Permanenti NON Strutturali * 0.8 + Abitazioni * 1.5	1,00
011	SLU:Carico Permanente * 1 + Permanenti NON Strutturali * 0.8 + Abitazioni * 1.5 + Autorimessa <= 30kN * 1.05	1,00
012	SLU:Carico Permanente * 1 + Permanenti NON Strutturali * 1.5 + Abitazioni * 1.5	1,00
013	SLU:Carico Permanente * 1 + Permanenti NON Strutturali * 1.5 + Abitazioni * 1.5 + Autorimessa <= 30kN * 1.05	1,00
014	SLU:Carico Permanente * 1 + Permanenti NON Strutturali * 0.8 + Autorimessa <= 30kN * 1.5	1,00
015	SLU:Carico Permanente * 1 + Permanenti NON Strutturali * 0.8 + Abitazioni * 1.05 + Autorimessa <= 30kN * 1.5	1,00
016	SLU:Carico Permanente * 1 + Permanenti NON Strutturali * 1.5 + Autorimessa <= 30kN * 1.5	1,00
017	SLU:Carico Permanente * 1 + Permanenti NON Strutturali * 1.5 + Abitazioni * 1.05 + Autorimessa <= 30kN * 1.5	1,00
018	SLU:Carico Permanente * 1.3	1,00
019	SLU:Carico Permanente * 1.3 + Permanenti NON Strutturali * 0.8	1,00
020	SLU:Carico Permanente * 1.3 + Permanenti NON Strutturali * 0.8 + Autorimessa <= 30kN * 1.05	1,00
021	SLU:Carico Permanente * 1.3 + Permanenti NON Strutturali * 0.8 + Abitazioni * 1.05	1,00
022	SLU:Carico Permanente * 1.3 + Permanenti NON Strutturali * 0.8 + Abitazioni * 1.05 + Autorimessa <= 30kN * 1.05	1,00
023	SLU:Carico Permanente * 1.3 + Permanenti NON Strutturali * 1.5	1,00
024	SLU:Carico Permanente * 1.3 + Permanenti NON Strutturali * 1.5 + Autorimessa <= 30kN * 1.05	1,00
025	SLU:Carico Permanente * 1.3 + Permanenti NON Strutturali * 1.5 + Abitazioni * 1.05	1,00
026	SLU:Carico Permanente * 1.3 + Permanenti NON Strutturali * 1.5 + Abitazioni * 1.05 + Autorimessa <= 30kN * 1.05	1,00
027	SLU:Carico Permanente * 1.3 + Permanenti NON Strutturali * 0.8 + Abitazioni * 1.5	1,00

Comm.: C20-025-S05

Il presente documento è di proprietà della ANTEX GROUP srl. È vietato la comunicazione a terzi o la riproduzione senza il permesso scritto della suddetta. La società tutela i propri diritti a rigore di Legge.





PARCO EOLICO DI "BUDDUSO"

RELAZIONE DI CALCOLO E TABULATI OPERE EDILI SSEU



Ingegneria & Innovazione

30/06/2023

REV: 2

Pag. 42

Combinazioni di carico per geotecnica (Scorrimento)

PCMB	Comb	λ
028	SLU:Carico Permanente * 1.3 + Permanenti NON Strutturali * 0.8 + Abitazioni * 1.5 + Autorimessa <= 30kN * 1.05	1,00
029	SLU:Carico Permanente * 1.3 + Permanenti NON Strutturali * 1.5 + Abitazioni * 1.5	1,00
030	SLU:Carico Permanente * 1.3 + Permanenti NON Strutturali * 1.5 + Abitazioni * 1.5 + Autorimessa <= 30kN * 1.05	1,00
031	SLU:Carico Permanente * 1.3 + Permanenti NON Strutturali * 0.8 + Autorimessa <= 30kN * 1.5	1,00
032	SLU:Carico Permanente * 1.3 + Permanenti NON Strutturali * 0.8 + Abitazioni * 1.05 + Autorimessa <= 30kN * 1.5	1,00
033	SLU:Carico Permanente * 1.3 + Permanenti NON Strutturali * 1.5 + Autorimessa <= 30kN * 1.5	1,00
034	SLU:Carico Permanente * 1.3 + Permanenti NON Strutturali * 1.5 + Abitazioni * 1.05 + Autorimessa <= 30kN * 1.5	1,00
035	Sisma allo SLU: +1,00*Carico Permanente +1,00*Permanenti NON Strutturali +0,30*Abitazioni +0,60*Autorimessa <= 30kN + (Sx + ECx) + 0,3 * (Sy + ECy)	1,00
036	Sisma allo SLU: +1,00*Carico Permanente +1,00*Permanenti NON Strutturali +0,30*Abitazioni +0,60*Autorimessa <= 30kN + (Sx + ECx) - 0,3 * (Sy + ECy)	1,00
037	Sisma allo SLU: +1,00*Carico Permanente +1,00*Permanenti NON Strutturali +0,30*Abitazioni +0,60*Autorimessa <= 30kN + (Sx + ECx) + 0,3 * (Sy - ECy)	1,00
038	Sisma allo SLU: +1,00*Carico Permanente +1,00*Permanenti NON Strutturali +0,30*Abitazioni +0,60*Autorimessa <= 30kN + (Sx + ECx) - 0,3 * (Sy - ECy)	1,00
039	Sisma allo SLU: +1,00*Carico Permanente +1,00*Permanenti NON Strutturali +0,30*Abitazioni +0,60*Autorimessa <= 30kN + (Sx + ECx) + 0,3 * (-Sy + ECy)	1,00
040	Sisma allo SLU: +1,00*Carico Permanente +1,00*Permanenti NON Strutturali +0,30*Abitazioni +0,60*Autorimessa <= 30kN + (Sx + ECx) - 0,3 * (-Sy + ECy)	1,00
041	Sisma allo SLU: +1,00*Carico Permanente +1,00*Permanenti NON Strutturali +0,30*Abitazioni +0,60*Autorimessa <= 30kN + (Sx + ECx) + 0,3 * (-Sy - ECy)	1,00
042	Sisma allo SLU: +1,00*Carico Permanente +1,00*Permanenti NON Strutturali +0,30*Abitazioni +0,60*Autorimessa <= 30kN + (Sx + ECx) - 0,3 * (-Sy - ECy)	1,00
043	Sisma allo SLU: +1,00*Carico Permanente +1,00*Permanenti NON Strutturali +0,30*Abitazioni +0,60*Autorimessa <= 30kN + (-Sx + ECx) + 0,3 * (Sy + ECy)	1,00
044	Sisma allo SLU: +1,00*Carico Permanente +1,00*Permanenti NON Strutturali +0,30*Abitazioni +0,60*Autorimessa <= 30kN + (-Sx + ECx) - 0,3 * (Sy + ECy)	1,00
045	Sisma allo SLU: +1,00*Carico Permanente +1,00*Permanenti NON Strutturali +0,30*Abitazioni +0,60*Autorimessa <= 30kN + (-Sx + ECx) + 0,3 * (Sy - ECy)	1,00
046	Sisma allo SLU: +1,00*Carico Permanente +1,00*Permanenti NON Strutturali +0,30*Abitazioni +0,60*Autorimessa <= 30kN + (-Sx + ECx) - 0,3 * (Sy - ECy)	1,00
047	Sisma allo SLU: +1,00*Carico Permanente +1,00*Permanenti NON Strutturali +0,30*Abitazioni +0,60*Autorimessa <= 30kN + (-Sx + ECx) + 0,3 * (-Sy + ECy)	1,00
048	Sisma allo SLU: +1,00*Carico Permanente +1,00*Permanenti NON Strutturali +0,30*Abitazioni +0,60*Autorimessa <= 30kN + (-Sx + ECx) - 0,3 * (-Sy + ECy)	1,00
049	Sisma allo SLU: +1,00*Carico Permanente +1,00*Permanenti NON Strutturali +0,30*Abitazioni +0,60*Autorimessa <= 30kN + (-Sx + ECx) + 0,3 * (-Sy - ECy)	1,00
050	Sisma allo SLU: +1,00*Carico Permanente +1,00*Permanenti NON Strutturali +0,30*Abitazioni +0,60*Autorimessa <= 30kN + (-Sx + ECx) - 0,3 * (-Sy - ECy)	1,00
051	Sisma allo SLU: +1,00*Carico Permanente +1,00*Permanenti NON Strutturali +0,30*Abitazioni +0,60*Autorimessa <= 30kN + (Sx - ECx) + 0,3 * (Sy + ECy)	1,00
052	Sisma allo SLU: +1,00*Carico Permanente +1,00*Permanenti NON Strutturali +0,30*Abitazioni +0,60*Autorimessa <= 30kN + (Sx - ECx) - 0,3 * (Sy + ECy)	1,00
053	Sisma allo SLU: +1,00*Carico Permanente +1,00*Permanenti NON Strutturali +0,30*Abitazioni +0,60*Autorimessa <= 30kN + (Sx - ECx) + 0,3 * (Sy - ECy)	1,00
054	Sisma allo SLU: +1,00*Carico Permanente +1,00*Permanenti NON Strutturali +0,30*Abitazioni +0,60*Autorimessa <= 30kN + (Sx - ECx) - 0,3 * (Sy - ECy)	1,00
055	Sisma allo SLU: +1,00*Carico Permanente +1,00*Permanenti NON Strutturali +0,30*Abitazioni +0,60*Autorimessa <= 30kN + (Sx - ECx) + 0,3 * (-Sy + ECy)	1,00
056	Sisma allo SLU: +1,00*Carico Permanente +1,00*Permanenti NON Strutturali +0,30*Abitazioni +0,60*Autorimessa <= 30kN + (Sx - ECx) - 0,3 * (-Sy + ECy)	1,00
057	Sisma allo SLU: +1,00*Carico Permanente +1,00*Permanenti NON Strutturali +0,30*Abitazioni +0,60*Autorimessa <= 30kN + (Sx - ECx) + 0,3 * (-Sy - ECy)	1,00
058	Sisma allo SLU: +1,00*Carico Permanente +1,00*Permanenti NON Strutturali +0,30*Abitazioni +0,60*Autorimessa <= 30kN + (Sx - ECx) - 0,3 * (-Sy - ECy)	1,00
059	Sisma allo SLU: +1,00*Carico Permanente +1,00*Permanenti NON Strutturali +0,30*Abitazioni +0,60*Autorimessa <= 30kN + (-Sx - ECx) + 0,3 * (Sy + ECy)	1,00
060	Sisma allo SLU: +1,00*Carico Permanente +1,00*Permanenti NON Strutturali +0,30*Abitazioni +0,60*Autorimessa <= 30kN + (-Sx - ECx) - 0,3 * (Sy + ECy)	1,00
061	Sisma allo SLU: +1,00*Carico Permanente +1,00*Permanenti NON Strutturali +0,30*Abitazioni +0,60*Autorimessa <= 30kN + (-Sx - ECx) + 0,3 * (Sy - ECy)	1,00
062	Sisma allo SLU: +1,00*Carico Permanente +1,00*Permanenti NON Strutturali +0,30*Abitazioni +0,60*Autorimessa <= 30kN + (-Sx - ECx) - 0,3 * (Sy - ECy)	1,00
063	Sisma allo SLU: +1,00*Carico Permanente +1,00*Permanenti NON Strutturali +0,30*Abitazioni +0,60*Autorimessa <= 30kN + (-Sx - ECx) + 0,3 * (-Sy + ECy)	1,00
064	Sisma allo SLU: +1,00*Carico Permanente +1,00*Permanenti NON Strutturali +0,30*Abitazioni +0,60*Autorimessa <= 30kN + (-Sx - ECx) - 0,3 * (-Sy + ECy)	1,00

Comm.: C20-025-S05

Il presente documento è di proprietà della ANTEX GROUP srl. È vietato la comunicazione a terzi o la riproduzione senza il permesso scritto della suddetta. La società tutela i propri diritti a rigore di Legge.



**PARCO EOLICO DI "BUDDUSO"****RELAZIONE DI CALCOLO E TABULATI OPERE EDILI  
SSEU**

Ingegneria &amp; Innovazione

30/06/2023

REV: 2

Pag. 43

**Combinazioni di carico per geotecnica (Scorrimento)**

PSMB	Comb	$\lambda$
065	Sisma allo SLU: +1,00*Carico Permanente +1,00*Permanenti NON Strutturali +0,30*Abitazioni +0,60*Autorimessa $\leq 30kN + (-S_x - EC_x) + 0,3 * (-S_y - EC_y)$	1,00
066	Sisma allo SLU: +1,00*Carico Permanente +1,00*Permanenti NON Strutturali +0,30*Abitazioni +0,60*Autorimessa $\leq 30kN + (-S_x - EC_x) - 0,3 * (-S_y - EC_y)$	1,00
067	Sisma allo SLU: +1,00*Carico Permanente +1,00*Permanenti NON Strutturali +0,30*Abitazioni +0,60*Autorimessa $\leq 30kN + (S_y + EC_y) + 0,3 * (S_x + EC_x)$	1,00
068	Sisma allo SLU: +1,00*Carico Permanente +1,00*Permanenti NON Strutturali +0,30*Abitazioni +0,60*Autorimessa $\leq 30kN + (S_y + EC_y) - 0,3 * (S_x + EC_x)$	1,00
069	Sisma allo SLU: +1,00*Carico Permanente +1,00*Permanenti NON Strutturali +0,30*Abitazioni +0,60*Autorimessa $\leq 30kN + (S_y + EC_y) + 0,3 * (S_x - EC_x)$	1,00
070	Sisma allo SLU: +1,00*Carico Permanente +1,00*Permanenti NON Strutturali +0,30*Abitazioni +0,60*Autorimessa $\leq 30kN + (S_y + EC_y) - 0,3 * (S_x - EC_x)$	1,00
071	Sisma allo SLU: +1,00*Carico Permanente +1,00*Permanenti NON Strutturali +0,30*Abitazioni +0,60*Autorimessa $\leq 30kN + (S_y + EC_y) + 0,3 * (-S_x + EC_x)$	1,00
072	Sisma allo SLU: +1,00*Carico Permanente +1,00*Permanenti NON Strutturali +0,30*Abitazioni +0,60*Autorimessa $\leq 30kN + (S_y + EC_y) - 0,3 * (-S_x + EC_x)$	1,00
073	Sisma allo SLU: +1,00*Carico Permanente +1,00*Permanenti NON Strutturali +0,30*Abitazioni +0,60*Autorimessa $\leq 30kN + (S_y + EC_y) + 0,3 * (-S_x - EC_x)$	1,00
074	Sisma allo SLU: +1,00*Carico Permanente +1,00*Permanenti NON Strutturali +0,30*Abitazioni +0,60*Autorimessa $\leq 30kN + (S_y + EC_y) - 0,3 * (-S_x - EC_x)$	1,00
075	Sisma allo SLU: +1,00*Carico Permanente +1,00*Permanenti NON Strutturali +0,30*Abitazioni +0,60*Autorimessa $\leq 30kN + (-S_y + EC_y) + 0,3 * (S_x + EC_x)$	1,00
076	Sisma allo SLU: +1,00*Carico Permanente +1,00*Permanenti NON Strutturali +0,30*Abitazioni +0,60*Autorimessa $\leq 30kN + (-S_y + EC_y) - 0,3 * (S_x + EC_x)$	1,00
077	Sisma allo SLU: +1,00*Carico Permanente +1,00*Permanenti NON Strutturali +0,30*Abitazioni +0,60*Autorimessa $\leq 30kN + (-S_y + EC_y) + 0,3 * (S_x - EC_x)$	1,00
078	Sisma allo SLU: +1,00*Carico Permanente +1,00*Permanenti NON Strutturali +0,30*Abitazioni +0,60*Autorimessa $\leq 30kN + (-S_y + EC_y) - 0,3 * (S_x - EC_x)$	1,00
079	Sisma allo SLU: +1,00*Carico Permanente +1,00*Permanenti NON Strutturali +0,30*Abitazioni +0,60*Autorimessa $\leq 30kN + (-S_y + EC_y) + 0,3 * (-S_x + EC_x)$	1,00
080	Sisma allo SLU: +1,00*Carico Permanente +1,00*Permanenti NON Strutturali +0,30*Abitazioni +0,60*Autorimessa $\leq 30kN + (-S_y + EC_y) - 0,3 * (-S_x + EC_x)$	1,00
081	Sisma allo SLU: +1,00*Carico Permanente +1,00*Permanenti NON Strutturali +0,30*Abitazioni +0,60*Autorimessa $\leq 30kN + (-S_y + EC_y) + 0,3 * (-S_x - EC_x)$	1,00
082	Sisma allo SLU: +1,00*Carico Permanente +1,00*Permanenti NON Strutturali +0,30*Abitazioni +0,60*Autorimessa $\leq 30kN + (-S_y + EC_y) - 0,3 * (-S_x - EC_x)$	1,00
083	Sisma allo SLU: +1,00*Carico Permanente +1,00*Permanenti NON Strutturali +0,30*Abitazioni +0,60*Autorimessa $\leq 30kN + (S_y - EC_y) + 0,3 * (S_x + EC_x)$	1,00
084	Sisma allo SLU: +1,00*Carico Permanente +1,00*Permanenti NON Strutturali +0,30*Abitazioni +0,60*Autorimessa $\leq 30kN + (S_y - EC_y) - 0,3 * (S_x + EC_x)$	1,00
085	Sisma allo SLU: +1,00*Carico Permanente +1,00*Permanenti NON Strutturali +0,30*Abitazioni +0,60*Autorimessa $\leq 30kN + (S_y - EC_y) + 0,3 * (S_x - EC_x)$	1,00
086	Sisma allo SLU: +1,00*Carico Permanente +1,00*Permanenti NON Strutturali +0,30*Abitazioni +0,60*Autorimessa $\leq 30kN + (S_y - EC_y) - 0,3 * (S_x - EC_x)$	1,00
087	Sisma allo SLU: +1,00*Carico Permanente +1,00*Permanenti NON Strutturali +0,30*Abitazioni +0,60*Autorimessa $\leq 30kN + (S_y - EC_y) + 0,3 * (-S_x + EC_x)$	1,00
088	Sisma allo SLU: +1,00*Carico Permanente +1,00*Permanenti NON Strutturali +0,30*Abitazioni +0,60*Autorimessa $\leq 30kN + (S_y - EC_y) - 0,3 * (-S_x + EC_x)$	1,00
089	Sisma allo SLU: +1,00*Carico Permanente +1,00*Permanenti NON Strutturali +0,30*Abitazioni +0,60*Autorimessa $\leq 30kN + (S_y - EC_y) + 0,3 * (-S_x - EC_x)$	1,00
090	Sisma allo SLU: +1,00*Carico Permanente +1,00*Permanenti NON Strutturali +0,30*Abitazioni +0,60*Autorimessa $\leq 30kN + (S_y - EC_y) - 0,3 * (-S_x - EC_x)$	1,00
091	Sisma allo SLU: +1,00*Carico Permanente +1,00*Permanenti NON Strutturali +0,30*Abitazioni +0,60*Autorimessa $\leq 30kN + (-S_y - EC_y) + 0,3 * (S_x + EC_x)$	1,00
092	Sisma allo SLU: +1,00*Carico Permanente +1,00*Permanenti NON Strutturali +0,30*Abitazioni +0,60*Autorimessa $\leq 30kN + (-S_y - EC_y) - 0,3 * (S_x + EC_x)$	1,00
093	Sisma allo SLU: +1,00*Carico Permanente +1,00*Permanenti NON Strutturali +0,30*Abitazioni +0,60*Autorimessa $\leq 30kN + (-S_y - EC_y) + 0,3 * (S_x - EC_x)$	1,00
094	Sisma allo SLU: +1,00*Carico Permanente +1,00*Permanenti NON Strutturali +0,30*Abitazioni +0,60*Autorimessa $\leq 30kN + (-S_y - EC_y) - 0,3 * (S_x - EC_x)$	1,00
095	Sisma allo SLU: +1,00*Carico Permanente +1,00*Permanenti NON Strutturali +0,30*Abitazioni +0,60*Autorimessa $\leq 30kN + (-S_y - EC_y) + 0,3 * (-S_x + EC_x)$	1,00
096	Sisma allo SLU: +1,00*Carico Permanente +1,00*Permanenti NON Strutturali +0,30*Abitazioni +0,60*Autorimessa $\leq 30kN + (-S_y - EC_y) - 0,3 * (-S_x + EC_x)$	1,00
097	Sisma allo SLU: +1,00*Carico Permanente +1,00*Permanenti NON Strutturali +0,30*Abitazioni +0,60*Autorimessa $\leq 30kN + (-S_y - EC_y) + 0,3 * (-S_x - EC_x)$	1,00
098	Sisma allo SLU: +1,00*Carico Permanente +1,00*Permanenti NON Strutturali +0,30*Abitazioni +0,60*Autorimessa $\leq 30kN + (-S_y - EC_y) - 0,3 * (-S_x - EC_x)$	1,00

Comm.: C20-025-S05

Il presente documento è di proprietà della ANTEX GROUP srl.  
È vietato la comunicazione a terzi o la riproduzione senza il permesso scritto della suddetta.  
La società tutela i propri diritti a rigore di Legge.



**PARCO EOLICO DI "BUDDUSO"****RELAZIONE DI CALCOLO E TABULATI OPERE EDILI  
SSEU**

Ingegneria &amp; Innovazione

30/06/2023

REV: 2

Pag. 44

**Combinazioni di carico per geotecnica (Scorrimento)**

PCMB	Comb	$\lambda$
	(-Sx - ECx)	

**LEGENDA:****PCMB** Numero identificativo della Combinazione di Carico.**Comb** Descrizione della Combinazione di Carico. **$\lambda$**  Moltiplicatore delle azioni orizzontali ( $\lambda=1$  se tutte le azioni applicate sono in equilibrio con la reazione del terreno;  $\lambda < 1$  se la reazione del terreno è in grado di equilibrare solo un'aliquota delle azioni esterne).**DATI GENERALI ANALISI SISMICA****Dati generali analisi sismica**

Ang	NV	CD	MP	Dir	TS	EcA	I <sub>r</sub> Temp	C.S.T.	RP	RH	$\xi$
[°]											[%]
0	-	B	ca	X Y	[PI] [PI]	N	N	B	NO	SI	5

**LEGENDA:****Ang** Direzione di una componente dell'azione sismica rispetto all'asse X (sistema di riferimento globale); la seconda componente dell'azione sismica e' assunta con direzione ruotata di 90 gradi rispetto alla prima.**NV** Nel caso di analisi dinamica, indica il numero di modi di vibrazione considerati.**CD** Classe di duttilità: [A] = Alta - [B] = Media - [ND] = Non Dissipativa - [-] = Nessuna.**MP** Tipo di struttura sismo-resistente prevalente: [ca] = calcestruzzo armato - [caOld] = calcestruzzo armato esistente - [muOld] = muratura esistente - [muNew] = muratura nuova - [muArm] = muratura armata - [ac] = acciaio.**Dir** Direzione del sisma.**TS** Tipologia della struttura:

Cemento armato: [T 1C] = Telai ad una sola campata - [T+C] = Telai a più campate - [P] = Pareti accoppiate o miste equivalenti a pareti - [2P NC] = Due pareti per direzione non accoppiate - [P NC] = Pareti non accoppiate - [DT] = Deformabili torsionalmente - [PI] = Pendolo inverso - [PM] = Pendolo inverso intelaiate monopiano;

Muratura: [P] = un solo piano - [PP] = più di un piano - [C-P/MP] = muratura in pietra e/o mattoni pieni - [C-BAS] = muratura in blocchi artificiali con percentuale di foratura &gt; 15%;

Acciaio: [T 1C] = Telai ad una sola campata - [T+C] = Telai a più campate - [CT] = controventi concentrici diagonale tesa - [CV] = controventi concentrici a V - [M] = mensola o pendolo inverso - [TT] = telaio con tamponature.

**EcA** Eccentricità accidentale: [S] = considerata come condizione di carico statica aggiuntiva - [N] = Considerata come incremento delle sollecitazioni.**I<sub>r</sub>Temp** Per piani con distribuzione dei tamponamenti in pianta fortemente irregolare, l'eccentricità accidentale è stata incrementata di un fattore pari a 2: [SI] = Distribuzione tamponamenti irregolare fortemente - [NO] = Distribuzione tamponamenti regolare.**C.S.T.** Categoria di sottosuolo: [A] = Ammassi rocciosi affioranti o terreni molto rigidi - [B] = Rocce tenere e depositi di terreni a grana grossa molto addensati o terreni a grana fina molto consistenti - [C] = Depositi di terreni a grana grossa mediamente addensati o terreni a grana fina mediamente consistenti - [D] = Depositi di terreni a grana grossa scarsamente addensati o di terreni a grana fina scarsamente consistenti - [E] = Terreni con caratteristiche e valori di velocità equivalente riconducibili a quelle definite per le categorie C o D.**RP** Regolarità in pianta: [SI] = Struttura regolare - [NO] = Struttura non regolare.**RH** Regolarità in altezza: [SI] = Struttura regolare - [NO] = Struttura non regolare. **$\xi$**  Coefficiente viscoso equivalente.**NOTE** [-] = Parametro non significativo per il tipo di calcolo effettuato.**FATTORI DI COMPORTAMENTO****Fattori di comportamento**

Dir	q'	q	q <sub>0</sub>	K <sub>R</sub>	$\alpha_u/\alpha_1$	k <sub>w</sub>
X	-	1,500	1,50	1,00	1,00	-
Y	-	1,500	1,50	1,00	1,00	-
Z	-	1,500	-	-	-	-

**LEGENDA:****q'** Fattore di riduzione dello spettro di risposta sismico allo SLU ridotto (Fattore di comportamento ridotto - relazione C7.3.1 circolare NTC)**q** Fattore di riduzione dello spettro di risposta sismico allo SLU (Fattore di comportamento).**q<sub>0</sub>** Valore di base (comprensivo di k<sub>w</sub>).**K<sub>R</sub>** Fattore riduttivo funzione della regolarità in altezza : pari ad 1 per costruzioni regolari in altezza, 0,8 per costruzioni non regolari in altezza, e 0,75 per costruzioni in muratura esistenti non regolari in altezza (§ C8.5.5.1).. **$\alpha_u/\alpha_1$**  Rapporto di sovraresistenza.**k<sub>w</sub>** Fattore di riduzione di q<sub>0</sub>.**PARAMETRI PER LA DEFINIZIONE DELL'AZIONE SISMICA****Parametri per la definizione dell'azione sismica**

Stato Limite	T <sub>r</sub>	a <sub>g</sub> /g	Amplif. Stratigrafica	F <sub>0</sub>	T <sup>*</sup> <sub>c</sub>	T <sub>B</sub>	T <sub>C</sub>	T <sub>D</sub>
	[t]		S <sub>s</sub> C <sub>c</sub>		[s]	[s]	[s]	[s]

Comm.: C20-025-S05

Il presente documento è di proprietà della ANTEX GROUP srl.  
È vietato la comunicazione a terzi o la riproduzione senza il permesso scritto della suddetta.  
La società tutela i propri diritti a rigore di Legge.





PARCO EOLICO DI "BUDDUSO"

RELAZIONE DI CALCOLO E TABULATI OPERE EDILI  
SSEU



Ingegneria & Innovazione

30/06/2023

REV: 2

Pag. 45

Parametri per la definizione dell'azione sismica

Stato Limite	T <sub>r</sub> [t]	a <sub>g</sub> /g	Amplif. Stratigrafica		F <sub>0</sub>	T <sup>*</sup> <sub>c</sub> [s]	T <sub>B</sub> [s]	T <sub>c</sub> [s]	T <sub>D</sub> [s]
			S <sub>s</sub>	C <sub>c</sub>					
SLO	30	0,0186	1,200	1,426	2,610	0,273	0,130	0,389	1,674
SLD	35	0,0200	1,200	1,419	2,628	0,280	0,132	0,397	1,680
SLV	332	0,0452	1,200	1,371	2,855	0,332	0,152	0,456	1,781
SLC	682	0,0549	1,200	1,353	2,930	0,356	0,160	0,481	1,820

LEGENDA:

- T<sub>r</sub>** Periodo di ritorno dell'azione sismica. [t] = anni.  
**a<sub>g</sub>/g** Coefficiente di accelerazione al suolo.  
**S<sub>s</sub>** Coefficienti di Amplificazione Stratigrafica allo SLO/SLD/SLV/SLC.  
**C<sub>c</sub>** Coefficienti di Amplificazione di T<sub>c</sub> allo SLO/SLD/SLV/SLC.  
**F<sub>0</sub>** Valore massimo del fattore di amplificazione dello spettro in accelerazione orizzontale.  
**T<sup>\*</sup><sub>c</sub>** Periodo di inizio del tratto a velocità costante dello spettro in accelerazione orizzontale.  
**T<sub>B</sub>** Periodo di inizio del tratto accelerazione costante dello spettro di progetto.  
**T<sub>c</sub>** Periodo di inizio del tratto a velocità costante dello spettro di progetto.  
**T<sub>D</sub>** Periodo di inizio del tratto a spostamento costante dello spettro di progetto.

DATI DEL SITO E DELL'OPERA

Cl Ed	V <sub>N</sub> [t]	V <sub>R</sub> [t]	Lat. [°ssdc]	Long. [°ssdc]	Q <sub>g</sub> [m]	Dati del sito e dell'opera	
						CTop	S <sub>T</sub>
1	50	35	40.546214	9.222380	632	T1	1,00

LEGENDA:

- Cl Ed** Classe dell'edificio  
**V<sub>N</sub>** Vita nominale ([t] = anni).  
**V<sub>R</sub>** Periodo di riferimento. [t] = anni.  
**Lat.** Latitudine geografica del sito.  
**Long.** Longitudine geografica del sito.  
**Q<sub>g</sub>** Altitudine geografica del sito.  
**CTop** Categoria topografica (Vedi NOTE).  
**S<sub>T</sub>** Coefficiente di amplificazione topografica.  
**NOTE** [-] = Parametro non significativo per il tipo di calcolo effettuato.  
 Categoria topografica.  
 T1: Superficie pianeggiante, pendii e rilievi isolati con inclinazione media i <= 15°.  
 T2: Pendii con inclinazione media i > 15°.  
 T3: Rilievi con larghezza in cresta molto minore che alla base e inclinazione media 15° <= i <= 30°.  
 T4: Rilievi con larghezza in cresta molto minore che alla base e inclinazione media i > 30°.

PRINCIPALI ELEMENTI ANALISI SISMICA

Dir	M <sub>Str</sub> [N-s <sup>2</sup> /m]	M <sub>SLU</sub> [N-s <sup>2</sup> /m]	M <sub>Ecc,SLU</sub> [N-s <sup>2</sup> /m]	M <sub>SLD</sub> [N-s <sup>2</sup> /m]	M <sub>Ecc,SLD</sub> [N-s <sup>2</sup> /m]	%T.M <sub>Ecc</sub> [%]	ΣV <sub>Ed,SLU</sub> [N]
X	6.471.454	104	0	104	0	0,00	93
Y	6.471.454	104	0	104	0	0,00	93
Z	6.471.454	0	0	0	0	0,00	0

LEGENDA:

- Dir** Direzione del sisma.  
**M<sub>Str</sub>** Massa complessiva della struttura.  
**M<sub>SLU</sub>** Massa eccitabile allo SLU.  
**M<sub>Ecc,SLU</sub>** Massa Eccitata dal sisma allo SLU.  
**M<sub>SLD</sub>** Massa eccitabile della struttura allo SLD, nelle direzioni X, Y, Z.  
**M<sub>Ecc,SLD</sub>** Massa Eccitata dal sisma allo SLD.  
**%T.M<sub>Ecc</sub>** Percentuale Totale di Masse Eccitate dal sisma.  
**ΣV<sub>Ed,SLU</sub>** Tagliante totale, alla base, per sisma allo SLU.

PLATEE

Lv	N <sub>id</sub>	Sp [m]	A <sub>EI</sub> [m <sup>2</sup> ]	M <sub>trl</sub>	Id <sub>Ter</sub>	Clc Fnd	C <sub>rid,v</sub>	C <sub>rid,h</sub>
Fondazione	1	4,00	533,84	002	T001	SI	0,256	1,000
<b>SHELL</b>								
[00537-00162-00163]	[00880-00851-00879]	[00059-00060-00992]	[00309-00151-00152]	[00059-01021-00058]	[00908-00879-00181]			
[00059-00992-01021]	[00060-00964-00992]	[00057-01049-00056]	[00309-00150-00151]	[00057-01021-01049]	[00057-00058-01021]			

Comm.: C20-025-S05

Il presente documento è di proprietà della ANTEX GROUP srl.  
 È vietato la comunicazione a terzi o la riproduzione senza il permesso scritto della suddetta.  
 La società tutela i propri diritti a rigore di Legge.





PARCO EOLICO DI "BUDDUSO"

RELAZIONE DI CALCOLO E TABULATI OPERE EDILI SSEU



Ingegneria & Innovazione

30/06/2023

REV: 2

Pag. 46

Platee								
Lv	Nid	Sp	Aei	Mtrl	IdTer	Cic Fnd	Crid,v	Crid,h
		[m]	[m <sup>2</sup> ]					
[00060-00061-00964]	[00826-00797-00825]	[00064-00065-00878]	[00195-00193-00145]	[00064-00878-00907]	[00195-00145-00146]			
[00061-00062-00935]	[00061-00935-00964]	[00062-00907-00935]	[00082-00536-00081]	[00853-00852-00881]	[00822-00176-00177]			
[00085-00086-00451]	[00085-00451-00479]	[00338-00153-00366]	[00252-00148-00149]	[00486-00457-00485]	[00084-00479-00508]			
[00252-00147-00148]	[00085-00479-00084]	[00054-01106-00053]	[00054-01078-01106]	[00082-00508-00536]	[00194-00190-00006]			
[00083-00084-00508]	[00718-00717-00746]	[00880-00879-00908]	[00083-00508-00082]	[00708-00171-00172]	[00737-00173-00765]			
[00053-01106-00191]	[00069-00793-00068]	[00076-00077-00650]	[00076-00679-00075]	[00076-00650-00679]	[00594-00164-00165]			
[00069-00070-00793]	[000794-00765-00175]	[00072-00736-00071]	[00072-00073-00736]	[00073-00707-00736]	[00070-00764-00793]			
[00540-00511-00539]	[00070-00071-00764]	[00071-00736-00764]	[00077-00622-00650]	[00651-00167-00168]	[00143-00144-00195]			
[00881-00880-00909]	[00068-00793-00821]	[00077-00078-00622]	[00395-00156-00423]	[00056-01049-01078]	[00074-00679-00707]			
[01079-01050-00189]	[00074-00707-00073]	[00509-00480-00161]	[00005-00191-00052]	[00063-00907-00062]	[00425-00396-00424]			
[00065-00850-00878]	[00067-00850-00066]	[00080-00565-00593]	[00651-00168-00169]	[00737-00172-00173]	[00680-00170-00708]			
[00081-00536-00565]	[00480-00159-00160]	[01051-01050-01079]	[00054-00055-01078]	[00680-00651-00169]	[00851-00179-00879]			
[00193-00003-00145]	[00094-00300-00308]	[00623-00594-00166]	[00594-00165-00166]	[00881-00852-00880]	[00224-00195-00146]			
[01079-00190-00194]	[00366-00153-00154]	[00395-00155-00156]	[00366-00154-00155]	[00936-00182-00183]	[00226-00197-00225]			
[00142-00143-00196]	[00092-00337-00091]	[01050-00188-00189]	[01050-00187-00188]	[00680-00169-00170]	[00993-00184-00185]			
[00993-00185-00186]	[01022-00993-00186]	[00423-00156-00157]	[00224-00146-00147]	[00144-00193-00195]	[00144-00003-00193]			
[00566-00164-00594]	[01051-01022-01050]	[00566-00537-00163]	[00822-00177-00178]	[00281-00252-00149]	[00423-00157-00158]			
[00281-00149-00150]	[00765-00173-00174]	[01022-00186-00187]	[00765-00174-00175]	[00623-00166-00167]	[00853-00824-00852]			
[00090-00365-00394]	[00879-00180-00181]	[00480-00160-00161]	[00794-00176-00822]	[00851-00178-00179]	[00007-00194-00006]			
[00879-00179-00180]	[00708-00170-00171]	[01079-00189-00190]	[01022-00187-01050]	[00965-00936-00183]	[00965-00184-00993]			
[00965-00183-00184]	[00794-00175-00176]	[00509-00161-00162]	[00509-00162-00537]	[00090-00091-00365]	[00452-00159-00480]			
[00452-00423-00158]	[00452-00158-00159]	[00008-01079-00007]	[00224-00147-00252]	[00566-00163-00164]	[00823-00822-00851]			
[00338-00309-00152]	[00737-00708-00172]	[00884-00855-00883]	[00281-00150-00309]	[00908-00182-00936]	[00823-00794-00822]			
[00090-00394-00089]	[00908-00181-00182]	[00338-00152-00153]	[00624-00623-00652]	[00395-00366-00155]	[00226-00225-00254]			
[00091-00337-00365]	[01079-00194-00007]	[00738-00737-00766]	[00624-00595-00623]	[00140-00141-00197]	[00623-00167-00651]			
[00966-00937-00965]	[00851-00822-00178]	[00738-00709-00737]	[00510-00509-00538]	[00994-00993-01022]	[00994-00965-00993]			
[00424-00423-00452]	[00424-00395-00423]	[00098-00192-00223]	[00369-00368-00397]	[00010-01080-00009]	[00367-00338-00366]			
[00367-00366-00395]	[00369-00340-00368]	[00310-00281-00309]	[00310-00309-00338]	[00481-00480-00509]	[00481-00452-00480]			
[00004-00099-00192]	[00681-00680-00709]	[00595-00594-00623]	[00595-00566-00594]	[00652-00651-00680]	[00652-00623-00651]			
[00709-00708-00737]	[00709-00680-00708]	[00910-00909-00938]	[00766-00765-00794]	[00766-00737-00765]	[00538-00509-00537]			
[00538-00537-00566]	[00253-00224-00252]	[00253-00252-00281]	[00937-00936-00965]	[00937-00908-00936]	[00196-00195-00224]			
[00196-00143-00195]	[00510-00481-00509]	[00910-00881-00909]	[00425-00424-00453]	[00012-01081-00011]	[00681-00652-00680]			
[00225-00224-00253]	[00225-00196-00224]	[00597-00596-00625]	[00795-00794-00823]	[00795-00766-00794]	[00568-00539-00567]			
[00482-00453-00481]	[00568-00567-00596]	[00909-00908-00937]	[00567-00538-00566]	[00567-00566-00595]	[00282-00281-00310]			
[00282-00253-00281]	[00197-00141-00142]	[01023-01022-01051]	[01023-00994-01022]	[00453-00452-00481]	[00852-00851-00880]			
[00482-00481-00510]	[00453-00424-00452]	[01052-01051-01080]	[01080-00008-00009]	[00852-00823-00851]	[01080-01051-01079]			
[01080-01079-00008]	[00767-00738-00766]	[00909-00880-00908]	[00339-00338-00367]	[00339-00310-00338]	[00396-00395-00424]			
[00396-00367-00395]	[00966-00965-00994]	[00824-00823-00852]	[00596-00567-00595]	[00254-00253-00282]	[00539-00510-00538]			
[00596-00595-00624]	[00653-00624-00652]	[00653-00652-00681]	[00710-00681-00709]	[00710-00709-00738]	[00368-00339-00367]			
[00368-00367-00396]	[00311-00310-00339]	[00311-00282-00310]	[00539-00538-00567]	[00824-00795-00823]	[01052-01023-01051]			
[00254-00225-00253]	[00767-00766-00795]	[00095-00096-00280]	[00712-00683-00711]	[00197-00142-00196]	[00712-00711-00740]			
[00098-00223-00097]	[00597-00568-00596]	[00197-00196-00225]	[00884-00883-00912]	[00522-00493-00521]	[00995-00966-00994]			
[00397-00396-00425]	[00938-00909-00937]	[00938-00937-00966]	[01025-01024-01053]	[00995-00994-01023]	[01025-00996-01024]			
[00739-00710-00738]	[00739-00738-00767]	[00511-00482-00510]	[00454-00453-00482]	[00011-01081-00010]	[00314-00285-00313]			
[00283-00282-00311]	[00096-00251-00280]	[00283-00254-00282]	[00340-00339-00368]	[00340-00311-00339]	[00967-00966-00995]			
[00511-00510-00539]	[00711-00682-00710]	[00768-00767-00796]	[00967-00938-00966]	[01081-01052-01080]	[00940-00939-00968]			
[00454-00425-00453]	[00796-00795-00824]	[00796-00767-00795]	[01024-00995-01023]	[01024-01023-01052]	[01053-01052-01081]			
[01081-01080-00010]	[00882-00881-00910]	[00397-00368-00396]	[01053-01024-01052]	[00098-00004-00192]	[01082-01081-00012]			
[00228-00199-00227]	[00625-00596-00624]	[00625-00624-00653]	[00682-00653-00681]	[00682-00681-00710]	[01056-01055-01084]			
[00768-00739-00767]	[00341-00312-00340]	[00483-00454-00482]	[00483-00482-00511]	[00654-00625-00653]	[00654-00653-00682]			
[00540-00539-00568]	[00882-00853-00881]	[00825-00796-00824]	[00484-00455-00483]	[00426-00397-00425]	[00426-00425-00454]			
[00825-00824-00853]	[00255-00226-00254]	[00939-00938-00967]	[00939-00910-00938]	[00996-00967-00995]	[00996-00995-01024]			
[00198-00197-00226]	[00198-00140-00197]	[00711-00710-00739]	[00341-00340-00369]	[01054-01025-01053]	[00854-00853-00882]			
[00255-00254-00283]	[00911-00882-00910]	[01082-01053-01081]	[00911-00910-00939]	[00969-00968-00997]	[00312-00283-00311]			
[00312-00311-00340]	[00484-00483-00512]	[00284-00255-00283]	[00087-00422-00451]	[00139-00140-00198]	[00797-00796-00825]			
[00088-00394-00422]	[00087-00088-00422]	[00094-00095-00280]	[00284-00283-00312]	[00398-00369-00397]	[00398-00397-00426]			
[00314-00313-00342]	[00969-00940-00968]	[00227-00198-00226]	[00854-00825-00853]	[00940-00911-00939]	[00826-00825-00854]			
[00227-00226-00255]	[00776-00747-00775]	[00883-00882-00911]	[00883-00854-00882]	[00740-00711-00739]	[00740-00739-00768]			
[00797-00768-00796]	[00571-00570-00599]	[00512-00483-00511]	[00512-00511-00540]	[00683-00682-00711]	[00455-00454-00483]			
[00455-00426-00454]	[00968-00939-00967]	[00968-00967-00996]	[00626-00625-00654]	[00626-00597-00625]	[00013-01082-00012]			
[00683-00654-00682]	[00569-00568-00597]	[00569-00540-00568]	[00770-00741-00769]	[00286-00257-00285]	[01083-01054-01082]			
[00136-00137-00200]	[00598-00569-00597]	[01054-01053-01082]	[00541-00540-00569]	[01083-00013-00014]	[00570-00541-00569]			
[00256-00227-00255]	[00313-00284-00312]	[00313-00312-00341]	[00655-00626-00654]	[00655-00654-00683]	[00256-00255-00284]			
[00912-00911-00940]	[00856-00827-00855]	[00399-00370-00398]	[00912-00883-00911]	[00598-00597-00626]	[00427-00398-00426]			
[00427-00426-00455]	[00370-00341-00369]	[00199-00198-00227]	[00199-00139-00198]	[00199-00138-00139]	[00370-00369-00398]			
[00685-00656-00684]	[00856-00855-00884]	[00228-00227-00256]	[00399-00398-00427]	[00137-00138-00199]	[00769-00740-00768]			
[00769-00768-00797]	[00997-00996-01025]	[00997-00968-00996]	[00541-00512-00540]	[00093-00308-00337]	[00230-00201-00229]			

Comm.: C20-025-S05

Il presente documento è di proprietà della ANTEX GROUP srl. È vietato la comunicazione a terzi o la riproduzione senza il permesso scritto della suddetta. La società tutela i propri diritti a rigore di Legge.





PARCO EOLICO DI "BUDDUSO"

RELAZIONE DI CALCOLO E TABULATI OPERE EDILI SSEU



Ingegneria & Innovazione

30/06/2023

REV: 2

Pag. 47

								Platee	
Lv	Nid	Sp	Aei	Mtrl	IdTer	Cic Fnd	Crid,v	Crid,h	
		[m]	[m <sup>2</sup> ]						
[00093-00337-00092]	[00456-00427-00455]	[00456-00455-00484]	[01026-00997-01025]	[00627-00598-00626]	[00684-00655-00683]				
[00342-00341-00370]	[00285-00256-00284]	[00855-00826-00854]	[00342-00313-00341]	[00855-00854-00883]	[00627-00626-00655]				
[00798-00797-00826]	[00798-00769-00797]	[01083-01082-00113]	[00571-00542-00570]	[00570-00569-00598]	[01056-01027-01055]				
[00656-00655-00684]	[00770-00769-00798]	[00741-00712-00740]	[00741-00740-00769]	[00230-00229-00258]	[00684-00683-00712]				
[00285-00284-00313]	[00394-00393-00422]	[00656-00627-00655]	[00513-00484-00512]	[00513-00512-00541]	[00827-00826-00855]				
[01026-01025-01054]	[00257-00256-00285]	[00257-00228-00256]	[01085-01084-00017]	[00542-00541-00570]	[00542-00513-00541]				
[00599-00570-00598]	[00599-00598-00627]	[00827-00798-00826]	[00970-00941-00969]	[00947-00918-00946]	[01085-01056-01084]				
[00134-00135-00201]	[00551-00522-00550]	[01055-01054-01083]	[01055-01026-01054]	[00713-00712-00741]	[00713-00684-00712]				
[00942-00913-00941]	[00998-00997-01026]	[00998-00969-00997]	[00056-01078-00055]	[00015-01083-00014]	[00428-00427-00456]				
[00428-00399-00427]	[00485-00456-00484]	[00485-00484-00513]	[00200-00137-00199]	[00200-00199-00228]	[00371-00370-00399]				
[00371-00342-00370]	[00063-00064-00907]	[00942-00941-00970]	[00941-00912-00940]	[00941-00940-00969]	[00201-00135-00200]				
[00685-00684-00713]	[01087-01086-00020]	[00628-00627-00656]	[00964-00935-00963]	[01027-00998-01026]	[01027-01026-01055]				
[00913-00912-00941]	[00913-00884-00912]	[00229-00200-00228]	[00286-00285-00314]	[00514-00513-00542]	[00514-00485-00513]				
[01089-01060-01088]	[00628-00599-00627]	[00135-00136-00200]	[00016-01084-00015]	[00970-00969-00998]	[00486-00485-00514]				
[00771-00770-00799]	[00799-00770-00798]	[00343-00314-00342]	[00343-00342-00371]	[00229-00228-00257]	[00201-00200-00229]				
[00943-00914-00942]	[00742-00713-00741]	[00742-00741-00770]	[00799-00798-00827]	[00451-00422-00450]	[00451-00450-00479]				
[00457-00428-00456]	[00457-00456-00485]	[00291-00262-00290]	[01084-01083-00015]	[01084-01055-01083]	[00400-00399-00428]				
[00400-00371-00399]	[00714-00713-00742]	[00315-00286-00314]	[00315-00314-00343]	[00771-00742-00770]	[00714-00685-00713]				
[00657-00656-00685]	[00657-00628-00656]	[00543-00514-00542]	[00543-00542-00571]	[00943-00942-00971]	[00773-00744-00772]				
[00828-00827-00856]	[00828-00799-00827]	[00999-00998-01027]	[00999-00970-00998]	[00885-00856-00884]	[00885-00884-00913]				
[00401-00400-00429]	[00458-00429-00457]	[00203-00132-00202]	[00372-00343-00371]	[00372-00371-00400]	[00258-00257-00286]				
[00258-00229-00257]	[00202-00133-00134]	[00600-00571-00599]	[00401-00372-00400]	[00202-00134-00201]	[00658-00657-00686]				
[00600-00599-00628]	[00429-00428-00457]	[00429-00400-00428]	[00773-00772-00801]	[00067-00821-00850]	[00971-00942-00970]				
[00017-01084-00016]	[00458-00457-00486]	[00572-00571-00600]	[00259-00258-00287]	[00572-00543-00571]	[00886-00885-00914]				
[00629-00600-00628]	[00515-00486-00514]	[00515-00514-00543]	[00857-00828-00856]	[00857-00856-00885]	[00658-00629-00657]				
[00018-01085-00017]	[00914-00913-00942]	[01028-00999-01027]	[00718-00689-00717]	[00829-00800-00828]	[00800-00799-00828]				
[00800-00771-00799]	[00430-00429-00458]	[00344-00343-00372]	[00971-00970-00999]	[01087-01058-01086]	[00743-00714-00742]				
[00743-00742-00771]	[01028-01027-01056]	[00344-00315-00343]	[00829-00828-00857]	[00686-00685-00714]	[00287-00286-00315]				
[00287-00258-00286]	[00544-00515-00543]	[00914-00885-00913]	[00202-00201-00230]	[00629-00628-00657]	[00686-00657-00685]				
[00191-01106-00052]	[01059-01058-01087]	[00886-00857-00885]	[00772-00743-00771]	[00430-00401-00429]	[00259-00230-00258]				
[00772-00771-00800]	[00487-00486-00515]	[00544-00543-00572]	[00280-00279-00308]	[00601-00572-00600]	[00601-00600-00629]				
[00573-00544-00572]	[01057-01028-01056]	[01057-01056-01085]	[00316-00315-00344]	[00316-00287-00315]	[00373-00344-00372]				
[00373-00372-00401]	[00715-00686-00714]	[00830-00829-00858]	[00487-00458-00486]	[01029-01000-01028]	[01000-00999-01028]				
[00715-00714-00743]	[00830-00801-00829]	[00831-00802-00830]	[00744-00743-00772]	[00744-00715-00743]	[00573-00572-00601]				
[01029-01028-01057]	[00288-00259-00287]	[01000-00971-00999]	[00288-00287-00316]	[00972-00943-00971]	[00972-00971-01000]				
[00260-00259-00288]	[01058-01057-01086]	[00687-00658-00686]	[00687-00686-00715]	[00374-00373-00402]	[00801-00800-00829]				
[00801-00772-00800]	[00345-00316-00344]	[00345-00344-00373]	[00260-00231-00259]	[00915-00886-00914]	[00459-00430-00458]				
[00915-00914-00943]	[00516-00515-00544]	[00130-00131-00203]	[00516-00487-00515]	[00630-00629-00658]	[00630-00601-00629]				
[00459-00458-00487]	[00231-00202-00230]	[00231-00230-00259]	[00019-01086-00018]	[00280-00251-00279]	[00859-00858-00887]				
[00203-00202-00231]	[00132-00133-00202]	[00223-00222-00251]	[00858-00829-00857]	[00858-00857-00886]	[00402-00373-00401]				
[00402-00401-00430]	[00131-00132-00203]	[00126-00127-00206]	[01086-01085-00018]	[01086-01057-01085]	[00374-00345-00373]				
[00545-00544-00573]	[00020-01086-00019]	[00488-00459-00487]	[00488-00487-00516]	[00223-00100-00222]	[00545-00516-00544]				
[00517-00516-00545]	[01001-00972-01000]	[01001-01000-01029]	[00659-00630-00658]	[00831-00830-00859]	[00889-00888-00917]				
[00716-00715-00744]	[00602-00573-00601]	[00602-00601-00630]	[00622-00621-00650]	[00859-00830-00858]	[00403-00402-00431]				
[00659-00658-00687]	[00776-00775-00804]	[01058-01029-01057]	[00431-00430-00459]	[00431-00402-00430]	[00518-00517-00546]				
[00517-00488-00516]	[00317-00316-00345]	[00317-00288-00316]	[00716-00687-00715]	[00887-00886-00915]	[00887-00858-00886]				
[01030-01029-01058]	[00944-00943-00972]	[00944-00915-00943]	[00067-00068-00821]	[00603-00602-00631]	[01030-01001-01029]				
[00232-00203-00231]	[00232-00231-00260]	[00916-00915-00944]	[00469-00468-00497]	[00204-00130-00203]	[00574-00545-00573]				
[00574-00573-00602]	[00603-00574-00602]	[01088-00021-00022]	[00631-00630-00659]	[00460-00459-00488]	[00460-00431-00459]				
[00403-00374-00402]	[00973-00944-00972]	[00973-00972-01001]	[00916-00887-00915]	[00745-00744-00773]	[00745-00716-00744]				
[00802-00801-00830]	[00802-00773-00801]	[00688-00659-00687]	[00688-00687-00716]	[00021-01087-00020]	[00289-00288-00317]				
[00289-00260-00288]	[00346-00345-00374]	[00346-00317-00345]	[00261-00260-00289]	[00261-00232-00260]	[00318-00317-00346]				
[00631-00602-00630]	[01059-01030-01058]	[01088-01087-00021]	[01031-01030-01059]	[00489-00488-00517]	[00489-00460-00488]				
[00964-00963-00992]	[00889-00860-00888]	[00774-00773-00802]	[00774-00745-00773]	[00432-00403-00431]	[01002-01001-01030]				
[01002-00973-01001]	[00204-00203-00232]	[00432-00431-00460]	[00375-00346-00374]	[00375-00374-00403]	[00717-00688-00716]				
[00717-00716-00745]	[00546-00545-00574]	[00546-00517-00545]	[01088-01059-01087]	[00746-00717-00745]	[00318-00289-00317]				
[00518-00489-00517]	[00508-00479-00507]	[00746-00745-00774]	[00660-00659-00688]	[00660-00631-00659]	[00945-00944-00973]				
[00945-00916-00944]	[00129-00130-00204]	[00508-00507-00536]	[00888-00859-00887]	[00888-00887-00916]	[00607-00578-00606]				
[00575-00574-00603]	[00896-00867-00895]	[00575-00546-00574]	[01062-01033-01061]	[00205-00128-00129]	[01060-01031-01059]				
[01031-01002-01030]	[00404-00403-00432]	[00404-00375-00403]	[00127-00128-00205]	[00917-00888-00916]	[00860-00831-00859]				
[00860-00859-00888]	[00290-00289-00318]	[00917-00916-00945]	[00689-00660-00688]	[00689-00668-00717]	[00290-00261-00289]				
[00803-00802-00831]	[00803-00774-00802]	[00023-01088-00022]	[00975-00974-01003]	[00632-00603-00631]	[00632-00631-00660]				
[00975-00946-00974]	[01060-01059-01088]	[00347-00346-00375]	[00347-00318-00346]	[00233-00232-00261]	[00233-00204-00232]				
[00337-00336-00365]	[00974-00973-01002]	[00974-00945-00973]	[00461-00460-00489]	[00461-00432-00460]	[00079-00080-00593]				
[01061-01032-01060]	[00376-00347-00375]	[01003-00974-01002]	[00725-00724-00753]	[00319-00318-00347]	[00319-00290-00318]				
[00205-00129-00204]	[00376-00375-00404]	[00775-00774-00803]	[00775-00746-00774]	[00262-00261-00290]	[00604-00603-00632]				
[00604-00575-00603]	[00547-00546-00575]	[00547-00518-00546]	[00433-00404-00432]	[00433-00432-00461]	[00979-00950-00978]				

Comm.: C20-025-S05

Il presente documento è di proprietà della ANTEX GROUP srl. È vietato la comunicazione a terzi o la riproduzione senza il permesso scritto della suddetta. La società tutela i propri diritti a rigore di Legge.





PARCO EOLICO DI "BUDDUSO"

RELAZIONE DI CALCOLO E TABULATI OPERE EDILI SSEU



Ingegneria & Innovazione

30/06/2023

REV: 2

Pag. 48

								Platee	
Lv	Nid	Sp	Aei	Mtrl	IdTer	Cic Fnd	Crid,v	Crid,h	
		[m]	[m <sup>2</sup> ]						
[00490-00461-00489]	[01089-01088-00023]	[00262-00233-00261]	[00292-00291-00320]	[00490-00489-00518]	[00832-00831-00860]				
[00832-00803-00831]	[01003-01002-01031]	[00024-01089-00023]	[00946-00917-00945]	[00946-00945-00974]	[00661-00632-00660]				
[00690-00661-00689]	[00918-00889-00917]	[00661-00660-00689]	[00205-00204-00233]	[01061-01060-01089]	[00576-00575-00604]				
[00576-00547-00575]	[01063-01034-01062]	[00662-00661-00690]	[00633-00604-00632]	[00633-00632-00661]	[00337-00308-00336]				
[00462-00461-00490]	[00462-00433-00461]	[00747-00718-00746]	[00947-00946-00975]	[00918-00917-00946]	[00322-00321-00350]				
[00690-00689-00718]	[00804-00775-00803]	[00804-00803-00832]	[00662-00633-00661]	[00519-00490-00518]	[00207-00125-00126]				
[00519-00518-00547]	[00463-00434-00462]	[00747-00746-00775]	[01032-01031-01060]	[01032-01003-01031]	[00861-00832-00860]				
[00861-00860-00889]	[00320-00319-00348]	[00291-00290-00319]	[00719-00718-00747]	[00206-00127-00205]	[00348-00319-00347]				
[00348-00347-00376]	[00234-00233-00262]	[00234-00205-00233]	[00405-00404-00433]	[00405-00376-00404]	[00320-00291-00319]				
[00025-01089-00024]	[00605-00604-00633]	[00434-00405-00433]	[00719-00690-00718]	[00605-00576-00604]	[00833-00804-00832]				
[00833-00832-00861]	[01090-01089-00025]	[00434-00433-00462]	[00948-00919-00947]	[00919-00890-00918]	[00377-00348-00376]				
[00377-00376-00405]	[00577-00548-00576]	[00548-00547-00576]	[00548-00519-00547]	[01021-00992-01020]	[00948-00947-00976]				
[00206-00205-00234]	[00263-00262-00291]	[00263-00234-00262]	[00491-00490-00519]	[00491-00462-00490]	[00890-00861-00889]				
[00890-00889-00918]	[00779-00750-00778]	[01090-01061-01089]	[01004-00975-01003]	[01004-01003-01032]	[00207-00126-00206]				
[00292-00263-00291]	[00577-00576-00605]	[00919-00918-00947]	[00264-00263-00292]	[00634-00633-00662]	[00264-00235-00263]				
[00634-00605-00633]	[00207-00206-00235]	[00378-00377-00406]	[00406-00405-00434]	[00520-00519-00548]	[00520-00491-00519]				
[00863-00834-00862]	[00805-00804-00833]	[00862-00833-00861]	[00862-00861-00890]	[00805-00776-00804]	[00406-00377-00405]				
[01021-01020-01049]	[00976-00947-00975]	[00976-00975-01004]	[00863-00862-00891]	[00026-01090-00025]	[00235-00206-00234]				
[00235-00234-00263]	[00097-00223-00251]	[00349-00348-00377]	[00349-00320-00348]	[00464-00405-00463]	[00522-00521-00550]				
[01091-00026-00027]	[00691-00690-00719]	[00779-00778-00807]	[01033-01032-01061]	[01033-01004-01032]	[00463-00462-00491]				
[00834-00805-00833]	[00748-00719-00747]	[00748-00747-00776]	[00691-00662-00690]	[00806-00777-00805]	[00492-00491-00520]				
[00492-00463-00491]	[00124-00125-00207]	[00321-00292-00320]	[00435-00434-00463]	[00435-00406-00434]	[00565-00536-00564]				
[01034-01005-01033]	[01062-01061-01090]	[00549-00520-00548]	[00549-00548-00577]	[00891-00862-00890]	[00891-00890-00919]				
[00321-00320-00349]	[00464-00463-00492]	[00030-01092-00029]	[00978-00977-01006]	[00606-00605-00634]	[00606-00577-00605]				
[00607-00606-00635]	[00123-00124-00208]	[00378-00349-00377]	[01091-01090-00026]	[00850-00821-00849]	[00834-00833-00862]				
[00777-00776-00805]	[00777-00748-00776]	[01005-01004-01033]	[01034-01033-01062]	[01005-00976-01004]	[00720-00719-00748]				
[00720-00691-00719]	[00663-00634-00662]	[00663-00662-00691]	[00806-00805-00834]	[00850-00849-00878]	[00350-00321-00349]				
[00350-00349-00378]	[00294-00293-00322]	[00920-00891-00919]	[00551-00550-00579]	[01091-01062-01090]	[00236-00235-00264]				
[00236-00207-00235]	[00920-00919-00948]	[01078-01077-01106]	[00293-00292-00321]	[00293-00264-00292]	[00692-00663-00691]				
[01035-01006-01034]	[01078-01049-01077]	[00692-00691-00720]	[00407-00406-00435]	[00407-00378-00406]	[00521-00492-00520]				
[00521-00520-00549]	[00635-00634-00663]	[00322-00293-00321]	[00749-00748-00777]	[00749-00720-00748]	[00664-00635-00663]				
[00121-00122-00209]	[00977-00948-00976]	[00977-00976-01005]	[00122-00123-00208]	[00635-00606-00634]	[00578-00549-00577]				
[00578-00577-00606]	[00949-00920-00948]	[00892-00863-00891]	[00892-00891-00920]	[00949-00948-00977]	[00778-00777-00806]				
[00721-00692-00720]	[00721-00720-00749]	[01035-01034-01063]	[00664-00663-00692]	[00550-00521-00549]	[00550-00549-00578]				
[00208-00124-00207]	[00208-00207-00236]	[00028-01091-00027]	[00265-00236-00264]	[00265-00264-00293]	[00002-00664-00665]				
[00493-00492-00521]	[00493-00464-00492]	[01063-01062-01091]	[00835-00834-00863]	[00835-00806-00834]	[00778-00749-00777]				
[00979-00978-01007]	[00693-00664-00692]	[01006-01005-01034]	[00750-00749-00778]	[00666-00665-00694]	[01006-00977-01005]				
[00379-00378-00407]	[00978-00949-00977]	[00379-00350-00378]	[00436-00407-00435]	[00436-00435-00464]	[01092-01091-00028]				
[00243-00214-00242]	[00002-00636-00664]	[00409-00380-00408]	[01069-01068-01097]	[00864-00835-00863]	[00864-00863-00892]				
[00465-00436-00464]	[00693-00664-00721]	[00579-00550-00578]	[00579-00578-00607]	[00750-00721-00749]	[00409-00408-00436]				
[00408-00379-00407]	[00408-00407-00436]	[00921-00920-00949]	[00029-01092-00028]	[00005-00053-00191]	[00622-00593-00621]				
[00237-00208-00236]	[00237-00236-00265]	[00295-00266-00294]	[00465-00464-00493]	[00807-00806-00835]	[00807-00778-00806]				
[00666-00637-00002]	[00119-00120-00210]	[00921-00892-00920]	[00294-00265-00293]	[00751-00750-00779]	[00666-00002-00665]				
[00351-00322-00350]	[00351-00350-00379]	[01092-01063-01091]	[00636-00635-00664]	[00636-00607-00635]	[00394-00365-00393]				
[00992-00963-00991]	[00608-00607-00636]	[00722-00693-00721]	[00722-00721-00750]	[00524-00495-00523]	[00950-00921-00949]				
[00893-00892-00921]	[00031-01093-00030]	[00608-00579-00607]	[00412-00383-00411]	[00836-00835-00864]	[00836-00807-00835]				
[00494-00493-00522]	[00494-00465-00493]	[00893-00864-00892]	[00751-00722-00750]	[00894-00865-00893]	[00437-00408-00436]				
[00437-00436-00465]	[01064-01063-01092]	[01007-01006-01035]	[01007-00978-01006]	[00295-00294-00323]	[00665-00664-00693]				
[00353-00352-00381]	[01093-01092-00030]	[00950-00949-00978]	[00209-00208-00237]	[00209-00122-00208]	[00323-00294-00322]				
[00323-00322-00351]	[00380-00379-00408]	[00380-00351-00379]	[00637-00636-00002]	[01064-01035-01063]	[00894-00893-00922]				
[00266-00237-00265]	[00266-00265-00294]	[00580-00551-00579]	[00580-00579-00608]	[00808-00807-00836]	[00808-00779-00807]				
[00527-00526-00555]	[00410-00381-00409]	[00694-00665-00693]	[00992-00991-01020]	[00033-01094-00032]	[01036-01035-01064]				
[00609-00608-00637]	[00922-00893-00921]	[00922-00921-00950]	[00352-00351-00380]	[00637-00608-00636]	[01036-01007-01035]				
[00565-00564-00593]	[00381-00352-00380]	[00524-00523-00552]	[00032-01094-00031]	[01093-01064-01092]	[00552-00523-00551]				
[00725-00696-00724]	[00679-00650-00678]	[00694-00693-00722]	[00238-00209-00237]	[00238-00237-00266]	[00865-00864-00893]				
[00352-00323-00351]	[00466-00465-00494]	[00466-00437-00465]	[00523-00522-00551]	[00523-00494-00522]	[00267-00238-00266]				
[00496-00467-00495]	[00865-00836-00864]	[00552-00551-00580]	[00951-00950-00979]	[00951-00922-00950]	[00410-00409-00438]				
[00438-00437-00466]	[00116-00117-00212]	[00764-00735-00763]	[00609-00580-00608]	[00267-00266-00295]	[00724-00695-00723]				
[00269-00268-00297]	[00324-00295-00323]	[00324-00323-00352]	[01008-00979-01007]	[01008-01007-01036]	[00723-00694-00722]				
[00496-00495-00524]	[00638-00609-00637]	[00723-00722-00751]	[00752-00751-00780]	[00381-00380-00409]	[00438-00409-00437]				
[00210-00120-00121]	[00837-00836-00865]	[00837-00808-00836]	[00780-00751-00779]	[00780-00779-00808]	[01065-01036-01064]				
[01065-01064-01093]	[00210-00121-00209]	[00353-00324-00352]	[00495-00466-00494]	[00495-00494-00523]	[00210-00209-00238]				
[00638-00637-00666]	[00781-00780-00809]	[01037-01036-01065]	[00034-01095-00033]	[00752-00723-00751]	[00581-00552-00580]				
[00764-00763-00792]	[00065-00066-00850]	[01037-01008-01036]	[00467-00466-00495]	[00239-00210-00238]	[00296-00295-00324]				
[00296-00267-00295]	[00866-00837-00865]	[00866-00865-00894]	[01094-01065-01093]	[01094-01093-00031]	[00809-00808-00837]				
[00809-00780-00808]	[00581-00580-00609]	[00308-00307-00336]	[00240-00239-00268]	[00239-00238-00267]	[00308-00279-00307]				
[00467-00438-00466]	[00724-00723-00752]	[01009-00980-01008]	[00923-00922-00951]	[00923-00894-00922]	[00980-00951-00979]				

Comm.: C20-025-S05

Il presente documento è di proprietà della ANTEX GROUP srl.  
È vietato la comunicazione a terzi o la riproduzione senza il permesso scritto della suddetta.  
La società tutela i propri diritti a rigore di Legge.







PARCO EOLICO DI "BUDDUSO"

RELAZIONE DI CALCOLO E TABULATI OPERE EDILI SSEU



Ingegneria & Innovazione

30/06/2023

REV: 2

Pag. 49

									Platee
Lv	Nid	Sp	Aei	Mtrl	IdTer	Cic Fnd	Crid,v	Crid,h	
		[m]	[m <sup>2</sup> ]						
[00980-00979-01008]	[01009-01008-01037]	[00412-00411-00440]	[00695-00666-00694]	[00695-00694-00723]	[00754-00753-00782]				
[00439-00438-00467]	[00952-00951-00980]	[00385-00356-00384]	[00268-00267-00296]	[00610-00581-00609]	[01066-01065-01094]				
[01066-01037-01065]	[00952-00923-00951]	[00354-00325-00353]	[00211-00210-00239]	[00211-00119-00210]	[00667-00666-00695]				
[00118-00119-00211]	[00382-00353-00381]	[00382-00381-00410]	[00679-00678-00707]	[00297-00296-00325]	[00268-00239-00267]				
[00584-00555-00583]	[00325-00296-00324]	[00610-00609-00638]	[00553-00524-00552]	[00553-00552-00581]	[00582-00553-00581]				
[00325-00324-00353]	[00667-00638-00666]	[00439-00410-00438]	[00838-00809-00837]	[00838-00837-00866]	[00895-00866-00894]				
[00895-00894-00923]	[00240-00211-00239]	[01096-00034-00035]	[00981-00952-00980]	[00781-00752-00780]	[00924-00923-00952]				
[00924-00895-00923]	[00469-00440-00468]	[00582-00581-00610]	[01095-01094-00033]	[00981-00980-01009]	[00468-00467-00496]				
[00468-00439-00467]	[00867-00866-00895]	[00639-00610-00638]	[00639-00638-00667]	[00297-00268-00296]	[00898-00897-00926]				
[00810-00809-00838]	[00810-00781-00809]	[01068-01039-01067]	[01038-01037-01066]	[01038-01009-01037]	[00117-00118-00211]				
[00269-00240-00268]	[00867-00838-00866]	[00611-00582-00610]	[00696-00695-00724]	[00696-00667-00695]	[00354-00353-00382]				
[00115-00116-00213]	[00925-00924-00953]	[00411-00382-00410]	[00411-00410-00439]	[01095-01066-01094]	[00753-00724-00752]				
[00753-00752-00781]	[00525-00496-00524]	[00525-00524-00553]	[00365-00364-00393]	[00935-00906-00934]	[01010-01009-01038]				
[00327-00298-00326]	[01010-00981-01009]	[00896-00895-00924]	[00925-00896-00924]	[00782-00753-00781]	[00782-00781-00810]				
[00953-00924-00952]	[00953-00952-00981]	[00583-00554-00582]	[01067-01038-01066]	[01067-01066-01095]	[01049-01048-01077]				
[00668-00639-00667]	[00668-00667-00696]	[01049-01020-01048]	[00839-00810-00838]	[00839-00838-00867]	[00811-00782-00810]				
[00611-00610-00639]	[00240-00211-00239]	[00212-00117-00211]	[00554-00553-00582]	[00554-00525-00553]	[00326-00297-00325]				
[00326-00325-00354]	[00640-00611-00639]	[00440-00439-00468]	[00440-00411-00439]	[00212-00211-00240]	[00383-00382-00411]				
[00383-00354-00382]	[00270-00241-00269]	[00899-00870-00898]	[00497-00468-00496]	[00497-00496-00525]	[00327-00326-00355]				
[01068-01067-01096]	[00584-00583-00612]	[00526-00497-00525]	[00526-00525-00554]	[00640-00639-00668]	[00270-00269-00298]				
[00868-00867-00896]	[00868-00839-00867]	[00697-00668-00696]	[00697-00696-00725]	[00355-00326-00354]	[00355-00354-00383]				
[00413-00384-00412]	[00982-00953-00981]	[00982-00981-01010]	[00754-00725-00753]	[00583-00582-00611]	[00036-01096-00035]				
[00385-00384-00413]	[00298-00269-00297]	[00298-00297-00326]	[00241-00240-00269]	[00241-00212-00240]	[00213-00212-00241]				
[00272-00271-00300]	[01096-01067-01095]	[01096-01095-00034]	[00213-00116-00212]	[00273-00272-00301]	[01039-01010-01038]				
[00413-00412-00441]	[00898-00869-00897]	[01039-01038-01067]	[00726-00697-00725]	[00726-00725-00754]	[01069-01040-01068]				
[00114-00115-00213]	[00527-00498-00526]	[00038-01097-00037]	[00897-00896-00925]	[00897-00868-00896]	[01011-01010-01039]				
[00954-00953-00982]	[00954-00925-00953]	[00612-00611-00640]	[00612-00583-00611]	[00878-00849-00877]	[00841-00812-00840]				
[00470-00441-00469]	[00669-00668-00697]	[00441-00440-00469]	[00498-00497-00526]	[00498-00469-00497]	[01011-00982-01010]				
[00783-00754-00782]	[00783-00782-00811]	[00299-00298-00327]	[00840-00839-00868]	[00840-00811-00839]	[00669-00640-00668]				
[00878-00877-00906]	[00384-00355-00383]	[00441-00412-00440]	[00555-00526-00554]	[00555-00554-00583]	[00299-00270-00298]				
[00384-00383-00412]	[00037-01097-00036]	[00243-00242-00271]	[00272-00243-00271]	[01070-01069-01098]	[00470-00469-00498]				
[00223-00099-00100]	[00869-00868-00897]	[00869-00840-00868]	[00698-00669-00697]	[00242-00213-00241]	[01097-01096-00036]				
[00356-00327-00355]	[00356-00355-00384]	[01012-00983-01011]	[00841-00840-00869]	[00113-00114-00214]	[00052-01106-00051]				
[01040-01011-01039]	[00755-00754-00783]	[00755-00726-00754]	[00812-00783-00811]	[00812-00811-00840]	[00242-00241-00270]				
[00499-00498-00527]	[00039-01098-00038]	[01040-01039-01068]	[00641-00612-00640]	[00641-00640-00669]	[00698-00697-00726]				
[00983-00982-01011]	[00499-00470-00498]	[00983-00954-00982]	[00926-00897-00925]	[00926-00925-00954]	[00271-00242-00270]				
[01097-01068-01096]	[00556-00555-00584]	[00556-00527-00555]	[00559-00558-00587]	[00111-00112-00215]	[00214-00213-00212]				
[00643-00614-00642]	[00593-00592-00621]	[01098-01097-00038]	[00613-00584-00612]	[00613-00612-00641]	[00442-00441-00470]				
[00442-00413-00441]	[00899-00898-00927]	[00700-00671-00699]	[00955-00926-00954]	[00784-00755-00783]	[00784-00783-00812]				
[01012-01011-01040]	[00699-00698-00727]	[00670-00669-00698]	[00670-00641-00669]	[00593-00564-00592]	[00214-00213-00242]				
[00328-00327-00356]	[00328-00299-00327]	[00273-00244-00272]	[00271-00270-00299]	[00870-00869-00898]	[01070-01041-01069]				
[00045-01102-00044]	[01098-01069-01097]	[00586-00585-00614]	[00727-00726-00755]	[00727-00698-00726]	[00358-00329-00357]				
[00955-00954-00983]	[00505-00476-00504]	[00813-00812-00841]	[00813-00784-00812]	[00986-00957-00985]	[00984-00955-00983]				
[00793-00792-00821]	[01041-01012-01040]	[01041-01040-01069]	[00300-00271-00299]	[00300-00299-00328]	[00585-00556-00584]				
[00585-00584-00613]	[00956-00955-00984]	[00870-00841-00869]	[00643-00642-00671]	[00471-00470-00499]	[00471-00442-00470]				
[00756-00755-00784]	[00756-00727-00755]	[00414-00385-00413]	[00927-00926-00955]	[00927-00898-00926]	[00984-00983-01012]				
[00671-00642-00670]	[00671-00670-00699]	[00414-00413-00442]	[00757-00728-00756]	[00699-00670-00698]	[00472-00471-00500]				
[00358-00357-00386]	[00642-00613-00641]	[00642-00641-00670]	[00357-00356-00385]	[00357-00328-00356]	[00528-00527-00556]				
[00528-00499-00527]	[00109-00110-00216]	[00785-00756-00784]	[00785-00784-00813]	[00301-00300-00329]	[00614-00613-00642]				
[00956-00927-00955]	[00757-00756-00785]	[00443-00414-00442]	[00215-00112-00113]	[00614-00585-00613]	[00386-00385-00414]				
[00386-00357-00385]	[00215-00113-00214]	[01013-01012-01041]	[01013-00984-01012]	[00700-00699-00728]	[00215-00214-00243]				
[00216-00215-00244]	[00329-00328-00357]	[00329-00300-00328]	[01099-00039-00040]	[00443-00442-00471]	[00842-00813-00841]				
[00842-00841-00870]	[00500-00471-00499]	[00500-00499-00528]	[00330-00301-00329]	[00728-00727-00756]	[00728-00699-00727]				
[00557-00556-00585]	[00557-00528-00556]	[00110-00111-00216]	[00586-00557-00585]	[00216-00111-00215]	[00387-00386-00415]				
[00274-00245-00273]	[00330-00329-00358]	[01099-01098-00039]	[00472-00443-00471]	[00986-00985-01014]	[00415-00414-00443]				
[00387-00358-00386]	[00244-00215-00243]	[00244-00243-00272]	[01103-01102-00046]	[00928-00899-00927]	[00843-00814-00842]				
[00529-00528-00557]	[00301-00272-00300]	[00985-00956-00984]	[00985-00984-01013]	[00444-00443-00472]	[00444-00415-00443]				
[00672-00643-00671]	[01099-01070-01098]	[01103-01074-01102]	[00415-00386-00414]	[00246-00245-00274]	[00871-00870-00899]				
[00871-00842-00870]	[00814-00785-00813]	[00814-00813-00842]	[00361-00360-00389]	[00907-00878-00906]	[00928-00927-00956]				
[00529-00500-00528]	[01042-01013-01041]	[01042-01041-01070]	[00615-00614-00643]	[01016-00987-01015]	[00558-00557-00586]				
[00558-00529-00557]	[00672-00671-00700]	[00650-00621-00649]	[00559-00530-00558]	[00615-00586-00614]	[00844-00815-00843]				
[00729-00728-00757]	[00729-00700-00728]	[00900-00871-00899]	[00900-00899-00928]	[00843-00842-00871]	[00650-00649-00678]				
[01014-00985-01013]	[01014-01013-01042]	[00786-00757-00785]	[00786-00785-00814]	[00821-00820-00849]	[01071-01042-01070]				
[00821-00792-00820]	[00501-00500-00529]	[00501-00472-00500]	[00787-00758-00786]	[01071-01070-01099]	[00274-00273-00302]				
[00416-00387-00415]	[01016-01015-01044]	[00957-00928-00956]	[00041-01099-00040]	[00246-00217-00245]	[00218-00107-00108]				
[00530-00501-00529]	[00530-00529-00558]	[00957-00956-00985]	[00359-00330-00358]	[00359-00358-00387]	[00616-00587-00615]				
[00042-01100-00041]	[00416-00415-00444]	[00787-00786-00815]	[00302-00301-00330]	[00302-00273-00301]	[00907-00906-00935]				

Comm.: C20-025-S05

Il presente documento è di proprietà della ANTEX GROUP srl.  
È vietato la comunicazione a terzi o la riproduzione senza il permesso scritto della suddetta.  
La società tutela i propri diritti a rigore di Legge.





PARCO EOLICO DI "BUDDUSO"

RELAZIONE DI CALCOLO E TABULATI OPERE EDILI SSEU



Ingegneria & Innovazione

30/06/2023

REV: 2

Pag. 50

Platee									
Lv	Nid	Sp	Aei	Mtrl	IdTer	Cic Fnd	Crid,v	Crid,h	
		[m]	[m <sup>2</sup> ]						
[01100-01099-00041]	[01100-01071-01099]	[00929-00928-00957]	[00701-00700-00729]	[00701-00672-00700]	[01043-01014-01042]				
[01043-01042-01071]	[00332-00331-00360]	[00644-00643-00672]	[00644-00615-00643]	[00844-00843-00872]	[00730-00729-00758]				
[00872-00871-00900]	[00872-00843-00871]	[00245-00216-00244]	[00587-00558-00586]	[00587-00586-00615]	[00251-00222-00250]				
[00245-00244-00273]	[00929-00900-00928]	[00815-00786-00814]	[00815-00814-00843]	[00505-00504-00533]	[00473-00444-00472]				
[00473-00472-00501]	[00758-00729-00757]	[00758-00757-00786]	[00730-00701-00729]	[00930-00901-00929]	[00616-00615-00644]				
[00930-00929-00958]	[00044-01101-00043]	[00673-00644-00672]	[00303-00274-00302]	[00331-00330-00359]	[00331-00302-00330]				
[01101-00042-00043]	[00873-00872-00901]	[00474-00473-00502]	[01072-01043-01071]	[01072-01071-01100]	[00217-00216-00245]				
[00217-00109-00216]	[01044-01015-01043]	[01044-01043-01072]	[00873-00844-00872]	[00961-00960-00989]	[00958-00929-00957]				
[00958-00957-00986]	[01015-00986-01014]	[01015-01014-01043]	[00901-00872-00900]	[00901-00900-00929]	[00673-00672-00701]				
[00445-00416-00444]	[00445-00444-00473]	[00108-00109-00217]	[00474-00445-00473]	[00645-00644-00673]	[00388-00359-00387]				
[00388-00387-00416]	[00502-00501-00530]	[00502-00473-00501]	[00536-00535-00564]	[00793-00764-00792]	[00818-00789-00817]				
[00816-00787-00815]	[00759-00730-00758]	[00759-00758-00787]	[00816-00815-00844]	[00417-00388-00416]	[00479-00478-00507]				
[00702-00673-00701]	[00531-00502-00530]	[00531-00530-00559]	[00303-00302-00331]	[00987-00958-00986]	[00987-00986-01015]				
[00732-00703-00731]	[01073-01072-01101]	[00417-00416-00445]	[00788-00787-00816]	[00702-00701-00730]	[00588-00559-00587]				
[00588-00587-00616]	[01101-01100-00042]	[01101-01072-01100]	[00645-00616-00644]	[00390-00361-00389]	[00192-00099-00223]				
[00089-00394-00088]	[00788-00759-00787]	[00935-00934-00963]	[01045-01044-01073]	[00305-00276-00304]	[00360-00331-00359]				
[00360-00359-00388]	[01073-01044-01072]	[00902-00901-00930]	[00275-00246-00274]	[00674-00645-00673]	[00674-00673-00702]				
[00902-00873-00901]	[00446-00445-00474]	[00446-00417-00445]	[00218-00108-00217]	[00275-00274-00303]	[00332-00303-00331]				
[01102-01073-01101]	[01045-01016-01044]	[00761-00732-00760]	[00959-00930-00958]	[00333-00332-00361]	[00959-00958-00987]				
[00731-00702-00730]	[00218-00217-00246]	[00503-00474-00502]	[00503-00502-00531]	[00845-00816-00844]	[00731-00730-00759]				
[00817-00788-00816]	[00845-00844-00873]	[00560-00531-00559]	[00646-00617-00645]	[00560-00559-00588]	[00617-00588-00616]				
[00617-00616-00645]	[00963-00962-00991]	[00504-00475-00503]	[00988-00959-00987]	[00988-00987-01016]	[00389-00388-00417]				
[00389-00360-00388]	[00760-00759-00788]	[00760-00731-00759]	[00247-00218-00246]	[00247-00246-00275]	[00479-00450-00478]				
[01102-01101-00044]	[00504-00503-00532]	[00418-00417-00446]	[00418-00389-00417]	[00703-00702-00731]	[00390-00389-00418]				
[00703-00674-00702]	[00589-00560-00588]	[00589-00588-00617]	[00304-00303-00332]	[00931-00930-00959]	[00304-00275-00303]				
[00106-00107-00218]	[00817-00816-00845]	[00931-00902-00930]	[00761-00760-00789]	[00646-00645-00674]	[00732-00731-00760]				
[00532-00503-00531]	[00532-00531-00560]	[00333-00304-00332]	[00475-00446-00474]	[00475-00474-00503]	[01074-01073-01102]				
[00704-00703-00732]	[00874-00873-00902]	[00874-00845-00873]	[00051-01105-00050]	[00361-00332-00360]	[00818-00817-00846]				
[01074-01045-01073]	[00219-00106-00218]	[00447-00446-00475]	[00447-00418-00446]	[00789-00788-00817]	[00363-00362-00391]				
[00105-00106-00219]	[00219-00218-00247]	[00087-00451-00086]	[00846-00817-00845]	[00846-00845-00874]	[00046-01102-00045]				
[00561-00532-00560]	[00675-00674-00703]	[00675-00646-00674]	[00789-00760-00788]	[00276-00275-00304]	[01046-01017-01045]				
[00276-00247-00275]	[00103-00104-00220]	[00277-00276-00305]	[00561-00560-00589]	[01017-01016-01045]	[01017-00988-01016]				
[00961-00932-00960]	[00618-00589-00617]	[00618-00617-00646]	[00220-00104-00219]	[00478-00477-00506]	[00536-00507-00535]				
[00989-00960-00988]	[00960-00959-00988]	[00960-00931-00959]	[00903-00902-00931]	[00903-00874-00902]	[00647-00618-00646]				
[00647-00646-00675]	[00875-00874-00903]	[00362-00361-00390]	[00220-00219-00248]	[00875-00846-00874]	[00450-00449-00478]				
[00932-00903-00931]	[00932-00931-00960]	[00989-00988-01017]	[00419-00418-00447]	[00419-00390-00418]	[00362-00333-00361]				
[00704-00675-00703]	[01104-00047-00048]	[00590-00589-00618]	[00448-00447-00476]	[00335-00306-00334]	[01104-01103-00047]				
[01075-01046-01074]	[00305-00304-00333]	[00448-00419-00447]	[00533-00504-00532]	[00533-00532-00561]	[00590-00561-00589]				
[00248-00219-00247]	[00248-00247-00276]	[00047-01103-00046]	[00102-00103-00221]	[01046-01045-01074]	[00104-00105-00219]				
[00904-00903-00932]	[00450-00421-00449]	[00097-00251-00096]	[01106-01105-00051]	[00476-00475-00504]	[00476-00447-00475]				
[00422-00393-00421]	[00277-00248-00276]	[00905-00904-00933]	[00334-00333-00362]	[00334-00305-00333]	[01075-01074-01103]				
[00905-00876-00904]	[00904-00875-00903]	[00421-00420-00449]	[01018-01017-01046]	[00420-00391-00419]	[00363-00334-00362]				
[01106-01077-01105]	[00933-00932-00961]	[00733-00732-00761]	[00733-00704-00732]	[01047-01018-01046]	[01047-01046-01075]				
[00676-00647-00675]	[00676-00675-00704]	[00335-00334-00363]	[00619-00618-00647]	[00619-00590-00618]	[01018-00989-01017]				
[00420-00419-00448]	[00306-00305-00334]	[00790-00761-00789]	[00790-00789-00818]	[00562-00561-00590]	[00391-00390-00419]				
[00391-00362-00390]	[00933-00904-00932]	[00562-00533-00561]	[00847-00846-00875]	[00847-00818-00846]	[00050-01105-00049]				
[00648-00647-00676]	[00648-00619-00647]	[01104-01075-01103]	[00421-00392-00420]	[00848-00847-00876]	[00705-00676-00704]				
[00306-00277-00305]	[00534-00533-00562]	[00819-00790-00818]	[00819-00818-00847]	[00251-00250-00279]	[00876-00847-00875]				
[00990-00961-00989]	[00990-00989-01018]	[00365-00336-00364]	[00734-00733-00762]	[00876-00875-00904]	[00705-00704-00733]				
[00762-00761-00790]	[00591-00590-00619]	[00591-00562-00590]	[00249-00248-00277]	[00249-00220-00248]	[00221-00220-00249]				
[00707-00678-00706]	[00762-00733-00761]	[00677-00676-00705]	[00477-00448-00476]	[00534-00505-00533]	[00677-00648-00676]				
[00477-00476-00505]	[00620-00591-00619]	[00221-00103-00220]	[00849-00820-00848]	[00620-00619-00648]	[00735-00734-00763]				
[01076-01075-01104]	[01076-01047-01075]	[01019-01018-01047]	[01019-00990-01018]	[00392-00363-00391]	[00392-00391-00420]				
[00049-01104-00048]	[00506-00477-00505]	[00449-00448-00477]	[00449-00420-00448]	[00278-00249-00277]	[00506-00505-00534]				
[00707-00706-00735]	[00101-00102-00221]	[00563-00534-00562]	[00848-00819-00847]	[00820-00791-00819]	[00734-00705-00733]				
[00278-00277-00306]	[00649-00648-00677]	[00478-00449-00477]	[00563-00562-00591]	[00250-00249-00278]	[01020-00991-01019]				
[00735-00706-00734]	[00791-00790-00819]	[00791-00762-00790]	[00962-00961-00990]	[00962-00933-00961]	[00621-00620-00649]				
[00507-00478-00506]	[00820-00819-00848]	[00279-00250-00278]	[00507-00506-00535]	[01048-01019-01047]	[00364-00335-00363]				
[00364-00363-00392]	[00736-00735-00764]	[00307-00306-00335]	[00307-00278-00306]	[00792-00763-00791]	[00250-00221-00249]				
[00877-00848-00876]	[00877-00876-00905]	[01048-01047-01076]	[00279-00278-00307]	[00934-00933-00962]	[00934-00905-00933]				
[00222-00101-00221]	[00763-00762-00791]	[00706-00677-00705]	[00706-00705-00734]	[00422-00421-00450]	[00074-00075-00679]				
[00222-00221-00250]	[00991-00990-01019]	[00991-00962-00990]	[00963-00934-00962]	[00763-00734-00762]	[00592-00563-00591]				
[00592-00591-00620]	[00535-00506-00534]	[00535-00534-00563]	[01105-01104-00049]	[01105-01076-01104]	[00649-00620-00648]				
[00336-00307-00335]	[00621-00592-00620]	[00906-00905-00934]	[00393-00364-00392]	[00393-00392-00421]	[00906-00877-00905]				
[00079-00593-00622]	[00678-00649-00677]	[00792-00791-00820]	[00678-00677-00706]	[00093-00094-00308]	[00100-00101-00222]				
[00079-00622-00078]	[00081-00565-00080]	[00564-00563-00592]	[00564-00535-00563]	[00336-00335-00364]	[01077-01048-01076]				
[01020-01019-01048]	[00736-00707-00735]	[00849-00848-00877]	[01077-01076-01105]						

Comm.: C20-025-S05

Il presente documento è di proprietà della ANTEX GROUP srl. È vietato la comunicazione a terzi o la riproduzione senza il permesso scritto della suddetta. La società tutela i propri diritti a rigore di Legge.





PARCO EOLICO DI "BUDDUSO"

RELAZIONE DI CALCOLO E TABULATI OPERE EDILI SSEU



Ingegneria & Innovazione

30/06/2023

REV: 2

Pag. 51

Lv	N <sub>id</sub>	Sp	A <sub>EI</sub>	M <sub>trl</sub>	Id <sub>Ter</sub>	Clc Fnd	C <sub>rid,v</sub>	C <sub>rid,h</sub>	Platee
		[m]	[m <sup>2</sup> ]						

LEGENDA:

- Lv** Identificativo del livello, nella relativa tabella.
- N<sub>id</sub>** Numero identificativo della platea.
- Sp** Spessore elemento.
- A<sub>EI</sub>** Superficie elemento.
- M<sub>trl</sub>** Identificativo del materiale.
- Id<sub>Ter</sub>** Identificativo del terreno, nella relativa tabella.
- Clc Fnd** [Si] = elemento progettato attraverso una modalità di rispetto della Gerarchia delle Resistenze per le Fondazioni. [No] = elemento progettato con le sollecitazioni ottenute dall'analisi (senza nessuna modalità di rispetto della Gerarchia delle Resistenze per le Fondazioni).
- C<sub>rid,v</sub>** Coefficiente di riduzione della costante di sottofondo verticale
- C<sub>rid,h</sub>** Coefficiente di riduzione della costante di sottofondo orizzontale
- Shell** Shell in cui risulta suddiviso l'elemento.

CARICHI SULLE PLATEE

TC	Shell	C	CC	SR	Q <sub>x</sub>	Q <sub>y</sub>	Q <sub>z</sub>
					[N/m <sup>2</sup> ]	[N/m <sup>2</sup> ]	[N/m <sup>2</sup> ]
<b>Fondazione</b>	<b>Platea 1</b>	<b>Peso proprio</b>			<b>-100.000</b>		
S	-	CR001	002	G	0	0	-2.000
S	-	CR002	004	G	0	0	-2.500

LEGENDA:

- TC** Descrizione del tipo di carico: [L] = Lineare - [C] = Concentrato - [S] = Superficiale - [T] = Termico.
- C** Descrizione del carico:  
CR001= PLATEA: Platea (sovraccarico permanente) CR002= PLATEA: Platea (sovraccarico accidentale)
- CC** Identificativo della tipologia di carico nella relativa tabella.
- SR** Identificativo del sistema di riferimento considerato: [G] = Sistema di riferimento Globale X, Y, Z - [L] = Sistema di riferimento Locale 1, 2, 3.
- Q<sub>x</sub>, Q<sub>y</sub>, Q<sub>z</sub>** Valore della forza distribuita superficiale uniforme riferita agli assi del sistema di riferimento indicato nella colonna "S.R".
- ΔT** Differenza di temperatura fra le facce dell'elemento shell.

Platee - TENSIONI PER CONDIZIONI DI CARICO NON SISMICHE

Platee - tensioni per condizioni di carico non sismiche

Nodo	σ <sub>L1</sub>	σ <sub>L2</sub>	τ <sub>L</sub>	τ <sub>P13</sub>	Nodo	σ <sub>L1</sub>	σ <sub>L2</sub>	τ <sub>L</sub>	τ <sub>P13</sub>	Nodo	σ <sub>L1</sub>	σ <sub>L2</sub>	τ <sub>L</sub>	τ <sub>P13</sub>	Nodo	σ <sub>L1</sub>	σ <sub>L2</sub>	τ <sub>L</sub>	τ <sub>P13</sub>
	σ <sub>P1</sub>	σ <sub>P2</sub>	τ <sub>P</sub>	τ <sub>P23</sub>		σ <sub>P1</sub>	σ <sub>P2</sub>	τ <sub>P</sub>	τ <sub>P23</sub>		σ <sub>P1</sub>	σ <sub>P2</sub>	τ <sub>P</sub>	τ <sub>P23</sub>		σ <sub>P1</sub>	σ <sub>P2</sub>	τ <sub>P</sub>	τ <sub>P23</sub>
	[N/mm <sup>2</sup> ]	[N/mm <sup>2</sup> ]	[N/mm <sup>2</sup> ]	[N/mm <sup>2</sup> ]		[N/mm <sup>2</sup> ]	[N/mm <sup>2</sup> ]	[N/mm <sup>2</sup> ]	[N/mm <sup>2</sup> ]		[N/mm <sup>2</sup> ]	[N/mm <sup>2</sup> ]	[N/mm <sup>2</sup> ]	[N/mm <sup>2</sup> ]		[N/mm <sup>2</sup> ]	[N/mm <sup>2</sup> ]	[N/mm <sup>2</sup> ]	[N/mm <sup>2</sup> ]
<b>Fondazione</b>	<b>Platea 1</b>																		
<b>Condizione carico (Carico Permanente)</b>																			
00537	0,000	0,000	0,000	0,000	00162	0,000	0,000	0,000	0,000	00163	0,000	0,000	0,000	0,000	00880	0,000	0,000	0,000	0,000
	-0,002	-0,001	0,000	0,000		-0,001	-0,001	0,000	0,000		-0,001	-0,001	0,000	0,000		-0,001	-0,001	0,000	0,000
00851	0,000	0,000	0,000	0,000	00879	0,000	0,000	0,000	0,000	00059	0,000	0,000	0,000	0,000	00060	0,000	0,000	0,000	0,000
	-0,002	-0,001	0,000	0,000		-0,001	-0,001	0,000	0,000		-0,001	-0,002	0,000	0,000		-0,001	-0,001	0,000	0,000
00992	0,000	0,000	0,000	0,000	00309	0,000	0,000	0,000	0,000	00151	0,000	0,000	0,000	0,000	00152	0,000	0,000	0,000	0,000
	-0,002	-0,001	0,000	0,000		-0,001	-0,001	0,000	0,000		0,000	-0,001	0,000	0,000		-0,001	-0,001	0,000	0,000
01021	0,000	0,000	0,000	0,000	00058	0,000	0,000	0,000	0,000	00908	0,000	0,000	0,000	0,000	00181	0,000	0,000	0,000	0,000
	-0,001	-0,001	0,000	0,000		0,000	-0,001	0,000	0,000		-0,002	-0,001	0,000	0,000		-0,001	-0,002	0,000	0,000
00964	0,000	0,000	0,000	0,000	00057	0,000	0,000	0,000	0,000	01049	0,000	0,000	0,000	0,000	00056	0,000	0,000	0,000	0,000
	-0,002	-0,001	0,000	0,000		-0,001	-0,001	0,000	0,000		-0,002	-0,001	0,000	0,000		-0,001	-0,002	0,000	0,000
00150	0,000	0,000	0,000	0,000	00061	0,000	0,000	0,000	0,000	00826	0,000	0,000	0,000	0,000	00797	0,000	0,000	0,000	0,000
	-0,001	-0,002	0,000	0,000		-0,001	-0,001	0,000	0,000		-0,001	-0,001	0,000	0,000		-0,001	-0,001	0,000	0,000
00825	0,000	0,000	0,000	0,000	00064	0,000	0,000	0,000	0,000	00065	0,000	0,000	0,000	0,000	00878	0,000	0,000	0,000	0,000
	-0,001	-0,001	0,000	0,000		-0,001	-0,001	0,000	0,000		-0,001	-0,002	0,000	0,000		-0,002	-0,001	0,000	0,000
00195	0,000	0,000	0,000	0,000	00193	0,000	0,000	0,000	0,000	00145	0,000	0,000	0,000	0,000	00907	0,000	0,000	0,000	0,000
	-0,001	-0,001	0,000	0,000		-0,001	-0,001	0,000	0,000		0,000	-0,001	0,000	0,000		-0,001	-0,001	0,000	0,000
00146	0,000	0,000	0,000	0,000	00062	0,000	0,000	0,000	0,000	00935	0,000	0,000	0,000	0,000	00082	0,000	0,000	0,000	0,000
	-0,001	-0,001	0,000	0,000		-0,001	-0,002	0,000	0,000		-0,002	-0,001	0,000	0,000		-0,001	-0,002	0,000	0,000
00536	0,000	0,000	0,000	0,000	00081	0,000	0,000	0,000	0,000	00853	0,000	0,000	0,000	0,000	00852	0,000	0,000	0,000	0,000
	-0,002	-0,001	0,000	0,000		-0,001	-0,001	0,000	0,000		-0,001	-0,001	0,000	0,000		-0,001	-0,001	0,000	0,000
00881	0,000	0,000	0,000	0,000	00822	0,000	0,000	0,000	0,000	00176	0,000	0,000	0,000	0,000	00177	0,000	0,000	0,000	0,000
	-0,001	-0,001	0,000	0,000		-0,001	-0,001	0,000	0,000		-0,001	-0,001	0,000	0,000		0,000	-0,001	0,000	0,000
00085	0,000	0,000	0,000	0,000	00086	0,000	0,000	0,000	0,000	00451	0,000	0,000	0,000	0,000	00479	0,000	0,000	0,000	0,000
	-0,001	-0,002	0,000	0,000		0,000	-0,001	0,000	0,000		-0,001	-0,001	0,000	0,000		-0,002	-0,001	0,000	0,000
00338	0,000	0,000	0,000	0,000	00153	0,000	0,000	0,000	0,000	00366	0,000	0,000	0,000	0,000	00252	0,000	0,000	0,000	0,000
	-0,002	-0,001	0,000	0,000		-0,001	-0,002	0,000	0,000		-0,001	-0,001	0,000	0,000		-0,001	-0,001	0,000	0,000

Comm.: C20-025-S05

Il presente documento è di proprietà della ANTEX GROUP srl.  
 È vietato la comunicazione a terzi o la riproduzione senza il permesso scritto della suddetta.  
 La società tutela i propri diritti a rigore di Legge.





PARCO EOLICO DI "BUDDUSO"

RELAZIONE DI CALCOLO E TABULATI OPERE EDILI SSEU



Ingegneria & Innovazione

30/06/2023

REV: 2

Pag. 52

Platee - tensioni per condizioni di carico non sismiche

Table with columns: Nodo, σ1, σ2, τL, τP13, σ1, σ2, τL, τP13, σ1, σ2, τL, τP13, σ1, σ2, τL, τP13. It contains a grid of stress values for various nodes under non-seismic load conditions.

Comm.: C20-025-S05

Il presente documento è di proprietà della ANTEX GROUP srl. È vietato la comunicazione a terzi o la riproduzione senza il permesso scritto della suddetta. La società tutela i propri diritti a rigore di Legge.





PARCO EOLICO DI "BUDDUSO"

RELAZIONE DI CALCOLO E TABULATI OPERE EDILI SSEU



Ingegneria & Innovazione

30/06/2023

REV: 2

Pag. 53

Platee - tensioni per condizioni di carico non sismiche

Table with columns: Nodo, σ1, σ2, τL, τP13, and repeated for multiple nodes. Values are in N/mm².

Il presente documento è di proprietà della ANTEX GROUP srl. È Vietato la comunicazione a terzi o la riproduzione senza il permesso scritto della suddetta. La società tutela i propri diritti a rigore di Legge.

Comm.: C20-025-S05





PARCO EOLICO DI "BUDDUSO"

RELAZIONE DI CALCOLO E TABULATI OPERE EDILI SSEU



Ingegneria & Innovazione

30/06/2023

REV: 2

Pag. 54

Platee - tensioni per condizioni di carico non sismiche

Table with columns: Nodo, σ1, σ2, τL, τP13, σ1, σ2, τL, τP13, σ1, σ2, τL, τP13, σ1, σ2, τL, τP13. Each column contains numerical values for different nodes.

Comm.: C20-025-S05

Il presente documento è di proprietà della ANTEX GROUP srl. È vietato la comunicazione a terzi o la riproduzione senza il permesso scritto della suddetta. La società tutela i propri diritti a rigore di Legge.





PARCO EOLICO DI "BUDDUSO"

RELAZIONE DI CALCOLO E TABULATI OPERE EDILI SSEU



Ingegneria & Innovazione

30/06/2023

REV: 2

Pag. 55

Platee - tensioni per condizioni di carico non sismiche

Table with columns: Nodo, σ1, σ2, τL, τP13, and repeated for multiple nodes. Values are in N/mm².

Comm.: C20-025-S05

Il presente documento è di proprietà della ANTEX GROUP srl. È vietato la comunicazione a terzi o la riproduzione senza il permesso scritto della suddetta. La società tutela i propri diritti a rigore di Legge.





PARCO EOLICO DI "BUDDUSO"

RELAZIONE DI CALCOLO E TABULATI OPERE EDILI SSEU



Ingegneria & Innovazione

30/06/2023

REV: 2

Pag. 56

Platee - tensioni per condizioni di carico non sismiche

Table with 20 columns (Nodo, S1, S2, TL, TP13) and 20 rows of data. Each row contains stress values for different nodes and load conditions.

Il presente documento è di proprietà della ANTEX GROUP srl. È Vietato la comunicazione a terzi o la riproduzione senza il permesso scritto della suddetta. La società tutela i propri diritti a rigore di Legge.

Comm.: C20-025-S05







PARCO EOLICO DI "BUDDUSO"

RELAZIONE DI CALCOLO E TABULATI OPERE EDILI SSEU



Ingegneria & Innovazione

30/06/2023

REV: 2

Pag. 57

Platee - tensioni per condizioni di carico non sismiche

Table with columns: Nodo, σ1, σ2, τL, τP13, σ1, σ2, τL, τP13, σ1, σ2, τL, τP13, σ1, σ2, τL, τP13. Rows contain numerical data for various nodes (e.g., 00894, 00865, 01064, etc.) and stress components.

Il presente documento è di proprietà della ANTEX GROUP srl. È vietato la comunicazione a terzi o la riproduzione senza il permesso scritto della suddetta. La società tutela i propri diritti a rigore di Legge.

Comm.: C20-025-S05





PARCO EOLICO DI "BUDDUSO"

RELAZIONE DI CALCOLO E TABULATI OPERE EDILI SSEU



Ingegneria & Innovazione

30/06/2023

REV: 2

Pag. 58

Platee - tensioni per condizioni di carico non sismiche

Table with columns: Nodo, σ1, σ2, τL, τP13, σ1, σ2, τL, τP13, σ1, σ2, τL, τP13, σ1, σ2, τL, τP13. Each column contains numerical values for different nodes.

Il presente documento è di proprietà della ANTEX GROUP srl. È vietato la comunicazione a terzi o la riproduzione senza il permesso scritto della suddetta. La società tutela i propri diritti a rigore di Legge.

Comm.: C20-025-S05





PARCO EOLICO DI "BUDDUSO"

RELAZIONE DI CALCOLO E TABULATI OPERE EDILI SSEU



Ingegneria & Innovazione

30/06/2023

REV: 2

Pag. 59

Platee - tensioni per condizioni di carico non sismiche

Table with 20 columns (Nodo, S1, S2, TL, TP13) and 20 rows of data. Each row contains stress values for different nodes and load conditions.

Il presente documento è di proprietà della ANTEX GROUP srl. È vietato la comunicazione a terzi o la riproduzione senza il permesso scritto della suddetta. La società tutela i propri diritti a rigore di Legge.

Comm.: C20-025-S05





PARCO EOLICO DI "BUDDUSO"

RELAZIONE DI CALCOLO E TABULATI OPERE EDILI SSEU



Ingegneria & Innovazione

30/06/2023

REV: 2

Pag. 60

Platee - tensioni per condizioni di carico non sismiche

Table with columns: Nodo, sigma1, sigma2, tau, tau13, and repeated for multiple nodes. Values are mostly 0,000 or -0,001.

Condizione carico (Permanenti NON Strutturali)

Comm.: C20-025-S05

Il presente documento è di proprietà della ANTEX GROUP srl. È vietato la comunicazione a terzi o la riproduzione senza il permesso scritto della suddetta. La società tutela i propri diritti a rigore di Legge.





PARCO EOLICO DI "BUDDUSO"

RELAZIONE DI CALCOLO E TABULATI OPERE EDILI SSEU



Ingegneria & Innovazione

30/06/2023

REV: 2

Pag. 61

Platee - tensioni per condizioni di carico non sismiche

Table with 20 columns: Nodo, sigma1, sigma2, tau, tau13, Nodo, sigma1, sigma2, tau, tau13, Nodo, sigma1, sigma2, tau, tau13, Nodo, sigma1, sigma2, tau, tau13. All values are 0,000.

Il presente documento è di proprietà della ANTEX GROUP srl. È vietato la comunicazione a terzi o la riproduzione senza il permesso scritto della suddetta. La società tutela i propri diritti a rigore di Legge.

Comm.: C20-025-S05





PARCO EOLICO DI "BUDDUSO"

RELAZIONE DI CALCOLO E TABULATI OPERE EDILI SSEU



Ingegneria & Innovazione

30/06/2023

REV: 2

Pag. 62

Platee - tensioni per condizioni di carico non sismiche

Table with 20 columns (Nodo, sigma1, sigma2, tau, tau13) and 48 rows of data. All values are 0,000.

Il presente documento è di proprietà della ANTEX GROUP srl. È vietato la comunicazione a terzi o la riproduzione senza il permesso scritto della suddetta. La società tutela i propri diritti a rigore di Legge.

Comm.: C20-025-S05





PARCO EOLICO DI "BUDDUSO"

RELAZIONE DI CALCOLO E TABULATI OPERE EDILI SSEU



Ingegneria & Innovazione

30/06/2023

REV: 2

Pag. 63

Platee - tensioni per condizioni di carico non sismiche

Table with 20 columns: Nodo, sigma1, sigma2, tau, tau13, Nodo, sigma1, sigma2, tau, tau13, Nodo, sigma1, sigma2, tau, tau13, Nodo, sigma1, sigma2, tau, tau13. All values are 0,000.

Il presente documento è di proprietà della ANTEX GROUP srl. È vietato la comunicazione a terzi o la riproduzione senza il permesso scritto della suddetta. La società tutela i propri diritti a rigore di Legge.

Comm.: C20-025-S05





PARCO EOLICO DI "BUDDUSO"

RELAZIONE DI CALCOLO E TABULATI OPERE EDILI SSEU



Ingegneria & Innovazione

30/06/2023

REV: 2

Pag. 64

Platee - tensioni per condizioni di carico non sismiche

Table with 20 columns: Nodo, sigma1, sigma2, tau, tau13, Nodo, sigma1, sigma2, tau, tau13, Nodo, sigma1, sigma2, tau, tau13, Nodo, sigma1, sigma2, tau, tau13. All values are 0,000.

Comm.: C20-025-S05

Il presente documento è di proprietà della ANTEX GROUP srl. È vietato la comunicazione a terzi o la riproduzione senza il permesso scritto della suddetta. La società tutela i propri diritti a rigore di Legge.







PARCO EOLICO DI "BUDDUSO"

RELAZIONE DI CALCOLO E TABULATI OPERE EDILI SSEU



Ingegneria & Innovazione

30/06/2023

REV: 2

Pag. 65

Platee - tensioni per condizioni di carico non sismiche

Table with 20 columns: Nodo, sigma1, sigma2, tau, tau13, Nodo, sigma1, sigma2, tau, tau13, Nodo, sigma1, sigma2, tau, tau13, Nodo, sigma1, sigma2, tau, tau13. All values are 0,000.

Il presente documento è di proprietà della ANTEX GROUP srl. È vietato la comunicazione a terzi o la riproduzione senza il permesso scritto della suddetta. La società tutela i propri diritti a rigore di Legge.

Comm.: C20-025-S05





PARCO EOLICO DI "BUDDUSO"

RELAZIONE DI CALCOLO E TABULATI OPERE EDILI SSEU



Ingegneria & Innovazione

30/06/2023

REV: 2

Pag. 66

Platee - tensioni per condizioni di carico non sismiche

Table with columns: Nodo, σ1, σ2, τL, τP13, σ1, σ2, τL, τP13, σ1, σ2, τL, τP13, σ1, σ2, τL, τP13. Each cell contains numerical values representing stress and tension under non-seismic load conditions.

Il presente documento è di proprietà della ANTEX GROUP srl. È vietato la comunicazione a terzi o la riproduzione senza il permesso scritto della suddetta. La società tutela i propri diritti a rigore di Legge.

Comm.: C20-025-S05





PARCO EOLICO DI "BUDDUSO"

RELAZIONE DI CALCOLO E TABULATI OPERE EDILI SSEU



Ingegneria & Innovazione

30/06/2023

REV: 2

Pag. 67

Platee - tensioni per condizioni di carico non sismiche

Table with 20 columns: Nodo, sigma1, sigma2, tau, tau13, Nodo, sigma1, sigma2, tau, tau13, Nodo, sigma1, sigma2, tau, tau13, Nodo, sigma1, sigma2, tau, tau13. All values are 0,000.

Il presente documento è di proprietà della ANTEX GROUP srl. È vietato la comunicazione a terzi o la riproduzione senza il permesso scritto della suddetta. La società tutela i propri diritti a rigore di Legge.

Comm.: C20-025-S05







PARCO EOLICO DI "BUDDUSO"

RELAZIONE DI CALCOLO E TABULATI OPERE EDILI SSEU



Ingegneria & Innovazione

30/06/2023

REV: 2

Pag. 69

Platee - tensioni per condizioni di carico non sismiche

Table with 20 columns (Nodo, sigma1, sigma2, tau, tau13) and 100 rows of stress data for various nodes.

Il presente documento è di proprietà della ANTEX GROUP srl. È vietato la comunicazione a terzi o la riproduzione senza il permesso scritto della suddetta. La società tutela i propri diritti a rigore di Legge.

Comm.: C20-025-S05





PARCO EOLICO DI "BUDDUSO"

RELAZIONE DI CALCOLO E TABULATI OPERE EDILI SSEU



Ingegneria & Innovazione

30/06/2023

REV: 2

Pag. 70

Platee - tensioni per condizioni di carico non sismiche

Table with 20 columns (Nodo, S1, S2, TL, TP13) and 20 rows of data. Each row contains stress values for two different nodes.

Il presente documento è di proprietà della ANTEX GROUP srl. È vietato la comunicazione a terzi o la riproduzione senza il permesso scritto della suddetta. La società tutela i propri diritti a rigore di Legge.

Comm.: C20-025-S05





PARCO EOLICO DI "BUDDUSO"

RELAZIONE DI CALCOLO E TABULATI OPERE EDILI SSEU



Ingegneria & Innovazione

30/06/2023

REV: 2

Pag. 71

Platee - tensioni per condizioni di carico non sismiche

Table with columns: Nodo, σ1, σ2, τ, τp13, and repeated for multiple nodes. Values are in N/mm².

Il presente documento è di proprietà della ANTEX GROUP srl. È vietato la comunicazione a terzi o la riproduzione senza il permesso scritto della suddetta. La società tutela i propri diritti a rigore di Legge.

Comm.: C20-025-S05





PARCO EOLICO DI "BUDDUSO"

RELAZIONE DI CALCOLO E TABULATI OPERE EDILI SSEU



Ingegneria & Innovazione

30/06/2023

REV: 2

Pag. 72

Platee - tensioni per condizioni di carico non sismiche

Table with columns: Nodo, σ1, σ2, τ, τp13, and repeated for multiple nodes. Values are in N/mm².

Comm.: C20-025-S05

Il presente documento è di proprietà della ANTEX GROUP srl. È vietato la comunicazione a terzi o la riproduzione senza il permesso scritto della suddetta. La società tutela i propri diritti a rigore di Legge.







PARCO EOLICO DI "BUDDUSO"

RELAZIONE DI CALCOLO E TABULATI OPERE EDILI SSEU



Ingegneria & Innovazione

30/06/2023

REV: 2

Pag. 73

Platee - tensioni per condizioni di carico non sismiche

Table with columns: Nodo, S1, S2, TL, TP13, S1, S2, TL, TP13, S1, S2, TL, TP13, S1, S2, TL, TP13. Each column contains numerical values representing stress conditions for various nodes.

Comm.: C20-025-S05

Il presente documento è di proprietà della ANTEX GROUP srl. È vietato la comunicazione a terzi o la riproduzione senza il permesso scritto della suddetta. La società tutela i propri diritti a rigore di Legge.





PARCO EOLICO DI "BUDDUSO"

RELAZIONE DI CALCOLO E TABULATI OPERE EDILI SSEU



Ingegneria & Innovazione

30/06/2023

REV: 2

Pag. 74

Platee - tensioni per condizioni di carico non sismiche

Table with columns: Nodo, σ1, σ2, τ, τp13, and repeated for multiple nodes. Values are in N/mm².

Comm.: C20-025-S05

Il presente documento è di proprietà della ANTEX GROUP srl. È vietato la comunicazione a terzi o la riproduzione senza il permesso scritto della suddetta. La società tutela i propri diritti a rigore di Legge.





PARCO EOLICO DI "BUDDUSO"

RELAZIONE DI CALCOLO E TABULATI OPERE EDILI SSEU



Ingegneria & Innovazione

30/06/2023

REV: 2

Pag. 75

Platee - tensioni per condizioni di carico non sismiche

Table with columns: Nodo, S1, S2, TL, TP13, S1, S2, TL, TP13, S1, S2, TL, TP13, S1, S2, TL, TP13. Each column contains numerical values representing stress conditions for various nodes.

Comm.: C20-025-S05

Il presente documento è di proprietà della ANTEX GROUP srl. È vietato la comunicazione a terzi o la riproduzione senza il permesso scritto della suddetta. La società tutela i propri diritti a rigore di Legge.





PARCO EOLICO DI "BUDDUSO"

RELAZIONE DI CALCOLO E TABULATI OPERE EDILI SSEU



Ingegneria & Innovazione

30/06/2023

REV: 2

Pag. 76

Platee - tensioni per condizioni di carico non sismiche

Table with columns: Nodo, S1, S2, TL, TP13, Nodo, S1, S2, TL, TP13, Nodo, S1, S2, TL, TP13, Nodo, S1, S2, TL, TP13. Each column contains numerical values representing stress conditions for various nodes.

Il presente documento è di proprietà della ANTEX GROUP srl. È vietato la comunicazione a terzi o la riproduzione senza il permesso scritto della suddetta. La società tutela i propri diritti a rigore di Legge.

Comm.: C20-025-S05





PARCO EOLICO DI "BUDDUSO"

RELAZIONE DI CALCOLO E TABULATI OPERE EDILI SSEU



Ingegneria & Innovazione

30/06/2023

REV: 2

Pag. 77

Platee - tensioni per condizioni di carico non sismiche

Table with columns: Nodo, sigma1, sigma2, tau, tau13, and repeated for multiple nodes. Values are in N/mm^2.

Condizione carico (Autorimessa <= 30kN)

Table with columns: Nodo, sigma1, sigma2, tau, tau13, and repeated for multiple nodes. Values are in N/mm^2.

Comm.: C20-025-S05

Il presente documento è di proprietà della ANTEX GROUP srl. È vietato la comunicazione a terzi o la riproduzione senza il permesso scritto della suddetta. La società tutela i propri diritti a rigore di Legge.





PARCO EOLICO DI "BUDDUSO"

RELAZIONE DI CALCOLO E TABULATI OPERE EDILI SSEU



Ingegneria & Innovazione

30/06/2023

REV: 2

Pag. 78

Platee - tensioni per condizioni di carico non sismiche

Table with 20 columns: Nodo, sigma1, sigma2, tau, tau13, Nodo, sigma1, sigma2, tau, tau13, Nodo, sigma1, sigma2, tau, tau13, Nodo, sigma1, sigma2, tau, tau13. All values are 0,000.

Il presente documento è di proprietà della ANTEX GROUP srl. È vietato la comunicazione a terzi o la riproduzione senza il permesso scritto della suddetta. La società tutela i propri diritti a rigore di Legge.

Comm.: C20-025-S05





PARCO EOLICO DI "BUDDUSO"

RELAZIONE DI CALCOLO E TABULATI OPERE EDILI SSEU



Ingegneria & Innovazione

30/06/2023

REV: 2

Pag. 79

Platee - tensioni per condizioni di carico non sismiche

Table with 20 columns: Nodo, sigma1, sigma2, tau, tau13, Nodo, sigma1, sigma2, tau, tau13, Nodo, sigma1, sigma2, tau, tau13, Nodo, sigma1, sigma2, tau, tau13. All values are 0,000.

Il presente documento è di proprietà della ANTEX GROUP srl. È vietato la comunicazione a terzi o la riproduzione senza il permesso scritto della suddetta. La società tutela i propri diritti a rigore di Legge.

Comm.: C20-025-S05





PARCO EOLICO DI "BUDDUSO"

RELAZIONE DI CALCOLO E TABULATI OPERE EDILI SSEU



Ingegneria & Innovazione

30/06/2023

REV: 2

Pag. 80

Platee - tensioni per condizioni di carico non sismiche

Table with 20 columns: Nodo, sigma1, sigma2, tau, tau13, Nodo, sigma1, sigma2, tau, tau13, Nodo, sigma1, sigma2, tau, tau13, Nodo, sigma1, sigma2, tau, tau13. All values are 0,000.

Il presente documento è di proprietà della ANTEX GROUP srl. È vietato la comunicazione a terzi o la riproduzione senza il permesso scritto della suddetta. La società tutela i propri diritti a rigore di Legge.

Comm.: C20-025-S05







PARCO EOLICO DI "BUDDUSO"

RELAZIONE DI CALCOLO E TABULATI OPERE EDILI SSEU



Ingegneria & Innovazione

30/06/2023

REV: 2

Pag. 81

Platee - tensioni per condizioni di carico non sismiche

Table with 20 columns (Nodo, sigma1, sigma2, tau, tau13) and 48 rows of data. All values are 0,000.

Comm.: C20-025-S05

Il presente documento è di proprietà della ANTEX GROUP srl. È vietato la comunicazione a terzi o la riproduzione senza il permesso scritto della suddetta. La società tutela i propri diritti a rigore di Legge.





PARCO EOLICO DI "BUDDUSO"

RELAZIONE DI CALCOLO E TABULATI OPERE EDILI SSEU



Ingegneria & Innovazione

30/06/2023

REV: 2

Pag. 82

Platee - tensioni per condizioni di carico non sismiche

Table with 20 columns: Nodo, sigma1, sigma2, tau, tau13, Nodo, sigma1, sigma2, tau, tau13, Nodo, sigma1, sigma2, tau, tau13, Nodo, sigma1, sigma2, tau, tau13. All values are 0,000.

Il presente documento è di proprietà della ANTEX GROUP srl. È vietato la comunicazione a terzi o la riproduzione senza il permesso scritto della suddetta. La società tutela i propri diritti a rigore di Legge.

Comm.: C20-025-S05





PARCO EOLICO DI "BUDDUSO"

RELAZIONE DI CALCOLO E TABULATI OPERE EDILI SSEU



Ingegneria & Innovazione

30/06/2023

REV: 2

Pag. 83

Platee - tensioni per condizioni di carico non sismiche

Table with 20 columns: Nodo, sigma1, sigma2, tau, tau13, Nodo, sigma1, sigma2, tau, tau13, Nodo, sigma1, sigma2, tau, tau13, Nodo, sigma1, sigma2, tau, tau13. All values are 0,000.

Il presente documento è di proprietà della ANTEX GROUP srl. È vietato la comunicazione a terzi o la riproduzione senza il permesso scritto della suddetta. La società tutela i propri diritti a rigore di Legge.

Comm.: C20-025-S05





PARCO EOLICO DI "BUDDUSO"

RELAZIONE DI CALCOLO E TABULATI OPERE EDILI SSEU



Ingegneria & Innovazione

30/06/2023

REV: 2

Pag. 84

Platee - tensioni per condizioni di carico non sismiche

Table with 20 columns: Nodo, sigma1, sigma2, tau, tau13, Nodo, sigma1, sigma2, tau, tau13, Nodo, sigma1, sigma2, tau, tau13, Nodo, sigma1, sigma2, tau, tau13. All values are 0,000.

Il presente documento è di proprietà della ANTEX GROUP srl. È vietato la comunicazione a terzi o la riproduzione senza il permesso scritto della suddetta. La società tutela i propri diritti a rigore di Legge.

Comm.: C20-025-S05





PARCO EOLICO DI "BUDDUSO"

RELAZIONE DI CALCOLO E TABULATI OPERE EDILI SSEU



Ingegneria & Innovazione

30/06/2023

REV: 2

Pag. 85

Platee - tensioni per condizioni di carico non sismiche

Table with 20 columns: Nodo, sigma1, sigma2, tau, tau13, Nodo, sigma1, sigma2, tau, tau13, Nodo, sigma1, sigma2, tau, tau13, Nodo, sigma1, sigma2, tau, tau13. All values are 0,000.

Il presente documento è di proprietà della ANTEX GROUP srl. È vietato la comunicazione a terzi o la riproduzione senza il permesso scritto della suddetta. La società tutela i propri diritti a rigore di Legge.

Comm.: C20-025-S05





PARCO EOLICO DI "BUDDUSO"

RELAZIONE DI CALCOLO E TABULATI OPERE EDILI SSEU



Ingegneria & Innovazione

30/06/2023

REV: 2

Pag. 86

Platee - tensioni per condizioni di carico non sismiche

Table with 20 columns (Nodo, sigma1, sigma2, tau, tau13) and 20 rows of data showing stress values for various nodes.

LEGENDA:

- SP1 Tensione normale in direzione 1 per comportamento a piastra.
SP2 Tensione normale in direzione 2 per comportamento a piastra.
TP Tensione tangenziale 1-2 per comportamento a piastra.
TP23 Tensione (Piastra) tangenziale in direzione 2-3
SL1 Tensione normale in direzione 1 per comportamento a lastra.
SL2 Tensione normale in direzione 2 per comportamento a lastra.
TL Tensione tangenziale 1-2 per comportamento a lastra.
TP13 Tensione (Piastra) tangenziale in direzione 1-3

Platee - TENSIONI PER EFFETTO DEL SISMA

Platee - tensioni per effetto del sisma

Table with 20 columns (Nodo, sigma1, sigma2, tau, tau13) and 20 rows of data for seismic effects, including a section for 'Fondazione Sisma in direzione X'.

Comm.: C20-025-S05

Il presente documento è di proprietà della ANTEX GROUP srl. È vietato la comunicazione a terzi o la riproduzione senza il permesso scritto della suddetta. La società tutela i propri diritti a rigore di Legge.





PARCO EOLICO DI "BUDDUSO"

RELAZIONE DI CALCOLO E TABULATI OPERE EDILI SSEU



Ingegneria & Innovazione

30/06/2023

REV: 2

Pag. 87

Platee - tensioni per effetto del sisma

Nodo	σ11	σ12	τL	τP13	Nodo	σ11	σ12	τL	τP13	Nodo	σ11	σ12	τL	τP13	Nodo	σ11	σ12	τL	τP13
	σP1	σP2	τP	τP23		σP1	σP2	τP	τP23		σP1	σP2	τP	τP23		σP1	σP2	τP	τP23
	[N/mm²]	[N/mm²]	[N/mm²]	[N/mm²]		[N/mm²]	[N/mm²]	[N/mm²]	[N/mm²]		[N/mm²]	[N/mm²]	[N/mm²]	[N/mm²]		[N/mm²]	[N/mm²]	[N/mm²]	[N/mm²]
	0,000	0,000	0,000	0,000		0,000	0,000	0,000	0,000		0,000	0,000	0,000	0,000		0,000	0,000	0,000	0,000
00338	0,000	0,000	0,000	0,000	00153	0,000	0,000	0,000	0,000	00366	0,000	0,000	0,000	0,000	00252	0,000	0,000	0,000	0,000
00148	0,000	0,000	0,000	0,000	00149	0,000	0,000	0,000	0,000	00486	0,000	0,000	0,000	0,000	00457	0,000	0,000	0,000	0,000
00485	0,000	0,000	0,000	0,000	00084	0,000	0,000	0,000	0,000	00508	0,000	0,000	0,000	0,000	00147	0,000	0,000	0,000	0,000
00054	0,000	0,000	0,000	0,000	01106	0,000	0,000	0,000	0,000	00053	0,000	0,000	0,000	0,000	01078	0,000	0,000	0,000	0,000
00194	0,000	0,000	0,000	0,000	00190	0,000	0,000	0,000	0,000	00006	0,000	0,000	0,000	0,000	00083	0,000	0,000	0,000	0,000
00718	0,000	0,000	0,000	0,000	00717	0,000	0,000	0,000	0,000	00746	0,000	0,000	0,000	0,000	00708	0,000	0,000	0,000	0,000
00171	0,000	0,000	0,000	0,000	00172	0,000	0,000	0,000	0,000	00737	0,000	0,000	0,000	0,000	00173	0,000	0,000	0,000	0,000
00765	0,000	0,000	0,000	0,000	00191	0,000	0,000	0,000	0,000	00069	0,000	0,000	0,000	0,000	00793	0,000	0,000	0,000	0,000
00068	0,000	0,000	0,000	0,000	00076	0,000	0,000	0,000	0,000	00077	0,000	0,000	0,000	0,000	00650	0,000	0,000	0,000	0,000
00679	0,000	0,000	0,000	0,000	00075	0,000	0,000	0,000	0,000	00594	0,000	0,000	0,000	0,000	00164	0,000	0,000	0,000	0,000
00165	0,000	0,000	0,000	0,000	00070	0,000	0,000	0,000	0,000	00794	0,000	0,000	0,000	0,000	00175	0,000	0,000	0,000	0,000
00072	0,000	0,000	0,000	0,000	00736	0,000	0,000	0,000	0,000	00071	0,000	0,000	0,000	0,000	00073	0,000	0,000	0,000	0,000
00707	0,000	0,000	0,000	0,000	00764	0,000	0,000	0,000	0,000	00540	0,000	0,000	0,000	0,000	00511	0,000	0,000	0,000	0,000
00539	0,000	0,000	0,000	0,000	00622	0,000	0,000	0,000	0,000	00651	0,000	0,000	0,000	0,000	00167	0,000	0,000	0,000	0,000
00168	0,000	0,000	0,000	0,000	00143	0,000	0,000	0,000	0,000	00144	0,000	0,000	0,000	0,000	00909	0,000	0,000	0,000	0,000
00821	0,000	0,000	0,000	0,000	00078	0,000	0,000	0,000	0,000	00395	0,000	0,000	0,000	0,000	00156	0,000	0,000	0,000	0,000
00423	0,000	0,000	0,000	0,000	00074	0,000	0,000	0,000	0,000	01079	0,000	0,000	0,000	0,000	01050	0,000	0,000	0,000	0,000
00189	0,000	0,000	0,000	0,000	00509	0,000	0,000	0,000	0,000	00480	0,000	0,000	0,000	0,000	00161	0,000	0,000	0,000	0,000
00005	0,000	0,000	0,000	0,000	00052	0,000	0,000	0,000	0,000	00063	0,000	0,000	0,000	0,000	00425	0,000	0,000	0,000	0,000
00396	0,000	0,000	0,000	0,000	00424	0,000	0,000	0,000	0,000	00850	0,000	0,000	0,000	0,000	00067	0,000	0,000	0,000	0,000
00066	0,000	0,000	0,000	0,000	00080	0,000	0,000	0,000	0,000	00565	0,000	0,000	0,000	0,000	00593	0,000	0,000	0,000	0,000
00169	0,000	0,000	0,000	0,000	00680	0,000	0,000	0,000	0,000	00170	0,000	0,000	0,000	0,000	00159	0,000	0,000	0,000	0,000
00160	0,000	0,000	0,000	0,000	01051	0,000	0,000	0,000	0,000	00055	0,000	0,000	0,000	0,000	00179	0,000	0,000	0,000	0,000
00003	0,000	0,000	0,000	0,000	00094	0,000	0,000	0,000	0,000	00280	0,000	0,000	0,000	0,000	00308	0,000	0,000	0,000	0,000
00623	0,000	0,000	0,000	0,000	00166	0,000	0,000	0,000	0,000	00224	0,000	0,000	0,000	0,000	00154	0,000	0,000	0,000	0,000
00155	0,000	0,000	0,000	0,000	00936	0,000	0,000	0,000	0,000	00182	0,000	0,000	0,000	0,000	00183	0,000	0,000	0,000	0,000
00226	0,000	0,000	0,000	0,000	00197	0,000	0,000	0,000	0,000	00225	0,000	0,000	0,000	0,000	00142	0,000	0,000	0,000	0,000
00196	0,000	0,000	0,000	0,000	00092	0,000	0,000	0,000	0,000	00337	0,000	0,000	0,000	0,000	00091	0,000	0,000	0,000	0,000
00188	0,000	0,000	0,000	0,000	00187	0,000	0,000	0,000	0,000	00993	0,000	0,000	0,000	0,000	00184	0,000	0,000	0,000	0,000
00185	0,000	0,000	0,000	0,000	00186	0,000	0,000	0,000	0,000	01022	0,000	0,000	0,000	0,000	00157	0,000	0,000	0,000	0,000
00566	0,000	0,000	0,000	0,000	00178	0,000	0,000	0,000	0,000	00281	0,000	0,000	0,000	0,000	00158	0,000	0,000	0,000	0,000
00174	0,000	0,000	0,000	0,000	00824	0,000	0,000	0,000	0,000	00090	0,000	0,000	0,000	0,000	00365	0,000	0,000	0,000	0,000

Il presente documento è di proprietà della ANTEX GROUP srl.  
 È vietato la comunicazione a terzi o la riproduzione senza il permesso scritto della suddetta.  
 La società tutela i propri diritti a rigore di Legge.

Comm.: C20-025-S05









PARCO EOLICO DI "BUDDUSO"

RELAZIONE DI CALCOLO E TABULATI OPERE EDILI SSEU



Ingegneria & Innovazione

30/06/2023

REV: 2

Pag. 89

Platee - tensioni per effetto del sisma

Nodo	σ11 σP1	σ12 σP2	τ1 τP	τP13 τP23	Nodo	σ11 σP1	σ12 σP2	τ1 τP	τP13 τP23	Nodo	σ11 σP1	σ12 σP2	τ1 τP	τP13 τP23	Nodo	σ11 σP1	σ12 σP2	τ1 τP	τP13 τP23
	[N/mm <sup>2</sup> ]	[N/mm <sup>2</sup> ]	[N/mm <sup>2</sup> ]	[N/mm <sup>2</sup> ]		[N/mm <sup>2</sup> ]	[N/mm <sup>2</sup> ]	[N/mm <sup>2</sup> ]	[N/mm <sup>2</sup> ]		[N/mm <sup>2</sup> ]	[N/mm <sup>2</sup> ]	[N/mm <sup>2</sup> ]	[N/mm <sup>2</sup> ]		[N/mm <sup>2</sup> ]	[N/mm <sup>2</sup> ]	[N/mm <sup>2</sup> ]	[N/mm <sup>2</sup> ]
00599	0,000	0,000	0,000	0,000	00626	0,000	0,000	0,000	0,000	00013	0,000	0,000	0,000	0,000	00569	0,000	0,000	0,000	0,000
00770	0,000	0,000	0,000	0,000	00741	0,000	0,000	0,000	0,000	00769	0,000	0,000	0,000	0,000	00286	0,000	0,000	0,000	0,000
00257	0,000	0,000	0,000	0,000	01083	0,000	0,000	0,000	0,000	00136	0,000	0,000	0,000	0,000	00137	0,000	0,000	0,000	0,000
00200	0,000	0,000	0,000	0,000	00598	0,000	0,000	0,000	0,000	00541	0,000	0,000	0,000	0,000	00014	0,000	0,000	0,000	0,000
00256	0,000	0,000	0,000	0,000	00655	0,000	0,000	0,000	0,000	00856	0,000	0,000	0,000	0,000	00827	0,000	0,000	0,000	0,000
00399	0,000	0,000	0,000	0,000	00370	0,000	0,000	0,000	0,000	00427	0,000	0,000	0,000	0,000	00138	0,000	0,000	0,000	0,000
00685	0,000	0,000	0,000	0,000	00656	0,000	0,000	0,000	0,000	00684	0,000	0,000	0,000	0,000	00093	0,000	0,000	0,000	0,000
00230	0,000	0,000	0,000	0,000	00201	0,000	0,000	0,000	0,000	00229	0,000	0,000	0,000	0,000	00456	0,000	0,000	0,000	0,000
01026	0,000	0,000	0,000	0,000	00627	0,000	0,000	0,000	0,000	00798	0,000	0,000	0,000	0,000	00542	0,000	0,000	0,000	0,000
01027	0,000	0,000	0,000	0,000	00258	0,000	0,000	0,000	0,000	00393	0,000	0,000	0,000	0,000	00513	0,000	0,000	0,000	0,000
01085	0,000	0,000	0,000	0,000	00017	0,000	0,000	0,000	0,000	00970	0,000	0,000	0,000	0,000	00941	0,000	0,000	0,000	0,000
00947	0,000	0,000	0,000	0,000	00918	0,000	0,000	0,000	0,000	00946	0,000	0,000	0,000	0,000	00134	0,000	0,000	0,000	0,000
00135	0,000	0,000	0,000	0,000	00551	0,000	0,000	0,000	0,000	00550	0,000	0,000	0,000	0,000	00713	0,000	0,000	0,000	0,000
00942	0,000	0,000	0,000	0,000	00913	0,000	0,000	0,000	0,000	00998	0,000	0,000	0,000	0,000	00015	0,000	0,000	0,000	0,000
00428	0,000	0,000	0,000	0,000	00371	0,000	0,000	0,000	0,000	01087	0,000	0,000	0,000	0,000	01086	0,000	0,000	0,000	0,000
00020	0,000	0,000	0,000	0,000	00628	0,000	0,000	0,000	0,000	00963	0,000	0,000	0,000	0,000	00514	0,000	0,000	0,000	0,000
01089	0,000	0,000	0,000	0,000	01060	0,000	0,000	0,000	0,000	01088	0,000	0,000	0,000	0,000	00016	0,000	0,000	0,000	0,000
00771	0,000	0,000	0,000	0,000	00799	0,000	0,000	0,000	0,000	00343	0,000	0,000	0,000	0,000	00943	0,000	0,000	0,000	0,000
00914	0,000	0,000	0,000	0,000	00742	0,000	0,000	0,000	0,000	00450	0,000	0,000	0,000	0,000	00291	0,000	0,000	0,000	0,000
00262	0,000	0,000	0,000	0,000	00290	0,000	0,000	0,000	0,000	00400	0,000	0,000	0,000	0,000	00714	0,000	0,000	0,000	0,000
00315	0,000	0,000	0,000	0,000	00657	0,000	0,000	0,000	0,000	00543	0,000	0,000	0,000	0,000	00971	0,000	0,000	0,000	0,000
00773	0,000	0,000	0,000	0,000	00744	0,000	0,000	0,000	0,000	00772	0,000	0,000	0,000	0,000	00828	0,000	0,000	0,000	0,000
00999	0,000	0,000	0,000	0,000	00885	0,000	0,000	0,000	0,000	00401	0,000	0,000	0,000	0,000	00429	0,000	0,000	0,000	0,000
00458	0,000	0,000	0,000	0,000	00203	0,000	0,000	0,000	0,000	00132	0,000	0,000	0,000	0,000	00202	0,000	0,000	0,000	0,000
00372	0,000	0,000	0,000	0,000	00133	0,000	0,000	0,000	0,000	00600	0,000	0,000	0,000	0,000	00658	0,000	0,000	0,000	0,000
00686	0,000	0,000	0,000	0,000	00801	0,000	0,000	0,000	0,000	00572	0,000	0,000	0,000	0,000	00259	0,000	0,000	0,000	0,000
00287	0,000	0,000	0,000	0,000	00886	0,000	0,000	0,000	0,000	00629	0,000	0,000	0,000	0,000	00515	0,000	0,000	0,000	0,000
00857	0,000	0,000	0,000	0,000	00018	0,000	0,000	0,000	0,000	01028	0,000	0,000	0,000	0,000	00689	0,000	0,000	0,000	0,000
00829	0,000	0,000	0,000	0,000	00800	0,000	0,000	0,000	0,000	00430	0,000	0,000	0,000	0,000	00344	0,000	0,000	0,000	0,000
01058	0,000	0,000	0,000	0,000	00743	0,000	0,000	0,000	0,000	00544	0,000	0,000	0,000	0,000	01059	0,000	0,000	0,000	0,000
00487	0,000	0,000	0,000	0,000	00279	0,000	0,000	0,000	0,000	00601	0,000	0,000	0,000	0,000	00573	0,000	0,000	0,000	0,000
01057	0,000	0,000	0,000	0,000	00316	0,000	0,000	0,000	0,000	00373	0,000	0,000	0,000	0,000	00715	0,000	0,000	0,000	0,000

Il presente documento è di proprietà della ANTEX GROUP srl.  
 È vietato la comunicazione a terzi o la riproduzione senza il permesso scritto della suddetta.  
 La società tutela i propri diritti a rigore di Legge.

Comm.: C20-025-S05





PARCO EOLICO DI "BUDDUSO"

RELAZIONE DI CALCOLO E TABULATI OPERE EDILI SSEU



Ingegneria & Innovazione

30/06/2023

REV: 2

Pag. 90

Platee - tensioni per effetto del sisma

Table with columns: Nodo, sigma1, sigma2, tau, tau13, and repeated for multiple nodes. Values are mostly 0,000.

Il presente documento è di proprietà della ANTEX GROUP srl. È vietato la comunicazione a terzi o la riproduzione senza il permesso scritto della suddetta. La società tutela i propri diritti a rigore di Legge.

Comm.: C20-025-S05





PARCO EOLICO DI "BUDDUSO"

RELAZIONE DI CALCOLO E TABULATI OPERE EDILI SSEU



Ingegneria & Innovazione

30/06/2023

REV: 2

Pag. 91

Platee - tensioni per effetto del sisma

Table with columns: Nodo, sigma1, sigma2, tau, tau13, and repeated for multiple nodes. Values are mostly 0,000.

Comm.: C20-025-S05

Il presente documento è di proprietà della ANTEX GROUP srl. È vietato la comunicazione a terzi o la riproduzione senza il permesso scritto della suddetta. La società tutela i propri diritti a rigore di Legge.





PARCO EOLICO DI "BUDDUSO"

RELAZIONE DI CALCOLO E TABULATI OPERE EDILI SSEU



Ingegneria & Innovazione

30/06/2023

REV: 2

Pag. 92

Platee - tensioni per effetto del sisma

Nodo	σ11	σ12	τL	τP13	Nodo	σ11	σ12	τL	τP13	Nodo	σ11	σ12	τL	τP13	Nodo	σ11	σ12	τL	τP13
	σP1	σP2	τP	τP23		σP1	σP2	τP	τP23		σP1	σP2	τP	τP23		σP1	σP2	τP	τP23
	[N/mm²]	[N/mm²]	[N/mm²]	[N/mm²]		[N/mm²]	[N/mm²]	[N/mm²]	[N/mm²]		[N/mm²]	[N/mm²]	[N/mm²]	[N/mm²]		[N/mm²]	[N/mm²]	[N/mm²]	[N/mm²]
	0,000	0,000	0,000	0,000		0,000	0,000	0,000	0,000		0,000	0,000	0,000	0,000		0,000	0,000	0,000	0,000
00383	0,000	0,000	0,000	0,000	00411	0,000	0,000	0,000	0,000	00836	0,000	0,000	0,000	0,000	00494	0,000	0,000	0,000	0,000
00894	0,000	0,000	0,000	0,000	00865	0,000	0,000	0,000	0,000	01064	0,000	0,000	0,000	0,000	00323	0,000	0,000	0,000	0,000
00353	0,000	0,000	0,000	0,000	00352	0,000	0,000	0,000	0,000	00381	0,000	0,000	0,000	0,000	00922	0,000	0,000	0,000	0,000
00580	0,000	0,000	0,000	0,000	00808	0,000	0,000	0,000	0,000	00527	0,000	0,000	0,000	0,000	00526	0,000	0,000	0,000	0,000
00555	0,000	0,000	0,000	0,000	00410	0,000	0,000	0,000	0,000	00033	0,000	0,000	0,000	0,000	01094	0,000	0,000	0,000	0,000
00032	0,000	0,000	0,000	0,000	01036	0,000	0,000	0,000	0,000	00609	0,000	0,000	0,000	0,000	00552	0,000	0,000	0,000	0,000
00696	0,000	0,000	0,000	0,000	00678	0,000	0,000	0,000	0,000	00238	0,000	0,000	0,000	0,000	00466	0,000	0,000	0,000	0,000
00267	0,000	0,000	0,000	0,000	00496	0,000	0,000	0,000	0,000	00467	0,000	0,000	0,000	0,000	00951	0,000	0,000	0,000	0,000
00438	0,000	0,000	0,000	0,000	00116	0,000	0,000	0,000	0,000	00117	0,000	0,000	0,000	0,000	00212	0,000	0,000	0,000	0,000
00735	0,000	0,000	0,000	0,000	00763	0,000	0,000	0,000	0,000	00695	0,000	0,000	0,000	0,000	00723	0,000	0,000	0,000	0,000
00269	0,000	0,000	0,000	0,000	00268	0,000	0,000	0,000	0,000	00297	0,000	0,000	0,000	0,000	00324	0,000	0,000	0,000	0,000
01008	0,000	0,000	0,000	0,000	00638	0,000	0,000	0,000	0,000	00752	0,000	0,000	0,000	0,000	00780	0,000	0,000	0,000	0,000
00837	0,000	0,000	0,000	0,000	01065	0,000	0,000	0,000	0,000	00781	0,000	0,000	0,000	0,000	00809	0,000	0,000	0,000	0,000
01037	0,000	0,000	0,000	0,000	00034	0,000	0,000	0,000	0,000	01095	0,000	0,000	0,000	0,000	00581	0,000	0,000	0,000	0,000
00792	0,000	0,000	0,000	0,000	00239	0,000	0,000	0,000	0,000	00296	0,000	0,000	0,000	0,000	00866	0,000	0,000	0,000	0,000
00307	0,000	0,000	0,000	0,000	00240	0,000	0,000	0,000	0,000	01009	0,000	0,000	0,000	0,000	00980	0,000	0,000	0,000	0,000
00923	0,000	0,000	0,000	0,000	00440	0,000	0,000	0,000	0,000	00754	0,000	0,000	0,000	0,000	00782	0,000	0,000	0,000	0,000
00439	0,000	0,000	0,000	0,000	00952	0,000	0,000	0,000	0,000	00385	0,000	0,000	0,000	0,000	00356	0,000	0,000	0,000	0,000
00384	0,000	0,000	0,000	0,000	00610	0,000	0,000	0,000	0,000	01066	0,000	0,000	0,000	0,000	00354	0,000	0,000	0,000	0,000
00325	0,000	0,000	0,000	0,000	00211	0,000	0,000	0,000	0,000	00667	0,000	0,000	0,000	0,000	00118	0,000	0,000	0,000	0,000
00382	0,000	0,000	0,000	0,000	00584	0,000	0,000	0,000	0,000	00583	0,000	0,000	0,000	0,000	00553	0,000	0,000	0,000	0,000
00582	0,000	0,000	0,000	0,000	00838	0,000	0,000	0,000	0,000	01096	0,000	0,000	0,000	0,000	00035	0,000	0,000	0,000	0,000
00981	0,000	0,000	0,000	0,000	00924	0,000	0,000	0,000	0,000	00639	0,000	0,000	0,000	0,000	00898	0,000	0,000	0,000	0,000
00897	0,000	0,000	0,000	0,000	00926	0,000	0,000	0,000	0,000	00810	0,000	0,000	0,000	0,000	01039	0,000	0,000	0,000	0,000
01067	0,000	0,000	0,000	0,000	01038	0,000	0,000	0,000	0,000	00611	0,000	0,000	0,000	0,000	00115	0,000	0,000	0,000	0,000
00213	0,000	0,000	0,000	0,000	00925	0,000	0,000	0,000	0,000	00953	0,000	0,000	0,000	0,000	00525	0,000	0,000	0,000	0,000
00364	0,000	0,000	0,000	0,000	00906	0,000	0,000	0,000	0,000	00934	0,000	0,000	0,000	0,000	01010	0,000	0,000	0,000	0,000
00327	0,000	0,000	0,000	0,000	00298	0,000	0,000	0,000	0,000	00326	0,000	0,000	0,000	0,000	00554	0,000	0,000	0,000	0,000
01048	0,000	0,000	0,000	0,000	00668	0,000	0,000	0,000	0,000	00839	0,000	0,000	0,000	0,000	00811	0,000	0,000	0,000	0,000
00640	0,000	0,000	0,000	0,000	00270	0,000	0,000	0,000	0,000	00241	0,000	0,000	0,000	0,000	00899	0,000	0,000	0,000	0,000
00870	0,000	0,000	0,000	0,000	00355	0,000	0,000	0,000	0,000	00612	0,000	0,000	0,000	0,000	00868	0,000	0,000	0,000	0,000
00697	0,000	0,000	0,000	0,000	00413	0,000	0,000	0,000	0,000	00982	0,000	0,000	0,000	0,000	00036	0,000	0,000	0,000	0,000

Il presente documento è di proprietà della ANTEX GROUP srl.  
 È vietato la comunicazione a terzi o la riproduzione senza il permesso scritto della suddetta.  
 La società tutela i propri diritti a rigore di Legge.

Comm.: C20-025-S05







PARCO EOLICO DI "BUDDUSO"

RELAZIONE DI CALCOLO E TABULATI OPERE EDILI SSEU



Ingegneria & Innovazione

30/06/2023

REV: 2

Pag. 94

Platee - tensioni per effetto del sisma

Table with columns: Nodo, sigma1, sigma2, tau, tau13, and repeated for multiple nodes. Values are mostly 0,000.

Il presente documento è di proprietà della ANTEX GROUP srl. È vietato la comunicazione a terzi o la riproduzione senza il permesso scritto della suddetta. La società tutela i propri diritti a rigore di Legge.

Comm.: C20-025-S05





PARCO EOLICO DI "BUDDUSO"

RELAZIONE DI CALCOLO E TABULATI OPERE EDILI SSEU



Ingegneria & Innovazione

30/06/2023

REV: 2

Pag. 95

Platee - tensioni per effetto del sisma

Nodo	σ11	σ12	τL	τP13	Nodo	σ11	σ12	τL	τP13	Nodo	σ11	σ12	τL	τP13	Nodo	σ11	σ12	τL	τP13
	σP1	σP2	τP	τP23		σP1	σP2	τP	τP23		σP1	σP2	τP	τP23		σP1	σP2	τP	τP23
	[N/mm²]	[N/mm²]	[N/mm²]	[N/mm²]		[N/mm²]	[N/mm²]	[N/mm²]	[N/mm²]		[N/mm²]	[N/mm²]	[N/mm²]	[N/mm²]		[N/mm²]	[N/mm²]	[N/mm²]	[N/mm²]
	0,000	0,000	0,000	0,000		0,000	0,000	0,000	0,000		0,000	0,000	0,000	0,000		0,000	0,000	0,000	0,000
00905	0,000	0,000	0,000	0,000	00933	0,000	0,000	0,000	0,000	00876	0,000	0,000	0,000	0,000	00420	0,000	0,000	0,000	0,000
01018	0,000	0,000	0,000	0,000	00733	0,000	0,000	0,000	0,000	01047	0,000	0,000	0,000	0,000	00676	0,000	0,000	0,000	0,000
00619	0,000	0,000	0,000	0,000	00790	0,000	0,000	0,000	0,000	00562	0,000	0,000	0,000	0,000	00847	0,000	0,000	0,000	0,000
00049	0,000	0,000	0,000	0,000	00648	0,000	0,000	0,000	0,000	00392	0,000	0,000	0,000	0,000	00848	0,000	0,000	0,000	0,000
00705	0,000	0,000	0,000	0,000	00534	0,000	0,000	0,000	0,000	00819	0,000	0,000	0,000	0,000	00990	0,000	0,000	0,000	0,000
00734	0,000	0,000	0,000	0,000	00762	0,000	0,000	0,000	0,000	00591	0,000	0,000	0,000	0,000	00249	0,000	0,000	0,000	0,000
00706	0,000	0,000	0,000	0,000	00677	0,000	0,000	0,000	0,000	00620	0,000	0,000	0,000	0,000	01076	0,000	0,000	0,000	0,000
01019	0,000	0,000	0,000	0,000	00278	0,000	0,000	0,000	0,000	00101	0,000	0,000	0,000	0,000	00563	0,000	0,000	0,000	0,000
00791	0,000	0,000	0,000	0,000															
<b>Sisma in direzione Y</b>																			
00537	0,000	0,000	0,000	0,000	00162	0,000	0,000	0,000	0,000	00163	0,000	0,000	0,000	0,000	00880	0,000	0,000	0,000	0,000
00851	0,000	0,000	0,000	0,000	00879	0,000	0,000	0,000	0,000	00059	0,000	0,000	0,000	0,000	00060	0,000	0,000	0,000	0,000
00992	0,000	0,000	0,000	0,000	00309	0,000	0,000	0,000	0,000	00151	0,000	0,000	0,000	0,000	00152	0,000	0,000	0,000	0,000
01021	0,000	0,000	0,000	0,000	00058	0,000	0,000	0,000	0,000	00908	0,000	0,000	0,000	0,000	00181	0,000	0,000	0,000	0,000
00964	0,000	0,000	0,000	0,000	00057	0,000	0,000	0,000	0,000	01049	0,000	0,000	0,000	0,000	00056	0,000	0,000	0,000	0,000
00150	0,000	0,000	0,000	0,000	00061	0,000	0,000	0,000	0,000	00826	0,000	0,000	0,000	0,000	00797	0,000	0,000	0,000	0,000
00825	0,000	0,000	0,000	0,000	00064	0,000	0,000	0,000	0,000	00065	0,000	0,000	0,000	0,000	00878	0,000	0,000	0,000	0,000
00195	0,000	0,000	0,000	0,000	00193	0,000	0,000	0,000	0,000	00145	0,000	0,000	0,000	0,000	00907	0,000	0,000	0,000	0,000
00146	0,000	0,000	0,000	0,000	00062	0,000	0,000	0,000	0,000	00935	0,000	0,000	0,000	0,000	00082	0,000	0,000	0,000	0,000
00536	0,000	0,000	0,000	0,000	00081	0,000	0,000	0,000	0,000	00853	0,000	0,000	0,000	0,000	00852	0,000	0,000	0,000	0,000
00881	0,000	0,000	0,000	0,000	00822	0,000	0,000	0,000	0,000	00176	0,000	0,000	0,000	0,000	00177	0,000	0,000	0,000	0,000
00085	0,000	0,000	0,000	0,000	00086	0,000	0,000	0,000	0,000	00451	0,000	0,000	0,000	0,000	00479	0,000	0,000	0,000	0,000
00338	0,000	0,000	0,000	0,000	00153	0,000	0,000	0,000	0,000	00366	0,000	0,000	0,000	0,000	00252	0,000	0,000	0,000	0,000
00148	0,000	0,000	0,000	0,000	00149	0,000	0,000	0,000	0,000	00486	0,000	0,000	0,000	0,000	00457	0,000	0,000	0,000	0,000
00485	0,000	0,000	0,000	0,000	00084	0,000	0,000	0,000	0,000	00508	0,000	0,000	0,000	0,000	00147	0,000	0,000	0,000	0,000
00054	0,000	0,000	0,000	0,000	01106	0,000	0,000	0,000	0,000	00053	0,000	0,000	0,000	0,000	01078	0,000	0,000	0,000	0,000
00194	0,000	0,000	0,000	0,000	00190	0,000	0,000	0,000	0,000	00006	0,000	0,000	0,000	0,000	00083	0,000	0,000	0,000	0,000
00718	0,000	0,000	0,000	0,000	00717	0,000	0,000	0,000	0,000	00746	0,000	0,000	0,000	0,000	00708	0,000	0,000	0,000	0,000
00171	0,000	0,000	0,000	0,000	00172	0,000	0,000	0,000	0,000	00737	0,000	0,000	0,000	0,000	00173	0,000	0,000	0,000	0,000
00765	0,000	0,000	0,000	0,000	00191	0,000	0,000	0,000	0,000	00069	0,000	0,000	0,000	0,000	00793	0,000	0,000	0,000	0,000
00068	0,000	0,000	0,000	0,000	00076	0,000	0,000	0,000	0,000	00077	0,000	0,000	0,000	0,000	00650	0,000	0,000	0,000	0,000
00679	0,000	0,000	0,000	0,000	00075	0,000	0,000	0,000	0,000	00594	0,000	0,000	0,000	0,000	00164	0,000	0,000	0,000	0,000

Il presente documento è di proprietà della ANTEX GROUP srl. È vietato la comunicazione a terzi o la riproduzione senza il permesso scritto della suddetta. La società tutela i propri diritti a rigore di Legge.

Comm.: C20-025-S05

















PARCO EOLICO DI "BUDDUSO"

RELAZIONE DI CALCOLO E TABULATI OPERE EDILI SSEU



Ingegneria & Innovazione

30/06/2023

REV: 2

Pag. 101

Platee - tensioni per effetto del sisma

Table with columns: Nodo, sigma1, sigma2, tau, tau13, and repeated for multiple nodes. Values are mostly 0,000.

Il presente documento è di proprietà della ANTEX GROUP srl. È vietato la comunicazione a terzi o la riproduzione senza il permesso scritto della suddetta. La società tutela i propri diritti a rigore di Legge.

Comm.: C20-025-S05





PARCO EOLICO DI "BUDDUSO"

RELAZIONE DI CALCOLO E TABULATI OPERE EDILI SSEU



Ingegneria & Innovazione

30/06/2023

REV: 2

Pag. 102

Platee - tensioni per effetto del sisma

Table with columns: Nodo, sigma1, sigma2, tau, tau13, Nodo, sigma1, sigma2, tau, tau13, Nodo, sigma1, sigma2, tau, tau13, Nodo, sigma1, sigma2, tau, tau13. All values are 0,000.

Il presente documento è di proprietà della ANTEX GROUP srl. È vietato la comunicazione a terzi o la riproduzione senza il permesso scritto della suddetta. La società tutela i propri diritti a rigore di Legge.

Comm.: C20-025-S05





PARCO EOLICO DI "BUDDUSO"

RELAZIONE DI CALCOLO E TABULATI OPERE EDILI SSEU



Ingegneria & Innovazione

30/06/2023

REV: 2

Pag. 103

Platee - tensioni per effetto del sisma

Table with columns: Nodo, sigma1, sigma2, tau, tau13, and repeated for multiple nodes. Values are mostly 0,000.

LEGENDA:

sigma1 Tensione normale in direzione 1 per comportamento a piastra.

Comm.: C20-025-S05

Il presente documento è di proprietà della ANTEX GROUP srl. È vietato la comunicazione a terzi o la riproduzione senza il permesso scritto della suddetta. La società tutela i propri diritti a rigore di Legge.





PARCO EOLICO DI "BUDDUSO"

RELAZIONE DI CALCOLO E TABULATI OPERE EDILI SSEU



Ingegneria & Innovazione

30/06/2023

REV: 2

Pag. 104

Platee - tensioni per effetto del sisma

Table with 20 columns: Nodo, sigma1, sigma2, tau, tau13, Nodo, sigma1, sigma2, tau, tau13, Nodo, sigma1, sigma2, tau, tau13, Nodo, sigma1, sigma2, tau, tau13. Includes a legend for symbols like sigma1, tau, etc.

Platee - TENSIONI PER ECCENTRICITÀ ACCIDENTALE

Platee - tensioni per eccentricità accidentale

Large table with 20 columns for nodes and stress values (sigma1, sigma2, tau, tau13) for various plate elements under accidental eccentricity. Includes a sub-header 'Fondazione' and 'Eccentricità accidentale + in direzione X'.

Comm.: C20-025-S05

Il presente documento è di proprietà della ANTEX GROUP srl. È vietato la comunicazione a terzi o la riproduzione senza il permesso scritto della suddetta. La società tutela i propri diritti a rigore di Legge.







PARCO EOLICO DI "BUDDUSO"

RELAZIONE DI CALCOLO E TABULATI OPERE EDILI SSEU



Ingegneria & Innovazione

30/06/2023

REV: 2

Pag. 105

Platee - tensioni per eccentricità accidentale

Table with 20 columns (Nodo, sigma1, sigma2, tau, tau13) and 20 rows of data. Each row contains stress values for different nodes and plate types.

Il presente documento è di proprietà della ANTEX GROUP srl. È vietato la comunicazione a terzi o la riproduzione senza il permesso scritto della suddetta. La società tutela i propri diritti a rigore di Legge.

Comm.: C20-025-S05





PARCO EOLICO DI "BUDDUSO"

RELAZIONE DI CALCOLO E TABULATI OPERE EDILI SSEU



Ingegneria & Innovazione

30/06/2023

REV: 2

Pag. 106

Platee - tensioni per eccentricità accidentale

Table with 20 columns (Nodo, sigma1, sigma2, tau, tau13) and 20 rows of data. Each row contains stress values for two different nodes.

Il presente documento è di proprietà della ANTEX GROUP srl. È vietato la comunicazione a terzi o la riproduzione senza il permesso scritto della suddetta. La società tutela i propri diritti a rigore di Legge.

Comm.: C20-025-S05





PARCO EOLICO DI "BUDDUSO"

RELAZIONE DI CALCOLO E TABULATI OPERE EDILI SSEU



Ingegneria & Innovazione

30/06/2023

REV: 2

Pag. 107

Platee - tensioni per eccentricità accidentale

Table with columns: Nodo, sigma1, sigma2, tau, tau13, and repeated for multiple nodes. Values are mostly 0,000.

Il presente documento è di proprietà della ANTEX GROUP srl. È vietato la comunicazione a terzi o la riproduzione senza il permesso scritto della suddetta. La società tutela i propri diritti a rigore di Legge.

Comm.: C20-025-S05





PARCO EOLICO DI "BUDDUSO"

RELAZIONE DI CALCOLO E TABULATI OPERE EDILI SSEU



Ingegneria & Innovazione

30/06/2023

REV: 2

Pag. 108

Platee - tensioni per eccentricità accidentale

Table with columns: Nodo, sigma1, sigma2, tau, tau13, and repeated for multiple nodes. Values are mostly 0,000.

Il presente documento è di proprietà della ANTEX GROUP srl. È vietato la comunicazione a terzi o la riproduzione senza il permesso scritto della suddetta. La società tutela i propri diritti a rigore di Legge.

Comm.: C20-025-S05





PARCO EOLICO DI "BUDDUSO"

RELAZIONE DI CALCOLO E TABULATI OPERE EDILI SSEU



Ingegneria & Innovazione

30/06/2023

REV: 2

Pag. 109

Platee - tensioni per eccentricità accidentale

Table with columns: Nodo, sigma1, sigma2, tau, tau13, and repeated for multiple nodes. Values are mostly 0,000.

Il presente documento è di proprietà della ANTEX GROUP srl. È vietato la comunicazione a terzi o la riproduzione senza il permesso scritto della suddetta. La società tutela i propri diritti a rigore di Legge.

Comm.: C20-025-S05





PARCO EOLICO DI "BUDDUSO"

RELAZIONE DI CALCOLO E TABULATI OPERE EDILI SSEU



Ingegneria & Innovazione

30/06/2023

REV: 2

Pag. 110

Platee - tensioni per eccentricità accidentale

Table with columns: Nodo, sigma1, sigma2, tau, tau13, Nodo, sigma1, sigma2, tau, tau13, Nodo, sigma1, sigma2, tau, tau13, Nodo, sigma1, sigma2, tau, tau13. All values are 0,000.

Comm.: C20-025-S05

Il presente documento è di proprietà della ANTEX GROUP srl. È vietato la comunicazione a terzi o la riproduzione senza il permesso scritto della suddetta. La società tutela i propri diritti a rigore di Legge.





PARCO EOLICO DI "BUDDUSO"

RELAZIONE DI CALCOLO E TABULATI OPERE EDILI SSEU



Ingegneria & Innovazione

30/06/2023

REV: 2

Pag. 111

Platee - tensioni per eccentricità accidentale

Table with 20 columns (Nodo, sigma1, sigma2, tau, tau13) and 20 rows of data. All values are 0,000.

Il presente documento è di proprietà della ANTEX GROUP srl. È vietato la comunicazione a terzi o la riproduzione senza il permesso scritto della suddetta. La società tutela i propri diritti a rigore di Legge.

Comm.: C20-025-S05





PARCO EOLICO DI "BUDDUSO"

RELAZIONE DI CALCOLO E TABULATI OPERE EDILI SSEU



Ingegneria & Innovazione

30/06/2023

REV: 2

Pag. 112

Platee - tensioni per eccentricità accidentale

Nodo	σ11	σ12	τL	τP13	Nodo	σ11	σ12	τL	τP13	Nodo	σ11	σ12	τL	τP13	Nodo	σ11	σ12	τL	τP13
	σP1	σP2	τP	τP23		σP1	σP2	τP	τP23		σP1	σP2	τP	τP23		σP1	σP2	τP	τP23
	[N/mm²]	[N/mm²]	[N/mm²]	[N/mm²]		[N/mm²]	[N/mm²]	[N/mm²]	[N/mm²]		[N/mm²]	[N/mm²]	[N/mm²]	[N/mm²]		[N/mm²]	[N/mm²]	[N/mm²]	[N/mm²]
00759	0,000	0,000	0,000	0,000	00417	0,000	0,000	0,000	0,000	00478	0,000	0,000	0,000	0,000	00702	0,000	0,000	0,000	0,000
00531	0,000	0,000	0,000	0,000	00732	0,000	0,000	0,000	0,000	00703	0,000	0,000	0,000	0,000	00731	0,000	0,000	0,000	0,000
01073	0,000	0,000	0,000	0,000	00788	0,000	0,000	0,000	0,000	00588	0,000	0,000	0,000	0,000	00390	0,000	0,000	0,000	0,000
01045	0,000	0,000	0,000	0,000	00305	0,000	0,000	0,000	0,000	00276	0,000	0,000	0,000	0,000	00304	0,000	0,000	0,000	0,000
00902	0,000	0,000	0,000	0,000	00275	0,000	0,000	0,000	0,000	00674	0,000	0,000	0,000	0,000	00446	0,000	0,000	0,000	0,000
00761	0,000	0,000	0,000	0,000	00760	0,000	0,000	0,000	0,000	00959	0,000	0,000	0,000	0,000	00333	0,000	0,000	0,000	0,000
00503	0,000	0,000	0,000	0,000	00845	0,000	0,000	0,000	0,000	00560	0,000	0,000	0,000	0,000	00646	0,000	0,000	0,000	0,000
00617	0,000	0,000	0,000	0,000	00962	0,000	0,000	0,000	0,000	00475	0,000	0,000	0,000	0,000	00988	0,000	0,000	0,000	0,000
00247	0,000	0,000	0,000	0,000	00532	0,000	0,000	0,000	0,000	00418	0,000	0,000	0,000	0,000	00589	0,000	0,000	0,000	0,000
00931	0,000	0,000	0,000	0,000	00106	0,000	0,000	0,000	0,000	00704	0,000	0,000	0,000	0,000	00874	0,000	0,000	0,000	0,000
01105	0,000	0,000	0,000	0,000	00050	0,000	0,000	0,000	0,000	00846	0,000	0,000	0,000	0,000	00219	0,000	0,000	0,000	0,000
00447	0,000	0,000	0,000	0,000	00363	0,000	0,000	0,000	0,000	00362	0,000	0,000	0,000	0,000	00391	0,000	0,000	0,000	0,000
00105	0,000	0,000	0,000	0,000	00561	0,000	0,000	0,000	0,000	00675	0,000	0,000	0,000	0,000	01046	0,000	0,000	0,000	0,000
01017	0,000	0,000	0,000	0,000	00103	0,000	0,000	0,000	0,000	00104	0,000	0,000	0,000	0,000	00220	0,000	0,000	0,000	0,000
00277	0,000	0,000	0,000	0,000	00932	0,000	0,000	0,000	0,000	00618	0,000	0,000	0,000	0,000	00477	0,000	0,000	0,000	0,000
00506	0,000	0,000	0,000	0,000	00903	0,000	0,000	0,000	0,000	00647	0,000	0,000	0,000	0,000	00875	0,000	0,000	0,000	0,000
00248	0,000	0,000	0,000	0,000	00449	0,000	0,000	0,000	0,000	00419	0,000	0,000	0,000	0,000	01104	0,000	0,000	0,000	0,000
00047	0,000	0,000	0,000	0,000	00048	0,000	0,000	0,000	0,000	00590	0,000	0,000	0,000	0,000	00448	0,000	0,000	0,000	0,000
00335	0,000	0,000	0,000	0,000	00306	0,000	0,000	0,000	0,000	00334	0,000	0,000	0,000	0,000	01075	0,000	0,000	0,000	0,000
00102	0,000	0,000	0,000	0,000	00221	0,000	0,000	0,000	0,000	00904	0,000	0,000	0,000	0,000	00421	0,000	0,000	0,000	0,000
00905	0,000	0,000	0,000	0,000	00933	0,000	0,000	0,000	0,000	00876	0,000	0,000	0,000	0,000	00420	0,000	0,000	0,000	0,000
01018	0,000	0,000	0,000	0,000	00733	0,000	0,000	0,000	0,000	01047	0,000	0,000	0,000	0,000	00676	0,000	0,000	0,000	0,000
00619	0,000	0,000	0,000	0,000	00790	0,000	0,000	0,000	0,000	00562	0,000	0,000	0,000	0,000	00847	0,000	0,000	0,000	0,000
00049	0,000	0,000	0,000	0,000	00648	0,000	0,000	0,000	0,000	00392	0,000	0,000	0,000	0,000	00848	0,000	0,000	0,000	0,000
00705	0,000	0,000	0,000	0,000	00534	0,000	0,000	0,000	0,000	00819	0,000	0,000	0,000	0,000	00990	0,000	0,000	0,000	0,000
00734	0,000	0,000	0,000	0,000	00762	0,000	0,000	0,000	0,000	00591	0,000	0,000	0,000	0,000	00249	0,000	0,000	0,000	0,000
00706	0,000	0,000	0,000	0,000	00677	0,000	0,000	0,000	0,000	00620	0,000	0,000	0,000	0,000	01076	0,000	0,000	0,000	0,000
01019	0,000	0,000	0,000	0,000	00278	0,000	0,000	0,000	0,000	00101	0,000	0,000	0,000	0,000	00563	0,000	0,000	0,000	0,000
00791	0,000	0,000	0,000	0,000															
<b>Eccentricità accidentale - in direzione X</b>																			
00537	0,000	0,000	0,000	0,000	00162	0,000	0,000	0,000	0,000	00163	0,000	0,000	0,000	0,000	00880	0,000	0,000	0,000	0,000
00851	0,000	0,000	0,000	0,000	00879	0,000	0,000	0,000	0,000	00059	0,000	0,000	0,000	0,000	00060	0,000	0,000	0,000	0,000
00992	0,000	0,000	0,000	0,000	00309	0,000	0,000	0,000	0,000	00151	0,000	0,000	0,000	0,000	00152	0,000	0,000	0,000	0,000

Comm.: C20-025-S05

Il presente documento è di proprietà della ANTEX GROUP srl. È vietato la comunicazione a terzi o la riproduzione senza il permesso scritto della suddetta. La società tutela i propri diritti a rigore di Legge.







PARCO EOLICO DI "BUDDUSO"

RELAZIONE DI CALCOLO E TABULATI OPERE EDILI SSEU



Ingegneria & Innovazione

30/06/2023

REV: 2

Pag. 113

Platee - tensioni per eccentricità accidentale

Table with columns: Nodo, σ1, σ2, τL, τP13, and repeated for multiple nodes. Values are mostly 0,000.

Comm.: C20-025-S05

Il presente documento è di proprietà della ANTEX GROUP srl. È vietato la comunicazione a terzi o la riproduzione senza il permesso scritto della suddetta. La società tutela i propri diritti a rigore di Legge.





PARCO EOLICO DI "BUDDUSO"

RELAZIONE DI CALCOLO E TABULATI OPERE EDILI SSEU



Ingegneria & Innovazione

30/06/2023

REV: 2

Pag. 114

Platee - tensioni per eccentricità accidentale

Table with 20 columns: Nodo, σ1, σ2, τ, τp13, Nodo, σ1, σ2, τ, τp13, Nodo, σ1, σ2, τ, τp13, Nodo, σ1, σ2, τ, τp13. All values are 0,000.

Il presente documento è di proprietà della ANTEX GROUP srl. È vietato la comunicazione a terzi o la riproduzione senza il permesso scritto della suddetta. La società tutela i propri diritti a rigore di Legge.

Comm.: C20-025-S05





PARCO EOLICO DI "BUDDUSO"

RELAZIONE DI CALCOLO E TABULATI OPERE EDILI SSEU



Ingegneria & Innovazione

30/06/2023

REV: 2

Pag. 115

Platee - tensioni per eccentricità accidentale

Table with 20 columns: Nodo, sigma1, sigma2, tau, tau13, Nodo, sigma1, sigma2, tau, tau13, Nodo, sigma1, sigma2, tau, tau13, Nodo, sigma1, sigma2, tau, tau13. All values are 0,000.

Comm.: C20-025-S05

Il presente documento è di proprietà della ANTEX GROUP srl. È vietato la comunicazione a terzi o la riproduzione senza il permesso scritto della suddetta. La società tutela i propri diritti a rigore di Legge.





PARCO EOLICO DI "BUDDUSO"

RELAZIONE DI CALCOLO E TABULATI OPERE EDILI SSEU



Ingegneria & Innovazione

30/06/2023

REV: 2

Pag. 116

Platee - tensioni per eccentricità accidentale

Table with 20 columns: Nodo, sigma1, sigma2, tau, tau13, Nodo, sigma1, sigma2, tau, tau13, Nodo, sigma1, sigma2, tau, tau13, Nodo, sigma1, sigma2, tau, tau13. All values are 0,000.

Comm.: C20-025-S05

Il presente documento è di proprietà della ANTEX GROUP srl. È vietato la comunicazione a terzi o la riproduzione senza il permesso scritto della suddetta. La società tutela i propri diritti a rigore di Legge.





PARCO EOLICO DI "BUDDUSO"

RELAZIONE DI CALCOLO E TABULATI OPERE EDILI SSEU



Ingegneria & Innovazione

30/06/2023

REV: 2

Pag. 117

Platee - tensioni per eccentricità accidentale

Table with 20 columns: Nodo, σ1, σ2, τ, τp13, Nodo, σ1, σ2, τ, τp13, Nodo, σ1, σ2, τ, τp13, Nodo, σ1, σ2, τ, τp13. All values are 0,000.

Il presente documento è di proprietà della ANTEX GROUP srl. È vietato la comunicazione a terzi o la riproduzione senza il permesso scritto della suddetta. La società tutela i propri diritti a rigore di Legge.

Comm.: C20-025-S05





PARCO EOLICO DI "BUDDUSO"

RELAZIONE DI CALCOLO E TABULATI OPERE EDILI SSEU



Ingegneria & Innovazione

30/06/2023

REV: 2

Pag. 118

Platee - tensioni per eccentricità accidentale

Table with 20 columns: Nodo, sigma1, sigma2, tau, tau13, Nodo, sigma1, sigma2, tau, tau13, Nodo, sigma1, sigma2, tau, tau13, Nodo, sigma1, sigma2, tau, tau13. All values are 0,000.

Il presente documento è di proprietà della ANTEX GROUP srl. È vietato la comunicazione a terzi o la riproduzione senza il permesso scritto della suddetta. La società tutela i propri diritti a rigore di Legge.

Comm.: C20-025-S05





PARCO EOLICO DI "BUDDUSO"

RELAZIONE DI CALCOLO E TABULATI OPERE EDILI SSEU



Ingegneria & Innovazione

30/06/2023

REV: 2

Pag. 119

Platee - tensioni per eccentricità accidentale

Table with 20 columns: Nodo, σ1, σ2, τ, τp13, Nodo, σ1, σ2, τ, τp13, Nodo, σ1, σ2, τ, τp13, Nodo, σ1, σ2, τ, τp13. All values are 0,000.

Il presente documento è di proprietà della ANTEX GROUP srl. È vietato la comunicazione a terzi o la riproduzione senza il permesso scritto della suddetta. La società tutela i propri diritti a rigore di Legge.

Comm.: C20-025-S05





PARCO EOLICO DI "BUDDUSO"

RELAZIONE DI CALCOLO E TABULATI OPERE EDILI SSEU



Ingegneria & Innovazione

30/06/2023

REV: 2

Pag. 120

Platee - tensioni per eccentricità accidentale

Table with 20 columns: Nodo, σ1, σ2, τ, τp13, Nodo, σ1, σ2, τ, τp13, Nodo, σ1, σ2, τ, τp13, Nodo, σ1, σ2, τ, τp13. Each cell contains numerical values representing stress and tension components.

Il presente documento è di proprietà della ANTEX GROUP srl. È vietato la comunicazione a terzi o la riproduzione senza il permesso scritto della suddetta. La società tutela i propri diritti a rigore di Legge.

Comm.: C20-025-S05







PARCO EOLICO DI "BUDDUSO"

RELAZIONE DI CALCOLO E TABULATI OPERE EDILI SSEU



Ingegneria & Innovazione

30/06/2023

REV: 2

Pag. 121

Platee - tensioni per eccentricità accidentale

Table with columns: Nodo, σ1, σ2, τL, τP13, and repeated for multiple nodes. Values are mostly 0,000.

Eccentricità accidentale + in direzione Y

Table with columns: Nodo, σ1, σ2, τL, τP13, and repeated for multiple nodes. Values are mostly 0,000.

Il presente documento è di proprietà della ANTEX GROUP srl. È vietato la comunicazione a terzi o la riproduzione senza il permesso scritto della suddetta. La società tutela i propri diritti a rigore di Legge.

Comm.: C20-025-S05





PARCO EOLICO DI "BUDDUSO"

RELAZIONE DI CALCOLO E TABULATI OPERE EDILI SSEU



Ingegneria & Innovazione

30/06/2023

REV: 2

Pag. 122

Platee - tensioni per eccentricità accidentale

Table with 20 columns (Nodo, sigma1, sigma2, tau, tau13) and 20 rows of data. All values are 0,000.

Il presente documento è di proprietà della ANTEX GROUP srl. È vietato la comunicazione a terzi o la riproduzione senza il permesso scritto della suddetta. La società tutela i propri diritti a rigore di Legge.

Comm.: C20-025-S05





PARCO EOLICO DI "BUDDUSO"

RELAZIONE DI CALCOLO E TABULATI OPERE EDILI SSEU



Ingegneria & Innovazione

30/06/2023

REV: 2

Pag. 123

Platee - tensioni per eccentricità accidentale

Table with 20 columns (Nodo, sigma1, sigma2, tau, tau13) and 40 rows of data. All values are 0,000.

Comm.: C20-025-S05

Il presente documento è di proprietà della ANTEX GROUP srl. È vietato la comunicazione a terzi o la riproduzione senza il permesso scritto della suddetta. La società tutela i propri diritti a rigore di Legge.





PARCO EOLICO DI "BUDDUSO"

RELAZIONE DI CALCOLO E TABULATI OPERE EDILI SSEU



Ingegneria & Innovazione

30/06/2023

REV: 2

Pag. 124

Platee - tensioni per eccentricità accidentale

Table with columns: Nodo, sigma1, sigma2, tau, tau13, and repeated for multiple nodes. Values are mostly 0,000.

Comm.: C20-025-S05

Il presente documento è di proprietà della ANTEX GROUP srl. È vietato la comunicazione a terzi o la riproduzione senza il permesso scritto della suddetta. La società tutela i propri diritti a rigore di Legge.





PARCO EOLICO DI "BUDDUSO"

RELAZIONE DI CALCOLO E TABULATI OPERE EDILI SSEU



Ingegneria & Innovazione

30/06/2023

REV: 2

Pag. 125

Platee - tensioni per eccentricità accidentale

Table with columns: Nodo, sigma1, sigma2, tau, tau13, and repeated for multiple nodes. Values are mostly 0,000.

Il presente documento è di proprietà della ANTEX GROUP srl. È vietato la comunicazione a terzi o la riproduzione senza il permesso scritto della suddetta. La società tutela i propri diritti a rigore di Legge.

Comm.: C20-025-S05





PARCO EOLICO DI "BUDDUSO"

RELAZIONE DI CALCOLO E TABULATI OPERE EDILI SSEU



Ingegneria & Innovazione

30/06/2023

REV: 2

Pag. 126

Platee - tensioni per eccentricità accidentale

Table with columns: Nodo, sigma1, sigma2, tau, tau13, and repeated for multiple nodes. Values are mostly 0,000.

Il presente documento è di proprietà della ANTEX GROUP srl. È vietato la comunicazione a terzi o la riproduzione senza il permesso scritto della suddetta. La società tutela i propri diritti a rigore di Legge.

Comm.: C20-025-S05





PARCO EOLICO DI "BUDDUSO"

RELAZIONE DI CALCOLO E TABULATI OPERE EDILI SSEU



Ingegneria & Innovazione

30/06/2023

REV: 2

Pag. 127

Platee - tensioni per eccentricità accidentale

Table with columns: Nodo, sigma1, sigma2, tau, tau13, and repeated for multiple nodes. Values are mostly 0,000.

Il presente documento è di proprietà della ANTEX GROUP srl. È vietato la comunicazione a terzi o la riproduzione senza il permesso scritto della suddetta. La società tutela i propri diritti a rigore di Legge.

Comm.: C20-025-S05





PARCO EOLICO DI "BUDDUSO"

RELAZIONE DI CALCOLO E TABULATI OPERE EDILI SSEU



Ingegneria & Innovazione

30/06/2023

REV: 2

Pag. 128

Platee - tensioni per eccentricità accidentale

Table with 20 columns: Nodo, sigma1, sigma2, tau, tau13, Nodo, sigma1, sigma2, tau, tau13, Nodo, sigma1, sigma2, tau, tau13, Nodo, sigma1, sigma2, tau, tau13. All values are 0,000.

Il presente documento è di proprietà della ANTEX GROUP srl. È vietato la comunicazione a terzi o la riproduzione senza il permesso scritto della suddetta. La società tutela i propri diritti a rigore di Legge.

Comm.: C20-025-S05







PARCO EOLICO DI "BUDDUSO"

RELAZIONE DI CALCOLO E TABULATI OPERE EDILI SSEU



Ingegneria & Innovazione

30/06/2023

REV: 2

Pag. 129

Platee - tensioni per eccentricità accidentale

Table with 20 columns: Nodo, sigma1, sigma2, tau, tau13, Nodo, sigma1, sigma2, tau, tau13, Nodo, sigma1, sigma2, tau, tau13, Nodo, sigma1, sigma2, tau, tau13. All values are 0,000.

Il presente documento è di proprietà della ANTEX GROUP srl. È vietato la comunicazione a terzi o la riproduzione senza il permesso scritto della suddetta. La società tutela i propri diritti a rigore di Legge.

Comm.: C20-025-S05





PARCO EOLICO DI "BUDDUSO"

RELAZIONE DI CALCOLO E TABULATI OPERE EDILI SSEU



Ingegneria & Innovazione

30/06/2023

REV: 2

Pag. 130

Platee - tensioni per eccentricità accidentale

Table with columns: Nodo, sigma1, sigma2, tau, tau13, and repeated for multiple nodes. Values are mostly 0,000.

Eccentricità accidentale - in direzione Y

Table with columns: Nodo, sigma1, sigma2, tau, tau13, and repeated for multiple nodes. Values are mostly 0,000.

Il presente documento è di proprietà della ANTEX GROUP srl. È vietato la comunicazione a terzi o la riproduzione senza il permesso scritto della suddetta. La società tutela i propri diritti a rigore di Legge.

Comm.: C20-025-S05
ISO 9001
BUREAU VERITAS Certification
CERTECO



PARCO EOLICO DI "BUDDUSO"

RELAZIONE DI CALCOLO E TABULATI OPERE EDILI SSEU



Ingegneria & Innovazione

30/06/2023

REV: 2

Pag. 131

Platee - tensioni per eccentricità accidentale

Table with 20 columns (Nodo, sigma1, sigma2, tau, tau13) and 40 rows of data. Each row contains stress values for two different nodes.

Il presente documento è di proprietà della ANTEX GROUP srl. È vietato la comunicazione a terzi o la riproduzione senza il permesso scritto della suddetta. La società tutela i propri diritti a rigore di Legge.

Comm.: C20-025-S05





PARCO EOLICO DI "BUDDUSO"

RELAZIONE DI CALCOLO E TABULATI OPERE EDILI SSEU



Ingegneria & Innovazione

30/06/2023

REV: 2

Pag. 132

Platee - tensioni per eccentricità accidentale

Table with 20 columns (Nodo, sigma1, sigma2, tau, tau13) and 48 rows of data. Each row contains stress values for different nodes and plate types.

Il presente documento è di proprietà della ANTEX GROUP srl. È vietato la comunicazione a terzi o la riproduzione senza il permesso scritto della suddetta. La società tutela i propri diritti a rigore di Legge.

Comm.: C20-025-S05





PARCO EOLICO DI "BUDDUSO"

RELAZIONE DI CALCOLO E TABULATI OPERE EDILI SSEU



Ingegneria & Innovazione

30/06/2023

REV: 2

Pag. 133

Platee - tensioni per eccentricità accidentale

Table with 20 columns: Nodo, sigma1, sigma2, tau, tau13, Nodo, sigma1, sigma2, tau, tau13, Nodo, sigma1, sigma2, tau, tau13, Nodo, sigma1, sigma2, tau, tau13. All values are 0,000.

Il presente documento è di proprietà della ANTEX GROUP srl. È vietato la comunicazione a terzi o la riproduzione senza il permesso scritto della suddetta. La società tutela i propri diritti a rigore di Legge.

Comm.: C20-025-S05





PARCO EOLICO DI "BUDDUSO"

RELAZIONE DI CALCOLO E TABULATI OPERE EDILI SSEU



Ingegneria & Innovazione

30/06/2023

REV: 2

Pag. 134

Platee - tensioni per eccentricità accidentale

Table with columns: Nodo, σ1, σ2, τ, τp13, and repeated for multiple nodes. Values are mostly 0,000.

Il presente documento è di proprietà della ANTEX GROUP srl. È vietato la comunicazione a terzi o la riproduzione senza il permesso scritto della suddetta. La società tutela i propri diritti a rigore di Legge.

Comm.: C20-025-S05





PARCO EOLICO DI "BUDDUSO"

RELAZIONE DI CALCOLO E TABULATI OPERE EDILI SSEU



Ingegneria & Innovazione

30/06/2023

REV: 2

Pag. 135

Platee - tensioni per eccentricità accidentale

Table with columns: Nodo, σ1, σ2, τL, τP13, σ1, σ2, τL, τP13, σ1, σ2, τL, τP13, σ1, σ2, τL, τP13. Each cell contains numerical values representing stress and tension components.

Il presente documento è di proprietà della ANTEX GROUP srl. È vietato la comunicazione a terzi o la riproduzione senza il permesso scritto della suddetta. La società tutela i propri diritti a rigore di Legge.

Comm.: C20-025-S05





PARCO EOLICO DI "BUDDUSO"

RELAZIONE DI CALCOLO E TABULATI OPERE EDILI SSEU



Ingegneria & Innovazione

30/06/2023

REV: 2

Pag. 136

Platee - tensioni per eccentricità accidentale

Table with 20 columns: Nodo, sigma1, sigma2, tau, tau13, Nodo, sigma1, sigma2, tau, tau13, Nodo, sigma1, sigma2, tau, tau13, Nodo, sigma1, sigma2, tau, tau13. All values are 0,000.

Comm.: C20-025-S05

Il presente documento è di proprietà della ANTEX GROUP srl. È vietato la comunicazione a terzi o la riproduzione senza il permesso scritto della suddetta. La società tutela i propri diritti a rigore di Legge.







PARCO EOLICO DI "BUDDUSO"

RELAZIONE DI CALCOLO E TABULATI OPERE EDILI SSEU



Ingegneria & Innovazione

30/06/2023

REV: 2

Pag. 137

Platee - tensioni per eccentricità accidentale

Table with 20 columns: Nodo, σ1, σ2, τ, τp13, Nodo, σ1, σ2, τ, τp13, Nodo, σ1, σ2, τ, τp13, Nodo, σ1, σ2, τ, τp13. All values are 0,000.

Il presente documento è di proprietà della ANTEX GROUP srl. È vietato la comunicazione a terzi o la riproduzione senza il permesso scritto della suddetta. La società tutela i propri diritti a rigore di Legge.

Comm.: C20-025-S05





PARCO EOLICO DI "BUDDUSO"

RELAZIONE DI CALCOLO E TABULATI OPERE EDILI SSEU



Ingegneria & Innovazione

30/06/2023

REV: 2

Pag. 138

Platee - tensioni per eccentricità accidentale

Table with columns: Nodo, σ1, σ2, τ, τp13, and repeated for multiple nodes. Values are mostly 0,000.

LEGENDA:

- σP1 Tensione normale in direzione 1 per comportamento a piastra.
σP2 Tensione normale in direzione 2 per comportamento a piastra.
τP Tensione tangenziale 1-2 per comportamento a piastra.
τP23 Tensione (Piastra) tangenziale in direzione 2-3

Comm.: C20-025-S05

Il presente documento è di proprietà della ANTEX GROUP srl. È vietato la comunicazione a terzi o la riproduzione senza il permesso scritto della suddetta. La società tutela i propri diritti a rigore di Legge.





PARCO EOLICO DI "BUDDUSO"

RELAZIONE DI CALCOLO E TABULATI OPERE EDILI SSEU



Ingegneria & Innovazione

30/06/2023

REV: 2

Pag. 139

Platee - tensioni per eccentricità accidentale

Table with 16 columns: Nodo, sigma1, sigma2, tau, tau13, Nodo, sigma1, sigma2, tau, tau13, Nodo, sigma1, sigma2, tau, tau13, Nodo, sigma1, sigma2, tau, tau13. Units are [N/mm^2].

- sigma1 Tensione normale in direzione 1 per comportamento a lastra.
sigma2 Tensione normale in direzione 2 per comportamento a lastra.
tau Tensione tangenziale 1-2 per comportamento a lastra.
tau13 Tensione (Piastra) tangenziale in direzione 1-3

NODI - REAZIONI VINCOLARI ESTERNE PER TIPOLOGIE DI CARICO NON SISMICHE

Nodi - Reazioni vincolari esterne per tipologie di carico non sismiche

Table with 8 columns: IdNd, CC, Fx, Fy, Fz, Mx, My, Mz. Units are [N] for forces and [N-m] for moments.

Comm.: C20-025-S05

Il presente documento è di proprietà della ANTEX GROUP srl. È vietato la comunicazione a terzi o la riproduzione senza il permesso scritto della suddetta. La società tutela i propri diritti a rigore di Legge.





PARCO EOLICO DI "BUDDUSO"

RELAZIONE DI CALCOLO E TABULATI OPERE EDILI SSEU



Ingegneria & Innovazione

30/06/2023

REV: 2

Pag. 140

Nodi - Reazioni vincolari esterne per tipologie di carico non sismiche

IdNd	CC	F <sub>x</sub>	F <sub>y</sub>	F <sub>z</sub>	M <sub>x</sub>	M <sub>y</sub>	M <sub>z</sub>
		[N]	[N]	[N]	[N-m]	[N-m]	[N-m]
00015	004	0	0	0	0	0	0
00016	001	0	0	0	0	0	0
00016	002	0	0	0	0	0	0
00016	003	0	0	0	0	0	0
00016	004	0	0	0	0	0	0
00017	001	0	0	0	0	0	0
00017	002	0	0	0	0	0	0
00017	003	0	0	0	0	0	0
00017	004	0	0	0	0	0	0
00018	001	0	0	0	0	0	0
00018	002	0	0	0	0	0	0
00018	003	0	0	0	0	0	0
00018	004	0	0	0	0	0	0
00019	001	0	0	0	0	0	0
00019	002	0	0	0	0	0	0
00019	003	0	0	0	0	0	0
00019	004	0	0	0	0	0	0
00020	001	0	0	0	0	0	0
00020	002	0	0	0	0	0	0
00020	003	0	0	0	0	0	0
00020	004	0	0	0	0	0	0
00021	001	0	0	0	0	0	0
00021	002	0	0	0	0	0	0
00021	003	0	0	0	0	0	0
00021	004	0	0	0	0	0	0
00022	001	0	0	0	0	0	0
00022	002	0	0	0	0	0	0
00022	003	0	0	0	0	0	0
00022	004	0	0	0	0	0	0
00023	001	0	0	0	0	0	0
00023	002	0	0	0	0	0	0
00023	003	0	0	0	0	0	0
00023	004	0	0	0	0	0	0
00024	001	0	0	0	0	0	0
00024	002	0	0	0	0	0	0
00024	003	0	0	0	0	0	0
00024	004	0	0	0	0	0	0
00025	001	0	0	0	0	0	0
00025	002	0	0	0	0	0	0
00025	003	0	0	0	0	0	0
00025	004	0	0	0	0	0	0
00026	001	0	0	0	0	0	0
00026	002	0	0	0	0	0	0
00026	003	0	0	0	0	0	0
00026	004	0	0	0	0	0	0
00027	001	0	0	0	0	0	0
00027	002	0	0	0	0	0	0
00027	003	0	0	0	0	0	0
00027	004	0	0	0	0	0	0
00028	001	0	0	0	0	0	0
00028	002	0	0	0	0	0	0
00028	003	0	0	0	0	0	0
00028	004	0	0	0	0	0	0
00029	001	0	0	0	0	0	0
00029	002	0	0	0	0	0	0
00029	003	0	0	0	0	0	0
00029	004	0	0	0	0	0	0
00030	001	0	0	0	0	0	0
00030	002	0	0	0	0	0	0
00030	003	0	0	0	0	0	0
00030	004	0	0	0	0	0	0
00031	001	0	0	0	0	0	0
00031	002	0	0	0	0	0	0
00031	003	0	0	0	0	0	0
00031	004	0	0	0	0	0	0
00032	001	0	0	0	0	0	0

Comm.: C20-025-S05

Il presente documento è di proprietà della ANTEX GROUP srl.  
È vietato la comunicazione a terzi o la riproduzione senza il permesso scritto della suddetta.  
La società tutela i propri diritti a rigore di Legge.





PARCO EOLICO DI "BUDDUSO"

RELAZIONE DI CALCOLO E TABULATI OPERE EDILI  
SSEU



Ingegneria & Innovazione

30/06/2023

REV: 2

Pag. 141

Nodi - Reazioni vincolari esterne per tipologie di carico non sismiche

IdNd	CC	F <sub>x</sub>	F <sub>y</sub>	F <sub>z</sub>	M <sub>x</sub>	M <sub>y</sub>	M <sub>z</sub>
		[N]	[N]	[N]	[N-m]	[N-m]	[N-m]
00032	002	0	0	0	0	0	0
00032	003	0	0	0	0	0	0
00032	004	0	0	0	0	0	0
00033	001	0	0	0	0	0	0
00033	002	0	0	0	0	0	0
00033	003	0	0	0	0	0	0
00033	004	0	0	0	0	0	0
00034	001	0	0	0	0	0	0
00034	002	0	0	0	0	0	0
00034	003	0	0	0	0	0	0
00034	004	0	0	0	0	0	0
00035	001	0	0	0	0	0	0
00035	002	0	0	0	0	0	0
00035	003	0	0	0	0	0	0
00035	004	0	0	0	0	0	0
00036	001	0	0	0	0	0	0
00036	002	0	0	0	0	0	0
00036	003	0	0	0	0	0	0
00036	004	0	0	0	0	0	0
00037	001	0	0	0	0	0	0
00037	002	0	0	0	0	0	0
00037	003	0	0	0	0	0	0
00037	004	0	0	0	0	0	0
00038	001	0	0	0	0	0	0
00038	002	0	0	0	0	0	0
00038	003	0	0	0	0	0	0
00038	004	0	0	0	0	0	0
00039	001	0	0	0	0	0	0
00039	002	0	0	0	0	0	0
00039	003	0	0	0	0	0	0
00039	004	0	0	0	0	0	0
00040	001	0	0	0	0	0	0
00040	002	0	0	0	0	0	0
00040	003	0	0	0	0	0	0
00040	004	0	0	0	0	0	0
00041	001	0	0	0	0	0	0
00041	002	0	0	0	0	0	0
00041	003	0	0	0	0	0	0
00041	004	0	0	0	0	0	0
00042	001	0	0	0	0	0	0
00042	002	0	0	0	0	0	0
00042	003	0	0	0	0	0	0
00042	004	0	0	0	0	0	0
00043	001	0	0	0	0	0	0
00043	002	0	0	0	0	0	0
00043	003	0	0	0	0	0	0
00043	004	0	0	0	0	0	0
00044	001	0	0	0	0	0	0
00044	002	0	0	0	0	0	0
00044	003	0	0	0	0	0	0
00044	004	0	0	0	0	0	0
00045	001	0	0	0	0	0	0
00045	002	0	0	0	0	0	0
00045	003	0	0	0	0	0	0
00045	004	0	0	0	0	0	0
00046	001	0	0	0	0	0	0
00046	002	0	0	0	0	0	0
00046	003	0	0	0	0	0	0
00046	004	0	0	0	0	0	0
00047	001	0	0	0	0	0	0
00047	002	0	0	0	0	0	0
00047	003	0	0	0	0	0	0
00047	004	0	0	0	0	0	0
00048	001	0	0	0	0	0	0
00048	002	0	0	0	0	0	0
00048	003	0	0	0	0	0	0

Comm.: C20-025-S05

Il presente documento è di proprietà della ANTEX GROUP srl.  
È vietato la comunicazione a terzi o la riproduzione senza il permesso scritto della suddetta.  
La società tutela i propri diritti a rigore di Legge.





PARCO EOLICO DI "BUDDUSO"

RELAZIONE DI CALCOLO E TABULATI OPERE EDILI SSEU



Ingegneria & Innovazione

30/06/2023

REV: 2

Pag. 142

Nodi - Reazioni vincolari esterne per tipologie di carico non sismiche

IdNd	CC	F <sub>x</sub>	F <sub>y</sub>	F <sub>z</sub>	M <sub>x</sub>	M <sub>y</sub>	M <sub>z</sub>
		[N]	[N]	[N]	[N-m]	[N-m]	[N-m]
00048	004	0	0	0	0	0	0
00049	001	0	0	0	0	0	0
00049	002	0	0	0	0	0	0
00049	003	0	0	0	0	0	0
00049	004	0	0	0	0	0	0
00050	001	0	0	0	0	0	0
00050	002	0	0	0	0	0	0
00050	003	0	0	0	0	0	0
00050	004	0	0	0	0	0	0
00051	001	0	0	0	0	0	0
00051	002	0	0	0	0	0	0
00051	003	0	0	0	0	0	0
00051	004	0	0	0	0	0	0
00052	001	0	0	0	0	0	0
00052	002	0	0	0	0	0	0
00052	003	0	0	0	0	0	0
00052	004	0	0	0	0	0	0
00053	001	0	0	0	0	0	0
00053	002	0	0	0	0	0	0
00053	003	0	0	0	0	0	0
00053	004	0	0	0	0	0	0
00054	001	0	0	0	0	0	0
00054	002	0	0	0	0	0	0
00054	003	0	0	0	0	0	0
00054	004	0	0	0	0	0	0
00055	001	0	0	0	0	0	0
00055	002	0	0	0	0	0	0
00055	003	0	0	0	0	0	0
00055	004	0	0	0	0	0	0
00056	001	0	0	0	0	0	0
00056	002	0	0	0	0	0	0
00056	003	0	0	0	0	0	0
00056	004	0	0	0	0	0	0
00057	001	0	0	0	0	0	0
00057	002	0	0	0	0	0	0
00057	003	0	0	0	0	0	0
00057	004	0	0	0	0	0	0
00058	001	0	0	0	0	0	0
00058	002	0	0	0	0	0	0
00058	003	0	0	0	0	0	0
00058	004	0	0	0	0	0	0
00059	001	0	0	0	0	0	0
00059	002	0	0	0	0	0	0
00059	003	0	0	0	0	0	0
00059	004	0	0	0	0	0	0
00060	001	0	0	0	0	0	0
00060	002	0	0	0	0	0	0
00060	003	0	0	0	0	0	0
00060	004	0	0	0	0	0	0
00061	001	0	0	0	0	0	0
00061	002	0	0	0	0	0	0
00061	003	0	0	0	0	0	0
00061	004	0	0	0	0	0	0
00062	001	0	0	0	0	0	0
00062	002	0	0	0	0	0	0
00062	003	0	0	0	0	0	0
00062	004	0	0	0	0	0	0
00063	001	0	0	0	0	0	0
00063	002	0	0	0	0	0	0
00063	003	0	0	0	0	0	0
00063	004	0	0	0	0	0	0
00064	001	0	0	0	0	0	0
00064	002	0	0	0	0	0	0
00064	003	0	0	0	0	0	0
00064	004	0	0	0	0	0	0
00065	001	0	0	0	0	0	0

Comm.: C20-025-S05

Il presente documento è di proprietà della ANTEX GROUP srl.  
È vietato la comunicazione a terzi o la riproduzione senza il permesso scritto della suddetta.  
La società tutela i propri diritti a rigore di Legge.





PARCO EOLICO DI "BUDDUSO"

RELAZIONE DI CALCOLO E TABULATI OPERE EDILI  
SSEU



Ingegneria & Innovazione

30/06/2023

REV: 2

Pag. 143

Nodi - Reazioni vincolari esterne per tipologie di carico non sismiche

IdNd	CC	F <sub>x</sub>	F <sub>y</sub>	F <sub>z</sub>	M <sub>x</sub>	M <sub>y</sub>	M <sub>z</sub>
		[N]	[N]	[N]	[N-m]	[N-m]	[N-m]
00065	002	0	0	0	0	0	0
00065	003	0	0	0	0	0	0
00065	004	0	0	0	0	0	0
00066	001	0	0	0	0	0	0
00066	002	0	0	0	0	0	0
00066	003	0	0	0	0	0	0
00066	004	0	0	0	0	0	0
00067	001	0	0	0	0	0	0
00067	002	0	0	0	0	0	0
00067	003	0	0	0	0	0	0
00067	004	0	0	0	0	0	0
00068	001	0	0	0	0	0	0
00068	002	0	0	0	0	0	0
00068	003	0	0	0	0	0	0
00068	004	0	0	0	0	0	0
00069	001	0	0	0	0	0	0
00069	002	0	0	0	0	0	0
00069	003	0	0	0	0	0	0
00069	004	0	0	0	0	0	0
00070	001	0	0	0	0	0	0
00070	002	0	0	0	0	0	0
00070	003	0	0	0	0	0	0
00070	004	0	0	0	0	0	0
00071	001	0	0	0	0	0	0
00071	002	0	0	0	0	0	0
00071	003	0	0	0	0	0	0
00071	004	0	0	0	0	0	0
00072	001	0	0	0	0	0	0
00072	002	0	0	0	0	0	0
00072	003	0	0	0	0	0	0
00072	004	0	0	0	0	0	0
00073	001	0	0	0	0	0	0
00073	002	0	0	0	0	0	0
00073	003	0	0	0	0	0	0
00073	004	0	0	0	0	0	0
00074	001	0	0	0	0	0	0
00074	002	0	0	0	0	0	0
00074	003	0	0	0	0	0	0
00074	004	0	0	0	0	0	0
00075	001	0	0	0	0	0	0
00075	002	0	0	0	0	0	0
00075	003	0	0	0	0	0	0
00075	004	0	0	0	0	0	0
00076	001	0	0	0	0	0	0
00076	002	0	0	0	0	0	0
00076	003	0	0	0	0	0	0
00076	004	0	0	0	0	0	0
00077	001	0	0	0	0	0	0
00077	002	0	0	0	0	0	0
00077	003	0	0	0	0	0	0
00077	004	0	0	0	0	0	0
00078	001	0	0	0	0	0	0
00078	002	0	0	0	0	0	0
00078	003	0	0	0	0	0	0
00078	004	0	0	0	0	0	0
00079	001	0	0	0	0	0	0
00079	002	0	0	0	0	0	0
00079	003	0	0	0	0	0	0
00079	004	0	0	0	0	0	0
00080	001	0	0	0	0	0	0
00080	002	0	0	0	0	0	0
00080	003	0	0	0	0	0	0
00080	004	0	0	0	0	0	0
00081	001	0	0	0	0	0	0
00081	002	0	0	0	0	0	0
00081	003	0	0	0	0	0	0

Comm.: C20-025-S05

Il presente documento è di proprietà della ANTEX GROUP srl.  
È vietato la comunicazione a terzi o la riproduzione senza il permesso scritto della suddetta.  
La società tutela i propri diritti a rigore di Legge.





PARCO EOLICO DI "BUDDUSO"

RELAZIONE DI CALCOLO E TABULATI OPERE EDILI  
SSEU



Ingegneria & Innovazione

30/06/2023

REV: 2

Pag. 144

Nodi - Reazioni vincolari esterne per tipologie di carico non sismiche

IdNd	CC	F <sub>x</sub>	F <sub>y</sub>	F <sub>z</sub>	M <sub>x</sub>	M <sub>y</sub>	M <sub>z</sub>
		[N]	[N]	[N]	[N-m]	[N-m]	[N-m]
00081	004	0	0	0	0	0	0
00082	001	0	0	0	0	0	0
00082	002	0	0	0	0	0	0
00082	003	0	0	0	0	0	0
00082	004	0	0	0	0	0	0
00083	001	0	0	0	0	0	0
00083	002	0	0	0	0	0	0
00083	003	0	0	0	0	0	0
00083	004	0	0	0	0	0	0
00084	001	0	0	0	0	0	0
00084	002	0	0	0	0	0	0
00084	003	0	0	0	0	0	0
00084	004	0	0	0	0	0	0
00085	001	0	0	0	0	0	0
00085	002	0	0	0	0	0	0
00085	003	0	0	0	0	0	0
00085	004	0	0	0	0	0	0
00086	001	0	0	0	0	0	0
00086	002	0	0	0	0	0	0
00086	003	0	0	0	0	0	0
00086	004	0	0	0	0	0	0
00087	001	0	0	0	0	0	0
00087	002	0	0	0	0	0	0
00087	003	0	0	0	0	0	0
00087	004	0	0	0	0	0	0
00088	001	0	0	0	0	0	0
00088	002	0	0	0	0	0	0
00088	003	0	0	0	0	0	0
00088	004	0	0	0	0	0	0
00089	001	0	0	0	0	0	0
00089	002	0	0	0	0	0	0
00089	003	0	0	0	0	0	0
00089	004	0	0	0	0	0	0
00090	001	0	0	0	0	0	0
00090	002	0	0	0	0	0	0
00090	003	0	0	0	0	0	0
00090	004	0	0	0	0	0	0
00091	001	0	0	0	0	0	0
00091	002	0	0	0	0	0	0
00091	003	0	0	0	0	0	0
00091	004	0	0	0	0	0	0
00092	001	0	0	0	0	0	0
00092	002	0	0	0	0	0	0
00092	003	0	0	0	0	0	0
00092	004	0	0	0	0	0	0
00093	001	0	0	0	0	0	0
00093	002	0	0	0	0	0	0
00093	003	0	0	0	0	0	0
00093	004	0	0	0	0	0	0
00094	001	0	0	0	0	0	0
00094	002	0	0	0	0	0	0
00094	003	0	0	0	0	0	0
00094	004	0	0	0	0	0	0
00095	001	0	0	0	0	0	0
00095	002	0	0	0	0	0	0
00095	003	0	0	0	0	0	0
00095	004	0	0	0	0	0	0
00096	001	0	0	0	0	0	0
00096	002	0	0	0	0	0	0
00096	003	0	0	0	0	0	0
00096	004	0	0	0	0	0	0
00097	001	0	0	0	0	0	0
00097	002	0	0	0	0	0	0
00097	003	0	0	0	0	0	0
00097	004	0	0	0	0	0	0
00098	001	0	0	0	0	0	0

Comm.: C20-025-S05

Il presente documento è di proprietà della ANTEX GROUP srl.  
È vietato la comunicazione a terzi o la riproduzione senza il permesso scritto della suddetta.  
La società tutela i propri diritti a rigore di Legge.







PARCO EOLICO DI "BUDDUSO"

RELAZIONE DI CALCOLO E TABULATI OPERE EDILI  
SSEU



Ingegneria & Innovazione

30/06/2023

REV: 2

Pag. 145

Nodi - Reazioni vincolari esterne per tipologie di carico non sismiche

IdNd	CC	F <sub>x</sub>	F <sub>y</sub>	F <sub>z</sub>	M <sub>x</sub>	M <sub>y</sub>	M <sub>z</sub>
		[N]	[N]	[N]	[N-m]	[N-m]	[N-m]
00098	002	0	0	0	0	0	0
00098	003	0	0	0	0	0	0
00098	004	0	0	0	0	0	0
00099	001	0	0	0	0	0	0
00099	002	0	0	0	0	0	0
00099	003	0	0	0	0	0	0
00099	004	0	0	0	0	0	0
00100	001	0	0	0	0	0	0
00100	002	0	0	0	0	0	0
00100	003	0	0	0	0	0	0
00100	004	0	0	0	0	0	0
00101	001	0	0	0	0	0	0
00101	002	0	0	0	0	0	0
00101	003	0	0	0	0	0	0
00101	004	0	0	0	0	0	0
00102	001	0	0	0	0	0	0
00102	002	0	0	0	0	0	0
00102	003	0	0	0	0	0	0
00102	004	0	0	0	0	0	0
00103	001	0	0	0	0	0	0
00103	002	0	0	0	0	0	0
00103	003	0	0	0	0	0	0
00103	004	0	0	0	0	0	0
00104	001	0	0	0	0	0	0
00104	002	0	0	0	0	0	0
00104	003	0	0	0	0	0	0
00104	004	0	0	0	0	0	0
00105	001	0	0	0	0	0	0
00105	002	0	0	0	0	0	0
00105	003	0	0	0	0	0	0
00105	004	0	0	0	0	0	0
00106	001	0	0	0	0	0	0
00106	002	0	0	0	0	0	0
00106	003	0	0	0	0	0	0
00106	004	0	0	0	0	0	0
00107	001	0	0	0	0	0	0
00107	002	0	0	0	0	0	0
00107	003	0	0	0	0	0	0
00107	004	0	0	0	0	0	0
00108	001	0	0	0	0	0	0
00108	002	0	0	0	0	0	0
00108	003	0	0	0	0	0	0
00108	004	0	0	0	0	0	0
00109	001	0	0	0	0	0	0
00109	002	0	0	0	0	0	0
00109	003	0	0	0	0	0	0
00109	004	0	0	0	0	0	0
00110	001	0	0	0	0	0	0
00110	002	0	0	0	0	0	0
00110	003	0	0	0	0	0	0
00110	004	0	0	0	0	0	0
00111	001	0	0	0	0	0	0
00111	002	0	0	0	0	0	0
00111	003	0	0	0	0	0	0
00111	004	0	0	0	0	0	0
00112	001	0	0	0	0	0	0
00112	002	0	0	0	0	0	0
00112	003	0	0	0	0	0	0
00112	004	0	0	0	0	0	0
00113	001	0	0	0	0	0	0
00113	002	0	0	0	0	0	0
00113	003	0	0	0	0	0	0
00113	004	0	0	0	0	0	0
00114	001	0	0	0	0	0	0
00114	002	0	0	0	0	0	0
00114	003	0	0	0	0	0	0

Comm.: C20-025-S05

Il presente documento è di proprietà della ANTEX GROUP srl.  
È vietato la comunicazione a terzi o la riproduzione senza il permesso scritto della suddetta.  
La società tutela i propri diritti a rigore di Legge.





PARCO EOLICO DI "BUDDUSO"

RELAZIONE DI CALCOLO E TABULATI OPERE EDILI SSEU



Ingegneria & Innovazione

30/06/2023

REV: 2

Pag. 146

Nodi - Reazioni vincolari esterne per tipologie di carico non sismiche

IdNd	CC	F <sub>x</sub>	F <sub>y</sub>	F <sub>z</sub>	M <sub>x</sub>	M <sub>y</sub>	M <sub>z</sub>
		[N]	[N]	[N]	[N-m]	[N-m]	[N-m]
00114	004	0	0	0	0	0	0
00115	001	0	0	0	0	0	0
00115	002	0	0	0	0	0	0
00115	003	0	0	0	0	0	0
00115	004	0	0	0	0	0	0
00116	001	0	0	0	0	0	0
00116	002	0	0	0	0	0	0
00116	003	0	0	0	0	0	0
00116	004	0	0	0	0	0	0
00117	001	0	0	0	0	0	0
00117	002	0	0	0	0	0	0
00117	003	0	0	0	0	0	0
00117	004	0	0	0	0	0	0
00118	001	0	0	0	0	0	0
00118	002	0	0	0	0	0	0
00118	003	0	0	0	0	0	0
00118	004	0	0	0	0	0	0
00119	001	0	0	0	0	0	0
00119	002	0	0	0	0	0	0
00119	003	0	0	0	0	0	0
00119	004	0	0	0	0	0	0
00120	001	0	0	0	0	0	0
00120	002	0	0	0	0	0	0
00120	003	0	0	0	0	0	0
00120	004	0	0	0	0	0	0
00121	001	0	0	0	0	0	0
00121	002	0	0	0	0	0	0
00121	003	0	0	0	0	0	0
00121	004	0	0	0	0	0	0
00122	001	0	0	0	0	0	0
00122	002	0	0	0	0	0	0
00122	003	0	0	0	0	0	0
00122	004	0	0	0	0	0	0
00123	001	0	0	0	0	0	0
00123	002	0	0	0	0	0	0
00123	003	0	0	0	0	0	0
00123	004	0	0	0	0	0	0
00124	001	0	0	0	0	0	0
00124	002	0	0	0	0	0	0
00124	003	0	0	0	0	0	0
00124	004	0	0	0	0	0	0
00125	001	0	0	0	0	0	0
00125	002	0	0	0	0	0	0
00125	003	0	0	0	0	0	0
00125	004	0	0	0	0	0	0
00126	001	0	0	0	0	0	0
00126	002	0	0	0	0	0	0
00126	003	0	0	0	0	0	0
00126	004	0	0	0	0	0	0
00127	001	0	0	0	0	0	0
00127	002	0	0	0	0	0	0
00127	003	0	0	0	0	0	0
00127	004	0	0	0	0	0	0
00128	001	0	0	0	0	0	0
00128	002	0	0	0	0	0	0
00128	003	0	0	0	0	0	0
00128	004	0	0	0	0	0	0
00129	001	0	0	0	0	0	0
00129	002	0	0	0	0	0	0
00129	003	0	0	0	0	0	0
00129	004	0	0	0	0	0	0
00130	001	0	0	0	0	0	0
00130	002	0	0	0	0	0	0
00130	003	0	0	0	0	0	0
00130	004	0	0	0	0	0	0
00131	001	0	0	0	0	0	0

Comm.: C20-025-S05

Il presente documento è di proprietà della ANTEX GROUP srl.  
È vietato la comunicazione a terzi o la riproduzione senza il permesso scritto della suddetta.  
La società tutela i propri diritti a rigore di Legge.





PARCO EOLICO DI "BUDDUSO"

RELAZIONE DI CALCOLO E TABULATI OPERE EDILI  
SSEU



Ingegneria & Innovazione

30/06/2023

REV: 2

Pag. 147

Nodi - Reazioni vincolari esterne per tipologie di carico non sismiche

IdNd	CC	F <sub>x</sub>	F <sub>y</sub>	F <sub>z</sub>	M <sub>x</sub>	M <sub>y</sub>	M <sub>z</sub>
		[N]	[N]	[N]	[N-m]	[N-m]	[N-m]
00131	002	0	0	0	0	0	0
00131	003	0	0	0	0	0	0
00131	004	0	0	0	0	0	0
00132	001	0	0	0	0	0	0
00132	002	0	0	0	0	0	0
00132	003	0	0	0	0	0	0
00132	004	0	0	0	0	0	0
00133	001	0	0	0	0	0	0
00133	002	0	0	0	0	0	0
00133	003	0	0	0	0	0	0
00133	004	0	0	0	0	0	0
00134	001	0	0	0	0	0	0
00134	002	0	0	0	0	0	0
00134	003	0	0	0	0	0	0
00134	004	0	0	0	0	0	0
00135	001	0	0	0	0	0	0
00135	002	0	0	0	0	0	0
00135	003	0	0	0	0	0	0
00135	004	0	0	0	0	0	0
00136	001	0	0	0	0	0	0
00136	002	0	0	0	0	0	0
00136	003	0	0	0	0	0	0
00136	004	0	0	0	0	0	0
00137	001	0	0	0	0	0	0
00137	002	0	0	0	0	0	0
00137	003	0	0	0	0	0	0
00137	004	0	0	0	0	0	0
00138	001	0	0	0	0	0	0
00138	002	0	0	0	0	0	0
00138	003	0	0	0	0	0	0
00138	004	0	0	0	0	0	0
00139	001	0	0	0	0	0	0
00139	002	0	0	0	0	0	0
00139	003	0	0	0	0	0	0
00139	004	0	0	0	0	0	0
00140	001	0	0	0	0	0	0
00140	002	0	0	0	0	0	0
00140	003	0	0	0	0	0	0
00140	004	0	0	0	0	0	0
00141	001	0	0	0	0	0	0
00141	002	0	0	0	0	0	0
00141	003	0	0	0	0	0	0
00141	004	0	0	0	0	0	0
00142	001	0	0	0	0	0	0
00142	002	0	0	0	0	0	0
00142	003	0	0	0	0	0	0
00142	004	0	0	0	0	0	0
00143	001	0	0	0	0	0	0
00143	002	0	0	0	0	0	0
00143	003	0	0	0	0	0	0
00143	004	0	0	0	0	0	0
00144	001	0	0	0	0	0	0
00144	002	0	0	0	0	0	0
00144	003	0	0	0	0	0	0
00144	004	0	0	0	0	0	0
00145	001	0	0	0	0	0	0
00145	002	0	0	0	0	0	0
00145	003	0	0	0	0	0	0
00145	004	0	0	0	0	0	0
00146	001	0	0	0	0	0	0
00146	002	0	0	0	0	0	0
00146	003	0	0	0	0	0	0
00146	004	0	0	0	0	0	0
00147	001	0	0	0	0	0	0
00147	002	0	0	0	0	0	0
00147	003	0	0	0	0	0	0

Comm.: C20-025-S05

Il presente documento è di proprietà della ANTEX GROUP srl.  
È vietato la comunicazione a terzi o la riproduzione senza il permesso scritto della suddetta.  
La società tutela i propri diritti a rigore di Legge.





PARCO EOLICO DI "BUDDUSO"

RELAZIONE DI CALCOLO E TABULATI OPERE EDILI  
SSEU



Ingegneria & Innovazione

30/06/2023

REV: 2

Pag. 148

Nodi - Reazioni vincolari esterne per tipologie di carico non sismiche

IdNd	CC	F <sub>x</sub>	F <sub>y</sub>	F <sub>z</sub>	M <sub>x</sub>	M <sub>y</sub>	M <sub>z</sub>
		[N]	[N]	[N]	[N-m]	[N-m]	[N-m]
00147	004	0	0	0	0	0	0
00148	001	0	0	0	0	0	0
00148	002	0	0	0	0	0	0
00148	003	0	0	0	0	0	0
00148	004	0	0	0	0	0	0
00149	001	0	0	0	0	0	0
00149	002	0	0	0	0	0	0
00149	003	0	0	0	0	0	0
00149	004	0	0	0	0	0	0
00150	001	0	0	0	0	0	0
00150	002	0	0	0	0	0	0
00150	003	0	0	0	0	0	0
00150	004	0	0	0	0	0	0
00151	001	0	0	0	0	0	0
00151	002	0	0	0	0	0	0
00151	003	0	0	0	0	0	0
00151	004	0	0	0	0	0	0
00152	001	0	0	0	0	0	0
00152	002	0	0	0	0	0	0
00152	003	0	0	0	0	0	0
00152	004	0	0	0	0	0	0
00153	001	0	0	0	0	0	0
00153	002	0	0	0	0	0	0
00153	003	0	0	0	0	0	0
00153	004	0	0	0	0	0	0
00154	001	0	0	0	0	0	0
00154	002	0	0	0	0	0	0
00154	003	0	0	0	0	0	0
00154	004	0	0	0	0	0	0
00155	001	0	0	0	0	0	0
00155	002	0	0	0	0	0	0
00155	003	0	0	0	0	0	0
00155	004	0	0	0	0	0	0
00156	001	0	0	0	0	0	0
00156	002	0	0	0	0	0	0
00156	003	0	0	0	0	0	0
00156	004	0	0	0	0	0	0
00157	001	0	0	0	0	0	0
00157	002	0	0	0	0	0	0
00157	003	0	0	0	0	0	0
00157	004	0	0	0	0	0	0
00158	001	0	0	0	0	0	0
00158	002	0	0	0	0	0	0
00158	003	0	0	0	0	0	0
00158	004	0	0	0	0	0	0
00159	001	0	0	0	0	0	0
00159	002	0	0	0	0	0	0
00159	003	0	0	0	0	0	0
00159	004	0	0	0	0	0	0
00160	001	0	0	0	0	0	0
00160	002	0	0	0	0	0	0
00160	003	0	0	0	0	0	0
00160	004	0	0	0	0	0	0
00161	001	0	0	0	0	0	0
00161	002	0	0	0	0	0	0
00161	003	0	0	0	0	0	0
00161	004	0	0	0	0	0	0
00162	001	0	0	0	0	0	0
00162	002	0	0	0	0	0	0
00162	003	0	0	0	0	0	0
00162	004	0	0	0	0	0	0
00163	001	0	0	0	0	0	0
00163	002	0	0	0	0	0	0
00163	003	0	0	0	0	0	0
00163	004	0	0	0	0	0	0
00164	001	0	0	0	0	0	0

Comm.: C20-025-S05

Il presente documento è di proprietà della ANTEX GROUP srl.  
È vietato la comunicazione a terzi o la riproduzione senza il permesso scritto della suddetta.  
La società tutela i propri diritti a rigore di Legge.





PARCO EOLICO DI "BUDDUSO"

RELAZIONE DI CALCOLO E TABULATI OPERE EDILI  
SSEU



Ingegneria & Innovazione

30/06/2023

REV: 2

Pag. 149

Nodi - Reazioni vincolari esterne per tipologie di carico non sismiche

IdNd	CC	F <sub>x</sub>	F <sub>y</sub>	F <sub>z</sub>	M <sub>x</sub>	M <sub>y</sub>	M <sub>z</sub>
		[N]	[N]	[N]	[N-m]	[N-m]	[N-m]
00164	002	0	0	0	0	0	0
00164	003	0	0	0	0	0	0
00164	004	0	0	0	0	0	0
00165	001	0	0	0	0	0	0
00165	002	0	0	0	0	0	0
00165	003	0	0	0	0	0	0
00165	004	0	0	0	0	0	0
00166	001	0	0	0	0	0	0
00166	002	0	0	0	0	0	0
00166	003	0	0	0	0	0	0
00166	004	0	0	0	0	0	0
00167	001	0	0	0	0	0	0
00167	002	0	0	0	0	0	0
00167	003	0	0	0	0	0	0
00167	004	0	0	0	0	0	0
00168	001	0	0	0	0	0	0
00168	002	0	0	0	0	0	0
00168	003	0	0	0	0	0	0
00168	004	0	0	0	0	0	0
00169	001	0	0	0	0	0	0
00169	002	0	0	0	0	0	0
00169	003	0	0	0	0	0	0
00169	004	0	0	0	0	0	0
00170	001	0	0	0	0	0	0
00170	002	0	0	0	0	0	0
00170	003	0	0	0	0	0	0
00170	004	0	0	0	0	0	0
00171	001	0	0	0	0	0	0
00171	002	0	0	0	0	0	0
00171	003	0	0	0	0	0	0
00171	004	0	0	0	0	0	0
00172	001	0	0	0	0	0	0
00172	002	0	0	0	0	0	0
00172	003	0	0	0	0	0	0
00172	004	0	0	0	0	0	0
00173	001	0	0	0	0	0	0
00173	002	0	0	0	0	0	0
00173	003	0	0	0	0	0	0
00173	004	0	0	0	0	0	0
00174	001	0	0	0	0	0	0
00174	002	0	0	0	0	0	0
00174	003	0	0	0	0	0	0
00174	004	0	0	0	0	0	0
00175	001	0	0	0	0	0	0
00175	002	0	0	0	0	0	0
00175	003	0	0	0	0	0	0
00175	004	0	0	0	0	0	0
00176	001	0	0	0	0	0	0
00176	002	0	0	0	0	0	0
00176	003	0	0	0	0	0	0
00176	004	0	0	0	0	0	0
00177	001	0	0	0	0	0	0
00177	002	0	0	0	0	0	0
00177	003	0	0	0	0	0	0
00177	004	0	0	0	0	0	0
00178	001	0	0	0	0	0	0
00178	002	0	0	0	0	0	0
00178	003	0	0	0	0	0	0
00178	004	0	0	0	0	0	0
00179	001	0	0	0	0	0	0
00179	002	0	0	0	0	0	0
00179	003	0	0	0	0	0	0
00179	004	0	0	0	0	0	0
00180	001	0	0	0	0	0	0
00180	002	0	0	0	0	0	0
00180	003	0	0	0	0	0	0

Comm.: C20-025-S05

Il presente documento è di proprietà della ANTEX GROUP srl.  
È vietato la comunicazione a terzi o la riproduzione senza il permesso scritto della suddetta.  
La società tutela i propri diritti a rigore di Legge.





PARCO EOLICO DI "BUDDUSO"

RELAZIONE DI CALCOLO E TABULATI OPERE EDILI  
SSEU



Ingegneria & Innovazione

30/06/2023

REV: 2

Pag. 150

Nodi - Reazioni vincolari esterne per tipologie di carico non sismiche

IdNd	CC	F <sub>x</sub>	F <sub>y</sub>	F <sub>z</sub>	M <sub>x</sub>	M <sub>y</sub>	M <sub>z</sub>
		[N]	[N]	[N]	[N-m]	[N-m]	[N-m]
00180	004	0	0	0	0	0	0
00181	001	0	0	0	0	0	0
00181	002	0	0	0	0	0	0
00181	003	0	0	0	0	0	0
00181	004	0	0	0	0	0	0
00182	001	0	0	0	0	0	0
00182	002	0	0	0	0	0	0
00182	003	0	0	0	0	0	0
00182	004	0	0	0	0	0	0
00183	001	0	0	0	0	0	0
00183	002	0	0	0	0	0	0
00183	003	0	0	0	0	0	0
00183	004	0	0	0	0	0	0
00184	001	0	0	0	0	0	0
00184	002	0	0	0	0	0	0
00184	003	0	0	0	0	0	0
00184	004	0	0	0	0	0	0
00185	001	0	0	0	0	0	0
00185	002	0	0	0	0	0	0
00185	003	0	0	0	0	0	0
00185	004	0	0	0	0	0	0
00186	001	0	0	0	0	0	0
00186	002	0	0	0	0	0	0
00186	003	0	0	0	0	0	0
00186	004	0	0	0	0	0	0
00187	001	0	0	0	0	0	0
00187	002	0	0	0	0	0	0
00187	003	0	0	0	0	0	0
00187	004	0	0	0	0	0	0
00188	001	0	0	0	0	0	0
00188	002	0	0	0	0	0	0
00188	003	0	0	0	0	0	0
00188	004	0	0	0	0	0	0
00189	001	0	0	0	0	0	0
00189	002	0	0	0	0	0	0
00189	003	0	0	0	0	0	0
00189	004	0	0	0	0	0	0
00190	001	0	0	0	0	0	0
00190	002	0	0	0	0	0	0
00190	003	0	0	0	0	0	0
00190	004	0	0	0	0	0	0
00191	001	0	0	0	0	0	0
00191	002	0	0	0	0	0	0
00191	003	0	0	0	0	0	0
00191	004	0	0	0	0	0	0
00192	001	0	0	0	0	0	0
00192	002	0	0	0	0	0	0
00192	003	0	0	0	0	0	0
00192	004	0	0	0	0	0	0
00193	001	0	0	0	0	0	0
00193	002	0	0	0	0	0	0
00193	003	0	0	0	0	0	0
00193	004	0	0	0	0	0	0
00194	001	0	0	0	0	0	0
00194	002	0	0	0	0	0	0
00194	003	0	0	0	0	0	0
00194	004	0	0	0	0	0	0
00195	001	0	0	0	0	0	0
00195	002	0	0	0	0	0	0
00195	003	0	0	0	0	0	0
00195	004	0	0	0	0	0	0
00196	001	0	0	0	0	0	0
00196	002	0	0	0	0	0	0
00196	003	0	0	0	0	0	0
00196	004	0	0	0	0	0	0
00197	001	0	0	0	0	0	0

Comm.: C20-025-S05

Il presente documento è di proprietà della ANTEX GROUP srl.  
È vietato la comunicazione a terzi o la riproduzione senza il permesso scritto della suddetta.  
La società tutela i propri diritti a rigore di Legge.





PARCO EOLICO DI "BUDDUSO"

RELAZIONE DI CALCOLO E TABULATI OPERE EDILI  
SSEU



Ingegneria & Innovazione

30/06/2023

REV: 2

Pag. 151

Nodi - Reazioni vincolari esterne per tipologie di carico non sismiche

IdNd	CC	F <sub>x</sub>	F <sub>y</sub>	F <sub>z</sub>	M <sub>x</sub>	M <sub>y</sub>	M <sub>z</sub>
		[N]	[N]	[N]	[N-m]	[N-m]	[N-m]
00197	002	0	0	0	0	0	0
00197	003	0	0	0	0	0	0
00197	004	0	0	0	0	0	0
00198	001	0	0	0	0	0	0
00198	002	0	0	0	0	0	0
00198	003	0	0	0	0	0	0
00198	004	0	0	0	0	0	0
00199	001	0	0	0	0	0	0
00199	002	0	0	0	0	0	0
00199	003	0	0	0	0	0	0
00199	004	0	0	0	0	0	0
00200	001	0	0	0	0	0	0
00200	002	0	0	0	0	0	0
00200	003	0	0	0	0	0	0
00200	004	0	0	0	0	0	0
00201	001	0	0	0	0	0	0
00201	002	0	0	0	0	0	0
00201	003	0	0	0	0	0	0
00201	004	0	0	0	0	0	0
00202	001	0	0	0	0	0	0
00202	002	0	0	0	0	0	0
00202	003	0	0	0	0	0	0
00202	004	0	0	0	0	0	0
00203	001	0	0	0	0	0	0
00203	002	0	0	0	0	0	0
00203	003	0	0	0	0	0	0
00203	004	0	0	0	0	0	0
00204	001	0	0	0	0	0	0
00204	002	0	0	0	0	0	0
00204	003	0	0	0	0	0	0
00204	004	0	0	0	0	0	0
00205	001	0	0	0	0	0	0
00205	002	0	0	0	0	0	0
00205	003	0	0	0	0	0	0
00205	004	0	0	0	0	0	0
00206	001	0	0	0	0	0	0
00206	002	0	0	0	0	0	0
00206	003	0	0	0	0	0	0
00206	004	0	0	0	0	0	0
00207	001	0	0	0	0	0	0
00207	002	0	0	0	0	0	0
00207	003	0	0	0	0	0	0
00207	004	0	0	0	0	0	0
00208	001	0	0	0	0	0	0
00208	002	0	0	0	0	0	0
00208	003	0	0	0	0	0	0
00208	004	0	0	0	0	0	0
00209	001	0	0	0	0	0	0
00209	002	0	0	0	0	0	0
00209	003	0	0	0	0	0	0
00209	004	0	0	0	0	0	0
00210	001	0	0	0	0	0	0
00210	002	0	0	0	0	0	0
00210	003	0	0	0	0	0	0
00210	004	0	0	0	0	0	0
00211	001	0	0	0	0	0	0
00211	002	0	0	0	0	0	0
00211	003	0	0	0	0	0	0
00211	004	0	0	0	0	0	0
00212	001	0	0	0	0	0	0
00212	002	0	0	0	0	0	0
00212	003	0	0	0	0	0	0
00212	004	0	0	0	0	0	0
00213	001	0	0	0	0	0	0
00213	002	0	0	0	0	0	0
00213	003	0	0	0	0	0	0

Comm.: C20-025-S05

Il presente documento è di proprietà della ANTEX GROUP srl.  
È vietato la comunicazione a terzi o la riproduzione senza il permesso scritto della suddetta.  
La società tutela i propri diritti a rigore di Legge.





PARCO EOLICO DI "BUDDUSO"

RELAZIONE DI CALCOLO E TABULATI OPERE EDILI SSEU



Ingegneria & Innovazione

30/06/2023

REV: 2

Pag. 152

Nodi - Reazioni vincolari esterne per tipologie di carico non sismiche

IdNd	CC	F <sub>x</sub>	F <sub>y</sub>	F <sub>z</sub>	M <sub>x</sub>	M <sub>y</sub>	M <sub>z</sub>
		[N]	[N]	[N]	[N-m]	[N-m]	[N-m]
00213	004	0	0	0	0	0	0
00214	001	0	0	0	0	0	0
00214	002	0	0	0	0	0	0
00214	003	0	0	0	0	0	0
00214	004	0	0	0	0	0	0
00215	001	0	0	0	0	0	0
00215	002	0	0	0	0	0	0
00215	003	0	0	0	0	0	0
00215	004	0	0	0	0	0	0
00216	001	0	0	0	0	0	0
00216	002	0	0	0	0	0	0
00216	003	0	0	0	0	0	0
00216	004	0	0	0	0	0	0
00217	001	0	0	0	0	0	0
00217	002	0	0	0	0	0	0
00217	003	0	0	0	0	0	0
00217	004	0	0	0	0	0	0
00218	001	0	0	0	0	0	0
00218	002	0	0	0	0	0	0
00218	003	0	0	0	0	0	0
00218	004	0	0	0	0	0	0
00219	001	0	0	0	0	0	0
00219	002	0	0	0	0	0	0
00219	003	0	0	0	0	0	0
00219	004	0	0	0	0	0	0
00220	001	0	0	0	0	0	0
00220	002	0	0	0	0	0	0
00220	003	0	0	0	0	0	0
00220	004	0	0	0	0	0	0
00221	001	0	0	0	0	0	0
00221	002	0	0	0	0	0	0
00221	003	0	0	0	0	0	0
00221	004	0	0	0	0	0	0
00222	001	0	0	0	0	0	0
00222	002	0	0	0	0	0	0
00222	003	0	0	0	0	0	0
00222	004	0	0	0	0	0	0
00223	001	0	0	0	0	0	0
00223	002	0	0	0	0	0	0
00223	003	0	0	0	0	0	0
00223	004	0	0	0	0	0	0
00224	001	0	0	0	0	0	0
00224	002	0	0	0	0	0	0
00224	003	0	0	0	0	0	0
00224	004	0	0	0	0	0	0
00225	001	0	0	0	0	0	0
00225	002	0	0	0	0	0	0
00225	003	0	0	0	0	0	0
00225	004	0	0	0	0	0	0
00226	001	0	0	0	0	0	0
00226	002	0	0	0	0	0	0
00226	003	0	0	0	0	0	0
00226	004	0	0	0	0	0	0
00227	001	0	0	0	0	0	0
00227	002	0	0	0	0	0	0
00227	003	0	0	0	0	0	0
00227	004	0	0	0	0	0	0
00228	001	0	0	0	0	0	0
00228	002	0	0	0	0	0	0
00228	003	0	0	0	0	0	0
00228	004	0	0	0	0	0	0
00229	001	0	0	0	0	0	0
00229	002	0	0	0	0	0	0
00229	003	0	0	0	0	0	0
00229	004	0	0	0	0	0	0
00230	001	0	0	0	0	0	0

Comm.: C20-025-S05

Il presente documento è di proprietà della ANTEX GROUP srl.  
È vietato la comunicazione a terzi o la riproduzione senza il permesso scritto della suddetta.  
La società tutela i propri diritti a rigore di Legge.







PARCO EOLICO DI "BUDDUSO"

RELAZIONE DI CALCOLO E TABULATI OPERE EDILI  
SSEU



Ingegneria & Innovazione

30/06/2023

REV: 2

Pag. 153

Nodi - Reazioni vincolari esterne per tipologie di carico non sismiche

IdNd	CC	F <sub>x</sub>	F <sub>y</sub>	F <sub>z</sub>	M <sub>x</sub>	M <sub>y</sub>	M <sub>z</sub>
		[N]	[N]	[N]	[N-m]	[N-m]	[N-m]
00230	002	0	0	0	0	0	0
00230	003	0	0	0	0	0	0
00230	004	0	0	0	0	0	0
00231	001	0	0	0	0	0	0
00231	002	0	0	0	0	0	0
00231	003	0	0	0	0	0	0
00231	004	0	0	0	0	0	0
00232	001	0	0	0	0	0	0
00232	002	0	0	0	0	0	0
00232	003	0	0	0	0	0	0
00232	004	0	0	0	0	0	0
00233	001	0	0	0	0	0	0
00233	002	0	0	0	0	0	0
00233	003	0	0	0	0	0	0
00233	004	0	0	0	0	0	0
00234	001	0	0	0	0	0	0
00234	002	0	0	0	0	0	0
00234	003	0	0	0	0	0	0
00234	004	0	0	0	0	0	0
00235	001	0	0	0	0	0	0
00235	002	0	0	0	0	0	0
00235	003	0	0	0	0	0	0
00235	004	0	0	0	0	0	0
00236	001	0	0	0	0	0	0
00236	002	0	0	0	0	0	0
00236	003	0	0	0	0	0	0
00236	004	0	0	0	0	0	0
00237	001	0	0	0	0	0	0
00237	002	0	0	0	0	0	0
00237	003	0	0	0	0	0	0
00237	004	0	0	0	0	0	0
00238	001	0	0	0	0	0	0
00238	002	0	0	0	0	0	0
00238	003	0	0	0	0	0	0
00238	004	0	0	0	0	0	0
00239	001	0	0	0	0	0	0
00239	002	0	0	0	0	0	0
00239	003	0	0	0	0	0	0
00239	004	0	0	0	0	0	0
00240	001	0	0	0	0	0	0
00240	002	0	0	0	0	0	0
00240	003	0	0	0	0	0	0
00240	004	0	0	0	0	0	0
00241	001	0	0	0	0	0	0
00241	002	0	0	0	0	0	0
00241	003	0	0	0	0	0	0
00241	004	0	0	0	0	0	0
00242	001	0	0	0	0	0	0
00242	002	0	0	0	0	0	0
00242	003	0	0	0	0	0	0
00242	004	0	0	0	0	0	0
00243	001	0	0	0	0	0	0
00243	002	0	0	0	0	0	0
00243	003	0	0	0	0	0	0
00243	004	0	0	0	0	0	0
00244	001	0	0	0	0	0	0
00244	002	0	0	0	0	0	0
00244	003	0	0	0	0	0	0
00244	004	0	0	0	0	0	0
00245	001	0	0	0	0	0	0
00245	002	0	0	0	0	0	0
00245	003	0	0	0	0	0	0
00245	004	0	0	0	0	0	0
00246	001	0	0	0	0	0	0
00246	002	0	0	0	0	0	0
00246	003	0	0	0	0	0	0

Comm.: C20-025-S05

Il presente documento è di proprietà della ANTEX GROUP srl.  
È vietato la comunicazione a terzi o la riproduzione senza il permesso scritto della suddetta.  
La società tutela i propri diritti a rigore di Legge.





PARCO EOLICO DI "BUDDUSO"

RELAZIONE DI CALCOLO E TABULATI OPERE EDILI  
SSEU



Ingegneria & Innovazione

30/06/2023

REV: 2

Pag. 154

Nodi - Reazioni vincolari esterne per tipologie di carico non sismiche

IdNd	CC	F <sub>x</sub>	F <sub>y</sub>	F <sub>z</sub>	M <sub>x</sub>	M <sub>y</sub>	M <sub>z</sub>
		[N]	[N]	[N]	[N-m]	[N-m]	[N-m]
00246	004	0	0	0	0	0	0
00247	001	0	0	0	0	0	0
00247	002	0	0	0	0	0	0
00247	003	0	0	0	0	0	0
00247	004	0	0	0	0	0	0
00248	001	0	0	0	0	0	0
00248	002	0	0	0	0	0	0
00248	003	0	0	0	0	0	0
00248	004	0	0	0	0	0	0
00249	001	0	0	0	0	0	0
00249	002	0	0	0	0	0	0
00249	003	0	0	0	0	0	0
00249	004	0	0	0	0	0	0
00250	001	0	0	0	0	0	0
00250	002	0	0	0	0	0	0
00250	003	0	0	0	0	0	0
00250	004	0	0	0	0	0	0
00251	001	0	0	0	0	0	0
00251	002	0	0	0	0	0	0
00251	003	0	0	0	0	0	0
00251	004	0	0	0	0	0	0
00252	001	0	0	0	0	0	0
00252	002	0	0	0	0	0	0
00252	003	0	0	0	0	0	0
00252	004	0	0	0	0	0	0
00253	001	0	0	0	0	0	0
00253	002	0	0	0	0	0	0
00253	003	0	0	0	0	0	0
00253	004	0	0	0	0	0	0
00254	001	0	0	0	0	0	0
00254	002	0	0	0	0	0	0
00254	003	0	0	0	0	0	0
00254	004	0	0	0	0	0	0
00255	001	0	0	0	0	0	0
00255	002	0	0	0	0	0	0
00255	003	0	0	0	0	0	0
00255	004	0	0	0	0	0	0
00256	001	0	0	0	0	0	0
00256	002	0	0	0	0	0	0
00256	003	0	0	0	0	0	0
00256	004	0	0	0	0	0	0
00257	001	0	0	0	0	0	0
00257	002	0	0	0	0	0	0
00257	003	0	0	0	0	0	0
00257	004	0	0	0	0	0	0
00258	001	0	0	0	0	0	0
00258	002	0	0	0	0	0	0
00258	003	0	0	0	0	0	0
00258	004	0	0	0	0	0	0
00259	001	0	0	0	0	0	0
00259	002	0	0	0	0	0	0
00259	003	0	0	0	0	0	0
00259	004	0	0	0	0	0	0
00260	001	0	0	0	0	0	0
00260	002	0	0	0	0	0	0
00260	003	0	0	0	0	0	0
00260	004	0	0	0	0	0	0
00261	001	0	0	0	0	0	0
00261	002	0	0	0	0	0	0
00261	003	0	0	0	0	0	0
00261	004	0	0	0	0	0	0
00262	001	0	0	0	0	0	0
00262	002	0	0	0	0	0	0
00262	003	0	0	0	0	0	0
00262	004	0	0	0	0	0	0
00263	001	0	0	0	0	0	0

Comm.: C20-025-S05

Il presente documento è di proprietà della ANTEX GROUP srl.  
È vietato la comunicazione a terzi o la riproduzione senza il permesso scritto della suddetta.  
La società tutela i propri diritti a rigore di Legge.





PARCO EOLICO DI "BUDDUSO"

RELAZIONE DI CALCOLO E TABULATI OPERE EDILI SSEU



Ingegneria & Innovazione

30/06/2023

REV: 2

Pag. 155

Nodi - Reazioni vincolari esterne per tipologie di carico non sismiche

IdNd	CC	F <sub>x</sub>	F <sub>y</sub>	F <sub>z</sub>	M <sub>x</sub>	M <sub>y</sub>	M <sub>z</sub>
		[N]	[N]	[N]	[N-m]	[N-m]	[N-m]
00263	002	0	0	0	0	0	0
00263	003	0	0	0	0	0	0
00263	004	0	0	0	0	0	0
00264	001	0	0	0	0	0	0
00264	002	0	0	0	0	0	0
00264	003	0	0	0	0	0	0
00264	004	0	0	0	0	0	0
00265	001	0	0	0	0	0	0
00265	002	0	0	0	0	0	0
00265	003	0	0	0	0	0	0
00265	004	0	0	0	0	0	0
00266	001	0	0	0	0	0	0
00266	002	0	0	0	0	0	0
00266	003	0	0	0	0	0	0
00266	004	0	0	0	0	0	0
00267	001	0	0	0	0	0	0
00267	002	0	0	0	0	0	0
00267	003	0	0	0	0	0	0
00267	004	0	0	0	0	0	0
00268	001	0	0	0	0	0	0
00268	002	0	0	0	0	0	0
00268	003	0	0	0	0	0	0
00268	004	0	0	0	0	0	0
00269	001	0	0	0	0	0	0
00269	002	0	0	0	0	0	0
00269	003	0	0	0	0	0	0
00269	004	0	0	0	0	0	0
00270	001	0	0	0	0	0	0
00270	002	0	0	0	0	0	0
00270	003	0	0	0	0	0	0
00270	004	0	0	0	0	0	0
00271	001	0	0	0	0	0	0
00271	002	0	0	0	0	0	0
00271	003	0	0	0	0	0	0
00271	004	0	0	0	0	0	0
00272	001	0	0	0	0	0	0
00272	002	0	0	0	0	0	0
00272	003	0	0	0	0	0	0
00272	004	0	0	0	0	0	0
00273	001	0	0	0	0	0	0
00273	002	0	0	0	0	0	0
00273	003	0	0	0	0	0	0
00273	004	0	0	0	0	0	0
00274	001	0	0	0	0	0	0
00274	002	0	0	0	0	0	0
00274	003	0	0	0	0	0	0
00274	004	0	0	0	0	0	0
00275	001	0	0	0	0	0	0
00275	002	0	0	0	0	0	0
00275	003	0	0	0	0	0	0
00275	004	0	0	0	0	0	0
00276	001	0	0	0	0	0	0
00276	002	0	0	0	0	0	0
00276	003	0	0	0	0	0	0
00276	004	0	0	0	0	0	0
00277	001	0	0	0	0	0	0
00277	002	0	0	0	0	0	0
00277	003	0	0	0	0	0	0
00277	004	0	0	0	0	0	0
00278	001	0	0	0	0	0	0
00278	002	0	0	0	0	0	0
00278	003	0	0	0	0	0	0
00278	004	0	0	0	0	0	0
00279	001	0	0	0	0	0	0
00279	002	0	0	0	0	0	0
00279	003	0	0	0	0	0	0

Comm.: C20-025-S05

Il presente documento è di proprietà della ANTEX GROUP srl.  
È vietato la comunicazione a terzi o la riproduzione senza il permesso scritto della suddetta.  
La società tutela i propri diritti a rigore di Legge.





PARCO EOLICO DI "BUDDUSO"

RELAZIONE DI CALCOLO E TABULATI OPERE EDILI SSEU



Ingegneria & Innovazione

30/06/2023

REV: 2

Pag. 156

Nodi - Reazioni vincolari esterne per tipologie di carico non sismiche

IdNd	CC	F <sub>x</sub>	F <sub>y</sub>	F <sub>z</sub>	M <sub>x</sub>	M <sub>y</sub>	M <sub>z</sub>
		[N]	[N]	[N]	[N-m]	[N-m]	[N-m]
00279	004	0	0	0	0	0	0
00280	001	0	0	0	0	0	0
00280	002	0	0	0	0	0	0
00280	003	0	0	0	0	0	0
00280	004	0	0	0	0	0	0
00281	001	0	0	0	0	0	0
00281	002	0	0	0	0	0	0
00281	003	0	0	0	0	0	0
00281	004	0	0	0	0	0	0
00282	001	0	0	0	0	0	0
00282	002	0	0	0	0	0	0
00282	003	0	0	0	0	0	0
00282	004	0	0	0	0	0	0
00283	001	0	0	0	0	0	0
00283	002	0	0	0	0	0	0
00283	003	0	0	0	0	0	0
00283	004	0	0	0	0	0	0
00284	001	0	0	0	0	0	0
00284	002	0	0	0	0	0	0
00284	003	0	0	0	0	0	0
00284	004	0	0	0	0	0	0
00285	001	0	0	0	0	0	0
00285	002	0	0	0	0	0	0
00285	003	0	0	0	0	0	0
00285	004	0	0	0	0	0	0
00286	001	0	0	0	0	0	0
00286	002	0	0	0	0	0	0
00286	003	0	0	0	0	0	0
00286	004	0	0	0	0	0	0
00287	001	0	0	0	0	0	0
00287	002	0	0	0	0	0	0
00287	003	0	0	0	0	0	0
00287	004	0	0	0	0	0	0
00288	001	0	0	0	0	0	0
00288	002	0	0	0	0	0	0
00288	003	0	0	0	0	0	0
00288	004	0	0	0	0	0	0
00289	001	0	0	0	0	0	0
00289	002	0	0	0	0	0	0
00289	003	0	0	0	0	0	0
00289	004	0	0	0	0	0	0
00290	001	0	0	0	0	0	0
00290	002	0	0	0	0	0	0
00290	003	0	0	0	0	0	0
00290	004	0	0	0	0	0	0
00291	001	0	0	0	0	0	0
00291	002	0	0	0	0	0	0
00291	003	0	0	0	0	0	0
00291	004	0	0	0	0	0	0
00292	001	0	0	0	0	0	0
00292	002	0	0	0	0	0	0
00292	003	0	0	0	0	0	0
00292	004	0	0	0	0	0	0
00293	001	0	0	0	0	0	0
00293	002	0	0	0	0	0	0
00293	003	0	0	0	0	0	0
00293	004	0	0	0	0	0	0
00294	001	0	0	0	0	0	0
00294	002	0	0	0	0	0	0
00294	003	0	0	0	0	0	0
00294	004	0	0	0	0	0	0
00295	001	0	0	0	0	0	0
00295	002	0	0	0	0	0	0
00295	003	0	0	0	0	0	0
00295	004	0	0	0	0	0	0
00296	001	0	0	0	0	0	0

Comm.: C20-025-S05

Il presente documento è di proprietà della ANTEX GROUP srl. È vietato la comunicazione a terzi o la riproduzione senza il permesso scritto della suddetta. La società tutela i propri diritti a rigore di Legge.





PARCO EOLICO DI "BUDDUSO"

RELAZIONE DI CALCOLO E TABULATI OPERE EDILI  
SSEU



Ingegneria & Innovazione

30/06/2023

REV: 2

Pag. 157

Nodi - Reazioni vincolari esterne per tipologie di carico non sismiche

IdNd	CC	F <sub>x</sub>	F <sub>y</sub>	F <sub>z</sub>	M <sub>x</sub>	M <sub>y</sub>	M <sub>z</sub>
		[N]	[N]	[N]	[N-m]	[N-m]	[N-m]
00296	002	0	0	0	0	0	0
00296	003	0	0	0	0	0	0
00296	004	0	0	0	0	0	0
00297	001	0	0	0	0	0	0
00297	002	0	0	0	0	0	0
00297	003	0	0	0	0	0	0
00297	004	0	0	0	0	0	0
00298	001	0	0	0	0	0	0
00298	002	0	0	0	0	0	0
00298	003	0	0	0	0	0	0
00298	004	0	0	0	0	0	0
00299	001	0	0	0	0	0	0
00299	002	0	0	0	0	0	0
00299	003	0	0	0	0	0	0
00299	004	0	0	0	0	0	0
00300	001	0	0	0	0	0	0
00300	002	0	0	0	0	0	0
00300	003	0	0	0	0	0	0
00300	004	0	0	0	0	0	0
00301	001	0	0	0	0	0	0
00301	002	0	0	0	0	0	0
00301	003	0	0	0	0	0	0
00301	004	0	0	0	0	0	0
00302	001	0	0	0	0	0	0
00302	002	0	0	0	0	0	0
00302	003	0	0	0	0	0	0
00302	004	0	0	0	0	0	0
00303	001	0	0	0	0	0	0
00303	002	0	0	0	0	0	0
00303	003	0	0	0	0	0	0
00303	004	0	0	0	0	0	0
00304	001	0	0	0	0	0	0
00304	002	0	0	0	0	0	0
00304	003	0	0	0	0	0	0
00304	004	0	0	0	0	0	0
00305	001	0	0	0	0	0	0
00305	002	0	0	0	0	0	0
00305	003	0	0	0	0	0	0
00305	004	0	0	0	0	0	0
00306	001	0	0	0	0	0	0
00306	002	0	0	0	0	0	0
00306	003	0	0	0	0	0	0
00306	004	0	0	0	0	0	0
00307	001	0	0	0	0	0	0
00307	002	0	0	0	0	0	0
00307	003	0	0	0	0	0	0
00307	004	0	0	0	0	0	0
00308	001	0	0	0	0	0	0
00308	002	0	0	0	0	0	0
00308	003	0	0	0	0	0	0
00308	004	0	0	0	0	0	0
00309	001	0	0	0	0	0	0
00309	002	0	0	0	0	0	0
00309	003	0	0	0	0	0	0
00309	004	0	0	0	0	0	0
00310	001	0	0	0	0	0	0
00310	002	0	0	0	0	0	0
00310	003	0	0	0	0	0	0
00310	004	0	0	0	0	0	0
00311	001	0	0	0	0	0	0
00311	002	0	0	0	0	0	0
00311	003	0	0	0	0	0	0
00311	004	0	0	0	0	0	0
00312	001	0	0	0	0	0	0
00312	002	0	0	0	0	0	0
00312	003	0	0	0	0	0	0

Comm.: C20-025-S05

Il presente documento è di proprietà della ANTEX GROUP srl.  
È vietato la comunicazione a terzi o la riproduzione senza il permesso scritto della suddetta.  
La società tutela i propri diritti a rigore di Legge.





PARCO EOLICO DI "BUDDUSO"

RELAZIONE DI CALCOLO E TABULATI OPERE EDILI  
SSEU



Ingegneria & Innovazione

30/06/2023

REV: 2

Pag. 158

Nodi - Reazioni vincolari esterne per tipologie di carico non sismiche

IdNd	CC	F <sub>x</sub>	F <sub>y</sub>	F <sub>z</sub>	M <sub>x</sub>	M <sub>y</sub>	M <sub>z</sub>
		[N]	[N]	[N]	[N-m]	[N-m]	[N-m]
00312	004	0	0	0	0	0	0
00313	001	0	0	0	0	0	0
00313	002	0	0	0	0	0	0
00313	003	0	0	0	0	0	0
00313	004	0	0	0	0	0	0
00314	001	0	0	0	0	0	0
00314	002	0	0	0	0	0	0
00314	003	0	0	0	0	0	0
00314	004	0	0	0	0	0	0
00315	001	0	0	0	0	0	0
00315	002	0	0	0	0	0	0
00315	003	0	0	0	0	0	0
00315	004	0	0	0	0	0	0
00316	001	0	0	0	0	0	0
00316	002	0	0	0	0	0	0
00316	003	0	0	0	0	0	0
00316	004	0	0	0	0	0	0
00317	001	0	0	0	0	0	0
00317	002	0	0	0	0	0	0
00317	003	0	0	0	0	0	0
00317	004	0	0	0	0	0	0
00318	001	0	0	0	0	0	0
00318	002	0	0	0	0	0	0
00318	003	0	0	0	0	0	0
00318	004	0	0	0	0	0	0
00319	001	0	0	0	0	0	0
00319	002	0	0	0	0	0	0
00319	003	0	0	0	0	0	0
00319	004	0	0	0	0	0	0
00320	001	0	0	0	0	0	0
00320	002	0	0	0	0	0	0
00320	003	0	0	0	0	0	0
00320	004	0	0	0	0	0	0
00321	001	0	0	0	0	0	0
00321	002	0	0	0	0	0	0
00321	003	0	0	0	0	0	0
00321	004	0	0	0	0	0	0
00322	001	0	0	0	0	0	0
00322	002	0	0	0	0	0	0
00322	003	0	0	0	0	0	0
00322	004	0	0	0	0	0	0
00323	001	0	0	0	0	0	0
00323	002	0	0	0	0	0	0
00323	003	0	0	0	0	0	0
00323	004	0	0	0	0	0	0
00324	001	0	0	0	0	0	0
00324	002	0	0	0	0	0	0
00324	003	0	0	0	0	0	0
00324	004	0	0	0	0	0	0
00325	001	0	0	0	0	0	0
00325	002	0	0	0	0	0	0
00325	003	0	0	0	0	0	0
00325	004	0	0	0	0	0	0
00326	001	0	0	0	0	0	0
00326	002	0	0	0	0	0	0
00326	003	0	0	0	0	0	0
00326	004	0	0	0	0	0	0
00327	001	0	0	0	0	0	0
00327	002	0	0	0	0	0	0
00327	003	0	0	0	0	0	0
00327	004	0	0	0	0	0	0
00328	001	0	0	0	0	0	0
00328	002	0	0	0	0	0	0
00328	003	0	0	0	0	0	0
00328	004	0	0	0	0	0	0
00329	001	0	0	0	0	0	0

Comm.: C20-025-S05

Il presente documento è di proprietà della ANTEX GROUP srl.  
È vietato la comunicazione a terzi o la riproduzione senza il permesso scritto della suddetta.  
La società tutela i propri diritti a rigore di Legge.





PARCO EOLICO DI "BUDDUSO"

RELAZIONE DI CALCOLO E TABULATI OPERE EDILI  
SSEU



Ingegneria & Innovazione

30/06/2023

REV: 2

Pag. 159

Nodi - Reazioni vincolari esterne per tipologie di carico non sismiche

IdNd	CC	F <sub>x</sub>	F <sub>y</sub>	F <sub>z</sub>	M <sub>x</sub>	M <sub>y</sub>	M <sub>z</sub>
		[N]	[N]	[N]	[N-m]	[N-m]	[N-m]
00329	002	0	0	0	0	0	0
00329	003	0	0	0	0	0	0
00329	004	0	0	0	0	0	0
00330	001	0	0	0	0	0	0
00330	002	0	0	0	0	0	0
00330	003	0	0	0	0	0	0
00330	004	0	0	0	0	0	0
00331	001	0	0	0	0	0	0
00331	002	0	0	0	0	0	0
00331	003	0	0	0	0	0	0
00331	004	0	0	0	0	0	0
00332	001	0	0	0	0	0	0
00332	002	0	0	0	0	0	0
00332	003	0	0	0	0	0	0
00332	004	0	0	0	0	0	0
00333	001	0	0	0	0	0	0
00333	002	0	0	0	0	0	0
00333	003	0	0	0	0	0	0
00333	004	0	0	0	0	0	0
00334	001	0	0	0	0	0	0
00334	002	0	0	0	0	0	0
00334	003	0	0	0	0	0	0
00334	004	0	0	0	0	0	0
00335	001	0	0	0	0	0	0
00335	002	0	0	0	0	0	0
00335	003	0	0	0	0	0	0
00335	004	0	0	0	0	0	0
00336	001	0	0	0	0	0	0
00336	002	0	0	0	0	0	0
00336	003	0	0	0	0	0	0
00336	004	0	0	0	0	0	0
00337	001	0	0	0	0	0	0
00337	002	0	0	0	0	0	0
00337	003	0	0	0	0	0	0
00337	004	0	0	0	0	0	0
00338	001	0	0	0	0	0	0
00338	002	0	0	0	0	0	0
00338	003	0	0	0	0	0	0
00338	004	0	0	0	0	0	0
00339	001	0	0	0	0	0	0
00339	002	0	0	0	0	0	0
00339	003	0	0	0	0	0	0
00339	004	0	0	0	0	0	0
00340	001	0	0	0	0	0	0
00340	002	0	0	0	0	0	0
00340	003	0	0	0	0	0	0
00340	004	0	0	0	0	0	0
00341	001	0	0	0	0	0	0
00341	002	0	0	0	0	0	0
00341	003	0	0	0	0	0	0
00341	004	0	0	0	0	0	0
00342	001	0	0	0	0	0	0
00342	002	0	0	0	0	0	0
00342	003	0	0	0	0	0	0
00342	004	0	0	0	0	0	0
00343	001	0	0	0	0	0	0
00343	002	0	0	0	0	0	0
00343	003	0	0	0	0	0	0
00343	004	0	0	0	0	0	0
00344	001	0	0	0	0	0	0
00344	002	0	0	0	0	0	0
00344	003	0	0	0	0	0	0
00344	004	0	0	0	0	0	0
00345	001	0	0	0	0	0	0
00345	002	0	0	0	0	0	0
00345	003	0	0	0	0	0	0

Comm.: C20-025-S05

Il presente documento è di proprietà della ANTEX GROUP srl.  
È vietato la comunicazione a terzi o la riproduzione senza il permesso scritto della suddetta.  
La società tutela i propri diritti a rigore di Legge.





PARCO EOLICO DI "BUDDUSO"

RELAZIONE DI CALCOLO E TABULATI OPERE EDILI  
SSEU



Ingegneria & Innovazione

30/06/2023

REV: 2

Pag. 160

Nodi - Reazioni vincolari esterne per tipologie di carico non sismiche

IdNd	CC	F <sub>x</sub>	F <sub>y</sub>	F <sub>z</sub>	M <sub>x</sub>	M <sub>y</sub>	M <sub>z</sub>
		[N]	[N]	[N]	[N-m]	[N-m]	[N-m]
00345	004	0	0	0	0	0	0
00346	001	0	0	0	0	0	0
00346	002	0	0	0	0	0	0
00346	003	0	0	0	0	0	0
00346	004	0	0	0	0	0	0
00347	001	0	0	0	0	0	0
00347	002	0	0	0	0	0	0
00347	003	0	0	0	0	0	0
00347	004	0	0	0	0	0	0
00348	001	0	0	0	0	0	0
00348	002	0	0	0	0	0	0
00348	003	0	0	0	0	0	0
00348	004	0	0	0	0	0	0
00349	001	0	0	0	0	0	0
00349	002	0	0	0	0	0	0
00349	003	0	0	0	0	0	0
00349	004	0	0	0	0	0	0
00350	001	0	0	0	0	0	0
00350	002	0	0	0	0	0	0
00350	003	0	0	0	0	0	0
00350	004	0	0	0	0	0	0
00351	001	0	0	0	0	0	0
00351	002	0	0	0	0	0	0
00351	003	0	0	0	0	0	0
00351	004	0	0	0	0	0	0
00352	001	0	0	0	0	0	0
00352	002	0	0	0	0	0	0
00352	003	0	0	0	0	0	0
00352	004	0	0	0	0	0	0
00353	001	0	0	0	0	0	0
00353	002	0	0	0	0	0	0
00353	003	0	0	0	0	0	0
00353	004	0	0	0	0	0	0
00354	001	0	0	0	0	0	0
00354	002	0	0	0	0	0	0
00354	003	0	0	0	0	0	0
00354	004	0	0	0	0	0	0
00355	001	0	0	0	0	0	0
00355	002	0	0	0	0	0	0
00355	003	0	0	0	0	0	0
00355	004	0	0	0	0	0	0
00356	001	0	0	0	0	0	0
00356	002	0	0	0	0	0	0
00356	003	0	0	0	0	0	0
00356	004	0	0	0	0	0	0
00357	001	0	0	0	0	0	0
00357	002	0	0	0	0	0	0
00357	003	0	0	0	0	0	0
00357	004	0	0	0	0	0	0
00358	001	0	0	0	0	0	0
00358	002	0	0	0	0	0	0
00358	003	0	0	0	0	0	0
00358	004	0	0	0	0	0	0
00359	001	0	0	0	0	0	0
00359	002	0	0	0	0	0	0
00359	003	0	0	0	0	0	0
00359	004	0	0	0	0	0	0
00360	001	0	0	0	0	0	0
00360	002	0	0	0	0	0	0
00360	003	0	0	0	0	0	0
00360	004	0	0	0	0	0	0
00361	001	0	0	0	0	0	0
00361	002	0	0	0	0	0	0
00361	003	0	0	0	0	0	0
00361	004	0	0	0	0	0	0
00362	001	0	0	0	0	0	0

Comm.: C20-025-S05

Il presente documento è di proprietà della ANTEX GROUP srl.  
È vietato la comunicazione a terzi o la riproduzione senza il permesso scritto della suddetta.  
La società tutela i propri diritti a rigore di Legge.







PARCO EOLICO DI "BUDDUSO"

RELAZIONE DI CALCOLO E TABULATI OPERE EDILI  
SSEU



Ingegneria & Innovazione

30/06/2023

REV: 2

Pag. 161

Nodi - Reazioni vincolari esterne per tipologie di carico non sismiche

IdNd	CC	F <sub>x</sub>	F <sub>y</sub>	F <sub>z</sub>	M <sub>x</sub>	M <sub>y</sub>	M <sub>z</sub>
		[N]	[N]	[N]	[N-m]	[N-m]	[N-m]
00362	002	0	0	0	0	0	0
00362	003	0	0	0	0	0	0
00362	004	0	0	0	0	0	0
00363	001	0	0	0	0	0	0
00363	002	0	0	0	0	0	0
00363	003	0	0	0	0	0	0
00363	004	0	0	0	0	0	0
00364	001	0	0	0	0	0	0
00364	002	0	0	0	0	0	0
00364	003	0	0	0	0	0	0
00364	004	0	0	0	0	0	0
00365	001	0	0	0	0	0	0
00365	002	0	0	0	0	0	0
00365	003	0	0	0	0	0	0
00365	004	0	0	0	0	0	0
00366	001	0	0	0	0	0	0
00366	002	0	0	0	0	0	0
00366	003	0	0	0	0	0	0
00366	004	0	0	0	0	0	0
00367	001	0	0	0	0	0	0
00367	002	0	0	0	0	0	0
00367	003	0	0	0	0	0	0
00367	004	0	0	0	0	0	0
00368	001	0	0	0	0	0	0
00368	002	0	0	0	0	0	0
00368	003	0	0	0	0	0	0
00368	004	0	0	0	0	0	0
00369	001	0	0	0	0	0	0
00369	002	0	0	0	0	0	0
00369	003	0	0	0	0	0	0
00369	004	0	0	0	0	0	0
00370	001	0	0	0	0	0	0
00370	002	0	0	0	0	0	0
00370	003	0	0	0	0	0	0
00370	004	0	0	0	0	0	0
00371	001	0	0	0	0	0	0
00371	002	0	0	0	0	0	0
00371	003	0	0	0	0	0	0
00371	004	0	0	0	0	0	0
00372	001	0	0	0	0	0	0
00372	002	0	0	0	0	0	0
00372	003	0	0	0	0	0	0
00372	004	0	0	0	0	0	0
00373	001	0	0	0	0	0	0
00373	002	0	0	0	0	0	0
00373	003	0	0	0	0	0	0
00373	004	0	0	0	0	0	0
00374	001	0	0	0	0	0	0
00374	002	0	0	0	0	0	0
00374	003	0	0	0	0	0	0
00374	004	0	0	0	0	0	0
00375	001	0	0	0	0	0	0
00375	002	0	0	0	0	0	0
00375	003	0	0	0	0	0	0
00375	004	0	0	0	0	0	0
00376	001	0	0	0	0	0	0
00376	002	0	0	0	0	0	0
00376	003	0	0	0	0	0	0
00376	004	0	0	0	0	0	0
00377	001	0	0	0	0	0	0
00377	002	0	0	0	0	0	0
00377	003	0	0	0	0	0	0
00377	004	0	0	0	0	0	0
00378	001	0	0	0	0	0	0
00378	002	0	0	0	0	0	0
00378	003	0	0	0	0	0	0

Comm.: C20-025-S05

Il presente documento è di proprietà della ANTEX GROUP srl.  
È vietato la comunicazione a terzi o la riproduzione senza il permesso scritto della suddetta.  
La società tutela i propri diritti a rigore di Legge.





PARCO EOLICO DI "BUDDUSO"

RELAZIONE DI CALCOLO E TABULATI OPERE EDILI  
SSEU



Ingegneria & Innovazione

30/06/2023

REV: 2

Pag. 162

Nodi - Reazioni vincolari esterne per tipologie di carico non sismiche

IdNd	CC	F <sub>x</sub>	F <sub>y</sub>	F <sub>z</sub>	M <sub>x</sub>	M <sub>y</sub>	M <sub>z</sub>
		[N]	[N]	[N]	[N-m]	[N-m]	[N-m]
00378	004	0	0	0	0	0	0
00379	001	0	0	0	0	0	0
00379	002	0	0	0	0	0	0
00379	003	0	0	0	0	0	0
00379	004	0	0	0	0	0	0
00380	001	0	0	0	0	0	0
00380	002	0	0	0	0	0	0
00380	003	0	0	0	0	0	0
00380	004	0	0	0	0	0	0
00381	001	0	0	0	0	0	0
00381	002	0	0	0	0	0	0
00381	003	0	0	0	0	0	0
00381	004	0	0	0	0	0	0
00382	001	0	0	0	0	0	0
00382	002	0	0	0	0	0	0
00382	003	0	0	0	0	0	0
00382	004	0	0	0	0	0	0
00383	001	0	0	0	0	0	0
00383	002	0	0	0	0	0	0
00383	003	0	0	0	0	0	0
00383	004	0	0	0	0	0	0
00384	001	0	0	0	0	0	0
00384	002	0	0	0	0	0	0
00384	003	0	0	0	0	0	0
00384	004	0	0	0	0	0	0
00385	001	0	0	0	0	0	0
00385	002	0	0	0	0	0	0
00385	003	0	0	0	0	0	0
00385	004	0	0	0	0	0	0
00386	001	0	0	0	0	0	0
00386	002	0	0	0	0	0	0
00386	003	0	0	0	0	0	0
00386	004	0	0	0	0	0	0
00387	001	0	0	0	0	0	0
00387	002	0	0	0	0	0	0
00387	003	0	0	0	0	0	0
00387	004	0	0	0	0	0	0
00388	001	0	0	0	0	0	0
00388	002	0	0	0	0	0	0
00388	003	0	0	0	0	0	0
00388	004	0	0	0	0	0	0
00389	001	0	0	0	0	0	0
00389	002	0	0	0	0	0	0
00389	003	0	0	0	0	0	0
00389	004	0	0	0	0	0	0
00390	001	0	0	0	0	0	0
00390	002	0	0	0	0	0	0
00390	003	0	0	0	0	0	0
00390	004	0	0	0	0	0	0
00391	001	0	0	0	0	0	0
00391	002	0	0	0	0	0	0
00391	003	0	0	0	0	0	0
00391	004	0	0	0	0	0	0
00392	001	0	0	0	0	0	0
00392	002	0	0	0	0	0	0
00392	003	0	0	0	0	0	0
00392	004	0	0	0	0	0	0
00393	001	0	0	0	0	0	0
00393	002	0	0	0	0	0	0
00393	003	0	0	0	0	0	0
00393	004	0	0	0	0	0	0
00394	001	0	0	0	0	0	0
00394	002	0	0	0	0	0	0
00394	003	0	0	0	0	0	0
00394	004	0	0	0	0	0	0
00395	001	0	0	0	0	0	0

Comm.: C20-025-S05

Il presente documento è di proprietà della ANTEX GROUP srl.  
È vietato la comunicazione a terzi o la riproduzione senza il permesso scritto della suddetta.  
La società tutela i propri diritti a rigore di Legge.





PARCO EOLICO DI "BUDDUSO"

RELAZIONE DI CALCOLO E TABULATI OPERE EDILI  
SSEU



Ingegneria & Innovazione

30/06/2023

REV: 2

Pag. 163

Nodi - Reazioni vincolari esterne per tipologie di carico non sismiche

IdNd	CC	F <sub>x</sub>	F <sub>y</sub>	F <sub>z</sub>	M <sub>x</sub>	M <sub>y</sub>	M <sub>z</sub>
		[N]	[N]	[N]	[N-m]	[N-m]	[N-m]
00395	002	0	0	0	0	0	0
00395	003	0	0	0	0	0	0
00395	004	0	0	0	0	0	0
00396	001	0	0	0	0	0	0
00396	002	0	0	0	0	0	0
00396	003	0	0	0	0	0	0
00396	004	0	0	0	0	0	0
00397	001	0	0	0	0	0	0
00397	002	0	0	0	0	0	0
00397	003	0	0	0	0	0	0
00397	004	0	0	0	0	0	0
00398	001	0	0	0	0	0	0
00398	002	0	0	0	0	0	0
00398	003	0	0	0	0	0	0
00398	004	0	0	0	0	0	0
00399	001	0	0	0	0	0	0
00399	002	0	0	0	0	0	0
00399	003	0	0	0	0	0	0
00399	004	0	0	0	0	0	0
00400	001	0	0	0	0	0	0
00400	002	0	0	0	0	0	0
00400	003	0	0	0	0	0	0
00400	004	0	0	0	0	0	0
00401	001	0	0	0	0	0	0
00401	002	0	0	0	0	0	0
00401	003	0	0	0	0	0	0
00401	004	0	0	0	0	0	0
00402	001	0	0	0	0	0	0
00402	002	0	0	0	0	0	0
00402	003	0	0	0	0	0	0
00402	004	0	0	0	0	0	0
00403	001	0	0	0	0	0	0
00403	002	0	0	0	0	0	0
00403	003	0	0	0	0	0	0
00403	004	0	0	0	0	0	0
00404	001	0	0	0	0	0	0
00404	002	0	0	0	0	0	0
00404	003	0	0	0	0	0	0
00404	004	0	0	0	0	0	0
00405	001	0	0	0	0	0	0
00405	002	0	0	0	0	0	0
00405	003	0	0	0	0	0	0
00405	004	0	0	0	0	0	0
00406	001	0	0	0	0	0	0
00406	002	0	0	0	0	0	0
00406	003	0	0	0	0	0	0
00406	004	0	0	0	0	0	0
00407	001	0	0	0	0	0	0
00407	002	0	0	0	0	0	0
00407	003	0	0	0	0	0	0
00407	004	0	0	0	0	0	0
00408	001	0	0	0	0	0	0
00408	002	0	0	0	0	0	0
00408	003	0	0	0	0	0	0
00408	004	0	0	0	0	0	0
00409	001	0	0	0	0	0	0
00409	002	0	0	0	0	0	0
00409	003	0	0	0	0	0	0
00409	004	0	0	0	0	0	0
00410	001	0	0	0	0	0	0
00410	002	0	0	0	0	0	0
00410	003	0	0	0	0	0	0
00410	004	0	0	0	0	0	0
00411	001	0	0	0	0	0	0
00411	002	0	0	0	0	0	0
00411	003	0	0	0	0	0	0

Comm.: C20-025-S05

Il presente documento è di proprietà della ANTEX GROUP srl.  
È vietato la comunicazione a terzi o la riproduzione senza il permesso scritto della suddetta.  
La società tutela i propri diritti a rigore di Legge.





PARCO EOLICO DI "BUDDUSO"

RELAZIONE DI CALCOLO E TABULATI OPERE EDILI SSEU



Ingegneria & Innovazione

30/06/2023

REV: 2

Pag. 164

Nodi - Reazioni vincolari esterne per tipologie di carico non sismiche

IdNo	CC	F <sub>x</sub>	F <sub>y</sub>	F <sub>z</sub>	M <sub>x</sub>	M <sub>y</sub>	M <sub>z</sub>
		[N]	[N]	[N]	[N-m]	[N-m]	[N-m]
00411	004	0	0	0	0	0	0
00412	001	0	0	0	0	0	0
00412	002	0	0	0	0	0	0
00412	003	0	0	0	0	0	0
00412	004	0	0	0	0	0	0
00413	001	0	0	0	0	0	0
00413	002	0	0	0	0	0	0
00413	003	0	0	0	0	0	0
00413	004	0	0	0	0	0	0
00414	001	0	0	0	0	0	0
00414	002	0	0	0	0	0	0
00414	003	0	0	0	0	0	0
00414	004	0	0	0	0	0	0
00415	001	0	0	0	0	0	0
00415	002	0	0	0	0	0	0
00415	003	0	0	0	0	0	0
00415	004	0	0	0	0	0	0
00416	001	0	0	0	0	0	0
00416	002	0	0	0	0	0	0
00416	003	0	0	0	0	0	0
00416	004	0	0	0	0	0	0
00417	001	0	0	0	0	0	0
00417	002	0	0	0	0	0	0
00417	003	0	0	0	0	0	0
00417	004	0	0	0	0	0	0
00418	001	0	0	0	0	0	0
00418	002	0	0	0	0	0	0
00418	003	0	0	0	0	0	0
00418	004	0	0	0	0	0	0
00419	001	0	0	0	0	0	0
00419	002	0	0	0	0	0	0
00419	003	0	0	0	0	0	0
00419	004	0	0	0	0	0	0
00420	001	0	0	0	0	0	0
00420	002	0	0	0	0	0	0
00420	003	0	0	0	0	0	0
00420	004	0	0	0	0	0	0
00421	001	0	0	0	0	0	0
00421	002	0	0	0	0	0	0
00421	003	0	0	0	0	0	0
00421	004	0	0	0	0	0	0
00422	001	0	0	0	0	0	0
00422	002	0	0	0	0	0	0
00422	003	0	0	0	0	0	0
00422	004	0	0	0	0	0	0
00423	001	0	0	0	0	0	0
00423	002	0	0	0	0	0	0
00423	003	0	0	0	0	0	0
00423	004	0	0	0	0	0	0
00424	001	0	0	0	0	0	0
00424	002	0	0	0	0	0	0
00424	003	0	0	0	0	0	0
00424	004	0	0	0	0	0	0
00425	001	0	0	0	0	0	0
00425	002	0	0	0	0	0	0
00425	003	0	0	0	0	0	0
00425	004	0	0	0	0	0	0
00426	001	0	0	0	0	0	0
00426	002	0	0	0	0	0	0
00426	003	0	0	0	0	0	0
00426	004	0	0	0	0	0	0
00427	001	0	0	0	0	0	0
00427	002	0	0	0	0	0	0
00427	003	0	0	0	0	0	0
00427	004	0	0	0	0	0	0
00428	001	0	0	0	0	0	0

Comm.: C20-025-S05

Il presente documento è di proprietà della ANTEX GROUP srl.  
È vietato la comunicazione a terzi o la riproduzione senza il permesso scritto della suddetta.  
La società tutela i propri diritti a rigore di Legge.





PARCO EOLICO DI "BUDDUSO"

RELAZIONE DI CALCOLO E TABULATI OPERE EDILI  
SSEU



Ingegneria & Innovazione

30/06/2023

REV: 2

Pag. 165

Nodi - Reazioni vincolari esterne per tipologie di carico non sismiche

IdNd	CC	F <sub>x</sub>	F <sub>y</sub>	F <sub>z</sub>	M <sub>x</sub>	M <sub>y</sub>	M <sub>z</sub>
		[N]	[N]	[N]	[N-m]	[N-m]	[N-m]
00428	002	0	0	0	0	0	0
00428	003	0	0	0	0	0	0
00428	004	0	0	0	0	0	0
00429	001	0	0	0	0	0	0
00429	002	0	0	0	0	0	0
00429	003	0	0	0	0	0	0
00429	004	0	0	0	0	0	0
00430	001	0	0	0	0	0	0
00430	002	0	0	0	0	0	0
00430	003	0	0	0	0	0	0
00430	004	0	0	0	0	0	0
00431	001	0	0	0	0	0	0
00431	002	0	0	0	0	0	0
00431	003	0	0	0	0	0	0
00431	004	0	0	0	0	0	0
00432	001	0	0	0	0	0	0
00432	002	0	0	0	0	0	0
00432	003	0	0	0	0	0	0
00432	004	0	0	0	0	0	0
00433	001	0	0	0	0	0	0
00433	002	0	0	0	0	0	0
00433	003	0	0	0	0	0	0
00433	004	0	0	0	0	0	0
00434	001	0	0	0	0	0	0
00434	002	0	0	0	0	0	0
00434	003	0	0	0	0	0	0
00434	004	0	0	0	0	0	0
00435	001	0	0	0	0	0	0
00435	002	0	0	0	0	0	0
00435	003	0	0	0	0	0	0
00435	004	0	0	0	0	0	0
00436	001	0	0	0	0	0	0
00436	002	0	0	0	0	0	0
00436	003	0	0	0	0	0	0
00436	004	0	0	0	0	0	0
00437	001	0	0	0	0	0	0
00437	002	0	0	0	0	0	0
00437	003	0	0	0	0	0	0
00437	004	0	0	0	0	0	0
00438	001	0	0	0	0	0	0
00438	002	0	0	0	0	0	0
00438	003	0	0	0	0	0	0
00438	004	0	0	0	0	0	0
00439	001	0	0	0	0	0	0
00439	002	0	0	0	0	0	0
00439	003	0	0	0	0	0	0
00439	004	0	0	0	0	0	0
00440	001	0	0	0	0	0	0
00440	002	0	0	0	0	0	0
00440	003	0	0	0	0	0	0
00440	004	0	0	0	0	0	0
00441	001	0	0	0	0	0	0
00441	002	0	0	0	0	0	0
00441	003	0	0	0	0	0	0
00441	004	0	0	0	0	0	0
00442	001	0	0	0	0	0	0
00442	002	0	0	0	0	0	0
00442	003	0	0	0	0	0	0
00442	004	0	0	0	0	0	0
00443	001	0	0	0	0	0	0
00443	002	0	0	0	0	0	0
00443	003	0	0	0	0	0	0
00443	004	0	0	0	0	0	0
00444	001	0	0	0	0	0	0
00444	002	0	0	0	0	0	0
00444	003	0	0	0	0	0	0

Comm.: C20-025-S05

Il presente documento è di proprietà della ANTEX GROUP srl.  
È vietato la comunicazione a terzi o la riproduzione senza il permesso scritto della suddetta.  
La società tutela i propri diritti a rigore di Legge.





PARCO EOLICO DI "BUDDUSO"

RELAZIONE DI CALCOLO E TABULATI OPERE EDILI  
SSEU



Ingegneria & Innovazione

30/06/2023

REV: 2

Pag. 166

Nodi - Reazioni vincolari esterne per tipologie di carico non sismiche

IdNd	CC	F <sub>x</sub>	F <sub>y</sub>	F <sub>z</sub>	M <sub>x</sub>	M <sub>y</sub>	M <sub>z</sub>
		[N]	[N]	[N]	[N-m]	[N-m]	[N-m]
00444	004	0	0	0	0	0	0
00445	001	0	0	0	0	0	0
00445	002	0	0	0	0	0	0
00445	003	0	0	0	0	0	0
00445	004	0	0	0	0	0	0
00446	001	0	0	0	0	0	0
00446	002	0	0	0	0	0	0
00446	003	0	0	0	0	0	0
00446	004	0	0	0	0	0	0
00447	001	0	0	0	0	0	0
00447	002	0	0	0	0	0	0
00447	003	0	0	0	0	0	0
00447	004	0	0	0	0	0	0
00448	001	0	0	0	0	0	0
00448	002	0	0	0	0	0	0
00448	003	0	0	0	0	0	0
00448	004	0	0	0	0	0	0
00449	001	0	0	0	0	0	0
00449	002	0	0	0	0	0	0
00449	003	0	0	0	0	0	0
00449	004	0	0	0	0	0	0
00450	001	0	0	0	0	0	0
00450	002	0	0	0	0	0	0
00450	003	0	0	0	0	0	0
00450	004	0	0	0	0	0	0
00451	001	0	0	0	0	0	0
00451	002	0	0	0	0	0	0
00451	003	0	0	0	0	0	0
00451	004	0	0	0	0	0	0
00452	001	0	0	0	0	0	0
00452	002	0	0	0	0	0	0
00452	003	0	0	0	0	0	0
00452	004	0	0	0	0	0	0
00453	001	0	0	0	0	0	0
00453	002	0	0	0	0	0	0
00453	003	0	0	0	0	0	0
00453	004	0	0	0	0	0	0
00454	001	0	0	0	0	0	0
00454	002	0	0	0	0	0	0
00454	003	0	0	0	0	0	0
00454	004	0	0	0	0	0	0
00455	001	0	0	0	0	0	0
00455	002	0	0	0	0	0	0
00455	003	0	0	0	0	0	0
00455	004	0	0	0	0	0	0
00456	001	0	0	0	0	0	0
00456	002	0	0	0	0	0	0
00456	003	0	0	0	0	0	0
00456	004	0	0	0	0	0	0
00457	001	0	0	0	0	0	0
00457	002	0	0	0	0	0	0
00457	003	0	0	0	0	0	0
00457	004	0	0	0	0	0	0
00458	001	0	0	0	0	0	0
00458	002	0	0	0	0	0	0
00458	003	0	0	0	0	0	0
00458	004	0	0	0	0	0	0
00459	001	0	0	0	0	0	0
00459	002	0	0	0	0	0	0
00459	003	0	0	0	0	0	0
00459	004	0	0	0	0	0	0
00460	001	0	0	0	0	0	0
00460	002	0	0	0	0	0	0
00460	003	0	0	0	0	0	0
00460	004	0	0	0	0	0	0
00461	001	0	0	0	0	0	0

Comm.: C20-025-S05

Il presente documento è di proprietà della ANTEX GROUP srl.  
È vietato la comunicazione a terzi o la riproduzione senza il permesso scritto della suddetta.  
La società tutela i propri diritti a rigore di Legge.





PARCO EOLICO DI "BUDDUSO"

RELAZIONE DI CALCOLO E TABULATI OPERE EDILI  
SSEU



Ingegneria & Innovazione

30/06/2023

REV: 2

Pag. 167

Nodi - Reazioni vincolari esterne per tipologie di carico non sismiche

IdNd	CC	F <sub>x</sub>	F <sub>y</sub>	F <sub>z</sub>	M <sub>x</sub>	M <sub>y</sub>	M <sub>z</sub>
		[N]	[N]	[N]	[N-m]	[N-m]	[N-m]
00461	002	0	0	0	0	0	0
00461	003	0	0	0	0	0	0
00461	004	0	0	0	0	0	0
00462	001	0	0	0	0	0	0
00462	002	0	0	0	0	0	0
00462	003	0	0	0	0	0	0
00462	004	0	0	0	0	0	0
00463	001	0	0	0	0	0	0
00463	002	0	0	0	0	0	0
00463	003	0	0	0	0	0	0
00463	004	0	0	0	0	0	0
00464	001	0	0	0	0	0	0
00464	002	0	0	0	0	0	0
00464	003	0	0	0	0	0	0
00464	004	0	0	0	0	0	0
00465	001	0	0	0	0	0	0
00465	002	0	0	0	0	0	0
00465	003	0	0	0	0	0	0
00465	004	0	0	0	0	0	0
00466	001	0	0	0	0	0	0
00466	002	0	0	0	0	0	0
00466	003	0	0	0	0	0	0
00466	004	0	0	0	0	0	0
00467	001	0	0	0	0	0	0
00467	002	0	0	0	0	0	0
00467	003	0	0	0	0	0	0
00467	004	0	0	0	0	0	0
00468	001	0	0	0	0	0	0
00468	002	0	0	0	0	0	0
00468	003	0	0	0	0	0	0
00468	004	0	0	0	0	0	0
00469	001	0	0	0	0	0	0
00469	002	0	0	0	0	0	0
00469	003	0	0	0	0	0	0
00469	004	0	0	0	0	0	0
00470	001	0	0	0	0	0	0
00470	002	0	0	0	0	0	0
00470	003	0	0	0	0	0	0
00470	004	0	0	0	0	0	0
00471	001	0	0	0	0	0	0
00471	002	0	0	0	0	0	0
00471	003	0	0	0	0	0	0
00471	004	0	0	0	0	0	0
00472	001	0	0	0	0	0	0
00472	002	0	0	0	0	0	0
00472	003	0	0	0	0	0	0
00472	004	0	0	0	0	0	0
00473	001	0	0	0	0	0	0
00473	002	0	0	0	0	0	0
00473	003	0	0	0	0	0	0
00473	004	0	0	0	0	0	0
00474	001	0	0	0	0	0	0
00474	002	0	0	0	0	0	0
00474	003	0	0	0	0	0	0
00474	004	0	0	0	0	0	0
00475	001	0	0	0	0	0	0
00475	002	0	0	0	0	0	0
00475	003	0	0	0	0	0	0
00475	004	0	0	0	0	0	0
00476	001	0	0	0	0	0	0
00476	002	0	0	0	0	0	0
00476	003	0	0	0	0	0	0
00476	004	0	0	0	0	0	0
00477	001	0	0	0	0	0	0
00477	002	0	0	0	0	0	0
00477	003	0	0	0	0	0	0

Comm.: C20-025-S05

Il presente documento è di proprietà della ANTEX GROUP srl.  
È vietato la comunicazione a terzi o la riproduzione senza il permesso scritto della suddetta.  
La società tutela i propri diritti a rigore di Legge.





PARCO EOLICO DI "BUDDUSO"

RELAZIONE DI CALCOLO E TABULATI OPERE EDILI  
SSEU



Ingegneria & Innovazione

30/06/2023

REV: 2

Pag. 168

Nodi - Reazioni vincolari esterne per tipologie di carico non sismiche

IdNd	CC	F <sub>x</sub>	F <sub>y</sub>	F <sub>z</sub>	M <sub>x</sub>	M <sub>y</sub>	M <sub>z</sub>
		[N]	[N]	[N]	[N-m]	[N-m]	[N-m]
00477	004	0	0	0	0	0	0
00478	001	0	0	0	0	0	0
00478	002	0	0	0	0	0	0
00478	003	0	0	0	0	0	0
00478	004	0	0	0	0	0	0
00479	001	0	0	0	0	0	0
00479	002	0	0	0	0	0	0
00479	003	0	0	0	0	0	0
00479	004	0	0	0	0	0	0
00480	001	0	0	0	0	0	0
00480	002	0	0	0	0	0	0
00480	003	0	0	0	0	0	0
00480	004	0	0	0	0	0	0
00481	001	0	0	0	0	0	0
00481	002	0	0	0	0	0	0
00481	003	0	0	0	0	0	0
00481	004	0	0	0	0	0	0
00482	001	0	0	0	0	0	0
00482	002	0	0	0	0	0	0
00482	003	0	0	0	0	0	0
00482	004	0	0	0	0	0	0
00483	001	0	0	0	0	0	0
00483	002	0	0	0	0	0	0
00483	003	0	0	0	0	0	0
00483	004	0	0	0	0	0	0
00484	001	0	0	0	0	0	0
00484	002	0	0	0	0	0	0
00484	003	0	0	0	0	0	0
00484	004	0	0	0	0	0	0
00485	001	0	0	0	0	0	0
00485	002	0	0	0	0	0	0
00485	003	0	0	0	0	0	0
00485	004	0	0	0	0	0	0
00486	001	0	0	0	0	0	0
00486	002	0	0	0	0	0	0
00486	003	0	0	0	0	0	0
00486	004	0	0	0	0	0	0
00487	001	0	0	0	0	0	0
00487	002	0	0	0	0	0	0
00487	003	0	0	0	0	0	0
00487	004	0	0	0	0	0	0
00488	001	0	0	0	0	0	0
00488	002	0	0	0	0	0	0
00488	003	0	0	0	0	0	0
00488	004	0	0	0	0	0	0
00489	001	0	0	0	0	0	0
00489	002	0	0	0	0	0	0
00489	003	0	0	0	0	0	0
00489	004	0	0	0	0	0	0
00490	001	0	0	0	0	0	0
00490	002	0	0	0	0	0	0
00490	003	0	0	0	0	0	0
00490	004	0	0	0	0	0	0
00491	001	0	0	0	0	0	0
00491	002	0	0	0	0	0	0
00491	003	0	0	0	0	0	0
00491	004	0	0	0	0	0	0
00492	001	0	0	0	0	0	0
00492	002	0	0	0	0	0	0
00492	003	0	0	0	0	0	0
00492	004	0	0	0	0	0	0
00493	001	0	0	0	0	0	0
00493	002	0	0	0	0	0	0
00493	003	0	0	0	0	0	0
00493	004	0	0	0	0	0	0
00494	001	0	0	0	0	0	0

Comm.: C20-025-S05

Il presente documento è di proprietà della ANTEX GROUP srl.  
È vietato la comunicazione a terzi o la riproduzione senza il permesso scritto della suddetta.  
La società tutela i propri diritti a rigore di Legge.







PARCO EOLICO DI "BUDDUSO"

RELAZIONE DI CALCOLO E TABULATI OPERE EDILI  
SSEU



Ingegneria & Innovazione

30/06/2023

REV: 2

Pag. 169

Nodi - Reazioni vincolari esterne per tipologie di carico non sismiche

IdNd	CC	F <sub>x</sub>	F <sub>y</sub>	F <sub>z</sub>	M <sub>x</sub>	M <sub>y</sub>	M <sub>z</sub>
		[N]	[N]	[N]	[N-m]	[N-m]	[N-m]
00494	002	0	0	0	0	0	0
00494	003	-1	0	0	0	0	0
00494	004	0	0	0	0	0	0
00495	001	0	0	0	0	0	0
00495	002	0	0	0	0	0	0
00495	003	0	0	0	0	0	0
00495	004	0	0	0	0	0	0
00496	001	0	0	0	0	0	0
00496	002	0	0	0	0	0	0
00496	003	0	0	0	0	0	0
00496	004	0	0	0	0	0	0
00497	001	0	0	0	0	0	0
00497	002	0	0	0	0	0	0
00497	003	0	0	0	0	0	0
00497	004	0	0	0	0	0	0
00498	001	0	0	0	0	0	0
00498	002	0	0	0	0	0	0
00498	003	0	0	0	0	0	0
00498	004	0	0	0	0	0	0
00499	001	0	0	0	0	0	0
00499	002	0	0	0	0	0	0
00499	003	0	0	0	0	0	0
00499	004	0	0	0	0	0	0
00500	001	0	0	0	0	0	0
00500	002	0	0	0	0	0	0
00500	003	0	0	0	0	0	0
00500	004	0	0	0	0	0	0
00501	001	0	0	0	0	0	0
00501	002	0	0	0	0	0	0
00501	003	0	0	0	0	0	0
00501	004	0	0	0	0	0	0
00502	001	0	0	0	0	0	0
00502	002	0	0	0	0	0	0
00502	003	0	0	0	0	0	0
00502	004	0	0	0	0	0	0
00503	001	0	0	0	0	0	0
00503	002	0	0	0	0	0	0
00503	003	0	0	0	0	0	0
00503	004	0	0	0	0	0	0
00504	001	0	0	0	0	0	0
00504	002	0	0	0	0	0	0
00504	003	0	0	0	0	0	0
00504	004	0	0	0	0	0	0
00505	001	0	0	0	0	0	0
00505	002	0	0	0	0	0	0
00505	003	0	0	0	0	0	0
00505	004	0	0	0	0	0	0
00506	001	0	0	0	0	0	0
00506	002	0	0	0	0	0	0
00506	003	0	0	0	0	0	0
00506	004	0	0	0	0	0	0
00507	001	0	0	0	0	0	0
00507	002	0	0	0	0	0	0
00507	003	0	0	0	0	0	0
00507	004	0	0	0	0	0	0
00508	001	0	0	0	0	0	0
00508	002	0	0	0	0	0	0
00508	003	0	0	0	0	0	0
00508	004	0	0	0	0	0	0
00509	001	0	0	0	0	0	0
00509	002	0	0	0	0	0	0
00509	003	0	0	0	0	0	0
00509	004	0	0	0	0	0	0
00510	001	0	0	0	0	0	0
00510	002	0	0	0	0	0	0
00510	003	0	0	0	0	0	0

Comm.: C20-025-S05

Il presente documento è di proprietà della ANTEX GROUP srl.  
È vietato la comunicazione a terzi o la riproduzione senza il permesso scritto della suddetta.  
La società tutela i propri diritti a rigore di Legge.





PARCO EOLICO DI "BUDDUSO"

RELAZIONE DI CALCOLO E TABULATI OPERE EDILI  
SSEU



Ingegneria & Innovazione

30/06/2023

REV: 2

Pag. 170

Nodi - Reazioni vincolari esterne per tipologie di carico non sismiche

IdNd	CC	F <sub>x</sub>	F <sub>y</sub>	F <sub>z</sub>	M <sub>x</sub>	M <sub>y</sub>	M <sub>z</sub>
		[N]	[N]	[N]	[N-m]	[N-m]	[N-m]
00510	004	0	0	0	0	0	0
00511	001	0	0	0	0	0	0
00511	002	0	0	0	0	0	0
00511	003	0	0	0	0	0	0
00511	004	0	0	0	0	0	0
00512	001	0	0	0	0	0	0
00512	002	0	0	0	0	0	0
00512	003	0	0	0	0	0	0
00512	004	0	0	0	0	0	0
00513	001	0	0	0	0	0	0
00513	002	0	0	0	0	0	0
00513	003	0	0	0	0	0	0
00513	004	0	0	0	0	0	0
00514	001	0	0	0	0	0	0
00514	002	0	0	0	0	0	0
00514	003	0	0	0	0	0	0
00514	004	0	0	0	0	0	0
00515	001	0	0	0	0	0	0
00515	002	0	0	0	0	0	0
00515	003	0	0	0	0	0	0
00515	004	0	0	0	0	0	0
00516	001	0	0	0	0	0	0
00516	002	0	0	0	0	0	0
00516	003	0	0	0	0	0	0
00516	004	0	0	0	0	0	0
00517	001	0	0	0	0	0	0
00517	002	0	0	0	0	0	0
00517	003	0	0	0	0	0	0
00517	004	0	0	0	0	0	0
00518	001	0	0	0	0	0	0
00518	002	0	0	0	0	0	0
00518	003	0	0	0	0	0	0
00518	004	0	0	0	0	0	0
00519	001	0	0	0	0	0	0
00519	002	0	0	0	0	0	0
00519	003	0	0	0	0	0	0
00519	004	0	0	0	0	0	0
00520	001	0	0	0	0	0	0
00520	002	0	0	0	0	0	0
00520	003	1	0	0	0	0	0
00520	004	0	0	0	0	0	0
00521	001	0	0	0	0	0	0
00521	002	0	0	0	0	0	0
00521	003	5	2	0	0	0	0
00521	004	0	0	0	0	0	0
00522	001	0	0	0	0	0	0
00522	002	0	0	0	0	0	0
00522	003	11	1	0	0	0	0
00522	004	0	0	0	0	0	0
00523	001	0	0	0	0	0	0
00523	002	0	0	0	0	0	0
00523	003	11	-1	0	0	0	0
00523	004	0	0	0	0	0	0
00524	001	0	0	0	0	0	0
00524	002	0	0	0	0	0	0
00524	003	5	-2	0	0	0	0
00524	004	0	0	0	0	0	0
00525	001	0	0	0	0	0	0
00525	002	0	0	0	0	0	0
00525	003	1	0	0	0	0	0
00525	004	0	0	0	0	0	0
00526	001	0	0	0	0	0	0
00526	002	0	0	0	0	0	0
00526	003	0	0	0	0	0	0
00526	004	0	0	0	0	0	0
00527	001	0	0	0	0	0	0

Comm.: C20-025-S05

Il presente documento è di proprietà della ANTEX GROUP srl.  
È vietato la comunicazione a terzi o la riproduzione senza il permesso scritto della suddetta.  
La società tutela i propri diritti a rigore di Legge.





PARCO EOLICO DI "BUDDUSO"

RELAZIONE DI CALCOLO E TABULATI OPERE EDILI  
SSEU



Ingegneria & Innovazione

30/06/2023

REV: 2

Pag. 171

Nodi - Reazioni vincolari esterne per tipologie di carico non sismiche

IdNd	CC	F <sub>x</sub>	F <sub>y</sub>	F <sub>z</sub>	M <sub>x</sub>	M <sub>y</sub>	M <sub>z</sub>
		[N]	[N]	[N]	[N-m]	[N-m]	[N-m]
00527	002	0	0	0	0	0	0
00527	003	0	0	0	0	0	0
00527	004	0	0	0	0	0	0
00528	001	0	0	0	0	0	0
00528	002	0	0	0	0	0	0
00528	003	0	0	0	0	0	0
00528	004	0	0	0	0	0	0
00529	001	0	0	0	0	0	0
00529	002	0	0	0	0	0	0
00529	003	0	0	0	0	0	0
00529	004	0	0	0	0	0	0
00530	001	0	0	0	0	0	0
00530	002	0	0	0	0	0	0
00530	003	0	0	0	0	0	0
00530	004	0	0	0	0	0	0
00531	001	0	0	0	0	0	0
00531	002	0	0	0	0	0	0
00531	003	0	0	0	0	0	0
00531	004	0	0	0	0	0	0
00532	001	0	0	0	0	0	0
00532	002	0	0	0	0	0	0
00532	003	0	0	0	0	0	0
00532	004	0	0	0	0	0	0
00533	001	0	0	0	0	0	0
00533	002	0	0	0	0	0	0
00533	003	0	0	0	0	0	0
00533	004	0	0	0	0	0	0
00534	001	0	0	0	0	0	0
00534	002	0	0	0	0	0	0
00534	003	0	0	0	0	0	0
00534	004	0	0	0	0	0	0
00535	001	0	0	0	0	0	0
00535	002	0	0	0	0	0	0
00535	003	0	0	0	0	0	0
00535	004	0	0	0	0	0	0
00536	001	0	0	0	0	0	0
00536	002	0	0	0	0	0	0
00536	003	0	0	0	0	0	0
00536	004	0	0	0	0	0	0
00537	001	0	0	0	0	0	0
00537	002	0	0	0	0	0	0
00537	003	0	0	0	0	0	0
00537	004	0	0	0	0	0	0
00538	001	0	0	0	0	0	0
00538	002	0	0	0	0	0	0
00538	003	0	0	0	0	0	0
00538	004	0	0	0	0	0	0
00539	001	0	0	0	0	0	0
00539	002	0	0	0	0	0	0
00539	003	0	0	0	0	0	0
00539	004	0	0	0	0	0	0
00540	001	0	0	0	0	0	0
00540	002	0	0	0	0	0	0
00540	003	0	0	0	0	0	0
00540	004	0	0	0	0	0	0
00541	001	0	0	0	0	0	0
00541	002	0	0	0	0	0	0
00541	003	0	0	0	0	0	0
00541	004	0	0	0	0	0	0
00542	001	0	0	0	0	0	0
00542	002	0	0	0	0	0	0
00542	003	0	0	0	0	0	0
00542	004	0	0	0	0	0	0
00543	001	0	0	0	0	0	0
00543	002	0	0	0	0	0	0
00543	003	0	0	0	0	0	0

Comm.: C20-025-S05

Il presente documento è di proprietà della ANTEX GROUP srl.  
È vietato la comunicazione a terzi o la riproduzione senza il permesso scritto della suddetta.  
La società tutela i propri diritti a rigore di Legge.





PARCO EOLICO DI "BUDDUSO"

RELAZIONE DI CALCOLO E TABULATI OPERE EDILI SSEU



Ingegneria & Innovazione

30/06/2023

REV: 2

Pag. 172

Nodi - Reazioni vincolari esterne per tipologie di carico non sismiche

IdNd	CC	F <sub>x</sub>	F <sub>y</sub>	F <sub>z</sub>	M <sub>x</sub>	M <sub>y</sub>	M <sub>z</sub>
		[N]	[N]	[N]	[N-m]	[N-m]	[N-m]
00543	004	0	0	0	0	0	0
00544	001	0	0	0	0	0	0
00544	002	0	0	0	0	0	0
00544	003	0	0	0	0	0	0
00544	004	0	0	0	0	0	0
00545	001	0	0	0	0	0	0
00545	002	0	0	0	0	0	0
00545	003	0	0	0	0	0	0
00545	004	0	0	0	0	0	0
00546	001	0	0	0	0	0	0
00546	002	0	0	0	0	0	0
00546	003	0	0	0	0	0	0
00546	004	0	0	0	0	0	0
00547	001	0	0	0	0	0	0
00547	002	0	0	0	0	0	0
00547	003	0	0	0	0	0	0
00547	004	0	0	0	0	0	0
00548	001	0	0	0	0	0	0
00548	002	0	0	0	0	0	0
00548	003	4	4	0	0	0	0
00548	004	0	0	0	0	0	0
00549	001	0	0	0	0	0	0
00549	002	0	0	0	0	0	0
00549	003	-31	-16	0	0	0	0
00549	004	0	0	0	0	0	0
00550	001	0	0	0	0	0	0
00550	002	0	0	0	0	0	0
00550	003	-166	-45	0	0	0	0
00550	004	0	0	0	0	0	0
00551	001	0	0	0	0	0	0
00551	002	0	0	0	0	0	0
00551	003	-262	0	0	0	0	0
00551	004	0	0	0	0	0	0
00552	001	0	0	0	0	0	0
00552	002	0	0	0	0	0	0
00552	003	-166	45	0	0	0	0
00552	004	0	0	0	0	0	0
00553	001	0	0	0	0	0	0
00553	002	0	0	0	0	0	0
00553	003	-31	16	0	0	0	0
00553	004	0	0	0	0	0	0
00554	001	0	0	0	0	0	0
00554	002	0	0	0	0	0	0
00554	003	4	-4	0	0	0	0
00554	004	0	0	0	0	0	0
00555	001	0	0	0	0	0	0
00555	002	0	0	0	0	0	0
00555	003	0	0	0	0	0	0
00555	004	0	0	0	0	0	0
00556	001	0	0	0	0	0	0
00556	002	0	0	0	0	0	0
00556	003	0	0	0	0	0	0
00556	004	0	0	0	0	0	0
00557	001	0	0	0	0	0	0
00557	002	0	0	0	0	0	0
00557	003	0	0	0	0	0	0
00557	004	0	0	0	0	0	0
00558	001	0	0	0	0	0	0
00558	002	0	0	0	0	0	0
00558	003	0	0	0	0	0	0
00558	004	0	0	0	0	0	0
00559	001	0	0	0	0	0	0
00559	002	0	0	0	0	0	0
00559	003	0	0	0	0	0	0
00559	004	0	0	0	0	0	0
00560	001	0	0	0	0	0	0

Comm.: C20-025-S05

Il presente documento è di proprietà della ANTEX GROUP srl. È vietato la comunicazione a terzi o la riproduzione senza il permesso scritto della suddetta. La società tutela i propri diritti a rigore di Legge.





PARCO EOLICO DI "BUDDUSO"

RELAZIONE DI CALCOLO E TABULATI OPERE EDILI  
SSEU



Ingegneria & Innovazione

30/06/2023

REV: 2

Pag. 173

Nodi - Reazioni vincolari esterne per tipologie di carico non sismiche

IdNd	CC	F <sub>x</sub>	F <sub>y</sub>	F <sub>z</sub>	M <sub>x</sub>	M <sub>y</sub>	M <sub>z</sub>
		[N]	[N]	[N]	[N-m]	[N-m]	[N-m]
00560	002	0	0	0	0	0	0
00560	003	0	0	0	0	0	0
00560	004	0	0	0	0	0	0
00561	001	0	0	0	0	0	0
00561	002	0	0	0	0	0	0
00561	003	0	0	0	0	0	0
00561	004	0	0	0	0	0	0
00562	001	0	0	0	0	0	0
00562	002	0	0	0	0	0	0
00562	003	0	0	0	0	0	0
00562	004	0	0	0	0	0	0
00563	001	0	0	0	0	0	0
00563	002	0	0	0	0	0	0
00563	003	0	0	0	0	0	0
00563	004	0	0	0	0	0	0
00564	001	0	0	0	0	0	0
00564	002	0	0	0	0	0	0
00564	003	0	0	0	0	0	0
00564	004	0	0	0	0	0	0
00565	001	0	0	0	0	0	0
00565	002	0	0	0	0	0	0
00565	003	0	0	0	0	0	0
00565	004	0	0	0	0	0	0
00566	001	0	0	0	0	0	0
00566	002	0	0	0	0	0	0
00566	003	0	0	0	0	0	0
00566	004	0	0	0	0	0	0
00567	001	0	0	0	0	0	0
00567	002	0	0	0	0	0	0
00567	003	0	0	0	0	0	0
00567	004	0	0	0	0	0	0
00568	001	0	0	0	0	0	0
00568	002	0	0	0	0	0	0
00568	003	0	0	0	0	0	0
00568	004	0	0	0	0	0	0
00569	001	0	0	0	0	0	0
00569	002	0	0	0	0	0	0
00569	003	0	0	0	0	0	0
00569	004	0	0	0	0	0	0
00570	001	0	0	0	0	0	0
00570	002	0	0	0	0	0	0
00570	003	0	0	0	0	0	0
00570	004	0	0	0	0	0	0
00571	001	0	0	0	0	0	0
00571	002	0	0	0	0	0	0
00571	003	0	0	0	0	0	0
00571	004	0	0	0	0	0	0
00572	001	0	0	0	0	0	0
00572	002	0	0	0	0	0	0
00572	003	0	0	0	0	0	0
00572	004	0	0	0	0	0	0
00573	001	0	0	0	0	0	0
00573	002	0	0	0	0	0	0
00573	003	0	0	0	0	0	0
00573	004	0	0	0	0	0	0
00574	001	0	0	0	0	0	0
00574	002	0	0	0	0	0	0
00574	003	0	0	0	0	0	0
00574	004	0	0	0	0	0	0
00575	001	0	0	0	0	0	0
00575	002	0	0	0	0	0	0
00575	003	0	-1	0	0	0	0
00575	004	0	0	0	0	0	0
00576	001	0	0	0	0	0	0
00576	002	0	0	0	0	0	0
00576	003	8	10	0	0	0	0

Comm.: C20-025-S05

Il presente documento è di proprietà della ANTEX GROUP srl.  
È vietato la comunicazione a terzi o la riproduzione senza il permesso scritto della suddetta.  
La società tutela i propri diritti a rigore di Legge.





PARCO EOLICO DI "BUDDUSO"

RELAZIONE DI CALCOLO E TABULATI OPERE EDILI  
SSEU



Ingegneria & Innovazione

30/06/2023

REV: 2

Pag. 174

Nodi - Reazioni vincolari esterne per tipologie di carico non sismiche

IdNd	CC	F <sub>x</sub>	F <sub>y</sub>	F <sub>z</sub>	M <sub>x</sub>	M <sub>y</sub>	M <sub>z</sub>
		[N]	[N]	[N]	[N-m]	[N-m]	[N-m]
00576	004	0	0	0	0	0	0
00577	001	0	0	0	0	0	0
00577	002	0	0	0	0	0	0
00577	003	-141	-127	0	0	0	0
00577	004	0	0	0	0	0	0
00578	001	0	0	0	0	0	0
00578	002	0	0	0	0	0	0
00578	003	1.471	795	0	0	0	0
00578	004	0	0	0	0	0	0
00579	001	0	0	0	0	0	0
00579	002	0	0	0	0	0	0
00579	003	5.179	933	0	0	0	0
00579	004	0	0	0	0	0	0
00580	001	0	0	0	0	0	0
00580	002	0	0	0	0	0	0
00580	003	5.179	-933	0	0	0	0
00580	004	0	0	0	0	0	0
00581	001	0	0	0	0	0	0
00581	002	0	0	0	0	0	0
00581	003	1.471	-795	0	0	0	0
00581	004	0	0	0	0	0	0
00582	001	0	0	0	0	0	0
00582	002	0	0	0	0	0	0
00582	003	-141	127	0	0	0	0
00582	004	0	0	0	0	0	0
00583	001	0	0	0	0	0	0
00583	002	0	0	0	0	0	0
00583	003	8	-10	0	0	0	0
00583	004	0	0	0	0	0	0
00584	001	0	0	0	0	0	0
00584	002	0	0	0	0	0	0
00584	003	0	1	0	0	0	0
00584	004	0	0	0	0	0	0
00585	001	0	0	0	0	0	0
00585	002	0	0	0	0	0	0
00585	003	0	0	0	0	0	0
00585	004	0	0	0	0	0	0
00586	001	0	0	0	0	0	0
00586	002	0	0	0	0	0	0
00586	003	0	0	0	0	0	0
00586	004	0	0	0	0	0	0
00587	001	0	0	0	0	0	0
00587	002	0	0	0	0	0	0
00587	003	0	0	0	0	0	0
00587	004	0	0	0	0	0	0
00588	001	0	0	0	0	0	0
00588	002	0	0	0	0	0	0
00588	003	0	0	0	0	0	0
00588	004	0	0	0	0	0	0
00589	001	0	0	0	0	0	0
00589	002	0	0	0	0	0	0
00589	003	0	0	0	0	0	0
00589	004	0	0	0	0	0	0
00590	001	0	0	0	0	0	0
00590	002	0	0	0	0	0	0
00590	003	0	0	0	0	0	0
00590	004	0	0	0	0	0	0
00591	001	0	0	0	0	0	0
00591	002	0	0	0	0	0	0
00591	003	0	0	0	0	0	0
00591	004	0	0	0	0	0	0
00592	001	0	0	0	0	0	0
00592	002	0	0	0	0	0	0
00592	003	0	0	0	0	0	0
00592	004	0	0	0	0	0	0
00593	001	0	0	0	0	0	0

Comm.: C20-025-S05

Il presente documento è di proprietà della ANTEX GROUP srl.  
È vietato la comunicazione a terzi o la riproduzione senza il permesso scritto della suddetta.  
La società tutela i propri diritti a rigore di Legge.





PARCO EOLICO DI "BUDDUSO"

RELAZIONE DI CALCOLO E TABULATI OPERE EDILI  
SSEU



Ingegneria & Innovazione

30/06/2023

REV: 2

Pag. 175

Nodi - Reazioni vincolari esterne per tipologie di carico non sismiche

IdNd	CC	F <sub>x</sub>	F <sub>y</sub>	F <sub>z</sub>	M <sub>x</sub>	M <sub>y</sub>	M <sub>z</sub>
		[N]	[N]	[N]	[N-m]	[N-m]	[N-m]
00593	002	0	0	0	0	0	0
00593	003	0	0	0	0	0	0
00593	004	0	0	0	0	0	0
00594	001	0	0	0	0	0	0
00594	002	0	0	0	0	0	0
00594	003	0	0	0	0	0	0
00594	004	0	0	0	0	0	0
00595	001	0	0	0	0	0	0
00595	002	0	0	0	0	0	0
00595	003	0	0	0	0	0	0
00595	004	0	0	0	0	0	0
00596	001	0	0	0	0	0	0
00596	002	0	0	0	0	0	0
00596	003	0	0	0	0	0	0
00596	004	0	0	0	0	0	0
00597	001	0	0	0	0	0	0
00597	002	0	0	0	0	0	0
00597	003	0	0	0	0	0	0
00597	004	0	0	0	0	0	0
00598	001	0	0	0	0	0	0
00598	002	0	0	0	0	0	0
00598	003	0	0	0	0	0	0
00598	004	0	0	0	0	0	0
00599	001	0	0	0	0	0	0
00599	002	0	0	0	0	0	0
00599	003	0	0	0	0	0	0
00599	004	0	0	0	0	0	0
00600	001	0	0	0	0	0	0
00600	002	0	0	0	0	0	0
00600	003	0	0	0	0	0	0
00600	004	0	0	0	0	0	0
00601	001	0	0	0	0	0	0
00601	002	0	0	0	0	0	0
00601	003	0	0	0	0	0	0
00601	004	0	0	0	0	0	0
00602	001	0	0	0	0	0	0
00602	002	0	0	0	0	0	0
00602	003	0	0	0	0	0	0
00602	004	0	0	0	0	0	0
00603	001	0	0	0	0	0	0
00603	002	0	0	0	0	0	0
00603	003	0	-1	0	0	0	0
00603	004	0	0	0	0	0	0
00604	001	0	0	0	0	0	0
00604	002	0	0	0	0	0	0
00604	003	6	13	0	0	0	0
00604	004	0	0	0	0	0	0
00605	001	0	0	0	0	0	0
00605	002	0	0	0	0	0	0
00605	003	-168	-273	0	0	0	0
00605	004	0	0	0	0	0	0
00606	001	0	0	0	0	0	0
00606	002	0	0	0	0	0	0
00606	003	4.072	4.317	0	0	0	0
00606	004	0	0	0	0	0	0
00607	001	0	0	0	0	0	0
00607	002	0	0	0	0	0	0
00607	003	-65.319	-35.498	0	0	0	0
00607	004	0	0	0	0	0	0
00608	001	0	0	0	0	0	0
00608	002	0	0	0	0	0	0
00608	003	-139.131	0	0	0	0	0
00608	004	0	0	0	0	0	0
00609	001	0	0	0	0	0	0
00609	002	0	0	0	0	0	0
00609	003	-65.319	35.498	0	0	0	0

Comm.: C20-025-S05

Il presente documento è di proprietà della ANTEX GROUP srl.  
È vietato la comunicazione a terzi o la riproduzione senza il permesso scritto della suddetta.  
La società tutela i propri diritti a rigore di Legge.





PARCO EOLICO DI "BUDDUSO"

RELAZIONE DI CALCOLO E TABULATI OPERE EDILI  
SSEU



Ingegneria & Innovazione

30/06/2023

REV: 2

Pag. 176

Nodi - Reazioni vincolari esterne per tipologie di carico non sismiche

IdNd	CC	F <sub>x</sub>	F <sub>y</sub>	F <sub>z</sub>	M <sub>x</sub>	M <sub>y</sub>	M <sub>z</sub>
		[N]	[N]	[N]	[N-m]	[N-m]	[N-m]
00609	004	0	0	0	0	0	0
00610	001	0	0	0	0	0	0
00610	002	0	0	0	0	0	0
00610	003	4.072	-4.317	0	0	0	0
00610	004	0	0	0	0	0	0
00611	001	0	0	0	0	0	0
00611	002	0	0	0	0	0	0
00611	003	-168	273	0	0	0	0
00611	004	0	0	0	0	0	0
00612	001	0	0	0	0	0	0
00612	002	0	0	0	0	0	0
00612	003	6	-13	0	0	0	0
00612	004	0	0	0	0	0	0
00613	001	0	0	0	0	0	0
00613	002	0	0	0	0	0	0
00613	003	0	1	0	0	0	0
00613	004	0	0	0	0	0	0
00614	001	0	0	0	0	0	0
00614	002	0	0	0	0	0	0
00614	003	0	0	0	0	0	0
00614	004	0	0	0	0	0	0
00615	001	0	0	0	0	0	0
00615	002	0	0	0	0	0	0
00615	003	0	0	0	0	0	0
00615	004	0	0	0	0	0	0
00616	001	0	0	0	0	0	0
00616	002	0	0	0	0	0	0
00616	003	0	0	0	0	0	0
00616	004	0	0	0	0	0	0
00617	001	0	0	0	0	0	0
00617	002	0	0	0	0	0	0
00617	003	0	0	0	0	0	0
00617	004	0	0	0	0	0	0
00618	001	0	0	0	0	0	0
00618	002	0	0	0	0	0	0
00618	003	0	0	0	0	0	0
00618	004	0	0	0	0	0	0
00619	001	0	0	0	0	0	0
00619	002	0	0	0	0	0	0
00619	003	0	0	0	0	0	0
00619	004	0	0	0	0	0	0
00620	001	0	0	0	0	0	0
00620	002	0	0	0	0	0	0
00620	003	0	0	0	0	0	0
00620	004	0	0	0	0	0	0
00621	001	0	0	0	0	0	0
00621	002	0	0	0	0	0	0
00621	003	0	0	0	0	0	0
00621	004	0	0	0	0	0	0
00622	001	0	0	0	0	0	0
00622	002	0	0	0	0	0	0
00622	003	0	0	0	0	0	0
00622	004	0	0	0	0	0	0
00623	001	0	0	0	0	0	0
00623	002	0	0	0	0	0	0
00623	003	0	0	0	0	0	0
00623	004	0	0	0	0	0	0
00624	001	0	0	0	0	0	0
00624	002	0	0	0	0	0	0
00624	003	0	0	0	0	0	0
00624	004	0	0	0	0	0	0
00625	001	0	0	0	0	0	0
00625	002	0	0	0	0	0	0
00625	003	0	0	0	0	0	0
00625	004	0	0	0	0	0	0
00626	001	0	0	0	0	0	0

Comm.: C20-025-S05

Il presente documento è di proprietà della ANTEX GROUP srl.  
È vietato la comunicazione a terzi o la riproduzione senza il permesso scritto della suddetta.  
La società tutela i propri diritti a rigore di Legge.







PARCO EOLICO DI "BUDDUSO"

RELAZIONE DI CALCOLO E TABULATI OPERE EDILI  
SSEU



Ingegneria & Innovazione

30/06/2023

REV: 2

Pag. 177

Nodi - Reazioni vincolari esterne per tipologie di carico non sismiche

IdNd	CC	F <sub>x</sub>	F <sub>y</sub>	F <sub>z</sub>	M <sub>x</sub>	M <sub>y</sub>	M <sub>z</sub>
		[N]	[N]	[N]	[N-m]	[N-m]	[N-m]
00626	002	0	0	0	0	0	0
00626	003	0	0	0	0	0	0
00626	004	0	0	0	0	0	0
00627	001	0	0	0	0	0	0
00627	002	0	0	0	0	0	0
00627	003	0	0	0	0	0	0
00627	004	0	0	0	0	0	0
00628	001	0	0	0	0	0	0
00628	002	0	0	0	0	0	0
00628	003	0	0	0	0	0	0
00628	004	0	0	0	0	0	0
00629	001	0	0	0	0	0	0
00629	002	0	0	0	0	0	0
00629	003	0	0	0	0	0	0
00629	004	0	0	0	0	0	0
00630	001	0	0	0	0	0	0
00630	002	0	0	0	0	0	0
00630	003	0	0	0	0	0	0
00630	004	0	0	0	0	0	0
00631	001	0	0	0	0	0	0
00631	002	0	0	0	0	0	0
00631	003	0	0	0	0	0	0
00631	004	0	0	0	0	0	0
00632	001	0	0	0	0	0	0
00632	002	0	0	0	0	0	0
00632	003	2	8	0	0	0	0
00632	004	0	0	0	0	0	0
00633	001	0	0	0	0	0	0
00633	002	0	0	0	0	0	0
00633	003	-62	-233	0	0	0	0
00633	004	0	0	0	0	0	0
00634	001	0	0	0	0	0	0
00634	002	0	0	0	0	0	0
00634	003	2.422	6.333	0	0	0	0
00634	004	0	0	0	0	0	0
00635	001	0	0	0	0	0	0
00635	002	0	0	0	0	0	0
00635	003	-91.855	-135.151	0	0	0	0
00635	004	0	0	0	0	0	0
00636	001	0	0	0	0	0	0
00636	002	0	0	0	0	0	0
00636	003	2.887.534	8.703.678	0	0	0	0
00636	004	0	0	0	0	0	0
00637	001	0	0	0	0	0	0
00637	002	0	0	0	0	0	0
00637	003	2.887.534	-8.703.678	0	0	0	0
00637	004	0	0	0	0	0	0
00638	001	0	0	0	0	0	0
00638	002	0	0	0	0	0	0
00638	003	-91.855	135.151	0	0	0	0
00638	004	0	0	0	0	0	0
00639	001	0	0	0	0	0	0
00639	002	0	0	0	0	0	0
00639	003	2.422	-6.333	0	0	0	0
00639	004	0	0	0	0	0	0
00640	001	0	0	0	0	0	0
00640	002	0	0	0	0	0	0
00640	003	-62	233	0	0	0	0
00640	004	0	0	0	0	0	0
00641	001	0	0	0	0	0	0
00641	002	0	0	0	0	0	0
00641	003	2	-8	0	0	0	0
00641	004	0	0	0	0	0	0
00642	001	0	0	0	0	0	0
00642	002	0	0	0	0	0	0
00642	003	0	0	0	0	0	0

Comm.: C20-025-S05

Il presente documento è di proprietà della ANTEX GROUP srl.  
È vietato la comunicazione a terzi o la riproduzione senza il permesso scritto della suddetta.  
La società tutela i propri diritti a rigore di Legge.





PARCO EOLICO DI "BUDDUSO"

RELAZIONE DI CALCOLO E TABULATI OPERE EDILI  
SSEU



Ingegneria & Innovazione

30/06/2023

REV: 2

Pag. 178

Nodi - Reazioni vincolari esterne per tipologie di carico non sismiche

IdNd	CC	F <sub>x</sub>	F <sub>y</sub>	F <sub>z</sub>	M <sub>x</sub>	M <sub>y</sub>	M <sub>z</sub>
		[N]	[N]	[N]	[N-m]	[N-m]	[N-m]
00642	004	0	0	0	0	0	0
00643	001	0	0	0	0	0	0
00643	002	0	0	0	0	0	0
00643	003	0	0	0	0	0	0
00643	004	0	0	0	0	0	0
00644	001	0	0	0	0	0	0
00644	002	0	0	0	0	0	0
00644	003	0	0	0	0	0	0
00644	004	0	0	0	0	0	0
00645	001	0	0	0	0	0	0
00645	002	0	0	0	0	0	0
00645	003	0	0	0	0	0	0
00645	004	0	0	0	0	0	0
00646	001	0	0	0	0	0	0
00646	002	0	0	0	0	0	0
00646	003	0	0	0	0	0	0
00646	004	0	0	0	0	0	0
00647	001	0	0	0	0	0	0
00647	002	0	0	0	0	0	0
00647	003	0	0	0	0	0	0
00647	004	0	0	0	0	0	0
00648	001	0	0	0	0	0	0
00648	002	0	0	0	0	0	0
00648	003	0	0	0	0	0	0
00648	004	0	0	0	0	0	0
00649	001	0	0	0	0	0	0
00649	002	0	0	0	0	0	0
00649	003	0	0	0	0	0	0
00649	004	0	0	0	0	0	0
00650	001	0	0	0	0	0	0
00650	002	0	0	0	0	0	0
00650	003	0	0	0	0	0	0
00650	004	0	0	0	0	0	0
00651	001	0	0	0	0	0	0
00651	002	0	0	0	0	0	0
00651	003	0	0	0	0	0	0
00651	004	0	0	0	0	0	0
00652	001	0	0	0	0	0	0
00652	002	0	0	0	0	0	0
00652	003	0	0	0	0	0	0
00652	004	0	0	0	0	0	0
00653	001	0	0	0	0	0	0
00653	002	0	0	0	0	0	0
00653	003	0	0	0	0	0	0
00653	004	0	0	0	0	0	0
00654	001	0	0	0	0	0	0
00654	002	0	0	0	0	0	0
00654	003	0	0	0	0	0	0
00654	004	0	0	0	0	0	0
00655	001	0	0	0	0	0	0
00655	002	0	0	0	0	0	0
00655	003	0	0	0	0	0	0
00655	004	0	0	0	0	0	0
00656	001	0	0	0	0	0	0
00656	002	0	0	0	0	0	0
00656	003	0	0	0	0	0	0
00656	004	0	0	0	0	0	0
00657	001	0	0	0	0	0	0
00657	002	0	0	0	0	0	0
00657	003	0	0	0	0	0	0
00657	004	0	0	0	0	0	0
00658	001	0	0	0	0	0	0
00658	002	0	0	0	0	0	0
00658	003	0	0	0	0	0	0
00658	004	0	0	0	0	0	0
00659	001	0	0	0	0	0	0

Comm.: C20-025-S05

Il presente documento è di proprietà della ANTEX GROUP srl.  
È vietato la comunicazione a terzi o la riproduzione senza il permesso scritto della suddetta.  
La società tutela i propri diritti a rigore di Legge.





PARCO EOLICO DI "BUDDUSO"

RELAZIONE DI CALCOLO E TABULATI OPERE EDILI  
SSEU



Ingegneria & Innovazione

30/06/2023

REV: 2

Pag. 179

Nodi - Reazioni vincolari esterne per tipologie di carico non sismiche

IdNd	CC	F <sub>x</sub>	F <sub>y</sub>	F <sub>z</sub>	M <sub>x</sub>	M <sub>y</sub>	M <sub>z</sub>
		[N]	[N]	[N]	[N-m]	[N-m]	[N-m]
00659	002	0	0	0	0	0	0
00659	003	0	0	0	0	0	0
00659	004	0	0	0	0	0	0
00660	001	0	0	0	0	0	0
00660	002	0	0	0	0	0	0
00660	003	0	1	0	0	0	0
00660	004	0	0	0	0	0	0
00661	001	0	0	0	0	0	0
00661	002	0	0	0	0	0	0
00661	003	-1	-62	0	0	0	0
00661	004	0	0	0	0	0	0
00662	001	0	0	0	0	0	0
00662	002	0	0	0	0	0	0
00662	003	43	2.680	0	0	0	0
00662	004	0	0	0	0	0	0
00663	001	0	0	0	0	0	0
00663	002	0	0	0	0	0	0
00663	003	-1.674	-109.101	0	0	0	0
00663	004	0	0	0	0	0	0
00664	001	0	0	0	0	0	0
00664	002	0	0	0	0	0	0
00664	003	500.194	1.408.447	0	0	0	0
00664	004	0	0	0	0	0	0
00665	001	0	0	0	0	0	0
00665	002	0	0	0	0	0	0
00665	003	-19.585.334	0	0	0	0	0
00665	004	0	0	0	0	0	0
00666	001	0	0	0	0	0	0
00666	002	0	0	0	0	0	0
00666	003	500.194	-1.408.447	0	0	0	0
00666	004	0	0	0	0	0	0
00667	001	0	0	0	0	0	0
00667	002	0	0	0	0	0	0
00667	003	-1.674	109.101	0	0	0	0
00667	004	0	0	0	0	0	0
00668	001	0	0	0	0	0	0
00668	002	0	0	0	0	0	0
00668	003	43	-2.680	0	0	0	0
00668	004	0	0	0	0	0	0
00669	001	0	0	0	0	0	0
00669	002	0	0	0	0	0	0
00669	003	-1	62	0	0	0	0
00669	004	0	0	0	0	0	0
00670	001	0	0	0	0	0	0
00670	002	0	0	0	0	0	0
00670	003	0	-1	0	0	0	0
00670	004	0	0	0	0	0	0
00671	001	0	0	0	0	0	0
00671	002	0	0	0	0	0	0
00671	003	0	0	0	0	0	0
00671	004	0	0	0	0	0	0
00672	001	0	0	0	0	0	0
00672	002	0	0	0	0	0	0
00672	003	0	0	0	0	0	0
00672	004	0	0	0	0	0	0
00673	001	0	0	0	0	0	0
00673	002	0	0	0	0	0	0
00673	003	0	0	0	0	0	0
00673	004	0	0	0	0	0	0
00674	001	0	0	0	0	0	0
00674	002	0	0	0	0	0	0
00674	003	0	0	0	0	0	0
00674	004	0	0	0	0	0	0
00675	001	0	0	0	0	0	0
00675	002	0	0	0	0	0	0
00675	003	0	0	0	0	0	0

Comm.: C20-025-S05

Il presente documento è di proprietà della ANTEX GROUP srl.  
È vietato la comunicazione a terzi o la riproduzione senza il permesso scritto della suddetta.  
La società tutela i propri diritti a rigore di Legge.





PARCO EOLICO DI "BUDDUSO"

RELAZIONE DI CALCOLO E TABULATI OPERE EDILI  
SSEU



Ingegneria & Innovazione

30/06/2023

REV: 2

Pag. 180

Nodi - Reazioni vincolari esterne per tipologie di carico non sismiche

IdNd	CC	F <sub>x</sub>	F <sub>y</sub>	F <sub>z</sub>	M <sub>x</sub>	M <sub>y</sub>	M <sub>z</sub>
		[N]	[N]	[N]	[N-m]	[N-m]	[N-m]
00675	004	0	0	0	0	0	0
00676	001	0	0	0	0	0	0
00676	002	0	0	0	0	0	0
00676	003	0	0	0	0	0	0
00676	004	0	0	0	0	0	0
00677	001	0	0	0	0	0	0
00677	002	0	0	0	0	0	0
00677	003	0	0	0	0	0	0
00677	004	0	0	0	0	0	0
00678	001	0	0	0	0	0	0
00678	002	0	0	0	0	0	0
00678	003	0	0	0	0	0	0
00678	004	0	0	0	0	0	0
00679	001	0	0	0	0	0	0
00679	002	0	0	0	0	0	0
00679	003	0	0	0	0	0	0
00679	004	0	0	0	0	0	0
00680	001	0	0	0	0	0	0
00680	002	0	0	0	0	0	0
00680	003	0	0	0	0	0	0
00680	004	0	0	0	0	0	0
00681	001	0	0	0	0	0	0
00681	002	0	0	0	0	0	0
00681	003	0	0	0	0	0	0
00681	004	0	0	0	0	0	0
00682	001	0	0	0	0	0	0
00682	002	0	0	0	0	0	0
00682	003	0	0	0	0	0	0
00682	004	0	0	0	0	0	0
00683	001	0	0	0	0	0	0
00683	002	0	0	0	0	0	0
00683	003	0	0	0	0	0	0
00683	004	0	0	0	0	0	0
00684	001	0	0	0	0	0	0
00684	002	0	0	0	0	0	0
00684	003	0	0	0	0	0	0
00684	004	0	0	0	0	0	0
00685	001	0	0	0	0	0	0
00685	002	0	0	0	0	0	0
00685	003	0	0	0	0	0	0
00685	004	0	0	0	0	0	0
00686	001	0	0	0	0	0	0
00686	002	0	0	0	0	0	0
00686	003	0	0	0	0	0	0
00686	004	0	0	0	0	0	0
00687	001	0	0	0	0	0	0
00687	002	0	0	0	0	0	0
00687	003	0	0	0	0	0	0
00687	004	0	0	0	0	0	0
00688	001	0	0	0	0	0	0
00688	002	0	0	0	0	0	0
00688	003	0	0	0	0	0	0
00688	004	0	0	0	0	0	0
00689	001	0	0	0	0	0	0
00689	002	0	0	0	0	0	0
00689	003	-1	6	0	0	0	0
00689	004	0	0	0	0	0	0
00690	001	0	0	0	0	0	0
00690	002	0	0	0	0	0	0
00690	003	59	-181	0	0	0	0
00690	004	0	0	0	0	0	0
00691	001	0	0	0	0	0	0
00691	002	0	0	0	0	0	0
00691	003	-2.340	4.289	0	0	0	0
00691	004	0	0	0	0	0	0
00692	001	0	0	0	0	0	0

Comm.: C20-025-S05

Il presente documento è di proprietà della ANTEX GROUP srl.  
È vietato la comunicazione a terzi o la riproduzione senza il permesso scritto della suddetta.  
La società tutela i propri diritti a rigore di Legge.





PARCO EOLICO DI "BUDDUSO"

RELAZIONE DI CALCOLO E TABULATI OPERE EDILI  
SSEU



Ingegneria & Innovazione

30/06/2023

REV: 2

Pag. 181

Nodi - Reazioni vincolari esterne per tipologie di carico non sismiche

IdNd	CC	F <sub>x</sub>	F <sub>y</sub>	F <sub>z</sub>	M <sub>x</sub>	M <sub>y</sub>	M <sub>z</sub>
		[N]	[N]	[N]	[N-m]	[N-m]	[N-m]
00692	002	0	0	0	0	0	0
00692	003	90.368	-56.869	0	0	0	0
00692	004	0	0	0	0	0	0
00693	001	0	0	0	0	0	0
00693	002	0	0	0	0	0	0
00693	003	-179.866	189.103	0	0	0	0
00693	004	0	0	0	0	0	0
00694	001	0	0	0	0	0	0
00694	002	0	0	0	0	0	0
00694	003	-179.866	-189.103	0	0	0	0
00694	004	0	0	0	0	0	0
00695	001	0	0	0	0	0	0
00695	002	0	0	0	0	0	0
00695	003	90.368	56.869	0	0	0	0
00695	004	0	0	0	0	0	0
00696	001	0	0	0	0	0	0
00696	002	0	0	0	0	0	0
00696	003	-2.340	-4.289	0	0	0	0
00696	004	0	0	0	0	0	0
00697	001	0	0	0	0	0	0
00697	002	0	0	0	0	0	0
00697	003	59	181	0	0	0	0
00697	004	0	0	0	0	0	0
00698	001	0	0	0	0	0	0
00698	002	0	0	0	0	0	0
00698	003	-1	-6	0	0	0	0
00698	004	0	0	0	0	0	0
00699	001	0	0	0	0	0	0
00699	002	0	0	0	0	0	0
00699	003	0	0	0	0	0	0
00699	004	0	0	0	0	0	0
00700	001	0	0	0	0	0	0
00700	002	0	0	0	0	0	0
00700	003	0	0	0	0	0	0
00700	004	0	0	0	0	0	0
00701	001	0	0	0	0	0	0
00701	002	0	0	0	0	0	0
00701	003	0	0	0	0	0	0
00701	004	0	0	0	0	0	0
00702	001	0	0	0	0	0	0
00702	002	0	0	0	0	0	0
00702	003	0	0	0	0	0	0
00702	004	0	0	0	0	0	0
00703	001	0	0	0	0	0	0
00703	002	0	0	0	0	0	0
00703	003	0	0	0	0	0	0
00703	004	0	0	0	0	0	0
00704	001	0	0	0	0	0	0
00704	002	0	0	0	0	0	0
00704	003	0	0	0	0	0	0
00704	004	0	0	0	0	0	0
00705	001	0	0	0	0	0	0
00705	002	0	0	0	0	0	0
00705	003	0	0	0	0	0	0
00705	004	0	0	0	0	0	0
00706	001	0	0	0	0	0	0
00706	002	0	0	0	0	0	0
00706	003	0	0	0	0	0	0
00706	004	0	0	0	0	0	0
00707	001	0	0	0	0	0	0
00707	002	0	0	0	0	0	0
00707	003	0	0	0	0	0	0
00707	004	0	0	0	0	0	0
00708	001	0	0	0	0	0	0
00708	002	0	0	0	0	0	0
00708	003	0	0	0	0	0	0

Comm.: C20-025-S05

Il presente documento è di proprietà della ANTEX GROUP srl.  
È vietato la comunicazione a terzi o la riproduzione senza il permesso scritto della suddetta.  
La società tutela i propri diritti a rigore di Legge.





PARCO EOLICO DI "BUDDUSO"

RELAZIONE DI CALCOLO E TABULATI OPERE EDILI  
SSEU



Ingegneria & Innovazione

30/06/2023

REV: 2

Pag. 182

Nodi - Reazioni vincolari esterne per tipologie di carico non sismiche

IdNd	CC	F <sub>x</sub>	F <sub>y</sub>	F <sub>z</sub>	M <sub>x</sub>	M <sub>y</sub>	M <sub>z</sub>
		[N]	[N]	[N]	[N-m]	[N-m]	[N-m]
00708	004	0	0	0	0	0	0
00709	001	0	0	0	0	0	0
00709	002	0	0	0	0	0	0
00709	003	0	0	0	0	0	0
00709	004	0	0	0	0	0	0
00710	001	0	0	0	0	0	0
00710	002	0	0	0	0	0	0
00710	003	0	0	0	0	0	0
00710	004	0	0	0	0	0	0
00711	001	0	0	0	0	0	0
00711	002	0	0	0	0	0	0
00711	003	0	0	0	0	0	0
00711	004	0	0	0	0	0	0
00712	001	0	0	0	0	0	0
00712	002	0	0	0	0	0	0
00712	003	0	0	0	0	0	0
00712	004	0	0	0	0	0	0
00713	001	0	0	0	0	0	0
00713	002	0	0	0	0	0	0
00713	003	0	0	0	0	0	0
00713	004	0	0	0	0	0	0
00714	001	0	0	0	0	0	0
00714	002	0	0	0	0	0	0
00714	003	0	0	0	0	0	0
00714	004	0	0	0	0	0	0
00715	001	0	0	0	0	0	0
00715	002	0	0	0	0	0	0
00715	003	0	0	0	0	0	0
00715	004	0	0	0	0	0	0
00716	001	0	0	0	0	0	0
00716	002	0	0	0	0	0	0
00716	003	0	0	0	0	0	0
00716	004	0	0	0	0	0	0
00717	001	0	0	0	0	0	0
00717	002	0	0	0	0	0	0
00717	003	0	0	0	0	0	0
00717	004	0	0	0	0	0	0
00718	001	0	0	0	0	0	0
00718	002	0	0	0	0	0	0
00718	003	-5	8	0	0	0	0
00718	004	0	0	0	0	0	0
00719	001	0	0	0	0	0	0
00719	002	0	0	0	0	0	0
00719	003	122	-147	0	0	0	0
00719	004	0	0	0	0	0	0
00720	001	0	0	0	0	0	0
00720	002	0	0	0	0	0	0
00720	003	-2.366	1.473	0	0	0	0
00720	004	0	0	0	0	0	0
00721	001	0	0	0	0	0	0
00721	002	0	0	0	0	0	0
00721	003	2.161	-3.502	0	0	0	0
00721	004	0	0	0	0	0	0
00722	001	0	0	0	0	0	0
00722	002	0	0	0	0	0	0
00722	003	9.307	0	0	0	0	0
00722	004	0	0	0	0	0	0
00723	001	0	0	0	0	0	0
00723	002	0	0	0	0	0	0
00723	003	2.161	3.502	0	0	0	0
00723	004	0	0	0	0	0	0
00724	001	0	0	0	0	0	0
00724	002	0	0	0	0	0	0
00724	003	-2.366	-1.473	0	0	0	0
00724	004	0	0	0	0	0	0
00725	001	0	0	0	0	0	0

Comm.: C20-025-S05

Il presente documento è di proprietà della ANTEX GROUP srl.  
È vietato la comunicazione a terzi o la riproduzione senza il permesso scritto della suddetta.  
La società tutela i propri diritti a rigore di Legge.





PARCO EOLICO DI "BUDDUSO"

RELAZIONE DI CALCOLO E TABULATI OPERE EDILI  
SSEU



Ingegneria & Innovazione

30/06/2023

REV: 2

Pag. 183

Nodi - Reazioni vincolari esterne per tipologie di carico non sismiche

IdNd	CC	F <sub>x</sub>	F <sub>y</sub>	F <sub>z</sub>	M <sub>x</sub>	M <sub>y</sub>	M <sub>z</sub>
		[N]	[N]	[N]	[N-m]	[N-m]	[N-m]
00725	002	0	0	0	0	0	0
00725	003	122	147	0	0	0	0
00725	004	0	0	0	0	0	0
00726	001	0	0	0	0	0	0
00726	002	0	0	0	0	0	0
00726	003	-5	-8	0	0	0	0
00726	004	0	0	0	0	0	0
00727	001	0	0	0	0	0	0
00727	002	0	0	0	0	0	0
00727	003	0	0	0	0	0	0
00727	004	0	0	0	0	0	0
00728	001	0	0	0	0	0	0
00728	002	0	0	0	0	0	0
00728	003	0	0	0	0	0	0
00728	004	0	0	0	0	0	0
00729	001	0	0	0	0	0	0
00729	002	0	0	0	0	0	0
00729	003	0	0	0	0	0	0
00729	004	0	0	0	0	0	0
00730	001	0	0	0	0	0	0
00730	002	0	0	0	0	0	0
00730	003	0	0	0	0	0	0
00730	004	0	0	0	0	0	0
00731	001	0	0	0	0	0	0
00731	002	0	0	0	0	0	0
00731	003	0	0	0	0	0	0
00731	004	0	0	0	0	0	0
00732	001	0	0	0	0	0	0
00732	002	0	0	0	0	0	0
00732	003	0	0	0	0	0	0
00732	004	0	0	0	0	0	0
00733	001	0	0	0	0	0	0
00733	002	0	0	0	0	0	0
00733	003	0	0	0	0	0	0
00733	004	0	0	0	0	0	0
00734	001	0	0	0	0	0	0
00734	002	0	0	0	0	0	0
00734	003	0	0	0	0	0	0
00734	004	0	0	0	0	0	0
00735	001	0	0	0	0	0	0
00735	002	0	0	0	0	0	0
00735	003	0	0	0	0	0	0
00735	004	0	0	0	0	0	0
00736	001	0	0	0	0	0	0
00736	002	0	0	0	0	0	0
00736	003	0	0	0	0	0	0
00736	004	0	0	0	0	0	0
00737	001	0	0	0	0	0	0
00737	002	0	0	0	0	0	0
00737	003	0	0	0	0	0	0
00737	004	0	0	0	0	0	0
00738	001	0	0	0	0	0	0
00738	002	0	0	0	0	0	0
00738	003	0	0	0	0	0	0
00738	004	0	0	0	0	0	0
00739	001	0	0	0	0	0	0
00739	002	0	0	0	0	0	0
00739	003	0	0	0	0	0	0
00739	004	0	0	0	0	0	0
00740	001	0	0	0	0	0	0
00740	002	0	0	0	0	0	0
00740	003	0	0	0	0	0	0
00740	004	0	0	0	0	0	0
00741	001	0	0	0	0	0	0
00741	002	0	0	0	0	0	0
00741	003	0	0	0	0	0	0

Comm.: C20-025-S05

Il presente documento è di proprietà della ANTEX GROUP srl.  
È vietato la comunicazione a terzi o la riproduzione senza il permesso scritto della suddetta.  
La società tutela i propri diritti a rigore di Legge.





PARCO EOLICO DI "BUDDUSO"

RELAZIONE DI CALCOLO E TABULATI OPERE EDILI  
SSEU



Ingegneria & Innovazione

30/06/2023

REV: 2

Pag. 184

Nodi - Reazioni vincolari esterne per tipologie di carico non sismiche

IdNd	CC	F <sub>x</sub>	F <sub>y</sub>	F <sub>z</sub>	M <sub>x</sub>	M <sub>y</sub>	M <sub>z</sub>
		[N]	[N]	[N]	[N-m]	[N-m]	[N-m]
00741	004	0	0	0	0	0	0
00742	001	0	0	0	0	0	0
00742	002	0	0	0	0	0	0
00742	003	0	0	0	0	0	0
00742	004	0	0	0	0	0	0
00743	001	0	0	0	0	0	0
00743	002	0	0	0	0	0	0
00743	003	0	0	0	0	0	0
00743	004	0	0	0	0	0	0
00744	001	0	0	0	0	0	0
00744	002	0	0	0	0	0	0
00744	003	0	0	0	0	0	0
00744	004	0	0	0	0	0	0
00745	001	0	0	0	0	0	0
00745	002	0	0	0	0	0	0
00745	003	0	0	0	0	0	0
00745	004	0	0	0	0	0	0
00746	001	0	0	0	0	0	0
00746	002	0	0	0	0	0	0
00746	003	0	0	0	0	0	0
00746	004	0	0	0	0	0	0
00747	001	0	0	0	0	0	0
00747	002	0	0	0	0	0	0
00747	003	-5	5	0	0	0	0
00747	004	0	0	0	0	0	0
00748	001	0	0	0	0	0	0
00748	002	0	0	0	0	0	0
00748	003	59	-36	0	0	0	0
00748	004	0	0	0	0	0	0
00749	001	0	0	0	0	0	0
00749	002	0	0	0	0	0	0
00749	003	12	52	0	0	0	0
00749	004	0	0	0	0	0	0
00750	001	0	0	0	0	0	0
00750	002	0	0	0	0	0	0
00750	003	-293	93	0	0	0	0
00750	004	0	0	0	0	0	0
00751	001	0	0	0	0	0	0
00751	002	0	0	0	0	0	0
00751	003	-293	-93	0	0	0	0
00751	004	0	0	0	0	0	0
00752	001	0	0	0	0	0	0
00752	002	0	0	0	0	0	0
00752	003	12	-52	0	0	0	0
00752	004	0	0	0	0	0	0
00753	001	0	0	0	0	0	0
00753	002	0	0	0	0	0	0
00753	003	59	36	0	0	0	0
00753	004	0	0	0	0	0	0
00754	001	0	0	0	0	0	0
00754	002	0	0	0	0	0	0
00754	003	-5	-5	0	0	0	0
00754	004	0	0	0	0	0	0
00755	001	0	0	0	0	0	0
00755	002	0	0	0	0	0	0
00755	003	0	0	0	0	0	0
00755	004	0	0	0	0	0	0
00756	001	0	0	0	0	0	0
00756	002	0	0	0	0	0	0
00756	003	0	0	0	0	0	0
00756	004	0	0	0	0	0	0
00757	001	0	0	0	0	0	0
00757	002	0	0	0	0	0	0
00757	003	0	0	0	0	0	0
00757	004	0	0	0	0	0	0
00758	001	0	0	0	0	0	0

Comm.: C20-025-S05

Il presente documento è di proprietà della ANTEX GROUP srl.  
È vietato la comunicazione a terzi o la riproduzione senza il permesso scritto della suddetta.  
La società tutela i propri diritti a rigore di Legge.







PARCO EOLICO DI "BUDDUSO"

RELAZIONE DI CALCOLO E TABULATI OPERE EDILI  
SSEU



Ingegneria & Innovazione

30/06/2023

REV: 2

Pag. 185

Nodi - Reazioni vincolari esterne per tipologie di carico non sismiche

IdNd	CC	F <sub>x</sub>	F <sub>y</sub>	F <sub>z</sub>	M <sub>x</sub>	M <sub>y</sub>	M <sub>z</sub>
		[N]	[N]	[N]	[N-m]	[N-m]	[N-m]
00758	002	0	0	0	0	0	0
00758	003	0	0	0	0	0	0
00758	004	0	0	0	0	0	0
00759	001	0	0	0	0	0	0
00759	002	0	0	0	0	0	0
00759	003	0	0	0	0	0	0
00759	004	0	0	0	0	0	0
00760	001	0	0	0	0	0	0
00760	002	0	0	0	0	0	0
00760	003	0	0	0	0	0	0
00760	004	0	0	0	0	0	0
00761	001	0	0	0	0	0	0
00761	002	0	0	0	0	0	0
00761	003	0	0	0	0	0	0
00761	004	0	0	0	0	0	0
00762	001	0	0	0	0	0	0
00762	002	0	0	0	0	0	0
00762	003	0	0	0	0	0	0
00762	004	0	0	0	0	0	0
00763	001	0	0	0	0	0	0
00763	002	0	0	0	0	0	0
00763	003	0	0	0	0	0	0
00763	004	0	0	0	0	0	0
00764	001	0	0	0	0	0	0
00764	002	0	0	0	0	0	0
00764	003	0	0	0	0	0	0
00764	004	0	0	0	0	0	0
00765	001	0	0	0	0	0	0
00765	002	0	0	0	0	0	0
00765	003	0	0	0	0	0	0
00765	004	0	0	0	0	0	0
00766	001	0	0	0	0	0	0
00766	002	0	0	0	0	0	0
00766	003	0	0	0	0	0	0
00766	004	0	0	0	0	0	0
00767	001	0	0	0	0	0	0
00767	002	0	0	0	0	0	0
00767	003	0	0	0	0	0	0
00767	004	0	0	0	0	0	0
00768	001	0	0	0	0	0	0
00768	002	0	0	0	0	0	0
00768	003	0	0	0	0	0	0
00768	004	0	0	0	0	0	0
00769	001	0	0	0	0	0	0
00769	002	0	0	0	0	0	0
00769	003	0	0	0	0	0	0
00769	004	0	0	0	0	0	0
00770	001	0	0	0	0	0	0
00770	002	0	0	0	0	0	0
00770	003	0	0	0	0	0	0
00770	004	0	0	0	0	0	0
00771	001	0	0	0	0	0	0
00771	002	0	0	0	0	0	0
00771	003	0	0	0	0	0	0
00771	004	0	0	0	0	0	0
00772	001	0	0	0	0	0	0
00772	002	0	0	0	0	0	0
00772	003	0	0	0	0	0	0
00772	004	0	0	0	0	0	0
00773	001	0	0	0	0	0	0
00773	002	0	0	0	0	0	0
00773	003	0	0	0	0	0	0
00773	004	0	0	0	0	0	0
00774	001	0	0	0	0	0	0
00774	002	0	0	0	0	0	0
00774	003	0	0	0	0	0	0

Comm.: C20-025-S05

Il presente documento è di proprietà della ANTEX GROUP srl.  
È vietato la comunicazione a terzi o la riproduzione senza il permesso scritto della suddetta.  
La società tutela i propri diritti a rigore di Legge.





PARCO EOLICO DI "BUDDUSO"

RELAZIONE DI CALCOLO E TABULATI OPERE EDILI  
SSEU



Ingegneria & Innovazione

30/06/2023

REV: 2

Pag. 186

Nodi - Reazioni vincolari esterne per tipologie di carico non sismiche

IdNd	CC	F <sub>x</sub>	F <sub>y</sub>	F <sub>z</sub>	M <sub>x</sub>	M <sub>y</sub>	M <sub>z</sub>
		[N]	[N]	[N]	[N-m]	[N-m]	[N-m]
00774	004	0	0	0	0	0	0
00775	001	0	0	0	0	0	0
00775	002	0	0	0	0	0	0
00775	003	0	0	0	0	0	0
00775	004	0	0	0	0	0	0
00776	001	0	0	0	0	0	0
00776	002	0	0	0	0	0	0
00776	003	-1	1	0	0	0	0
00776	004	0	0	0	0	0	0
00777	001	0	0	0	0	0	0
00777	002	0	0	0	0	0	0
00777	003	-2	0	0	0	0	0
00777	004	0	0	0	0	0	0
00778	001	0	0	0	0	0	0
00778	002	0	0	0	0	0	0
00778	003	7	-4	0	0	0	0
00778	004	0	0	0	0	0	0
00779	001	0	0	0	0	0	0
00779	002	0	0	0	0	0	0
00779	003	15	0	0	0	0	0
00779	004	0	0	0	0	0	0
00780	001	0	0	0	0	0	0
00780	002	0	0	0	0	0	0
00780	003	7	4	0	0	0	0
00780	004	0	0	0	0	0	0
00781	001	0	0	0	0	0	0
00781	002	0	0	0	0	0	0
00781	003	-2	0	0	0	0	0
00781	004	0	0	0	0	0	0
00782	001	0	0	0	0	0	0
00782	002	0	0	0	0	0	0
00782	003	-1	-1	0	0	0	0
00782	004	0	0	0	0	0	0
00783	001	0	0	0	0	0	0
00783	002	0	0	0	0	0	0
00783	003	0	0	0	0	0	0
00783	004	0	0	0	0	0	0
00784	001	0	0	0	0	0	0
00784	002	0	0	0	0	0	0
00784	003	0	0	0	0	0	0
00784	004	0	0	0	0	0	0
00785	001	0	0	0	0	0	0
00785	002	0	0	0	0	0	0
00785	003	0	0	0	0	0	0
00785	004	0	0	0	0	0	0
00786	001	0	0	0	0	0	0
00786	002	0	0	0	0	0	0
00786	003	0	0	0	0	0	0
00786	004	0	0	0	0	0	0
00787	001	0	0	0	0	0	0
00787	002	0	0	0	0	0	0
00787	003	0	0	0	0	0	0
00787	004	0	0	0	0	0	0
00788	001	0	0	0	0	0	0
00788	002	0	0	0	0	0	0
00788	003	0	0	0	0	0	0
00788	004	0	0	0	0	0	0
00789	001	0	0	0	0	0	0
00789	002	0	0	0	0	0	0
00789	003	0	0	0	0	0	0
00789	004	0	0	0	0	0	0
00790	001	0	0	0	0	0	0
00790	002	0	0	0	0	0	0
00790	003	0	0	0	0	0	0
00790	004	0	0	0	0	0	0
00791	001	0	0	0	0	0	0

Comm.: C20-025-S05

Il presente documento è di proprietà della ANTEX GROUP srl.  
È vietato la comunicazione a terzi o la riproduzione senza il permesso scritto della suddetta.  
La società tutela i propri diritti a rigore di Legge.





PARCO EOLICO DI "BUDDUSO"

RELAZIONE DI CALCOLO E TABULATI OPERE EDILI SSEU



Ingegneria & Innovazione

30/06/2023

REV: 2

Pag. 187

Nodi - Reazioni vincolari esterne per tipologie di carico non sismiche

IdNd	CC	F <sub>x</sub>	F <sub>y</sub>	F <sub>z</sub>	M <sub>x</sub>	M <sub>y</sub>	M <sub>z</sub>
		[N]	[N]	[N]	[N-m]	[N-m]	[N-m]
00791	002	0	0	0	0	0	0
00791	003	0	0	0	0	0	0
00791	004	0	0	0	0	0	0
00792	001	0	0	0	0	0	0
00792	002	0	0	0	0	0	0
00792	003	0	0	0	0	0	0
00792	004	0	0	0	0	0	0
00793	001	0	0	0	0	0	0
00793	002	0	0	0	0	0	0
00793	003	0	0	0	0	0	0
00793	004	0	0	0	0	0	0
00794	001	0	0	0	0	0	0
00794	002	0	0	0	0	0	0
00794	003	0	0	0	0	0	0
00794	004	0	0	0	0	0	0
00795	001	0	0	0	0	0	0
00795	002	0	0	0	0	0	0
00795	003	0	0	0	0	0	0
00795	004	0	0	0	0	0	0
00796	001	0	0	0	0	0	0
00796	002	0	0	0	0	0	0
00796	003	0	0	0	0	0	0
00796	004	0	0	0	0	0	0
00797	001	0	0	0	0	0	0
00797	002	0	0	0	0	0	0
00797	003	0	0	0	0	0	0
00797	004	0	0	0	0	0	0
00798	001	0	0	0	0	0	0
00798	002	0	0	0	0	0	0
00798	003	0	0	0	0	0	0
00798	004	0	0	0	0	0	0
00799	001	0	0	0	0	0	0
00799	002	0	0	0	0	0	0
00799	003	0	0	0	0	0	0
00799	004	0	0	0	0	0	0
00800	001	0	0	0	0	0	0
00800	002	0	0	0	0	0	0
00800	003	0	0	0	0	0	0
00800	004	0	0	0	0	0	0
00801	001	0	0	0	0	0	0
00801	002	0	0	0	0	0	0
00801	003	0	0	0	0	0	0
00801	004	0	0	0	0	0	0
00802	001	0	0	0	0	0	0
00802	002	0	0	0	0	0	0
00802	003	0	0	0	0	0	0
00802	004	0	0	0	0	0	0
00803	001	0	0	0	0	0	0
00803	002	0	0	0	0	0	0
00803	003	0	0	0	0	0	0
00803	004	0	0	0	0	0	0
00804	001	0	0	0	0	0	0
00804	002	0	0	0	0	0	0
00804	003	0	0	0	0	0	0
00804	004	0	0	0	0	0	0
00805	001	0	0	0	0	0	0
00805	002	0	0	0	0	0	0
00805	003	0	0	0	0	0	0
00805	004	0	0	0	0	0	0
00806	001	0	0	0	0	0	0
00806	002	0	0	0	0	0	0
00806	003	0	0	0	0	0	0
00806	004	0	0	0	0	0	0
00807	001	0	0	0	0	0	0
00807	002	0	0	0	0	0	0
00807	003	-1	0	0	0	0	0

Comm.: C20-025-S05

Il presente documento è di proprietà della ANTEX GROUP srl. È vietato la comunicazione a terzi o la riproduzione senza il permesso scritto della suddetta. La società tutela i propri diritti a rigore di Legge.





PARCO EOLICO DI "BUDDUSO"

RELAZIONE DI CALCOLO E TABULATI OPERE EDILI  
SSEU



Ingegneria & Innovazione

30/06/2023

REV: 2

Pag. 188

Nodi - Reazioni vincolari esterne per tipologie di carico non sismiche

IdNd	CC	F <sub>x</sub>	F <sub>y</sub>	F <sub>z</sub>	M <sub>x</sub>	M <sub>y</sub>	M <sub>z</sub>
		[N]	[N]	[N]	[N-m]	[N-m]	[N-m]
00807	004	0	0	0	0	0	0
00808	001	0	0	0	0	0	0
00808	002	0	0	0	0	0	0
00808	003	-1	0	0	0	0	0
00808	004	0	0	0	0	0	0
00809	001	0	0	0	0	0	0
00809	002	0	0	0	0	0	0
00809	003	0	0	0	0	0	0
00809	004	0	0	0	0	0	0
00810	001	0	0	0	0	0	0
00810	002	0	0	0	0	0	0
00810	003	0	0	0	0	0	0
00810	004	0	0	0	0	0	0
00811	001	0	0	0	0	0	0
00811	002	0	0	0	0	0	0
00811	003	0	0	0	0	0	0
00811	004	0	0	0	0	0	0
00812	001	0	0	0	0	0	0
00812	002	0	0	0	0	0	0
00812	003	0	0	0	0	0	0
00812	004	0	0	0	0	0	0
00813	001	0	0	0	0	0	0
00813	002	0	0	0	0	0	0
00813	003	0	0	0	0	0	0
00813	004	0	0	0	0	0	0
00814	001	0	0	0	0	0	0
00814	002	0	0	0	0	0	0
00814	003	0	0	0	0	0	0
00814	004	0	0	0	0	0	0
00815	001	0	0	0	0	0	0
00815	002	0	0	0	0	0	0
00815	003	0	0	0	0	0	0
00815	004	0	0	0	0	0	0
00816	001	0	0	0	0	0	0
00816	002	0	0	0	0	0	0
00816	003	0	0	0	0	0	0
00816	004	0	0	0	0	0	0
00817	001	0	0	0	0	0	0
00817	002	0	0	0	0	0	0
00817	003	0	0	0	0	0	0
00817	004	0	0	0	0	0	0
00818	001	0	0	0	0	0	0
00818	002	0	0	0	0	0	0
00818	003	0	0	0	0	0	0
00818	004	0	0	0	0	0	0
00819	001	0	0	0	0	0	0
00819	002	0	0	0	0	0	0
00819	003	0	0	0	0	0	0
00819	004	0	0	0	0	0	0
00820	001	0	0	0	0	0	0
00820	002	0	0	0	0	0	0
00820	003	0	0	0	0	0	0
00820	004	0	0	0	0	0	0
00821	001	0	0	0	0	0	0
00821	002	0	0	0	0	0	0
00821	003	0	0	0	0	0	0
00821	004	0	0	0	0	0	0
00822	001	0	0	0	0	0	0
00822	002	0	0	0	0	0	0
00822	003	0	0	0	0	0	0
00822	004	0	0	0	0	0	0
00823	001	0	0	0	0	0	0
00823	002	0	0	0	0	0	0
00823	003	0	0	0	0	0	0
00823	004	0	0	0	0	0	0
00824	001	0	0	0	0	0	0

Comm.: C20-025-S05

Il presente documento è di proprietà della ANTEX GROUP srl.  
È vietato la comunicazione a terzi o la riproduzione senza il permesso scritto della suddetta.  
La società tutela i propri diritti a rigore di Legge.





PARCO EOLICO DI "BUDDUSO"

RELAZIONE DI CALCOLO E TABULATI OPERE EDILI  
SSEU



Ingegneria & Innovazione

30/06/2023

REV: 2

Pag. 189

Nodi - Reazioni vincolari esterne per tipologie di carico non sismiche

IdNd	CC	F <sub>x</sub>	F <sub>y</sub>	F <sub>z</sub>	M <sub>x</sub>	M <sub>y</sub>	M <sub>z</sub>
		[N]	[N]	[N]	[N-m]	[N-m]	[N-m]
00824	002	0	0	0	0	0	0
00824	003	0	0	0	0	0	0
00824	004	0	0	0	0	0	0
00825	001	0	0	0	0	0	0
00825	002	0	0	0	0	0	0
00825	003	0	0	0	0	0	0
00825	004	0	0	0	0	0	0
00826	001	0	0	0	0	0	0
00826	002	0	0	0	0	0	0
00826	003	0	0	0	0	0	0
00826	004	0	0	0	0	0	0
00827	001	0	0	0	0	0	0
00827	002	0	0	0	0	0	0
00827	003	0	0	0	0	0	0
00827	004	0	0	0	0	0	0
00828	001	0	0	0	0	0	0
00828	002	0	0	0	0	0	0
00828	003	0	0	0	0	0	0
00828	004	0	0	0	0	0	0
00829	001	0	0	0	0	0	0
00829	002	0	0	0	0	0	0
00829	003	0	0	0	0	0	0
00829	004	0	0	0	0	0	0
00830	001	0	0	0	0	0	0
00830	002	0	0	0	0	0	0
00830	003	0	0	0	0	0	0
00830	004	0	0	0	0	0	0
00831	001	0	0	0	0	0	0
00831	002	0	0	0	0	0	0
00831	003	0	0	0	0	0	0
00831	004	0	0	0	0	0	0
00832	001	0	0	0	0	0	0
00832	002	0	0	0	0	0	0
00832	003	0	0	0	0	0	0
00832	004	0	0	0	0	0	0
00833	001	0	0	0	0	0	0
00833	002	0	0	0	0	0	0
00833	003	0	0	0	0	0	0
00833	004	0	0	0	0	0	0
00834	001	0	0	0	0	0	0
00834	002	0	0	0	0	0	0
00834	003	0	0	0	0	0	0
00834	004	0	0	0	0	0	0
00835	001	0	0	0	0	0	0
00835	002	0	0	0	0	0	0
00835	003	0	0	0	0	0	0
00835	004	0	0	0	0	0	0
00836	001	0	0	0	0	0	0
00836	002	0	0	0	0	0	0
00836	003	0	0	0	0	0	0
00836	004	0	0	0	0	0	0
00837	001	0	0	0	0	0	0
00837	002	0	0	0	0	0	0
00837	003	0	0	0	0	0	0
00837	004	0	0	0	0	0	0
00838	001	0	0	0	0	0	0
00838	002	0	0	0	0	0	0
00838	003	0	0	0	0	0	0
00838	004	0	0	0	0	0	0
00839	001	0	0	0	0	0	0
00839	002	0	0	0	0	0	0
00839	003	0	0	0	0	0	0
00839	004	0	0	0	0	0	0
00840	001	0	0	0	0	0	0
00840	002	0	0	0	0	0	0
00840	003	0	0	0	0	0	0

Comm.: C20-025-S05

Il presente documento è di proprietà della ANTEX GROUP srl.  
È vietato la comunicazione a terzi o la riproduzione senza il permesso scritto della suddetta.  
La società tutela i propri diritti a rigore di Legge.





PARCO EOLICO DI "BUDDUSO"

RELAZIONE DI CALCOLO E TABULATI OPERE EDILI  
SSEU



Ingegneria & Innovazione

30/06/2023

REV: 2

Pag. 190

Nodi - Reazioni vincolari esterne per tipologie di carico non sismiche

IdNd	CC	F <sub>x</sub>	F <sub>y</sub>	F <sub>z</sub>	M <sub>x</sub>	M <sub>y</sub>	M <sub>z</sub>
		[N]	[N]	[N]	[N-m]	[N-m]	[N-m]
00840	004	0	0	0	0	0	0
00841	001	0	0	0	0	0	0
00841	002	0	0	0	0	0	0
00841	003	0	0	0	0	0	0
00841	004	0	0	0	0	0	0
00842	001	0	0	0	0	0	0
00842	002	0	0	0	0	0	0
00842	003	0	0	0	0	0	0
00842	004	0	0	0	0	0	0
00843	001	0	0	0	0	0	0
00843	002	0	0	0	0	0	0
00843	003	0	0	0	0	0	0
00843	004	0	0	0	0	0	0
00844	001	0	0	0	0	0	0
00844	002	0	0	0	0	0	0
00844	003	0	0	0	0	0	0
00844	004	0	0	0	0	0	0
00845	001	0	0	0	0	0	0
00845	002	0	0	0	0	0	0
00845	003	0	0	0	0	0	0
00845	004	0	0	0	0	0	0
00846	001	0	0	0	0	0	0
00846	002	0	0	0	0	0	0
00846	003	0	0	0	0	0	0
00846	004	0	0	0	0	0	0
00847	001	0	0	0	0	0	0
00847	002	0	0	0	0	0	0
00847	003	0	0	0	0	0	0
00847	004	0	0	0	0	0	0
00848	001	0	0	0	0	0	0
00848	002	0	0	0	0	0	0
00848	003	0	0	0	0	0	0
00848	004	0	0	0	0	0	0
00849	001	0	0	0	0	0	0
00849	002	0	0	0	0	0	0
00849	003	0	0	0	0	0	0
00849	004	0	0	0	0	0	0
00850	001	0	0	0	0	0	0
00850	002	0	0	0	0	0	0
00850	003	0	0	0	0	0	0
00850	004	0	0	0	0	0	0
00851	001	0	0	0	0	0	0
00851	002	0	0	0	0	0	0
00851	003	0	0	0	0	0	0
00851	004	0	0	0	0	0	0
00852	001	0	0	0	0	0	0
00852	002	0	0	0	0	0	0
00852	003	0	0	0	0	0	0
00852	004	0	0	0	0	0	0
00853	001	0	0	0	0	0	0
00853	002	0	0	0	0	0	0
00853	003	0	0	0	0	0	0
00853	004	0	0	0	0	0	0
00854	001	0	0	0	0	0	0
00854	002	0	0	0	0	0	0
00854	003	0	0	0	0	0	0
00854	004	0	0	0	0	0	0
00855	001	0	0	0	0	0	0
00855	002	0	0	0	0	0	0
00855	003	0	0	0	0	0	0
00855	004	0	0	0	0	0	0
00856	001	0	0	0	0	0	0
00856	002	0	0	0	0	0	0
00856	003	0	0	0	0	0	0
00856	004	0	0	0	0	0	0
00857	001	0	0	0	0	0	0

Comm.: C20-025-S05

Il presente documento è di proprietà della ANTEX GROUP srl.  
È vietato la comunicazione a terzi o la riproduzione senza il permesso scritto della suddetta.  
La società tutela i propri diritti a rigore di Legge.





PARCO EOLICO DI "BUDDUSO"

RELAZIONE DI CALCOLO E TABULATI OPERE EDILI  
SSEU



Ingegneria & Innovazione

30/06/2023

REV: 2

Pag. 191

Nodi - Reazioni vincolari esterne per tipologie di carico non sismiche

IdNd	CC	F <sub>x</sub>	F <sub>y</sub>	F <sub>z</sub>	M <sub>x</sub>	M <sub>y</sub>	M <sub>z</sub>
		[N]	[N]	[N]	[N-m]	[N-m]	[N-m]
00857	002	0	0	0	0	0	0
00857	003	0	0	0	0	0	0
00857	004	0	0	0	0	0	0
00858	001	0	0	0	0	0	0
00858	002	0	0	0	0	0	0
00858	003	0	0	0	0	0	0
00858	004	0	0	0	0	0	0
00859	001	0	0	0	0	0	0
00859	002	0	0	0	0	0	0
00859	003	0	0	0	0	0	0
00859	004	0	0	0	0	0	0
00860	001	0	0	0	0	0	0
00860	002	0	0	0	0	0	0
00860	003	0	0	0	0	0	0
00860	004	0	0	0	0	0	0
00861	001	0	0	0	0	0	0
00861	002	0	0	0	0	0	0
00861	003	0	0	0	0	0	0
00861	004	0	0	0	0	0	0
00862	001	0	0	0	0	0	0
00862	002	0	0	0	0	0	0
00862	003	0	0	0	0	0	0
00862	004	0	0	0	0	0	0
00863	001	0	0	0	0	0	0
00863	002	0	0	0	0	0	0
00863	003	0	0	0	0	0	0
00863	004	0	0	0	0	0	0
00864	001	0	0	0	0	0	0
00864	002	0	0	0	0	0	0
00864	003	0	0	0	0	0	0
00864	004	0	0	0	0	0	0
00865	001	0	0	0	0	0	0
00865	002	0	0	0	0	0	0
00865	003	0	0	0	0	0	0
00865	004	0	0	0	0	0	0
00866	001	0	0	0	0	0	0
00866	002	0	0	0	0	0	0
00866	003	0	0	0	0	0	0
00866	004	0	0	0	0	0	0
00867	001	0	0	0	0	0	0
00867	002	0	0	0	0	0	0
00867	003	0	0	0	0	0	0
00867	004	0	0	0	0	0	0
00868	001	0	0	0	0	0	0
00868	002	0	0	0	0	0	0
00868	003	0	0	0	0	0	0
00868	004	0	0	0	0	0	0
00869	001	0	0	0	0	0	0
00869	002	0	0	0	0	0	0
00869	003	0	0	0	0	0	0
00869	004	0	0	0	0	0	0
00870	001	0	0	0	0	0	0
00870	002	0	0	0	0	0	0
00870	003	0	0	0	0	0	0
00870	004	0	0	0	0	0	0
00871	001	0	0	0	0	0	0
00871	002	0	0	0	0	0	0
00871	003	0	0	0	0	0	0
00871	004	0	0	0	0	0	0
00872	001	0	0	0	0	0	0
00872	002	0	0	0	0	0	0
00872	003	0	0	0	0	0	0
00872	004	0	0	0	0	0	0
00873	001	0	0	0	0	0	0
00873	002	0	0	0	0	0	0
00873	003	0	0	0	0	0	0

Comm.: C20-025-S05

Il presente documento è di proprietà della ANTEX GROUP srl.  
È vietato la comunicazione a terzi o la riproduzione senza il permesso scritto della suddetta.  
La società tutela i propri diritti a rigore di Legge.





PARCO EOLICO DI "BUDDUSO"

RELAZIONE DI CALCOLO E TABULATI OPERE EDILI  
SSEU



Ingegneria & Innovazione

30/06/2023

REV: 2

Pag. 192

Nodi - Reazioni vincolari esterne per tipologie di carico non sismiche

IdNd	CC	F <sub>x</sub>	F <sub>y</sub>	F <sub>z</sub>	M <sub>x</sub>	M <sub>y</sub>	M <sub>z</sub>
		[N]	[N]	[N]	[N-m]	[N-m]	[N-m]
00873	004	0	0	0	0	0	0
00874	001	0	0	0	0	0	0
00874	002	0	0	0	0	0	0
00874	003	0	0	0	0	0	0
00874	004	0	0	0	0	0	0
00875	001	0	0	0	0	0	0
00875	002	0	0	0	0	0	0
00875	003	0	0	0	0	0	0
00875	004	0	0	0	0	0	0
00876	001	0	0	0	0	0	0
00876	002	0	0	0	0	0	0
00876	003	0	0	0	0	0	0
00876	004	0	0	0	0	0	0
00877	001	0	0	0	0	0	0
00877	002	0	0	0	0	0	0
00877	003	0	0	0	0	0	0
00877	004	0	0	0	0	0	0
00878	001	0	0	0	0	0	0
00878	002	0	0	0	0	0	0
00878	003	0	0	0	0	0	0
00878	004	0	0	0	0	0	0
00879	001	0	0	0	0	0	0
00879	002	0	0	0	0	0	0
00879	003	0	0	0	0	0	0
00879	004	0	0	0	0	0	0
00880	001	0	0	0	0	0	0
00880	002	0	0	0	0	0	0
00880	003	0	0	0	0	0	0
00880	004	0	0	0	0	0	0
00881	001	0	0	0	0	0	0
00881	002	0	0	0	0	0	0
00881	003	0	0	0	0	0	0
00881	004	0	0	0	0	0	0
00882	001	0	0	0	0	0	0
00882	002	0	0	0	0	0	0
00882	003	0	0	0	0	0	0
00882	004	0	0	0	0	0	0
00883	001	0	0	0	0	0	0
00883	002	0	0	0	0	0	0
00883	003	0	0	0	0	0	0
00883	004	0	0	0	0	0	0
00884	001	0	0	0	0	0	0
00884	002	0	0	0	0	0	0
00884	003	0	0	0	0	0	0
00884	004	0	0	0	0	0	0
00885	001	0	0	0	0	0	0
00885	002	0	0	0	0	0	0
00885	003	0	0	0	0	0	0
00885	004	0	0	0	0	0	0
00886	001	0	0	0	0	0	0
00886	002	0	0	0	0	0	0
00886	003	0	0	0	0	0	0
00886	004	0	0	0	0	0	0
00887	001	0	0	0	0	0	0
00887	002	0	0	0	0	0	0
00887	003	0	0	0	0	0	0
00887	004	0	0	0	0	0	0
00888	001	0	0	0	0	0	0
00888	002	0	0	0	0	0	0
00888	003	0	0	0	0	0	0
00888	004	0	0	0	0	0	0
00889	001	0	0	0	0	0	0
00889	002	0	0	0	0	0	0
00889	003	0	0	0	0	0	0
00889	004	0	0	0	0	0	0
00890	001	0	0	0	0	0	0

Comm.: C20-025-S05

Il presente documento è di proprietà della ANTEX GROUP srl.  
È vietato la comunicazione a terzi o la riproduzione senza il permesso scritto della suddetta.  
La società tutela i propri diritti a rigore di Legge.







PARCO EOLICO DI "BUDDUSO"

RELAZIONE DI CALCOLO E TABULATI OPERE EDILI  
SSEU



Ingegneria & Innovazione

30/06/2023

REV: 2

Pag. 193

Nodi - Reazioni vincolari esterne per tipologie di carico non sismiche

IdNd	CC	F <sub>x</sub>	F <sub>y</sub>	F <sub>z</sub>	M <sub>x</sub>	M <sub>y</sub>	M <sub>z</sub>
		[N]	[N]	[N]	[N-m]	[N-m]	[N-m]
00890	002	0	0	0	0	0	0
00890	003	0	0	0	0	0	0
00890	004	0	0	0	0	0	0
00891	001	0	0	0	0	0	0
00891	002	0	0	0	0	0	0
00891	003	0	0	0	0	0	0
00891	004	0	0	0	0	0	0
00892	001	0	0	0	0	0	0
00892	002	0	0	0	0	0	0
00892	003	0	0	0	0	0	0
00892	004	0	0	0	0	0	0
00893	001	0	0	0	0	0	0
00893	002	0	0	0	0	0	0
00893	003	0	0	0	0	0	0
00893	004	0	0	0	0	0	0
00894	001	0	0	0	0	0	0
00894	002	0	0	0	0	0	0
00894	003	0	0	0	0	0	0
00894	004	0	0	0	0	0	0
00895	001	0	0	0	0	0	0
00895	002	0	0	0	0	0	0
00895	003	0	0	0	0	0	0
00895	004	0	0	0	0	0	0
00896	001	0	0	0	0	0	0
00896	002	0	0	0	0	0	0
00896	003	0	0	0	0	0	0
00896	004	0	0	0	0	0	0
00897	001	0	0	0	0	0	0
00897	002	0	0	0	0	0	0
00897	003	0	0	0	0	0	0
00897	004	0	0	0	0	0	0
00898	001	0	0	0	0	0	0
00898	002	0	0	0	0	0	0
00898	003	0	0	0	0	0	0
00898	004	0	0	0	0	0	0
00899	001	0	0	0	0	0	0
00899	002	0	0	0	0	0	0
00899	003	0	0	0	0	0	0
00899	004	0	0	0	0	0	0
00900	001	0	0	0	0	0	0
00900	002	0	0	0	0	0	0
00900	003	0	0	0	0	0	0
00900	004	0	0	0	0	0	0
00901	001	0	0	0	0	0	0
00901	002	0	0	0	0	0	0
00901	003	0	0	0	0	0	0
00901	004	0	0	0	0	0	0
00902	001	0	0	0	0	0	0
00902	002	0	0	0	0	0	0
00902	003	0	0	0	0	0	0
00902	004	0	0	0	0	0	0
00903	001	0	0	0	0	0	0
00903	002	0	0	0	0	0	0
00903	003	0	0	0	0	0	0
00903	004	0	0	0	0	0	0
00904	001	0	0	0	0	0	0
00904	002	0	0	0	0	0	0
00904	003	0	0	0	0	0	0
00904	004	0	0	0	0	0	0
00905	001	0	0	0	0	0	0
00905	002	0	0	0	0	0	0
00905	003	0	0	0	0	0	0
00905	004	0	0	0	0	0	0
00906	001	0	0	0	0	0	0
00906	002	0	0	0	0	0	0
00906	003	0	0	0	0	0	0

Comm.: C20-025-S05

Il presente documento è di proprietà della ANTEX GROUP srl.  
È vietato la comunicazione a terzi o la riproduzione senza il permesso scritto della suddetta.  
La società tutela i propri diritti a rigore di Legge.





PARCO EOLICO DI "BUDDUSO"

RELAZIONE DI CALCOLO E TABULATI OPERE EDILI  
SSEU



Ingegneria & Innovazione

30/06/2023

REV: 2

Pag. 194

Nodi - Reazioni vincolari esterne per tipologie di carico non sismiche

IdNd	CC	F <sub>x</sub>	F <sub>y</sub>	F <sub>z</sub>	M <sub>x</sub>	M <sub>y</sub>	M <sub>z</sub>
		[N]	[N]	[N]	[N-m]	[N-m]	[N-m]
00906	004	0	0	0	0	0	0
00907	001	0	0	0	0	0	0
00907	002	0	0	0	0	0	0
00907	003	0	0	0	0	0	0
00907	004	0	0	0	0	0	0
00908	001	0	0	0	0	0	0
00908	002	0	0	0	0	0	0
00908	003	0	0	0	0	0	0
00908	004	0	0	0	0	0	0
00909	001	0	0	0	0	0	0
00909	002	0	0	0	0	0	0
00909	003	0	0	0	0	0	0
00909	004	0	0	0	0	0	0
00910	001	0	0	0	0	0	0
00910	002	0	0	0	0	0	0
00910	003	0	0	0	0	0	0
00910	004	0	0	0	0	0	0
00911	001	0	0	0	0	0	0
00911	002	0	0	0	0	0	0
00911	003	0	0	0	0	0	0
00911	004	0	0	0	0	0	0
00912	001	0	0	0	0	0	0
00912	002	0	0	0	0	0	0
00912	003	0	0	0	0	0	0
00912	004	0	0	0	0	0	0
00913	001	0	0	0	0	0	0
00913	002	0	0	0	0	0	0
00913	003	0	0	0	0	0	0
00913	004	0	0	0	0	0	0
00914	001	0	0	0	0	0	0
00914	002	0	0	0	0	0	0
00914	003	0	0	0	0	0	0
00914	004	0	0	0	0	0	0
00915	001	0	0	0	0	0	0
00915	002	0	0	0	0	0	0
00915	003	0	0	0	0	0	0
00915	004	0	0	0	0	0	0
00916	001	0	0	0	0	0	0
00916	002	0	0	0	0	0	0
00916	003	0	0	0	0	0	0
00916	004	0	0	0	0	0	0
00917	001	0	0	0	0	0	0
00917	002	0	0	0	0	0	0
00917	003	0	0	0	0	0	0
00917	004	0	0	0	0	0	0
00918	001	0	0	0	0	0	0
00918	002	0	0	0	0	0	0
00918	003	0	0	0	0	0	0
00918	004	0	0	0	0	0	0
00919	001	0	0	0	0	0	0
00919	002	0	0	0	0	0	0
00919	003	0	0	0	0	0	0
00919	004	0	0	0	0	0	0
00920	001	0	0	0	0	0	0
00920	002	0	0	0	0	0	0
00920	003	0	0	0	0	0	0
00920	004	0	0	0	0	0	0
00921	001	0	0	0	0	0	0
00921	002	0	0	0	0	0	0
00921	003	0	0	0	0	0	0
00921	004	0	0	0	0	0	0
00922	001	0	0	0	0	0	0
00922	002	0	0	0	0	0	0
00922	003	0	0	0	0	0	0
00922	004	0	0	0	0	0	0
00923	001	0	0	0	0	0	0

Comm.: C20-025-S05

Il presente documento è di proprietà della ANTEX GROUP srl.  
È vietato la comunicazione a terzi o la riproduzione senza il permesso scritto della suddetta.  
La società tutela i propri diritti a rigore di Legge.





PARCO EOLICO DI "BUDDUSO"

RELAZIONE DI CALCOLO E TABULATI OPERE EDILI  
SSEU



Ingegneria & Innovazione

30/06/2023

REV: 2

Pag. 195

Nodi - Reazioni vincolari esterne per tipologie di carico non sismiche

IdNd	CC	F <sub>x</sub>	F <sub>y</sub>	F <sub>z</sub>	M <sub>x</sub>	M <sub>y</sub>	M <sub>z</sub>
		[N]	[N]	[N]	[N-m]	[N-m]	[N-m]
00923	002	0	0	0	0	0	0
00923	003	0	0	0	0	0	0
00923	004	0	0	0	0	0	0
00924	001	0	0	0	0	0	0
00924	002	0	0	0	0	0	0
00924	003	0	0	0	0	0	0
00924	004	0	0	0	0	0	0
00925	001	0	0	0	0	0	0
00925	002	0	0	0	0	0	0
00925	003	0	0	0	0	0	0
00925	004	0	0	0	0	0	0
00926	001	0	0	0	0	0	0
00926	002	0	0	0	0	0	0
00926	003	0	0	0	0	0	0
00926	004	0	0	0	0	0	0
00927	001	0	0	0	0	0	0
00927	002	0	0	0	0	0	0
00927	003	0	0	0	0	0	0
00927	004	0	0	0	0	0	0
00928	001	0	0	0	0	0	0
00928	002	0	0	0	0	0	0
00928	003	0	0	0	0	0	0
00928	004	0	0	0	0	0	0
00929	001	0	0	0	0	0	0
00929	002	0	0	0	0	0	0
00929	003	0	0	0	0	0	0
00929	004	0	0	0	0	0	0
00930	001	0	0	0	0	0	0
00930	002	0	0	0	0	0	0
00930	003	0	0	0	0	0	0
00930	004	0	0	0	0	0	0
00931	001	0	0	0	0	0	0
00931	002	0	0	0	0	0	0
00931	003	0	0	0	0	0	0
00931	004	0	0	0	0	0	0
00932	001	0	0	0	0	0	0
00932	002	0	0	0	0	0	0
00932	003	0	0	0	0	0	0
00932	004	0	0	0	0	0	0
00933	001	0	0	0	0	0	0
00933	002	0	0	0	0	0	0
00933	003	0	0	0	0	0	0
00933	004	0	0	0	0	0	0
00934	001	0	0	0	0	0	0
00934	002	0	0	0	0	0	0
00934	003	0	0	0	0	0	0
00934	004	0	0	0	0	0	0
00935	001	0	0	0	0	0	0
00935	002	0	0	0	0	0	0
00935	003	0	0	0	0	0	0
00935	004	0	0	0	0	0	0
00936	001	0	0	0	0	0	0
00936	002	0	0	0	0	0	0
00936	003	0	0	0	0	0	0
00936	004	0	0	0	0	0	0
00937	001	0	0	0	0	0	0
00937	002	0	0	0	0	0	0
00937	003	0	0	0	0	0	0
00937	004	0	0	0	0	0	0
00938	001	0	0	0	0	0	0
00938	002	0	0	0	0	0	0
00938	003	0	0	0	0	0	0
00938	004	0	0	0	0	0	0
00939	001	0	0	0	0	0	0
00939	002	0	0	0	0	0	0
00939	003	0	0	0	0	0	0

Comm.: C20-025-S05

Il presente documento è di proprietà della ANTEX GROUP srl.  
È vietato la comunicazione a terzi o la riproduzione senza il permesso scritto della suddetta.  
La società tutela i propri diritti a rigore di Legge.





PARCO EOLICO DI "BUDDUSO"

RELAZIONE DI CALCOLO E TABULATI OPERE EDILI  
SSEU



Ingegneria & Innovazione

30/06/2023

REV: 2

Pag. 196

Nodi - Reazioni vincolari esterne per tipologie di carico non sismiche

IdNd	CC	F <sub>x</sub>	F <sub>y</sub>	F <sub>z</sub>	M <sub>x</sub>	M <sub>y</sub>	M <sub>z</sub>
		[N]	[N]	[N]	[N-m]	[N-m]	[N-m]
00939	004	0	0	0	0	0	0
00940	001	0	0	0	0	0	0
00940	002	0	0	0	0	0	0
00940	003	0	0	0	0	0	0
00940	004	0	0	0	0	0	0
00941	001	0	0	0	0	0	0
00941	002	0	0	0	0	0	0
00941	003	0	0	0	0	0	0
00941	004	0	0	0	0	0	0
00942	001	0	0	0	0	0	0
00942	002	0	0	0	0	0	0
00942	003	0	0	0	0	0	0
00942	004	0	0	0	0	0	0
00943	001	0	0	0	0	0	0
00943	002	0	0	0	0	0	0
00943	003	0	0	0	0	0	0
00943	004	0	0	0	0	0	0
00944	001	0	0	0	0	0	0
00944	002	0	0	0	0	0	0
00944	003	0	0	0	0	0	0
00944	004	0	0	0	0	0	0
00945	001	0	0	0	0	0	0
00945	002	0	0	0	0	0	0
00945	003	0	0	0	0	0	0
00945	004	0	0	0	0	0	0
00946	001	0	0	0	0	0	0
00946	002	0	0	0	0	0	0
00946	003	0	0	0	0	0	0
00946	004	0	0	0	0	0	0
00947	001	0	0	0	0	0	0
00947	002	0	0	0	0	0	0
00947	003	0	0	0	0	0	0
00947	004	0	0	0	0	0	0
00948	001	0	0	0	0	0	0
00948	002	0	0	0	0	0	0
00948	003	0	0	0	0	0	0
00948	004	0	0	0	0	0	0
00949	001	0	0	0	0	0	0
00949	002	0	0	0	0	0	0
00949	003	0	0	0	0	0	0
00949	004	0	0	0	0	0	0
00950	001	0	0	0	0	0	0
00950	002	0	0	0	0	0	0
00950	003	0	0	0	0	0	0
00950	004	0	0	0	0	0	0
00951	001	0	0	0	0	0	0
00951	002	0	0	0	0	0	0
00951	003	0	0	0	0	0	0
00951	004	0	0	0	0	0	0
00952	001	0	0	0	0	0	0
00952	002	0	0	0	0	0	0
00952	003	0	0	0	0	0	0
00952	004	0	0	0	0	0	0
00953	001	0	0	0	0	0	0
00953	002	0	0	0	0	0	0
00953	003	0	0	0	0	0	0
00953	004	0	0	0	0	0	0
00954	001	0	0	0	0	0	0
00954	002	0	0	0	0	0	0
00954	003	0	0	0	0	0	0
00954	004	0	0	0	0	0	0
00955	001	0	0	0	0	0	0
00955	002	0	0	0	0	0	0
00955	003	0	0	0	0	0	0
00955	004	0	0	0	0	0	0
00956	001	0	0	0	0	0	0

Comm.: C20-025-S05

Il presente documento è di proprietà della ANTEX GROUP srl.  
È vietato la comunicazione a terzi o la riproduzione senza il permesso scritto della suddetta.  
La società tutela i propri diritti a rigore di Legge.





PARCO EOLICO DI "BUDDUSO"

RELAZIONE DI CALCOLO E TABULATI OPERE EDILI  
SSEU



Ingegneria & Innovazione

30/06/2023

REV: 2

Pag. 197

Nodi - Reazioni vincolari esterne per tipologie di carico non sismiche

IdNd	CC	F <sub>x</sub>	F <sub>y</sub>	F <sub>z</sub>	M <sub>x</sub>	M <sub>y</sub>	M <sub>z</sub>
		[N]	[N]	[N]	[N-m]	[N-m]	[N-m]
00956	002	0	0	0	0	0	0
00956	003	0	0	0	0	0	0
00956	004	0	0	0	0	0	0
00957	001	0	0	0	0	0	0
00957	002	0	0	0	0	0	0
00957	003	0	0	0	0	0	0
00957	004	0	0	0	0	0	0
00958	001	0	0	0	0	0	0
00958	002	0	0	0	0	0	0
00958	003	0	0	0	0	0	0
00958	004	0	0	0	0	0	0
00959	001	0	0	0	0	0	0
00959	002	0	0	0	0	0	0
00959	003	0	0	0	0	0	0
00959	004	0	0	0	0	0	0
00960	001	0	0	0	0	0	0
00960	002	0	0	0	0	0	0
00960	003	0	0	0	0	0	0
00960	004	0	0	0	0	0	0
00961	001	0	0	0	0	0	0
00961	002	0	0	0	0	0	0
00961	003	0	0	0	0	0	0
00961	004	0	0	0	0	0	0
00962	001	0	0	0	0	0	0
00962	002	0	0	0	0	0	0
00962	003	0	0	0	0	0	0
00962	004	0	0	0	0	0	0
00963	001	0	0	0	0	0	0
00963	002	0	0	0	0	0	0
00963	003	0	0	0	0	0	0
00963	004	0	0	0	0	0	0
00964	001	0	0	0	0	0	0
00964	002	0	0	0	0	0	0
00964	003	0	0	0	0	0	0
00964	004	0	0	0	0	0	0
00965	001	0	0	0	0	0	0
00965	002	0	0	0	0	0	0
00965	003	0	0	0	0	0	0
00965	004	0	0	0	0	0	0
00966	001	0	0	0	0	0	0
00966	002	0	0	0	0	0	0
00966	003	0	0	0	0	0	0
00966	004	0	0	0	0	0	0
00967	001	0	0	0	0	0	0
00967	002	0	0	0	0	0	0
00967	003	0	0	0	0	0	0
00967	004	0	0	0	0	0	0
00968	001	0	0	0	0	0	0
00968	002	0	0	0	0	0	0
00968	003	0	0	0	0	0	0
00968	004	0	0	0	0	0	0
00969	001	0	0	0	0	0	0
00969	002	0	0	0	0	0	0
00969	003	0	0	0	0	0	0
00969	004	0	0	0	0	0	0
00970	001	0	0	0	0	0	0
00970	002	0	0	0	0	0	0
00970	003	0	0	0	0	0	0
00970	004	0	0	0	0	0	0
00971	001	0	0	0	0	0	0
00971	002	0	0	0	0	0	0
00971	003	0	0	0	0	0	0
00971	004	0	0	0	0	0	0
00972	001	0	0	0	0	0	0
00972	002	0	0	0	0	0	0
00972	003	0	0	0	0	0	0

Comm.: C20-025-S05

Il presente documento è di proprietà della ANTEX GROUP srl.  
È vietato la comunicazione a terzi o la riproduzione senza il permesso scritto della suddetta.  
La società tutela i propri diritti a rigore di Legge.





PARCO EOLICO DI "BUDDUSO"

RELAZIONE DI CALCOLO E TABULATI OPERE EDILI SSEU



Ingegneria & Innovazione

30/06/2023

REV: 2

Pag. 198

Nodi - Reazioni vincolari esterne per tipologie di carico non sismiche

IdNd	CC	F <sub>x</sub>	F <sub>y</sub>	F <sub>z</sub>	M <sub>x</sub>	M <sub>y</sub>	M <sub>z</sub>
		[N]	[N]	[N]	[N-m]	[N-m]	[N-m]
00972	004	0	0	0	0	0	0
00973	001	0	0	0	0	0	0
00973	002	0	0	0	0	0	0
00973	003	0	0	0	0	0	0
00973	004	0	0	0	0	0	0
00974	001	0	0	0	0	0	0
00974	002	0	0	0	0	0	0
00974	003	0	0	0	0	0	0
00974	004	0	0	0	0	0	0
00975	001	0	0	0	0	0	0
00975	002	0	0	0	0	0	0
00975	003	0	0	0	0	0	0
00975	004	0	0	0	0	0	0
00976	001	0	0	0	0	0	0
00976	002	0	0	0	0	0	0
00976	003	0	0	0	0	0	0
00976	004	0	0	0	0	0	0
00977	001	0	0	0	0	0	0
00977	002	0	0	0	0	0	0
00977	003	0	0	0	0	0	0
00977	004	0	0	0	0	0	0
00978	001	0	0	0	0	0	0
00978	002	0	0	0	0	0	0
00978	003	0	0	0	0	0	0
00978	004	0	0	0	0	0	0
00979	001	0	0	0	0	0	0
00979	002	0	0	0	0	0	0
00979	003	0	0	0	0	0	0
00979	004	0	0	0	0	0	0
00980	001	0	0	0	0	0	0
00980	002	0	0	0	0	0	0
00980	003	0	0	0	0	0	0
00980	004	0	0	0	0	0	0
00981	001	0	0	0	0	0	0
00981	002	0	0	0	0	0	0
00981	003	0	0	0	0	0	0
00981	004	0	0	0	0	0	0
00982	001	0	0	0	0	0	0
00982	002	0	0	0	0	0	0
00982	003	0	0	0	0	0	0
00982	004	0	0	0	0	0	0
00983	001	0	0	0	0	0	0
00983	002	0	0	0	0	0	0
00983	003	0	0	0	0	0	0
00983	004	0	0	0	0	0	0
00984	001	0	0	0	0	0	0
00984	002	0	0	0	0	0	0
00984	003	0	0	0	0	0	0
00984	004	0	0	0	0	0	0
00985	001	0	0	0	0	0	0
00985	002	0	0	0	0	0	0
00985	003	0	0	0	0	0	0
00985	004	0	0	0	0	0	0
00986	001	0	0	0	0	0	0
00986	002	0	0	0	0	0	0
00986	003	0	0	0	0	0	0
00986	004	0	0	0	0	0	0
00987	001	0	0	0	0	0	0
00987	002	0	0	0	0	0	0
00987	003	0	0	0	0	0	0
00987	004	0	0	0	0	0	0
00988	001	0	0	0	0	0	0
00988	002	0	0	0	0	0	0
00988	003	0	0	0	0	0	0
00988	004	0	0	0	0	0	0
00989	001	0	0	0	0	0	0

Comm.: C20-025-S05

Il presente documento è di proprietà della ANTEX GROUP srl. È vietato la comunicazione a terzi o la riproduzione senza il permesso scritto della suddetta. La società tutela i propri diritti a rigore di Legge.





PARCO EOLICO DI "BUDDUSO"

RELAZIONE DI CALCOLO E TABULATI OPERE EDILI  
SSEU



Ingegneria & Innovazione

30/06/2023

REV: 2

Pag. 199

Nodi - Reazioni vincolari esterne per tipologie di carico non sismiche

IdNd	CC	F <sub>x</sub>	F <sub>y</sub>	F <sub>z</sub>	M <sub>x</sub>	M <sub>y</sub>	M <sub>z</sub>
		[N]	[N]	[N]	[N-m]	[N-m]	[N-m]
00989	002	0	0	0	0	0	0
00989	003	0	0	0	0	0	0
00989	004	0	0	0	0	0	0
00990	001	0	0	0	0	0	0
00990	002	0	0	0	0	0	0
00990	003	0	0	0	0	0	0
00990	004	0	0	0	0	0	0
00991	001	0	0	0	0	0	0
00991	002	0	0	0	0	0	0
00991	003	0	0	0	0	0	0
00991	004	0	0	0	0	0	0
00992	001	0	0	0	0	0	0
00992	002	0	0	0	0	0	0
00992	003	0	0	0	0	0	0
00992	004	0	0	0	0	0	0
00993	001	0	0	0	0	0	0
00993	002	0	0	0	0	0	0
00993	003	0	0	0	0	0	0
00993	004	0	0	0	0	0	0
00994	001	0	0	0	0	0	0
00994	002	0	0	0	0	0	0
00994	003	0	0	0	0	0	0
00994	004	0	0	0	0	0	0
00995	001	0	0	0	0	0	0
00995	002	0	0	0	0	0	0
00995	003	0	0	0	0	0	0
00995	004	0	0	0	0	0	0
00996	001	0	0	0	0	0	0
00996	002	0	0	0	0	0	0
00996	003	0	0	0	0	0	0
00996	004	0	0	0	0	0	0
00997	001	0	0	0	0	0	0
00997	002	0	0	0	0	0	0
00997	003	0	0	0	0	0	0
00997	004	0	0	0	0	0	0
00998	001	0	0	0	0	0	0
00998	002	0	0	0	0	0	0
00998	003	0	0	0	0	0	0
00998	004	0	0	0	0	0	0
00999	001	0	0	0	0	0	0
00999	002	0	0	0	0	0	0
00999	003	0	0	0	0	0	0
00999	004	0	0	0	0	0	0
01000	001	0	0	0	0	0	0
01000	002	0	0	0	0	0	0
01000	003	0	0	0	0	0	0
01000	004	0	0	0	0	0	0
01001	001	0	0	0	0	0	0
01001	002	0	0	0	0	0	0
01001	003	0	0	0	0	0	0
01001	004	0	0	0	0	0	0
01002	001	0	0	0	0	0	0
01002	002	0	0	0	0	0	0
01002	003	0	0	0	0	0	0
01002	004	0	0	0	0	0	0
01003	001	0	0	0	0	0	0
01003	002	0	0	0	0	0	0
01003	003	0	0	0	0	0	0
01003	004	0	0	0	0	0	0
01004	001	0	0	0	0	0	0
01004	002	0	0	0	0	0	0
01004	003	0	0	0	0	0	0
01004	004	0	0	0	0	0	0
01005	001	0	0	0	0	0	0
01005	002	0	0	0	0	0	0
01005	003	0	0	0	0	0	0

Comm.: C20-025-S05

Il presente documento è di proprietà della ANTEX GROUP srl.  
È vietato la comunicazione a terzi o la riproduzione senza il permesso scritto della suddetta.  
La società tutela i propri diritti a rigore di Legge.





PARCO EOLICO DI "BUDDUSO"

RELAZIONE DI CALCOLO E TABULATI OPERE EDILI  
SSEU



Ingegneria & Innovazione

30/06/2023

REV: 2

Pag. 200

Nodi - Reazioni vincolari esterne per tipologie di carico non sismiche

IdNd	CC	F <sub>x</sub>	F <sub>y</sub>	F <sub>z</sub>	M <sub>x</sub>	M <sub>y</sub>	M <sub>z</sub>
		[N]	[N]	[N]	[N-m]	[N-m]	[N-m]
01005	004	0	0	0	0	0	0
01006	001	0	0	0	0	0	0
01006	002	0	0	0	0	0	0
01006	003	0	0	0	0	0	0
01006	004	0	0	0	0	0	0
01007	001	0	0	0	0	0	0
01007	002	0	0	0	0	0	0
01007	003	0	0	0	0	0	0
01007	004	0	0	0	0	0	0
01008	001	0	0	0	0	0	0
01008	002	0	0	0	0	0	0
01008	003	0	0	0	0	0	0
01008	004	0	0	0	0	0	0
01009	001	0	0	0	0	0	0
01009	002	0	0	0	0	0	0
01009	003	0	0	0	0	0	0
01009	004	0	0	0	0	0	0
01010	001	0	0	0	0	0	0
01010	002	0	0	0	0	0	0
01010	003	0	0	0	0	0	0
01010	004	0	0	0	0	0	0
01011	001	0	0	0	0	0	0
01011	002	0	0	0	0	0	0
01011	003	0	0	0	0	0	0
01011	004	0	0	0	0	0	0
01012	001	0	0	0	0	0	0
01012	002	0	0	0	0	0	0
01012	003	0	0	0	0	0	0
01012	004	0	0	0	0	0	0
01013	001	0	0	0	0	0	0
01013	002	0	0	0	0	0	0
01013	003	0	0	0	0	0	0
01013	004	0	0	0	0	0	0
01014	001	0	0	0	0	0	0
01014	002	0	0	0	0	0	0
01014	003	0	0	0	0	0	0
01014	004	0	0	0	0	0	0
01015	001	0	0	0	0	0	0
01015	002	0	0	0	0	0	0
01015	003	0	0	0	0	0	0
01015	004	0	0	0	0	0	0
01016	001	0	0	0	0	0	0
01016	002	0	0	0	0	0	0
01016	003	0	0	0	0	0	0
01016	004	0	0	0	0	0	0
01017	001	0	0	0	0	0	0
01017	002	0	0	0	0	0	0
01017	003	0	0	0	0	0	0
01017	004	0	0	0	0	0	0
01018	001	0	0	0	0	0	0
01018	002	0	0	0	0	0	0
01018	003	0	0	0	0	0	0
01018	004	0	0	0	0	0	0
01019	001	0	0	0	0	0	0
01019	002	0	0	0	0	0	0
01019	003	0	0	0	0	0	0
01019	004	0	0	0	0	0	0
01020	001	0	0	0	0	0	0
01020	002	0	0	0	0	0	0
01020	003	0	0	0	0	0	0
01020	004	0	0	0	0	0	0
01021	001	0	0	0	0	0	0
01021	002	0	0	0	0	0	0
01021	003	0	0	0	0	0	0
01021	004	0	0	0	0	0	0
01022	001	0	0	0	0	0	0

Comm.: C20-025-S05

Il presente documento è di proprietà della ANTEX GROUP srl.  
È vietato la comunicazione a terzi o la riproduzione senza il permesso scritto della suddetta.  
La società tutela i propri diritti a rigore di Legge.







PARCO EOLICO DI "BUDDUSO"

RELAZIONE DI CALCOLO E TABULATI OPERE EDILI  
SSEU



Ingegneria & Innovazione

30/06/2023

REV: 2

Pag. 201

Nodi - Reazioni vincolari esterne per tipologie di carico non sismiche

IdNd	CC	F <sub>x</sub>	F <sub>y</sub>	F <sub>z</sub>	M <sub>x</sub>	M <sub>y</sub>	M <sub>z</sub>
		[N]	[N]	[N]	[N-m]	[N-m]	[N-m]
01022	002	0	0	0	0	0	0
01022	003	0	0	0	0	0	0
01022	004	0	0	0	0	0	0
01023	001	0	0	0	0	0	0
01023	002	0	0	0	0	0	0
01023	003	0	0	0	0	0	0
01023	004	0	0	0	0	0	0
01024	001	0	0	0	0	0	0
01024	002	0	0	0	0	0	0
01024	003	0	0	0	0	0	0
01024	004	0	0	0	0	0	0
01025	001	0	0	0	0	0	0
01025	002	0	0	0	0	0	0
01025	003	0	0	0	0	0	0
01025	004	0	0	0	0	0	0
01026	001	0	0	0	0	0	0
01026	002	0	0	0	0	0	0
01026	003	0	0	0	0	0	0
01026	004	0	0	0	0	0	0
01027	001	0	0	0	0	0	0
01027	002	0	0	0	0	0	0
01027	003	0	0	0	0	0	0
01027	004	0	0	0	0	0	0
01028	001	0	0	0	0	0	0
01028	002	0	0	0	0	0	0
01028	003	0	0	0	0	0	0
01028	004	0	0	0	0	0	0
01029	001	0	0	0	0	0	0
01029	002	0	0	0	0	0	0
01029	003	0	0	0	0	0	0
01029	004	0	0	0	0	0	0
01030	001	0	0	0	0	0	0
01030	002	0	0	0	0	0	0
01030	003	0	0	0	0	0	0
01030	004	0	0	0	0	0	0
01031	001	0	0	0	0	0	0
01031	002	0	0	0	0	0	0
01031	003	0	0	0	0	0	0
01031	004	0	0	0	0	0	0
01032	001	0	0	0	0	0	0
01032	002	0	0	0	0	0	0
01032	003	0	0	0	0	0	0
01032	004	0	0	0	0	0	0
01033	001	0	0	0	0	0	0
01033	002	0	0	0	0	0	0
01033	003	0	0	0	0	0	0
01033	004	0	0	0	0	0	0
01034	001	0	0	0	0	0	0
01034	002	0	0	0	0	0	0
01034	003	0	0	0	0	0	0
01034	004	0	0	0	0	0	0
01035	001	0	0	0	0	0	0
01035	002	0	0	0	0	0	0
01035	003	0	0	0	0	0	0
01035	004	0	0	0	0	0	0
01036	001	0	0	0	0	0	0
01036	002	0	0	0	0	0	0
01036	003	0	0	0	0	0	0
01036	004	0	0	0	0	0	0
01037	001	0	0	0	0	0	0
01037	002	0	0	0	0	0	0
01037	003	0	0	0	0	0	0
01037	004	0	0	0	0	0	0
01038	001	0	0	0	0	0	0
01038	002	0	0	0	0	0	0
01038	003	0	0	0	0	0	0

Comm.: C20-025-S05

Il presente documento è di proprietà della ANTEX GROUP srl.  
È vietato la comunicazione a terzi o la riproduzione senza il permesso scritto della suddetta.  
La società tutela i propri diritti a rigore di Legge.





PARCO EOLICO DI "BUDDUSO"

RELAZIONE DI CALCOLO E TABULATI OPERE EDILI  
SSEU



Ingegneria & Innovazione

30/06/2023

REV: 2

Pag. 202

Nodi - Reazioni vincolari esterne per tipologie di carico non sismiche

IdNd	CC	F <sub>x</sub>	F <sub>y</sub>	F <sub>z</sub>	M <sub>x</sub>	M <sub>y</sub>	M <sub>z</sub>
		[N]	[N]	[N]	[N-m]	[N-m]	[N-m]
01038	004	0	0	0	0	0	0
01039	001	0	0	0	0	0	0
01039	002	0	0	0	0	0	0
01039	003	0	0	0	0	0	0
01039	004	0	0	0	0	0	0
01040	001	0	0	0	0	0	0
01040	002	0	0	0	0	0	0
01040	003	0	0	0	0	0	0
01040	004	0	0	0	0	0	0
01041	001	0	0	0	0	0	0
01041	002	0	0	0	0	0	0
01041	003	0	0	0	0	0	0
01041	004	0	0	0	0	0	0
01042	001	0	0	0	0	0	0
01042	002	0	0	0	0	0	0
01042	003	0	0	0	0	0	0
01042	004	0	0	0	0	0	0
01043	001	0	0	0	0	0	0
01043	002	0	0	0	0	0	0
01043	003	0	0	0	0	0	0
01043	004	0	0	0	0	0	0
01044	001	0	0	0	0	0	0
01044	002	0	0	0	0	0	0
01044	003	0	0	0	0	0	0
01044	004	0	0	0	0	0	0
01045	001	0	0	0	0	0	0
01045	002	0	0	0	0	0	0
01045	003	0	0	0	0	0	0
01045	004	0	0	0	0	0	0
01046	001	0	0	0	0	0	0
01046	002	0	0	0	0	0	0
01046	003	0	0	0	0	0	0
01046	004	0	0	0	0	0	0
01047	001	0	0	0	0	0	0
01047	002	0	0	0	0	0	0
01047	003	0	0	0	0	0	0
01047	004	0	0	0	0	0	0
01048	001	0	0	0	0	0	0
01048	002	0	0	0	0	0	0
01048	003	0	0	0	0	0	0
01048	004	0	0	0	0	0	0
01049	001	0	0	0	0	0	0
01049	002	0	0	0	0	0	0
01049	003	0	0	0	0	0	0
01049	004	0	0	0	0	0	0
01050	001	0	0	0	0	0	0
01050	002	0	0	0	0	0	0
01050	003	0	0	0	0	0	0
01050	004	0	0	0	0	0	0
01051	001	0	0	0	0	0	0
01051	002	0	0	0	0	0	0
01051	003	0	0	0	0	0	0
01051	004	0	0	0	0	0	0
01052	001	0	0	0	0	0	0
01052	002	0	0	0	0	0	0
01052	003	0	0	0	0	0	0
01052	004	0	0	0	0	0	0
01053	001	0	0	0	0	0	0
01053	002	0	0	0	0	0	0
01053	003	0	0	0	0	0	0
01053	004	0	0	0	0	0	0
01054	001	0	0	0	0	0	0
01054	002	0	0	0	0	0	0
01054	003	0	0	0	0	0	0
01054	004	0	0	0	0	0	0
01055	001	0	0	0	0	0	0

Comm.: C20-025-S05

Il presente documento è di proprietà della ANTEX GROUP srl.  
È vietato la comunicazione a terzi o la riproduzione senza il permesso scritto della suddetta.  
La società tutela i propri diritti a rigore di Legge.





PARCO EOLICO DI "BUDDUSO"

RELAZIONE DI CALCOLO E TABULATI OPERE EDILI  
SSEU



Ingegneria & Innovazione

30/06/2023

REV: 2

Pag. 203

Nodi - Reazioni vincolari esterne per tipologie di carico non sismiche

IdNd	CC	F <sub>x</sub>	F <sub>y</sub>	F <sub>z</sub>	M <sub>x</sub>	M <sub>y</sub>	M <sub>z</sub>
		[N]	[N]	[N]	[N-m]	[N-m]	[N-m]
01055	002	0	0	0	0	0	0
01055	003	0	0	0	0	0	0
01055	004	0	0	0	0	0	0
01056	001	0	0	0	0	0	0
01056	002	0	0	0	0	0	0
01056	003	0	0	0	0	0	0
01056	004	0	0	0	0	0	0
01057	001	0	0	0	0	0	0
01057	002	0	0	0	0	0	0
01057	003	0	0	0	0	0	0
01057	004	0	0	0	0	0	0
01058	001	0	0	0	0	0	0
01058	002	0	0	0	0	0	0
01058	003	0	0	0	0	0	0
01058	004	0	0	0	0	0	0
01059	001	0	0	0	0	0	0
01059	002	0	0	0	0	0	0
01059	003	0	0	0	0	0	0
01059	004	0	0	0	0	0	0
01060	001	0	0	0	0	0	0
01060	002	0	0	0	0	0	0
01060	003	0	0	0	0	0	0
01060	004	0	0	0	0	0	0
01061	001	0	0	0	0	0	0
01061	002	0	0	0	0	0	0
01061	003	0	0	0	0	0	0
01061	004	0	0	0	0	0	0
01062	001	0	0	0	0	0	0
01062	002	0	0	0	0	0	0
01062	003	0	0	0	0	0	0
01062	004	0	0	0	0	0	0
01063	001	0	0	0	0	0	0
01063	002	0	0	0	0	0	0
01063	003	0	0	0	0	0	0
01063	004	0	0	0	0	0	0
01064	001	0	0	0	0	0	0
01064	002	0	0	0	0	0	0
01064	003	0	0	0	0	0	0
01064	004	0	0	0	0	0	0
01065	001	0	0	0	0	0	0
01065	002	0	0	0	0	0	0
01065	003	0	0	0	0	0	0
01065	004	0	0	0	0	0	0
01066	001	0	0	0	0	0	0
01066	002	0	0	0	0	0	0
01066	003	0	0	0	0	0	0
01066	004	0	0	0	0	0	0
01067	001	0	0	0	0	0	0
01067	002	0	0	0	0	0	0
01067	003	0	0	0	0	0	0
01067	004	0	0	0	0	0	0
01068	001	0	0	0	0	0	0
01068	002	0	0	0	0	0	0
01068	003	0	0	0	0	0	0
01068	004	0	0	0	0	0	0
01069	001	0	0	0	0	0	0
01069	002	0	0	0	0	0	0
01069	003	0	0	0	0	0	0
01069	004	0	0	0	0	0	0
01070	001	0	0	0	0	0	0
01070	002	0	0	0	0	0	0
01070	003	0	0	0	0	0	0
01070	004	0	0	0	0	0	0
01071	001	0	0	0	0	0	0
01071	002	0	0	0	0	0	0
01071	003	0	0	0	0	0	0

Comm.: C20-025-S05

Il presente documento è di proprietà della ANTEX GROUP srl.  
È vietato la comunicazione a terzi o la riproduzione senza il permesso scritto della suddetta.  
La società tutela i propri diritti a rigore di Legge.





PARCO EOLICO DI "BUDDUSO"

RELAZIONE DI CALCOLO E TABULATI OPERE EDILI  
SSEU



Ingegneria & Innovazione

30/06/2023

REV: 2

Pag. 204

Nodi - Reazioni vincolari esterne per tipologie di carico non sismiche

IdNd	CC	F <sub>x</sub>	F <sub>y</sub>	F <sub>z</sub>	M <sub>x</sub>	M <sub>y</sub>	M <sub>z</sub>
		[N]	[N]	[N]	[N-m]	[N-m]	[N-m]
01071	004	0	0	0	0	0	0
01072	001	0	0	0	0	0	0
01072	002	0	0	0	0	0	0
01072	003	0	0	0	0	0	0
01072	004	0	0	0	0	0	0
01073	001	0	0	0	0	0	0
01073	002	0	0	0	0	0	0
01073	003	0	0	0	0	0	0
01073	004	0	0	0	0	0	0
01074	001	0	0	0	0	0	0
01074	002	0	0	0	0	0	0
01074	003	0	0	0	0	0	0
01074	004	0	0	0	0	0	0
01075	001	0	0	0	0	0	0
01075	002	0	0	0	0	0	0
01075	003	0	0	0	0	0	0
01075	004	0	0	0	0	0	0
01076	001	0	0	0	0	0	0
01076	002	0	0	0	0	0	0
01076	003	0	0	0	0	0	0
01076	004	0	0	0	0	0	0
01077	001	0	0	0	0	0	0
01077	002	0	0	0	0	0	0
01077	003	0	0	0	0	0	0
01077	004	0	0	0	0	0	0
01078	001	0	0	0	0	0	0
01078	002	0	0	0	0	0	0
01078	003	0	0	0	0	0	0
01078	004	0	0	0	0	0	0
01079	001	0	0	0	0	0	0
01079	002	0	0	0	0	0	0
01079	003	0	0	0	0	0	0
01079	004	0	0	0	0	0	0
01080	001	0	0	0	0	0	0
01080	002	0	0	0	0	0	0
01080	003	0	0	0	0	0	0
01080	004	0	0	0	0	0	0
01081	001	0	0	0	0	0	0
01081	002	0	0	0	0	0	0
01081	003	0	0	0	0	0	0
01081	004	0	0	0	0	0	0
01082	001	0	0	0	0	0	0
01082	002	0	0	0	0	0	0
01082	003	0	0	0	0	0	0
01082	004	0	0	0	0	0	0
01083	001	0	0	0	0	0	0
01083	002	0	0	0	0	0	0
01083	003	0	0	0	0	0	0
01083	004	0	0	0	0	0	0
01084	001	0	0	0	0	0	0
01084	002	0	0	0	0	0	0
01084	003	0	0	0	0	0	0
01084	004	0	0	0	0	0	0
01085	001	0	0	0	0	0	0
01085	002	0	0	0	0	0	0
01085	003	0	0	0	0	0	0
01085	004	0	0	0	0	0	0
01086	001	0	0	0	0	0	0
01086	002	0	0	0	0	0	0
01086	003	0	0	0	0	0	0
01086	004	0	0	0	0	0	0
01087	001	0	0	0	0	0	0
01087	002	0	0	0	0	0	0
01087	003	0	0	0	0	0	0
01087	004	0	0	0	0	0	0
01088	001	0	0	0	0	0	0

Comm.: C20-025-S05

Il presente documento è di proprietà della ANTEX GROUP srl.  
È vietato la comunicazione a terzi o la riproduzione senza il permesso scritto della suddetta.  
La società tutela i propri diritti a rigore di Legge.





PARCO EOLICO DI "BUDDUSO"

RELAZIONE DI CALCOLO E TABULATI OPERE EDILI  
SSEU



Ingegneria & Innovazione

30/06/2023

REV: 2

Pag. 205

Nodi - Reazioni vincolari esterne per tipologie di carico non sismiche

IdNd	CC	F <sub>x</sub>	F <sub>y</sub>	F <sub>z</sub>	M <sub>x</sub>	M <sub>y</sub>	M <sub>z</sub>
		[N]	[N]	[N]	[N-m]	[N-m]	[N-m]
01088	002	0	0	0	0	0	0
01088	003	0	0	0	0	0	0
01088	004	0	0	0	0	0	0
01089	001	0	0	0	0	0	0
01089	002	0	0	0	0	0	0
01089	003	0	0	0	0	0	0
01089	004	0	0	0	0	0	0
01090	001	0	0	0	0	0	0
01090	002	0	0	0	0	0	0
01090	003	0	0	0	0	0	0
01090	004	0	0	0	0	0	0
01091	001	0	0	0	0	0	0
01091	002	0	0	0	0	0	0
01091	003	0	0	0	0	0	0
01091	004	0	0	0	0	0	0
01092	001	0	0	0	0	0	0
01092	002	0	0	0	0	0	0
01092	003	0	0	0	0	0	0
01092	004	0	0	0	0	0	0
01093	001	0	0	0	0	0	0
01093	002	0	0	0	0	0	0
01093	003	0	0	0	0	0	0
01093	004	0	0	0	0	0	0
01094	001	0	0	0	0	0	0
01094	002	0	0	0	0	0	0
01094	003	0	0	0	0	0	0
01094	004	0	0	0	0	0	0
01095	001	0	0	0	0	0	0
01095	002	0	0	0	0	0	0
01095	003	0	0	0	0	0	0
01095	004	0	0	0	0	0	0
01096	001	0	0	0	0	0	0
01096	002	0	0	0	0	0	0
01096	003	0	0	0	0	0	0
01096	004	0	0	0	0	0	0
01097	001	0	0	0	0	0	0
01097	002	0	0	0	0	0	0
01097	003	0	0	0	0	0	0
01097	004	0	0	0	0	0	0
01098	001	0	0	0	0	0	0
01098	002	0	0	0	0	0	0
01098	003	0	0	0	0	0	0
01098	004	0	0	0	0	0	0
01099	001	0	0	0	0	0	0
01099	002	0	0	0	0	0	0
01099	003	0	0	0	0	0	0
01099	004	0	0	0	0	0	0
01100	001	0	0	0	0	0	0
01100	002	0	0	0	0	0	0
01100	003	0	0	0	0	0	0
01100	004	0	0	0	0	0	0
01101	001	0	0	0	0	0	0
01101	002	0	0	0	0	0	0
01101	003	0	0	0	0	0	0
01101	004	0	0	0	0	0	0
01102	001	0	0	0	0	0	0
01102	002	0	0	0	0	0	0
01102	003	0	0	0	0	0	0
01102	004	0	0	0	0	0	0
01103	001	0	0	0	0	0	0
01103	002	0	0	0	0	0	0
01103	003	0	0	0	0	0	0
01103	004	0	0	0	0	0	0
01104	001	0	0	0	0	0	0
01104	002	0	0	0	0	0	0
01104	003	0	0	0	0	0	0

Comm.: C20-025-S05

Il presente documento è di proprietà della ANTEX GROUP srl.  
È vietato la comunicazione a terzi o la riproduzione senza il permesso scritto della suddetta.  
La società tutela i propri diritti a rigore di Legge.





PARCO EOLICO DI "BUDDUSO"

RELAZIONE DI CALCOLO E TABULATI OPERE EDILI  
SSEU



Ingegneria & Innovazione

30/06/2023

REV: 2

Pag. 206

Nodi - Reazioni vincolari esterne per tipologie di carico non sismiche

IdNd	CC	F <sub>x</sub>	F <sub>y</sub>	F <sub>z</sub>	M <sub>x</sub>	M <sub>y</sub>	M <sub>z</sub>
		[N]	[N]	[N]	[N-m]	[N-m]	[N-m]
01104	004	0	0	0	0	0	0
01105	001	0	0	0	0	0	0
01105	002	0	0	0	0	0	0
01105	003	0	0	0	0	0	0
01105	004	0	0	0	0	0	0
01106	001	0	0	0	0	0	0
01106	002	0	0	0	0	0	0
01106	003	0	0	0	0	0	0
01106	004	0	0	0	0	0	0

LEGENDA:

- IdNd** Identificativo del nodo.
- CC** Identificativo della tipologia di carico nella relativa tabella.
- F<sub>x</sub>, F<sub>y</sub>** Reazioni vincolari relative al sistema di riferimento globale X, Y, Z.
- F<sub>z</sub>, M<sub>x</sub>**
- M<sub>y</sub>, M<sub>z</sub>**

NODI - REAZIONI VINCOLARI ESTERNE PER EFFETTO DEL SISMA

Nodi - Reazioni vincolari esterne per effetto del sisma

IdNd	Dir	F <sub>x</sub>	F <sub>y</sub>	F <sub>z</sub>	M <sub>x</sub>	M <sub>y</sub>	M <sub>z</sub>
		[N]	[N]	[N]	[N-m]	[N-m]	[N-m]
00002	X	-93	0	0	0	-279	0
00002	Y	0	-93	0	279	0	0
00002	Z	0	0	0	0	0	0
00003	X	0	0	0	0	0	0
00003	Y	0	0	0	0	0	0
00003	Z	0	0	0	0	0	0
00004	X	0	0	0	0	0	0
00004	Y	0	0	0	0	0	0
00004	Z	0	0	0	0	0	0
00005	X	0	0	0	0	0	0
00005	Y	0	0	0	0	0	0
00005	Z	0	0	0	0	0	0
00006	X	0	0	0	0	0	0
00006	Y	0	0	0	0	0	0
00006	Z	0	0	0	0	0	0
00007	X	0	0	0	0	0	0
00007	Y	0	0	0	0	0	0
00007	Z	0	0	0	0	0	0
00008	X	0	0	0	0	0	0
00008	Y	0	0	0	0	0	0
00008	Z	0	0	0	0	0	0
00009	X	0	0	0	0	0	0
00009	Y	0	0	0	0	0	0
00009	Z	0	0	0	0	0	0
00010	X	0	0	0	0	0	0
00010	Y	0	0	0	0	0	0
00010	Z	0	0	0	0	0	0
00011	X	0	0	0	0	0	0
00011	Y	0	0	0	0	0	0
00011	Z	0	0	0	0	0	0
00012	X	0	0	0	0	0	0
00012	Y	0	0	0	0	0	0
00012	Z	0	0	0	0	0	0
00013	X	0	0	0	0	0	0
00013	Y	0	0	0	0	0	0
00013	Z	0	0	0	0	0	0
00014	X	0	0	0	0	0	0
00014	Y	0	0	0	0	0	0
00014	Z	0	0	0	0	0	0
00015	X	0	0	0	0	0	0
00015	Y	0	0	0	0	0	0
00015	Z	0	0	0	0	0	0
00016	X	0	0	0	0	0	0
00016	Y	0	0	0	0	0	0

Comm.: C20-025-S05

Il presente documento è di proprietà della ANTEX GROUP srl.  
È vietato la comunicazione a terzi o la riproduzione senza il permesso scritto della suddetta.  
La società tutela i propri diritti a rigore di Legge.





PARCO EOLICO DI "BUDDUSO"

RELAZIONE DI CALCOLO E TABULATI OPERE EDILI  
SSEU



Ingegneria & Innovazione

30/06/2023

REV: 2

Pag. 207

Nodi - Reazioni vincolari esterne per effetto del sisma

IdNo	Dir	F <sub>x</sub>	F <sub>y</sub>	F <sub>z</sub>	M <sub>x</sub>	M <sub>y</sub>	M <sub>z</sub>
		[N]	[N]	[N]	[N-m]	[N-m]	[N-m]
00016	Z	0	0	0	0	0	0
00017	X	0	0	0	0	0	0
00017	Y	0	0	0	0	0	0
00017	Z	0	0	0	0	0	0
00018	X	0	0	0	0	0	0
00018	Y	0	0	0	0	0	0
00018	Z	0	0	0	0	0	0
00019	X	0	0	0	0	0	0
00019	Y	0	0	0	0	0	0
00019	Z	0	0	0	0	0	0
00020	X	0	0	0	0	0	0
00020	Y	0	0	0	0	0	0
00020	Z	0	0	0	0	0	0
00021	X	0	0	0	0	0	0
00021	Y	0	0	0	0	0	0
00021	Z	0	0	0	0	0	0
00022	X	0	0	0	0	0	0
00022	Y	0	0	0	0	0	0
00022	Z	0	0	0	0	0	0
00023	X	0	0	0	0	0	0
00023	Y	0	0	0	0	0	0
00023	Z	0	0	0	0	0	0
00024	X	0	0	0	0	0	0
00024	Y	0	0	0	0	0	0
00024	Z	0	0	0	0	0	0
00025	X	0	0	0	0	0	0
00025	Y	0	0	0	0	0	0
00025	Z	0	0	0	0	0	0
00026	X	0	0	0	0	0	0
00026	Y	0	0	0	0	0	0
00026	Z	0	0	0	0	0	0
00027	X	0	0	0	0	0	0
00027	Y	0	0	0	0	0	0
00027	Z	0	0	0	0	0	0
00028	X	0	0	0	0	0	0
00028	Y	0	0	0	0	0	0
00028	Z	0	0	0	0	0	0
00029	X	0	0	0	0	0	0
00029	Y	0	0	0	0	0	0
00029	Z	0	0	0	0	0	0
00030	X	0	0	0	0	0	0
00030	Y	0	0	0	0	0	0
00030	Z	0	0	0	0	0	0
00031	X	0	0	0	0	0	0
00031	Y	0	0	0	0	0	0
00031	Z	0	0	0	0	0	0
00032	X	0	0	0	0	0	0
00032	Y	0	0	0	0	0	0
00032	Z	0	0	0	0	0	0
00033	X	0	0	0	0	0	0
00033	Y	0	0	0	0	0	0
00033	Z	0	0	0	0	0	0
00034	X	0	0	0	0	0	0
00034	Y	0	0	0	0	0	0
00034	Z	0	0	0	0	0	0
00035	X	0	0	0	0	0	0
00035	Y	0	0	0	0	0	0
00035	Z	0	0	0	0	0	0
00036	X	0	0	0	0	0	0
00036	Y	0	0	0	0	0	0
00036	Z	0	0	0	0	0	0
00037	X	0	0	0	0	0	0
00037	Y	0	0	0	0	0	0
00037	Z	0	0	0	0	0	0
00038	X	0	0	0	0	0	0
00038	Y	0	0	0	0	0	0

Comm.: C20-025-S05

Il presente documento è di proprietà della ANTEX GROUP srl.  
È vietato la comunicazione a terzi o la riproduzione senza il permesso scritto della suddetta.  
La società tutela i propri diritti a rigore di Legge.





PARCO EOLICO DI "BUDDUSO"

RELAZIONE DI CALCOLO E TABULATI OPERE EDILI  
SSEU



Ingegneria & Innovazione

30/06/2023

REV: 2

Pag. 208

Nodi - Reazioni vincolari esterne per effetto del sisma

IdNo	Dir	F <sub>x</sub>	F <sub>y</sub>	F <sub>z</sub>	M <sub>x</sub>	M <sub>y</sub>	M <sub>z</sub>
		[N]	[N]	[N]	[N-m]	[N-m]	[N-m]
00038	Z	0	0	0	0	0	0
00039	X	0	0	0	0	0	0
00039	Y	0	0	0	0	0	0
00039	Z	0	0	0	0	0	0
00040	X	0	0	0	0	0	0
00040	Y	0	0	0	0	0	0
00040	Z	0	0	0	0	0	0
00041	X	0	0	0	0	0	0
00041	Y	0	0	0	0	0	0
00041	Z	0	0	0	0	0	0
00042	X	0	0	0	0	0	0
00042	Y	0	0	0	0	0	0
00042	Z	0	0	0	0	0	0
00043	X	0	0	0	0	0	0
00043	Y	0	0	0	0	0	0
00043	Z	0	0	0	0	0	0
00044	X	0	0	0	0	0	0
00044	Y	0	0	0	0	0	0
00044	Z	0	0	0	0	0	0
00045	X	0	0	0	0	0	0
00045	Y	0	0	0	0	0	0
00045	Z	0	0	0	0	0	0
00046	X	0	0	0	0	0	0
00046	Y	0	0	0	0	0	0
00046	Z	0	0	0	0	0	0
00047	X	0	0	0	0	0	0
00047	Y	0	0	0	0	0	0
00047	Z	0	0	0	0	0	0
00048	X	0	0	0	0	0	0
00048	Y	0	0	0	0	0	0
00048	Z	0	0	0	0	0	0
00049	X	0	0	0	0	0	0
00049	Y	0	0	0	0	0	0
00049	Z	0	0	0	0	0	0
00050	X	0	0	0	0	0	0
00050	Y	0	0	0	0	0	0
00050	Z	0	0	0	0	0	0
00051	X	0	0	0	0	0	0
00051	Y	0	0	0	0	0	0
00051	Z	0	0	0	0	0	0
00052	X	0	0	0	0	0	0
00052	Y	0	0	0	0	0	0
00052	Z	0	0	0	0	0	0
00053	X	0	0	0	0	0	0
00053	Y	0	0	0	0	0	0
00053	Z	0	0	0	0	0	0
00054	X	0	0	0	0	0	0
00054	Y	0	0	0	0	0	0
00054	Z	0	0	0	0	0	0
00055	X	0	0	0	0	0	0
00055	Y	0	0	0	0	0	0
00055	Z	0	0	0	0	0	0
00056	X	0	0	0	0	0	0
00056	Y	0	0	0	0	0	0
00056	Z	0	0	0	0	0	0
00057	X	0	0	0	0	0	0
00057	Y	0	0	0	0	0	0
00057	Z	0	0	0	0	0	0
00058	X	0	0	0	0	0	0
00058	Y	0	0	0	0	0	0
00058	Z	0	0	0	0	0	0
00059	X	0	0	0	0	0	0
00059	Y	0	0	0	0	0	0
00059	Z	0	0	0	0	0	0
00060	X	0	0	0	0	0	0
00060	Y	0	0	0	0	0	0

Comm.: C20-025-S05

Il presente documento è di proprietà della ANTEX GROUP srl.  
È vietato la comunicazione a terzi o la riproduzione senza il permesso scritto della suddetta.  
La società tutela i propri diritti a rigore di Legge.







PARCO EOLICO DI "BUDDUSO"

RELAZIONE DI CALCOLO E TABULATI OPERE EDILI  
SSEU



Ingegneria & Innovazione

30/06/2023

REV: 2

Pag. 209

Nodi - Reazioni vincolari esterne per effetto del sisma

IdNd	Dir	F <sub>x</sub>	F <sub>y</sub>	F <sub>z</sub>	M <sub>x</sub>	M <sub>y</sub>	M <sub>z</sub>
		[N]	[N]	[N]	[N-m]	[N-m]	[N-m]
00060	Z	0	0	0	0	0	0
00061	X	0	0	0	0	0	0
00061	Y	0	0	0	0	0	0
00061	Z	0	0	0	0	0	0
00062	X	0	0	0	0	0	0
00062	Y	0	0	0	0	0	0
00062	Z	0	0	0	0	0	0
00063	X	0	0	0	0	0	0
00063	Y	0	0	0	0	0	0
00063	Z	0	0	0	0	0	0
00064	X	0	0	0	0	0	0
00064	Y	0	0	0	0	0	0
00064	Z	0	0	0	0	0	0
00065	X	0	0	0	0	0	0
00065	Y	0	0	0	0	0	0
00065	Z	0	0	0	0	0	0
00066	X	0	0	0	0	0	0
00066	Y	0	0	0	0	0	0
00066	Z	0	0	0	0	0	0
00067	X	0	0	0	0	0	0
00067	Y	0	0	0	0	0	0
00067	Z	0	0	0	0	0	0
00068	X	0	0	0	0	0	0
00068	Y	0	0	0	0	0	0
00068	Z	0	0	0	0	0	0
00069	X	0	0	0	0	0	0
00069	Y	0	0	0	0	0	0
00069	Z	0	0	0	0	0	0
00070	X	0	0	0	0	0	0
00070	Y	0	0	0	0	0	0
00070	Z	0	0	0	0	0	0
00071	X	0	0	0	0	0	0
00071	Y	0	0	0	0	0	0
00071	Z	0	0	0	0	0	0
00072	X	0	0	0	0	0	0
00072	Y	0	0	0	0	0	0
00072	Z	0	0	0	0	0	0
00073	X	0	0	0	0	0	0
00073	Y	0	0	0	0	0	0
00073	Z	0	0	0	0	0	0
00074	X	0	0	0	0	0	0
00074	Y	0	0	0	0	0	0
00074	Z	0	0	0	0	0	0
00075	X	0	0	0	0	0	0
00075	Y	0	0	0	0	0	0
00075	Z	0	0	0	0	0	0
00076	X	0	0	0	0	0	0
00076	Y	0	0	0	0	0	0
00076	Z	0	0	0	0	0	0
00077	X	0	0	0	0	0	0
00077	Y	0	0	0	0	0	0
00077	Z	0	0	0	0	0	0
00078	X	0	0	0	0	0	0
00078	Y	0	0	0	0	0	0
00078	Z	0	0	0	0	0	0
00079	X	0	0	0	0	0	0
00079	Y	0	0	0	0	0	0
00079	Z	0	0	0	0	0	0
00080	X	0	0	0	0	0	0
00080	Y	0	0	0	0	0	0
00080	Z	0	0	0	0	0	0
00081	X	0	0	0	0	0	0
00081	Y	0	0	0	0	0	0
00081	Z	0	0	0	0	0	0
00082	X	0	0	0	0	0	0
00082	Y	0	0	0	0	0	0

Comm.: C20-025-S05

Il presente documento è di proprietà della ANTEX GROUP srl.  
È vietato la comunicazione a terzi o la riproduzione senza il permesso scritto della suddetta.  
La società tutela i propri diritti a rigore di Legge.





PARCO EOLICO DI "BUDDUSO"

RELAZIONE DI CALCOLO E TABULATI OPERE EDILI SSEU



Ingegneria & Innovazione

30/06/2023

REV: 2

Pag. 210

Nodi - Reazioni vincolari esterne per effetto del sisma

IdNd	Dir	F <sub>x</sub>	F <sub>y</sub>	F <sub>z</sub>	M <sub>x</sub>	M <sub>y</sub>	M <sub>z</sub>
		[N]	[N]	[N]	[N-m]	[N-m]	[N-m]
00082	Z	0	0	0	0	0	0
00083	X	0	0	0	0	0	0
00083	Y	0	0	0	0	0	0
00083	Z	0	0	0	0	0	0
00084	X	0	0	0	0	0	0
00084	Y	0	0	0	0	0	0
00084	Z	0	0	0	0	0	0
00085	X	0	0	0	0	0	0
00085	Y	0	0	0	0	0	0
00085	Z	0	0	0	0	0	0
00086	X	0	0	0	0	0	0
00086	Y	0	0	0	0	0	0
00086	Z	0	0	0	0	0	0
00087	X	0	0	0	0	0	0
00087	Y	0	0	0	0	0	0
00087	Z	0	0	0	0	0	0
00088	X	0	0	0	0	0	0
00088	Y	0	0	0	0	0	0
00088	Z	0	0	0	0	0	0
00089	X	0	0	0	0	0	0
00089	Y	0	0	0	0	0	0
00089	Z	0	0	0	0	0	0
00090	X	0	0	0	0	0	0
00090	Y	0	0	0	0	0	0
00090	Z	0	0	0	0	0	0
00091	X	0	0	0	0	0	0
00091	Y	0	0	0	0	0	0
00091	Z	0	0	0	0	0	0
00092	X	0	0	0	0	0	0
00092	Y	0	0	0	0	0	0
00092	Z	0	0	0	0	0	0
00093	X	0	0	0	0	0	0
00093	Y	0	0	0	0	0	0
00093	Z	0	0	0	0	0	0
00094	X	0	0	0	0	0	0
00094	Y	0	0	0	0	0	0
00094	Z	0	0	0	0	0	0
00095	X	0	0	0	0	0	0
00095	Y	0	0	0	0	0	0
00095	Z	0	0	0	0	0	0
00096	X	0	0	0	0	0	0
00096	Y	0	0	0	0	0	0
00096	Z	0	0	0	0	0	0
00097	X	0	0	0	0	0	0
00097	Y	0	0	0	0	0	0
00097	Z	0	0	0	0	0	0
00098	X	0	0	0	0	0	0
00098	Y	0	0	0	0	0	0
00098	Z	0	0	0	0	0	0
00099	X	0	0	0	0	0	0
00099	Y	0	0	0	0	0	0
00099	Z	0	0	0	0	0	0
00100	X	0	0	0	0	0	0
00100	Y	0	0	0	0	0	0
00100	Z	0	0	0	0	0	0
00101	X	0	0	0	0	0	0
00101	Y	0	0	0	0	0	0
00101	Z	0	0	0	0	0	0
00102	X	0	0	0	0	0	0
00102	Y	0	0	0	0	0	0
00102	Z	0	0	0	0	0	0
00103	X	0	0	0	0	0	0
00103	Y	0	0	0	0	0	0
00103	Z	0	0	0	0	0	0
00104	X	0	0	0	0	0	0
00104	Y	0	0	0	0	0	0

Comm.: C20-025-S05

Il presente documento è di proprietà della ANTEX GROUP srl. È vietato la comunicazione a terzi o la riproduzione senza il permesso scritto della suddetta. La società tutela i propri diritti a rigore di Legge.





PARCO EOLICO DI "BUDDUSO"

RELAZIONE DI CALCOLO E TABULATI OPERE EDILI  
SSEU



Ingegneria & Innovazione

30/06/2023

REV: 2

Pag. 211

Nodi - Reazioni vincolari esterne per effetto del sisma

IdNo	Dir	F <sub>x</sub>	F <sub>y</sub>	F <sub>z</sub>	M <sub>x</sub>	M <sub>y</sub>	M <sub>z</sub>
		[N]	[N]	[N]	[N-m]	[N-m]	[N-m]
00104	Z	0	0	0	0	0	0
00105	X	0	0	0	0	0	0
00105	Y	0	0	0	0	0	0
00105	Z	0	0	0	0	0	0
00106	X	0	0	0	0	0	0
00106	Y	0	0	0	0	0	0
00106	Z	0	0	0	0	0	0
00107	X	0	0	0	0	0	0
00107	Y	0	0	0	0	0	0
00107	Z	0	0	0	0	0	0
00108	X	0	0	0	0	0	0
00108	Y	0	0	0	0	0	0
00108	Z	0	0	0	0	0	0
00109	X	0	0	0	0	0	0
00109	Y	0	0	0	0	0	0
00109	Z	0	0	0	0	0	0
00110	X	0	0	0	0	0	0
00110	Y	0	0	0	0	0	0
00110	Z	0	0	0	0	0	0
00111	X	0	0	0	0	0	0
00111	Y	0	0	0	0	0	0
00111	Z	0	0	0	0	0	0
00112	X	0	0	0	0	0	0
00112	Y	0	0	0	0	0	0
00112	Z	0	0	0	0	0	0
00113	X	0	0	0	0	0	0
00113	Y	0	0	0	0	0	0
00113	Z	0	0	0	0	0	0
00114	X	0	0	0	0	0	0
00114	Y	0	0	0	0	0	0
00114	Z	0	0	0	0	0	0
00115	X	0	0	0	0	0	0
00115	Y	0	0	0	0	0	0
00115	Z	0	0	0	0	0	0
00116	X	0	0	0	0	0	0
00116	Y	0	0	0	0	0	0
00116	Z	0	0	0	0	0	0
00117	X	0	0	0	0	0	0
00117	Y	0	0	0	0	0	0
00117	Z	0	0	0	0	0	0
00118	X	0	0	0	0	0	0
00118	Y	0	0	0	0	0	0
00118	Z	0	0	0	0	0	0
00119	X	0	0	0	0	0	0
00119	Y	0	0	0	0	0	0
00119	Z	0	0	0	0	0	0
00120	X	0	0	0	0	0	0
00120	Y	0	0	0	0	0	0
00120	Z	0	0	0	0	0	0
00121	X	0	0	0	0	0	0
00121	Y	0	0	0	0	0	0
00121	Z	0	0	0	0	0	0
00122	X	0	0	0	0	0	0
00122	Y	0	0	0	0	0	0
00122	Z	0	0	0	0	0	0
00123	X	0	0	0	0	0	0
00123	Y	0	0	0	0	0	0
00123	Z	0	0	0	0	0	0
00124	X	0	0	0	0	0	0
00124	Y	0	0	0	0	0	0
00124	Z	0	0	0	0	0	0
00125	X	0	0	0	0	0	0
00125	Y	0	0	0	0	0	0
00125	Z	0	0	0	0	0	0
00126	X	0	0	0	0	0	0
00126	Y	0	0	0	0	0	0

Comm.: C20-025-S05

Il presente documento è di proprietà della ANTEX GROUP srl.  
È vietato la comunicazione a terzi o la riproduzione senza il permesso scritto della suddetta.  
La società tutela i propri diritti a rigore di Legge.





PARCO EOLICO DI "BUDDUSO"

RELAZIONE DI CALCOLO E TABULATI OPERE EDILI  
SSEU



Ingegneria & Innovazione

30/06/2023

REV: 2

Pag. 212

Nodi - Reazioni vincolari esterne per effetto del sisma

IdNo	Dir	F <sub>x</sub>	F <sub>y</sub>	F <sub>z</sub>	M <sub>x</sub>	M <sub>y</sub>	M <sub>z</sub>
		[N]	[N]	[N]	[N-m]	[N-m]	[N-m]
00126	Z	0	0	0	0	0	0
00127	X	0	0	0	0	0	0
00127	Y	0	0	0	0	0	0
00127	Z	0	0	0	0	0	0
00128	X	0	0	0	0	0	0
00128	Y	0	0	0	0	0	0
00128	Z	0	0	0	0	0	0
00129	X	0	0	0	0	0	0
00129	Y	0	0	0	0	0	0
00129	Z	0	0	0	0	0	0
00130	X	0	0	0	0	0	0
00130	Y	0	0	0	0	0	0
00130	Z	0	0	0	0	0	0
00131	X	0	0	0	0	0	0
00131	Y	0	0	0	0	0	0
00131	Z	0	0	0	0	0	0
00132	X	0	0	0	0	0	0
00132	Y	0	0	0	0	0	0
00132	Z	0	0	0	0	0	0
00133	X	0	0	0	0	0	0
00133	Y	0	0	0	0	0	0
00133	Z	0	0	0	0	0	0
00134	X	0	0	0	0	0	0
00134	Y	0	0	0	0	0	0
00134	Z	0	0	0	0	0	0
00135	X	0	0	0	0	0	0
00135	Y	0	0	0	0	0	0
00135	Z	0	0	0	0	0	0
00136	X	0	0	0	0	0	0
00136	Y	0	0	0	0	0	0
00136	Z	0	0	0	0	0	0
00137	X	0	0	0	0	0	0
00137	Y	0	0	0	0	0	0
00137	Z	0	0	0	0	0	0
00138	X	0	0	0	0	0	0
00138	Y	0	0	0	0	0	0
00138	Z	0	0	0	0	0	0
00139	X	0	0	0	0	0	0
00139	Y	0	0	0	0	0	0
00139	Z	0	0	0	0	0	0
00140	X	0	0	0	0	0	0
00140	Y	0	0	0	0	0	0
00140	Z	0	0	0	0	0	0
00141	X	0	0	0	0	0	0
00141	Y	0	0	0	0	0	0
00141	Z	0	0	0	0	0	0
00142	X	0	0	0	0	0	0
00142	Y	0	0	0	0	0	0
00142	Z	0	0	0	0	0	0
00143	X	0	0	0	0	0	0
00143	Y	0	0	0	0	0	0
00143	Z	0	0	0	0	0	0
00144	X	0	0	0	0	0	0
00144	Y	0	0	0	0	0	0
00144	Z	0	0	0	0	0	0
00145	X	0	0	0	0	0	0
00145	Y	0	0	0	0	0	0
00145	Z	0	0	0	0	0	0
00146	X	0	0	0	0	0	0
00146	Y	0	0	0	0	0	0
00146	Z	0	0	0	0	0	0
00147	X	0	0	0	0	0	0
00147	Y	0	0	0	0	0	0
00147	Z	0	0	0	0	0	0
00148	X	0	0	0	0	0	0
00148	Y	0	0	0	0	0	0

Comm.: C20-025-S05

Il presente documento è di proprietà della ANTEX GROUP srl.  
È vietato la comunicazione a terzi o la riproduzione senza il permesso scritto della suddetta.  
La società tutela i propri diritti a rigore di Legge.





PARCO EOLICO DI "BUDDUSO"

RELAZIONE DI CALCOLO E TABULATI OPERE EDILI  
SSEU



Ingegneria & Innovazione

30/06/2023

REV: 2

Pag. 213

Nodi - Reazioni vincolari esterne per effetto del sisma

IdNd	Dir	F <sub>x</sub>	F <sub>y</sub>	F <sub>z</sub>	M <sub>x</sub>	M <sub>y</sub>	M <sub>z</sub>
		[N]	[N]	[N]	[N-m]	[N-m]	[N-m]
00148	Z	0	0	0	0	0	0
00149	X	0	0	0	0	0	0
00149	Y	0	0	0	0	0	0
00149	Z	0	0	0	0	0	0
00150	X	0	0	0	0	0	0
00150	Y	0	0	0	0	0	0
00150	Z	0	0	0	0	0	0
00151	X	0	0	0	0	0	0
00151	Y	0	0	0	0	0	0
00151	Z	0	0	0	0	0	0
00152	X	0	0	0	0	0	0
00152	Y	0	0	0	0	0	0
00152	Z	0	0	0	0	0	0
00153	X	0	0	0	0	0	0
00153	Y	0	0	0	0	0	0
00153	Z	0	0	0	0	0	0
00154	X	0	0	0	0	0	0
00154	Y	0	0	0	0	0	0
00154	Z	0	0	0	0	0	0
00155	X	0	0	0	0	0	0
00155	Y	0	0	0	0	0	0
00155	Z	0	0	0	0	0	0
00156	X	0	0	0	0	0	0
00156	Y	0	0	0	0	0	0
00156	Z	0	0	0	0	0	0
00157	X	0	0	0	0	0	0
00157	Y	0	0	0	0	0	0
00157	Z	0	0	0	0	0	0
00158	X	0	0	0	0	0	0
00158	Y	0	0	0	0	0	0
00158	Z	0	0	0	0	0	0
00159	X	0	0	0	0	0	0
00159	Y	0	0	0	0	0	0
00159	Z	0	0	0	0	0	0
00160	X	0	0	0	0	0	0
00160	Y	0	0	0	0	0	0
00160	Z	0	0	0	0	0	0
00161	X	0	0	0	0	0	0
00161	Y	0	0	0	0	0	0
00161	Z	0	0	0	0	0	0
00162	X	0	0	0	0	0	0
00162	Y	0	0	0	0	0	0
00162	Z	0	0	0	0	0	0
00163	X	0	0	0	0	0	0
00163	Y	0	0	0	0	0	0
00163	Z	0	0	0	0	0	0
00164	X	0	0	0	0	0	0
00164	Y	0	0	0	0	0	0
00164	Z	0	0	0	0	0	0
00165	X	0	0	0	0	0	0
00165	Y	0	0	0	0	0	0
00165	Z	0	0	0	0	0	0
00166	X	0	0	0	0	0	0
00166	Y	0	0	0	0	0	0
00166	Z	0	0	0	0	0	0
00167	X	0	0	0	0	0	0
00167	Y	0	0	0	0	0	0
00167	Z	0	0	0	0	0	0
00168	X	0	0	0	0	0	0
00168	Y	0	0	0	0	0	0
00168	Z	0	0	0	0	0	0
00169	X	0	0	0	0	0	0
00169	Y	0	0	0	0	0	0
00169	Z	0	0	0	0	0	0
00170	X	0	0	0	0	0	0
00170	Y	0	0	0	0	0	0

Comm.: C20-025-S05

Il presente documento è di proprietà della ANTEX GROUP srl.  
È vietato la comunicazione a terzi o la riproduzione senza il permesso scritto della suddetta.  
La società tutela i propri diritti a rigore di Legge.





PARCO EOLICO DI "BUDDUSO"

RELAZIONE DI CALCOLO E TABULATI OPERE EDILI  
SSEU



Ingegneria & Innovazione

30/06/2023

REV: 2

Pag. 214

Nodi - Reazioni vincolari esterne per effetto del sisma

IdNo	Dir	F <sub>x</sub>	F <sub>y</sub>	F <sub>z</sub>	M <sub>x</sub>	M <sub>y</sub>	M <sub>z</sub>
		[N]	[N]	[N]	[N-m]	[N-m]	[N-m]
00170	Z	0	0	0	0	0	0
00171	X	0	0	0	0	0	0
00171	Y	0	0	0	0	0	0
00171	Z	0	0	0	0	0	0
00172	X	0	0	0	0	0	0
00172	Y	0	0	0	0	0	0
00172	Z	0	0	0	0	0	0
00173	X	0	0	0	0	0	0
00173	Y	0	0	0	0	0	0
00173	Z	0	0	0	0	0	0
00174	X	0	0	0	0	0	0
00174	Y	0	0	0	0	0	0
00174	Z	0	0	0	0	0	0
00175	X	0	0	0	0	0	0
00175	Y	0	0	0	0	0	0
00175	Z	0	0	0	0	0	0
00176	X	0	0	0	0	0	0
00176	Y	0	0	0	0	0	0
00176	Z	0	0	0	0	0	0
00177	X	0	0	0	0	0	0
00177	Y	0	0	0	0	0	0
00177	Z	0	0	0	0	0	0
00178	X	0	0	0	0	0	0
00178	Y	0	0	0	0	0	0
00178	Z	0	0	0	0	0	0
00179	X	0	0	0	0	0	0
00179	Y	0	0	0	0	0	0
00179	Z	0	0	0	0	0	0
00180	X	0	0	0	0	0	0
00180	Y	0	0	0	0	0	0
00180	Z	0	0	0	0	0	0
00181	X	0	0	0	0	0	0
00181	Y	0	0	0	0	0	0
00181	Z	0	0	0	0	0	0
00182	X	0	0	0	0	0	0
00182	Y	0	0	0	0	0	0
00182	Z	0	0	0	0	0	0
00183	X	0	0	0	0	0	0
00183	Y	0	0	0	0	0	0
00183	Z	0	0	0	0	0	0
00184	X	0	0	0	0	0	0
00184	Y	0	0	0	0	0	0
00184	Z	0	0	0	0	0	0
00185	X	0	0	0	0	0	0
00185	Y	0	0	0	0	0	0
00185	Z	0	0	0	0	0	0
00186	X	0	0	0	0	0	0
00186	Y	0	0	0	0	0	0
00186	Z	0	0	0	0	0	0
00187	X	0	0	0	0	0	0
00187	Y	0	0	0	0	0	0
00187	Z	0	0	0	0	0	0
00188	X	0	0	0	0	0	0
00188	Y	0	0	0	0	0	0
00188	Z	0	0	0	0	0	0
00189	X	0	0	0	0	0	0
00189	Y	0	0	0	0	0	0
00189	Z	0	0	0	0	0	0
00190	X	0	0	0	0	0	0
00190	Y	0	0	0	0	0	0
00190	Z	0	0	0	0	0	0
00191	X	0	0	0	0	0	0
00191	Y	0	0	0	0	0	0
00191	Z	0	0	0	0	0	0
00192	X	0	0	0	0	0	0
00192	Y	0	0	0	0	0	0

Comm.: C20-025-S05

Il presente documento è di proprietà della ANTEX GROUP srl.  
È vietato la comunicazione a terzi o la riproduzione senza il permesso scritto della suddetta.  
La società tutela i propri diritti a rigore di Legge.





PARCO EOLICO DI "BUDDUSO"

RELAZIONE DI CALCOLO E TABULATI OPERE EDILI  
SSEU



Ingegneria & Innovazione

30/06/2023

REV: 2

Pag. 215

Nodi - Reazioni vincolari esterne per effetto del sisma

IdNo	Dir	F <sub>x</sub>	F <sub>y</sub>	F <sub>z</sub>	M <sub>x</sub>	M <sub>y</sub>	M <sub>z</sub>
		[N]	[N]	[N]	[N-m]	[N-m]	[N-m]
00192	Z	0	0	0	0	0	0
00193	X	0	0	0	0	0	0
00193	Y	0	0	0	0	0	0
00193	Z	0	0	0	0	0	0
00194	X	0	0	0	0	0	0
00194	Y	0	0	0	0	0	0
00194	Z	0	0	0	0	0	0
00195	X	0	0	0	0	0	0
00195	Y	0	0	0	0	0	0
00195	Z	0	0	0	0	0	0
00196	X	0	0	0	0	0	0
00196	Y	0	0	0	0	0	0
00196	Z	0	0	0	0	0	0
00197	X	0	0	0	0	0	0
00197	Y	0	0	0	0	0	0
00197	Z	0	0	0	0	0	0
00198	X	0	0	0	0	0	0
00198	Y	0	0	0	0	0	0
00198	Z	0	0	0	0	0	0
00199	X	0	0	0	0	0	0
00199	Y	0	0	0	0	0	0
00199	Z	0	0	0	0	0	0
00200	X	0	0	0	0	0	0
00200	Y	0	0	0	0	0	0
00200	Z	0	0	0	0	0	0
00201	X	0	0	0	0	0	0
00201	Y	0	0	0	0	0	0
00201	Z	0	0	0	0	0	0
00202	X	0	0	0	0	0	0
00202	Y	0	0	0	0	0	0
00202	Z	0	0	0	0	0	0
00203	X	0	0	0	0	0	0
00203	Y	0	0	0	0	0	0
00203	Z	0	0	0	0	0	0
00204	X	0	0	0	0	0	0
00204	Y	0	0	0	0	0	0
00204	Z	0	0	0	0	0	0
00205	X	0	0	0	0	0	0
00205	Y	0	0	0	0	0	0
00205	Z	0	0	0	0	0	0
00206	X	0	0	0	0	0	0
00206	Y	0	0	0	0	0	0
00206	Z	0	0	0	0	0	0
00207	X	0	0	0	0	0	0
00207	Y	0	0	0	0	0	0
00207	Z	0	0	0	0	0	0
00208	X	0	0	0	0	0	0
00208	Y	0	0	0	0	0	0
00208	Z	0	0	0	0	0	0
00209	X	0	0	0	0	0	0
00209	Y	0	0	0	0	0	0
00209	Z	0	0	0	0	0	0
00210	X	0	0	0	0	0	0
00210	Y	0	0	0	0	0	0
00210	Z	0	0	0	0	0	0
00211	X	0	0	0	0	0	0
00211	Y	0	0	0	0	0	0
00211	Z	0	0	0	0	0	0
00212	X	0	0	0	0	0	0
00212	Y	0	0	0	0	0	0
00212	Z	0	0	0	0	0	0
00213	X	0	0	0	0	0	0
00213	Y	0	0	0	0	0	0
00213	Z	0	0	0	0	0	0
00214	X	0	0	0	0	0	0
00214	Y	0	0	0	0	0	0

Comm.: C20-025-S05

Il presente documento è di proprietà della ANTEX GROUP srl.  
È vietato la comunicazione a terzi o la riproduzione senza il permesso scritto della suddetta.  
La società tutela i propri diritti a rigore di Legge.





PARCO EOLICO DI "BUDDUSO"

RELAZIONE DI CALCOLO E TABULATI OPERE EDILI SSEU



Ingegneria & Innovazione

30/06/2023

REV: 2

Pag. 216

Nodi - Reazioni vincolari esterne per effetto del sisma

IdNo	Dir	F <sub>x</sub>	F <sub>y</sub>	F <sub>z</sub>	M <sub>x</sub>	M <sub>y</sub>	M <sub>z</sub>
		[N]	[N]	[N]	[N-m]	[N-m]	[N-m]
00214	Z	0	0	0	0	0	0
00215	X	0	0	0	0	0	0
00215	Y	0	0	0	0	0	0
00215	Z	0	0	0	0	0	0
00216	X	0	0	0	0	0	0
00216	Y	0	0	0	0	0	0
00216	Z	0	0	0	0	0	0
00217	X	0	0	0	0	0	0
00217	Y	0	0	0	0	0	0
00217	Z	0	0	0	0	0	0
00218	X	0	0	0	0	0	0
00218	Y	0	0	0	0	0	0
00218	Z	0	0	0	0	0	0
00219	X	0	0	0	0	0	0
00219	Y	0	0	0	0	0	0
00219	Z	0	0	0	0	0	0
00220	X	0	0	0	0	0	0
00220	Y	0	0	0	0	0	0
00220	Z	0	0	0	0	0	0
00221	X	0	0	0	0	0	0
00221	Y	0	0	0	0	0	0
00221	Z	0	0	0	0	0	0
00222	X	0	0	0	0	0	0
00222	Y	0	0	0	0	0	0
00222	Z	0	0	0	0	0	0
00223	X	0	0	0	0	0	0
00223	Y	0	0	0	0	0	0
00223	Z	0	0	0	0	0	0
00224	X	0	0	0	0	0	0
00224	Y	0	0	0	0	0	0
00224	Z	0	0	0	0	0	0
00225	X	0	0	0	0	0	0
00225	Y	0	0	0	0	0	0
00225	Z	0	0	0	0	0	0
00226	X	0	0	0	0	0	0
00226	Y	0	0	0	0	0	0
00226	Z	0	0	0	0	0	0
00227	X	0	0	0	0	0	0
00227	Y	0	0	0	0	0	0
00227	Z	0	0	0	0	0	0
00228	X	0	0	0	0	0	0
00228	Y	0	0	0	0	0	0
00228	Z	0	0	0	0	0	0
00229	X	0	0	0	0	0	0
00229	Y	0	0	0	0	0	0
00229	Z	0	0	0	0	0	0
00230	X	0	0	0	0	0	0
00230	Y	0	0	0	0	0	0
00230	Z	0	0	0	0	0	0
00231	X	0	0	0	0	0	0
00231	Y	0	0	0	0	0	0
00231	Z	0	0	0	0	0	0
00232	X	0	0	0	0	0	0
00232	Y	0	0	0	0	0	0
00232	Z	0	0	0	0	0	0
00233	X	0	0	0	0	0	0
00233	Y	0	0	0	0	0	0
00233	Z	0	0	0	0	0	0
00234	X	0	0	0	0	0	0
00234	Y	0	0	0	0	0	0
00234	Z	0	0	0	0	0	0
00235	X	0	0	0	0	0	0
00235	Y	0	0	0	0	0	0
00235	Z	0	0	0	0	0	0
00236	X	0	0	0	0	0	0
00236	Y	0	0	0	0	0	0

Comm.: C20-025-S05

Il presente documento è di proprietà della ANTEX GROUP srl. È vietato la comunicazione a terzi o la riproduzione senza il permesso scritto della suddetta. La società tutela i propri diritti a rigore di Legge.







PARCO EOLICO DI "BUDDUSO"

RELAZIONE DI CALCOLO E TABULATI OPERE EDILI  
SSEU



Ingegneria & Innovazione

30/06/2023

REV: 2

Pag. 217

Nodi - Reazioni vincolari esterne per effetto del sisma

IdNo	Dir	F <sub>x</sub>	F <sub>y</sub>	F <sub>z</sub>	M <sub>x</sub>	M <sub>y</sub>	M <sub>z</sub>
		[N]	[N]	[N]	[N-m]	[N-m]	[N-m]
00236	Z	0	0	0	0	0	0
00237	X	0	0	0	0	0	0
00237	Y	0	0	0	0	0	0
00237	Z	0	0	0	0	0	0
00238	X	0	0	0	0	0	0
00238	Y	0	0	0	0	0	0
00238	Z	0	0	0	0	0	0
00239	X	0	0	0	0	0	0
00239	Y	0	0	0	0	0	0
00239	Z	0	0	0	0	0	0
00240	X	0	0	0	0	0	0
00240	Y	0	0	0	0	0	0
00240	Z	0	0	0	0	0	0
00241	X	0	0	0	0	0	0
00241	Y	0	0	0	0	0	0
00241	Z	0	0	0	0	0	0
00242	X	0	0	0	0	0	0
00242	Y	0	0	0	0	0	0
00242	Z	0	0	0	0	0	0
00243	X	0	0	0	0	0	0
00243	Y	0	0	0	0	0	0
00243	Z	0	0	0	0	0	0
00244	X	0	0	0	0	0	0
00244	Y	0	0	0	0	0	0
00244	Z	0	0	0	0	0	0
00245	X	0	0	0	0	0	0
00245	Y	0	0	0	0	0	0
00245	Z	0	0	0	0	0	0
00246	X	0	0	0	0	0	0
00246	Y	0	0	0	0	0	0
00246	Z	0	0	0	0	0	0
00247	X	0	0	0	0	0	0
00247	Y	0	0	0	0	0	0
00247	Z	0	0	0	0	0	0
00248	X	0	0	0	0	0	0
00248	Y	0	0	0	0	0	0
00248	Z	0	0	0	0	0	0
00249	X	0	0	0	0	0	0
00249	Y	0	0	0	0	0	0
00249	Z	0	0	0	0	0	0
00250	X	0	0	0	0	0	0
00250	Y	0	0	0	0	0	0
00250	Z	0	0	0	0	0	0
00251	X	0	0	0	0	0	0
00251	Y	0	0	0	0	0	0
00251	Z	0	0	0	0	0	0
00252	X	0	0	0	0	0	0
00252	Y	0	0	0	0	0	0
00252	Z	0	0	0	0	0	0
00253	X	0	0	0	0	0	0
00253	Y	0	0	0	0	0	0
00253	Z	0	0	0	0	0	0
00254	X	0	0	0	0	0	0
00254	Y	0	0	0	0	0	0
00254	Z	0	0	0	0	0	0
00255	X	0	0	0	0	0	0
00255	Y	0	0	0	0	0	0
00255	Z	0	0	0	0	0	0
00256	X	0	0	0	0	0	0
00256	Y	0	0	0	0	0	0
00256	Z	0	0	0	0	0	0
00257	X	0	0	0	0	0	0
00257	Y	0	0	0	0	0	0
00257	Z	0	0	0	0	0	0
00258	X	0	0	0	0	0	0
00258	Y	0	0	0	0	0	0

Comm.: C20-025-S05

Il presente documento è di proprietà della ANTEX GROUP srl.  
È vietato la comunicazione a terzi o la riproduzione senza il permesso scritto della suddetta.  
La società tutela i propri diritti a rigore di Legge.





PARCO EOLICO DI "BUDDUSO"

RELAZIONE DI CALCOLO E TABULATI OPERE EDILI  
SSEU



Ingegneria & Innovazione

30/06/2023

REV: 2

Pag. 218

Nodi - Reazioni vincolari esterne per effetto del sisma

IdNd	Dir	F <sub>x</sub>	F <sub>y</sub>	F <sub>z</sub>	M <sub>x</sub>	M <sub>y</sub>	M <sub>z</sub>
		[N]	[N]	[N]	[N-m]	[N-m]	[N-m]
00258	Z	0	0	0	0	0	0
00259	X	0	0	0	0	0	0
00259	Y	0	0	0	0	0	0
00259	Z	0	0	0	0	0	0
00260	X	0	0	0	0	0	0
00260	Y	0	0	0	0	0	0
00260	Z	0	0	0	0	0	0
00261	X	0	0	0	0	0	0
00261	Y	0	0	0	0	0	0
00261	Z	0	0	0	0	0	0
00262	X	0	0	0	0	0	0
00262	Y	0	0	0	0	0	0
00262	Z	0	0	0	0	0	0
00263	X	0	0	0	0	0	0
00263	Y	0	0	0	0	0	0
00263	Z	0	0	0	0	0	0
00264	X	0	0	0	0	0	0
00264	Y	0	0	0	0	0	0
00264	Z	0	0	0	0	0	0
00265	X	0	0	0	0	0	0
00265	Y	0	0	0	0	0	0
00265	Z	0	0	0	0	0	0
00266	X	0	0	0	0	0	0
00266	Y	0	0	0	0	0	0
00266	Z	0	0	0	0	0	0
00267	X	0	0	0	0	0	0
00267	Y	0	0	0	0	0	0
00267	Z	0	0	0	0	0	0
00268	X	0	0	0	0	0	0
00268	Y	0	0	0	0	0	0
00268	Z	0	0	0	0	0	0
00269	X	0	0	0	0	0	0
00269	Y	0	0	0	0	0	0
00269	Z	0	0	0	0	0	0
00270	X	0	0	0	0	0	0
00270	Y	0	0	0	0	0	0
00270	Z	0	0	0	0	0	0
00271	X	0	0	0	0	0	0
00271	Y	0	0	0	0	0	0
00271	Z	0	0	0	0	0	0
00272	X	0	0	0	0	0	0
00272	Y	0	0	0	0	0	0
00272	Z	0	0	0	0	0	0
00273	X	0	0	0	0	0	0
00273	Y	0	0	0	0	0	0
00273	Z	0	0	0	0	0	0
00274	X	0	0	0	0	0	0
00274	Y	0	0	0	0	0	0
00274	Z	0	0	0	0	0	0
00275	X	0	0	0	0	0	0
00275	Y	0	0	0	0	0	0
00275	Z	0	0	0	0	0	0
00276	X	0	0	0	0	0	0
00276	Y	0	0	0	0	0	0
00276	Z	0	0	0	0	0	0
00277	X	0	0	0	0	0	0
00277	Y	0	0	0	0	0	0
00277	Z	0	0	0	0	0	0
00278	X	0	0	0	0	0	0
00278	Y	0	0	0	0	0	0
00278	Z	0	0	0	0	0	0
00279	X	0	0	0	0	0	0
00279	Y	0	0	0	0	0	0
00279	Z	0	0	0	0	0	0
00280	X	0	0	0	0	0	0
00280	Y	0	0	0	0	0	0

Comm.: C20-025-S05

Il presente documento è di proprietà della ANTEX GROUP srl.  
È vietato la comunicazione a terzi o la riproduzione senza il permesso scritto della suddetta.  
La società tutela i propri diritti a rigore di Legge.





PARCO EOLICO DI "BUDDUSO"

RELAZIONE DI CALCOLO E TABULATI OPERE EDILI  
SSEU



Ingegneria & Innovazione

30/06/2023

REV: 2

Pag. 219

Nodi - Reazioni vincolari esterne per effetto del sisma

IdNd	Dir	F <sub>x</sub>	F <sub>y</sub>	F <sub>z</sub>	M <sub>x</sub>	M <sub>y</sub>	M <sub>z</sub>
		[N]	[N]	[N]	[N-m]	[N-m]	[N-m]
00280	Z	0	0	0	0	0	0
00281	X	0	0	0	0	0	0
00281	Y	0	0	0	0	0	0
00281	Z	0	0	0	0	0	0
00282	X	0	0	0	0	0	0
00282	Y	0	0	0	0	0	0
00282	Z	0	0	0	0	0	0
00283	X	0	0	0	0	0	0
00283	Y	0	0	0	0	0	0
00283	Z	0	0	0	0	0	0
00284	X	0	0	0	0	0	0
00284	Y	0	0	0	0	0	0
00284	Z	0	0	0	0	0	0
00285	X	0	0	0	0	0	0
00285	Y	0	0	0	0	0	0
00285	Z	0	0	0	0	0	0
00286	X	0	0	0	0	0	0
00286	Y	0	0	0	0	0	0
00286	Z	0	0	0	0	0	0
00287	X	0	0	0	0	0	0
00287	Y	0	0	0	0	0	0
00287	Z	0	0	0	0	0	0
00288	X	0	0	0	0	0	0
00288	Y	0	0	0	0	0	0
00288	Z	0	0	0	0	0	0
00289	X	0	0	0	0	0	0
00289	Y	0	0	0	0	0	0
00289	Z	0	0	0	0	0	0
00290	X	0	0	0	0	0	0
00290	Y	0	0	0	0	0	0
00290	Z	0	0	0	0	0	0
00291	X	0	0	0	0	0	0
00291	Y	0	0	0	0	0	0
00291	Z	0	0	0	0	0	0
00292	X	0	0	0	0	0	0
00292	Y	0	0	0	0	0	0
00292	Z	0	0	0	0	0	0
00293	X	0	0	0	0	0	0
00293	Y	0	0	0	0	0	0
00293	Z	0	0	0	0	0	0
00294	X	0	0	0	0	0	0
00294	Y	0	0	0	0	0	0
00294	Z	0	0	0	0	0	0
00295	X	0	0	0	0	0	0
00295	Y	0	0	0	0	0	0
00295	Z	0	0	0	0	0	0
00296	X	0	0	0	0	0	0
00296	Y	0	0	0	0	0	0
00296	Z	0	0	0	0	0	0
00297	X	0	0	0	0	0	0
00297	Y	0	0	0	0	0	0
00297	Z	0	0	0	0	0	0
00298	X	0	0	0	0	0	0
00298	Y	0	0	0	0	0	0
00298	Z	0	0	0	0	0	0
00299	X	0	0	0	0	0	0
00299	Y	0	0	0	0	0	0
00299	Z	0	0	0	0	0	0
00300	X	0	0	0	0	0	0
00300	Y	0	0	0	0	0	0
00300	Z	0	0	0	0	0	0
00301	X	0	0	0	0	0	0
00301	Y	0	0	0	0	0	0
00301	Z	0	0	0	0	0	0
00302	X	0	0	0	0	0	0
00302	Y	0	0	0	0	0	0

Comm.: C20-025-S05

Il presente documento è di proprietà della ANTEX GROUP srl.  
È vietato la comunicazione a terzi o la riproduzione senza il permesso scritto della suddetta.  
La società tutela i propri diritti a rigore di Legge.





PARCO EOLICO DI "BUDDUSO"

RELAZIONE DI CALCOLO E TABULATI OPERE EDILI SSEU



Ingegneria & Innovazione

30/06/2023

REV: 2

Pag. 220

Nodi - Reazioni vincolari esterne per effetto del sisma

IdNo	Dir	F <sub>x</sub>	F <sub>y</sub>	F <sub>z</sub>	M <sub>x</sub>	M <sub>y</sub>	M <sub>z</sub>
		[N]	[N]	[N]	[N-m]	[N-m]	[N-m]
00302	Z	0	0	0	0	0	0
00303	X	0	0	0	0	0	0
00303	Y	0	0	0	0	0	0
00303	Z	0	0	0	0	0	0
00304	X	0	0	0	0	0	0
00304	Y	0	0	0	0	0	0
00304	Z	0	0	0	0	0	0
00305	X	0	0	0	0	0	0
00305	Y	0	0	0	0	0	0
00305	Z	0	0	0	0	0	0
00306	X	0	0	0	0	0	0
00306	Y	0	0	0	0	0	0
00306	Z	0	0	0	0	0	0
00307	X	0	0	0	0	0	0
00307	Y	0	0	0	0	0	0
00307	Z	0	0	0	0	0	0
00308	X	0	0	0	0	0	0
00308	Y	0	0	0	0	0	0
00308	Z	0	0	0	0	0	0
00309	X	0	0	0	0	0	0
00309	Y	0	0	0	0	0	0
00309	Z	0	0	0	0	0	0
00310	X	0	0	0	0	0	0
00310	Y	0	0	0	0	0	0
00310	Z	0	0	0	0	0	0
00311	X	0	0	0	0	0	0
00311	Y	0	0	0	0	0	0
00311	Z	0	0	0	0	0	0
00312	X	0	0	0	0	0	0
00312	Y	0	0	0	0	0	0
00312	Z	0	0	0	0	0	0
00313	X	0	0	0	0	0	0
00313	Y	0	0	0	0	0	0
00313	Z	0	0	0	0	0	0
00314	X	0	0	0	0	0	0
00314	Y	0	0	0	0	0	0
00314	Z	0	0	0	0	0	0
00315	X	0	0	0	0	0	0
00315	Y	0	0	0	0	0	0
00315	Z	0	0	0	0	0	0
00316	X	0	0	0	0	0	0
00316	Y	0	0	0	0	0	0
00316	Z	0	0	0	0	0	0
00317	X	0	0	0	0	0	0
00317	Y	0	0	0	0	0	0
00317	Z	0	0	0	0	0	0
00318	X	0	0	0	0	0	0
00318	Y	0	0	0	0	0	0
00318	Z	0	0	0	0	0	0
00319	X	0	0	0	0	0	0
00319	Y	0	0	0	0	0	0
00319	Z	0	0	0	0	0	0
00320	X	0	0	0	0	0	0
00320	Y	0	0	0	0	0	0
00320	Z	0	0	0	0	0	0
00321	X	0	0	0	0	0	0
00321	Y	0	0	0	0	0	0
00321	Z	0	0	0	0	0	0
00322	X	0	0	0	0	0	0
00322	Y	0	0	0	0	0	0
00322	Z	0	0	0	0	0	0
00323	X	0	0	0	0	0	0
00323	Y	0	0	0	0	0	0
00323	Z	0	0	0	0	0	0
00324	X	0	0	0	0	0	0
00324	Y	0	0	0	0	0	0

Comm.: C20-025-S05

Il presente documento è di proprietà della ANTEX GROUP srl. È vietato la comunicazione a terzi o la riproduzione senza il permesso scritto della suddetta. La società tutela i propri diritti a rigore di Legge.





PARCO EOLICO DI "BUDDUSO"

RELAZIONE DI CALCOLO E TABULATI OPERE EDILI  
SSEU



Ingegneria & Innovazione

30/06/2023

REV: 2

Pag. 221

Nodi - Reazioni vincolari esterne per effetto del sisma

IdNo	Dir	F <sub>x</sub>	F <sub>y</sub>	F <sub>z</sub>	M <sub>x</sub>	M <sub>y</sub>	M <sub>z</sub>
		[N]	[N]	[N]	[N-m]	[N-m]	[N-m]
00324	Z	0	0	0	0	0	0
00325	X	0	0	0	0	0	0
00325	Y	0	0	0	0	0	0
00325	Z	0	0	0	0	0	0
00326	X	0	0	0	0	0	0
00326	Y	0	0	0	0	0	0
00326	Z	0	0	0	0	0	0
00327	X	0	0	0	0	0	0
00327	Y	0	0	0	0	0	0
00327	Z	0	0	0	0	0	0
00328	X	0	0	0	0	0	0
00328	Y	0	0	0	0	0	0
00328	Z	0	0	0	0	0	0
00329	X	0	0	0	0	0	0
00329	Y	0	0	0	0	0	0
00329	Z	0	0	0	0	0	0
00330	X	0	0	0	0	0	0
00330	Y	0	0	0	0	0	0
00330	Z	0	0	0	0	0	0
00331	X	0	0	0	0	0	0
00331	Y	0	0	0	0	0	0
00331	Z	0	0	0	0	0	0
00332	X	0	0	0	0	0	0
00332	Y	0	0	0	0	0	0
00332	Z	0	0	0	0	0	0
00333	X	0	0	0	0	0	0
00333	Y	0	0	0	0	0	0
00333	Z	0	0	0	0	0	0
00334	X	0	0	0	0	0	0
00334	Y	0	0	0	0	0	0
00334	Z	0	0	0	0	0	0
00335	X	0	0	0	0	0	0
00335	Y	0	0	0	0	0	0
00335	Z	0	0	0	0	0	0
00336	X	0	0	0	0	0	0
00336	Y	0	0	0	0	0	0
00336	Z	0	0	0	0	0	0
00337	X	0	0	0	0	0	0
00337	Y	0	0	0	0	0	0
00337	Z	0	0	0	0	0	0
00338	X	0	0	0	0	0	0
00338	Y	0	0	0	0	0	0
00338	Z	0	0	0	0	0	0
00339	X	0	0	0	0	0	0
00339	Y	0	0	0	0	0	0
00339	Z	0	0	0	0	0	0
00340	X	0	0	0	0	0	0
00340	Y	0	0	0	0	0	0
00340	Z	0	0	0	0	0	0
00341	X	0	0	0	0	0	0
00341	Y	0	0	0	0	0	0
00341	Z	0	0	0	0	0	0
00342	X	0	0	0	0	0	0
00342	Y	0	0	0	0	0	0
00342	Z	0	0	0	0	0	0
00343	X	0	0	0	0	0	0
00343	Y	0	0	0	0	0	0
00343	Z	0	0	0	0	0	0
00344	X	0	0	0	0	0	0
00344	Y	0	0	0	0	0	0
00344	Z	0	0	0	0	0	0
00345	X	0	0	0	0	0	0
00345	Y	0	0	0	0	0	0
00345	Z	0	0	0	0	0	0
00346	X	0	0	0	0	0	0
00346	Y	0	0	0	0	0	0

Comm.: C20-025-S05

Il presente documento è di proprietà della ANTEX GROUP srl.  
È vietato la comunicazione a terzi o la riproduzione senza il permesso scritto della suddetta.  
La società tutela i propri diritti a rigore di Legge.





PARCO EOLICO DI "BUDDUSO"

RELAZIONE DI CALCOLO E TABULATI OPERE EDILI  
SSEU



Ingegneria & Innovazione

30/06/2023

REV: 2

Pag. 222

Nodi - Reazioni vincolari esterne per effetto del sisma

IdNo	Dir	F <sub>x</sub>	F <sub>y</sub>	F <sub>z</sub>	M <sub>x</sub>	M <sub>y</sub>	M <sub>z</sub>
		[N]	[N]	[N]	[N-m]	[N-m]	[N-m]
00346	Z	0	0	0	0	0	0
00347	X	0	0	0	0	0	0
00347	Y	0	0	0	0	0	0
00347	Z	0	0	0	0	0	0
00348	X	0	0	0	0	0	0
00348	Y	0	0	0	0	0	0
00348	Z	0	0	0	0	0	0
00349	X	0	0	0	0	0	0
00349	Y	0	0	0	0	0	0
00349	Z	0	0	0	0	0	0
00350	X	0	0	0	0	0	0
00350	Y	0	0	0	0	0	0
00350	Z	0	0	0	0	0	0
00351	X	0	0	0	0	0	0
00351	Y	0	0	0	0	0	0
00351	Z	0	0	0	0	0	0
00352	X	0	0	0	0	0	0
00352	Y	0	0	0	0	0	0
00352	Z	0	0	0	0	0	0
00353	X	0	0	0	0	0	0
00353	Y	0	0	0	0	0	0
00353	Z	0	0	0	0	0	0
00354	X	0	0	0	0	0	0
00354	Y	0	0	0	0	0	0
00354	Z	0	0	0	0	0	0
00355	X	0	0	0	0	0	0
00355	Y	0	0	0	0	0	0
00355	Z	0	0	0	0	0	0
00356	X	0	0	0	0	0	0
00356	Y	0	0	0	0	0	0
00356	Z	0	0	0	0	0	0
00357	X	0	0	0	0	0	0
00357	Y	0	0	0	0	0	0
00357	Z	0	0	0	0	0	0
00358	X	0	0	0	0	0	0
00358	Y	0	0	0	0	0	0
00358	Z	0	0	0	0	0	0
00359	X	0	0	0	0	0	0
00359	Y	0	0	0	0	0	0
00359	Z	0	0	0	0	0	0
00360	X	0	0	0	0	0	0
00360	Y	0	0	0	0	0	0
00360	Z	0	0	0	0	0	0
00361	X	0	0	0	0	0	0
00361	Y	0	0	0	0	0	0
00361	Z	0	0	0	0	0	0
00362	X	0	0	0	0	0	0
00362	Y	0	0	0	0	0	0
00362	Z	0	0	0	0	0	0
00363	X	0	0	0	0	0	0
00363	Y	0	0	0	0	0	0
00363	Z	0	0	0	0	0	0
00364	X	0	0	0	0	0	0
00364	Y	0	0	0	0	0	0
00364	Z	0	0	0	0	0	0
00365	X	0	0	0	0	0	0
00365	Y	0	0	0	0	0	0
00365	Z	0	0	0	0	0	0
00366	X	0	0	0	0	0	0
00366	Y	0	0	0	0	0	0
00366	Z	0	0	0	0	0	0
00367	X	0	0	0	0	0	0
00367	Y	0	0	0	0	0	0
00367	Z	0	0	0	0	0	0
00368	X	0	0	0	0	0	0
00368	Y	0	0	0	0	0	0

Comm.: C20-025-S05

Il presente documento è di proprietà della ANTEX GROUP srl.  
È vietato la comunicazione a terzi o la riproduzione senza il permesso scritto della suddetta.  
La società tutela i propri diritti a rigore di Legge.





PARCO EOLICO DI "BUDDUSO"

RELAZIONE DI CALCOLO E TABULATI OPERE EDILI  
SSEU



Ingegneria & Innovazione

30/06/2023

REV: 2

Pag. 223

Nodi - Reazioni vincolari esterne per effetto del sisma

IdNd	Dir	F <sub>x</sub>	F <sub>y</sub>	F <sub>z</sub>	M <sub>x</sub>	M <sub>y</sub>	M <sub>z</sub>
		[N]	[N]	[N]	[N-m]	[N-m]	[N-m]
00368	Z	0	0	0	0	0	0
00369	X	0	0	0	0	0	0
00369	Y	0	0	0	0	0	0
00369	Z	0	0	0	0	0	0
00370	X	0	0	0	0	0	0
00370	Y	0	0	0	0	0	0
00370	Z	0	0	0	0	0	0
00371	X	0	0	0	0	0	0
00371	Y	0	0	0	0	0	0
00371	Z	0	0	0	0	0	0
00372	X	0	0	0	0	0	0
00372	Y	0	0	0	0	0	0
00372	Z	0	0	0	0	0	0
00373	X	0	0	0	0	0	0
00373	Y	0	0	0	0	0	0
00373	Z	0	0	0	0	0	0
00374	X	0	0	0	0	0	0
00374	Y	0	0	0	0	0	0
00374	Z	0	0	0	0	0	0
00375	X	0	0	0	0	0	0
00375	Y	0	0	0	0	0	0
00375	Z	0	0	0	0	0	0
00376	X	0	0	0	0	0	0
00376	Y	0	0	0	0	0	0
00376	Z	0	0	0	0	0	0
00377	X	0	0	0	0	0	0
00377	Y	0	0	0	0	0	0
00377	Z	0	0	0	0	0	0
00378	X	0	0	0	0	0	0
00378	Y	0	0	0	0	0	0
00378	Z	0	0	0	0	0	0
00379	X	0	0	0	0	0	0
00379	Y	0	0	0	0	0	0
00379	Z	0	0	0	0	0	0
00380	X	0	0	0	0	0	0
00380	Y	0	0	0	0	0	0
00380	Z	0	0	0	0	0	0
00381	X	0	0	0	0	0	0
00381	Y	0	0	0	0	0	0
00381	Z	0	0	0	0	0	0
00382	X	0	0	0	0	0	0
00382	Y	0	0	0	0	0	0
00382	Z	0	0	0	0	0	0
00383	X	0	0	0	0	0	0
00383	Y	0	0	0	0	0	0
00383	Z	0	0	0	0	0	0
00384	X	0	0	0	0	0	0
00384	Y	0	0	0	0	0	0
00384	Z	0	0	0	0	0	0
00385	X	0	0	0	0	0	0
00385	Y	0	0	0	0	0	0
00385	Z	0	0	0	0	0	0
00386	X	0	0	0	0	0	0
00386	Y	0	0	0	0	0	0
00386	Z	0	0	0	0	0	0
00387	X	0	0	0	0	0	0
00387	Y	0	0	0	0	0	0
00387	Z	0	0	0	0	0	0
00388	X	0	0	0	0	0	0
00388	Y	0	0	0	0	0	0
00388	Z	0	0	0	0	0	0
00389	X	0	0	0	0	0	0
00389	Y	0	0	0	0	0	0
00389	Z	0	0	0	0	0	0
00390	X	0	0	0	0	0	0
00390	Y	0	0	0	0	0	0

Comm.: C20-025-S05

Il presente documento è di proprietà della ANTEX GROUP srl.  
È vietato la comunicazione a terzi o la riproduzione senza il permesso scritto della suddetta.  
La società tutela i propri diritti a rigore di Legge.





PARCO EOLICO DI "BUDDUSO"

RELAZIONE DI CALCOLO E TABULATI OPERE EDILI  
SSEU



Ingegneria & Innovazione

30/06/2023

REV: 2

Pag. 224

Nodi - Reazioni vincolari esterne per effetto del sisma

IdNo	Dir	F <sub>x</sub>	F <sub>y</sub>	F <sub>z</sub>	M <sub>x</sub>	M <sub>y</sub>	M <sub>z</sub>
		[N]	[N]	[N]	[N-m]	[N-m]	[N-m]
00390	Z	0	0	0	0	0	0
00391	X	0	0	0	0	0	0
00391	Y	0	0	0	0	0	0
00391	Z	0	0	0	0	0	0
00392	X	0	0	0	0	0	0
00392	Y	0	0	0	0	0	0
00392	Z	0	0	0	0	0	0
00393	X	0	0	0	0	0	0
00393	Y	0	0	0	0	0	0
00393	Z	0	0	0	0	0	0
00394	X	0	0	0	0	0	0
00394	Y	0	0	0	0	0	0
00394	Z	0	0	0	0	0	0
00395	X	0	0	0	0	0	0
00395	Y	0	0	0	0	0	0
00395	Z	0	0	0	0	0	0
00396	X	0	0	0	0	0	0
00396	Y	0	0	0	0	0	0
00396	Z	0	0	0	0	0	0
00397	X	0	0	0	0	0	0
00397	Y	0	0	0	0	0	0
00397	Z	0	0	0	0	0	0
00398	X	0	0	0	0	0	0
00398	Y	0	0	0	0	0	0
00398	Z	0	0	0	0	0	0
00399	X	0	0	0	0	0	0
00399	Y	0	0	0	0	0	0
00399	Z	0	0	0	0	0	0
00400	X	0	0	0	0	0	0
00400	Y	0	0	0	0	0	0
00400	Z	0	0	0	0	0	0
00401	X	0	0	0	0	0	0
00401	Y	0	0	0	0	0	0
00401	Z	0	0	0	0	0	0
00402	X	0	0	0	0	0	0
00402	Y	0	0	0	0	0	0
00402	Z	0	0	0	0	0	0
00403	X	0	0	0	0	0	0
00403	Y	0	0	0	0	0	0
00403	Z	0	0	0	0	0	0
00404	X	0	0	0	0	0	0
00404	Y	0	0	0	0	0	0
00404	Z	0	0	0	0	0	0
00405	X	0	0	0	0	0	0
00405	Y	0	0	0	0	0	0
00405	Z	0	0	0	0	0	0
00406	X	0	0	0	0	0	0
00406	Y	0	0	0	0	0	0
00406	Z	0	0	0	0	0	0
00407	X	0	0	0	0	0	0
00407	Y	0	0	0	0	0	0
00407	Z	0	0	0	0	0	0
00408	X	0	0	0	0	0	0
00408	Y	0	0	0	0	0	0
00408	Z	0	0	0	0	0	0
00409	X	0	0	0	0	0	0
00409	Y	0	0	0	0	0	0
00409	Z	0	0	0	0	0	0
00410	X	0	0	0	0	0	0
00410	Y	0	0	0	0	0	0
00410	Z	0	0	0	0	0	0
00411	X	0	0	0	0	0	0
00411	Y	0	0	0	0	0	0
00411	Z	0	0	0	0	0	0
00412	X	0	0	0	0	0	0
00412	Y	0	0	0	0	0	0

Comm.: C20-025-S05

Il presente documento è di proprietà della ANTEX GROUP srl.  
È vietato la comunicazione a terzi o la riproduzione senza il permesso scritto della suddetta.  
La società tutela i propri diritti a rigore di Legge.







PARCO EOLICO DI "BUDDUSO"

RELAZIONE DI CALCOLO E TABULATI OPERE EDILI  
SSEU



Ingegneria & Innovazione

30/06/2023

REV: 2

Pag. 225

Nodi - Reazioni vincolari esterne per effetto del sisma

IdNo	Dir	F <sub>x</sub>	F <sub>y</sub>	F <sub>z</sub>	M <sub>x</sub>	M <sub>y</sub>	M <sub>z</sub>
		[N]	[N]	[N]	[N-m]	[N-m]	[N-m]
00412	Z	0	0	0	0	0	0
00413	X	0	0	0	0	0	0
00413	Y	0	0	0	0	0	0
00413	Z	0	0	0	0	0	0
00414	X	0	0	0	0	0	0
00414	Y	0	0	0	0	0	0
00414	Z	0	0	0	0	0	0
00415	X	0	0	0	0	0	0
00415	Y	0	0	0	0	0	0
00415	Z	0	0	0	0	0	0
00416	X	0	0	0	0	0	0
00416	Y	0	0	0	0	0	0
00416	Z	0	0	0	0	0	0
00417	X	0	0	0	0	0	0
00417	Y	0	0	0	0	0	0
00417	Z	0	0	0	0	0	0
00418	X	0	0	0	0	0	0
00418	Y	0	0	0	0	0	0
00418	Z	0	0	0	0	0	0
00419	X	0	0	0	0	0	0
00419	Y	0	0	0	0	0	0
00419	Z	0	0	0	0	0	0
00420	X	0	0	0	0	0	0
00420	Y	0	0	0	0	0	0
00420	Z	0	0	0	0	0	0
00421	X	0	0	0	0	0	0
00421	Y	0	0	0	0	0	0
00421	Z	0	0	0	0	0	0
00422	X	0	0	0	0	0	0
00422	Y	0	0	0	0	0	0
00422	Z	0	0	0	0	0	0
00423	X	0	0	0	0	0	0
00423	Y	0	0	0	0	0	0
00423	Z	0	0	0	0	0	0
00424	X	0	0	0	0	0	0
00424	Y	0	0	0	0	0	0
00424	Z	0	0	0	0	0	0
00425	X	0	0	0	0	0	0
00425	Y	0	0	0	0	0	0
00425	Z	0	0	0	0	0	0
00426	X	0	0	0	0	0	0
00426	Y	0	0	0	0	0	0
00426	Z	0	0	0	0	0	0
00427	X	0	0	0	0	0	0
00427	Y	0	0	0	0	0	0
00427	Z	0	0	0	0	0	0
00428	X	0	0	0	0	0	0
00428	Y	0	0	0	0	0	0
00428	Z	0	0	0	0	0	0
00429	X	0	0	0	0	0	0
00429	Y	0	0	0	0	0	0
00429	Z	0	0	0	0	0	0
00430	X	0	0	0	0	0	0
00430	Y	0	0	0	0	0	0
00430	Z	0	0	0	0	0	0
00431	X	0	0	0	0	0	0
00431	Y	0	0	0	0	0	0
00431	Z	0	0	0	0	0	0
00432	X	0	0	0	0	0	0
00432	Y	0	0	0	0	0	0
00432	Z	0	0	0	0	0	0
00433	X	0	0	0	0	0	0
00433	Y	0	0	0	0	0	0
00433	Z	0	0	0	0	0	0
00434	X	0	0	0	0	0	0
00434	Y	0	0	0	0	0	0

Comm.: C20-025-S05

Il presente documento è di proprietà della ANTEX GROUP srl.  
È vietato la comunicazione a terzi o la riproduzione senza il permesso scritto della suddetta.  
La società tutela i propri diritti a rigore di Legge.





PARCO EOLICO DI "BUDDUSO"

RELAZIONE DI CALCOLO E TABULATI OPERE EDILI  
SSEU



Ingegneria & Innovazione

30/06/2023

REV: 2

Pag. 226

Nodi - Reazioni vincolari esterne per effetto del sisma

IdNo	Dir	F <sub>x</sub>	F <sub>y</sub>	F <sub>z</sub>	M <sub>x</sub>	M <sub>y</sub>	M <sub>z</sub>
		[N]	[N]	[N]	[N-m]	[N-m]	[N-m]
00434	Z	0	0	0	0	0	0
00435	X	0	0	0	0	0	0
00435	Y	0	0	0	0	0	0
00435	Z	0	0	0	0	0	0
00436	X	0	0	0	0	0	0
00436	Y	0	0	0	0	0	0
00436	Z	0	0	0	0	0	0
00437	X	0	0	0	0	0	0
00437	Y	0	0	0	0	0	0
00437	Z	0	0	0	0	0	0
00438	X	0	0	0	0	0	0
00438	Y	0	0	0	0	0	0
00438	Z	0	0	0	0	0	0
00439	X	0	0	0	0	0	0
00439	Y	0	0	0	0	0	0
00439	Z	0	0	0	0	0	0
00440	X	0	0	0	0	0	0
00440	Y	0	0	0	0	0	0
00440	Z	0	0	0	0	0	0
00441	X	0	0	0	0	0	0
00441	Y	0	0	0	0	0	0
00441	Z	0	0	0	0	0	0
00442	X	0	0	0	0	0	0
00442	Y	0	0	0	0	0	0
00442	Z	0	0	0	0	0	0
00443	X	0	0	0	0	0	0
00443	Y	0	0	0	0	0	0
00443	Z	0	0	0	0	0	0
00444	X	0	0	0	0	0	0
00444	Y	0	0	0	0	0	0
00444	Z	0	0	0	0	0	0
00445	X	0	0	0	0	0	0
00445	Y	0	0	0	0	0	0
00445	Z	0	0	0	0	0	0
00446	X	0	0	0	0	0	0
00446	Y	0	0	0	0	0	0
00446	Z	0	0	0	0	0	0
00447	X	0	0	0	0	0	0
00447	Y	0	0	0	0	0	0
00447	Z	0	0	0	0	0	0
00448	X	0	0	0	0	0	0
00448	Y	0	0	0	0	0	0
00448	Z	0	0	0	0	0	0
00449	X	0	0	0	0	0	0
00449	Y	0	0	0	0	0	0
00449	Z	0	0	0	0	0	0
00450	X	0	0	0	0	0	0
00450	Y	0	0	0	0	0	0
00450	Z	0	0	0	0	0	0
00451	X	0	0	0	0	0	0
00451	Y	0	0	0	0	0	0
00451	Z	0	0	0	0	0	0
00452	X	0	0	0	0	0	0
00452	Y	0	0	0	0	0	0
00452	Z	0	0	0	0	0	0
00453	X	0	0	0	0	0	0
00453	Y	0	0	0	0	0	0
00453	Z	0	0	0	0	0	0
00454	X	0	0	0	0	0	0
00454	Y	0	0	0	0	0	0
00454	Z	0	0	0	0	0	0
00455	X	0	0	0	0	0	0
00455	Y	0	0	0	0	0	0
00455	Z	0	0	0	0	0	0
00456	X	0	0	0	0	0	0
00456	Y	0	0	0	0	0	0

Comm.: C20-025-S05

Il presente documento è di proprietà della ANTEX GROUP srl.  
È vietato la comunicazione a terzi o la riproduzione senza il permesso scritto della suddetta.  
La società tutela i propri diritti a rigore di Legge.





PARCO EOLICO DI "BUDDUSO"

RELAZIONE DI CALCOLO E TABULATI OPERE EDILI  
SSEU



Ingegneria & Innovazione

30/06/2023

REV: 2

Pag. 227

Nodi - Reazioni vincolari esterne per effetto del sisma

IdNo	Dir	F <sub>x</sub>	F <sub>y</sub>	F <sub>z</sub>	M <sub>x</sub>	M <sub>y</sub>	M <sub>z</sub>
		[N]	[N]	[N]	[N-m]	[N-m]	[N-m]
00456	Z	0	0	0	0	0	0
00457	X	0	0	0	0	0	0
00457	Y	0	0	0	0	0	0
00457	Z	0	0	0	0	0	0
00458	X	0	0	0	0	0	0
00458	Y	0	0	0	0	0	0
00458	Z	0	0	0	0	0	0
00459	X	0	0	0	0	0	0
00459	Y	0	0	0	0	0	0
00459	Z	0	0	0	0	0	0
00460	X	0	0	0	0	0	0
00460	Y	0	0	0	0	0	0
00460	Z	0	0	0	0	0	0
00461	X	0	0	0	0	0	0
00461	Y	0	0	0	0	0	0
00461	Z	0	0	0	0	0	0
00462	X	0	0	0	0	0	0
00462	Y	0	0	0	0	0	0
00462	Z	0	0	0	0	0	0
00463	X	0	0	0	0	0	0
00463	Y	0	0	0	0	0	0
00463	Z	0	0	0	0	0	0
00464	X	0	0	0	0	0	0
00464	Y	0	0	0	0	0	0
00464	Z	0	0	0	0	0	0
00465	X	0	0	0	0	0	0
00465	Y	0	0	0	0	0	0
00465	Z	0	0	0	0	0	0
00466	X	0	0	0	0	0	0
00466	Y	0	0	0	0	0	0
00466	Z	0	0	0	0	0	0
00467	X	0	0	0	0	0	0
00467	Y	0	0	0	0	0	0
00467	Z	0	0	0	0	0	0
00468	X	0	0	0	0	0	0
00468	Y	0	0	0	0	0	0
00468	Z	0	0	0	0	0	0
00469	X	0	0	0	0	0	0
00469	Y	0	0	0	0	0	0
00469	Z	0	0	0	0	0	0
00470	X	0	0	0	0	0	0
00470	Y	0	0	0	0	0	0
00470	Z	0	0	0	0	0	0
00471	X	0	0	0	0	0	0
00471	Y	0	0	0	0	0	0
00471	Z	0	0	0	0	0	0
00472	X	0	0	0	0	0	0
00472	Y	0	0	0	0	0	0
00472	Z	0	0	0	0	0	0
00473	X	0	0	0	0	0	0
00473	Y	0	0	0	0	0	0
00473	Z	0	0	0	0	0	0
00474	X	0	0	0	0	0	0
00474	Y	0	0	0	0	0	0
00474	Z	0	0	0	0	0	0
00475	X	0	0	0	0	0	0
00475	Y	0	0	0	0	0	0
00475	Z	0	0	0	0	0	0
00476	X	0	0	0	0	0	0
00476	Y	0	0	0	0	0	0
00476	Z	0	0	0	0	0	0
00477	X	0	0	0	0	0	0
00477	Y	0	0	0	0	0	0
00477	Z	0	0	0	0	0	0
00478	X	0	0	0	0	0	0
00478	Y	0	0	0	0	0	0

Comm.: C20-025-S05

Il presente documento è di proprietà della ANTEX GROUP srl.  
È vietato la comunicazione a terzi o la riproduzione senza il permesso scritto della suddetta.  
La società tutela i propri diritti a rigore di Legge.





PARCO EOLICO DI "BUDDUSO"

RELAZIONE DI CALCOLO E TABULATI OPERE EDILI  
SSEU



Ingegneria & Innovazione

30/06/2023

REV: 2

Pag. 228

Nodi - Reazioni vincolari esterne per effetto del sisma

IdNo	Dir	F <sub>x</sub>	F <sub>y</sub>	F <sub>z</sub>	M <sub>x</sub>	M <sub>y</sub>	M <sub>z</sub>
		[N]	[N]	[N]	[N-m]	[N-m]	[N-m]
00478	Z	0	0	0	0	0	0
00479	X	0	0	0	0	0	0
00479	Y	0	0	0	0	0	0
00479	Z	0	0	0	0	0	0
00480	X	0	0	0	0	0	0
00480	Y	0	0	0	0	0	0
00480	Z	0	0	0	0	0	0
00481	X	0	0	0	0	0	0
00481	Y	0	0	0	0	0	0
00481	Z	0	0	0	0	0	0
00482	X	0	0	0	0	0	0
00482	Y	0	0	0	0	0	0
00482	Z	0	0	0	0	0	0
00483	X	0	0	0	0	0	0
00483	Y	0	0	0	0	0	0
00483	Z	0	0	0	0	0	0
00484	X	0	0	0	0	0	0
00484	Y	0	0	0	0	0	0
00484	Z	0	0	0	0	0	0
00485	X	0	0	0	0	0	0
00485	Y	0	0	0	0	0	0
00485	Z	0	0	0	0	0	0
00486	X	0	0	0	0	0	0
00486	Y	0	0	0	0	0	0
00486	Z	0	0	0	0	0	0
00487	X	0	0	0	0	0	0
00487	Y	0	0	0	0	0	0
00487	Z	0	0	0	0	0	0
00488	X	0	0	0	0	0	0
00488	Y	0	0	0	0	0	0
00488	Z	0	0	0	0	0	0
00489	X	0	0	0	0	0	0
00489	Y	0	0	0	0	0	0
00489	Z	0	0	0	0	0	0
00490	X	0	0	0	0	0	0
00490	Y	0	0	0	0	0	0
00490	Z	0	0	0	0	0	0
00491	X	0	0	0	0	0	0
00491	Y	0	0	0	0	0	0
00491	Z	0	0	0	0	0	0
00492	X	0	0	0	0	0	0
00492	Y	0	0	0	0	0	0
00492	Z	0	0	0	0	0	0
00493	X	0	0	0	0	0	0
00493	Y	0	0	0	0	0	0
00493	Z	0	0	0	0	0	0
00494	X	0	0	0	0	0	0
00494	Y	0	0	0	0	0	0
00494	Z	0	0	0	0	0	0
00495	X	0	0	0	0	0	0
00495	Y	0	0	0	0	0	0
00495	Z	0	0	0	0	0	0
00496	X	0	0	0	0	0	0
00496	Y	0	0	0	0	0	0
00496	Z	0	0	0	0	0	0
00497	X	0	0	0	0	0	0
00497	Y	0	0	0	0	0	0
00497	Z	0	0	0	0	0	0
00498	X	0	0	0	0	0	0
00498	Y	0	0	0	0	0	0
00498	Z	0	0	0	0	0	0
00499	X	0	0	0	0	0	0
00499	Y	0	0	0	0	0	0
00499	Z	0	0	0	0	0	0
00500	X	0	0	0	0	0	0
00500	Y	0	0	0	0	0	0

Comm.: C20-025-S05

Il presente documento è di proprietà della ANTEX GROUP srl.  
È vietato la comunicazione a terzi o la riproduzione senza il permesso scritto della suddetta.  
La società tutela i propri diritti a rigore di Legge.





PARCO EOLICO DI "BUDDUSO"

RELAZIONE DI CALCOLO E TABULATI OPERE EDILI  
SSEU



Ingegneria & Innovazione

30/06/2023

REV: 2

Pag. 229

Nodi - Reazioni vincolari esterne per effetto del sisma

IdNd	Dir	F <sub>x</sub>	F <sub>y</sub>	F <sub>z</sub>	M <sub>x</sub>	M <sub>y</sub>	M <sub>z</sub>
		[N]	[N]	[N]	[N-m]	[N-m]	[N-m]
00500	Z	0	0	0	0	0	0
00501	X	0	0	0	0	0	0
00501	Y	0	0	0	0	0	0
00501	Z	0	0	0	0	0	0
00502	X	0	0	0	0	0	0
00502	Y	0	0	0	0	0	0
00502	Z	0	0	0	0	0	0
00503	X	0	0	0	0	0	0
00503	Y	0	0	0	0	0	0
00503	Z	0	0	0	0	0	0
00504	X	0	0	0	0	0	0
00504	Y	0	0	0	0	0	0
00504	Z	0	0	0	0	0	0
00505	X	0	0	0	0	0	0
00505	Y	0	0	0	0	0	0
00505	Z	0	0	0	0	0	0
00506	X	0	0	0	0	0	0
00506	Y	0	0	0	0	0	0
00506	Z	0	0	0	0	0	0
00507	X	0	0	0	0	0	0
00507	Y	0	0	0	0	0	0
00507	Z	0	0	0	0	0	0
00508	X	0	0	0	0	0	0
00508	Y	0	0	0	0	0	0
00508	Z	0	0	0	0	0	0
00509	X	0	0	0	0	0	0
00509	Y	0	0	0	0	0	0
00509	Z	0	0	0	0	0	0
00510	X	0	0	0	0	0	0
00510	Y	0	0	0	0	0	0
00510	Z	0	0	0	0	0	0
00511	X	0	0	0	0	0	0
00511	Y	0	0	0	0	0	0
00511	Z	0	0	0	0	0	0
00512	X	0	0	0	0	0	0
00512	Y	0	0	0	0	0	0
00512	Z	0	0	0	0	0	0
00513	X	0	0	0	0	0	0
00513	Y	0	0	0	0	0	0
00513	Z	0	0	0	0	0	0
00514	X	0	0	0	0	0	0
00514	Y	0	0	0	0	0	0
00514	Z	0	0	0	0	0	0
00515	X	0	0	0	0	0	0
00515	Y	0	0	0	0	0	0
00515	Z	0	0	0	0	0	0
00516	X	0	0	0	0	0	0
00516	Y	0	0	0	0	0	0
00516	Z	0	0	0	0	0	0
00517	X	0	0	0	0	0	0
00517	Y	0	0	0	0	0	0
00517	Z	0	0	0	0	0	0
00518	X	0	0	0	0	0	0
00518	Y	0	0	0	0	0	0
00518	Z	0	0	0	0	0	0
00519	X	0	0	0	0	0	0
00519	Y	0	0	0	0	0	0
00519	Z	0	0	0	0	0	0
00520	X	0	0	0	0	0	0
00520	Y	0	0	0	0	0	0
00520	Z	0	0	0	0	0	0
00521	X	0	0	0	0	0	0
00521	Y	0	0	0	0	0	0
00521	Z	0	0	0	0	0	0
00522	X	0	0	0	0	0	0
00522	Y	0	0	0	0	0	0

Comm.: C20-025-S05

Il presente documento è di proprietà della ANTEX GROUP srl.  
È vietato la comunicazione a terzi o la riproduzione senza il permesso scritto della suddetta.  
La società tutela i propri diritti a rigore di Legge.





PARCO EOLICO DI "BUDDUSO"

RELAZIONE DI CALCOLO E TABULATI OPERE EDILI  
SSEU



Ingegneria & Innovazione

30/06/2023

REV: 2

Pag. 230

Nodi - Reazioni vincolari esterne per effetto del sisma

IdNd	Dir	F <sub>x</sub>	F <sub>y</sub>	F <sub>z</sub>	M <sub>x</sub>	M <sub>y</sub>	M <sub>z</sub>
		[N]	[N]	[N]	[N-m]	[N-m]	[N-m]
00522	Z	0	0	0	0	0	0
00523	X	0	0	0	0	0	0
00523	Y	0	0	0	0	0	0
00523	Z	0	0	0	0	0	0
00524	X	0	0	0	0	0	0
00524	Y	0	0	0	0	0	0
00524	Z	0	0	0	0	0	0
00525	X	0	0	0	0	0	0
00525	Y	0	0	0	0	0	0
00525	Z	0	0	0	0	0	0
00526	X	0	0	0	0	0	0
00526	Y	0	0	0	0	0	0
00526	Z	0	0	0	0	0	0
00527	X	0	0	0	0	0	0
00527	Y	0	0	0	0	0	0
00527	Z	0	0	0	0	0	0
00528	X	0	0	0	0	0	0
00528	Y	0	0	0	0	0	0
00528	Z	0	0	0	0	0	0
00529	X	0	0	0	0	0	0
00529	Y	0	0	0	0	0	0
00529	Z	0	0	0	0	0	0
00530	X	0	0	0	0	0	0
00530	Y	0	0	0	0	0	0
00530	Z	0	0	0	0	0	0
00531	X	0	0	0	0	0	0
00531	Y	0	0	0	0	0	0
00531	Z	0	0	0	0	0	0
00532	X	0	0	0	0	0	0
00532	Y	0	0	0	0	0	0
00532	Z	0	0	0	0	0	0
00533	X	0	0	0	0	0	0
00533	Y	0	0	0	0	0	0
00533	Z	0	0	0	0	0	0
00534	X	0	0	0	0	0	0
00534	Y	0	0	0	0	0	0
00534	Z	0	0	0	0	0	0
00535	X	0	0	0	0	0	0
00535	Y	0	0	0	0	0	0
00535	Z	0	0	0	0	0	0
00536	X	0	0	0	0	0	0
00536	Y	0	0	0	0	0	0
00536	Z	0	0	0	0	0	0
00537	X	0	0	0	0	0	0
00537	Y	0	0	0	0	0	0
00537	Z	0	0	0	0	0	0
00538	X	0	0	0	0	0	0
00538	Y	0	0	0	0	0	0
00538	Z	0	0	0	0	0	0
00539	X	0	0	0	0	0	0
00539	Y	0	0	0	0	0	0
00539	Z	0	0	0	0	0	0
00540	X	0	0	0	0	0	0
00540	Y	0	0	0	0	0	0
00540	Z	0	0	0	0	0	0
00541	X	0	0	0	0	0	0
00541	Y	0	0	0	0	0	0
00541	Z	0	0	0	0	0	0
00542	X	0	0	0	0	0	0
00542	Y	0	0	0	0	0	0
00542	Z	0	0	0	0	0	0
00543	X	0	0	0	0	0	0
00543	Y	0	0	0	0	0	0
00543	Z	0	0	0	0	0	0
00544	X	0	0	0	0	0	0
00544	Y	0	0	0	0	0	0

Comm.: C20-025-S05

Il presente documento è di proprietà della ANTEX GROUP srl.  
È vietato la comunicazione a terzi o la riproduzione senza il permesso scritto della suddetta.  
La società tutela i propri diritti a rigore di Legge.





PARCO EOLICO DI "BUDDUSO"

RELAZIONE DI CALCOLO E TABULATI OPERE EDILI  
SSEU



Ingegneria & Innovazione

30/06/2023

REV: 2

Pag. 231

Nodi - Reazioni vincolari esterne per effetto del sisma

IdNo	Dir	F <sub>x</sub>	F <sub>y</sub>	F <sub>z</sub>	M <sub>x</sub>	M <sub>y</sub>	M <sub>z</sub>
		[N]	[N]	[N]	[N-m]	[N-m]	[N-m]
00544	Z	0	0	0	0	0	0
00545	X	0	0	0	0	0	0
00545	Y	0	0	0	0	0	0
00545	Z	0	0	0	0	0	0
00546	X	0	0	0	0	0	0
00546	Y	0	0	0	0	0	0
00546	Z	0	0	0	0	0	0
00547	X	0	0	0	0	0	0
00547	Y	0	0	0	0	0	0
00547	Z	0	0	0	0	0	0
00548	X	0	0	0	0	0	0
00548	Y	0	0	0	0	0	0
00548	Z	0	0	0	0	0	0
00549	X	0	0	0	0	0	0
00549	Y	0	0	0	0	0	0
00549	Z	0	0	0	0	0	0
00550	X	0	0	0	0	0	0
00550	Y	0	0	0	0	0	0
00550	Z	0	0	0	0	0	0
00551	X	0	0	0	0	0	0
00551	Y	0	0	0	0	0	0
00551	Z	0	0	0	0	0	0
00552	X	0	0	0	0	0	0
00552	Y	0	0	0	0	0	0
00552	Z	0	0	0	0	0	0
00553	X	0	0	0	0	0	0
00553	Y	0	0	0	0	0	0
00553	Z	0	0	0	0	0	0
00554	X	0	0	0	0	0	0
00554	Y	0	0	0	0	0	0
00554	Z	0	0	0	0	0	0
00555	X	0	0	0	0	0	0
00555	Y	0	0	0	0	0	0
00555	Z	0	0	0	0	0	0
00556	X	0	0	0	0	0	0
00556	Y	0	0	0	0	0	0
00556	Z	0	0	0	0	0	0
00557	X	0	0	0	0	0	0
00557	Y	0	0	0	0	0	0
00557	Z	0	0	0	0	0	0
00558	X	0	0	0	0	0	0
00558	Y	0	0	0	0	0	0
00558	Z	0	0	0	0	0	0
00559	X	0	0	0	0	0	0
00559	Y	0	0	0	0	0	0
00559	Z	0	0	0	0	0	0
00560	X	0	0	0	0	0	0
00560	Y	0	0	0	0	0	0
00560	Z	0	0	0	0	0	0
00561	X	0	0	0	0	0	0
00561	Y	0	0	0	0	0	0
00561	Z	0	0	0	0	0	0
00562	X	0	0	0	0	0	0
00562	Y	0	0	0	0	0	0
00562	Z	0	0	0	0	0	0
00563	X	0	0	0	0	0	0
00563	Y	0	0	0	0	0	0
00563	Z	0	0	0	0	0	0
00564	X	0	0	0	0	0	0
00564	Y	0	0	0	0	0	0
00564	Z	0	0	0	0	0	0
00565	X	0	0	0	0	0	0
00565	Y	0	0	0	0	0	0
00565	Z	0	0	0	0	0	0
00566	X	0	0	0	0	0	0
00566	Y	0	0	0	0	0	0

Comm.: C20-025-S05

Il presente documento è di proprietà della ANTEX GROUP srl.  
È vietato la comunicazione a terzi o la riproduzione senza il permesso scritto della suddetta.  
La società tutela i propri diritti a rigore di Legge.





PARCO EOLICO DI "BUDDUSO"

RELAZIONE DI CALCOLO E TABULATI OPERE EDILI SSEU



Ingegneria & Innovazione

30/06/2023

REV: 2

Pag. 232

Nodi - Reazioni vincolari esterne per effetto del sisma

IdNd	Dir	F <sub>x</sub>	F <sub>y</sub>	F <sub>z</sub>	M <sub>x</sub>	M <sub>y</sub>	M <sub>z</sub>
		[N]	[N]	[N]	[N-m]	[N-m]	[N-m]
00566	Z	0	0	0	0	0	0
00567	X	0	0	0	0	0	0
00567	Y	0	0	0	0	0	0
00567	Z	0	0	0	0	0	0
00568	X	0	0	0	0	0	0
00568	Y	0	0	0	0	0	0
00568	Z	0	0	0	0	0	0
00569	X	0	0	0	0	0	0
00569	Y	0	0	0	0	0	0
00569	Z	0	0	0	0	0	0
00570	X	0	0	0	0	0	0
00570	Y	0	0	0	0	0	0
00570	Z	0	0	0	0	0	0
00571	X	0	0	0	0	0	0
00571	Y	0	0	0	0	0	0
00571	Z	0	0	0	0	0	0
00572	X	0	0	0	0	0	0
00572	Y	0	0	0	0	0	0
00572	Z	0	0	0	0	0	0
00573	X	0	0	0	0	0	0
00573	Y	0	0	0	0	0	0
00573	Z	0	0	0	0	0	0
00574	X	0	0	0	0	0	0
00574	Y	0	0	0	0	0	0
00574	Z	0	0	0	0	0	0
00575	X	0	0	0	0	0	0
00575	Y	0	0	0	0	0	0
00575	Z	0	0	0	0	0	0
00576	X	0	0	0	0	0	0
00576	Y	0	0	0	0	0	0
00576	Z	0	0	0	0	0	0
00577	X	0	0	0	0	0	0
00577	Y	0	0	0	0	0	0
00577	Z	0	0	0	0	0	0
00578	X	0	0	0	0	0	0
00578	Y	0	0	0	0	0	0
00578	Z	0	0	0	0	0	0
00579	X	0	0	0	0	0	0
00579	Y	0	0	0	0	0	0
00579	Z	0	0	0	0	0	0
00580	X	0	0	0	0	0	0
00580	Y	0	0	0	0	0	0
00580	Z	0	0	0	0	0	0
00581	X	0	0	0	0	0	0
00581	Y	0	0	0	0	0	0
00581	Z	0	0	0	0	0	0
00582	X	0	0	0	0	0	0
00582	Y	0	0	0	0	0	0
00582	Z	0	0	0	0	0	0
00583	X	0	0	0	0	0	0
00583	Y	0	0	0	0	0	0
00583	Z	0	0	0	0	0	0
00584	X	0	0	0	0	0	0
00584	Y	0	0	0	0	0	0
00584	Z	0	0	0	0	0	0
00585	X	0	0	0	0	0	0
00585	Y	0	0	0	0	0	0
00585	Z	0	0	0	0	0	0
00586	X	0	0	0	0	0	0
00586	Y	0	0	0	0	0	0
00586	Z	0	0	0	0	0	0
00587	X	0	0	0	0	0	0
00587	Y	0	0	0	0	0	0
00587	Z	0	0	0	0	0	0
00588	X	0	0	0	0	0	0
00588	Y	0	0	0	0	0	0

Comm.: C20-025-S05

Il presente documento è di proprietà della ANTEX GROUP srl. È vietato la comunicazione a terzi o la riproduzione senza il permesso scritto della suddetta. La società tutela i propri diritti a rigore di Legge.







PARCO EOLICO DI "BUDDUSO"

RELAZIONE DI CALCOLO E TABULATI OPERE EDILI  
SSEU



Ingegneria & Innovazione

30/06/2023

REV: 2

Pag. 233

Nodi - Reazioni vincolari esterne per effetto del sisma

IdNd	Dir	F <sub>x</sub>	F <sub>y</sub>	F <sub>z</sub>	M <sub>x</sub>	M <sub>y</sub>	M <sub>z</sub>
		[N]	[N]	[N]	[N-m]	[N-m]	[N-m]
00588	Z	0	0	0	0	0	0
00589	X	0	0	0	0	0	0
00589	Y	0	0	0	0	0	0
00589	Z	0	0	0	0	0	0
00590	X	0	0	0	0	0	0
00590	Y	0	0	0	0	0	0
00590	Z	0	0	0	0	0	0
00591	X	0	0	0	0	0	0
00591	Y	0	0	0	0	0	0
00591	Z	0	0	0	0	0	0
00592	X	0	0	0	0	0	0
00592	Y	0	0	0	0	0	0
00592	Z	0	0	0	0	0	0
00593	X	0	0	0	0	0	0
00593	Y	0	0	0	0	0	0
00593	Z	0	0	0	0	0	0
00594	X	0	0	0	0	0	0
00594	Y	0	0	0	0	0	0
00594	Z	0	0	0	0	0	0
00595	X	0	0	0	0	0	0
00595	Y	0	0	0	0	0	0
00595	Z	0	0	0	0	0	0
00596	X	0	0	0	0	0	0
00596	Y	0	0	0	0	0	0
00596	Z	0	0	0	0	0	0
00597	X	0	0	0	0	0	0
00597	Y	0	0	0	0	0	0
00597	Z	0	0	0	0	0	0
00598	X	0	0	0	0	0	0
00598	Y	0	0	0	0	0	0
00598	Z	0	0	0	0	0	0
00599	X	0	0	0	0	0	0
00599	Y	0	0	0	0	0	0
00599	Z	0	0	0	0	0	0
00600	X	0	0	0	0	0	0
00600	Y	0	0	0	0	0	0
00600	Z	0	0	0	0	0	0
00601	X	0	0	0	0	0	0
00601	Y	0	0	0	0	0	0
00601	Z	0	0	0	0	0	0
00602	X	0	0	0	0	0	0
00602	Y	0	0	0	0	0	0
00602	Z	0	0	0	0	0	0
00603	X	0	0	0	0	0	0
00603	Y	0	0	0	0	0	0
00603	Z	0	0	0	0	0	0
00604	X	0	0	0	0	0	0
00604	Y	0	0	0	0	0	0
00604	Z	0	0	0	0	0	0
00605	X	0	0	0	0	0	0
00605	Y	0	0	0	0	0	0
00605	Z	0	0	0	0	0	0
00606	X	0	0	0	0	0	0
00606	Y	0	0	0	0	0	0
00606	Z	0	0	0	0	0	0
00607	X	0	0	0	0	0	0
00607	Y	0	0	0	0	0	0
00607	Z	0	0	0	0	0	0
00608	X	0	0	0	0	0	0
00608	Y	0	0	0	0	0	0
00608	Z	0	0	0	0	0	0
00609	X	0	0	0	0	0	0
00609	Y	0	0	0	0	0	0
00609	Z	0	0	0	0	0	0
00610	X	0	0	0	0	0	0
00610	Y	0	0	0	0	0	0

Comm.: C20-025-S05

Il presente documento è di proprietà della ANTEX GROUP srl.  
È vietato la comunicazione a terzi o la riproduzione senza il permesso scritto della suddetta.  
La società tutela i propri diritti a rigore di Legge.





PARCO EOLICO DI "BUDDUSO"

RELAZIONE DI CALCOLO E TABULATI OPERE EDILI  
SSEU



Ingegneria & Innovazione

30/06/2023

REV: 2

Pag. 234

Nodi - Reazioni vincolari esterne per effetto del sisma

IdNo	Dir	F <sub>x</sub>	F <sub>y</sub>	F <sub>z</sub>	M <sub>x</sub>	M <sub>y</sub>	M <sub>z</sub>
		[N]	[N]	[N]	[N-m]	[N-m]	[N-m]
00610	Z	0	0	0	0	0	0
00611	X	0	0	0	0	0	0
00611	Y	0	0	0	0	0	0
00611	Z	0	0	0	0	0	0
00612	X	0	0	0	0	0	0
00612	Y	0	0	0	0	0	0
00612	Z	0	0	0	0	0	0
00613	X	0	0	0	0	0	0
00613	Y	0	0	0	0	0	0
00613	Z	0	0	0	0	0	0
00614	X	0	0	0	0	0	0
00614	Y	0	0	0	0	0	0
00614	Z	0	0	0	0	0	0
00615	X	0	0	0	0	0	0
00615	Y	0	0	0	0	0	0
00615	Z	0	0	0	0	0	0
00616	X	0	0	0	0	0	0
00616	Y	0	0	0	0	0	0
00616	Z	0	0	0	0	0	0
00617	X	0	0	0	0	0	0
00617	Y	0	0	0	0	0	0
00617	Z	0	0	0	0	0	0
00618	X	0	0	0	0	0	0
00618	Y	0	0	0	0	0	0
00618	Z	0	0	0	0	0	0
00619	X	0	0	0	0	0	0
00619	Y	0	0	0	0	0	0
00619	Z	0	0	0	0	0	0
00620	X	0	0	0	0	0	0
00620	Y	0	0	0	0	0	0
00620	Z	0	0	0	0	0	0
00621	X	0	0	0	0	0	0
00621	Y	0	0	0	0	0	0
00621	Z	0	0	0	0	0	0
00622	X	0	0	0	0	0	0
00622	Y	0	0	0	0	0	0
00622	Z	0	0	0	0	0	0
00623	X	0	0	0	0	0	0
00623	Y	0	0	0	0	0	0
00623	Z	0	0	0	0	0	0
00624	X	0	0	0	0	0	0
00624	Y	0	0	0	0	0	0
00624	Z	0	0	0	0	0	0
00625	X	0	0	0	0	0	0
00625	Y	0	0	0	0	0	0
00625	Z	0	0	0	0	0	0
00626	X	0	0	0	0	0	0
00626	Y	0	0	0	0	0	0
00626	Z	0	0	0	0	0	0
00627	X	0	0	0	0	0	0
00627	Y	0	0	0	0	0	0
00627	Z	0	0	0	0	0	0
00628	X	0	0	0	0	0	0
00628	Y	0	0	0	0	0	0
00628	Z	0	0	0	0	0	0
00629	X	0	0	0	0	0	0
00629	Y	0	0	0	0	0	0
00629	Z	0	0	0	0	0	0
00630	X	0	0	0	0	0	0
00630	Y	0	0	0	0	0	0
00630	Z	0	0	0	0	0	0
00631	X	0	0	0	0	0	0
00631	Y	0	0	0	0	0	0
00631	Z	0	0	0	0	0	0
00632	X	0	0	0	0	0	0
00632	Y	0	0	0	0	0	0

Comm.: C20-025-S05

Il presente documento è di proprietà della ANTEX GROUP srl.  
È vietato la comunicazione a terzi o la riproduzione senza il permesso scritto della suddetta.  
La società tutela i propri diritti a rigore di Legge.





PARCO EOLICO DI "BUDDUSO"

RELAZIONE DI CALCOLO E TABULATI OPERE EDILI  
SSEU



Ingegneria & Innovazione

30/06/2023

REV: 2

Pag. 235

Nodi - Reazioni vincolari esterne per effetto del sisma

IdNo	Dir	F <sub>x</sub>	F <sub>y</sub>	F <sub>z</sub>	M <sub>x</sub>	M <sub>y</sub>	M <sub>z</sub>
		[N]	[N]	[N]	[N-m]	[N-m]	[N-m]
00632	Z	0	0	0	0	0	0
00633	X	0	0	0	0	0	0
00633	Y	0	0	0	0	0	0
00633	Z	0	0	0	0	0	0
00634	X	0	0	0	0	0	0
00634	Y	0	0	0	0	0	0
00634	Z	0	0	0	0	0	0
00635	X	0	0	0	0	0	0
00635	Y	0	0	0	0	0	0
00635	Z	0	0	0	0	0	0
00636	X	0	0	0	0	0	0
00636	Y	0	0	0	0	0	0
00636	Z	0	0	0	0	0	0
00637	X	0	0	0	0	0	0
00637	Y	0	0	0	0	0	0
00637	Z	0	0	0	0	0	0
00638	X	0	0	0	0	0	0
00638	Y	0	0	0	0	0	0
00638	Z	0	0	0	0	0	0
00639	X	0	0	0	0	0	0
00639	Y	0	0	0	0	0	0
00639	Z	0	0	0	0	0	0
00640	X	0	0	0	0	0	0
00640	Y	0	0	0	0	0	0
00640	Z	0	0	0	0	0	0
00641	X	0	0	0	0	0	0
00641	Y	0	0	0	0	0	0
00641	Z	0	0	0	0	0	0
00642	X	0	0	0	0	0	0
00642	Y	0	0	0	0	0	0
00642	Z	0	0	0	0	0	0
00643	X	0	0	0	0	0	0
00643	Y	0	0	0	0	0	0
00643	Z	0	0	0	0	0	0
00644	X	0	0	0	0	0	0
00644	Y	0	0	0	0	0	0
00644	Z	0	0	0	0	0	0
00645	X	0	0	0	0	0	0
00645	Y	0	0	0	0	0	0
00645	Z	0	0	0	0	0	0
00646	X	0	0	0	0	0	0
00646	Y	0	0	0	0	0	0
00646	Z	0	0	0	0	0	0
00647	X	0	0	0	0	0	0
00647	Y	0	0	0	0	0	0
00647	Z	0	0	0	0	0	0
00648	X	0	0	0	0	0	0
00648	Y	0	0	0	0	0	0
00648	Z	0	0	0	0	0	0
00649	X	0	0	0	0	0	0
00649	Y	0	0	0	0	0	0
00649	Z	0	0	0	0	0	0
00650	X	0	0	0	0	0	0
00650	Y	0	0	0	0	0	0
00650	Z	0	0	0	0	0	0
00651	X	0	0	0	0	0	0
00651	Y	0	0	0	0	0	0
00651	Z	0	0	0	0	0	0
00652	X	0	0	0	0	0	0
00652	Y	0	0	0	0	0	0
00652	Z	0	0	0	0	0	0
00653	X	0	0	0	0	0	0
00653	Y	0	0	0	0	0	0
00653	Z	0	0	0	0	0	0
00654	X	0	0	0	0	0	0
00654	Y	0	0	0	0	0	0

Comm.: C20-025-S05

Il presente documento è di proprietà della ANTEX GROUP srl.  
È vietato la comunicazione a terzi o la riproduzione senza il permesso scritto della suddetta.  
La società tutela i propri diritti a rigore di Legge.





PARCO EOLICO DI "BUDDUSO"

RELAZIONE DI CALCOLO E TABULATI OPERE EDILI SSEU



Ingegneria & Innovazione

30/06/2023

REV: 2

Pag. 236

Nodi - Reazioni vincolari esterne per effetto del sisma

IdNo	Dir	F <sub>x</sub>	F <sub>y</sub>	F <sub>z</sub>	M <sub>x</sub>	M <sub>y</sub>	M <sub>z</sub>
		[N]	[N]	[N]	[N-m]	[N-m]	[N-m]
00654	Z	0	0	0	0	0	0
00655	X	0	0	0	0	0	0
00655	Y	0	0	0	0	0	0
00655	Z	0	0	0	0	0	0
00656	X	0	0	0	0	0	0
00656	Y	0	0	0	0	0	0
00656	Z	0	0	0	0	0	0
00657	X	0	0	0	0	0	0
00657	Y	0	0	0	0	0	0
00657	Z	0	0	0	0	0	0
00658	X	0	0	0	0	0	0
00658	Y	0	0	0	0	0	0
00658	Z	0	0	0	0	0	0
00659	X	0	0	0	0	0	0
00659	Y	0	0	0	0	0	0
00659	Z	0	0	0	0	0	0
00660	X	0	0	0	0	0	0
00660	Y	0	0	0	0	0	0
00660	Z	0	0	0	0	0	0
00661	X	0	0	0	0	0	0
00661	Y	0	0	0	0	0	0
00661	Z	0	0	0	0	0	0
00662	X	0	0	0	0	0	0
00662	Y	0	0	0	0	0	0
00662	Z	0	0	0	0	0	0
00663	X	0	0	0	0	0	0
00663	Y	0	0	0	0	0	0
00663	Z	0	0	0	0	0	0
00664	X	0	0	0	0	0	0
00664	Y	0	0	0	0	0	0
00664	Z	0	0	0	0	0	0
00665	X	0	0	0	0	0	0
00665	Y	0	0	0	0	0	0
00665	Z	0	0	0	0	0	0
00666	X	0	0	0	0	0	0
00666	Y	0	0	0	0	0	0
00666	Z	0	0	0	0	0	0
00667	X	0	0	0	0	0	0
00667	Y	0	0	0	0	0	0
00667	Z	0	0	0	0	0	0
00668	X	0	0	0	0	0	0
00668	Y	0	0	0	0	0	0
00668	Z	0	0	0	0	0	0
00669	X	0	0	0	0	0	0
00669	Y	0	0	0	0	0	0
00669	Z	0	0	0	0	0	0
00670	X	0	0	0	0	0	0
00670	Y	0	0	0	0	0	0
00670	Z	0	0	0	0	0	0
00671	X	0	0	0	0	0	0
00671	Y	0	0	0	0	0	0
00671	Z	0	0	0	0	0	0
00672	X	0	0	0	0	0	0
00672	Y	0	0	0	0	0	0
00672	Z	0	0	0	0	0	0
00673	X	0	0	0	0	0	0
00673	Y	0	0	0	0	0	0
00673	Z	0	0	0	0	0	0
00674	X	0	0	0	0	0	0
00674	Y	0	0	0	0	0	0
00674	Z	0	0	0	0	0	0
00675	X	0	0	0	0	0	0
00675	Y	0	0	0	0	0	0
00675	Z	0	0	0	0	0	0
00676	X	0	0	0	0	0	0
00676	Y	0	0	0	0	0	0

Comm.: C20-025-S05

Il presente documento è di proprietà della ANTEX GROUP srl. È vietato la comunicazione a terzi o la riproduzione senza il permesso scritto della suddetta. La società tutela i propri diritti a rigore di Legge.





PARCO EOLICO DI "BUDDUSO"

RELAZIONE DI CALCOLO E TABULATI OPERE EDILI  
SSEU



Ingegneria & Innovazione

30/06/2023

REV: 2

Pag. 237

Nodi - Reazioni vincolari esterne per effetto del sisma

IdNo	Dir	F <sub>x</sub>	F <sub>y</sub>	F <sub>z</sub>	M <sub>x</sub>	M <sub>y</sub>	M <sub>z</sub>
		[N]	[N]	[N]	[N-m]	[N-m]	[N-m]
00676	Z	0	0	0	0	0	0
00677	X	0	0	0	0	0	0
00677	Y	0	0	0	0	0	0
00677	Z	0	0	0	0	0	0
00678	X	0	0	0	0	0	0
00678	Y	0	0	0	0	0	0
00678	Z	0	0	0	0	0	0
00679	X	0	0	0	0	0	0
00679	Y	0	0	0	0	0	0
00679	Z	0	0	0	0	0	0
00680	X	0	0	0	0	0	0
00680	Y	0	0	0	0	0	0
00680	Z	0	0	0	0	0	0
00681	X	0	0	0	0	0	0
00681	Y	0	0	0	0	0	0
00681	Z	0	0	0	0	0	0
00682	X	0	0	0	0	0	0
00682	Y	0	0	0	0	0	0
00682	Z	0	0	0	0	0	0
00683	X	0	0	0	0	0	0
00683	Y	0	0	0	0	0	0
00683	Z	0	0	0	0	0	0
00684	X	0	0	0	0	0	0
00684	Y	0	0	0	0	0	0
00684	Z	0	0	0	0	0	0
00685	X	0	0	0	0	0	0
00685	Y	0	0	0	0	0	0
00685	Z	0	0	0	0	0	0
00686	X	0	0	0	0	0	0
00686	Y	0	0	0	0	0	0
00686	Z	0	0	0	0	0	0
00687	X	0	0	0	0	0	0
00687	Y	0	0	0	0	0	0
00687	Z	0	0	0	0	0	0
00688	X	0	0	0	0	0	0
00688	Y	0	0	0	0	0	0
00688	Z	0	0	0	0	0	0
00689	X	0	0	0	0	0	0
00689	Y	0	0	0	0	0	0
00689	Z	0	0	0	0	0	0
00690	X	0	0	0	0	0	0
00690	Y	0	0	0	0	0	0
00690	Z	0	0	0	0	0	0
00691	X	0	0	0	0	0	0
00691	Y	0	0	0	0	0	0
00691	Z	0	0	0	0	0	0
00692	X	0	0	0	0	0	0
00692	Y	0	0	0	0	0	0
00692	Z	0	0	0	0	0	0
00693	X	0	0	0	0	0	0
00693	Y	0	0	0	0	0	0
00693	Z	0	0	0	0	0	0
00694	X	0	0	0	0	0	0
00694	Y	0	0	0	0	0	0
00694	Z	0	0	0	0	0	0
00695	X	0	0	0	0	0	0
00695	Y	0	0	0	0	0	0
00695	Z	0	0	0	0	0	0
00696	X	0	0	0	0	0	0
00696	Y	0	0	0	0	0	0
00696	Z	0	0	0	0	0	0
00697	X	0	0	0	0	0	0
00697	Y	0	0	0	0	0	0
00697	Z	0	0	0	0	0	0
00698	X	0	0	0	0	0	0
00698	Y	0	0	0	0	0	0

Comm.: C20-025-S05

Il presente documento è di proprietà della ANTEX GROUP srl.  
È vietato la comunicazione a terzi o la riproduzione senza il permesso scritto della suddetta.  
La società tutela i propri diritti a rigore di Legge.





PARCO EOLICO DI "BUDDUSO"

RELAZIONE DI CALCOLO E TABULATI OPERE EDILI  
SSEU



Ingegneria & Innovazione

30/06/2023

REV: 2

Pag. 238

Nodi - Reazioni vincolari esterne per effetto del sisma

IdNo	Dir	F <sub>x</sub>	F <sub>y</sub>	F <sub>z</sub>	M <sub>x</sub>	M <sub>y</sub>	M <sub>z</sub>
		[N]	[N]	[N]	[N-m]	[N-m]	[N-m]
00698	Z	0	0	0	0	0	0
00699	X	0	0	0	0	0	0
00699	Y	0	0	0	0	0	0
00699	Z	0	0	0	0	0	0
00700	X	0	0	0	0	0	0
00700	Y	0	0	0	0	0	0
00700	Z	0	0	0	0	0	0
00701	X	0	0	0	0	0	0
00701	Y	0	0	0	0	0	0
00701	Z	0	0	0	0	0	0
00702	X	0	0	0	0	0	0
00702	Y	0	0	0	0	0	0
00702	Z	0	0	0	0	0	0
00703	X	0	0	0	0	0	0
00703	Y	0	0	0	0	0	0
00703	Z	0	0	0	0	0	0
00704	X	0	0	0	0	0	0
00704	Y	0	0	0	0	0	0
00704	Z	0	0	0	0	0	0
00705	X	0	0	0	0	0	0
00705	Y	0	0	0	0	0	0
00705	Z	0	0	0	0	0	0
00706	X	0	0	0	0	0	0
00706	Y	0	0	0	0	0	0
00706	Z	0	0	0	0	0	0
00707	X	0	0	0	0	0	0
00707	Y	0	0	0	0	0	0
00707	Z	0	0	0	0	0	0
00708	X	0	0	0	0	0	0
00708	Y	0	0	0	0	0	0
00708	Z	0	0	0	0	0	0
00709	X	0	0	0	0	0	0
00709	Y	0	0	0	0	0	0
00709	Z	0	0	0	0	0	0
00710	X	0	0	0	0	0	0
00710	Y	0	0	0	0	0	0
00710	Z	0	0	0	0	0	0
00711	X	0	0	0	0	0	0
00711	Y	0	0	0	0	0	0
00711	Z	0	0	0	0	0	0
00712	X	0	0	0	0	0	0
00712	Y	0	0	0	0	0	0
00712	Z	0	0	0	0	0	0
00713	X	0	0	0	0	0	0
00713	Y	0	0	0	0	0	0
00713	Z	0	0	0	0	0	0
00714	X	0	0	0	0	0	0
00714	Y	0	0	0	0	0	0
00714	Z	0	0	0	0	0	0
00715	X	0	0	0	0	0	0
00715	Y	0	0	0	0	0	0
00715	Z	0	0	0	0	0	0
00716	X	0	0	0	0	0	0
00716	Y	0	0	0	0	0	0
00716	Z	0	0	0	0	0	0
00717	X	0	0	0	0	0	0
00717	Y	0	0	0	0	0	0
00717	Z	0	0	0	0	0	0
00718	X	0	0	0	0	0	0
00718	Y	0	0	0	0	0	0
00718	Z	0	0	0	0	0	0
00719	X	0	0	0	0	0	0
00719	Y	0	0	0	0	0	0
00719	Z	0	0	0	0	0	0
00720	X	0	0	0	0	0	0
00720	Y	0	0	0	0	0	0

Comm.: C20-025-S05

Il presente documento è di proprietà della ANTEX GROUP srl.  
È vietato la comunicazione a terzi o la riproduzione senza il permesso scritto della suddetta.  
La società tutela i propri diritti a rigore di Legge.





PARCO EOLICO DI "BUDDUSO"

RELAZIONE DI CALCOLO E TABULATI OPERE EDILI  
SSEU



Ingegneria & Innovazione

30/06/2023

REV: 2

Pag. 239

Nodi - Reazioni vincolari esterne per effetto del sisma

IdNd	Dir	F <sub>x</sub>	F <sub>y</sub>	F <sub>z</sub>	M <sub>x</sub>	M <sub>y</sub>	M <sub>z</sub>
		[N]	[N]	[N]	[N-m]	[N-m]	[N-m]
00720	Z	0	0	0	0	0	0
00721	X	0	0	0	0	0	0
00721	Y	0	0	0	0	0	0
00721	Z	0	0	0	0	0	0
00722	X	0	0	0	0	0	0
00722	Y	0	0	0	0	0	0
00722	Z	0	0	0	0	0	0
00723	X	0	0	0	0	0	0
00723	Y	0	0	0	0	0	0
00723	Z	0	0	0	0	0	0
00724	X	0	0	0	0	0	0
00724	Y	0	0	0	0	0	0
00724	Z	0	0	0	0	0	0
00725	X	0	0	0	0	0	0
00725	Y	0	0	0	0	0	0
00725	Z	0	0	0	0	0	0
00726	X	0	0	0	0	0	0
00726	Y	0	0	0	0	0	0
00726	Z	0	0	0	0	0	0
00727	X	0	0	0	0	0	0
00727	Y	0	0	0	0	0	0
00727	Z	0	0	0	0	0	0
00728	X	0	0	0	0	0	0
00728	Y	0	0	0	0	0	0
00728	Z	0	0	0	0	0	0
00729	X	0	0	0	0	0	0
00729	Y	0	0	0	0	0	0
00729	Z	0	0	0	0	0	0
00730	X	0	0	0	0	0	0
00730	Y	0	0	0	0	0	0
00730	Z	0	0	0	0	0	0
00731	X	0	0	0	0	0	0
00731	Y	0	0	0	0	0	0
00731	Z	0	0	0	0	0	0
00732	X	0	0	0	0	0	0
00732	Y	0	0	0	0	0	0
00732	Z	0	0	0	0	0	0
00733	X	0	0	0	0	0	0
00733	Y	0	0	0	0	0	0
00733	Z	0	0	0	0	0	0
00734	X	0	0	0	0	0	0
00734	Y	0	0	0	0	0	0
00734	Z	0	0	0	0	0	0
00735	X	0	0	0	0	0	0
00735	Y	0	0	0	0	0	0
00735	Z	0	0	0	0	0	0
00736	X	0	0	0	0	0	0
00736	Y	0	0	0	0	0	0
00736	Z	0	0	0	0	0	0
00737	X	0	0	0	0	0	0
00737	Y	0	0	0	0	0	0
00737	Z	0	0	0	0	0	0
00738	X	0	0	0	0	0	0
00738	Y	0	0	0	0	0	0
00738	Z	0	0	0	0	0	0
00739	X	0	0	0	0	0	0
00739	Y	0	0	0	0	0	0
00739	Z	0	0	0	0	0	0
00740	X	0	0	0	0	0	0
00740	Y	0	0	0	0	0	0
00740	Z	0	0	0	0	0	0
00741	X	0	0	0	0	0	0
00741	Y	0	0	0	0	0	0
00741	Z	0	0	0	0	0	0
00742	X	0	0	0	0	0	0
00742	Y	0	0	0	0	0	0

Comm.: C20-025-S05

Il presente documento è di proprietà della ANTEX GROUP srl.  
È vietato la comunicazione a terzi o la riproduzione senza il permesso scritto della suddetta.  
La società tutela i propri diritti a rigore di Legge.





PARCO EOLICO DI "BUDDUSO"

RELAZIONE DI CALCOLO E TABULATI OPERE EDILI  
SSEU



Ingegneria & Innovazione

30/06/2023

REV: 2

Pag. 240

Nodi - Reazioni vincolari esterne per effetto del sisma

IdNo	Dir	F <sub>x</sub>	F <sub>y</sub>	F <sub>z</sub>	M <sub>x</sub>	M <sub>y</sub>	M <sub>z</sub>
		[N]	[N]	[N]	[N-m]	[N-m]	[N-m]
00742	Z	0	0	0	0	0	0
00743	X	0	0	0	0	0	0
00743	Y	0	0	0	0	0	0
00743	Z	0	0	0	0	0	0
00744	X	0	0	0	0	0	0
00744	Y	0	0	0	0	0	0
00744	Z	0	0	0	0	0	0
00745	X	0	0	0	0	0	0
00745	Y	0	0	0	0	0	0
00745	Z	0	0	0	0	0	0
00746	X	0	0	0	0	0	0
00746	Y	0	0	0	0	0	0
00746	Z	0	0	0	0	0	0
00747	X	0	0	0	0	0	0
00747	Y	0	0	0	0	0	0
00747	Z	0	0	0	0	0	0
00748	X	0	0	0	0	0	0
00748	Y	0	0	0	0	0	0
00748	Z	0	0	0	0	0	0
00749	X	0	0	0	0	0	0
00749	Y	0	0	0	0	0	0
00749	Z	0	0	0	0	0	0
00750	X	0	0	0	0	0	0
00750	Y	0	0	0	0	0	0
00750	Z	0	0	0	0	0	0
00751	X	0	0	0	0	0	0
00751	Y	0	0	0	0	0	0
00751	Z	0	0	0	0	0	0
00752	X	0	0	0	0	0	0
00752	Y	0	0	0	0	0	0
00752	Z	0	0	0	0	0	0
00753	X	0	0	0	0	0	0
00753	Y	0	0	0	0	0	0
00753	Z	0	0	0	0	0	0
00754	X	0	0	0	0	0	0
00754	Y	0	0	0	0	0	0
00754	Z	0	0	0	0	0	0
00755	X	0	0	0	0	0	0
00755	Y	0	0	0	0	0	0
00755	Z	0	0	0	0	0	0
00756	X	0	0	0	0	0	0
00756	Y	0	0	0	0	0	0
00756	Z	0	0	0	0	0	0
00757	X	0	0	0	0	0	0
00757	Y	0	0	0	0	0	0
00757	Z	0	0	0	0	0	0
00758	X	0	0	0	0	0	0
00758	Y	0	0	0	0	0	0
00758	Z	0	0	0	0	0	0
00759	X	0	0	0	0	0	0
00759	Y	0	0	0	0	0	0
00759	Z	0	0	0	0	0	0
00760	X	0	0	0	0	0	0
00760	Y	0	0	0	0	0	0
00760	Z	0	0	0	0	0	0
00761	X	0	0	0	0	0	0
00761	Y	0	0	0	0	0	0
00761	Z	0	0	0	0	0	0
00762	X	0	0	0	0	0	0
00762	Y	0	0	0	0	0	0
00762	Z	0	0	0	0	0	0
00763	X	0	0	0	0	0	0
00763	Y	0	0	0	0	0	0
00763	Z	0	0	0	0	0	0
00764	X	0	0	0	0	0	0
00764	Y	0	0	0	0	0	0

Comm.: C20-025-S05

Il presente documento è di proprietà della ANTEX GROUP srl.  
È vietato la comunicazione a terzi o la riproduzione senza il permesso scritto della suddetta.  
La società tutela i propri diritti a rigore di Legge.







PARCO EOLICO DI "BUDDUSO"

RELAZIONE DI CALCOLO E TABULATI OPERE EDILI SSEU



Ingegneria & Innovazione

30/06/2023

REV: 2

Pag. 241

Nodi - Reazioni vincolari esterne per effetto del sisma

IdNo	Dir	F <sub>x</sub>	F <sub>y</sub>	F <sub>z</sub>	M <sub>x</sub>	M <sub>y</sub>	M <sub>z</sub>
		[N]	[N]	[N]	[N-m]	[N-m]	[N-m]
00764	Z	0	0	0	0	0	0
00765	X	0	0	0	0	0	0
00765	Y	0	0	0	0	0	0
00765	Z	0	0	0	0	0	0
00766	X	0	0	0	0	0	0
00766	Y	0	0	0	0	0	0
00766	Z	0	0	0	0	0	0
00767	X	0	0	0	0	0	0
00767	Y	0	0	0	0	0	0
00767	Z	0	0	0	0	0	0
00768	X	0	0	0	0	0	0
00768	Y	0	0	0	0	0	0
00768	Z	0	0	0	0	0	0
00769	X	0	0	0	0	0	0
00769	Y	0	0	0	0	0	0
00769	Z	0	0	0	0	0	0
00770	X	0	0	0	0	0	0
00770	Y	0	0	0	0	0	0
00770	Z	0	0	0	0	0	0
00771	X	0	0	0	0	0	0
00771	Y	0	0	0	0	0	0
00771	Z	0	0	0	0	0	0
00772	X	0	0	0	0	0	0
00772	Y	0	0	0	0	0	0
00772	Z	0	0	0	0	0	0
00773	X	0	0	0	0	0	0
00773	Y	0	0	0	0	0	0
00773	Z	0	0	0	0	0	0
00774	X	0	0	0	0	0	0
00774	Y	0	0	0	0	0	0
00774	Z	0	0	0	0	0	0
00775	X	0	0	0	0	0	0
00775	Y	0	0	0	0	0	0
00775	Z	0	0	0	0	0	0
00776	X	0	0	0	0	0	0
00776	Y	0	0	0	0	0	0
00776	Z	0	0	0	0	0	0
00777	X	0	0	0	0	0	0
00777	Y	0	0	0	0	0	0
00777	Z	0	0	0	0	0	0
00778	X	0	0	0	0	0	0
00778	Y	0	0	0	0	0	0
00778	Z	0	0	0	0	0	0
00779	X	0	0	0	0	0	0
00779	Y	0	0	0	0	0	0
00779	Z	0	0	0	0	0	0
00780	X	0	0	0	0	0	0
00780	Y	0	0	0	0	0	0
00780	Z	0	0	0	0	0	0
00781	X	0	0	0	0	0	0
00781	Y	0	0	0	0	0	0
00781	Z	0	0	0	0	0	0
00782	X	0	0	0	0	0	0
00782	Y	0	0	0	0	0	0
00782	Z	0	0	0	0	0	0
00783	X	0	0	0	0	0	0
00783	Y	0	0	0	0	0	0
00783	Z	0	0	0	0	0	0
00784	X	0	0	0	0	0	0
00784	Y	0	0	0	0	0	0
00784	Z	0	0	0	0	0	0
00785	X	0	0	0	0	0	0
00785	Y	0	0	0	0	0	0
00785	Z	0	0	0	0	0	0
00786	X	0	0	0	0	0	0
00786	Y	0	0	0	0	0	0

Comm.: C20-025-S05

Il presente documento è di proprietà della ANTEX GROUP srl. È vietato la comunicazione a terzi o la riproduzione senza il permesso scritto della suddetta. La società tutela i propri diritti a rigore di Legge.





PARCO EOLICO DI "BUDDUSO"

RELAZIONE DI CALCOLO E TABULATI OPERE EDILI  
SSEU



Ingegneria & Innovazione

30/06/2023

REV: 2

Pag. 242

Nodi - Reazioni vincolari esterne per effetto del sisma

IdNd	Dir	F <sub>x</sub>	F <sub>y</sub>	F <sub>z</sub>	M <sub>x</sub>	M <sub>y</sub>	M <sub>z</sub>
		[N]	[N]	[N]	[N-m]	[N-m]	[N-m]
00786	Z	0	0	0	0	0	0
00787	X	0	0	0	0	0	0
00787	Y	0	0	0	0	0	0
00787	Z	0	0	0	0	0	0
00788	X	0	0	0	0	0	0
00788	Y	0	0	0	0	0	0
00788	Z	0	0	0	0	0	0
00789	X	0	0	0	0	0	0
00789	Y	0	0	0	0	0	0
00789	Z	0	0	0	0	0	0
00790	X	0	0	0	0	0	0
00790	Y	0	0	0	0	0	0
00790	Z	0	0	0	0	0	0
00791	X	0	0	0	0	0	0
00791	Y	0	0	0	0	0	0
00791	Z	0	0	0	0	0	0
00792	X	0	0	0	0	0	0
00792	Y	0	0	0	0	0	0
00792	Z	0	0	0	0	0	0
00793	X	0	0	0	0	0	0
00793	Y	0	0	0	0	0	0
00793	Z	0	0	0	0	0	0
00794	X	0	0	0	0	0	0
00794	Y	0	0	0	0	0	0
00794	Z	0	0	0	0	0	0
00795	X	0	0	0	0	0	0
00795	Y	0	0	0	0	0	0
00795	Z	0	0	0	0	0	0
00796	X	0	0	0	0	0	0
00796	Y	0	0	0	0	0	0
00796	Z	0	0	0	0	0	0
00797	X	0	0	0	0	0	0
00797	Y	0	0	0	0	0	0
00797	Z	0	0	0	0	0	0
00798	X	0	0	0	0	0	0
00798	Y	0	0	0	0	0	0
00798	Z	0	0	0	0	0	0
00799	X	0	0	0	0	0	0
00799	Y	0	0	0	0	0	0
00799	Z	0	0	0	0	0	0
00800	X	0	0	0	0	0	0
00800	Y	0	0	0	0	0	0
00800	Z	0	0	0	0	0	0
00801	X	0	0	0	0	0	0
00801	Y	0	0	0	0	0	0
00801	Z	0	0	0	0	0	0
00802	X	0	0	0	0	0	0
00802	Y	0	0	0	0	0	0
00802	Z	0	0	0	0	0	0
00803	X	0	0	0	0	0	0
00803	Y	0	0	0	0	0	0
00803	Z	0	0	0	0	0	0
00804	X	0	0	0	0	0	0
00804	Y	0	0	0	0	0	0
00804	Z	0	0	0	0	0	0
00805	X	0	0	0	0	0	0
00805	Y	0	0	0	0	0	0
00805	Z	0	0	0	0	0	0
00806	X	0	0	0	0	0	0
00806	Y	0	0	0	0	0	0
00806	Z	0	0	0	0	0	0
00807	X	0	0	0	0	0	0
00807	Y	0	0	0	0	0	0
00807	Z	0	0	0	0	0	0
00808	X	0	0	0	0	0	0
00808	Y	0	0	0	0	0	0

Comm.: C20-025-S05

Il presente documento è di proprietà della ANTEX GROUP srl.  
È vietato la comunicazione a terzi o la riproduzione senza il permesso scritto della suddetta.  
La società tutela i propri diritti a rigore di Legge.





PARCO EOLICO DI "BUDDUSO"

RELAZIONE DI CALCOLO E TABULATI OPERE EDILI  
SSEU



Ingegneria & Innovazione

30/06/2023

REV: 2

Pag. 243

Nodi - Reazioni vincolari esterne per effetto del sisma

IdNd	Dir	F <sub>x</sub>	F <sub>y</sub>	F <sub>z</sub>	M <sub>x</sub>	M <sub>y</sub>	M <sub>z</sub>
		[N]	[N]	[N]	[N-m]	[N-m]	[N-m]
00808	Z	0	0	0	0	0	0
00809	X	0	0	0	0	0	0
00809	Y	0	0	0	0	0	0
00809	Z	0	0	0	0	0	0
00810	X	0	0	0	0	0	0
00810	Y	0	0	0	0	0	0
00810	Z	0	0	0	0	0	0
00811	X	0	0	0	0	0	0
00811	Y	0	0	0	0	0	0
00811	Z	0	0	0	0	0	0
00812	X	0	0	0	0	0	0
00812	Y	0	0	0	0	0	0
00812	Z	0	0	0	0	0	0
00813	X	0	0	0	0	0	0
00813	Y	0	0	0	0	0	0
00813	Z	0	0	0	0	0	0
00814	X	0	0	0	0	0	0
00814	Y	0	0	0	0	0	0
00814	Z	0	0	0	0	0	0
00815	X	0	0	0	0	0	0
00815	Y	0	0	0	0	0	0
00815	Z	0	0	0	0	0	0
00816	X	0	0	0	0	0	0
00816	Y	0	0	0	0	0	0
00816	Z	0	0	0	0	0	0
00817	X	0	0	0	0	0	0
00817	Y	0	0	0	0	0	0
00817	Z	0	0	0	0	0	0
00818	X	0	0	0	0	0	0
00818	Y	0	0	0	0	0	0
00818	Z	0	0	0	0	0	0
00819	X	0	0	0	0	0	0
00819	Y	0	0	0	0	0	0
00819	Z	0	0	0	0	0	0
00820	X	0	0	0	0	0	0
00820	Y	0	0	0	0	0	0
00820	Z	0	0	0	0	0	0
00821	X	0	0	0	0	0	0
00821	Y	0	0	0	0	0	0
00821	Z	0	0	0	0	0	0
00822	X	0	0	0	0	0	0
00822	Y	0	0	0	0	0	0
00822	Z	0	0	0	0	0	0
00823	X	0	0	0	0	0	0
00823	Y	0	0	0	0	0	0
00823	Z	0	0	0	0	0	0
00824	X	0	0	0	0	0	0
00824	Y	0	0	0	0	0	0
00824	Z	0	0	0	0	0	0
00825	X	0	0	0	0	0	0
00825	Y	0	0	0	0	0	0
00825	Z	0	0	0	0	0	0
00826	X	0	0	0	0	0	0
00826	Y	0	0	0	0	0	0
00826	Z	0	0	0	0	0	0
00827	X	0	0	0	0	0	0
00827	Y	0	0	0	0	0	0
00827	Z	0	0	0	0	0	0
00828	X	0	0	0	0	0	0
00828	Y	0	0	0	0	0	0
00828	Z	0	0	0	0	0	0
00829	X	0	0	0	0	0	0
00829	Y	0	0	0	0	0	0
00829	Z	0	0	0	0	0	0
00830	X	0	0	0	0	0	0
00830	Y	0	0	0	0	0	0

Comm.: C20-025-S05

Il presente documento è di proprietà della ANTEX GROUP srl.  
È vietato la comunicazione a terzi o la riproduzione senza il permesso scritto della suddetta.  
La società tutela i propri diritti a rigore di Legge.





PARCO EOLICO DI "BUDDUSO"

RELAZIONE DI CALCOLO E TABULATI OPERE EDILI  
SSEU



Ingegneria & Innovazione

30/06/2023

REV: 2

Pag. 244

Nodi - Reazioni vincolari esterne per effetto del sisma

IdNd	Dir	F <sub>x</sub>	F <sub>y</sub>	F <sub>z</sub>	M <sub>x</sub>	M <sub>y</sub>	M <sub>z</sub>
		[N]	[N]	[N]	[N-m]	[N-m]	[N-m]
00830	Z	0	0	0	0	0	0
00831	X	0	0	0	0	0	0
00831	Y	0	0	0	0	0	0
00831	Z	0	0	0	0	0	0
00832	X	0	0	0	0	0	0
00832	Y	0	0	0	0	0	0
00832	Z	0	0	0	0	0	0
00833	X	0	0	0	0	0	0
00833	Y	0	0	0	0	0	0
00833	Z	0	0	0	0	0	0
00834	X	0	0	0	0	0	0
00834	Y	0	0	0	0	0	0
00834	Z	0	0	0	0	0	0
00835	X	0	0	0	0	0	0
00835	Y	0	0	0	0	0	0
00835	Z	0	0	0	0	0	0
00836	X	0	0	0	0	0	0
00836	Y	0	0	0	0	0	0
00836	Z	0	0	0	0	0	0
00837	X	0	0	0	0	0	0
00837	Y	0	0	0	0	0	0
00837	Z	0	0	0	0	0	0
00838	X	0	0	0	0	0	0
00838	Y	0	0	0	0	0	0
00838	Z	0	0	0	0	0	0
00839	X	0	0	0	0	0	0
00839	Y	0	0	0	0	0	0
00839	Z	0	0	0	0	0	0
00840	X	0	0	0	0	0	0
00840	Y	0	0	0	0	0	0
00840	Z	0	0	0	0	0	0
00841	X	0	0	0	0	0	0
00841	Y	0	0	0	0	0	0
00841	Z	0	0	0	0	0	0
00842	X	0	0	0	0	0	0
00842	Y	0	0	0	0	0	0
00842	Z	0	0	0	0	0	0
00843	X	0	0	0	0	0	0
00843	Y	0	0	0	0	0	0
00843	Z	0	0	0	0	0	0
00844	X	0	0	0	0	0	0
00844	Y	0	0	0	0	0	0
00844	Z	0	0	0	0	0	0
00845	X	0	0	0	0	0	0
00845	Y	0	0	0	0	0	0
00845	Z	0	0	0	0	0	0
00846	X	0	0	0	0	0	0
00846	Y	0	0	0	0	0	0
00846	Z	0	0	0	0	0	0
00847	X	0	0	0	0	0	0
00847	Y	0	0	0	0	0	0
00847	Z	0	0	0	0	0	0
00848	X	0	0	0	0	0	0
00848	Y	0	0	0	0	0	0
00848	Z	0	0	0	0	0	0
00849	X	0	0	0	0	0	0
00849	Y	0	0	0	0	0	0
00849	Z	0	0	0	0	0	0
00850	X	0	0	0	0	0	0
00850	Y	0	0	0	0	0	0
00850	Z	0	0	0	0	0	0
00851	X	0	0	0	0	0	0
00851	Y	0	0	0	0	0	0
00851	Z	0	0	0	0	0	0
00852	X	0	0	0	0	0	0
00852	Y	0	0	0	0	0	0

Comm.: C20-025-S05

Il presente documento è di proprietà della ANTEX GROUP srl.  
È vietato la comunicazione a terzi o la riproduzione senza il permesso scritto della suddetta.  
La società tutela i propri diritti a rigore di Legge.





PARCO EOLICO DI "BUDDUSO"

RELAZIONE DI CALCOLO E TABULATI OPERE EDILI  
SSEU



Ingegneria & Innovazione

30/06/2023

REV: 2

Pag. 245

Nodi - Reazioni vincolari esterne per effetto del sisma

IdNo	Dir	F <sub>x</sub>	F <sub>y</sub>	F <sub>z</sub>	M <sub>x</sub>	M <sub>y</sub>	M <sub>z</sub>
		[N]	[N]	[N]	[N-m]	[N-m]	[N-m]
00852	Z	0	0	0	0	0	0
00853	X	0	0	0	0	0	0
00853	Y	0	0	0	0	0	0
00853	Z	0	0	0	0	0	0
00854	X	0	0	0	0	0	0
00854	Y	0	0	0	0	0	0
00854	Z	0	0	0	0	0	0
00855	X	0	0	0	0	0	0
00855	Y	0	0	0	0	0	0
00855	Z	0	0	0	0	0	0
00856	X	0	0	0	0	0	0
00856	Y	0	0	0	0	0	0
00856	Z	0	0	0	0	0	0
00857	X	0	0	0	0	0	0
00857	Y	0	0	0	0	0	0
00857	Z	0	0	0	0	0	0
00858	X	0	0	0	0	0	0
00858	Y	0	0	0	0	0	0
00858	Z	0	0	0	0	0	0
00859	X	0	0	0	0	0	0
00859	Y	0	0	0	0	0	0
00859	Z	0	0	0	0	0	0
00860	X	0	0	0	0	0	0
00860	Y	0	0	0	0	0	0
00860	Z	0	0	0	0	0	0
00861	X	0	0	0	0	0	0
00861	Y	0	0	0	0	0	0
00861	Z	0	0	0	0	0	0
00862	X	0	0	0	0	0	0
00862	Y	0	0	0	0	0	0
00862	Z	0	0	0	0	0	0
00863	X	0	0	0	0	0	0
00863	Y	0	0	0	0	0	0
00863	Z	0	0	0	0	0	0
00864	X	0	0	0	0	0	0
00864	Y	0	0	0	0	0	0
00864	Z	0	0	0	0	0	0
00865	X	0	0	0	0	0	0
00865	Y	0	0	0	0	0	0
00865	Z	0	0	0	0	0	0
00866	X	0	0	0	0	0	0
00866	Y	0	0	0	0	0	0
00866	Z	0	0	0	0	0	0
00867	X	0	0	0	0	0	0
00867	Y	0	0	0	0	0	0
00867	Z	0	0	0	0	0	0
00868	X	0	0	0	0	0	0
00868	Y	0	0	0	0	0	0
00868	Z	0	0	0	0	0	0
00869	X	0	0	0	0	0	0
00869	Y	0	0	0	0	0	0
00869	Z	0	0	0	0	0	0
00870	X	0	0	0	0	0	0
00870	Y	0	0	0	0	0	0
00870	Z	0	0	0	0	0	0
00871	X	0	0	0	0	0	0
00871	Y	0	0	0	0	0	0
00871	Z	0	0	0	0	0	0
00872	X	0	0	0	0	0	0
00872	Y	0	0	0	0	0	0
00872	Z	0	0	0	0	0	0
00873	X	0	0	0	0	0	0
00873	Y	0	0	0	0	0	0
00873	Z	0	0	0	0	0	0
00874	X	0	0	0	0	0	0
00874	Y	0	0	0	0	0	0

Comm.: C20-025-S05

Il presente documento è di proprietà della ANTEX GROUP srl.  
È vietato la comunicazione a terzi o la riproduzione senza il permesso scritto della suddetta.  
La società tutela i propri diritti a rigore di Legge.





PARCO EOLICO DI "BUDDUSO"

RELAZIONE DI CALCOLO E TABULATI OPERE EDILI  
SSEU



Ingegneria & Innovazione

30/06/2023

REV: 2

Pag. 246

Nodi - Reazioni vincolari esterne per effetto del sisma

IdNd	Dir	F <sub>x</sub>	F <sub>y</sub>	F <sub>z</sub>	M <sub>x</sub>	M <sub>y</sub>	M <sub>z</sub>
		[N]	[N]	[N]	[N-m]	[N-m]	[N-m]
00874	Z	0	0	0	0	0	0
00875	X	0	0	0	0	0	0
00875	Y	0	0	0	0	0	0
00875	Z	0	0	0	0	0	0
00876	X	0	0	0	0	0	0
00876	Y	0	0	0	0	0	0
00876	Z	0	0	0	0	0	0
00877	X	0	0	0	0	0	0
00877	Y	0	0	0	0	0	0
00877	Z	0	0	0	0	0	0
00878	X	0	0	0	0	0	0
00878	Y	0	0	0	0	0	0
00878	Z	0	0	0	0	0	0
00879	X	0	0	0	0	0	0
00879	Y	0	0	0	0	0	0
00879	Z	0	0	0	0	0	0
00880	X	0	0	0	0	0	0
00880	Y	0	0	0	0	0	0
00880	Z	0	0	0	0	0	0
00881	X	0	0	0	0	0	0
00881	Y	0	0	0	0	0	0
00881	Z	0	0	0	0	0	0
00882	X	0	0	0	0	0	0
00882	Y	0	0	0	0	0	0
00882	Z	0	0	0	0	0	0
00883	X	0	0	0	0	0	0
00883	Y	0	0	0	0	0	0
00883	Z	0	0	0	0	0	0
00884	X	0	0	0	0	0	0
00884	Y	0	0	0	0	0	0
00884	Z	0	0	0	0	0	0
00885	X	0	0	0	0	0	0
00885	Y	0	0	0	0	0	0
00885	Z	0	0	0	0	0	0
00886	X	0	0	0	0	0	0
00886	Y	0	0	0	0	0	0
00886	Z	0	0	0	0	0	0
00887	X	0	0	0	0	0	0
00887	Y	0	0	0	0	0	0
00887	Z	0	0	0	0	0	0
00888	X	0	0	0	0	0	0
00888	Y	0	0	0	0	0	0
00888	Z	0	0	0	0	0	0
00889	X	0	0	0	0	0	0
00889	Y	0	0	0	0	0	0
00889	Z	0	0	0	0	0	0
00890	X	0	0	0	0	0	0
00890	Y	0	0	0	0	0	0
00890	Z	0	0	0	0	0	0
00891	X	0	0	0	0	0	0
00891	Y	0	0	0	0	0	0
00891	Z	0	0	0	0	0	0
00892	X	0	0	0	0	0	0
00892	Y	0	0	0	0	0	0
00892	Z	0	0	0	0	0	0
00893	X	0	0	0	0	0	0
00893	Y	0	0	0	0	0	0
00893	Z	0	0	0	0	0	0
00894	X	0	0	0	0	0	0
00894	Y	0	0	0	0	0	0
00894	Z	0	0	0	0	0	0
00895	X	0	0	0	0	0	0
00895	Y	0	0	0	0	0	0
00895	Z	0	0	0	0	0	0
00896	X	0	0	0	0	0	0
00896	Y	0	0	0	0	0	0

Comm.: C20-025-S05

Il presente documento è di proprietà della ANTEX GROUP srl.  
È vietato la comunicazione a terzi o la riproduzione senza il permesso scritto della suddetta.  
La società tutela i propri diritti a rigore di Legge.





PARCO EOLICO DI "BUDDUSO"

RELAZIONE DI CALCOLO E TABULATI OPERE EDILI  
SSEU



Ingegneria & Innovazione

30/06/2023

REV: 2

Pag. 247

Nodi - Reazioni vincolari esterne per effetto del sisma

IdNd	Dir	F <sub>x</sub>	F <sub>y</sub>	F <sub>z</sub>	M <sub>x</sub>	M <sub>y</sub>	M <sub>z</sub>
		[N]	[N]	[N]	[N-m]	[N-m]	[N-m]
00896	Z	0	0	0	0	0	0
00897	X	0	0	0	0	0	0
00897	Y	0	0	0	0	0	0
00897	Z	0	0	0	0	0	0
00898	X	0	0	0	0	0	0
00898	Y	0	0	0	0	0	0
00898	Z	0	0	0	0	0	0
00899	X	0	0	0	0	0	0
00899	Y	0	0	0	0	0	0
00899	Z	0	0	0	0	0	0
00900	X	0	0	0	0	0	0
00900	Y	0	0	0	0	0	0
00900	Z	0	0	0	0	0	0
00901	X	0	0	0	0	0	0
00901	Y	0	0	0	0	0	0
00901	Z	0	0	0	0	0	0
00902	X	0	0	0	0	0	0
00902	Y	0	0	0	0	0	0
00902	Z	0	0	0	0	0	0
00903	X	0	0	0	0	0	0
00903	Y	0	0	0	0	0	0
00903	Z	0	0	0	0	0	0
00904	X	0	0	0	0	0	0
00904	Y	0	0	0	0	0	0
00904	Z	0	0	0	0	0	0
00905	X	0	0	0	0	0	0
00905	Y	0	0	0	0	0	0
00905	Z	0	0	0	0	0	0
00906	X	0	0	0	0	0	0
00906	Y	0	0	0	0	0	0
00906	Z	0	0	0	0	0	0
00907	X	0	0	0	0	0	0
00907	Y	0	0	0	0	0	0
00907	Z	0	0	0	0	0	0
00908	X	0	0	0	0	0	0
00908	Y	0	0	0	0	0	0
00908	Z	0	0	0	0	0	0
00909	X	0	0	0	0	0	0
00909	Y	0	0	0	0	0	0
00909	Z	0	0	0	0	0	0
00910	X	0	0	0	0	0	0
00910	Y	0	0	0	0	0	0
00910	Z	0	0	0	0	0	0
00911	X	0	0	0	0	0	0
00911	Y	0	0	0	0	0	0
00911	Z	0	0	0	0	0	0
00912	X	0	0	0	0	0	0
00912	Y	0	0	0	0	0	0
00912	Z	0	0	0	0	0	0
00913	X	0	0	0	0	0	0
00913	Y	0	0	0	0	0	0
00913	Z	0	0	0	0	0	0
00914	X	0	0	0	0	0	0
00914	Y	0	0	0	0	0	0
00914	Z	0	0	0	0	0	0
00915	X	0	0	0	0	0	0
00915	Y	0	0	0	0	0	0
00915	Z	0	0	0	0	0	0
00916	X	0	0	0	0	0	0
00916	Y	0	0	0	0	0	0
00916	Z	0	0	0	0	0	0
00917	X	0	0	0	0	0	0
00917	Y	0	0	0	0	0	0
00917	Z	0	0	0	0	0	0
00918	X	0	0	0	0	0	0
00918	Y	0	0	0	0	0	0

Comm.: C20-025-S05

Il presente documento è di proprietà della ANTEX GROUP srl.  
È vietato la comunicazione a terzi o la riproduzione senza il permesso scritto della suddetta.  
La società tutela i propri diritti a rigore di Legge.





PARCO EOLICO DI "BUDDUSO"

RELAZIONE DI CALCOLO E TABULATI OPERE EDILI  
SSEU



Ingegneria & Innovazione

30/06/2023

REV: 2

Pag. 248

Nodi - Reazioni vincolari esterne per effetto del sisma

IdNd	Dir	F <sub>x</sub>	F <sub>y</sub>	F <sub>z</sub>	M <sub>x</sub>	M <sub>y</sub>	M <sub>z</sub>
		[N]	[N]	[N]	[N-m]	[N-m]	[N-m]
00918	Z	0	0	0	0	0	0
00919	X	0	0	0	0	0	0
00919	Y	0	0	0	0	0	0
00919	Z	0	0	0	0	0	0
00920	X	0	0	0	0	0	0
00920	Y	0	0	0	0	0	0
00920	Z	0	0	0	0	0	0
00921	X	0	0	0	0	0	0
00921	Y	0	0	0	0	0	0
00921	Z	0	0	0	0	0	0
00922	X	0	0	0	0	0	0
00922	Y	0	0	0	0	0	0
00922	Z	0	0	0	0	0	0
00923	X	0	0	0	0	0	0
00923	Y	0	0	0	0	0	0
00923	Z	0	0	0	0	0	0
00924	X	0	0	0	0	0	0
00924	Y	0	0	0	0	0	0
00924	Z	0	0	0	0	0	0
00925	X	0	0	0	0	0	0
00925	Y	0	0	0	0	0	0
00925	Z	0	0	0	0	0	0
00926	X	0	0	0	0	0	0
00926	Y	0	0	0	0	0	0
00926	Z	0	0	0	0	0	0
00927	X	0	0	0	0	0	0
00927	Y	0	0	0	0	0	0
00927	Z	0	0	0	0	0	0
00928	X	0	0	0	0	0	0
00928	Y	0	0	0	0	0	0
00928	Z	0	0	0	0	0	0
00929	X	0	0	0	0	0	0
00929	Y	0	0	0	0	0	0
00929	Z	0	0	0	0	0	0
00930	X	0	0	0	0	0	0
00930	Y	0	0	0	0	0	0
00930	Z	0	0	0	0	0	0
00931	X	0	0	0	0	0	0
00931	Y	0	0	0	0	0	0
00931	Z	0	0	0	0	0	0
00932	X	0	0	0	0	0	0
00932	Y	0	0	0	0	0	0
00932	Z	0	0	0	0	0	0
00933	X	0	0	0	0	0	0
00933	Y	0	0	0	0	0	0
00933	Z	0	0	0	0	0	0
00934	X	0	0	0	0	0	0
00934	Y	0	0	0	0	0	0
00934	Z	0	0	0	0	0	0
00935	X	0	0	0	0	0	0
00935	Y	0	0	0	0	0	0
00935	Z	0	0	0	0	0	0
00936	X	0	0	0	0	0	0
00936	Y	0	0	0	0	0	0
00936	Z	0	0	0	0	0	0
00937	X	0	0	0	0	0	0
00937	Y	0	0	0	0	0	0
00937	Z	0	0	0	0	0	0
00938	X	0	0	0	0	0	0
00938	Y	0	0	0	0	0	0
00938	Z	0	0	0	0	0	0
00939	X	0	0	0	0	0	0
00939	Y	0	0	0	0	0	0
00939	Z	0	0	0	0	0	0
00940	X	0	0	0	0	0	0
00940	Y	0	0	0	0	0	0

Comm.: C20-025-S05

Il presente documento è di proprietà della ANTEX GROUP srl.  
È vietato la comunicazione a terzi o la riproduzione senza il permesso scritto della suddetta.  
La società tutela i propri diritti a rigore di Legge.







PARCO EOLICO DI "BUDDUSO"

RELAZIONE DI CALCOLO E TABULATI OPERE EDILI SSEU



Ingegneria & Innovazione

30/06/2023

REV: 2

Pag. 249

Nodi - Reazioni vincolari esterne per effetto del sisma

IdNo	Dir	F <sub>x</sub>	F <sub>y</sub>	F <sub>z</sub>	M <sub>x</sub>	M <sub>y</sub>	M <sub>z</sub>
		[N]	[N]	[N]	[N-m]	[N-m]	[N-m]
00940	Z	0	0	0	0	0	0
00941	X	0	0	0	0	0	0
00941	Y	0	0	0	0	0	0
00941	Z	0	0	0	0	0	0
00942	X	0	0	0	0	0	0
00942	Y	0	0	0	0	0	0
00942	Z	0	0	0	0	0	0
00943	X	0	0	0	0	0	0
00943	Y	0	0	0	0	0	0
00943	Z	0	0	0	0	0	0
00944	X	0	0	0	0	0	0
00944	Y	0	0	0	0	0	0
00944	Z	0	0	0	0	0	0
00945	X	0	0	0	0	0	0
00945	Y	0	0	0	0	0	0
00945	Z	0	0	0	0	0	0
00946	X	0	0	0	0	0	0
00946	Y	0	0	0	0	0	0
00946	Z	0	0	0	0	0	0
00947	X	0	0	0	0	0	0
00947	Y	0	0	0	0	0	0
00947	Z	0	0	0	0	0	0
00948	X	0	0	0	0	0	0
00948	Y	0	0	0	0	0	0
00948	Z	0	0	0	0	0	0
00949	X	0	0	0	0	0	0
00949	Y	0	0	0	0	0	0
00949	Z	0	0	0	0	0	0
00950	X	0	0	0	0	0	0
00950	Y	0	0	0	0	0	0
00950	Z	0	0	0	0	0	0
00951	X	0	0	0	0	0	0
00951	Y	0	0	0	0	0	0
00951	Z	0	0	0	0	0	0
00952	X	0	0	0	0	0	0
00952	Y	0	0	0	0	0	0
00952	Z	0	0	0	0	0	0
00953	X	0	0	0	0	0	0
00953	Y	0	0	0	0	0	0
00953	Z	0	0	0	0	0	0
00954	X	0	0	0	0	0	0
00954	Y	0	0	0	0	0	0
00954	Z	0	0	0	0	0	0
00955	X	0	0	0	0	0	0
00955	Y	0	0	0	0	0	0
00955	Z	0	0	0	0	0	0
00956	X	0	0	0	0	0	0
00956	Y	0	0	0	0	0	0
00956	Z	0	0	0	0	0	0
00957	X	0	0	0	0	0	0
00957	Y	0	0	0	0	0	0
00957	Z	0	0	0	0	0	0
00958	X	0	0	0	0	0	0
00958	Y	0	0	0	0	0	0
00958	Z	0	0	0	0	0	0
00959	X	0	0	0	0	0	0
00959	Y	0	0	0	0	0	0
00959	Z	0	0	0	0	0	0
00960	X	0	0	0	0	0	0
00960	Y	0	0	0	0	0	0
00960	Z	0	0	0	0	0	0
00961	X	0	0	0	0	0	0
00961	Y	0	0	0	0	0	0
00961	Z	0	0	0	0	0	0
00962	X	0	0	0	0	0	0
00962	Y	0	0	0	0	0	0

Comm.: C20-025-S05

Il presente documento è di proprietà della ANTEX GROUP srl. È vietato la comunicazione a terzi o la riproduzione senza il permesso scritto della suddetta. La società tutela i propri diritti a rigore di Legge.





PARCO EOLICO DI "BUDDUSO"

RELAZIONE DI CALCOLO E TABULATI OPERE EDILI  
SSEU



Ingegneria & Innovazione

30/06/2023

REV: 2

Pag. 250

Nodi - Reazioni vincolari esterne per effetto del sisma

IdNd	Dir	F <sub>x</sub>	F <sub>y</sub>	F <sub>z</sub>	M <sub>x</sub>	M <sub>y</sub>	M <sub>z</sub>
		[N]	[N]	[N]	[N-m]	[N-m]	[N-m]
00962	Z	0	0	0	0	0	0
00963	X	0	0	0	0	0	0
00963	Y	0	0	0	0	0	0
00963	Z	0	0	0	0	0	0
00964	X	0	0	0	0	0	0
00964	Y	0	0	0	0	0	0
00964	Z	0	0	0	0	0	0
00965	X	0	0	0	0	0	0
00965	Y	0	0	0	0	0	0
00965	Z	0	0	0	0	0	0
00966	X	0	0	0	0	0	0
00966	Y	0	0	0	0	0	0
00966	Z	0	0	0	0	0	0
00967	X	0	0	0	0	0	0
00967	Y	0	0	0	0	0	0
00967	Z	0	0	0	0	0	0
00968	X	0	0	0	0	0	0
00968	Y	0	0	0	0	0	0
00968	Z	0	0	0	0	0	0
00969	X	0	0	0	0	0	0
00969	Y	0	0	0	0	0	0
00969	Z	0	0	0	0	0	0
00970	X	0	0	0	0	0	0
00970	Y	0	0	0	0	0	0
00970	Z	0	0	0	0	0	0
00971	X	0	0	0	0	0	0
00971	Y	0	0	0	0	0	0
00971	Z	0	0	0	0	0	0
00972	X	0	0	0	0	0	0
00972	Y	0	0	0	0	0	0
00972	Z	0	0	0	0	0	0
00973	X	0	0	0	0	0	0
00973	Y	0	0	0	0	0	0
00973	Z	0	0	0	0	0	0
00974	X	0	0	0	0	0	0
00974	Y	0	0	0	0	0	0
00974	Z	0	0	0	0	0	0
00975	X	0	0	0	0	0	0
00975	Y	0	0	0	0	0	0
00975	Z	0	0	0	0	0	0
00976	X	0	0	0	0	0	0
00976	Y	0	0	0	0	0	0
00976	Z	0	0	0	0	0	0
00977	X	0	0	0	0	0	0
00977	Y	0	0	0	0	0	0
00977	Z	0	0	0	0	0	0
00978	X	0	0	0	0	0	0
00978	Y	0	0	0	0	0	0
00978	Z	0	0	0	0	0	0
00979	X	0	0	0	0	0	0
00979	Y	0	0	0	0	0	0
00979	Z	0	0	0	0	0	0
00980	X	0	0	0	0	0	0
00980	Y	0	0	0	0	0	0
00980	Z	0	0	0	0	0	0
00981	X	0	0	0	0	0	0
00981	Y	0	0	0	0	0	0
00981	Z	0	0	0	0	0	0
00982	X	0	0	0	0	0	0
00982	Y	0	0	0	0	0	0
00982	Z	0	0	0	0	0	0
00983	X	0	0	0	0	0	0
00983	Y	0	0	0	0	0	0
00983	Z	0	0	0	0	0	0
00984	X	0	0	0	0	0	0
00984	Y	0	0	0	0	0	0

Comm.: C20-025-S05

Il presente documento è di proprietà della ANTEX GROUP srl.  
È vietato la comunicazione a terzi o la riproduzione senza il permesso scritto della suddetta.  
La società tutela i propri diritti a rigore di Legge.





PARCO EOLICO DI "BUDDUSO"

RELAZIONE DI CALCOLO E TABULATI OPERE EDILI  
SSEU



Ingegneria & Innovazione

30/06/2023

REV: 2

Pag. 251

Nodi - Reazioni vincolari esterne per effetto del sisma

IdNd	Dir	F <sub>x</sub>	F <sub>y</sub>	F <sub>z</sub>	M <sub>x</sub>	M <sub>y</sub>	M <sub>z</sub>
		[N]	[N]	[N]	[N-m]	[N-m]	[N-m]
00984	Z	0	0	0	0	0	0
00985	X	0	0	0	0	0	0
00985	Y	0	0	0	0	0	0
00985	Z	0	0	0	0	0	0
00986	X	0	0	0	0	0	0
00986	Y	0	0	0	0	0	0
00986	Z	0	0	0	0	0	0
00987	X	0	0	0	0	0	0
00987	Y	0	0	0	0	0	0
00987	Z	0	0	0	0	0	0
00988	X	0	0	0	0	0	0
00988	Y	0	0	0	0	0	0
00988	Z	0	0	0	0	0	0
00989	X	0	0	0	0	0	0
00989	Y	0	0	0	0	0	0
00989	Z	0	0	0	0	0	0
00990	X	0	0	0	0	0	0
00990	Y	0	0	0	0	0	0
00990	Z	0	0	0	0	0	0
00991	X	0	0	0	0	0	0
00991	Y	0	0	0	0	0	0
00991	Z	0	0	0	0	0	0
00992	X	0	0	0	0	0	0
00992	Y	0	0	0	0	0	0
00992	Z	0	0	0	0	0	0
00993	X	0	0	0	0	0	0
00993	Y	0	0	0	0	0	0
00993	Z	0	0	0	0	0	0
00994	X	0	0	0	0	0	0
00994	Y	0	0	0	0	0	0
00994	Z	0	0	0	0	0	0
00995	X	0	0	0	0	0	0
00995	Y	0	0	0	0	0	0
00995	Z	0	0	0	0	0	0
00996	X	0	0	0	0	0	0
00996	Y	0	0	0	0	0	0
00996	Z	0	0	0	0	0	0
00997	X	0	0	0	0	0	0
00997	Y	0	0	0	0	0	0
00997	Z	0	0	0	0	0	0
00998	X	0	0	0	0	0	0
00998	Y	0	0	0	0	0	0
00998	Z	0	0	0	0	0	0
00999	X	0	0	0	0	0	0
00999	Y	0	0	0	0	0	0
00999	Z	0	0	0	0	0	0
01000	X	0	0	0	0	0	0
01000	Y	0	0	0	0	0	0
01000	Z	0	0	0	0	0	0
01001	X	0	0	0	0	0	0
01001	Y	0	0	0	0	0	0
01001	Z	0	0	0	0	0	0
01002	X	0	0	0	0	0	0
01002	Y	0	0	0	0	0	0
01002	Z	0	0	0	0	0	0
01003	X	0	0	0	0	0	0
01003	Y	0	0	0	0	0	0
01003	Z	0	0	0	0	0	0
01004	X	0	0	0	0	0	0
01004	Y	0	0	0	0	0	0
01004	Z	0	0	0	0	0	0
01005	X	0	0	0	0	0	0
01005	Y	0	0	0	0	0	0
01005	Z	0	0	0	0	0	0
01006	X	0	0	0	0	0	0
01006	Y	0	0	0	0	0	0

Comm.: C20-025-S05

Il presente documento è di proprietà della ANTEX GROUP srl.  
È vietato la comunicazione a terzi o la riproduzione senza il permesso scritto della suddetta.  
La società tutela i propri diritti a rigore di Legge.





PARCO EOLICO DI "BUDDUSO"

RELAZIONE DI CALCOLO E TABULATI OPERE EDILI  
SSEU



Ingegneria & Innovazione

30/06/2023

REV: 2

Pag. 252

Nodi - Reazioni vincolari esterne per effetto del sisma

IdNd	Dir	F <sub>x</sub>	F <sub>y</sub>	F <sub>z</sub>	M <sub>x</sub>	M <sub>y</sub>	M <sub>z</sub>
		[N]	[N]	[N]	[N-m]	[N-m]	[N-m]
01006	Z	0	0	0	0	0	0
01007	X	0	0	0	0	0	0
01007	Y	0	0	0	0	0	0
01007	Z	0	0	0	0	0	0
01008	X	0	0	0	0	0	0
01008	Y	0	0	0	0	0	0
01008	Z	0	0	0	0	0	0
01009	X	0	0	0	0	0	0
01009	Y	0	0	0	0	0	0
01009	Z	0	0	0	0	0	0
01010	X	0	0	0	0	0	0
01010	Y	0	0	0	0	0	0
01010	Z	0	0	0	0	0	0
01011	X	0	0	0	0	0	0
01011	Y	0	0	0	0	0	0
01011	Z	0	0	0	0	0	0
01012	X	0	0	0	0	0	0
01012	Y	0	0	0	0	0	0
01012	Z	0	0	0	0	0	0
01013	X	0	0	0	0	0	0
01013	Y	0	0	0	0	0	0
01013	Z	0	0	0	0	0	0
01014	X	0	0	0	0	0	0
01014	Y	0	0	0	0	0	0
01014	Z	0	0	0	0	0	0
01015	X	0	0	0	0	0	0
01015	Y	0	0	0	0	0	0
01015	Z	0	0	0	0	0	0
01016	X	0	0	0	0	0	0
01016	Y	0	0	0	0	0	0
01016	Z	0	0	0	0	0	0
01017	X	0	0	0	0	0	0
01017	Y	0	0	0	0	0	0
01017	Z	0	0	0	0	0	0
01018	X	0	0	0	0	0	0
01018	Y	0	0	0	0	0	0
01018	Z	0	0	0	0	0	0
01019	X	0	0	0	0	0	0
01019	Y	0	0	0	0	0	0
01019	Z	0	0	0	0	0	0
01020	X	0	0	0	0	0	0
01020	Y	0	0	0	0	0	0
01020	Z	0	0	0	0	0	0
01021	X	0	0	0	0	0	0
01021	Y	0	0	0	0	0	0
01021	Z	0	0	0	0	0	0
01022	X	0	0	0	0	0	0
01022	Y	0	0	0	0	0	0
01022	Z	0	0	0	0	0	0
01023	X	0	0	0	0	0	0
01023	Y	0	0	0	0	0	0
01023	Z	0	0	0	0	0	0
01024	X	0	0	0	0	0	0
01024	Y	0	0	0	0	0	0
01024	Z	0	0	0	0	0	0
01025	X	0	0	0	0	0	0
01025	Y	0	0	0	0	0	0
01025	Z	0	0	0	0	0	0
01026	X	0	0	0	0	0	0
01026	Y	0	0	0	0	0	0
01026	Z	0	0	0	0	0	0
01027	X	0	0	0	0	0	0
01027	Y	0	0	0	0	0	0
01027	Z	0	0	0	0	0	0
01028	X	0	0	0	0	0	0
01028	Y	0	0	0	0	0	0

Comm.: C20-025-S05

Il presente documento è di proprietà della ANTEX GROUP srl.  
È vietato la comunicazione a terzi o la riproduzione senza il permesso scritto della suddetta.  
La società tutela i propri diritti a rigore di Legge.





PARCO EOLICO DI "BUDDUSO"

RELAZIONE DI CALCOLO E TABULATI OPERE EDILI SSEU



Ingegneria & Innovazione

30/06/2023

REV: 2

Pag. 253

Nodi - Reazioni vincolari esterne per effetto del sisma

IdNo	Dir	F <sub>x</sub>	F <sub>y</sub>	F <sub>z</sub>	M <sub>x</sub>	M <sub>y</sub>	M <sub>z</sub>
		[N]	[N]	[N]	[N-m]	[N-m]	[N-m]
01028	Z	0	0	0	0	0	0
01029	X	0	0	0	0	0	0
01029	Y	0	0	0	0	0	0
01029	Z	0	0	0	0	0	0
01030	X	0	0	0	0	0	0
01030	Y	0	0	0	0	0	0
01030	Z	0	0	0	0	0	0
01031	X	0	0	0	0	0	0
01031	Y	0	0	0	0	0	0
01031	Z	0	0	0	0	0	0
01032	X	0	0	0	0	0	0
01032	Y	0	0	0	0	0	0
01032	Z	0	0	0	0	0	0
01033	X	0	0	0	0	0	0
01033	Y	0	0	0	0	0	0
01033	Z	0	0	0	0	0	0
01034	X	0	0	0	0	0	0
01034	Y	0	0	0	0	0	0
01034	Z	0	0	0	0	0	0
01035	X	0	0	0	0	0	0
01035	Y	0	0	0	0	0	0
01035	Z	0	0	0	0	0	0
01036	X	0	0	0	0	0	0
01036	Y	0	0	0	0	0	0
01036	Z	0	0	0	0	0	0
01037	X	0	0	0	0	0	0
01037	Y	0	0	0	0	0	0
01037	Z	0	0	0	0	0	0
01038	X	0	0	0	0	0	0
01038	Y	0	0	0	0	0	0
01038	Z	0	0	0	0	0	0
01039	X	0	0	0	0	0	0
01039	Y	0	0	0	0	0	0
01039	Z	0	0	0	0	0	0
01040	X	0	0	0	0	0	0
01040	Y	0	0	0	0	0	0
01040	Z	0	0	0	0	0	0
01041	X	0	0	0	0	0	0
01041	Y	0	0	0	0	0	0
01041	Z	0	0	0	0	0	0
01042	X	0	0	0	0	0	0
01042	Y	0	0	0	0	0	0
01042	Z	0	0	0	0	0	0
01043	X	0	0	0	0	0	0
01043	Y	0	0	0	0	0	0
01043	Z	0	0	0	0	0	0
01044	X	0	0	0	0	0	0
01044	Y	0	0	0	0	0	0
01044	Z	0	0	0	0	0	0
01045	X	0	0	0	0	0	0
01045	Y	0	0	0	0	0	0
01045	Z	0	0	0	0	0	0
01046	X	0	0	0	0	0	0
01046	Y	0	0	0	0	0	0
01046	Z	0	0	0	0	0	0
01047	X	0	0	0	0	0	0
01047	Y	0	0	0	0	0	0
01047	Z	0	0	0	0	0	0
01048	X	0	0	0	0	0	0
01048	Y	0	0	0	0	0	0
01048	Z	0	0	0	0	0	0
01049	X	0	0	0	0	0	0
01049	Y	0	0	0	0	0	0
01049	Z	0	0	0	0	0	0
01050	X	0	0	0	0	0	0
01050	Y	0	0	0	0	0	0

Comm.: C20-025-S05

Il presente documento è di proprietà della ANTEX GROUP srl. È vietato la comunicazione a terzi o la riproduzione senza il permesso scritto della suddetta. La società tutela i propri diritti a rigore di Legge.





PARCO EOLICO DI "BUDDUSO"

RELAZIONE DI CALCOLO E TABULATI OPERE EDILI SSEU



Ingegneria & Innovazione

30/06/2023

REV: 2

Pag. 254

Nodi - Reazioni vincolari esterne per effetto del sisma

IdNo	Dir	F <sub>x</sub>	F <sub>y</sub>	F <sub>z</sub>	M <sub>x</sub>	M <sub>y</sub>	M <sub>z</sub>
		[N]	[N]	[N]	[N-m]	[N-m]	[N-m]
01050	Z	0	0	0	0	0	0
01051	X	0	0	0	0	0	0
01051	Y	0	0	0	0	0	0
01051	Z	0	0	0	0	0	0
01052	X	0	0	0	0	0	0
01052	Y	0	0	0	0	0	0
01052	Z	0	0	0	0	0	0
01053	X	0	0	0	0	0	0
01053	Y	0	0	0	0	0	0
01053	Z	0	0	0	0	0	0
01054	X	0	0	0	0	0	0
01054	Y	0	0	0	0	0	0
01054	Z	0	0	0	0	0	0
01055	X	0	0	0	0	0	0
01055	Y	0	0	0	0	0	0
01055	Z	0	0	0	0	0	0
01056	X	0	0	0	0	0	0
01056	Y	0	0	0	0	0	0
01056	Z	0	0	0	0	0	0
01057	X	0	0	0	0	0	0
01057	Y	0	0	0	0	0	0
01057	Z	0	0	0	0	0	0
01058	X	0	0	0	0	0	0
01058	Y	0	0	0	0	0	0
01058	Z	0	0	0	0	0	0
01059	X	0	0	0	0	0	0
01059	Y	0	0	0	0	0	0
01059	Z	0	0	0	0	0	0
01060	X	0	0	0	0	0	0
01060	Y	0	0	0	0	0	0
01060	Z	0	0	0	0	0	0
01061	X	0	0	0	0	0	0
01061	Y	0	0	0	0	0	0
01061	Z	0	0	0	0	0	0
01062	X	0	0	0	0	0	0
01062	Y	0	0	0	0	0	0
01062	Z	0	0	0	0	0	0
01063	X	0	0	0	0	0	0
01063	Y	0	0	0	0	0	0
01063	Z	0	0	0	0	0	0
01064	X	0	0	0	0	0	0
01064	Y	0	0	0	0	0	0
01064	Z	0	0	0	0	0	0
01065	X	0	0	0	0	0	0
01065	Y	0	0	0	0	0	0
01065	Z	0	0	0	0	0	0
01066	X	0	0	0	0	0	0
01066	Y	0	0	0	0	0	0
01066	Z	0	0	0	0	0	0
01067	X	0	0	0	0	0	0
01067	Y	0	0	0	0	0	0
01067	Z	0	0	0	0	0	0
01068	X	0	0	0	0	0	0
01068	Y	0	0	0	0	0	0
01068	Z	0	0	0	0	0	0
01069	X	0	0	0	0	0	0
01069	Y	0	0	0	0	0	0
01069	Z	0	0	0	0	0	0
01070	X	0	0	0	0	0	0
01070	Y	0	0	0	0	0	0
01070	Z	0	0	0	0	0	0
01071	X	0	0	0	0	0	0
01071	Y	0	0	0	0	0	0
01071	Z	0	0	0	0	0	0
01072	X	0	0	0	0	0	0
01072	Y	0	0	0	0	0	0

Comm.: C20-025-S05

Il presente documento è di proprietà della ANTEX GROUP srl. È vietato la comunicazione a terzi o la riproduzione senza il permesso scritto della suddetta. La società tutela i propri diritti a rigore di Legge.





PARCO EOLICO DI "BUDDUSO"

RELAZIONE DI CALCOLO E TABULATI OPERE EDILI  
SSEU



Ingegneria & Innovazione

30/06/2023

REV: 2

Pag. 255

Nodi - Reazioni vincolari esterne per effetto del sisma

IdNd	Dir	F <sub>x</sub>	F <sub>y</sub>	F <sub>z</sub>	M <sub>x</sub>	M <sub>y</sub>	M <sub>z</sub>
		[N]	[N]	[N]	[N-m]	[N-m]	[N-m]
01072	Z	0	0	0	0	0	0
01073	X	0	0	0	0	0	0
01073	Y	0	0	0	0	0	0
01073	Z	0	0	0	0	0	0
01074	X	0	0	0	0	0	0
01074	Y	0	0	0	0	0	0
01074	Z	0	0	0	0	0	0
01075	X	0	0	0	0	0	0
01075	Y	0	0	0	0	0	0
01075	Z	0	0	0	0	0	0
01076	X	0	0	0	0	0	0
01076	Y	0	0	0	0	0	0
01076	Z	0	0	0	0	0	0
01077	X	0	0	0	0	0	0
01077	Y	0	0	0	0	0	0
01077	Z	0	0	0	0	0	0
01078	X	0	0	0	0	0	0
01078	Y	0	0	0	0	0	0
01078	Z	0	0	0	0	0	0
01079	X	0	0	0	0	0	0
01079	Y	0	0	0	0	0	0
01079	Z	0	0	0	0	0	0
01080	X	0	0	0	0	0	0
01080	Y	0	0	0	0	0	0
01080	Z	0	0	0	0	0	0
01081	X	0	0	0	0	0	0
01081	Y	0	0	0	0	0	0
01081	Z	0	0	0	0	0	0
01082	X	0	0	0	0	0	0
01082	Y	0	0	0	0	0	0
01082	Z	0	0	0	0	0	0
01083	X	0	0	0	0	0	0
01083	Y	0	0	0	0	0	0
01083	Z	0	0	0	0	0	0
01084	X	0	0	0	0	0	0
01084	Y	0	0	0	0	0	0
01084	Z	0	0	0	0	0	0
01085	X	0	0	0	0	0	0
01085	Y	0	0	0	0	0	0
01085	Z	0	0	0	0	0	0
01086	X	0	0	0	0	0	0
01086	Y	0	0	0	0	0	0
01086	Z	0	0	0	0	0	0
01087	X	0	0	0	0	0	0
01087	Y	0	0	0	0	0	0
01087	Z	0	0	0	0	0	0
01088	X	0	0	0	0	0	0
01088	Y	0	0	0	0	0	0
01088	Z	0	0	0	0	0	0
01089	X	0	0	0	0	0	0
01089	Y	0	0	0	0	0	0
01089	Z	0	0	0	0	0	0
01090	X	0	0	0	0	0	0
01090	Y	0	0	0	0	0	0
01090	Z	0	0	0	0	0	0
01091	X	0	0	0	0	0	0
01091	Y	0	0	0	0	0	0
01091	Z	0	0	0	0	0	0
01092	X	0	0	0	0	0	0
01092	Y	0	0	0	0	0	0
01092	Z	0	0	0	0	0	0
01093	X	0	0	0	0	0	0
01093	Y	0	0	0	0	0	0
01093	Z	0	0	0	0	0	0
01094	X	0	0	0	0	0	0
01094	Y	0	0	0	0	0	0

Comm.: C20-025-S05

Il presente documento è di proprietà della ANTEX GROUP srl.  
È vietato la comunicazione a terzi o la riproduzione senza il permesso scritto della suddetta.  
La società tutela i propri diritti a rigore di Legge.





PARCO EOLICO DI "BUDDUSO"

RELAZIONE DI CALCOLO E TABULATI OPERE EDILI  
SSEU



Ingegneria & Innovazione

30/06/2023

REV: 2

Pag. 256

Nodi - Reazioni vincolari esterne per effetto del sisma

IdNd	Dir	F <sub>x</sub>	F <sub>y</sub>	F <sub>z</sub>	M <sub>x</sub>	M <sub>y</sub>	M <sub>z</sub>
		[N]	[N]	[N]	[N-m]	[N-m]	[N-m]
01094	Z	0	0	0	0	0	0
01095	X	0	0	0	0	0	0
01095	Y	0	0	0	0	0	0
01095	Z	0	0	0	0	0	0
01096	X	0	0	0	0	0	0
01096	Y	0	0	0	0	0	0
01096	Z	0	0	0	0	0	0
01097	X	0	0	0	0	0	0
01097	Y	0	0	0	0	0	0
01097	Z	0	0	0	0	0	0
01098	X	0	0	0	0	0	0
01098	Y	0	0	0	0	0	0
01098	Z	0	0	0	0	0	0
01099	X	0	0	0	0	0	0
01099	Y	0	0	0	0	0	0
01099	Z	0	0	0	0	0	0
01100	X	0	0	0	0	0	0
01100	Y	0	0	0	0	0	0
01100	Z	0	0	0	0	0	0
01101	X	0	0	0	0	0	0
01101	Y	0	0	0	0	0	0
01101	Z	0	0	0	0	0	0
01102	X	0	0	0	0	0	0
01102	Y	0	0	0	0	0	0
01102	Z	0	0	0	0	0	0
01103	X	0	0	0	0	0	0
01103	Y	0	0	0	0	0	0
01103	Z	0	0	0	0	0	0
01104	X	0	0	0	0	0	0
01104	Y	0	0	0	0	0	0
01104	Z	0	0	0	0	0	0
01105	X	0	0	0	0	0	0
01105	Y	0	0	0	0	0	0
01105	Z	0	0	0	0	0	0
01106	X	0	0	0	0	0	0
01106	Y	0	0	0	0	0	0
01106	Z	0	0	0	0	0	0

LEGENDA:

- IdNd** Identificativo del nodo.
- Dir** Direzione del sisma.
- F<sub>x</sub>, F<sub>y</sub>, F<sub>z</sub>** Reazioni vincolari relative al sistema di riferimento globale X, Y, Z.
- M<sub>x</sub>, M<sub>y</sub>, M<sub>z</sub>**

NODI - REAZIONI VINCOLARI ESTERNE PER ECCENTRICITÀ ACCIDENTALE

Nodi - Reazioni vincolari esterne per eccentricità accidentale

IdNd	Dir	e	F <sub>x</sub>	F <sub>y</sub>	F <sub>z</sub>	M <sub>x</sub>	M <sub>y</sub>	M <sub>z</sub>
			[N]	[N]	[N]	[N-m]	[N-m]	[N-m]
00002	X	+	0	0	0	0	0	0
00002	X	-	0	0	0	0	0	0
00002	Y	+	0	0	0	0	0	0
00002	Y	-	0	0	0	0	0	0
00003	X	+	0	0	0	0	0	0
00003	X	-	0	0	0	0	0	0
00003	Y	+	0	0	0	0	0	0
00003	Y	-	0	0	0	0	0	0
00004	X	+	0	0	0	0	0	0
00004	X	-	0	0	0	0	0	0
00004	Y	+	0	0	0	0	0	0
00004	Y	-	0	0	0	0	0	0
00005	X	+	0	0	0	0	0	0
00005	X	-	0	0	0	0	0	0
00005	Y	+	0	0	0	0	0	0
00005	Y	-	0	0	0	0	0	0

Comm.: C20-025-S05

Il presente documento è di proprietà della ANTEX GROUP srl.  
È vietato la comunicazione a terzi o la riproduzione senza il permesso scritto della suddetta.  
La società tutela i propri diritti a rigore di Legge.







PARCO EOLICO DI "BUDDUSO"

RELAZIONE DI CALCOLO E TABULATI OPERE EDILI  
SSEU



Ingegneria & Innovazione

30/06/2023

REV: 2

Pag. 257

Nodi - Reazioni vincolari esterne per eccentricità accidentale

IdNd	Dir	e	F <sub>x</sub>	F <sub>y</sub>	F <sub>z</sub>	M <sub>x</sub>	M <sub>y</sub>	M <sub>z</sub>
			[N]	[N]	[N]	[N-m]	[N-m]	[N-m]
00006	X	+	0	0	0	0	0	0
00006	X	-	0	0	0	0	0	0
00006	Y	+	0	0	0	0	0	0
00006	Y	-	0	0	0	0	0	0
00007	X	+	0	0	0	0	0	0
00007	X	-	0	0	0	0	0	0
00007	Y	+	0	0	0	0	0	0
00007	Y	-	0	0	0	0	0	0
00008	X	+	0	0	0	0	0	0
00008	X	-	0	0	0	0	0	0
00008	Y	+	0	0	0	0	0	0
00008	Y	-	0	0	0	0	0	0
00009	X	+	0	0	0	0	0	0
00009	X	-	0	0	0	0	0	0
00009	Y	+	0	0	0	0	0	0
00009	Y	-	0	0	0	0	0	0
00010	X	+	0	0	0	0	0	0
00010	X	-	0	0	0	0	0	0
00010	Y	+	0	0	0	0	0	0
00010	Y	-	0	0	0	0	0	0
00011	X	+	0	0	0	0	0	0
00011	X	-	0	0	0	0	0	0
00011	Y	+	0	0	0	0	0	0
00011	Y	-	0	0	0	0	0	0
00012	X	+	0	0	0	0	0	0
00012	X	-	0	0	0	0	0	0
00012	Y	+	0	0	0	0	0	0
00012	Y	-	0	0	0	0	0	0
00013	X	+	0	0	0	0	0	0
00013	X	-	0	0	0	0	0	0
00013	Y	+	0	0	0	0	0	0
00013	Y	-	0	0	0	0	0	0
00014	X	+	0	0	0	0	0	0
00014	X	-	0	0	0	0	0	0
00014	Y	+	0	0	0	0	0	0
00014	Y	-	0	0	0	0	0	0
00015	X	+	0	0	0	0	0	0
00015	X	-	0	0	0	0	0	0
00015	Y	+	0	0	0	0	0	0
00015	Y	-	0	0	0	0	0	0
00016	X	+	0	0	0	0	0	0
00016	X	-	0	0	0	0	0	0
00016	Y	+	0	0	0	0	0	0
00016	Y	-	0	0	0	0	0	0
00017	X	+	0	0	0	0	0	0
00017	X	-	0	0	0	0	0	0
00017	Y	+	0	0	0	0	0	0
00017	Y	-	0	0	0	0	0	0
00018	X	+	0	0	0	0	0	0
00018	X	-	0	0	0	0	0	0
00018	Y	+	0	0	0	0	0	0
00018	Y	-	0	0	0	0	0	0
00019	X	+	0	0	0	0	0	0
00019	X	-	0	0	0	0	0	0
00019	Y	+	0	0	0	0	0	0
00019	Y	-	0	0	0	0	0	0
00020	X	+	0	0	0	0	0	0
00020	X	-	0	0	0	0	0	0
00020	Y	+	0	0	0	0	0	0
00020	Y	-	0	0	0	0	0	0
00021	X	+	0	0	0	0	0	0
00021	X	-	0	0	0	0	0	0
00021	Y	+	0	0	0	0	0	0
00021	Y	-	0	0	0	0	0	0
00022	X	+	0	0	0	0	0	0
00022	X	-	0	0	0	0	0	0

Comm.: C20-025-S05

Il presente documento è di proprietà della ANTEX GROUP srl.  
È vietato la comunicazione a terzi o la riproduzione senza il permesso scritto della suddetta.  
La società tutela i propri diritti a rigore di Legge.





PARCO EOLICO DI "BUDDUSO"

RELAZIONE DI CALCOLO E TABULATI OPERE EDILI SSEU



Ingegneria & Innovazione

30/06/2023

REV: 2

Pag. 258

Nodi - Reazioni vincolari esterne per eccentricità accidentale

IdNd	Dir	e	F <sub>x</sub>	F <sub>y</sub>	F <sub>z</sub>	M <sub>x</sub>	M <sub>y</sub>	M <sub>z</sub>
			[N]	[N]	[N]	[N-m]	[N-m]	[N-m]
00022	Y	+	0	0	0	0	0	0
00022	Y	-	0	0	0	0	0	0
00023	X	+	0	0	0	0	0	0
00023	X	-	0	0	0	0	0	0
00023	Y	+	0	0	0	0	0	0
00023	Y	-	0	0	0	0	0	0
00024	X	+	0	0	0	0	0	0
00024	X	-	0	0	0	0	0	0
00024	Y	+	0	0	0	0	0	0
00024	Y	-	0	0	0	0	0	0
00025	X	+	0	0	0	0	0	0
00025	X	-	0	0	0	0	0	0
00025	Y	+	0	0	0	0	0	0
00025	Y	-	0	0	0	0	0	0
00026	X	+	0	0	0	0	0	0
00026	X	-	0	0	0	0	0	0
00026	Y	+	0	0	0	0	0	0
00026	Y	-	0	0	0	0	0	0
00027	X	+	0	0	0	0	0	0
00027	X	-	0	0	0	0	0	0
00027	Y	+	0	0	0	0	0	0
00027	Y	-	0	0	0	0	0	0
00028	X	+	0	0	0	0	0	0
00028	X	-	0	0	0	0	0	0
00028	Y	+	0	0	0	0	0	0
00028	Y	-	0	0	0	0	0	0
00029	X	+	0	0	0	0	0	0
00029	X	-	0	0	0	0	0	0
00029	Y	+	0	0	0	0	0	0
00029	Y	-	0	0	0	0	0	0
00030	X	+	0	0	0	0	0	0
00030	X	-	0	0	0	0	0	0
00030	Y	+	0	0	0	0	0	0
00030	Y	-	0	0	0	0	0	0
00031	X	+	0	0	0	0	0	0
00031	X	-	0	0	0	0	0	0
00031	Y	+	0	0	0	0	0	0
00031	Y	-	0	0	0	0	0	0
00032	X	+	0	0	0	0	0	0
00032	X	-	0	0	0	0	0	0
00032	Y	+	0	0	0	0	0	0
00032	Y	-	0	0	0	0	0	0
00033	X	+	0	0	0	0	0	0
00033	X	-	0	0	0	0	0	0
00033	Y	+	0	0	0	0	0	0
00033	Y	-	0	0	0	0	0	0
00034	X	+	0	0	0	0	0	0
00034	X	-	0	0	0	0	0	0
00034	Y	+	0	0	0	0	0	0
00034	Y	-	0	0	0	0	0	0
00035	X	+	0	0	0	0	0	0
00035	X	-	0	0	0	0	0	0
00035	Y	+	0	0	0	0	0	0
00035	Y	-	0	0	0	0	0	0
00036	X	+	0	0	0	0	0	0
00036	X	-	0	0	0	0	0	0
00036	Y	+	0	0	0	0	0	0
00036	Y	-	0	0	0	0	0	0
00037	X	+	0	0	0	0	0	0
00037	X	-	0	0	0	0	0	0
00037	Y	+	0	0	0	0	0	0
00037	Y	-	0	0	0	0	0	0
00038	X	+	0	0	0	0	0	0
00038	X	-	0	0	0	0	0	0
00038	Y	+	0	0	0	0	0	0
00038	Y	-	0	0	0	0	0	0

Comm.: C20-025-S05

Il presente documento è di proprietà della ANTEX GROUP srl. È vietato la comunicazione a terzi o la riproduzione senza il permesso scritto della suddetta. La società tutela i propri diritti a rigore di Legge.





PARCO EOLICO DI "BUDDUSO"

RELAZIONE DI CALCOLO E TABULATI OPERE EDILI  
SSEU



Ingegneria & Innovazione

30/06/2023

REV: 2

Pag. 259

Nodi - Reazioni vincolari esterne per eccentricità accidentale

IdNd	Dir	e	F <sub>x</sub>	F <sub>y</sub>	F <sub>z</sub>	M <sub>x</sub>	M <sub>y</sub>	M <sub>z</sub>
			[N]	[N]	[N]	[N-m]	[N-m]	[N-m]
00039	X	+	0	0	0	0	0	0
00039	X	-	0	0	0	0	0	0
00039	Y	+	0	0	0	0	0	0
00039	Y	-	0	0	0	0	0	0
00040	X	+	0	0	0	0	0	0
00040	X	-	0	0	0	0	0	0
00040	Y	+	0	0	0	0	0	0
00040	Y	-	0	0	0	0	0	0
00041	X	+	0	0	0	0	0	0
00041	X	-	0	0	0	0	0	0
00041	Y	+	0	0	0	0	0	0
00041	Y	-	0	0	0	0	0	0
00042	X	+	0	0	0	0	0	0
00042	X	-	0	0	0	0	0	0
00042	Y	+	0	0	0	0	0	0
00042	Y	-	0	0	0	0	0	0
00043	X	+	0	0	0	0	0	0
00043	X	-	0	0	0	0	0	0
00043	Y	+	0	0	0	0	0	0
00043	Y	-	0	0	0	0	0	0
00044	X	+	0	0	0	0	0	0
00044	X	-	0	0	0	0	0	0
00044	Y	+	0	0	0	0	0	0
00044	Y	-	0	0	0	0	0	0
00045	X	+	0	0	0	0	0	0
00045	X	-	0	0	0	0	0	0
00045	Y	+	0	0	0	0	0	0
00045	Y	-	0	0	0	0	0	0
00046	X	+	0	0	0	0	0	0
00046	X	-	0	0	0	0	0	0
00046	Y	+	0	0	0	0	0	0
00046	Y	-	0	0	0	0	0	0
00047	X	+	0	0	0	0	0	0
00047	X	-	0	0	0	0	0	0
00047	Y	+	0	0	0	0	0	0
00047	Y	-	0	0	0	0	0	0
00048	X	+	0	0	0	0	0	0
00048	X	-	0	0	0	0	0	0
00048	Y	+	0	0	0	0	0	0
00048	Y	-	0	0	0	0	0	0
00049	X	+	0	0	0	0	0	0
00049	X	-	0	0	0	0	0	0
00049	Y	+	0	0	0	0	0	0
00049	Y	-	0	0	0	0	0	0
00050	X	+	0	0	0	0	0	0
00050	X	-	0	0	0	0	0	0
00050	Y	+	0	0	0	0	0	0
00050	Y	-	0	0	0	0	0	0
00051	X	+	0	0	0	0	0	0
00051	X	-	0	0	0	0	0	0
00051	Y	+	0	0	0	0	0	0
00051	Y	-	0	0	0	0	0	0
00052	X	+	0	0	0	0	0	0
00052	X	-	0	0	0	0	0	0
00052	Y	+	0	0	0	0	0	0
00052	Y	-	0	0	0	0	0	0
00053	X	+	0	0	0	0	0	0
00053	X	-	0	0	0	0	0	0
00053	Y	+	0	0	0	0	0	0
00053	Y	-	0	0	0	0	0	0
00054	X	+	0	0	0	0	0	0
00054	X	-	0	0	0	0	0	0
00054	Y	+	0	0	0	0	0	0
00054	Y	-	0	0	0	0	0	0
00055	X	+	0	0	0	0	0	0
00055	X	-	0	0	0	0	0	0

Comm.: C20-025-S05

Il presente documento è di proprietà della ANTEX GROUP srl.  
È vietato la comunicazione a terzi o la riproduzione senza il permesso scritto della suddetta.  
La società tutela i propri diritti a rigore di Legge.





PARCO EOLICO DI "BUDDUSO"

RELAZIONE DI CALCOLO E TABULATI OPERE EDILI  
SSEU



Ingegneria & Innovazione

30/06/2023

REV: 2

Pag. 260

Nodi - Reazioni vincolari esterne per eccentricità accidentale

IdNd	Dir	e	F <sub>x</sub>	F <sub>y</sub>	F <sub>z</sub>	M <sub>x</sub>	M <sub>y</sub>	M <sub>z</sub>
			[N]	[N]	[N]	[N-m]	[N-m]	[N-m]
00055	Y	+	0	0	0	0	0	0
00055	Y	-	0	0	0	0	0	0
00056	X	+	0	0	0	0	0	0
00056	X	-	0	0	0	0	0	0
00056	Y	+	0	0	0	0	0	0
00056	Y	-	0	0	0	0	0	0
00057	X	+	0	0	0	0	0	0
00057	X	-	0	0	0	0	0	0
00057	Y	+	0	0	0	0	0	0
00057	Y	-	0	0	0	0	0	0
00058	X	+	0	0	0	0	0	0
00058	X	-	0	0	0	0	0	0
00058	Y	+	0	0	0	0	0	0
00058	Y	-	0	0	0	0	0	0
00059	X	+	0	0	0	0	0	0
00059	X	-	0	0	0	0	0	0
00059	Y	+	0	0	0	0	0	0
00059	Y	-	0	0	0	0	0	0
00060	X	+	0	0	0	0	0	0
00060	X	-	0	0	0	0	0	0
00060	Y	+	0	0	0	0	0	0
00060	Y	-	0	0	0	0	0	0
00061	X	+	0	0	0	0	0	0
00061	X	-	0	0	0	0	0	0
00061	Y	+	0	0	0	0	0	0
00061	Y	-	0	0	0	0	0	0
00062	X	+	0	0	0	0	0	0
00062	X	-	0	0	0	0	0	0
00062	Y	+	0	0	0	0	0	0
00062	Y	-	0	0	0	0	0	0
00063	X	+	0	0	0	0	0	0
00063	X	-	0	0	0	0	0	0
00063	Y	+	0	0	0	0	0	0
00063	Y	-	0	0	0	0	0	0
00064	X	+	0	0	0	0	0	0
00064	X	-	0	0	0	0	0	0
00064	Y	+	0	0	0	0	0	0
00064	Y	-	0	0	0	0	0	0
00065	X	+	0	0	0	0	0	0
00065	X	-	0	0	0	0	0	0
00065	Y	+	0	0	0	0	0	0
00065	Y	-	0	0	0	0	0	0
00066	X	+	0	0	0	0	0	0
00066	X	-	0	0	0	0	0	0
00066	Y	+	0	0	0	0	0	0
00066	Y	-	0	0	0	0	0	0
00067	X	+	0	0	0	0	0	0
00067	X	-	0	0	0	0	0	0
00067	Y	+	0	0	0	0	0	0
00067	Y	-	0	0	0	0	0	0
00068	X	+	0	0	0	0	0	0
00068	X	-	0	0	0	0	0	0
00068	Y	+	0	0	0	0	0	0
00068	Y	-	0	0	0	0	0	0
00069	X	+	0	0	0	0	0	0
00069	X	-	0	0	0	0	0	0
00069	Y	+	0	0	0	0	0	0
00069	Y	-	0	0	0	0	0	0
00070	X	+	0	0	0	0	0	0
00070	X	-	0	0	0	0	0	0
00070	Y	+	0	0	0	0	0	0
00070	Y	-	0	0	0	0	0	0
00071	X	+	0	0	0	0	0	0
00071	X	-	0	0	0	0	0	0
00071	Y	+	0	0	0	0	0	0
00071	Y	-	0	0	0	0	0	0

Comm.: C20-025-S05

Il presente documento è di proprietà della ANTEX GROUP srl.  
È vietato la comunicazione a terzi o la riproduzione senza il permesso scritto della suddetta.  
La società tutela i propri diritti a rigore di Legge.





PARCO EOLICO DI "BUDDUSO"

RELAZIONE DI CALCOLO E TABULATI OPERE EDILI  
SSEU



Ingegneria & Innovazione

30/06/2023

REV: 2

Pag. 261

Nodi - Reazioni vincolari esterne per eccentricità accidentale

IdNd	Dir	e	F <sub>x</sub>	F <sub>y</sub>	F <sub>z</sub>	M <sub>x</sub>	M <sub>y</sub>	M <sub>z</sub>
			[N]	[N]	[N]	[N-m]	[N-m]	[N-m]
00072	X	+	0	0	0	0	0	0
00072	X	-	0	0	0	0	0	0
00072	Y	+	0	0	0	0	0	0
00072	Y	-	0	0	0	0	0	0
00073	X	+	0	0	0	0	0	0
00073	X	-	0	0	0	0	0	0
00073	Y	+	0	0	0	0	0	0
00073	Y	-	0	0	0	0	0	0
00074	X	+	0	0	0	0	0	0
00074	X	-	0	0	0	0	0	0
00074	Y	+	0	0	0	0	0	0
00074	Y	-	0	0	0	0	0	0
00075	X	+	0	0	0	0	0	0
00075	X	-	0	0	0	0	0	0
00075	Y	+	0	0	0	0	0	0
00075	Y	-	0	0	0	0	0	0
00076	X	+	0	0	0	0	0	0
00076	X	-	0	0	0	0	0	0
00076	Y	+	0	0	0	0	0	0
00076	Y	-	0	0	0	0	0	0
00077	X	+	0	0	0	0	0	0
00077	X	-	0	0	0	0	0	0
00077	Y	+	0	0	0	0	0	0
00077	Y	-	0	0	0	0	0	0
00078	X	+	0	0	0	0	0	0
00078	X	-	0	0	0	0	0	0
00078	Y	+	0	0	0	0	0	0
00078	Y	-	0	0	0	0	0	0
00079	X	+	0	0	0	0	0	0
00079	X	-	0	0	0	0	0	0
00079	Y	+	0	0	0	0	0	0
00079	Y	-	0	0	0	0	0	0
00080	X	+	0	0	0	0	0	0
00080	X	-	0	0	0	0	0	0
00080	Y	+	0	0	0	0	0	0
00080	Y	-	0	0	0	0	0	0
00081	X	+	0	0	0	0	0	0
00081	X	-	0	0	0	0	0	0
00081	Y	+	0	0	0	0	0	0
00081	Y	-	0	0	0	0	0	0
00082	X	+	0	0	0	0	0	0
00082	X	-	0	0	0	0	0	0
00082	Y	+	0	0	0	0	0	0
00082	Y	-	0	0	0	0	0	0
00083	X	+	0	0	0	0	0	0
00083	X	-	0	0	0	0	0	0
00083	Y	+	0	0	0	0	0	0
00083	Y	-	0	0	0	0	0	0
00084	X	+	0	0	0	0	0	0
00084	X	-	0	0	0	0	0	0
00084	Y	+	0	0	0	0	0	0
00084	Y	-	0	0	0	0	0	0
00085	X	+	0	0	0	0	0	0
00085	X	-	0	0	0	0	0	0
00085	Y	+	0	0	0	0	0	0
00085	Y	-	0	0	0	0	0	0
00086	X	+	0	0	0	0	0	0
00086	X	-	0	0	0	0	0	0
00086	Y	+	0	0	0	0	0	0
00086	Y	-	0	0	0	0	0	0
00087	X	+	0	0	0	0	0	0
00087	X	-	0	0	0	0	0	0
00087	Y	+	0	0	0	0	0	0
00087	Y	-	0	0	0	0	0	0
00088	X	+	0	0	0	0	0	0
00088	X	-	0	0	0	0	0	0

Comm.: C20-025-S05

Il presente documento è di proprietà della ANTEX GROUP srl.  
È vietato la comunicazione a terzi o la riproduzione senza il permesso scritto della suddetta.  
La società tutela i propri diritti a rigore di Legge.





PARCO EOLICO DI "BUDDUSO"

RELAZIONE DI CALCOLO E TABULATI OPERE EDILI  
SSEU



Ingegneria & Innovazione

30/06/2023

REV: 2

Pag. 262

Nodi - Reazioni vincolari esterne per eccentricità accidentale

IdNd	Dir	e	F <sub>x</sub>	F <sub>y</sub>	F <sub>z</sub>	M <sub>x</sub>	M <sub>y</sub>	M <sub>z</sub>
			[N]	[N]	[N]	[N-m]	[N-m]	[N-m]
00088	Y	+	0	0	0	0	0	0
00088	Y	-	0	0	0	0	0	0
00089	X	+	0	0	0	0	0	0
00089	X	-	0	0	0	0	0	0
00089	Y	+	0	0	0	0	0	0
00089	Y	-	0	0	0	0	0	0
00090	X	+	0	0	0	0	0	0
00090	X	-	0	0	0	0	0	0
00090	Y	+	0	0	0	0	0	0
00090	Y	-	0	0	0	0	0	0
00091	X	+	0	0	0	0	0	0
00091	X	-	0	0	0	0	0	0
00091	Y	+	0	0	0	0	0	0
00091	Y	-	0	0	0	0	0	0
00092	X	+	0	0	0	0	0	0
00092	X	-	0	0	0	0	0	0
00092	Y	+	0	0	0	0	0	0
00092	Y	-	0	0	0	0	0	0
00093	X	+	0	0	0	0	0	0
00093	X	-	0	0	0	0	0	0
00093	Y	+	0	0	0	0	0	0
00093	Y	-	0	0	0	0	0	0
00094	X	+	0	0	0	0	0	0
00094	X	-	0	0	0	0	0	0
00094	Y	+	0	0	0	0	0	0
00094	Y	-	0	0	0	0	0	0
00095	X	+	0	0	0	0	0	0
00095	X	-	0	0	0	0	0	0
00095	Y	+	0	0	0	0	0	0
00095	Y	-	0	0	0	0	0	0
00096	X	+	0	0	0	0	0	0
00096	X	-	0	0	0	0	0	0
00096	Y	+	0	0	0	0	0	0
00096	Y	-	0	0	0	0	0	0
00097	X	+	0	0	0	0	0	0
00097	X	-	0	0	0	0	0	0
00097	Y	+	0	0	0	0	0	0
00097	Y	-	0	0	0	0	0	0
00098	X	+	0	0	0	0	0	0
00098	X	-	0	0	0	0	0	0
00098	Y	+	0	0	0	0	0	0
00098	Y	-	0	0	0	0	0	0
00099	X	+	0	0	0	0	0	0
00099	X	-	0	0	0	0	0	0
00099	Y	+	0	0	0	0	0	0
00099	Y	-	0	0	0	0	0	0
00100	X	+	0	0	0	0	0	0
00100	X	-	0	0	0	0	0	0
00100	Y	+	0	0	0	0	0	0
00100	Y	-	0	0	0	0	0	0
00101	X	+	0	0	0	0	0	0
00101	X	-	0	0	0	0	0	0
00101	Y	+	0	0	0	0	0	0
00101	Y	-	0	0	0	0	0	0
00102	X	+	0	0	0	0	0	0
00102	X	-	0	0	0	0	0	0
00102	Y	+	0	0	0	0	0	0
00102	Y	-	0	0	0	0	0	0
00103	X	+	0	0	0	0	0	0
00103	X	-	0	0	0	0	0	0
00103	Y	+	0	0	0	0	0	0
00103	Y	-	0	0	0	0	0	0
00104	X	+	0	0	0	0	0	0
00104	X	-	0	0	0	0	0	0
00104	Y	+	0	0	0	0	0	0
00104	Y	-	0	0	0	0	0	0

Il presente documento è di proprietà della ANTEX GROUP srl.  
È vietato la comunicazione a terzi o la riproduzione senza il permesso scritto della suddetta.  
La società tutela i propri diritti a rigore di Legge.

Comm.: C20-025-S05





PARCO EOLICO DI "BUDDUSO"

RELAZIONE DI CALCOLO E TABULATI OPERE EDILI  
SSEU



Ingegneria & Innovazione

30/06/2023

REV: 2

Pag. 263

Nodi - Reazioni vincolari esterne per eccentricità accidentale

IdNd	Dir	e	F <sub>x</sub>	F <sub>y</sub>	F <sub>z</sub>	M <sub>x</sub>	M <sub>y</sub>	M <sub>z</sub>
			[N]	[N]	[N]	[N-m]	[N-m]	[N-m]
00105	X	+	0	0	0	0	0	0
00105	X	-	0	0	0	0	0	0
00105	Y	+	0	0	0	0	0	0
00105	Y	-	0	0	0	0	0	0
00106	X	+	0	0	0	0	0	0
00106	X	-	0	0	0	0	0	0
00106	Y	+	0	0	0	0	0	0
00106	Y	-	0	0	0	0	0	0
00107	X	+	0	0	0	0	0	0
00107	X	-	0	0	0	0	0	0
00107	Y	+	0	0	0	0	0	0
00107	Y	-	0	0	0	0	0	0
00108	X	+	0	0	0	0	0	0
00108	X	-	0	0	0	0	0	0
00108	Y	+	0	0	0	0	0	0
00108	Y	-	0	0	0	0	0	0
00109	X	+	0	0	0	0	0	0
00109	X	-	0	0	0	0	0	0
00109	Y	+	0	0	0	0	0	0
00109	Y	-	0	0	0	0	0	0
00110	X	+	0	0	0	0	0	0
00110	X	-	0	0	0	0	0	0
00110	Y	+	0	0	0	0	0	0
00110	Y	-	0	0	0	0	0	0
00111	X	+	0	0	0	0	0	0
00111	X	-	0	0	0	0	0	0
00111	Y	+	0	0	0	0	0	0
00111	Y	-	0	0	0	0	0	0
00112	X	+	0	0	0	0	0	0
00112	X	-	0	0	0	0	0	0
00112	Y	+	0	0	0	0	0	0
00112	Y	-	0	0	0	0	0	0
00113	X	+	0	0	0	0	0	0
00113	X	-	0	0	0	0	0	0
00113	Y	+	0	0	0	0	0	0
00113	Y	-	0	0	0	0	0	0
00114	X	+	0	0	0	0	0	0
00114	X	-	0	0	0	0	0	0
00114	Y	+	0	0	0	0	0	0
00114	Y	-	0	0	0	0	0	0
00115	X	+	0	0	0	0	0	0
00115	X	-	0	0	0	0	0	0
00115	Y	+	0	0	0	0	0	0
00115	Y	-	0	0	0	0	0	0
00116	X	+	0	0	0	0	0	0
00116	X	-	0	0	0	0	0	0
00116	Y	+	0	0	0	0	0	0
00116	Y	-	0	0	0	0	0	0
00117	X	+	0	0	0	0	0	0
00117	X	-	0	0	0	0	0	0
00117	Y	+	0	0	0	0	0	0
00117	Y	-	0	0	0	0	0	0
00118	X	+	0	0	0	0	0	0
00118	X	-	0	0	0	0	0	0
00118	Y	+	0	0	0	0	0	0
00118	Y	-	0	0	0	0	0	0
00119	X	+	0	0	0	0	0	0
00119	X	-	0	0	0	0	0	0
00119	Y	+	0	0	0	0	0	0
00119	Y	-	0	0	0	0	0	0
00120	X	+	0	0	0	0	0	0
00120	X	-	0	0	0	0	0	0
00120	Y	+	0	0	0	0	0	0
00120	Y	-	0	0	0	0	0	0
00121	X	+	0	0	0	0	0	0
00121	X	-	0	0	0	0	0	0

Comm.: C20-025-S05

Il presente documento è di proprietà della ANTEX GROUP srl.  
È vietato la comunicazione a terzi o la riproduzione senza il permesso scritto della suddetta.  
La società tutela i propri diritti a rigore di Legge.





PARCO EOLICO DI "BUDDUSO"

RELAZIONE DI CALCOLO E TABULATI OPERE EDILI SSEU



Ingegneria & Innovazione

30/06/2023

REV: 2

Pag. 264

Nodi - Reazioni vincolari esterne per eccentricità accidentale

IdNd	Dir	e	F <sub>x</sub>	F <sub>y</sub>	F <sub>z</sub>	M <sub>x</sub>	M <sub>y</sub>	M <sub>z</sub>
			[N]	[N]	[N]	[N-m]	[N-m]	[N-m]
00121	Y	+	0	0	0	0	0	0
00121	Y	-	0	0	0	0	0	0
00122	X	+	0	0	0	0	0	0
00122	X	-	0	0	0	0	0	0
00122	Y	+	0	0	0	0	0	0
00122	Y	-	0	0	0	0	0	0
00123	X	+	0	0	0	0	0	0
00123	X	-	0	0	0	0	0	0
00123	Y	+	0	0	0	0	0	0
00123	Y	-	0	0	0	0	0	0
00124	X	+	0	0	0	0	0	0
00124	X	-	0	0	0	0	0	0
00124	Y	+	0	0	0	0	0	0
00124	Y	-	0	0	0	0	0	0
00125	X	+	0	0	0	0	0	0
00125	X	-	0	0	0	0	0	0
00125	Y	+	0	0	0	0	0	0
00125	Y	-	0	0	0	0	0	0
00126	X	+	0	0	0	0	0	0
00126	X	-	0	0	0	0	0	0
00126	Y	+	0	0	0	0	0	0
00126	Y	-	0	0	0	0	0	0
00127	X	+	0	0	0	0	0	0
00127	X	-	0	0	0	0	0	0
00127	Y	+	0	0	0	0	0	0
00127	Y	-	0	0	0	0	0	0
00128	X	+	0	0	0	0	0	0
00128	X	-	0	0	0	0	0	0
00128	Y	+	0	0	0	0	0	0
00128	Y	-	0	0	0	0	0	0
00129	X	+	0	0	0	0	0	0
00129	X	-	0	0	0	0	0	0
00129	Y	+	0	0	0	0	0	0
00129	Y	-	0	0	0	0	0	0
00130	X	+	0	0	0	0	0	0
00130	X	-	0	0	0	0	0	0
00130	Y	+	0	0	0	0	0	0
00130	Y	-	0	0	0	0	0	0
00131	X	+	0	0	0	0	0	0
00131	X	-	0	0	0	0	0	0
00131	Y	+	0	0	0	0	0	0
00131	Y	-	0	0	0	0	0	0
00132	X	+	0	0	0	0	0	0
00132	X	-	0	0	0	0	0	0
00132	Y	+	0	0	0	0	0	0
00132	Y	-	0	0	0	0	0	0
00133	X	+	0	0	0	0	0	0
00133	X	-	0	0	0	0	0	0
00133	Y	+	0	0	0	0	0	0
00133	Y	-	0	0	0	0	0	0
00134	X	+	0	0	0	0	0	0
00134	X	-	0	0	0	0	0	0
00134	Y	+	0	0	0	0	0	0
00134	Y	-	0	0	0	0	0	0
00135	X	+	0	0	0	0	0	0
00135	X	-	0	0	0	0	0	0
00135	Y	+	0	0	0	0	0	0
00135	Y	-	0	0	0	0	0	0
00136	X	+	0	0	0	0	0	0
00136	X	-	0	0	0	0	0	0
00136	Y	+	0	0	0	0	0	0
00136	Y	-	0	0	0	0	0	0
00137	X	+	0	0	0	0	0	0
00137	X	-	0	0	0	0	0	0
00137	Y	+	0	0	0	0	0	0
00137	Y	-	0	0	0	0	0	0

Comm.: C20-025-S05

Il presente documento è di proprietà della ANTEX GROUP srl. È vietato la comunicazione a terzi o la riproduzione senza il permesso scritto della suddetta. La società tutela i propri diritti a rigore di Legge.







PARCO EOLICO DI "BUDDUSO"

RELAZIONE DI CALCOLO E TABULATI OPERE EDILI SSEU



Ingegneria & Innovazione

30/06/2023

REV: 2

Pag. 265

Nodi - Reazioni vincolari esterne per eccentricità accidentale

IdNd	Dir	e	F <sub>x</sub>	F <sub>y</sub>	F <sub>z</sub>	M <sub>x</sub>	M <sub>y</sub>	M <sub>z</sub>
			[N]	[N]	[N]	[N-m]	[N-m]	[N-m]
00138	X	+	0	0	0	0	0	0
00138	X	-	0	0	0	0	0	0
00138	Y	+	0	0	0	0	0	0
00138	Y	-	0	0	0	0	0	0
00139	X	+	0	0	0	0	0	0
00139	X	-	0	0	0	0	0	0
00139	Y	+	0	0	0	0	0	0
00139	Y	-	0	0	0	0	0	0
00140	X	+	0	0	0	0	0	0
00140	X	-	0	0	0	0	0	0
00140	Y	+	0	0	0	0	0	0
00140	Y	-	0	0	0	0	0	0
00141	X	+	0	0	0	0	0	0
00141	X	-	0	0	0	0	0	0
00141	Y	+	0	0	0	0	0	0
00141	Y	-	0	0	0	0	0	0
00142	X	+	0	0	0	0	0	0
00142	X	-	0	0	0	0	0	0
00142	Y	+	0	0	0	0	0	0
00142	Y	-	0	0	0	0	0	0
00143	X	+	0	0	0	0	0	0
00143	X	-	0	0	0	0	0	0
00143	Y	+	0	0	0	0	0	0
00143	Y	-	0	0	0	0	0	0
00144	X	+	0	0	0	0	0	0
00144	X	-	0	0	0	0	0	0
00144	Y	+	0	0	0	0	0	0
00144	Y	-	0	0	0	0	0	0
00145	X	+	0	0	0	0	0	0
00145	X	-	0	0	0	0	0	0
00145	Y	+	0	0	0	0	0	0
00145	Y	-	0	0	0	0	0	0
00146	X	+	0	0	0	0	0	0
00146	X	-	0	0	0	0	0	0
00146	Y	+	0	0	0	0	0	0
00146	Y	-	0	0	0	0	0	0
00147	X	+	0	0	0	0	0	0
00147	X	-	0	0	0	0	0	0
00147	Y	+	0	0	0	0	0	0
00147	Y	-	0	0	0	0	0	0
00148	X	+	0	0	0	0	0	0
00148	X	-	0	0	0	0	0	0
00148	Y	+	0	0	0	0	0	0
00148	Y	-	0	0	0	0	0	0
00149	X	+	0	0	0	0	0	0
00149	X	-	0	0	0	0	0	0
00149	Y	+	0	0	0	0	0	0
00149	Y	-	0	0	0	0	0	0
00150	X	+	0	0	0	0	0	0
00150	X	-	0	0	0	0	0	0
00150	Y	+	0	0	0	0	0	0
00150	Y	-	0	0	0	0	0	0
00151	X	+	0	0	0	0	0	0
00151	X	-	0	0	0	0	0	0
00151	Y	+	0	0	0	0	0	0
00151	Y	-	0	0	0	0	0	0
00152	X	+	0	0	0	0	0	0
00152	X	-	0	0	0	0	0	0
00152	Y	+	0	0	0	0	0	0
00152	Y	-	0	0	0	0	0	0
00153	X	+	0	0	0	0	0	0
00153	X	-	0	0	0	0	0	0
00153	Y	+	0	0	0	0	0	0
00153	Y	-	0	0	0	0	0	0
00154	X	+	0	0	0	0	0	0
00154	X	-	0	0	0	0	0	0

Comm.: C20-025-S05

Il presente documento è di proprietà della ANTEX GROUP srl. È vietato la comunicazione a terzi o la riproduzione senza il permesso scritto della suddetta. La società tutela i propri diritti a rigore di Legge.





PARCO EOLICO DI "BUDDUSO"

RELAZIONE DI CALCOLO E TABULATI OPERE EDILI SSEU



Ingegneria & Innovazione

30/06/2023

REV: 2

Pag. 266

Nodi - Reazioni vincolari esterne per eccentricità accidentale

IdNd	Dir	e	F <sub>x</sub>	F <sub>y</sub>	F <sub>z</sub>	M <sub>x</sub>	M <sub>y</sub>	M <sub>z</sub>
			[N]	[N]	[N]	[N-m]	[N-m]	[N-m]
00154	Y	+	0	0	0	0	0	0
00154	Y	-	0	0	0	0	0	0
00155	X	+	0	0	0	0	0	0
00155	X	-	0	0	0	0	0	0
00155	Y	+	0	0	0	0	0	0
00155	Y	-	0	0	0	0	0	0
00156	X	+	0	0	0	0	0	0
00156	X	-	0	0	0	0	0	0
00156	Y	+	0	0	0	0	0	0
00156	Y	-	0	0	0	0	0	0
00157	X	+	0	0	0	0	0	0
00157	X	-	0	0	0	0	0	0
00157	Y	+	0	0	0	0	0	0
00157	Y	-	0	0	0	0	0	0
00158	X	+	0	0	0	0	0	0
00158	X	-	0	0	0	0	0	0
00158	Y	+	0	0	0	0	0	0
00158	Y	-	0	0	0	0	0	0
00159	X	+	0	0	0	0	0	0
00159	X	-	0	0	0	0	0	0
00159	Y	+	0	0	0	0	0	0
00159	Y	-	0	0	0	0	0	0
00160	X	+	0	0	0	0	0	0
00160	X	-	0	0	0	0	0	0
00160	Y	+	0	0	0	0	0	0
00160	Y	-	0	0	0	0	0	0
00161	X	+	0	0	0	0	0	0
00161	X	-	0	0	0	0	0	0
00161	Y	+	0	0	0	0	0	0
00161	Y	-	0	0	0	0	0	0
00162	X	+	0	0	0	0	0	0
00162	X	-	0	0	0	0	0	0
00162	Y	+	0	0	0	0	0	0
00162	Y	-	0	0	0	0	0	0
00163	X	+	0	0	0	0	0	0
00163	X	-	0	0	0	0	0	0
00163	Y	+	0	0	0	0	0	0
00163	Y	-	0	0	0	0	0	0
00164	X	+	0	0	0	0	0	0
00164	X	-	0	0	0	0	0	0
00164	Y	+	0	0	0	0	0	0
00164	Y	-	0	0	0	0	0	0
00165	X	+	0	0	0	0	0	0
00165	X	-	0	0	0	0	0	0
00165	Y	+	0	0	0	0	0	0
00165	Y	-	0	0	0	0	0	0
00166	X	+	0	0	0	0	0	0
00166	X	-	0	0	0	0	0	0
00166	Y	+	0	0	0	0	0	0
00166	Y	-	0	0	0	0	0	0
00167	X	+	0	0	0	0	0	0
00167	X	-	0	0	0	0	0	0
00167	Y	+	0	0	0	0	0	0
00167	Y	-	0	0	0	0	0	0
00168	X	+	0	0	0	0	0	0
00168	X	-	0	0	0	0	0	0
00168	Y	+	0	0	0	0	0	0
00168	Y	-	0	0	0	0	0	0
00169	X	+	0	0	0	0	0	0
00169	X	-	0	0	0	0	0	0
00169	Y	+	0	0	0	0	0	0
00169	Y	-	0	0	0	0	0	0
00170	X	+	0	0	0	0	0	0
00170	X	-	0	0	0	0	0	0
00170	Y	+	0	0	0	0	0	0
00170	Y	-	0	0	0	0	0	0

Comm.: C20-025-S05

Il presente documento è di proprietà della ANTEX GROUP srl. È vietato la comunicazione a terzi o la riproduzione senza il permesso scritto della suddetta. La società tutela i propri diritti a rigore di Legge.





PARCO EOLICO DI "BUDDUSO"

RELAZIONE DI CALCOLO E TABULATI OPERE EDILI  
SSEU



Ingegneria & Innovazione

30/06/2023

REV: 2

Pag. 267

Nodi - Reazioni vincolari esterne per eccentricità accidentale

IdNd	Dir	e	F <sub>x</sub>	F <sub>y</sub>	F <sub>z</sub>	M <sub>x</sub>	M <sub>y</sub>	M <sub>z</sub>
			[N]	[N]	[N]	[N-m]	[N-m]	[N-m]
00171	X	+	0	0	0	0	0	0
00171	X	-	0	0	0	0	0	0
00171	Y	+	0	0	0	0	0	0
00171	Y	-	0	0	0	0	0	0
00172	X	+	0	0	0	0	0	0
00172	X	-	0	0	0	0	0	0
00172	Y	+	0	0	0	0	0	0
00172	Y	-	0	0	0	0	0	0
00173	X	+	0	0	0	0	0	0
00173	X	-	0	0	0	0	0	0
00173	Y	+	0	0	0	0	0	0
00173	Y	-	0	0	0	0	0	0
00174	X	+	0	0	0	0	0	0
00174	X	-	0	0	0	0	0	0
00174	Y	+	0	0	0	0	0	0
00174	Y	-	0	0	0	0	0	0
00175	X	+	0	0	0	0	0	0
00175	X	-	0	0	0	0	0	0
00175	Y	+	0	0	0	0	0	0
00175	Y	-	0	0	0	0	0	0
00176	X	+	0	0	0	0	0	0
00176	X	-	0	0	0	0	0	0
00176	Y	+	0	0	0	0	0	0
00176	Y	-	0	0	0	0	0	0
00177	X	+	0	0	0	0	0	0
00177	X	-	0	0	0	0	0	0
00177	Y	+	0	0	0	0	0	0
00177	Y	-	0	0	0	0	0	0
00178	X	+	0	0	0	0	0	0
00178	X	-	0	0	0	0	0	0
00178	Y	+	0	0	0	0	0	0
00178	Y	-	0	0	0	0	0	0
00179	X	+	0	0	0	0	0	0
00179	X	-	0	0	0	0	0	0
00179	Y	+	0	0	0	0	0	0
00179	Y	-	0	0	0	0	0	0
00180	X	+	0	0	0	0	0	0
00180	X	-	0	0	0	0	0	0
00180	Y	+	0	0	0	0	0	0
00180	Y	-	0	0	0	0	0	0
00181	X	+	0	0	0	0	0	0
00181	X	-	0	0	0	0	0	0
00181	Y	+	0	0	0	0	0	0
00181	Y	-	0	0	0	0	0	0
00182	X	+	0	0	0	0	0	0
00182	X	-	0	0	0	0	0	0
00182	Y	+	0	0	0	0	0	0
00182	Y	-	0	0	0	0	0	0
00183	X	+	0	0	0	0	0	0
00183	X	-	0	0	0	0	0	0
00183	Y	+	0	0	0	0	0	0
00183	Y	-	0	0	0	0	0	0
00184	X	+	0	0	0	0	0	0
00184	X	-	0	0	0	0	0	0
00184	Y	+	0	0	0	0	0	0
00184	Y	-	0	0	0	0	0	0
00185	X	+	0	0	0	0	0	0
00185	X	-	0	0	0	0	0	0
00185	Y	+	0	0	0	0	0	0
00185	Y	-	0	0	0	0	0	0
00186	X	+	0	0	0	0	0	0
00186	X	-	0	0	0	0	0	0
00186	Y	+	0	0	0	0	0	0
00186	Y	-	0	0	0	0	0	0
00187	X	+	0	0	0	0	0	0
00187	X	-	0	0	0	0	0	0

Comm.: C20-025-S05

Il presente documento è di proprietà della ANTEX GROUP srl.  
È vietato la comunicazione a terzi o la riproduzione senza il permesso scritto della suddetta.  
La società tutela i propri diritti a rigore di Legge.





PARCO EOLICO DI "BUDDUSO"

RELAZIONE DI CALCOLO E TABULATI OPERE EDILI SSEU



Ingegneria & Innovazione

30/06/2023

REV: 2

Pag. 268

Nodi - Reazioni vincolari esterne per eccentricità accidentale

IdNd	Dir	e	F <sub>x</sub>	F <sub>y</sub>	F <sub>z</sub>	M <sub>x</sub>	M <sub>y</sub>	M <sub>z</sub>
			[N]	[N]	[N]	[N-m]	[N-m]	[N-m]
00187	Y	+	0	0	0	0	0	0
00187	Y	-	0	0	0	0	0	0
00188	X	+	0	0	0	0	0	0
00188	X	-	0	0	0	0	0	0
00188	Y	+	0	0	0	0	0	0
00188	Y	-	0	0	0	0	0	0
00189	X	+	0	0	0	0	0	0
00189	X	-	0	0	0	0	0	0
00189	Y	+	0	0	0	0	0	0
00189	Y	-	0	0	0	0	0	0
00190	X	+	0	0	0	0	0	0
00190	X	-	0	0	0	0	0	0
00190	Y	+	0	0	0	0	0	0
00190	Y	-	0	0	0	0	0	0
00191	X	+	0	0	0	0	0	0
00191	X	-	0	0	0	0	0	0
00191	Y	+	0	0	0	0	0	0
00191	Y	-	0	0	0	0	0	0
00192	X	+	0	0	0	0	0	0
00192	X	-	0	0	0	0	0	0
00192	Y	+	0	0	0	0	0	0
00192	Y	-	0	0	0	0	0	0
00193	X	+	0	0	0	0	0	0
00193	X	-	0	0	0	0	0	0
00193	Y	+	0	0	0	0	0	0
00193	Y	-	0	0	0	0	0	0
00194	X	+	0	0	0	0	0	0
00194	X	-	0	0	0	0	0	0
00194	Y	+	0	0	0	0	0	0
00194	Y	-	0	0	0	0	0	0
00195	X	+	0	0	0	0	0	0
00195	X	-	0	0	0	0	0	0
00195	Y	+	0	0	0	0	0	0
00195	Y	-	0	0	0	0	0	0
00196	X	+	0	0	0	0	0	0
00196	X	-	0	0	0	0	0	0
00196	Y	+	0	0	0	0	0	0
00196	Y	-	0	0	0	0	0	0
00197	X	+	0	0	0	0	0	0
00197	X	-	0	0	0	0	0	0
00197	Y	+	0	0	0	0	0	0
00197	Y	-	0	0	0	0	0	0
00198	X	+	0	0	0	0	0	0
00198	X	-	0	0	0	0	0	0
00198	Y	+	0	0	0	0	0	0
00198	Y	-	0	0	0	0	0	0
00199	X	+	0	0	0	0	0	0
00199	X	-	0	0	0	0	0	0
00199	Y	+	0	0	0	0	0	0
00199	Y	-	0	0	0	0	0	0
00200	X	+	0	0	0	0	0	0
00200	X	-	0	0	0	0	0	0
00200	Y	+	0	0	0	0	0	0
00200	Y	-	0	0	0	0	0	0
00201	X	+	0	0	0	0	0	0
00201	X	-	0	0	0	0	0	0
00201	Y	+	0	0	0	0	0	0
00201	Y	-	0	0	0	0	0	0
00202	X	+	0	0	0	0	0	0
00202	X	-	0	0	0	0	0	0
00202	Y	+	0	0	0	0	0	0
00202	Y	-	0	0	0	0	0	0
00203	X	+	0	0	0	0	0	0
00203	X	-	0	0	0	0	0	0
00203	Y	+	0	0	0	0	0	0
00203	Y	-	0	0	0	0	0	0

Comm.: C20-025-S05

Il presente documento è di proprietà della ANTEX GROUP srl. È vietato la comunicazione a terzi o la riproduzione senza il permesso scritto della suddetta. La società tutela i propri diritti a rigore di Legge.





PARCO EOLICO DI "BUDDUSO"

RELAZIONE DI CALCOLO E TABULATI OPERE EDILI SSEU



Ingegneria & Innovazione

30/06/2023

REV: 2

Pag. 269

Nodi - Reazioni vincolari esterne per eccentricità accidentale

IdNd	Dir	e	F <sub>x</sub>	F <sub>y</sub>	F <sub>z</sub>	M <sub>x</sub>	M <sub>y</sub>	M <sub>z</sub>
			[N]	[N]	[N]	[N-m]	[N-m]	[N-m]
00204	X	+	0	0	0	0	0	0
00204	X	-	0	0	0	0	0	0
00204	Y	+	0	0	0	0	0	0
00204	Y	-	0	0	0	0	0	0
00205	X	+	0	0	0	0	0	0
00205	X	-	0	0	0	0	0	0
00205	Y	+	0	0	0	0	0	0
00205	Y	-	0	0	0	0	0	0
00206	X	+	0	0	0	0	0	0
00206	X	-	0	0	0	0	0	0
00206	Y	+	0	0	0	0	0	0
00206	Y	-	0	0	0	0	0	0
00207	X	+	0	0	0	0	0	0
00207	X	-	0	0	0	0	0	0
00207	Y	+	0	0	0	0	0	0
00207	Y	-	0	0	0	0	0	0
00208	X	+	0	0	0	0	0	0
00208	X	-	0	0	0	0	0	0
00208	Y	+	0	0	0	0	0	0
00208	Y	-	0	0	0	0	0	0
00209	X	+	0	0	0	0	0	0
00209	X	-	0	0	0	0	0	0
00209	Y	+	0	0	0	0	0	0
00209	Y	-	0	0	0	0	0	0
00210	X	+	0	0	0	0	0	0
00210	X	-	0	0	0	0	0	0
00210	Y	+	0	0	0	0	0	0
00210	Y	-	0	0	0	0	0	0
00211	X	+	0	0	0	0	0	0
00211	X	-	0	0	0	0	0	0
00211	Y	+	0	0	0	0	0	0
00211	Y	-	0	0	0	0	0	0
00212	X	+	0	0	0	0	0	0
00212	X	-	0	0	0	0	0	0
00212	Y	+	0	0	0	0	0	0
00212	Y	-	0	0	0	0	0	0
00213	X	+	0	0	0	0	0	0
00213	X	-	0	0	0	0	0	0
00213	Y	+	0	0	0	0	0	0
00213	Y	-	0	0	0	0	0	0
00214	X	+	0	0	0	0	0	0
00214	X	-	0	0	0	0	0	0
00214	Y	+	0	0	0	0	0	0
00214	Y	-	0	0	0	0	0	0
00215	X	+	0	0	0	0	0	0
00215	X	-	0	0	0	0	0	0
00215	Y	+	0	0	0	0	0	0
00215	Y	-	0	0	0	0	0	0
00216	X	+	0	0	0	0	0	0
00216	X	-	0	0	0	0	0	0
00216	Y	+	0	0	0	0	0	0
00216	Y	-	0	0	0	0	0	0
00217	X	+	0	0	0	0	0	0
00217	X	-	0	0	0	0	0	0
00217	Y	+	0	0	0	0	0	0
00217	Y	-	0	0	0	0	0	0
00218	X	+	0	0	0	0	0	0
00218	X	-	0	0	0	0	0	0
00218	Y	+	0	0	0	0	0	0
00218	Y	-	0	0	0	0	0	0
00219	X	+	0	0	0	0	0	0
00219	X	-	0	0	0	0	0	0
00219	Y	+	0	0	0	0	0	0
00219	Y	-	0	0	0	0	0	0
00220	X	+	0	0	0	0	0	0
00220	X	-	0	0	0	0	0	0

Comm.: C20-025-S05

Il presente documento è di proprietà della ANTEX GROUP srl. È vietato la comunicazione a terzi o la riproduzione senza il permesso scritto della suddetta. La società tutela i propri diritti a rigore di Legge.





PARCO EOLICO DI "BUDDUSO"

RELAZIONE DI CALCOLO E TABULATI OPERE EDILI SSEU



Ingegneria & Innovazione

30/06/2023

REV: 2

Pag. 270

Nodi - Reazioni vincolari esterne per eccentricità accidentale

IdNd	Dir	e	F <sub>x</sub>	F <sub>y</sub>	F <sub>z</sub>	M <sub>x</sub>	M <sub>y</sub>	M <sub>z</sub>
			[N]	[N]	[N]	[N-m]	[N-m]	[N-m]
00220	Y	+	0	0	0	0	0	0
00220	Y	-	0	0	0	0	0	0
00221	X	+	0	0	0	0	0	0
00221	X	-	0	0	0	0	0	0
00221	Y	+	0	0	0	0	0	0
00221	Y	-	0	0	0	0	0	0
00222	X	+	0	0	0	0	0	0
00222	X	-	0	0	0	0	0	0
00222	Y	+	0	0	0	0	0	0
00222	Y	-	0	0	0	0	0	0
00223	X	+	0	0	0	0	0	0
00223	X	-	0	0	0	0	0	0
00223	Y	+	0	0	0	0	0	0
00223	Y	-	0	0	0	0	0	0
00224	X	+	0	0	0	0	0	0
00224	X	-	0	0	0	0	0	0
00224	Y	+	0	0	0	0	0	0
00224	Y	-	0	0	0	0	0	0
00225	X	+	0	0	0	0	0	0
00225	X	-	0	0	0	0	0	0
00225	Y	+	0	0	0	0	0	0
00225	Y	-	0	0	0	0	0	0
00226	X	+	0	0	0	0	0	0
00226	X	-	0	0	0	0	0	0
00226	Y	+	0	0	0	0	0	0
00226	Y	-	0	0	0	0	0	0
00227	X	+	0	0	0	0	0	0
00227	X	-	0	0	0	0	0	0
00227	Y	+	0	0	0	0	0	0
00227	Y	-	0	0	0	0	0	0
00228	X	+	0	0	0	0	0	0
00228	X	-	0	0	0	0	0	0
00228	Y	+	0	0	0	0	0	0
00228	Y	-	0	0	0	0	0	0
00229	X	+	0	0	0	0	0	0
00229	X	-	0	0	0	0	0	0
00229	Y	+	0	0	0	0	0	0
00229	Y	-	0	0	0	0	0	0
00230	X	+	0	0	0	0	0	0
00230	X	-	0	0	0	0	0	0
00230	Y	+	0	0	0	0	0	0
00230	Y	-	0	0	0	0	0	0
00231	X	+	0	0	0	0	0	0
00231	X	-	0	0	0	0	0	0
00231	Y	+	0	0	0	0	0	0
00231	Y	-	0	0	0	0	0	0
00232	X	+	0	0	0	0	0	0
00232	X	-	0	0	0	0	0	0
00232	Y	+	0	0	0	0	0	0
00232	Y	-	0	0	0	0	0	0
00233	X	+	0	0	0	0	0	0
00233	X	-	0	0	0	0	0	0
00233	Y	+	0	0	0	0	0	0
00233	Y	-	0	0	0	0	0	0
00234	X	+	0	0	0	0	0	0
00234	X	-	0	0	0	0	0	0
00234	Y	+	0	0	0	0	0	0
00234	Y	-	0	0	0	0	0	0
00235	X	+	0	0	0	0	0	0
00235	X	-	0	0	0	0	0	0
00235	Y	+	0	0	0	0	0	0
00235	Y	-	0	0	0	0	0	0
00236	X	+	0	0	0	0	0	0
00236	X	-	0	0	0	0	0	0
00236	Y	+	0	0	0	0	0	0
00236	Y	-	0	0	0	0	0	0

Comm.: C20-025-S05

Il presente documento è di proprietà della ANTEX GROUP srl. È vietato la comunicazione a terzi o la riproduzione senza il permesso scritto della suddetta. La società tutela i propri diritti a rigore di Legge.





PARCO EOLICO DI "BUDDUSO"

RELAZIONE DI CALCOLO E TABULATI OPERE EDILI SSEU



Ingegneria & Innovazione

30/06/2023

REV: 2

Pag. 271

Nodi - Reazioni vincolari esterne per eccentricità accidentale

IdNd	Dir	e	F <sub>x</sub>	F <sub>y</sub>	F <sub>z</sub>	M <sub>x</sub>	M <sub>y</sub>	M <sub>z</sub>
			[N]	[N]	[N]	[N-m]	[N-m]	[N-m]
00237	X	+	0	0	0	0	0	0
00237	X	-	0	0	0	0	0	0
00237	Y	+	0	0	0	0	0	0
00237	Y	-	0	0	0	0	0	0
00238	X	+	0	0	0	0	0	0
00238	X	-	0	0	0	0	0	0
00238	Y	+	0	0	0	0	0	0
00238	Y	-	0	0	0	0	0	0
00239	X	+	0	0	0	0	0	0
00239	X	-	0	0	0	0	0	0
00239	Y	+	0	0	0	0	0	0
00239	Y	-	0	0	0	0	0	0
00240	X	+	0	0	0	0	0	0
00240	X	-	0	0	0	0	0	0
00240	Y	+	0	0	0	0	0	0
00240	Y	-	0	0	0	0	0	0
00241	X	+	0	0	0	0	0	0
00241	X	-	0	0	0	0	0	0
00241	Y	+	0	0	0	0	0	0
00241	Y	-	0	0	0	0	0	0
00242	X	+	0	0	0	0	0	0
00242	X	-	0	0	0	0	0	0
00242	Y	+	0	0	0	0	0	0
00242	Y	-	0	0	0	0	0	0
00243	X	+	0	0	0	0	0	0
00243	X	-	0	0	0	0	0	0
00243	Y	+	0	0	0	0	0	0
00243	Y	-	0	0	0	0	0	0
00244	X	+	0	0	0	0	0	0
00244	X	-	0	0	0	0	0	0
00244	Y	+	0	0	0	0	0	0
00244	Y	-	0	0	0	0	0	0
00245	X	+	0	0	0	0	0	0
00245	X	-	0	0	0	0	0	0
00245	Y	+	0	0	0	0	0	0
00245	Y	-	0	0	0	0	0	0
00246	X	+	0	0	0	0	0	0
00246	X	-	0	0	0	0	0	0
00246	Y	+	0	0	0	0	0	0
00246	Y	-	0	0	0	0	0	0
00247	X	+	0	0	0	0	0	0
00247	X	-	0	0	0	0	0	0
00247	Y	+	0	0	0	0	0	0
00247	Y	-	0	0	0	0	0	0
00248	X	+	0	0	0	0	0	0
00248	X	-	0	0	0	0	0	0
00248	Y	+	0	0	0	0	0	0
00248	Y	-	0	0	0	0	0	0
00249	X	+	0	0	0	0	0	0
00249	X	-	0	0	0	0	0	0
00249	Y	+	0	0	0	0	0	0
00249	Y	-	0	0	0	0	0	0
00250	X	+	0	0	0	0	0	0
00250	X	-	0	0	0	0	0	0
00250	Y	+	0	0	0	0	0	0
00250	Y	-	0	0	0	0	0	0
00251	X	+	0	0	0	0	0	0
00251	X	-	0	0	0	0	0	0
00251	Y	+	0	0	0	0	0	0
00251	Y	-	0	0	0	0	0	0
00252	X	+	0	0	0	0	0	0
00252	X	-	0	0	0	0	0	0
00252	Y	+	0	0	0	0	0	0
00252	Y	-	0	0	0	0	0	0
00253	X	+	0	0	0	0	0	0
00253	X	-	0	0	0	0	0	0

Comm.: C20-025-S05

Il presente documento è di proprietà della ANTEX GROUP srl. È vietato la comunicazione a terzi o la riproduzione senza il permesso scritto della suddetta. La società tutela i propri diritti a rigore di Legge.





PARCO EOLICO DI "BUDDUSO"

RELAZIONE DI CALCOLO E TABULATI OPERE EDILI SSEU



Ingegneria & Innovazione

30/06/2023

REV: 2

Pag. 272

Nodi - Reazioni vincolari esterne per eccentricità accidentale

IdNd	Dir	e	F <sub>x</sub>	F <sub>y</sub>	F <sub>z</sub>	M <sub>x</sub>	M <sub>y</sub>	M <sub>z</sub>
			[N]	[N]	[N]	[N-m]	[N-m]	[N-m]
00253	Y	+	0	0	0	0	0	0
00253	Y	-	0	0	0	0	0	0
00254	X	+	0	0	0	0	0	0
00254	X	-	0	0	0	0	0	0
00254	Y	+	0	0	0	0	0	0
00254	Y	-	0	0	0	0	0	0
00255	X	+	0	0	0	0	0	0
00255	X	-	0	0	0	0	0	0
00255	Y	+	0	0	0	0	0	0
00255	Y	-	0	0	0	0	0	0
00256	X	+	0	0	0	0	0	0
00256	X	-	0	0	0	0	0	0
00256	Y	+	0	0	0	0	0	0
00256	Y	-	0	0	0	0	0	0
00257	X	+	0	0	0	0	0	0
00257	X	-	0	0	0	0	0	0
00257	Y	+	0	0	0	0	0	0
00257	Y	-	0	0	0	0	0	0
00258	X	+	0	0	0	0	0	0
00258	X	-	0	0	0	0	0	0
00258	Y	+	0	0	0	0	0	0
00258	Y	-	0	0	0	0	0	0
00259	X	+	0	0	0	0	0	0
00259	X	-	0	0	0	0	0	0
00259	Y	+	0	0	0	0	0	0
00259	Y	-	0	0	0	0	0	0
00260	X	+	0	0	0	0	0	0
00260	X	-	0	0	0	0	0	0
00260	Y	+	0	0	0	0	0	0
00260	Y	-	0	0	0	0	0	0
00261	X	+	0	0	0	0	0	0
00261	X	-	0	0	0	0	0	0
00261	Y	+	0	0	0	0	0	0
00261	Y	-	0	0	0	0	0	0
00262	X	+	0	0	0	0	0	0
00262	X	-	0	0	0	0	0	0
00262	Y	+	0	0	0	0	0	0
00262	Y	-	0	0	0	0	0	0
00263	X	+	0	0	0	0	0	0
00263	X	-	0	0	0	0	0	0
00263	Y	+	0	0	0	0	0	0
00263	Y	-	0	0	0	0	0	0
00264	X	+	0	0	0	0	0	0
00264	X	-	0	0	0	0	0	0
00264	Y	+	0	0	0	0	0	0
00264	Y	-	0	0	0	0	0	0
00265	X	+	0	0	0	0	0	0
00265	X	-	0	0	0	0	0	0
00265	Y	+	0	0	0	0	0	0
00265	Y	-	0	0	0	0	0	0
00266	X	+	0	0	0	0	0	0
00266	X	-	0	0	0	0	0	0
00266	Y	+	0	0	0	0	0	0
00266	Y	-	0	0	0	0	0	0
00267	X	+	0	0	0	0	0	0
00267	X	-	0	0	0	0	0	0
00267	Y	+	0	0	0	0	0	0
00267	Y	-	0	0	0	0	0	0
00268	X	+	0	0	0	0	0	0
00268	X	-	0	0	0	0	0	0
00268	Y	+	0	0	0	0	0	0
00268	Y	-	0	0	0	0	0	0
00269	X	+	0	0	0	0	0	0
00269	X	-	0	0	0	0	0	0
00269	Y	+	0	0	0	0	0	0
00269	Y	-	0	0	0	0	0	0

Comm.: C20-025-S05

Il presente documento è di proprietà della ANTEX GROUP srl. È vietato la comunicazione a terzi o la riproduzione senza il permesso scritto della suddetta. La società tutela i propri diritti a rigore di Legge.







PARCO EOLICO DI "BUDDUSO"

RELAZIONE DI CALCOLO E TABULATI OPERE EDILI SSEU



Ingegneria & Innovazione

30/06/2023

REV: 2

Pag. 273

Nodi - Reazioni vincolari esterne per eccentricità accidentale

IdNd	Dir	e	F <sub>x</sub>	F <sub>y</sub>	F <sub>z</sub>	M <sub>x</sub>	M <sub>y</sub>	M <sub>z</sub>
			[N]	[N]	[N]	[N-m]	[N-m]	[N-m]
00270	X	+	0	0	0	0	0	0
00270	X	-	0	0	0	0	0	0
00270	Y	+	0	0	0	0	0	0
00270	Y	-	0	0	0	0	0	0
00271	X	+	0	0	0	0	0	0
00271	X	-	0	0	0	0	0	0
00271	Y	+	0	0	0	0	0	0
00271	Y	-	0	0	0	0	0	0
00272	X	+	0	0	0	0	0	0
00272	X	-	0	0	0	0	0	0
00272	Y	+	0	0	0	0	0	0
00272	Y	-	0	0	0	0	0	0
00273	X	+	0	0	0	0	0	0
00273	X	-	0	0	0	0	0	0
00273	Y	+	0	0	0	0	0	0
00273	Y	-	0	0	0	0	0	0
00274	X	+	0	0	0	0	0	0
00274	X	-	0	0	0	0	0	0
00274	Y	+	0	0	0	0	0	0
00274	Y	-	0	0	0	0	0	0
00275	X	+	0	0	0	0	0	0
00275	X	-	0	0	0	0	0	0
00275	Y	+	0	0	0	0	0	0
00275	Y	-	0	0	0	0	0	0
00276	X	+	0	0	0	0	0	0
00276	X	-	0	0	0	0	0	0
00276	Y	+	0	0	0	0	0	0
00276	Y	-	0	0	0	0	0	0
00277	X	+	0	0	0	0	0	0
00277	X	-	0	0	0	0	0	0
00277	Y	+	0	0	0	0	0	0
00277	Y	-	0	0	0	0	0	0
00278	X	+	0	0	0	0	0	0
00278	X	-	0	0	0	0	0	0
00278	Y	+	0	0	0	0	0	0
00278	Y	-	0	0	0	0	0	0
00279	X	+	0	0	0	0	0	0
00279	X	-	0	0	0	0	0	0
00279	Y	+	0	0	0	0	0	0
00279	Y	-	0	0	0	0	0	0
00280	X	+	0	0	0	0	0	0
00280	X	-	0	0	0	0	0	0
00280	Y	+	0	0	0	0	0	0
00280	Y	-	0	0	0	0	0	0
00281	X	+	0	0	0	0	0	0
00281	X	-	0	0	0	0	0	0
00281	Y	+	0	0	0	0	0	0
00281	Y	-	0	0	0	0	0	0
00282	X	+	0	0	0	0	0	0
00282	X	-	0	0	0	0	0	0
00282	Y	+	0	0	0	0	0	0
00282	Y	-	0	0	0	0	0	0
00283	X	+	0	0	0	0	0	0
00283	X	-	0	0	0	0	0	0
00283	Y	+	0	0	0	0	0	0
00283	Y	-	0	0	0	0	0	0
00284	X	+	0	0	0	0	0	0
00284	X	-	0	0	0	0	0	0
00284	Y	+	0	0	0	0	0	0
00284	Y	-	0	0	0	0	0	0
00285	X	+	0	0	0	0	0	0
00285	X	-	0	0	0	0	0	0
00285	Y	+	0	0	0	0	0	0
00285	Y	-	0	0	0	0	0	0
00286	X	+	0	0	0	0	0	0
00286	X	-	0	0	0	0	0	0

Comm.: C20-025-S05

Il presente documento è di proprietà della ANTEX GROUP srl. È vietato la comunicazione a terzi o la riproduzione senza il permesso scritto della suddetta. La società tutela i propri diritti a rigore di Legge.





PARCO EOLICO DI "BUDDUSO"

RELAZIONE DI CALCOLO E TABULATI OPERE EDILI SSEU



Ingegneria & Innovazione

30/06/2023

REV: 2

Pag. 274

Nodi - Reazioni vincolari esterne per eccentricità accidentale

IdNd	Dir	e	F <sub>x</sub>	F <sub>y</sub>	F <sub>z</sub>	M <sub>x</sub>	M <sub>y</sub>	M <sub>z</sub>
			[N]	[N]	[N]	[N-m]	[N-m]	[N-m]
00286	Y	+	0	0	0	0	0	0
00286	Y	-	0	0	0	0	0	0
00287	X	+	0	0	0	0	0	0
00287	X	-	0	0	0	0	0	0
00287	Y	+	0	0	0	0	0	0
00287	Y	-	0	0	0	0	0	0
00288	X	+	0	0	0	0	0	0
00288	X	-	0	0	0	0	0	0
00288	Y	+	0	0	0	0	0	0
00288	Y	-	0	0	0	0	0	0
00289	X	+	0	0	0	0	0	0
00289	X	-	0	0	0	0	0	0
00289	Y	+	0	0	0	0	0	0
00289	Y	-	0	0	0	0	0	0
00290	X	+	0	0	0	0	0	0
00290	X	-	0	0	0	0	0	0
00290	Y	+	0	0	0	0	0	0
00290	Y	-	0	0	0	0	0	0
00291	X	+	0	0	0	0	0	0
00291	X	-	0	0	0	0	0	0
00291	Y	+	0	0	0	0	0	0
00291	Y	-	0	0	0	0	0	0
00292	X	+	0	0	0	0	0	0
00292	X	-	0	0	0	0	0	0
00292	Y	+	0	0	0	0	0	0
00292	Y	-	0	0	0	0	0	0
00293	X	+	0	0	0	0	0	0
00293	X	-	0	0	0	0	0	0
00293	Y	+	0	0	0	0	0	0
00293	Y	-	0	0	0	0	0	0
00294	X	+	0	0	0	0	0	0
00294	X	-	0	0	0	0	0	0
00294	Y	+	0	0	0	0	0	0
00294	Y	-	0	0	0	0	0	0
00295	X	+	0	0	0	0	0	0
00295	X	-	0	0	0	0	0	0
00295	Y	+	0	0	0	0	0	0
00295	Y	-	0	0	0	0	0	0
00296	X	+	0	0	0	0	0	0
00296	X	-	0	0	0	0	0	0
00296	Y	+	0	0	0	0	0	0
00296	Y	-	0	0	0	0	0	0
00297	X	+	0	0	0	0	0	0
00297	X	-	0	0	0	0	0	0
00297	Y	+	0	0	0	0	0	0
00297	Y	-	0	0	0	0	0	0
00298	X	+	0	0	0	0	0	0
00298	X	-	0	0	0	0	0	0
00298	Y	+	0	0	0	0	0	0
00298	Y	-	0	0	0	0	0	0
00299	X	+	0	0	0	0	0	0
00299	X	-	0	0	0	0	0	0
00299	Y	+	0	0	0	0	0	0
00299	Y	-	0	0	0	0	0	0
00300	X	+	0	0	0	0	0	0
00300	X	-	0	0	0	0	0	0
00300	Y	+	0	0	0	0	0	0
00300	Y	-	0	0	0	0	0	0
00301	X	+	0	0	0	0	0	0
00301	X	-	0	0	0	0	0	0
00301	Y	+	0	0	0	0	0	0
00301	Y	-	0	0	0	0	0	0
00302	X	+	0	0	0	0	0	0
00302	X	-	0	0	0	0	0	0
00302	Y	+	0	0	0	0	0	0
00302	Y	-	0	0	0	0	0	0

Comm.: C20-025-S05

Il presente documento è di proprietà della ANTEX GROUP srl. È vietato la comunicazione a terzi o la riproduzione senza il permesso scritto della suddetta. La società tutela i propri diritti a rigore di Legge.





PARCO EOLICO DI "BUDDUSO"

RELAZIONE DI CALCOLO E TABULATI OPERE EDILI SSEU



Ingegneria & Innovazione

30/06/2023

REV: 2

Pag. 275

Nodi - Reazioni vincolari esterne per eccentricità accidentale

IdNd	Dir	e	F <sub>x</sub>	F <sub>y</sub>	F <sub>z</sub>	M <sub>x</sub>	M <sub>y</sub>	M <sub>z</sub>
			[N]	[N]	[N]	[N-m]	[N-m]	[N-m]
00303	X	+	0	0	0	0	0	0
00303	X	-	0	0	0	0	0	0
00303	Y	+	0	0	0	0	0	0
00303	Y	-	0	0	0	0	0	0
00304	X	+	0	0	0	0	0	0
00304	X	-	0	0	0	0	0	0
00304	Y	+	0	0	0	0	0	0
00304	Y	-	0	0	0	0	0	0
00305	X	+	0	0	0	0	0	0
00305	X	-	0	0	0	0	0	0
00305	Y	+	0	0	0	0	0	0
00305	Y	-	0	0	0	0	0	0
00306	X	+	0	0	0	0	0	0
00306	X	-	0	0	0	0	0	0
00306	Y	+	0	0	0	0	0	0
00306	Y	-	0	0	0	0	0	0
00307	X	+	0	0	0	0	0	0
00307	X	-	0	0	0	0	0	0
00307	Y	+	0	0	0	0	0	0
00307	Y	-	0	0	0	0	0	0
00308	X	+	0	0	0	0	0	0
00308	X	-	0	0	0	0	0	0
00308	Y	+	0	0	0	0	0	0
00308	Y	-	0	0	0	0	0	0
00309	X	+	0	0	0	0	0	0
00309	X	-	0	0	0	0	0	0
00309	Y	+	0	0	0	0	0	0
00309	Y	-	0	0	0	0	0	0
00310	X	+	0	0	0	0	0	0
00310	X	-	0	0	0	0	0	0
00310	Y	+	0	0	0	0	0	0
00310	Y	-	0	0	0	0	0	0
00311	X	+	0	0	0	0	0	0
00311	X	-	0	0	0	0	0	0
00311	Y	+	0	0	0	0	0	0
00311	Y	-	0	0	0	0	0	0
00312	X	+	0	0	0	0	0	0
00312	X	-	0	0	0	0	0	0
00312	Y	+	0	0	0	0	0	0
00312	Y	-	0	0	0	0	0	0
00313	X	+	0	0	0	0	0	0
00313	X	-	0	0	0	0	0	0
00313	Y	+	0	0	0	0	0	0
00313	Y	-	0	0	0	0	0	0
00314	X	+	0	0	0	0	0	0
00314	X	-	0	0	0	0	0	0
00314	Y	+	0	0	0	0	0	0
00314	Y	-	0	0	0	0	0	0
00315	X	+	0	0	0	0	0	0
00315	X	-	0	0	0	0	0	0
00315	Y	+	0	0	0	0	0	0
00315	Y	-	0	0	0	0	0	0
00316	X	+	0	0	0	0	0	0
00316	X	-	0	0	0	0	0	0
00316	Y	+	0	0	0	0	0	0
00316	Y	-	0	0	0	0	0	0
00317	X	+	0	0	0	0	0	0
00317	X	-	0	0	0	0	0	0
00317	Y	+	0	0	0	0	0	0
00317	Y	-	0	0	0	0	0	0
00318	X	+	0	0	0	0	0	0
00318	X	-	0	0	0	0	0	0
00318	Y	+	0	0	0	0	0	0
00318	Y	-	0	0	0	0	0	0
00319	X	+	0	0	0	0	0	0
00319	X	-	0	0	0	0	0	0

Comm.: C20-025-S05

Il presente documento è di proprietà della ANTEX GROUP srl. È vietato la comunicazione a terzi o la riproduzione senza il permesso scritto della suddetta. La società tutela i propri diritti a rigore di Legge.





PARCO EOLICO DI "BUDDUSO"

RELAZIONE DI CALCOLO E TABULATI OPERE EDILI SSEU



Ingegneria & Innovazione

30/06/2023

REV: 2

Pag. 276

Nodi - Reazioni vincolari esterne per eccentricità accidentale

IdNd	Dir	e	F <sub>x</sub>	F <sub>y</sub>	F <sub>z</sub>	M <sub>x</sub>	M <sub>y</sub>	M <sub>z</sub>
			[N]	[N]	[N]	[N-m]	[N-m]	[N-m]
00319	Y	+	0	0	0	0	0	0
00319	Y	-	0	0	0	0	0	0
00320	X	+	0	0	0	0	0	0
00320	X	-	0	0	0	0	0	0
00320	Y	+	0	0	0	0	0	0
00320	Y	-	0	0	0	0	0	0
00321	X	+	0	0	0	0	0	0
00321	X	-	0	0	0	0	0	0
00321	Y	+	0	0	0	0	0	0
00321	Y	-	0	0	0	0	0	0
00322	X	+	0	0	0	0	0	0
00322	X	-	0	0	0	0	0	0
00322	Y	+	0	0	0	0	0	0
00322	Y	-	0	0	0	0	0	0
00323	X	+	0	0	0	0	0	0
00323	X	-	0	0	0	0	0	0
00323	Y	+	0	0	0	0	0	0
00323	Y	-	0	0	0	0	0	0
00324	X	+	0	0	0	0	0	0
00324	X	-	0	0	0	0	0	0
00324	Y	+	0	0	0	0	0	0
00324	Y	-	0	0	0	0	0	0
00325	X	+	0	0	0	0	0	0
00325	X	-	0	0	0	0	0	0
00325	Y	+	0	0	0	0	0	0
00325	Y	-	0	0	0	0	0	0
00326	X	+	0	0	0	0	0	0
00326	X	-	0	0	0	0	0	0
00326	Y	+	0	0	0	0	0	0
00326	Y	-	0	0	0	0	0	0
00327	X	+	0	0	0	0	0	0
00327	X	-	0	0	0	0	0	0
00327	Y	+	0	0	0	0	0	0
00327	Y	-	0	0	0	0	0	0
00328	X	+	0	0	0	0	0	0
00328	X	-	0	0	0	0	0	0
00328	Y	+	0	0	0	0	0	0
00328	Y	-	0	0	0	0	0	0
00329	X	+	0	0	0	0	0	0
00329	X	-	0	0	0	0	0	0
00329	Y	+	0	0	0	0	0	0
00329	Y	-	0	0	0	0	0	0
00330	X	+	0	0	0	0	0	0
00330	X	-	0	0	0	0	0	0
00330	Y	+	0	0	0	0	0	0
00330	Y	-	0	0	0	0	0	0
00331	X	+	0	0	0	0	0	0
00331	X	-	0	0	0	0	0	0
00331	Y	+	0	0	0	0	0	0
00331	Y	-	0	0	0	0	0	0
00332	X	+	0	0	0	0	0	0
00332	X	-	0	0	0	0	0	0
00332	Y	+	0	0	0	0	0	0
00332	Y	-	0	0	0	0	0	0
00333	X	+	0	0	0	0	0	0
00333	X	-	0	0	0	0	0	0
00333	Y	+	0	0	0	0	0	0
00333	Y	-	0	0	0	0	0	0
00334	X	+	0	0	0	0	0	0
00334	X	-	0	0	0	0	0	0
00334	Y	+	0	0	0	0	0	0
00334	Y	-	0	0	0	0	0	0
00335	X	+	0	0	0	0	0	0
00335	X	-	0	0	0	0	0	0
00335	Y	+	0	0	0	0	0	0
00335	Y	-	0	0	0	0	0	0

Comm.: C20-025-S05

Il presente documento è di proprietà della ANTEX GROUP srl. È vietato la comunicazione a terzi o la riproduzione senza il permesso scritto della suddetta. La società tutela i propri diritti a rigore di Legge.





PARCO EOLICO DI "BUDDUSO"

RELAZIONE DI CALCOLO E TABULATI OPERE EDILI SSEU



Ingegneria & Innovazione

30/06/2023

REV: 2

Pag. 277

Nodi - Reazioni vincolari esterne per eccentricità accidentale

IdNd	Dir	e	F <sub>x</sub>	F <sub>y</sub>	F <sub>z</sub>	M <sub>x</sub>	M <sub>y</sub>	M <sub>z</sub>
			[N]	[N]	[N]	[N-m]	[N-m]	[N-m]
00336	X	+	0	0	0	0	0	0
00336	X	-	0	0	0	0	0	0
00336	Y	+	0	0	0	0	0	0
00336	Y	-	0	0	0	0	0	0
00337	X	+	0	0	0	0	0	0
00337	X	-	0	0	0	0	0	0
00337	Y	+	0	0	0	0	0	0
00337	Y	-	0	0	0	0	0	0
00338	X	+	0	0	0	0	0	0
00338	X	-	0	0	0	0	0	0
00338	Y	+	0	0	0	0	0	0
00338	Y	-	0	0	0	0	0	0
00339	X	+	0	0	0	0	0	0
00339	X	-	0	0	0	0	0	0
00339	Y	+	0	0	0	0	0	0
00339	Y	-	0	0	0	0	0	0
00340	X	+	0	0	0	0	0	0
00340	X	-	0	0	0	0	0	0
00340	Y	+	0	0	0	0	0	0
00340	Y	-	0	0	0	0	0	0
00341	X	+	0	0	0	0	0	0
00341	X	-	0	0	0	0	0	0
00341	Y	+	0	0	0	0	0	0
00341	Y	-	0	0	0	0	0	0
00342	X	+	0	0	0	0	0	0
00342	X	-	0	0	0	0	0	0
00342	Y	+	0	0	0	0	0	0
00342	Y	-	0	0	0	0	0	0
00343	X	+	0	0	0	0	0	0
00343	X	-	0	0	0	0	0	0
00343	Y	+	0	0	0	0	0	0
00343	Y	-	0	0	0	0	0	0
00344	X	+	0	0	0	0	0	0
00344	X	-	0	0	0	0	0	0
00344	Y	+	0	0	0	0	0	0
00344	Y	-	0	0	0	0	0	0
00345	X	+	0	0	0	0	0	0
00345	X	-	0	0	0	0	0	0
00345	Y	+	0	0	0	0	0	0
00345	Y	-	0	0	0	0	0	0
00346	X	+	0	0	0	0	0	0
00346	X	-	0	0	0	0	0	0
00346	Y	+	0	0	0	0	0	0
00346	Y	-	0	0	0	0	0	0
00347	X	+	0	0	0	0	0	0
00347	X	-	0	0	0	0	0	0
00347	Y	+	0	0	0	0	0	0
00347	Y	-	0	0	0	0	0	0
00348	X	+	0	0	0	0	0	0
00348	X	-	0	0	0	0	0	0
00348	Y	+	0	0	0	0	0	0
00348	Y	-	0	0	0	0	0	0
00349	X	+	0	0	0	0	0	0
00349	X	-	0	0	0	0	0	0
00349	Y	+	0	0	0	0	0	0
00349	Y	-	0	0	0	0	0	0
00350	X	+	0	0	0	0	0	0
00350	X	-	0	0	0	0	0	0
00350	Y	+	0	0	0	0	0	0
00350	Y	-	0	0	0	0	0	0
00351	X	+	0	0	0	0	0	0
00351	X	-	0	0	0	0	0	0
00351	Y	+	0	0	0	0	0	0
00351	Y	-	0	0	0	0	0	0
00352	X	+	0	0	0	0	0	0
00352	X	-	0	0	0	0	0	0

Comm.: C20-025-S05

Il presente documento è di proprietà della ANTEX GROUP srl. È vietato la comunicazione a terzi o la riproduzione senza il permesso scritto della suddetta. La società tutela i propri diritti a rigore di Legge.





PARCO EOLICO DI "BUDDUSO"

RELAZIONE DI CALCOLO E TABULATI OPERE EDILI SSEU



Ingegneria & Innovazione

30/06/2023

REV: 2

Pag. 278

Nodi - Reazioni vincolari esterne per eccentricità accidentale

IdNd	Dir	e	F <sub>x</sub>	F <sub>y</sub>	F <sub>z</sub>	M <sub>x</sub>	M <sub>y</sub>	M <sub>z</sub>
			[N]	[N]	[N]	[N-m]	[N-m]	[N-m]
00352	Y	+	0	0	0	0	0	0
00352	Y	-	0	0	0	0	0	0
00353	X	+	0	0	0	0	0	0
00353	X	-	0	0	0	0	0	0
00353	Y	+	0	0	0	0	0	0
00353	Y	-	0	0	0	0	0	0
00354	X	+	0	0	0	0	0	0
00354	X	-	0	0	0	0	0	0
00354	Y	+	0	0	0	0	0	0
00354	Y	-	0	0	0	0	0	0
00355	X	+	0	0	0	0	0	0
00355	X	-	0	0	0	0	0	0
00355	Y	+	0	0	0	0	0	0
00355	Y	-	0	0	0	0	0	0
00356	X	+	0	0	0	0	0	0
00356	X	-	0	0	0	0	0	0
00356	Y	+	0	0	0	0	0	0
00356	Y	-	0	0	0	0	0	0
00357	X	+	0	0	0	0	0	0
00357	X	-	0	0	0	0	0	0
00357	Y	+	0	0	0	0	0	0
00357	Y	-	0	0	0	0	0	0
00358	X	+	0	0	0	0	0	0
00358	X	-	0	0	0	0	0	0
00358	Y	+	0	0	0	0	0	0
00358	Y	-	0	0	0	0	0	0
00359	X	+	0	0	0	0	0	0
00359	X	-	0	0	0	0	0	0
00359	Y	+	0	0	0	0	0	0
00359	Y	-	0	0	0	0	0	0
00360	X	+	0	0	0	0	0	0
00360	X	-	0	0	0	0	0	0
00360	Y	+	0	0	0	0	0	0
00360	Y	-	0	0	0	0	0	0
00361	X	+	0	0	0	0	0	0
00361	X	-	0	0	0	0	0	0
00361	Y	+	0	0	0	0	0	0
00361	Y	-	0	0	0	0	0	0
00362	X	+	0	0	0	0	0	0
00362	X	-	0	0	0	0	0	0
00362	Y	+	0	0	0	0	0	0
00362	Y	-	0	0	0	0	0	0
00363	X	+	0	0	0	0	0	0
00363	X	-	0	0	0	0	0	0
00363	Y	+	0	0	0	0	0	0
00363	Y	-	0	0	0	0	0	0
00364	X	+	0	0	0	0	0	0
00364	X	-	0	0	0	0	0	0
00364	Y	+	0	0	0	0	0	0
00364	Y	-	0	0	0	0	0	0
00365	X	+	0	0	0	0	0	0
00365	X	-	0	0	0	0	0	0
00365	Y	+	0	0	0	0	0	0
00365	Y	-	0	0	0	0	0	0
00366	X	+	0	0	0	0	0	0
00366	X	-	0	0	0	0	0	0
00366	Y	+	0	0	0	0	0	0
00366	Y	-	0	0	0	0	0	0
00367	X	+	0	0	0	0	0	0
00367	X	-	0	0	0	0	0	0
00367	Y	+	0	0	0	0	0	0
00367	Y	-	0	0	0	0	0	0
00368	X	+	0	0	0	0	0	0
00368	X	-	0	0	0	0	0	0
00368	Y	+	0	0	0	0	0	0
00368	Y	-	0	0	0	0	0	0

Comm.: C20-025-S05

Il presente documento è di proprietà della ANTEX GROUP srl. È vietato la comunicazione a terzi o la riproduzione senza il permesso scritto della suddetta. La società tutela i propri diritti a rigore di Legge.





PARCO EOLICO DI "BUDDUSO"

RELAZIONE DI CALCOLO E TABULATI OPERE EDILI SSEU



Ingegneria & Innovazione

30/06/2023

REV: 2

Pag. 279

Nodi - Reazioni vincolari esterne per eccentricità accidentale

IdNd	Dir	e	F <sub>x</sub>	F <sub>y</sub>	F <sub>z</sub>	M <sub>x</sub>	M <sub>y</sub>	M <sub>z</sub>
			[N]	[N]	[N]	[N-m]	[N-m]	[N-m]
00369	X	+	0	0	0	0	0	0
00369	X	-	0	0	0	0	0	0
00369	Y	+	0	0	0	0	0	0
00369	Y	-	0	0	0	0	0	0
00370	X	+	0	0	0	0	0	0
00370	X	-	0	0	0	0	0	0
00370	Y	+	0	0	0	0	0	0
00370	Y	-	0	0	0	0	0	0
00371	X	+	0	0	0	0	0	0
00371	X	-	0	0	0	0	0	0
00371	Y	+	0	0	0	0	0	0
00371	Y	-	0	0	0	0	0	0
00372	X	+	0	0	0	0	0	0
00372	X	-	0	0	0	0	0	0
00372	Y	+	0	0	0	0	0	0
00372	Y	-	0	0	0	0	0	0
00373	X	+	0	0	0	0	0	0
00373	X	-	0	0	0	0	0	0
00373	Y	+	0	0	0	0	0	0
00373	Y	-	0	0	0	0	0	0
00374	X	+	0	0	0	0	0	0
00374	X	-	0	0	0	0	0	0
00374	Y	+	0	0	0	0	0	0
00374	Y	-	0	0	0	0	0	0
00375	X	+	0	0	0	0	0	0
00375	X	-	0	0	0	0	0	0
00375	Y	+	0	0	0	0	0	0
00375	Y	-	0	0	0	0	0	0
00376	X	+	0	0	0	0	0	0
00376	X	-	0	0	0	0	0	0
00376	Y	+	0	0	0	0	0	0
00376	Y	-	0	0	0	0	0	0
00377	X	+	0	0	0	0	0	0
00377	X	-	0	0	0	0	0	0
00377	Y	+	0	0	0	0	0	0
00377	Y	-	0	0	0	0	0	0
00378	X	+	0	0	0	0	0	0
00378	X	-	0	0	0	0	0	0
00378	Y	+	0	0	0	0	0	0
00378	Y	-	0	0	0	0	0	0
00379	X	+	0	0	0	0	0	0
00379	X	-	0	0	0	0	0	0
00379	Y	+	0	0	0	0	0	0
00379	Y	-	0	0	0	0	0	0
00380	X	+	0	0	0	0	0	0
00380	X	-	0	0	0	0	0	0
00380	Y	+	0	0	0	0	0	0
00380	Y	-	0	0	0	0	0	0
00381	X	+	0	0	0	0	0	0
00381	X	-	0	0	0	0	0	0
00381	Y	+	0	0	0	0	0	0
00381	Y	-	0	0	0	0	0	0
00382	X	+	0	0	0	0	0	0
00382	X	-	0	0	0	0	0	0
00382	Y	+	0	0	0	0	0	0
00382	Y	-	0	0	0	0	0	0
00383	X	+	0	0	0	0	0	0
00383	X	-	0	0	0	0	0	0
00383	Y	+	0	0	0	0	0	0
00383	Y	-	0	0	0	0	0	0
00384	X	+	0	0	0	0	0	0
00384	X	-	0	0	0	0	0	0
00384	Y	+	0	0	0	0	0	0
00384	Y	-	0	0	0	0	0	0
00385	X	+	0	0	0	0	0	0
00385	X	-	0	0	0	0	0	0

Comm.: C20-025-S05

Il presente documento è di proprietà della ANTEX GROUP srl. È vietato la comunicazione a terzi o la riproduzione senza il permesso scritto della suddetta. La società tutela i propri diritti a rigore di Legge.





PARCO EOLICO DI "BUDDUSO"

RELAZIONE DI CALCOLO E TABULATI OPERE EDILI SSEU



Ingegneria & Innovazione

30/06/2023

REV: 2

Pag. 280

Nodi - Reazioni vincolari esterne per eccentricità accidentale

IdNd	Dir	e	F <sub>x</sub>	F <sub>y</sub>	F <sub>z</sub>	M <sub>x</sub>	M <sub>y</sub>	M <sub>z</sub>
			[N]	[N]	[N]	[N-m]	[N-m]	[N-m]
00385	Y	+	0	0	0	0	0	0
00385	Y	-	0	0	0	0	0	0
00386	X	+	0	0	0	0	0	0
00386	X	-	0	0	0	0	0	0
00386	Y	+	0	0	0	0	0	0
00386	Y	-	0	0	0	0	0	0
00387	X	+	0	0	0	0	0	0
00387	X	-	0	0	0	0	0	0
00387	Y	+	0	0	0	0	0	0
00387	Y	-	0	0	0	0	0	0
00388	X	+	0	0	0	0	0	0
00388	X	-	0	0	0	0	0	0
00388	Y	+	0	0	0	0	0	0
00388	Y	-	0	0	0	0	0	0
00389	X	+	0	0	0	0	0	0
00389	X	-	0	0	0	0	0	0
00389	Y	+	0	0	0	0	0	0
00389	Y	-	0	0	0	0	0	0
00390	X	+	0	0	0	0	0	0
00390	X	-	0	0	0	0	0	0
00390	Y	+	0	0	0	0	0	0
00390	Y	-	0	0	0	0	0	0
00391	X	+	0	0	0	0	0	0
00391	X	-	0	0	0	0	0	0
00391	Y	+	0	0	0	0	0	0
00391	Y	-	0	0	0	0	0	0
00392	X	+	0	0	0	0	0	0
00392	X	-	0	0	0	0	0	0
00392	Y	+	0	0	0	0	0	0
00392	Y	-	0	0	0	0	0	0
00393	X	+	0	0	0	0	0	0
00393	X	-	0	0	0	0	0	0
00393	Y	+	0	0	0	0	0	0
00393	Y	-	0	0	0	0	0	0
00394	X	+	0	0	0	0	0	0
00394	X	-	0	0	0	0	0	0
00394	Y	+	0	0	0	0	0	0
00394	Y	-	0	0	0	0	0	0
00395	X	+	0	0	0	0	0	0
00395	X	-	0	0	0	0	0	0
00395	Y	+	0	0	0	0	0	0
00395	Y	-	0	0	0	0	0	0
00396	X	+	0	0	0	0	0	0
00396	X	-	0	0	0	0	0	0
00396	Y	+	0	0	0	0	0	0
00396	Y	-	0	0	0	0	0	0
00397	X	+	0	0	0	0	0	0
00397	X	-	0	0	0	0	0	0
00397	Y	+	0	0	0	0	0	0
00397	Y	-	0	0	0	0	0	0
00398	X	+	0	0	0	0	0	0
00398	X	-	0	0	0	0	0	0
00398	Y	+	0	0	0	0	0	0
00398	Y	-	0	0	0	0	0	0
00399	X	+	0	0	0	0	0	0
00399	X	-	0	0	0	0	0	0
00399	Y	+	0	0	0	0	0	0
00399	Y	-	0	0	0	0	0	0
00400	X	+	0	0	0	0	0	0
00400	X	-	0	0	0	0	0	0
00400	Y	+	0	0	0	0	0	0
00400	Y	-	0	0	0	0	0	0
00401	X	+	0	0	0	0	0	0
00401	X	-	0	0	0	0	0	0
00401	Y	+	0	0	0	0	0	0
00401	Y	-	0	0	0	0	0	0

Il presente documento è di proprietà della ANTEX GROUP srl.  
È Vietato la comunicazione a terzi o la riproduzione senza il permesso scritto della suddetta.  
La società tutela i propri diritti a rigore di Legge.

Comm.: C20-025-S05







PARCO EOLICO DI "BUDDUSO"

RELAZIONE DI CALCOLO E TABULATI OPERE EDILI  
SSEU



Ingegneria & Innovazione

30/06/2023

REV: 2

Pag. 281

Nodi - Reazioni vincolari esterne per eccentricità accidentale

IdNd	Dir	e	F <sub>x</sub>	F <sub>y</sub>	F <sub>z</sub>	M <sub>x</sub>	M <sub>y</sub>	M <sub>z</sub>
			[N]	[N]	[N]	[N-m]	[N-m]	[N-m]
00402	X	+	0	0	0	0	0	0
00402	X	-	0	0	0	0	0	0
00402	Y	+	0	0	0	0	0	0
00402	Y	-	0	0	0	0	0	0
00403	X	+	0	0	0	0	0	0
00403	X	-	0	0	0	0	0	0
00403	Y	+	0	0	0	0	0	0
00403	Y	-	0	0	0	0	0	0
00404	X	+	0	0	0	0	0	0
00404	X	-	0	0	0	0	0	0
00404	Y	+	0	0	0	0	0	0
00404	Y	-	0	0	0	0	0	0
00405	X	+	0	0	0	0	0	0
00405	X	-	0	0	0	0	0	0
00405	Y	+	0	0	0	0	0	0
00405	Y	-	0	0	0	0	0	0
00406	X	+	0	0	0	0	0	0
00406	X	-	0	0	0	0	0	0
00406	Y	+	0	0	0	0	0	0
00406	Y	-	0	0	0	0	0	0
00407	X	+	0	0	0	0	0	0
00407	X	-	0	0	0	0	0	0
00407	Y	+	0	0	0	0	0	0
00407	Y	-	0	0	0	0	0	0
00408	X	+	0	0	0	0	0	0
00408	X	-	0	0	0	0	0	0
00408	Y	+	0	0	0	0	0	0
00408	Y	-	0	0	0	0	0	0
00409	X	+	0	0	0	0	0	0
00409	X	-	0	0	0	0	0	0
00409	Y	+	0	0	0	0	0	0
00409	Y	-	0	0	0	0	0	0
00410	X	+	0	0	0	0	0	0
00410	X	-	0	0	0	0	0	0
00410	Y	+	0	0	0	0	0	0
00410	Y	-	0	0	0	0	0	0
00411	X	+	0	0	0	0	0	0
00411	X	-	0	0	0	0	0	0
00411	Y	+	0	0	0	0	0	0
00411	Y	-	0	0	0	0	0	0
00412	X	+	0	0	0	0	0	0
00412	X	-	0	0	0	0	0	0
00412	Y	+	0	0	0	0	0	0
00412	Y	-	0	0	0	0	0	0
00413	X	+	0	0	0	0	0	0
00413	X	-	0	0	0	0	0	0
00413	Y	+	0	0	0	0	0	0
00413	Y	-	0	0	0	0	0	0
00414	X	+	0	0	0	0	0	0
00414	X	-	0	0	0	0	0	0
00414	Y	+	0	0	0	0	0	0
00414	Y	-	0	0	0	0	0	0
00415	X	+	0	0	0	0	0	0
00415	X	-	0	0	0	0	0	0
00415	Y	+	0	0	0	0	0	0
00415	Y	-	0	0	0	0	0	0
00416	X	+	0	0	0	0	0	0
00416	X	-	0	0	0	0	0	0
00416	Y	+	0	0	0	0	0	0
00416	Y	-	0	0	0	0	0	0
00417	X	+	0	0	0	0	0	0
00417	X	-	0	0	0	0	0	0
00417	Y	+	0	0	0	0	0	0
00417	Y	-	0	0	0	0	0	0
00418	X	+	0	0	0	0	0	0
00418	X	-	0	0	0	0	0	0

Comm.: C20-025-S05

Il presente documento è di proprietà della ANTEX GROUP srl.  
È vietato la comunicazione a terzi o la riproduzione senza il permesso scritto della suddetta.  
La società tutela i propri diritti a rigore di Legge.





PARCO EOLICO DI "BUDDUSO"

RELAZIONE DI CALCOLO E TABULATI OPERE EDILI SSEU



Ingegneria & Innovazione

30/06/2023

REV: 2

Pag. 282

Nodi - Reazioni vincolari esterne per eccentricità accidentale

IdNd	Dir	e	F <sub>x</sub>	F <sub>y</sub>	F <sub>z</sub>	M <sub>x</sub>	M <sub>y</sub>	M <sub>z</sub>
			[N]	[N]	[N]	[N-m]	[N-m]	[N-m]
00418	Y	+	0	0	0	0	0	0
00418	Y	-	0	0	0	0	0	0
00419	X	+	0	0	0	0	0	0
00419	X	-	0	0	0	0	0	0
00419	Y	+	0	0	0	0	0	0
00419	Y	-	0	0	0	0	0	0
00420	X	+	0	0	0	0	0	0
00420	X	-	0	0	0	0	0	0
00420	Y	+	0	0	0	0	0	0
00420	Y	-	0	0	0	0	0	0
00421	X	+	0	0	0	0	0	0
00421	X	-	0	0	0	0	0	0
00421	Y	+	0	0	0	0	0	0
00421	Y	-	0	0	0	0	0	0
00422	X	+	0	0	0	0	0	0
00422	X	-	0	0	0	0	0	0
00422	Y	+	0	0	0	0	0	0
00422	Y	-	0	0	0	0	0	0
00423	X	+	0	0	0	0	0	0
00423	X	-	0	0	0	0	0	0
00423	Y	+	0	0	0	0	0	0
00423	Y	-	0	0	0	0	0	0
00424	X	+	0	0	0	0	0	0
00424	X	-	0	0	0	0	0	0
00424	Y	+	0	0	0	0	0	0
00424	Y	-	0	0	0	0	0	0
00425	X	+	0	0	0	0	0	0
00425	X	-	0	0	0	0	0	0
00425	Y	+	0	0	0	0	0	0
00425	Y	-	0	0	0	0	0	0
00426	X	+	0	0	0	0	0	0
00426	X	-	0	0	0	0	0	0
00426	Y	+	0	0	0	0	0	0
00426	Y	-	0	0	0	0	0	0
00427	X	+	0	0	0	0	0	0
00427	X	-	0	0	0	0	0	0
00427	Y	+	0	0	0	0	0	0
00427	Y	-	0	0	0	0	0	0
00428	X	+	0	0	0	0	0	0
00428	X	-	0	0	0	0	0	0
00428	Y	+	0	0	0	0	0	0
00428	Y	-	0	0	0	0	0	0
00429	X	+	0	0	0	0	0	0
00429	X	-	0	0	0	0	0	0
00429	Y	+	0	0	0	0	0	0
00429	Y	-	0	0	0	0	0	0
00430	X	+	0	0	0	0	0	0
00430	X	-	0	0	0	0	0	0
00430	Y	+	0	0	0	0	0	0
00430	Y	-	0	0	0	0	0	0
00431	X	+	0	0	0	0	0	0
00431	X	-	0	0	0	0	0	0
00431	Y	+	0	0	0	0	0	0
00431	Y	-	0	0	0	0	0	0
00432	X	+	0	0	0	0	0	0
00432	X	-	0	0	0	0	0	0
00432	Y	+	0	0	0	0	0	0
00432	Y	-	0	0	0	0	0	0
00433	X	+	0	0	0	0	0	0
00433	X	-	0	0	0	0	0	0
00433	Y	+	0	0	0	0	0	0
00433	Y	-	0	0	0	0	0	0
00434	X	+	0	0	0	0	0	0
00434	X	-	0	0	0	0	0	0
00434	Y	+	0	0	0	0	0	0
00434	Y	-	0	0	0	0	0	0

Comm.: C20-025-S05

Il presente documento è di proprietà della ANTEX GROUP srl. È vietato la comunicazione a terzi o la riproduzione senza il permesso scritto della suddetta. La società tutela i propri diritti a rigore di Legge.





PARCO EOLICO DI "BUDDUSO"

RELAZIONE DI CALCOLO E TABULATI OPERE EDILI SSEU



Ingegneria & Innovazione

30/06/2023

REV: 2

Pag. 283

Nodi - Reazioni vincolari esterne per eccentricità accidentale

IdNd	Dir	e	F <sub>x</sub>	F <sub>y</sub>	F <sub>z</sub>	M <sub>x</sub>	M <sub>y</sub>	M <sub>z</sub>
			[N]	[N]	[N]	[N-m]	[N-m]	[N-m]
00435	X	+	0	0	0	0	0	0
00435	X	-	0	0	0	0	0	0
00435	Y	+	0	0	0	0	0	0
00435	Y	-	0	0	0	0	0	0
00436	X	+	0	0	0	0	0	0
00436	X	-	0	0	0	0	0	0
00436	Y	+	0	0	0	0	0	0
00436	Y	-	0	0	0	0	0	0
00437	X	+	0	0	0	0	0	0
00437	X	-	0	0	0	0	0	0
00437	Y	+	0	0	0	0	0	0
00437	Y	-	0	0	0	0	0	0
00438	X	+	0	0	0	0	0	0
00438	X	-	0	0	0	0	0	0
00438	Y	+	0	0	0	0	0	0
00438	Y	-	0	0	0	0	0	0
00439	X	+	0	0	0	0	0	0
00439	X	-	0	0	0	0	0	0
00439	Y	+	0	0	0	0	0	0
00439	Y	-	0	0	0	0	0	0
00440	X	+	0	0	0	0	0	0
00440	X	-	0	0	0	0	0	0
00440	Y	+	0	0	0	0	0	0
00440	Y	-	0	0	0	0	0	0
00441	X	+	0	0	0	0	0	0
00441	X	-	0	0	0	0	0	0
00441	Y	+	0	0	0	0	0	0
00441	Y	-	0	0	0	0	0	0
00442	X	+	0	0	0	0	0	0
00442	X	-	0	0	0	0	0	0
00442	Y	+	0	0	0	0	0	0
00442	Y	-	0	0	0	0	0	0
00443	X	+	0	0	0	0	0	0
00443	X	-	0	0	0	0	0	0
00443	Y	+	0	0	0	0	0	0
00443	Y	-	0	0	0	0	0	0
00444	X	+	0	0	0	0	0	0
00444	X	-	0	0	0	0	0	0
00444	Y	+	0	0	0	0	0	0
00444	Y	-	0	0	0	0	0	0
00445	X	+	0	0	0	0	0	0
00445	X	-	0	0	0	0	0	0
00445	Y	+	0	0	0	0	0	0
00445	Y	-	0	0	0	0	0	0
00446	X	+	0	0	0	0	0	0
00446	X	-	0	0	0	0	0	0
00446	Y	+	0	0	0	0	0	0
00446	Y	-	0	0	0	0	0	0
00447	X	+	0	0	0	0	0	0
00447	X	-	0	0	0	0	0	0
00447	Y	+	0	0	0	0	0	0
00447	Y	-	0	0	0	0	0	0
00448	X	+	0	0	0	0	0	0
00448	X	-	0	0	0	0	0	0
00448	Y	+	0	0	0	0	0	0
00448	Y	-	0	0	0	0	0	0
00449	X	+	0	0	0	0	0	0
00449	X	-	0	0	0	0	0	0
00449	Y	+	0	0	0	0	0	0
00449	Y	-	0	0	0	0	0	0
00450	X	+	0	0	0	0	0	0
00450	X	-	0	0	0	0	0	0
00450	Y	+	0	0	0	0	0	0
00450	Y	-	0	0	0	0	0	0
00451	X	+	0	0	0	0	0	0
00451	X	-	0	0	0	0	0	0

Comm.: C20-025-S05

Il presente documento è di proprietà della ANTEX GROUP srl. È vietato la comunicazione a terzi o la riproduzione senza il permesso scritto della suddetta. La società tutela i propri diritti a rigore di Legge.





PARCO EOLICO DI "BUDDUSO"

RELAZIONE DI CALCOLO E TABULATI OPERE EDILI SSEU



Ingegneria & Innovazione

30/06/2023

REV: 2

Pag. 284

Nodi - Reazioni vincolari esterne per eccentricità accidentale

IdNd	Dir	e	F <sub>x</sub>	F <sub>y</sub>	F <sub>z</sub>	M <sub>x</sub>	M <sub>y</sub>	M <sub>z</sub>
			[N]	[N]	[N]	[N-m]	[N-m]	[N-m]
00451	Y	+	0	0	0	0	0	0
00451	Y	-	0	0	0	0	0	0
00452	X	+	0	0	0	0	0	0
00452	X	-	0	0	0	0	0	0
00452	Y	+	0	0	0	0	0	0
00452	Y	-	0	0	0	0	0	0
00453	X	+	0	0	0	0	0	0
00453	X	-	0	0	0	0	0	0
00453	Y	+	0	0	0	0	0	0
00453	Y	-	0	0	0	0	0	0
00454	X	+	0	0	0	0	0	0
00454	X	-	0	0	0	0	0	0
00454	Y	+	0	0	0	0	0	0
00454	Y	-	0	0	0	0	0	0
00455	X	+	0	0	0	0	0	0
00455	X	-	0	0	0	0	0	0
00455	Y	+	0	0	0	0	0	0
00455	Y	-	0	0	0	0	0	0
00456	X	+	0	0	0	0	0	0
00456	X	-	0	0	0	0	0	0
00456	Y	+	0	0	0	0	0	0
00456	Y	-	0	0	0	0	0	0
00457	X	+	0	0	0	0	0	0
00457	X	-	0	0	0	0	0	0
00457	Y	+	0	0	0	0	0	0
00457	Y	-	0	0	0	0	0	0
00458	X	+	0	0	0	0	0	0
00458	X	-	0	0	0	0	0	0
00458	Y	+	0	0	0	0	0	0
00458	Y	-	0	0	0	0	0	0
00459	X	+	0	0	0	0	0	0
00459	X	-	0	0	0	0	0	0
00459	Y	+	0	0	0	0	0	0
00459	Y	-	0	0	0	0	0	0
00460	X	+	0	0	0	0	0	0
00460	X	-	0	0	0	0	0	0
00460	Y	+	0	0	0	0	0	0
00460	Y	-	0	0	0	0	0	0
00461	X	+	0	0	0	0	0	0
00461	X	-	0	0	0	0	0	0
00461	Y	+	0	0	0	0	0	0
00461	Y	-	0	0	0	0	0	0
00462	X	+	0	0	0	0	0	0
00462	X	-	0	0	0	0	0	0
00462	Y	+	0	0	0	0	0	0
00462	Y	-	0	0	0	0	0	0
00463	X	+	0	0	0	0	0	0
00463	X	-	0	0	0	0	0	0
00463	Y	+	0	0	0	0	0	0
00463	Y	-	0	0	0	0	0	0
00464	X	+	0	0	0	0	0	0
00464	X	-	0	0	0	0	0	0
00464	Y	+	0	0	0	0	0	0
00464	Y	-	0	0	0	0	0	0
00465	X	+	0	0	0	0	0	0
00465	X	-	0	0	0	0	0	0
00465	Y	+	0	0	0	0	0	0
00465	Y	-	0	0	0	0	0	0
00466	X	+	0	0	0	0	0	0
00466	X	-	0	0	0	0	0	0
00466	Y	+	0	0	0	0	0	0
00466	Y	-	0	0	0	0	0	0
00467	X	+	0	0	0	0	0	0
00467	X	-	0	0	0	0	0	0
00467	Y	+	0	0	0	0	0	0
00467	Y	-	0	0	0	0	0	0

Comm.: C20-025-S05

Il presente documento è di proprietà della ANTEX GROUP srl. È vietato la comunicazione a terzi o la riproduzione senza il permesso scritto della suddetta. La società tutela i propri diritti a rigore di Legge.





PARCO EOLICO DI "BUDDUSO"

RELAZIONE DI CALCOLO E TABULATI OPERE EDILI SSEU



Ingegneria & Innovazione

30/06/2023

REV: 2

Pag. 285

Nodi - Reazioni vincolari esterne per eccentricità accidentale

IdNd	Dir	e	F <sub>x</sub>	F <sub>y</sub>	F <sub>z</sub>	M <sub>x</sub>	M <sub>y</sub>	M <sub>z</sub>
			[N]	[N]	[N]	[N-m]	[N-m]	[N-m]
00468	X	+	0	0	0	0	0	0
00468	X	-	0	0	0	0	0	0
00468	Y	+	0	0	0	0	0	0
00468	Y	-	0	0	0	0	0	0
00469	X	+	0	0	0	0	0	0
00469	X	-	0	0	0	0	0	0
00469	Y	+	0	0	0	0	0	0
00469	Y	-	0	0	0	0	0	0
00470	X	+	0	0	0	0	0	0
00470	X	-	0	0	0	0	0	0
00470	Y	+	0	0	0	0	0	0
00470	Y	-	0	0	0	0	0	0
00471	X	+	0	0	0	0	0	0
00471	X	-	0	0	0	0	0	0
00471	Y	+	0	0	0	0	0	0
00471	Y	-	0	0	0	0	0	0
00472	X	+	0	0	0	0	0	0
00472	X	-	0	0	0	0	0	0
00472	Y	+	0	0	0	0	0	0
00472	Y	-	0	0	0	0	0	0
00473	X	+	0	0	0	0	0	0
00473	X	-	0	0	0	0	0	0
00473	Y	+	0	0	0	0	0	0
00473	Y	-	0	0	0	0	0	0
00474	X	+	0	0	0	0	0	0
00474	X	-	0	0	0	0	0	0
00474	Y	+	0	0	0	0	0	0
00474	Y	-	0	0	0	0	0	0
00475	X	+	0	0	0	0	0	0
00475	X	-	0	0	0	0	0	0
00475	Y	+	0	0	0	0	0	0
00475	Y	-	0	0	0	0	0	0
00476	X	+	0	0	0	0	0	0
00476	X	-	0	0	0	0	0	0
00476	Y	+	0	0	0	0	0	0
00476	Y	-	0	0	0	0	0	0
00477	X	+	0	0	0	0	0	0
00477	X	-	0	0	0	0	0	0
00477	Y	+	0	0	0	0	0	0
00477	Y	-	0	0	0	0	0	0
00478	X	+	0	0	0	0	0	0
00478	X	-	0	0	0	0	0	0
00478	Y	+	0	0	0	0	0	0
00478	Y	-	0	0	0	0	0	0
00479	X	+	0	0	0	0	0	0
00479	X	-	0	0	0	0	0	0
00479	Y	+	0	0	0	0	0	0
00479	Y	-	0	0	0	0	0	0
00480	X	+	0	0	0	0	0	0
00480	X	-	0	0	0	0	0	0
00480	Y	+	0	0	0	0	0	0
00480	Y	-	0	0	0	0	0	0
00481	X	+	0	0	0	0	0	0
00481	X	-	0	0	0	0	0	0
00481	Y	+	0	0	0	0	0	0
00481	Y	-	0	0	0	0	0	0
00482	X	+	0	0	0	0	0	0
00482	X	-	0	0	0	0	0	0
00482	Y	+	0	0	0	0	0	0
00482	Y	-	0	0	0	0	0	0
00483	X	+	0	0	0	0	0	0
00483	X	-	0	0	0	0	0	0
00483	Y	+	0	0	0	0	0	0
00483	Y	-	0	0	0	0	0	0
00484	X	+	0	0	0	0	0	0
00484	X	-	0	0	0	0	0	0

Comm.: C20-025-S05

Il presente documento è di proprietà della ANTEX GROUP srl. È vietato la comunicazione a terzi o la riproduzione senza il permesso scritto della suddetta. La società tutela i propri diritti a rigore di Legge.





PARCO EOLICO DI "BUDDUSO"

RELAZIONE DI CALCOLO E TABULATI OPERE EDILI SSEU



Ingegneria & Innovazione

30/06/2023

REV: 2

Pag. 286

Nodi - Reazioni vincolari esterne per eccentricità accidentale

IdNd	Dir	e	F <sub>x</sub>	F <sub>y</sub>	F <sub>z</sub>	M <sub>x</sub>	M <sub>y</sub>	M <sub>z</sub>
			[N]	[N]	[N]	[N-m]	[N-m]	[N-m]
00484	Y	+	0	0	0	0	0	0
00484	Y	-	0	0	0	0	0	0
00485	X	+	0	0	0	0	0	0
00485	X	-	0	0	0	0	0	0
00485	Y	+	0	0	0	0	0	0
00485	Y	-	0	0	0	0	0	0
00486	X	+	0	0	0	0	0	0
00486	X	-	0	0	0	0	0	0
00486	Y	+	0	0	0	0	0	0
00486	Y	-	0	0	0	0	0	0
00487	X	+	0	0	0	0	0	0
00487	X	-	0	0	0	0	0	0
00487	Y	+	0	0	0	0	0	0
00487	Y	-	0	0	0	0	0	0
00488	X	+	0	0	0	0	0	0
00488	X	-	0	0	0	0	0	0
00488	Y	+	0	0	0	0	0	0
00488	Y	-	0	0	0	0	0	0
00489	X	+	0	0	0	0	0	0
00489	X	-	0	0	0	0	0	0
00489	Y	+	0	0	0	0	0	0
00489	Y	-	0	0	0	0	0	0
00490	X	+	0	0	0	0	0	0
00490	X	-	0	0	0	0	0	0
00490	Y	+	0	0	0	0	0	0
00490	Y	-	0	0	0	0	0	0
00491	X	+	0	0	0	0	0	0
00491	X	-	0	0	0	0	0	0
00491	Y	+	0	0	0	0	0	0
00491	Y	-	0	0	0	0	0	0
00492	X	+	0	0	0	0	0	0
00492	X	-	0	0	0	0	0	0
00492	Y	+	0	0	0	0	0	0
00492	Y	-	0	0	0	0	0	0
00493	X	+	0	0	0	0	0	0
00493	X	-	0	0	0	0	0	0
00493	Y	+	0	0	0	0	0	0
00493	Y	-	0	0	0	0	0	0
00494	X	+	0	0	0	0	0	0
00494	X	-	0	0	0	0	0	0
00494	Y	+	0	0	0	0	0	0
00494	Y	-	0	0	0	0	0	0
00495	X	+	0	0	0	0	0	0
00495	X	-	0	0	0	0	0	0
00495	Y	+	0	0	0	0	0	0
00495	Y	-	0	0	0	0	0	0
00496	X	+	0	0	0	0	0	0
00496	X	-	0	0	0	0	0	0
00496	Y	+	0	0	0	0	0	0
00496	Y	-	0	0	0	0	0	0
00497	X	+	0	0	0	0	0	0
00497	X	-	0	0	0	0	0	0
00497	Y	+	0	0	0	0	0	0
00497	Y	-	0	0	0	0	0	0
00498	X	+	0	0	0	0	0	0
00498	X	-	0	0	0	0	0	0
00498	Y	+	0	0	0	0	0	0
00498	Y	-	0	0	0	0	0	0
00499	X	+	0	0	0	0	0	0
00499	X	-	0	0	0	0	0	0
00499	Y	+	0	0	0	0	0	0
00499	Y	-	0	0	0	0	0	0
00500	X	+	0	0	0	0	0	0
00500	X	-	0	0	0	0	0	0
00500	Y	+	0	0	0	0	0	0
00500	Y	-	0	0	0	0	0	0

Comm.: C20-025-S05

Il presente documento è di proprietà della ANTEX GROUP srl. È vietato la comunicazione a terzi o la riproduzione senza il permesso scritto della suddetta. La società tutela i propri diritti a rigore di Legge.





PARCO EOLICO DI "BUDDUSO"

RELAZIONE DI CALCOLO E TABULATI OPERE EDILI  
SSEU



Ingegneria & Innovazione

30/06/2023

REV: 2

Pag. 287

Nodi - Reazioni vincolari esterne per eccentricità accidentale

IdNd	Dir	e	F <sub>x</sub>	F <sub>y</sub>	F <sub>z</sub>	M <sub>x</sub>	M <sub>y</sub>	M <sub>z</sub>
			[N]	[N]	[N]	[N-m]	[N-m]	[N-m]
00501	X	+	0	0	0	0	0	0
00501	X	-	0	0	0	0	0	0
00501	Y	+	0	0	0	0	0	0
00501	Y	-	0	0	0	0	0	0
00502	X	+	0	0	0	0	0	0
00502	X	-	0	0	0	0	0	0
00502	Y	+	0	0	0	0	0	0
00502	Y	-	0	0	0	0	0	0
00503	X	+	0	0	0	0	0	0
00503	X	-	0	0	0	0	0	0
00503	Y	+	0	0	0	0	0	0
00503	Y	-	0	0	0	0	0	0
00504	X	+	0	0	0	0	0	0
00504	X	-	0	0	0	0	0	0
00504	Y	+	0	0	0	0	0	0
00504	Y	-	0	0	0	0	0	0
00505	X	+	0	0	0	0	0	0
00505	X	-	0	0	0	0	0	0
00505	Y	+	0	0	0	0	0	0
00505	Y	-	0	0	0	0	0	0
00506	X	+	0	0	0	0	0	0
00506	X	-	0	0	0	0	0	0
00506	Y	+	0	0	0	0	0	0
00506	Y	-	0	0	0	0	0	0
00507	X	+	0	0	0	0	0	0
00507	X	-	0	0	0	0	0	0
00507	Y	+	0	0	0	0	0	0
00507	Y	-	0	0	0	0	0	0
00508	X	+	0	0	0	0	0	0
00508	X	-	0	0	0	0	0	0
00508	Y	+	0	0	0	0	0	0
00508	Y	-	0	0	0	0	0	0
00509	X	+	0	0	0	0	0	0
00509	X	-	0	0	0	0	0	0
00509	Y	+	0	0	0	0	0	0
00509	Y	-	0	0	0	0	0	0
00510	X	+	0	0	0	0	0	0
00510	X	-	0	0	0	0	0	0
00510	Y	+	0	0	0	0	0	0
00510	Y	-	0	0	0	0	0	0
00511	X	+	0	0	0	0	0	0
00511	X	-	0	0	0	0	0	0
00511	Y	+	0	0	0	0	0	0
00511	Y	-	0	0	0	0	0	0
00512	X	+	0	0	0	0	0	0
00512	X	-	0	0	0	0	0	0
00512	Y	+	0	0	0	0	0	0
00512	Y	-	0	0	0	0	0	0
00513	X	+	0	0	0	0	0	0
00513	X	-	0	0	0	0	0	0
00513	Y	+	0	0	0	0	0	0
00513	Y	-	0	0	0	0	0	0
00514	X	+	0	0	0	0	0	0
00514	X	-	0	0	0	0	0	0
00514	Y	+	0	0	0	0	0	0
00514	Y	-	0	0	0	0	0	0
00515	X	+	0	0	0	0	0	0
00515	X	-	0	0	0	0	0	0
00515	Y	+	0	0	0	0	0	0
00515	Y	-	0	0	0	0	0	0
00516	X	+	0	0	0	0	0	0
00516	X	-	0	0	0	0	0	0
00516	Y	+	0	0	0	0	0	0
00516	Y	-	0	0	0	0	0	0
00517	X	+	0	0	0	0	0	0
00517	X	-	0	0	0	0	0	0

Comm.: C20-025-S05

Il presente documento è di proprietà della ANTEX GROUP srl.  
È vietato la comunicazione a terzi o la riproduzione senza il permesso scritto della suddetta.  
La società tutela i propri diritti a rigore di Legge.





PARCO EOLICO DI "BUDDUSO"

RELAZIONE DI CALCOLO E TABULATI OPERE EDILI SSEU



Ingegneria & Innovazione

30/06/2023

REV: 2

Pag. 288

Nodi - Reazioni vincolari esterne per eccentricità accidentale

IdNd	Dir	e	F <sub>x</sub>	F <sub>y</sub>	F <sub>z</sub>	M <sub>x</sub>	M <sub>y</sub>	M <sub>z</sub>
			[N]	[N]	[N]	[N-m]	[N-m]	[N-m]
00517	Y	+	0	0	0	0	0	0
00517	Y	-	0	0	0	0	0	0
00518	X	+	0	0	0	0	0	0
00518	X	-	0	0	0	0	0	0
00518	Y	+	0	0	0	0	0	0
00518	Y	-	0	0	0	0	0	0
00519	X	+	0	0	0	0	0	0
00519	X	-	0	0	0	0	0	0
00519	Y	+	0	0	0	0	0	0
00519	Y	-	0	0	0	0	0	0
00520	X	+	0	0	0	0	0	0
00520	X	-	0	0	0	0	0	0
00520	Y	+	0	0	0	0	0	0
00520	Y	-	0	0	0	0	0	0
00521	X	+	0	0	0	0	0	0
00521	X	-	0	0	0	0	0	0
00521	Y	+	0	0	0	0	0	0
00521	Y	-	0	0	0	0	0	0
00522	X	+	0	0	0	0	0	0
00522	X	-	0	0	0	0	0	0
00522	Y	+	0	0	0	0	0	0
00522	Y	-	0	0	0	0	0	0
00523	X	+	0	0	0	0	0	0
00523	X	-	0	0	0	0	0	0
00523	Y	+	0	0	0	0	0	0
00523	Y	-	0	0	0	0	0	0
00524	X	+	0	0	0	0	0	0
00524	X	-	0	0	0	0	0	0
00524	Y	+	0	0	0	0	0	0
00524	Y	-	0	0	0	0	0	0
00525	X	+	0	0	0	0	0	0
00525	X	-	0	0	0	0	0	0
00525	Y	+	0	0	0	0	0	0
00525	Y	-	0	0	0	0	0	0
00526	X	+	0	0	0	0	0	0
00526	X	-	0	0	0	0	0	0
00526	Y	+	0	0	0	0	0	0
00526	Y	-	0	0	0	0	0	0
00527	X	+	0	0	0	0	0	0
00527	X	-	0	0	0	0	0	0
00527	Y	+	0	0	0	0	0	0
00527	Y	-	0	0	0	0	0	0
00528	X	+	0	0	0	0	0	0
00528	X	-	0	0	0	0	0	0
00528	Y	+	0	0	0	0	0	0
00528	Y	-	0	0	0	0	0	0
00529	X	+	0	0	0	0	0	0
00529	X	-	0	0	0	0	0	0
00529	Y	+	0	0	0	0	0	0
00529	Y	-	0	0	0	0	0	0
00530	X	+	0	0	0	0	0	0
00530	X	-	0	0	0	0	0	0
00530	Y	+	0	0	0	0	0	0
00530	Y	-	0	0	0	0	0	0
00531	X	+	0	0	0	0	0	0
00531	X	-	0	0	0	0	0	0
00531	Y	+	0	0	0	0	0	0
00531	Y	-	0	0	0	0	0	0
00532	X	+	0	0	0	0	0	0
00532	X	-	0	0	0	0	0	0
00532	Y	+	0	0	0	0	0	0
00532	Y	-	0	0	0	0	0	0
00533	X	+	0	0	0	0	0	0
00533	X	-	0	0	0	0	0	0
00533	Y	+	0	0	0	0	0	0
00533	Y	-	0	0	0	0	0	0

Comm.: C20-025-S05

Il presente documento è di proprietà della ANTEX GROUP srl. È vietato la comunicazione a terzi o la riproduzione senza il permesso scritto della suddetta. La società tutela i propri diritti a rigore di Legge.







PARCO EOLICO DI "BUDDUSO"

RELAZIONE DI CALCOLO E TABULATI OPERE EDILI  
SSEU



Ingegneria & Innovazione

30/06/2023

REV: 2

Pag. 289

Nodi - Reazioni vincolari esterne per eccentricità accidentale

IdNd	Dir	e	F <sub>x</sub>	F <sub>y</sub>	F <sub>z</sub>	M <sub>x</sub>	M <sub>y</sub>	M <sub>z</sub>
			[N]	[N]	[N]	[N-m]	[N-m]	[N-m]
00534	X	+	0	0	0	0	0	0
00534	X	-	0	0	0	0	0	0
00534	Y	+	0	0	0	0	0	0
00534	Y	-	0	0	0	0	0	0
00535	X	+	0	0	0	0	0	0
00535	X	-	0	0	0	0	0	0
00535	Y	+	0	0	0	0	0	0
00535	Y	-	0	0	0	0	0	0
00536	X	+	0	0	0	0	0	0
00536	X	-	0	0	0	0	0	0
00536	Y	+	0	0	0	0	0	0
00536	Y	-	0	0	0	0	0	0
00537	X	+	0	0	0	0	0	0
00537	X	-	0	0	0	0	0	0
00537	Y	+	0	0	0	0	0	0
00537	Y	-	0	0	0	0	0	0
00538	X	+	0	0	0	0	0	0
00538	X	-	0	0	0	0	0	0
00538	Y	+	0	0	0	0	0	0
00538	Y	-	0	0	0	0	0	0
00539	X	+	0	0	0	0	0	0
00539	X	-	0	0	0	0	0	0
00539	Y	+	0	0	0	0	0	0
00539	Y	-	0	0	0	0	0	0
00540	X	+	0	0	0	0	0	0
00540	X	-	0	0	0	0	0	0
00540	Y	+	0	0	0	0	0	0
00540	Y	-	0	0	0	0	0	0
00541	X	+	0	0	0	0	0	0
00541	X	-	0	0	0	0	0	0
00541	Y	+	0	0	0	0	0	0
00541	Y	-	0	0	0	0	0	0
00542	X	+	0	0	0	0	0	0
00542	X	-	0	0	0	0	0	0
00542	Y	+	0	0	0	0	0	0
00542	Y	-	0	0	0	0	0	0
00543	X	+	0	0	0	0	0	0
00543	X	-	0	0	0	0	0	0
00543	Y	+	0	0	0	0	0	0
00543	Y	-	0	0	0	0	0	0
00544	X	+	0	0	0	0	0	0
00544	X	-	0	0	0	0	0	0
00544	Y	+	0	0	0	0	0	0
00544	Y	-	0	0	0	0	0	0
00545	X	+	0	0	0	0	0	0
00545	X	-	0	0	0	0	0	0
00545	Y	+	0	0	0	0	0	0
00545	Y	-	0	0	0	0	0	0
00546	X	+	0	0	0	0	0	0
00546	X	-	0	0	0	0	0	0
00546	Y	+	0	0	0	0	0	0
00546	Y	-	0	0	0	0	0	0
00547	X	+	0	0	0	0	0	0
00547	X	-	0	0	0	0	0	0
00547	Y	+	0	0	0	0	0	0
00547	Y	-	0	0	0	0	0	0
00548	X	+	0	0	0	0	0	0
00548	X	-	0	0	0	0	0	0
00548	Y	+	0	0	0	0	0	0
00548	Y	-	0	0	0	0	0	0
00549	X	+	0	0	0	0	0	0
00549	X	-	0	0	0	0	0	0
00549	Y	+	0	0	0	0	0	0
00549	Y	-	0	0	0	0	0	0
00550	X	+	0	0	0	0	0	0
00550	X	-	0	0	0	0	0	0

Comm.: C20-025-S05

Il presente documento è di proprietà della ANTEX GROUP srl.  
È vietato la comunicazione a terzi o la riproduzione senza il permesso scritto della suddetta.  
La società tutela i propri diritti a rigore di Legge.





PARCO EOLICO DI "BUDDUSO"

RELAZIONE DI CALCOLO E TABULATI OPERE EDILI SSEU



Ingegneria & Innovazione

30/06/2023

REV: 2

Pag. 290

Nodi - Reazioni vincolari esterne per eccentricità accidentale

IdNd	Dir	e	F <sub>x</sub>	F <sub>y</sub>	F <sub>z</sub>	M <sub>x</sub>	M <sub>y</sub>	M <sub>z</sub>
			[N]	[N]	[N]	[N-m]	[N-m]	[N-m]
00550	Y	+	0	0	0	0	0	0
00550	Y	-	0	0	0	0	0	0
00551	X	+	0	0	0	0	0	0
00551	X	-	0	0	0	0	0	0
00551	Y	+	0	0	0	0	0	0
00551	Y	-	0	0	0	0	0	0
00552	X	+	0	0	0	0	0	0
00552	X	-	0	0	0	0	0	0
00552	Y	+	0	0	0	0	0	0
00552	Y	-	0	0	0	0	0	0
00553	X	+	0	0	0	0	0	0
00553	X	-	0	0	0	0	0	0
00553	Y	+	0	0	0	0	0	0
00553	Y	-	0	0	0	0	0	0
00554	X	+	0	0	0	0	0	0
00554	X	-	0	0	0	0	0	0
00554	Y	+	0	0	0	0	0	0
00554	Y	-	0	0	0	0	0	0
00555	X	+	0	0	0	0	0	0
00555	X	-	0	0	0	0	0	0
00555	Y	+	0	0	0	0	0	0
00555	Y	-	0	0	0	0	0	0
00556	X	+	0	0	0	0	0	0
00556	X	-	0	0	0	0	0	0
00556	Y	+	0	0	0	0	0	0
00556	Y	-	0	0	0	0	0	0
00557	X	+	0	0	0	0	0	0
00557	X	-	0	0	0	0	0	0
00557	Y	+	0	0	0	0	0	0
00557	Y	-	0	0	0	0	0	0
00558	X	+	0	0	0	0	0	0
00558	X	-	0	0	0	0	0	0
00558	Y	+	0	0	0	0	0	0
00558	Y	-	0	0	0	0	0	0
00559	X	+	0	0	0	0	0	0
00559	X	-	0	0	0	0	0	0
00559	Y	+	0	0	0	0	0	0
00559	Y	-	0	0	0	0	0	0
00560	X	+	0	0	0	0	0	0
00560	X	-	0	0	0	0	0	0
00560	Y	+	0	0	0	0	0	0
00560	Y	-	0	0	0	0	0	0
00561	X	+	0	0	0	0	0	0
00561	X	-	0	0	0	0	0	0
00561	Y	+	0	0	0	0	0	0
00561	Y	-	0	0	0	0	0	0
00562	X	+	0	0	0	0	0	0
00562	X	-	0	0	0	0	0	0
00562	Y	+	0	0	0	0	0	0
00562	Y	-	0	0	0	0	0	0
00563	X	+	0	0	0	0	0	0
00563	X	-	0	0	0	0	0	0
00563	Y	+	0	0	0	0	0	0
00563	Y	-	0	0	0	0	0	0
00564	X	+	0	0	0	0	0	0
00564	X	-	0	0	0	0	0	0
00564	Y	+	0	0	0	0	0	0
00564	Y	-	0	0	0	0	0	0
00565	X	+	0	0	0	0	0	0
00565	X	-	0	0	0	0	0	0
00565	Y	+	0	0	0	0	0	0
00565	Y	-	0	0	0	0	0	0
00566	X	+	0	0	0	0	0	0
00566	X	-	0	0	0	0	0	0
00566	Y	+	0	0	0	0	0	0
00566	Y	-	0	0	0	0	0	0

Comm.: C20-025-S05

Il presente documento è di proprietà della ANTEX GROUP srl. È vietato la comunicazione a terzi o la riproduzione senza il permesso scritto della suddetta. La società tutela i propri diritti a rigore di Legge.





PARCO EOLICO DI "BUDDUSO"

RELAZIONE DI CALCOLO E TABULATI OPERE EDILI SSEU



Ingegneria & Innovazione

30/06/2023

REV: 2

Pag. 291

Nodi - Reazioni vincolari esterne per eccentricità accidentale

IdNd	Dir	e	F <sub>x</sub>	F <sub>y</sub>	F <sub>z</sub>	M <sub>x</sub>	M <sub>y</sub>	M <sub>z</sub>
			[N]	[N]	[N]	[N-m]	[N-m]	[N-m]
00567	X	+	0	0	0	0	0	0
00567	X	-	0	0	0	0	0	0
00567	Y	+	0	0	0	0	0	0
00567	Y	-	0	0	0	0	0	0
00568	X	+	0	0	0	0	0	0
00568	X	-	0	0	0	0	0	0
00568	Y	+	0	0	0	0	0	0
00568	Y	-	0	0	0	0	0	0
00569	X	+	0	0	0	0	0	0
00569	X	-	0	0	0	0	0	0
00569	Y	+	0	0	0	0	0	0
00569	Y	-	0	0	0	0	0	0
00570	X	+	0	0	0	0	0	0
00570	X	-	0	0	0	0	0	0
00570	Y	+	0	0	0	0	0	0
00570	Y	-	0	0	0	0	0	0
00571	X	+	0	0	0	0	0	0
00571	X	-	0	0	0	0	0	0
00571	Y	+	0	0	0	0	0	0
00571	Y	-	0	0	0	0	0	0
00572	X	+	0	0	0	0	0	0
00572	X	-	0	0	0	0	0	0
00572	Y	+	0	0	0	0	0	0
00572	Y	-	0	0	0	0	0	0
00573	X	+	0	0	0	0	0	0
00573	X	-	0	0	0	0	0	0
00573	Y	+	0	0	0	0	0	0
00573	Y	-	0	0	0	0	0	0
00574	X	+	0	0	0	0	0	0
00574	X	-	0	0	0	0	0	0
00574	Y	+	0	0	0	0	0	0
00574	Y	-	0	0	0	0	0	0
00575	X	+	0	0	0	0	0	0
00575	X	-	0	0	0	0	0	0
00575	Y	+	0	0	0	0	0	0
00575	Y	-	0	0	0	0	0	0
00576	X	+	0	0	0	0	0	0
00576	X	-	0	0	0	0	0	0
00576	Y	+	0	0	0	0	0	0
00576	Y	-	0	0	0	0	0	0
00577	X	+	0	0	0	0	0	0
00577	X	-	0	0	0	0	0	0
00577	Y	+	0	0	0	0	0	0
00577	Y	-	0	0	0	0	0	0
00578	X	+	0	0	0	0	0	0
00578	X	-	0	0	0	0	0	0
00578	Y	+	0	0	0	0	0	0
00578	Y	-	0	0	0	0	0	0
00579	X	+	0	0	0	0	0	0
00579	X	-	0	0	0	0	0	0
00579	Y	+	0	0	0	0	0	0
00579	Y	-	0	0	0	0	0	0
00580	X	+	0	0	0	0	0	0
00580	X	-	0	0	0	0	0	0
00580	Y	+	0	0	0	0	0	0
00580	Y	-	0	0	0	0	0	0
00581	X	+	0	0	0	0	0	0
00581	X	-	0	0	0	0	0	0
00581	Y	+	0	0	0	0	0	0
00581	Y	-	0	0	0	0	0	0
00582	X	+	0	0	0	0	0	0
00582	X	-	0	0	0	0	0	0
00582	Y	+	0	0	0	0	0	0
00582	Y	-	0	0	0	0	0	0
00583	X	+	0	0	0	0	0	0
00583	X	-	0	0	0	0	0	0

Comm.: C20-025-S05

Il presente documento è di proprietà della ANTEX GROUP srl. È vietato la comunicazione a terzi o la riproduzione senza il permesso scritto della suddetta. La società tutela i propri diritti a rigore di Legge.





PARCO EOLICO DI "BUDDUSO"

RELAZIONE DI CALCOLO E TABULATI OPERE EDILI SSEU



Ingegneria & Innovazione

30/06/2023

REV: 2

Pag. 292

Nodi - Reazioni vincolari esterne per eccentricità accidentale

IdNd	Dir	e	F <sub>x</sub>	F <sub>y</sub>	F <sub>z</sub>	M <sub>x</sub>	M <sub>y</sub>	M <sub>z</sub>
			[N]	[N]	[N]	[N-m]	[N-m]	[N-m]
00583	Y	+	0	0	0	0	0	0
00583	Y	-	0	0	0	0	0	0
00584	X	+	0	0	0	0	0	0
00584	X	-	0	0	0	0	0	0
00584	Y	+	0	0	0	0	0	0
00584	Y	-	0	0	0	0	0	0
00585	X	+	0	0	0	0	0	0
00585	X	-	0	0	0	0	0	0
00585	Y	+	0	0	0	0	0	0
00585	Y	-	0	0	0	0	0	0
00586	X	+	0	0	0	0	0	0
00586	X	-	0	0	0	0	0	0
00586	Y	+	0	0	0	0	0	0
00586	Y	-	0	0	0	0	0	0
00587	X	+	0	0	0	0	0	0
00587	X	-	0	0	0	0	0	0
00587	Y	+	0	0	0	0	0	0
00587	Y	-	0	0	0	0	0	0
00588	X	+	0	0	0	0	0	0
00588	X	-	0	0	0	0	0	0
00588	Y	+	0	0	0	0	0	0
00588	Y	-	0	0	0	0	0	0
00589	X	+	0	0	0	0	0	0
00589	X	-	0	0	0	0	0	0
00589	Y	+	0	0	0	0	0	0
00589	Y	-	0	0	0	0	0	0
00590	X	+	0	0	0	0	0	0
00590	X	-	0	0	0	0	0	0
00590	Y	+	0	0	0	0	0	0
00590	Y	-	0	0	0	0	0	0
00591	X	+	0	0	0	0	0	0
00591	X	-	0	0	0	0	0	0
00591	Y	+	0	0	0	0	0	0
00591	Y	-	0	0	0	0	0	0
00592	X	+	0	0	0	0	0	0
00592	X	-	0	0	0	0	0	0
00592	Y	+	0	0	0	0	0	0
00592	Y	-	0	0	0	0	0	0
00593	X	+	0	0	0	0	0	0
00593	X	-	0	0	0	0	0	0
00593	Y	+	0	0	0	0	0	0
00593	Y	-	0	0	0	0	0	0
00594	X	+	0	0	0	0	0	0
00594	X	-	0	0	0	0	0	0
00594	Y	+	0	0	0	0	0	0
00594	Y	-	0	0	0	0	0	0
00595	X	+	0	0	0	0	0	0
00595	X	-	0	0	0	0	0	0
00595	Y	+	0	0	0	0	0	0
00595	Y	-	0	0	0	0	0	0
00596	X	+	0	0	0	0	0	0
00596	X	-	0	0	0	0	0	0
00596	Y	+	0	0	0	0	0	0
00596	Y	-	0	0	0	0	0	0
00597	X	+	0	0	0	0	0	0
00597	X	-	0	0	0	0	0	0
00597	Y	+	0	0	0	0	0	0
00597	Y	-	0	0	0	0	0	0
00598	X	+	0	0	0	0	0	0
00598	X	-	0	0	0	0	0	0
00598	Y	+	0	0	0	0	0	0
00598	Y	-	0	0	0	0	0	0
00599	X	+	0	0	0	0	0	0
00599	X	-	0	0	0	0	0	0
00599	Y	+	0	0	0	0	0	0
00599	Y	-	0	0	0	0	0	0

Il presente documento è di proprietà della ANTEX GROUP srl.  
È Vietato la comunicazione a terzi o la riproduzione senza il permesso scritto della suddetta.  
La società tutela i propri diritti a rigore di Legge.

Comm.: C20-025-S05





PARCO EOLICO DI "BUDDUSO"

RELAZIONE DI CALCOLO E TABULATI OPERE EDILI SSEU



Ingegneria & Innovazione

30/06/2023

REV: 2

Pag. 293

Nodi - Reazioni vincolari esterne per eccentricità accidentale

IdNd	Dir	e	F <sub>x</sub>	F <sub>y</sub>	F <sub>z</sub>	M <sub>x</sub>	M <sub>y</sub>	M <sub>z</sub>
			[N]	[N]	[N]	[N-m]	[N-m]	[N-m]
00600	X	+	0	0	0	0	0	0
00600	X	-	0	0	0	0	0	0
00600	Y	+	0	0	0	0	0	0
00600	Y	-	0	0	0	0	0	0
00601	X	+	0	0	0	0	0	0
00601	X	-	0	0	0	0	0	0
00601	Y	+	0	0	0	0	0	0
00601	Y	-	0	0	0	0	0	0
00602	X	+	0	0	0	0	0	0
00602	X	-	0	0	0	0	0	0
00602	Y	+	0	0	0	0	0	0
00602	Y	-	0	0	0	0	0	0
00603	X	+	0	0	0	0	0	0
00603	X	-	0	0	0	0	0	0
00603	Y	+	0	0	0	0	0	0
00603	Y	-	0	0	0	0	0	0
00604	X	+	0	0	0	0	0	0
00604	X	-	0	0	0	0	0	0
00604	Y	+	0	0	0	0	0	0
00604	Y	-	0	0	0	0	0	0
00605	X	+	0	0	0	0	0	0
00605	X	-	0	0	0	0	0	0
00605	Y	+	0	0	0	0	0	0
00605	Y	-	0	0	0	0	0	0
00606	X	+	0	0	0	0	0	0
00606	X	-	0	0	0	0	0	0
00606	Y	+	0	0	0	0	0	0
00606	Y	-	0	0	0	0	0	0
00607	X	+	0	0	0	0	0	0
00607	X	-	0	0	0	0	0	0
00607	Y	+	0	0	0	0	0	0
00607	Y	-	0	0	0	0	0	0
00608	X	+	0	0	0	0	0	0
00608	X	-	0	0	0	0	0	0
00608	Y	+	0	0	0	0	0	0
00608	Y	-	0	0	0	0	0	0
00609	X	+	0	0	0	0	0	0
00609	X	-	0	0	0	0	0	0
00609	Y	+	0	0	0	0	0	0
00609	Y	-	0	0	0	0	0	0
00610	X	+	0	0	0	0	0	0
00610	X	-	0	0	0	0	0	0
00610	Y	+	0	0	0	0	0	0
00610	Y	-	0	0	0	0	0	0
00611	X	+	0	0	0	0	0	0
00611	X	-	0	0	0	0	0	0
00611	Y	+	0	0	0	0	0	0
00611	Y	-	0	0	0	0	0	0
00612	X	+	0	0	0	0	0	0
00612	X	-	0	0	0	0	0	0
00612	Y	+	0	0	0	0	0	0
00612	Y	-	0	0	0	0	0	0
00613	X	+	0	0	0	0	0	0
00613	X	-	0	0	0	0	0	0
00613	Y	+	0	0	0	0	0	0
00613	Y	-	0	0	0	0	0	0
00614	X	+	0	0	0	0	0	0
00614	X	-	0	0	0	0	0	0
00614	Y	+	0	0	0	0	0	0
00614	Y	-	0	0	0	0	0	0
00615	X	+	0	0	0	0	0	0
00615	X	-	0	0	0	0	0	0
00615	Y	+	0	0	0	0	0	0
00615	Y	-	0	0	0	0	0	0
00616	X	+	0	0	0	0	0	0
00616	X	-	0	0	0	0	0	0

Comm.: C20-025-S05

Il presente documento è di proprietà della ANTEX GROUP srl. È vietato la comunicazione a terzi o la riproduzione senza il permesso scritto della suddetta. La società tutela i propri diritti a rigore di Legge.





PARCO EOLICO DI "BUDDUSO"

RELAZIONE DI CALCOLO E TABULATI OPERE EDILI SSEU



Ingegneria & Innovazione

30/06/2023

REV: 2

Pag. 294

Nodi - Reazioni vincolari esterne per eccentricità accidentale

IdNd	Dir	e	F <sub>x</sub>	F <sub>y</sub>	F <sub>z</sub>	M <sub>x</sub>	M <sub>y</sub>	M <sub>z</sub>
			[N]	[N]	[N]	[N-m]	[N-m]	[N-m]
00616	Y	+	0	0	0	0	0	0
00616	Y	-	0	0	0	0	0	0
00617	X	+	0	0	0	0	0	0
00617	X	-	0	0	0	0	0	0
00617	Y	+	0	0	0	0	0	0
00617	Y	-	0	0	0	0	0	0
00618	X	+	0	0	0	0	0	0
00618	X	-	0	0	0	0	0	0
00618	Y	+	0	0	0	0	0	0
00618	Y	-	0	0	0	0	0	0
00619	X	+	0	0	0	0	0	0
00619	X	-	0	0	0	0	0	0
00619	Y	+	0	0	0	0	0	0
00619	Y	-	0	0	0	0	0	0
00620	X	+	0	0	0	0	0	0
00620	X	-	0	0	0	0	0	0
00620	Y	+	0	0	0	0	0	0
00620	Y	-	0	0	0	0	0	0
00621	X	+	0	0	0	0	0	0
00621	X	-	0	0	0	0	0	0
00621	Y	+	0	0	0	0	0	0
00621	Y	-	0	0	0	0	0	0
00622	X	+	0	0	0	0	0	0
00622	X	-	0	0	0	0	0	0
00622	Y	+	0	0	0	0	0	0
00622	Y	-	0	0	0	0	0	0
00623	X	+	0	0	0	0	0	0
00623	X	-	0	0	0	0	0	0
00623	Y	+	0	0	0	0	0	0
00623	Y	-	0	0	0	0	0	0
00624	X	+	0	0	0	0	0	0
00624	X	-	0	0	0	0	0	0
00624	Y	+	0	0	0	0	0	0
00624	Y	-	0	0	0	0	0	0
00625	X	+	0	0	0	0	0	0
00625	X	-	0	0	0	0	0	0
00625	Y	+	0	0	0	0	0	0
00625	Y	-	0	0	0	0	0	0
00626	X	+	0	0	0	0	0	0
00626	X	-	0	0	0	0	0	0
00626	Y	+	0	0	0	0	0	0
00626	Y	-	0	0	0	0	0	0
00627	X	+	0	0	0	0	0	0
00627	X	-	0	0	0	0	0	0
00627	Y	+	0	0	0	0	0	0
00627	Y	-	0	0	0	0	0	0
00628	X	+	0	0	0	0	0	0
00628	X	-	0	0	0	0	0	0
00628	Y	+	0	0	0	0	0	0
00628	Y	-	0	0	0	0	0	0
00629	X	+	0	0	0	0	0	0
00629	X	-	0	0	0	0	0	0
00629	Y	+	0	0	0	0	0	0
00629	Y	-	0	0	0	0	0	0
00630	X	+	0	0	0	0	0	0
00630	X	-	0	0	0	0	0	0
00630	Y	+	0	0	0	0	0	0
00630	Y	-	0	0	0	0	0	0
00631	X	+	0	0	0	0	0	0
00631	X	-	0	0	0	0	0	0
00631	Y	+	0	0	0	0	0	0
00631	Y	-	0	0	0	0	0	0
00632	X	+	0	0	0	0	0	0
00632	X	-	0	0	0	0	0	0
00632	Y	+	0	0	0	0	0	0
00632	Y	-	0	0	0	0	0	0

Comm.: C20-025-S05

Il presente documento è di proprietà della ANTEX GROUP srl. È vietato la comunicazione a terzi o la riproduzione senza il permesso scritto della suddetta. La società tutela i propri diritti a rigore di Legge.





PARCO EOLICO DI "BUDDUSO"

RELAZIONE DI CALCOLO E TABULATI OPERE EDILI SSEU



Ingegneria & Innovazione

30/06/2023

REV: 2

Pag. 295

Nodi - Reazioni vincolari esterne per eccentricità accidentale

IdNd	Dir	e	F <sub>x</sub>	F <sub>y</sub>	F <sub>z</sub>	M <sub>x</sub>	M <sub>y</sub>	M <sub>z</sub>
			[N]	[N]	[N]	[N-m]	[N-m]	[N-m]
00633	X	+	0	0	0	0	0	0
00633	X	-	0	0	0	0	0	0
00633	Y	+	0	0	0	0	0	0
00633	Y	-	0	0	0	0	0	0
00634	X	+	0	0	0	0	0	0
00634	X	-	0	0	0	0	0	0
00634	Y	+	0	0	0	0	0	0
00634	Y	-	0	0	0	0	0	0
00635	X	+	0	0	0	0	0	0
00635	X	-	0	0	0	0	0	0
00635	Y	+	0	0	0	0	0	0
00635	Y	-	0	0	0	0	0	0
00636	X	+	0	0	0	0	0	0
00636	X	-	0	0	0	0	0	0
00636	Y	+	0	0	0	0	0	0
00636	Y	-	0	0	0	0	0	0
00637	X	+	0	0	0	0	0	0
00637	X	-	0	0	0	0	0	0
00637	Y	+	0	0	0	0	0	0
00637	Y	-	0	0	0	0	0	0
00638	X	+	0	0	0	0	0	0
00638	X	-	0	0	0	0	0	0
00638	Y	+	0	0	0	0	0	0
00638	Y	-	0	0	0	0	0	0
00639	X	+	0	0	0	0	0	0
00639	X	-	0	0	0	0	0	0
00639	Y	+	0	0	0	0	0	0
00639	Y	-	0	0	0	0	0	0
00640	X	+	0	0	0	0	0	0
00640	X	-	0	0	0	0	0	0
00640	Y	+	0	0	0	0	0	0
00640	Y	-	0	0	0	0	0	0
00641	X	+	0	0	0	0	0	0
00641	X	-	0	0	0	0	0	0
00641	Y	+	0	0	0	0	0	0
00641	Y	-	0	0	0	0	0	0
00642	X	+	0	0	0	0	0	0
00642	X	-	0	0	0	0	0	0
00642	Y	+	0	0	0	0	0	0
00642	Y	-	0	0	0	0	0	0
00643	X	+	0	0	0	0	0	0
00643	X	-	0	0	0	0	0	0
00643	Y	+	0	0	0	0	0	0
00643	Y	-	0	0	0	0	0	0
00644	X	+	0	0	0	0	0	0
00644	X	-	0	0	0	0	0	0
00644	Y	+	0	0	0	0	0	0
00644	Y	-	0	0	0	0	0	0
00645	X	+	0	0	0	0	0	0
00645	X	-	0	0	0	0	0	0
00645	Y	+	0	0	0	0	0	0
00645	Y	-	0	0	0	0	0	0
00646	X	+	0	0	0	0	0	0
00646	X	-	0	0	0	0	0	0
00646	Y	+	0	0	0	0	0	0
00646	Y	-	0	0	0	0	0	0
00647	X	+	0	0	0	0	0	0
00647	X	-	0	0	0	0	0	0
00647	Y	+	0	0	0	0	0	0
00647	Y	-	0	0	0	0	0	0
00648	X	+	0	0	0	0	0	0
00648	X	-	0	0	0	0	0	0
00648	Y	+	0	0	0	0	0	0
00648	Y	-	0	0	0	0	0	0
00649	X	+	0	0	0	0	0	0
00649	X	-	0	0	0	0	0	0

Comm.: C20-025-S05

Il presente documento è di proprietà della ANTEX GROUP srl. È vietato la comunicazione a terzi o la riproduzione senza il permesso scritto della suddetta. La società tutela i propri diritti a rigore di Legge.





PARCO EOLICO DI "BUDDUSO"

RELAZIONE DI CALCOLO E TABULATI OPERE EDILI SSEU



Ingegneria & Innovazione

30/06/2023

REV: 2

Pag. 296

Nodi - Reazioni vincolari esterne per eccentricità accidentale

IdNd	Dir	e	F <sub>x</sub>	F <sub>y</sub>	F <sub>z</sub>	M <sub>x</sub>	M <sub>y</sub>	M <sub>z</sub>
			[N]	[N]	[N]	[N-m]	[N-m]	[N-m]
00649	Y	+	0	0	0	0	0	0
00649	Y	-	0	0	0	0	0	0
00650	X	+	0	0	0	0	0	0
00650	X	-	0	0	0	0	0	0
00650	Y	+	0	0	0	0	0	0
00650	Y	-	0	0	0	0	0	0
00651	X	+	0	0	0	0	0	0
00651	X	-	0	0	0	0	0	0
00651	Y	+	0	0	0	0	0	0
00651	Y	-	0	0	0	0	0	0
00652	X	+	0	0	0	0	0	0
00652	X	-	0	0	0	0	0	0
00652	Y	+	0	0	0	0	0	0
00652	Y	-	0	0	0	0	0	0
00653	X	+	0	0	0	0	0	0
00653	X	-	0	0	0	0	0	0
00653	Y	+	0	0	0	0	0	0
00653	Y	-	0	0	0	0	0	0
00654	X	+	0	0	0	0	0	0
00654	X	-	0	0	0	0	0	0
00654	Y	+	0	0	0	0	0	0
00654	Y	-	0	0	0	0	0	0
00655	X	+	0	0	0	0	0	0
00655	X	-	0	0	0	0	0	0
00655	Y	+	0	0	0	0	0	0
00655	Y	-	0	0	0	0	0	0
00656	X	+	0	0	0	0	0	0
00656	X	-	0	0	0	0	0	0
00656	Y	+	0	0	0	0	0	0
00656	Y	-	0	0	0	0	0	0
00657	X	+	0	0	0	0	0	0
00657	X	-	0	0	0	0	0	0
00657	Y	+	0	0	0	0	0	0
00657	Y	-	0	0	0	0	0	0
00658	X	+	0	0	0	0	0	0
00658	X	-	0	0	0	0	0	0
00658	Y	+	0	0	0	0	0	0
00658	Y	-	0	0	0	0	0	0
00659	X	+	0	0	0	0	0	0
00659	X	-	0	0	0	0	0	0
00659	Y	+	0	0	0	0	0	0
00659	Y	-	0	0	0	0	0	0
00660	X	+	0	0	0	0	0	0
00660	X	-	0	0	0	0	0	0
00660	Y	+	0	0	0	0	0	0
00660	Y	-	0	0	0	0	0	0
00661	X	+	0	0	0	0	0	0
00661	X	-	0	0	0	0	0	0
00661	Y	+	0	0	0	0	0	0
00661	Y	-	0	0	0	0	0	0
00662	X	+	0	0	0	0	0	0
00662	X	-	0	0	0	0	0	0
00662	Y	+	0	0	0	0	0	0
00662	Y	-	0	0	0	0	0	0
00663	X	+	0	0	0	0	0	0
00663	X	-	0	0	0	0	0	0
00663	Y	+	0	0	0	0	0	0
00663	Y	-	0	0	0	0	0	0
00664	X	+	0	0	0	0	0	0
00664	X	-	0	0	0	0	0	0
00664	Y	+	0	0	0	0	0	0
00664	Y	-	0	0	0	0	0	0
00665	X	+	0	0	0	0	0	0
00665	X	-	0	0	0	0	0	0
00665	Y	+	0	0	0	0	0	0
00665	Y	-	0	0	0	0	0	0

Comm.: C20-025-S05

Il presente documento è di proprietà della ANTEX GROUP srl. È vietato la comunicazione a terzi o la riproduzione senza il permesso scritto della suddetta. La società tutela i propri diritti a rigore di Legge.







PARCO EOLICO DI "BUDDUSO"

RELAZIONE DI CALCOLO E TABULATI OPERE EDILI SSEU



Ingegneria & Innovazione

30/06/2023

REV: 2

Pag. 297

Nodi - Reazioni vincolari esterne per eccentricità accidentale

IdNd	Dir	e	F <sub>x</sub>	F <sub>y</sub>	F <sub>z</sub>	M <sub>x</sub>	M <sub>y</sub>	M <sub>z</sub>
			[N]	[N]	[N]	[N-m]	[N-m]	[N-m]
00666	X	+	0	0	0	0	0	0
00666	X	-	0	0	0	0	0	0
00666	Y	+	0	0	0	0	0	0
00666	Y	-	0	0	0	0	0	0
00667	X	+	0	0	0	0	0	0
00667	X	-	0	0	0	0	0	0
00667	Y	+	0	0	0	0	0	0
00667	Y	-	0	0	0	0	0	0
00668	X	+	0	0	0	0	0	0
00668	X	-	0	0	0	0	0	0
00668	Y	+	0	0	0	0	0	0
00668	Y	-	0	0	0	0	0	0
00669	X	+	0	0	0	0	0	0
00669	X	-	0	0	0	0	0	0
00669	Y	+	0	0	0	0	0	0
00669	Y	-	0	0	0	0	0	0
00670	X	+	0	0	0	0	0	0
00670	X	-	0	0	0	0	0	0
00670	Y	+	0	0	0	0	0	0
00670	Y	-	0	0	0	0	0	0
00671	X	+	0	0	0	0	0	0
00671	X	-	0	0	0	0	0	0
00671	Y	+	0	0	0	0	0	0
00671	Y	-	0	0	0	0	0	0
00672	X	+	0	0	0	0	0	0
00672	X	-	0	0	0	0	0	0
00672	Y	+	0	0	0	0	0	0
00672	Y	-	0	0	0	0	0	0
00673	X	+	0	0	0	0	0	0
00673	X	-	0	0	0	0	0	0
00673	Y	+	0	0	0	0	0	0
00673	Y	-	0	0	0	0	0	0
00674	X	+	0	0	0	0	0	0
00674	X	-	0	0	0	0	0	0
00674	Y	+	0	0	0	0	0	0
00674	Y	-	0	0	0	0	0	0
00675	X	+	0	0	0	0	0	0
00675	X	-	0	0	0	0	0	0
00675	Y	+	0	0	0	0	0	0
00675	Y	-	0	0	0	0	0	0
00676	X	+	0	0	0	0	0	0
00676	X	-	0	0	0	0	0	0
00676	Y	+	0	0	0	0	0	0
00676	Y	-	0	0	0	0	0	0
00677	X	+	0	0	0	0	0	0
00677	X	-	0	0	0	0	0	0
00677	Y	+	0	0	0	0	0	0
00677	Y	-	0	0	0	0	0	0
00678	X	+	0	0	0	0	0	0
00678	X	-	0	0	0	0	0	0
00678	Y	+	0	0	0	0	0	0
00678	Y	-	0	0	0	0	0	0
00679	X	+	0	0	0	0	0	0
00679	X	-	0	0	0	0	0	0
00679	Y	+	0	0	0	0	0	0
00679	Y	-	0	0	0	0	0	0
00680	X	+	0	0	0	0	0	0
00680	X	-	0	0	0	0	0	0
00680	Y	+	0	0	0	0	0	0
00680	Y	-	0	0	0	0	0	0
00681	X	+	0	0	0	0	0	0
00681	X	-	0	0	0	0	0	0
00681	Y	+	0	0	0	0	0	0
00681	Y	-	0	0	0	0	0	0
00682	X	+	0	0	0	0	0	0
00682	X	-	0	0	0	0	0	0

Comm.: C20-025-S05

Il presente documento è di proprietà della ANTEX GROUP srl. È vietato la comunicazione a terzi o la riproduzione senza il permesso scritto della suddetta. La società tutela i propri diritti a rigore di Legge.





PARCO EOLICO DI "BUDDUSO"

RELAZIONE DI CALCOLO E TABULATI OPERE EDILI SSEU



Ingegneria & Innovazione

30/06/2023

REV: 2

Pag. 298

Nodi - Reazioni vincolari esterne per eccentricità accidentale

IdNd	Dir	e	F <sub>x</sub>	F <sub>y</sub>	F <sub>z</sub>	M <sub>x</sub>	M <sub>y</sub>	M <sub>z</sub>
			[N]	[N]	[N]	[N-m]	[N-m]	[N-m]
00682	Y	+	0	0	0	0	0	0
00682	Y	-	0	0	0	0	0	0
00683	X	+	0	0	0	0	0	0
00683	X	-	0	0	0	0	0	0
00683	Y	+	0	0	0	0	0	0
00683	Y	-	0	0	0	0	0	0
00684	X	+	0	0	0	0	0	0
00684	X	-	0	0	0	0	0	0
00684	Y	+	0	0	0	0	0	0
00684	Y	-	0	0	0	0	0	0
00685	X	+	0	0	0	0	0	0
00685	X	-	0	0	0	0	0	0
00685	Y	+	0	0	0	0	0	0
00685	Y	-	0	0	0	0	0	0
00686	X	+	0	0	0	0	0	0
00686	X	-	0	0	0	0	0	0
00686	Y	+	0	0	0	0	0	0
00686	Y	-	0	0	0	0	0	0
00687	X	+	0	0	0	0	0	0
00687	X	-	0	0	0	0	0	0
00687	Y	+	0	0	0	0	0	0
00687	Y	-	0	0	0	0	0	0
00688	X	+	0	0	0	0	0	0
00688	X	-	0	0	0	0	0	0
00688	Y	+	0	0	0	0	0	0
00688	Y	-	0	0	0	0	0	0
00689	X	+	0	0	0	0	0	0
00689	X	-	0	0	0	0	0	0
00689	Y	+	0	0	0	0	0	0
00689	Y	-	0	0	0	0	0	0
00690	X	+	0	0	0	0	0	0
00690	X	-	0	0	0	0	0	0
00690	Y	+	0	0	0	0	0	0
00690	Y	-	0	0	0	0	0	0
00691	X	+	0	0	0	0	0	0
00691	X	-	0	0	0	0	0	0
00691	Y	+	0	0	0	0	0	0
00691	Y	-	0	0	0	0	0	0
00692	X	+	0	0	0	0	0	0
00692	X	-	0	0	0	0	0	0
00692	Y	+	0	0	0	0	0	0
00692	Y	-	0	0	0	0	0	0
00693	X	+	0	0	0	0	0	0
00693	X	-	0	0	0	0	0	0
00693	Y	+	0	0	0	0	0	0
00693	Y	-	0	0	0	0	0	0
00694	X	+	0	0	0	0	0	0
00694	X	-	0	0	0	0	0	0
00694	Y	+	0	0	0	0	0	0
00694	Y	-	0	0	0	0	0	0
00695	X	+	0	0	0	0	0	0
00695	X	-	0	0	0	0	0	0
00695	Y	+	0	0	0	0	0	0
00695	Y	-	0	0	0	0	0	0
00696	X	+	0	0	0	0	0	0
00696	X	-	0	0	0	0	0	0
00696	Y	+	0	0	0	0	0	0
00696	Y	-	0	0	0	0	0	0
00697	X	+	0	0	0	0	0	0
00697	X	-	0	0	0	0	0	0
00697	Y	+	0	0	0	0	0	0
00697	Y	-	0	0	0	0	0	0
00698	X	+	0	0	0	0	0	0
00698	X	-	0	0	0	0	0	0
00698	Y	+	0	0	0	0	0	0
00698	Y	-	0	0	0	0	0	0

Comm.: C20-025-S05

Il presente documento è di proprietà della ANTEX GROUP srl. È vietato la comunicazione a terzi o la riproduzione senza il permesso scritto della suddetta. La società tutela i propri diritti a rigore di Legge.





PARCO EOLICO DI "BUDDUSO"

RELAZIONE DI CALCOLO E TABULATI OPERE EDILI  
SSEU



Ingegneria & Innovazione

30/06/2023

REV: 2

Pag. 299

Nodi - Reazioni vincolari esterne per eccentricità accidentale

IdNd	Dir	e	F <sub>x</sub>	F <sub>y</sub>	F <sub>z</sub>	M <sub>x</sub>	M <sub>y</sub>	M <sub>z</sub>
			[N]	[N]	[N]	[N-m]	[N-m]	[N-m]
00699	X	+	0	0	0	0	0	0
00699	X	-	0	0	0	0	0	0
00699	Y	+	0	0	0	0	0	0
00699	Y	-	0	0	0	0	0	0
00700	X	+	0	0	0	0	0	0
00700	X	-	0	0	0	0	0	0
00700	Y	+	0	0	0	0	0	0
00700	Y	-	0	0	0	0	0	0
00701	X	+	0	0	0	0	0	0
00701	X	-	0	0	0	0	0	0
00701	Y	+	0	0	0	0	0	0
00701	Y	-	0	0	0	0	0	0
00702	X	+	0	0	0	0	0	0
00702	X	-	0	0	0	0	0	0
00702	Y	+	0	0	0	0	0	0
00702	Y	-	0	0	0	0	0	0
00703	X	+	0	0	0	0	0	0
00703	X	-	0	0	0	0	0	0
00703	Y	+	0	0	0	0	0	0
00703	Y	-	0	0	0	0	0	0
00704	X	+	0	0	0	0	0	0
00704	X	-	0	0	0	0	0	0
00704	Y	+	0	0	0	0	0	0
00704	Y	-	0	0	0	0	0	0
00705	X	+	0	0	0	0	0	0
00705	X	-	0	0	0	0	0	0
00705	Y	+	0	0	0	0	0	0
00705	Y	-	0	0	0	0	0	0
00706	X	+	0	0	0	0	0	0
00706	X	-	0	0	0	0	0	0
00706	Y	+	0	0	0	0	0	0
00706	Y	-	0	0	0	0	0	0
00707	X	+	0	0	0	0	0	0
00707	X	-	0	0	0	0	0	0
00707	Y	+	0	0	0	0	0	0
00707	Y	-	0	0	0	0	0	0
00708	X	+	0	0	0	0	0	0
00708	X	-	0	0	0	0	0	0
00708	Y	+	0	0	0	0	0	0
00708	Y	-	0	0	0	0	0	0
00709	X	+	0	0	0	0	0	0
00709	X	-	0	0	0	0	0	0
00709	Y	+	0	0	0	0	0	0
00709	Y	-	0	0	0	0	0	0
00710	X	+	0	0	0	0	0	0
00710	X	-	0	0	0	0	0	0
00710	Y	+	0	0	0	0	0	0
00710	Y	-	0	0	0	0	0	0
00711	X	+	0	0	0	0	0	0
00711	X	-	0	0	0	0	0	0
00711	Y	+	0	0	0	0	0	0
00711	Y	-	0	0	0	0	0	0
00712	X	+	0	0	0	0	0	0
00712	X	-	0	0	0	0	0	0
00712	Y	+	0	0	0	0	0	0
00712	Y	-	0	0	0	0	0	0
00713	X	+	0	0	0	0	0	0
00713	X	-	0	0	0	0	0	0
00713	Y	+	0	0	0	0	0	0
00713	Y	-	0	0	0	0	0	0
00714	X	+	0	0	0	0	0	0
00714	X	-	0	0	0	0	0	0
00714	Y	+	0	0	0	0	0	0
00714	Y	-	0	0	0	0	0	0
00715	X	+	0	0	0	0	0	0
00715	X	-	0	0	0	0	0	0

Comm.: C20-025-S05

Il presente documento è di proprietà della ANTEX GROUP srl.  
È vietato la comunicazione a terzi o la riproduzione senza il permesso scritto della suddetta.  
La società tutela i propri diritti a rigore di Legge.





PARCO EOLICO DI "BUDDUSO"

RELAZIONE DI CALCOLO E TABULATI OPERE EDILI SSEU



Ingegneria & Innovazione

30/06/2023

REV: 2

Pag. 300

Nodi - Reazioni vincolari esterne per eccentricità accidentale

IdNd	Dir	e	F <sub>x</sub>	F <sub>y</sub>	F <sub>z</sub>	M <sub>x</sub>	M <sub>y</sub>	M <sub>z</sub>
			[N]	[N]	[N]	[N-m]	[N-m]	[N-m]
00715	Y	+	0	0	0	0	0	0
00715	Y	-	0	0	0	0	0	0
00716	X	+	0	0	0	0	0	0
00716	X	-	0	0	0	0	0	0
00716	Y	+	0	0	0	0	0	0
00716	Y	-	0	0	0	0	0	0
00717	X	+	0	0	0	0	0	0
00717	X	-	0	0	0	0	0	0
00717	Y	+	0	0	0	0	0	0
00717	Y	-	0	0	0	0	0	0
00718	X	+	0	0	0	0	0	0
00718	X	-	0	0	0	0	0	0
00718	Y	+	0	0	0	0	0	0
00718	Y	-	0	0	0	0	0	0
00719	X	+	0	0	0	0	0	0
00719	X	-	0	0	0	0	0	0
00719	Y	+	0	0	0	0	0	0
00719	Y	-	0	0	0	0	0	0
00720	X	+	0	0	0	0	0	0
00720	X	-	0	0	0	0	0	0
00720	Y	+	0	0	0	0	0	0
00720	Y	-	0	0	0	0	0	0
00721	X	+	0	0	0	0	0	0
00721	X	-	0	0	0	0	0	0
00721	Y	+	0	0	0	0	0	0
00721	Y	-	0	0	0	0	0	0
00722	X	+	0	0	0	0	0	0
00722	X	-	0	0	0	0	0	0
00722	Y	+	0	0	0	0	0	0
00722	Y	-	0	0	0	0	0	0
00723	X	+	0	0	0	0	0	0
00723	X	-	0	0	0	0	0	0
00723	Y	+	0	0	0	0	0	0
00723	Y	-	0	0	0	0	0	0
00724	X	+	0	0	0	0	0	0
00724	X	-	0	0	0	0	0	0
00724	Y	+	0	0	0	0	0	0
00724	Y	-	0	0	0	0	0	0
00725	X	+	0	0	0	0	0	0
00725	X	-	0	0	0	0	0	0
00725	Y	+	0	0	0	0	0	0
00725	Y	-	0	0	0	0	0	0
00726	X	+	0	0	0	0	0	0
00726	X	-	0	0	0	0	0	0
00726	Y	+	0	0	0	0	0	0
00726	Y	-	0	0	0	0	0	0
00727	X	+	0	0	0	0	0	0
00727	X	-	0	0	0	0	0	0
00727	Y	+	0	0	0	0	0	0
00727	Y	-	0	0	0	0	0	0
00728	X	+	0	0	0	0	0	0
00728	X	-	0	0	0	0	0	0
00728	Y	+	0	0	0	0	0	0
00728	Y	-	0	0	0	0	0	0
00729	X	+	0	0	0	0	0	0
00729	X	-	0	0	0	0	0	0
00729	Y	+	0	0	0	0	0	0
00729	Y	-	0	0	0	0	0	0
00730	X	+	0	0	0	0	0	0
00730	X	-	0	0	0	0	0	0
00730	Y	+	0	0	0	0	0	0
00730	Y	-	0	0	0	0	0	0
00731	X	+	0	0	0	0	0	0
00731	X	-	0	0	0	0	0	0
00731	Y	+	0	0	0	0	0	0
00731	Y	-	0	0	0	0	0	0

Il presente documento è di proprietà della ANTEX GROUP srl.  
È Vietato la comunicazione a terzi o la riproduzione senza il permesso scritto della suddetta.  
La società tutela i propri diritti a rigore di Legge.

Comm.: C20-025-S05





PARCO EOLICO DI "BUDDUSO"

RELAZIONE DI CALCOLO E TABULATI OPERE EDILI  
SSEU



Ingegneria & Innovazione

30/06/2023

REV: 2

Pag. 301

Nodi - Reazioni vincolari esterne per eccentricità accidentale

IdNd	Dir	e	F <sub>x</sub>	F <sub>y</sub>	F <sub>z</sub>	M <sub>x</sub>	M <sub>y</sub>	M <sub>z</sub>
			[N]	[N]	[N]	[N-m]	[N-m]	[N-m]
00732	X	+	0	0	0	0	0	0
00732	X	-	0	0	0	0	0	0
00732	Y	+	0	0	0	0	0	0
00732	Y	-	0	0	0	0	0	0
00733	X	+	0	0	0	0	0	0
00733	X	-	0	0	0	0	0	0
00733	Y	+	0	0	0	0	0	0
00733	Y	-	0	0	0	0	0	0
00734	X	+	0	0	0	0	0	0
00734	X	-	0	0	0	0	0	0
00734	Y	+	0	0	0	0	0	0
00734	Y	-	0	0	0	0	0	0
00735	X	+	0	0	0	0	0	0
00735	X	-	0	0	0	0	0	0
00735	Y	+	0	0	0	0	0	0
00735	Y	-	0	0	0	0	0	0
00736	X	+	0	0	0	0	0	0
00736	X	-	0	0	0	0	0	0
00736	Y	+	0	0	0	0	0	0
00736	Y	-	0	0	0	0	0	0
00737	X	+	0	0	0	0	0	0
00737	X	-	0	0	0	0	0	0
00737	Y	+	0	0	0	0	0	0
00737	Y	-	0	0	0	0	0	0
00738	X	+	0	0	0	0	0	0
00738	X	-	0	0	0	0	0	0
00738	Y	+	0	0	0	0	0	0
00738	Y	-	0	0	0	0	0	0
00739	X	+	0	0	0	0	0	0
00739	X	-	0	0	0	0	0	0
00739	Y	+	0	0	0	0	0	0
00739	Y	-	0	0	0	0	0	0
00740	X	+	0	0	0	0	0	0
00740	X	-	0	0	0	0	0	0
00740	Y	+	0	0	0	0	0	0
00740	Y	-	0	0	0	0	0	0
00741	X	+	0	0	0	0	0	0
00741	X	-	0	0	0	0	0	0
00741	Y	+	0	0	0	0	0	0
00741	Y	-	0	0	0	0	0	0
00742	X	+	0	0	0	0	0	0
00742	X	-	0	0	0	0	0	0
00742	Y	+	0	0	0	0	0	0
00742	Y	-	0	0	0	0	0	0
00743	X	+	0	0	0	0	0	0
00743	X	-	0	0	0	0	0	0
00743	Y	+	0	0	0	0	0	0
00743	Y	-	0	0	0	0	0	0
00744	X	+	0	0	0	0	0	0
00744	X	-	0	0	0	0	0	0
00744	Y	+	0	0	0	0	0	0
00744	Y	-	0	0	0	0	0	0
00745	X	+	0	0	0	0	0	0
00745	X	-	0	0	0	0	0	0
00745	Y	+	0	0	0	0	0	0
00745	Y	-	0	0	0	0	0	0
00746	X	+	0	0	0	0	0	0
00746	X	-	0	0	0	0	0	0
00746	Y	+	0	0	0	0	0	0
00746	Y	-	0	0	0	0	0	0
00747	X	+	0	0	0	0	0	0
00747	X	-	0	0	0	0	0	0
00747	Y	+	0	0	0	0	0	0
00747	Y	-	0	0	0	0	0	0
00748	X	+	0	0	0	0	0	0
00748	X	-	0	0	0	0	0	0

Comm.: C20-025-S05

Il presente documento è di proprietà della ANTEX GROUP srl.  
È vietato la comunicazione a terzi o la riproduzione senza il permesso scritto della suddetta.  
La società tutela i propri diritti a rigore di Legge.





PARCO EOLICO DI "BUDDUSO"

RELAZIONE DI CALCOLO E TABULATI OPERE EDILI SSEU



Ingegneria & Innovazione

30/06/2023

REV: 2

Pag. 302

Nodi - Reazioni vincolari esterne per eccentricità accidentale

IdNd	Dir	e	F <sub>x</sub>	F <sub>y</sub>	F <sub>z</sub>	M <sub>x</sub>	M <sub>y</sub>	M <sub>z</sub>
			[N]	[N]	[N]	[N-m]	[N-m]	[N-m]
00748	Y	+	0	0	0	0	0	0
00748	Y	-	0	0	0	0	0	0
00749	X	+	0	0	0	0	0	0
00749	X	-	0	0	0	0	0	0
00749	Y	+	0	0	0	0	0	0
00749	Y	-	0	0	0	0	0	0
00750	X	+	0	0	0	0	0	0
00750	X	-	0	0	0	0	0	0
00750	Y	+	0	0	0	0	0	0
00750	Y	-	0	0	0	0	0	0
00751	X	+	0	0	0	0	0	0
00751	X	-	0	0	0	0	0	0
00751	Y	+	0	0	0	0	0	0
00751	Y	-	0	0	0	0	0	0
00752	X	+	0	0	0	0	0	0
00752	X	-	0	0	0	0	0	0
00752	Y	+	0	0	0	0	0	0
00752	Y	-	0	0	0	0	0	0
00753	X	+	0	0	0	0	0	0
00753	X	-	0	0	0	0	0	0
00753	Y	+	0	0	0	0	0	0
00753	Y	-	0	0	0	0	0	0
00754	X	+	0	0	0	0	0	0
00754	X	-	0	0	0	0	0	0
00754	Y	+	0	0	0	0	0	0
00754	Y	-	0	0	0	0	0	0
00755	X	+	0	0	0	0	0	0
00755	X	-	0	0	0	0	0	0
00755	Y	+	0	0	0	0	0	0
00755	Y	-	0	0	0	0	0	0
00756	X	+	0	0	0	0	0	0
00756	X	-	0	0	0	0	0	0
00756	Y	+	0	0	0	0	0	0
00756	Y	-	0	0	0	0	0	0
00757	X	+	0	0	0	0	0	0
00757	X	-	0	0	0	0	0	0
00757	Y	+	0	0	0	0	0	0
00757	Y	-	0	0	0	0	0	0
00758	X	+	0	0	0	0	0	0
00758	X	-	0	0	0	0	0	0
00758	Y	+	0	0	0	0	0	0
00758	Y	-	0	0	0	0	0	0
00759	X	+	0	0	0	0	0	0
00759	X	-	0	0	0	0	0	0
00759	Y	+	0	0	0	0	0	0
00759	Y	-	0	0	0	0	0	0
00760	X	+	0	0	0	0	0	0
00760	X	-	0	0	0	0	0	0
00760	Y	+	0	0	0	0	0	0
00760	Y	-	0	0	0	0	0	0
00761	X	+	0	0	0	0	0	0
00761	X	-	0	0	0	0	0	0
00761	Y	+	0	0	0	0	0	0
00761	Y	-	0	0	0	0	0	0
00762	X	+	0	0	0	0	0	0
00762	X	-	0	0	0	0	0	0
00762	Y	+	0	0	0	0	0	0
00762	Y	-	0	0	0	0	0	0
00763	X	+	0	0	0	0	0	0
00763	X	-	0	0	0	0	0	0
00763	Y	+	0	0	0	0	0	0
00763	Y	-	0	0	0	0	0	0
00764	X	+	0	0	0	0	0	0
00764	X	-	0	0	0	0	0	0
00764	Y	+	0	0	0	0	0	0
00764	Y	-	0	0	0	0	0	0

Comm.: C20-025-S05

Il presente documento è di proprietà della ANTEX GROUP srl. È vietato la comunicazione a terzi o la riproduzione senza il permesso scritto della suddetta. La società tutela i propri diritti a rigore di Legge.





PARCO EOLICO DI "BUDDUSO"

RELAZIONE DI CALCOLO E TABULATI OPERE EDILI SSEU



Ingegneria & Innovazione

30/06/2023

REV: 2

Pag. 303

Nodi - Reazioni vincolari esterne per eccentricità accidentale

IdNd	Dir	e	F <sub>x</sub>	F <sub>y</sub>	F <sub>z</sub>	M <sub>x</sub>	M <sub>y</sub>	M <sub>z</sub>
			[N]	[N]	[N]	[N-m]	[N-m]	[N-m]
00765	X	+	0	0	0	0	0	0
00765	X	-	0	0	0	0	0	0
00765	Y	+	0	0	0	0	0	0
00765	Y	-	0	0	0	0	0	0
00766	X	+	0	0	0	0	0	0
00766	X	-	0	0	0	0	0	0
00766	Y	+	0	0	0	0	0	0
00766	Y	-	0	0	0	0	0	0
00767	X	+	0	0	0	0	0	0
00767	X	-	0	0	0	0	0	0
00767	Y	+	0	0	0	0	0	0
00767	Y	-	0	0	0	0	0	0
00768	X	+	0	0	0	0	0	0
00768	X	-	0	0	0	0	0	0
00768	Y	+	0	0	0	0	0	0
00768	Y	-	0	0	0	0	0	0
00769	X	+	0	0	0	0	0	0
00769	X	-	0	0	0	0	0	0
00769	Y	+	0	0	0	0	0	0
00769	Y	-	0	0	0	0	0	0
00770	X	+	0	0	0	0	0	0
00770	X	-	0	0	0	0	0	0
00770	Y	+	0	0	0	0	0	0
00770	Y	-	0	0	0	0	0	0
00771	X	+	0	0	0	0	0	0
00771	X	-	0	0	0	0	0	0
00771	Y	+	0	0	0	0	0	0
00771	Y	-	0	0	0	0	0	0
00772	X	+	0	0	0	0	0	0
00772	X	-	0	0	0	0	0	0
00772	Y	+	0	0	0	0	0	0
00772	Y	-	0	0	0	0	0	0
00773	X	+	0	0	0	0	0	0
00773	X	-	0	0	0	0	0	0
00773	Y	+	0	0	0	0	0	0
00773	Y	-	0	0	0	0	0	0
00774	X	+	0	0	0	0	0	0
00774	X	-	0	0	0	0	0	0
00774	Y	+	0	0	0	0	0	0
00774	Y	-	0	0	0	0	0	0
00775	X	+	0	0	0	0	0	0
00775	X	-	0	0	0	0	0	0
00775	Y	+	0	0	0	0	0	0
00775	Y	-	0	0	0	0	0	0
00776	X	+	0	0	0	0	0	0
00776	X	-	0	0	0	0	0	0
00776	Y	+	0	0	0	0	0	0
00776	Y	-	0	0	0	0	0	0
00777	X	+	0	0	0	0	0	0
00777	X	-	0	0	0	0	0	0
00777	Y	+	0	0	0	0	0	0
00777	Y	-	0	0	0	0	0	0
00778	X	+	0	0	0	0	0	0
00778	X	-	0	0	0	0	0	0
00778	Y	+	0	0	0	0	0	0
00778	Y	-	0	0	0	0	0	0
00779	X	+	0	0	0	0	0	0
00779	X	-	0	0	0	0	0	0
00779	Y	+	0	0	0	0	0	0
00779	Y	-	0	0	0	0	0	0
00780	X	+	0	0	0	0	0	0
00780	X	-	0	0	0	0	0	0
00780	Y	+	0	0	0	0	0	0
00780	Y	-	0	0	0	0	0	0
00781	X	+	0	0	0	0	0	0
00781	X	-	0	0	0	0	0	0

Comm.: C20-025-S05

Il presente documento è di proprietà della ANTEX GROUP srl. È vietato la comunicazione a terzi o la riproduzione senza il permesso scritto della suddetta. La società tutela i propri diritti a rigore di Legge.





PARCO EOLICO DI "BUDDUSO"

RELAZIONE DI CALCOLO E TABULATI OPERE EDILI  
SSEU



Ingegneria & Innovazione

30/06/2023

REV: 2

Pag. 304

Nodi - Reazioni vincolari esterne per eccentricità accidentale

IdNd	Dir	e	F <sub>x</sub>	F <sub>y</sub>	F <sub>z</sub>	M <sub>x</sub>	M <sub>y</sub>	M <sub>z</sub>
			[N]	[N]	[N]	[N-m]	[N-m]	[N-m]
00781	Y	+	0	0	0	0	0	0
00781	Y	-	0	0	0	0	0	0
00782	X	+	0	0	0	0	0	0
00782	X	-	0	0	0	0	0	0
00782	Y	+	0	0	0	0	0	0
00782	Y	-	0	0	0	0	0	0
00783	X	+	0	0	0	0	0	0
00783	X	-	0	0	0	0	0	0
00783	Y	+	0	0	0	0	0	0
00783	Y	-	0	0	0	0	0	0
00784	X	+	0	0	0	0	0	0
00784	X	-	0	0	0	0	0	0
00784	Y	+	0	0	0	0	0	0
00784	Y	-	0	0	0	0	0	0
00785	X	+	0	0	0	0	0	0
00785	X	-	0	0	0	0	0	0
00785	Y	+	0	0	0	0	0	0
00785	Y	-	0	0	0	0	0	0
00786	X	+	0	0	0	0	0	0
00786	X	-	0	0	0	0	0	0
00786	Y	+	0	0	0	0	0	0
00786	Y	-	0	0	0	0	0	0
00787	X	+	0	0	0	0	0	0
00787	X	-	0	0	0	0	0	0
00787	Y	+	0	0	0	0	0	0
00787	Y	-	0	0	0	0	0	0
00788	X	+	0	0	0	0	0	0
00788	X	-	0	0	0	0	0	0
00788	Y	+	0	0	0	0	0	0
00788	Y	-	0	0	0	0	0	0
00789	X	+	0	0	0	0	0	0
00789	X	-	0	0	0	0	0	0
00789	Y	+	0	0	0	0	0	0
00789	Y	-	0	0	0	0	0	0
00790	X	+	0	0	0	0	0	0
00790	X	-	0	0	0	0	0	0
00790	Y	+	0	0	0	0	0	0
00790	Y	-	0	0	0	0	0	0
00791	X	+	0	0	0	0	0	0
00791	X	-	0	0	0	0	0	0
00791	Y	+	0	0	0	0	0	0
00791	Y	-	0	0	0	0	0	0
00792	X	+	0	0	0	0	0	0
00792	X	-	0	0	0	0	0	0
00792	Y	+	0	0	0	0	0	0
00792	Y	-	0	0	0	0	0	0
00793	X	+	0	0	0	0	0	0
00793	X	-	0	0	0	0	0	0
00793	Y	+	0	0	0	0	0	0
00793	Y	-	0	0	0	0	0	0
00794	X	+	0	0	0	0	0	0
00794	X	-	0	0	0	0	0	0
00794	Y	+	0	0	0	0	0	0
00794	Y	-	0	0	0	0	0	0
00795	X	+	0	0	0	0	0	0
00795	X	-	0	0	0	0	0	0
00795	Y	+	0	0	0	0	0	0
00795	Y	-	0	0	0	0	0	0
00796	X	+	0	0	0	0	0	0
00796	X	-	0	0	0	0	0	0
00796	Y	+	0	0	0	0	0	0
00796	Y	-	0	0	0	0	0	0
00797	X	+	0	0	0	0	0	0
00797	X	-	0	0	0	0	0	0
00797	Y	+	0	0	0	0	0	0
00797	Y	-	0	0	0	0	0	0

Comm.: C20-025-S05

Il presente documento è di proprietà della ANTEX GROUP srl.  
È vietato la comunicazione a terzi o la riproduzione senza il permesso scritto della suddetta.  
La società tutela i propri diritti a rigore di Legge.







PARCO EOLICO DI "BUDDUSO"

RELAZIONE DI CALCOLO E TABULATI OPERE EDILI  
SSEU



Ingegneria & Innovazione

30/06/2023

REV: 2

Pag. 305

Nodi - Reazioni vincolari esterne per eccentricità accidentale

IdNd	Dir	e	F <sub>x</sub>	F <sub>y</sub>	F <sub>z</sub>	M <sub>x</sub>	M <sub>y</sub>	M <sub>z</sub>
			[N]	[N]	[N]	[N-m]	[N-m]	[N-m]
00798	X	+	0	0	0	0	0	0
00798	X	-	0	0	0	0	0	0
00798	Y	+	0	0	0	0	0	0
00798	Y	-	0	0	0	0	0	0
00799	X	+	0	0	0	0	0	0
00799	X	-	0	0	0	0	0	0
00799	Y	+	0	0	0	0	0	0
00799	Y	-	0	0	0	0	0	0
00800	X	+	0	0	0	0	0	0
00800	X	-	0	0	0	0	0	0
00800	Y	+	0	0	0	0	0	0
00800	Y	-	0	0	0	0	0	0
00801	X	+	0	0	0	0	0	0
00801	X	-	0	0	0	0	0	0
00801	Y	+	0	0	0	0	0	0
00801	Y	-	0	0	0	0	0	0
00802	X	+	0	0	0	0	0	0
00802	X	-	0	0	0	0	0	0
00802	Y	+	0	0	0	0	0	0
00802	Y	-	0	0	0	0	0	0
00803	X	+	0	0	0	0	0	0
00803	X	-	0	0	0	0	0	0
00803	Y	+	0	0	0	0	0	0
00803	Y	-	0	0	0	0	0	0
00804	X	+	0	0	0	0	0	0
00804	X	-	0	0	0	0	0	0
00804	Y	+	0	0	0	0	0	0
00804	Y	-	0	0	0	0	0	0
00805	X	+	0	0	0	0	0	0
00805	X	-	0	0	0	0	0	0
00805	Y	+	0	0	0	0	0	0
00805	Y	-	0	0	0	0	0	0
00806	X	+	0	0	0	0	0	0
00806	X	-	0	0	0	0	0	0
00806	Y	+	0	0	0	0	0	0
00806	Y	-	0	0	0	0	0	0
00807	X	+	0	0	0	0	0	0
00807	X	-	0	0	0	0	0	0
00807	Y	+	0	0	0	0	0	0
00807	Y	-	0	0	0	0	0	0
00808	X	+	0	0	0	0	0	0
00808	X	-	0	0	0	0	0	0
00808	Y	+	0	0	0	0	0	0
00808	Y	-	0	0	0	0	0	0
00809	X	+	0	0	0	0	0	0
00809	X	-	0	0	0	0	0	0
00809	Y	+	0	0	0	0	0	0
00809	Y	-	0	0	0	0	0	0
00810	X	+	0	0	0	0	0	0
00810	X	-	0	0	0	0	0	0
00810	Y	+	0	0	0	0	0	0
00810	Y	-	0	0	0	0	0	0
00811	X	+	0	0	0	0	0	0
00811	X	-	0	0	0	0	0	0
00811	Y	+	0	0	0	0	0	0
00811	Y	-	0	0	0	0	0	0
00812	X	+	0	0	0	0	0	0
00812	X	-	0	0	0	0	0	0
00812	Y	+	0	0	0	0	0	0
00812	Y	-	0	0	0	0	0	0
00813	X	+	0	0	0	0	0	0
00813	X	-	0	0	0	0	0	0
00813	Y	+	0	0	0	0	0	0
00813	Y	-	0	0	0	0	0	0
00814	X	+	0	0	0	0	0	0
00814	X	-	0	0	0	0	0	0

Comm.: C20-025-S05

Il presente documento è di proprietà della ANTEX GROUP srl.  
È vietato la comunicazione a terzi o la riproduzione senza il permesso scritto della suddetta.  
La società tutela i propri diritti a rigore di Legge.





PARCO EOLICO DI "BUDDUSO"

RELAZIONE DI CALCOLO E TABULATI OPERE EDILI SSEU



Ingegneria & Innovazione

30/06/2023

REV: 2

Pag. 306

Nodi - Reazioni vincolari esterne per eccentricità accidentale

IdNd	Dir	e	F <sub>x</sub>	F <sub>y</sub>	F <sub>z</sub>	M <sub>x</sub>	M <sub>y</sub>	M <sub>z</sub>
			[N]	[N]	[N]	[N-m]	[N-m]	[N-m]
00814	Y	+	0	0	0	0	0	0
00814	Y	-	0	0	0	0	0	0
00815	X	+	0	0	0	0	0	0
00815	X	-	0	0	0	0	0	0
00815	Y	+	0	0	0	0	0	0
00815	Y	-	0	0	0	0	0	0
00816	X	+	0	0	0	0	0	0
00816	X	-	0	0	0	0	0	0
00816	Y	+	0	0	0	0	0	0
00816	Y	-	0	0	0	0	0	0
00817	X	+	0	0	0	0	0	0
00817	X	-	0	0	0	0	0	0
00817	Y	+	0	0	0	0	0	0
00817	Y	-	0	0	0	0	0	0
00818	X	+	0	0	0	0	0	0
00818	X	-	0	0	0	0	0	0
00818	Y	+	0	0	0	0	0	0
00818	Y	-	0	0	0	0	0	0
00819	X	+	0	0	0	0	0	0
00819	X	-	0	0	0	0	0	0
00819	Y	+	0	0	0	0	0	0
00819	Y	-	0	0	0	0	0	0
00820	X	+	0	0	0	0	0	0
00820	X	-	0	0	0	0	0	0
00820	Y	+	0	0	0	0	0	0
00820	Y	-	0	0	0	0	0	0
00821	X	+	0	0	0	0	0	0
00821	X	-	0	0	0	0	0	0
00821	Y	+	0	0	0	0	0	0
00821	Y	-	0	0	0	0	0	0
00822	X	+	0	0	0	0	0	0
00822	X	-	0	0	0	0	0	0
00822	Y	+	0	0	0	0	0	0
00822	Y	-	0	0	0	0	0	0
00823	X	+	0	0	0	0	0	0
00823	X	-	0	0	0	0	0	0
00823	Y	+	0	0	0	0	0	0
00823	Y	-	0	0	0	0	0	0
00824	X	+	0	0	0	0	0	0
00824	X	-	0	0	0	0	0	0
00824	Y	+	0	0	0	0	0	0
00824	Y	-	0	0	0	0	0	0
00825	X	+	0	0	0	0	0	0
00825	X	-	0	0	0	0	0	0
00825	Y	+	0	0	0	0	0	0
00825	Y	-	0	0	0	0	0	0
00826	X	+	0	0	0	0	0	0
00826	X	-	0	0	0	0	0	0
00826	Y	+	0	0	0	0	0	0
00826	Y	-	0	0	0	0	0	0
00827	X	+	0	0	0	0	0	0
00827	X	-	0	0	0	0	0	0
00827	Y	+	0	0	0	0	0	0
00827	Y	-	0	0	0	0	0	0
00828	X	+	0	0	0	0	0	0
00828	X	-	0	0	0	0	0	0
00828	Y	+	0	0	0	0	0	0
00828	Y	-	0	0	0	0	0	0
00829	X	+	0	0	0	0	0	0
00829	X	-	0	0	0	0	0	0
00829	Y	+	0	0	0	0	0	0
00829	Y	-	0	0	0	0	0	0
00830	X	+	0	0	0	0	0	0
00830	X	-	0	0	0	0	0	0
00830	Y	+	0	0	0	0	0	0
00830	Y	-	0	0	0	0	0	0

Comm.: C20-025-S05

Il presente documento è di proprietà della ANTEX GROUP srl. È vietato la comunicazione a terzi o la riproduzione senza il permesso scritto della suddetta. La società tutela i propri diritti a rigore di Legge.





PARCO EOLICO DI "BUDDUSO"

RELAZIONE DI CALCOLO E TABULATI OPERE EDILI SSEU



Ingegneria & Innovazione

30/06/2023

REV: 2

Pag. 307

Nodi - Reazioni vincolari esterne per eccentricità accidentale

IdNd	Dir	e	F <sub>x</sub>	F <sub>y</sub>	F <sub>z</sub>	M <sub>x</sub>	M <sub>y</sub>	M <sub>z</sub>
			[N]	[N]	[N]	[N-m]	[N-m]	[N-m]
00831	X	+	0	0	0	0	0	0
00831	X	-	0	0	0	0	0	0
00831	Y	+	0	0	0	0	0	0
00831	Y	-	0	0	0	0	0	0
00832	X	+	0	0	0	0	0	0
00832	X	-	0	0	0	0	0	0
00832	Y	+	0	0	0	0	0	0
00832	Y	-	0	0	0	0	0	0
00833	X	+	0	0	0	0	0	0
00833	X	-	0	0	0	0	0	0
00833	Y	+	0	0	0	0	0	0
00833	Y	-	0	0	0	0	0	0
00834	X	+	0	0	0	0	0	0
00834	X	-	0	0	0	0	0	0
00834	Y	+	0	0	0	0	0	0
00834	Y	-	0	0	0	0	0	0
00835	X	+	0	0	0	0	0	0
00835	X	-	0	0	0	0	0	0
00835	Y	+	0	0	0	0	0	0
00835	Y	-	0	0	0	0	0	0
00836	X	+	0	0	0	0	0	0
00836	X	-	0	0	0	0	0	0
00836	Y	+	0	0	0	0	0	0
00836	Y	-	0	0	0	0	0	0
00837	X	+	0	0	0	0	0	0
00837	X	-	0	0	0	0	0	0
00837	Y	+	0	0	0	0	0	0
00837	Y	-	0	0	0	0	0	0
00838	X	+	0	0	0	0	0	0
00838	X	-	0	0	0	0	0	0
00838	Y	+	0	0	0	0	0	0
00838	Y	-	0	0	0	0	0	0
00839	X	+	0	0	0	0	0	0
00839	X	-	0	0	0	0	0	0
00839	Y	+	0	0	0	0	0	0
00839	Y	-	0	0	0	0	0	0
00840	X	+	0	0	0	0	0	0
00840	X	-	0	0	0	0	0	0
00840	Y	+	0	0	0	0	0	0
00840	Y	-	0	0	0	0	0	0
00841	X	+	0	0	0	0	0	0
00841	X	-	0	0	0	0	0	0
00841	Y	+	0	0	0	0	0	0
00841	Y	-	0	0	0	0	0	0
00842	X	+	0	0	0	0	0	0
00842	X	-	0	0	0	0	0	0
00842	Y	+	0	0	0	0	0	0
00842	Y	-	0	0	0	0	0	0
00843	X	+	0	0	0	0	0	0
00843	X	-	0	0	0	0	0	0
00843	Y	+	0	0	0	0	0	0
00843	Y	-	0	0	0	0	0	0
00844	X	+	0	0	0	0	0	0
00844	X	-	0	0	0	0	0	0
00844	Y	+	0	0	0	0	0	0
00844	Y	-	0	0	0	0	0	0
00845	X	+	0	0	0	0	0	0
00845	X	-	0	0	0	0	0	0
00845	Y	+	0	0	0	0	0	0
00845	Y	-	0	0	0	0	0	0
00846	X	+	0	0	0	0	0	0
00846	X	-	0	0	0	0	0	0
00846	Y	+	0	0	0	0	0	0
00846	Y	-	0	0	0	0	0	0
00847	X	+	0	0	0	0	0	0
00847	X	-	0	0	0	0	0	0

Comm.: C20-025-S05

Il presente documento è di proprietà della ANTEX GROUP srl. È vietato la comunicazione a terzi o la riproduzione senza il permesso scritto della suddetta. La società tutela i propri diritti a rigore di Legge.





PARCO EOLICO DI "BUDDUSO"

RELAZIONE DI CALCOLO E TABULATI OPERE EDILI SSEU



Ingegneria & Innovazione

30/06/2023

REV: 2

Pag. 308

Nodi - Reazioni vincolari esterne per eccentricità accidentale

IdNd	Dir	e	F <sub>x</sub>	F <sub>y</sub>	F <sub>z</sub>	M <sub>x</sub>	M <sub>y</sub>	M <sub>z</sub>
			[N]	[N]	[N]	[N-m]	[N-m]	[N-m]
00847	Y	+	0	0	0	0	0	0
00847	Y	-	0	0	0	0	0	0
00848	X	+	0	0	0	0	0	0
00848	X	-	0	0	0	0	0	0
00848	Y	+	0	0	0	0	0	0
00848	Y	-	0	0	0	0	0	0
00849	X	+	0	0	0	0	0	0
00849	X	-	0	0	0	0	0	0
00849	Y	+	0	0	0	0	0	0
00849	Y	-	0	0	0	0	0	0
00850	X	+	0	0	0	0	0	0
00850	X	-	0	0	0	0	0	0
00850	Y	+	0	0	0	0	0	0
00850	Y	-	0	0	0	0	0	0
00851	X	+	0	0	0	0	0	0
00851	X	-	0	0	0	0	0	0
00851	Y	+	0	0	0	0	0	0
00851	Y	-	0	0	0	0	0	0
00852	X	+	0	0	0	0	0	0
00852	X	-	0	0	0	0	0	0
00852	Y	+	0	0	0	0	0	0
00852	Y	-	0	0	0	0	0	0
00853	X	+	0	0	0	0	0	0
00853	X	-	0	0	0	0	0	0
00853	Y	+	0	0	0	0	0	0
00853	Y	-	0	0	0	0	0	0
00854	X	+	0	0	0	0	0	0
00854	X	-	0	0	0	0	0	0
00854	Y	+	0	0	0	0	0	0
00854	Y	-	0	0	0	0	0	0
00855	X	+	0	0	0	0	0	0
00855	X	-	0	0	0	0	0	0
00855	Y	+	0	0	0	0	0	0
00855	Y	-	0	0	0	0	0	0
00856	X	+	0	0	0	0	0	0
00856	X	-	0	0	0	0	0	0
00856	Y	+	0	0	0	0	0	0
00856	Y	-	0	0	0	0	0	0
00857	X	+	0	0	0	0	0	0
00857	X	-	0	0	0	0	0	0
00857	Y	+	0	0	0	0	0	0
00857	Y	-	0	0	0	0	0	0
00858	X	+	0	0	0	0	0	0
00858	X	-	0	0	0	0	0	0
00858	Y	+	0	0	0	0	0	0
00858	Y	-	0	0	0	0	0	0
00859	X	+	0	0	0	0	0	0
00859	X	-	0	0	0	0	0	0
00859	Y	+	0	0	0	0	0	0
00859	Y	-	0	0	0	0	0	0
00860	X	+	0	0	0	0	0	0
00860	X	-	0	0	0	0	0	0
00860	Y	+	0	0	0	0	0	0
00860	Y	-	0	0	0	0	0	0
00861	X	+	0	0	0	0	0	0
00861	X	-	0	0	0	0	0	0
00861	Y	+	0	0	0	0	0	0
00861	Y	-	0	0	0	0	0	0
00862	X	+	0	0	0	0	0	0
00862	X	-	0	0	0	0	0	0
00862	Y	+	0	0	0	0	0	0
00862	Y	-	0	0	0	0	0	0
00863	X	+	0	0	0	0	0	0
00863	X	-	0	0	0	0	0	0
00863	Y	+	0	0	0	0	0	0
00863	Y	-	0	0	0	0	0	0

Comm.: C20-025-S05

Il presente documento è di proprietà della ANTEX GROUP srl. È vietato la comunicazione a terzi o la riproduzione senza il permesso scritto della suddetta. La società tutela i propri diritti a rigore di Legge.





PARCO EOLICO DI "BUDDUSO"

RELAZIONE DI CALCOLO E TABULATI OPERE EDILI SSEU



Ingegneria & Innovazione

30/06/2023

REV: 2

Pag. 309

Nodi - Reazioni vincolari esterne per eccentricità accidentale

IdNd	Dir	e	F <sub>x</sub>	F <sub>y</sub>	F <sub>z</sub>	M <sub>x</sub>	M <sub>y</sub>	M <sub>z</sub>
			[N]	[N]	[N]	[N-m]	[N-m]	[N-m]
00864	X	+	0	0	0	0	0	0
00864	X	-	0	0	0	0	0	0
00864	Y	+	0	0	0	0	0	0
00864	Y	-	0	0	0	0	0	0
00865	X	+	0	0	0	0	0	0
00865	X	-	0	0	0	0	0	0
00865	Y	+	0	0	0	0	0	0
00865	Y	-	0	0	0	0	0	0
00866	X	+	0	0	0	0	0	0
00866	X	-	0	0	0	0	0	0
00866	Y	+	0	0	0	0	0	0
00866	Y	-	0	0	0	0	0	0
00867	X	+	0	0	0	0	0	0
00867	X	-	0	0	0	0	0	0
00867	Y	+	0	0	0	0	0	0
00867	Y	-	0	0	0	0	0	0
00868	X	+	0	0	0	0	0	0
00868	X	-	0	0	0	0	0	0
00868	Y	+	0	0	0	0	0	0
00868	Y	-	0	0	0	0	0	0
00869	X	+	0	0	0	0	0	0
00869	X	-	0	0	0	0	0	0
00869	Y	+	0	0	0	0	0	0
00869	Y	-	0	0	0	0	0	0
00870	X	+	0	0	0	0	0	0
00870	X	-	0	0	0	0	0	0
00870	Y	+	0	0	0	0	0	0
00870	Y	-	0	0	0	0	0	0
00871	X	+	0	0	0	0	0	0
00871	X	-	0	0	0	0	0	0
00871	Y	+	0	0	0	0	0	0
00871	Y	-	0	0	0	0	0	0
00872	X	+	0	0	0	0	0	0
00872	X	-	0	0	0	0	0	0
00872	Y	+	0	0	0	0	0	0
00872	Y	-	0	0	0	0	0	0
00873	X	+	0	0	0	0	0	0
00873	X	-	0	0	0	0	0	0
00873	Y	+	0	0	0	0	0	0
00873	Y	-	0	0	0	0	0	0
00874	X	+	0	0	0	0	0	0
00874	X	-	0	0	0	0	0	0
00874	Y	+	0	0	0	0	0	0
00874	Y	-	0	0	0	0	0	0
00875	X	+	0	0	0	0	0	0
00875	X	-	0	0	0	0	0	0
00875	Y	+	0	0	0	0	0	0
00875	Y	-	0	0	0	0	0	0
00876	X	+	0	0	0	0	0	0
00876	X	-	0	0	0	0	0	0
00876	Y	+	0	0	0	0	0	0
00876	Y	-	0	0	0	0	0	0
00877	X	+	0	0	0	0	0	0
00877	X	-	0	0	0	0	0	0
00877	Y	+	0	0	0	0	0	0
00877	Y	-	0	0	0	0	0	0
00878	X	+	0	0	0	0	0	0
00878	X	-	0	0	0	0	0	0
00878	Y	+	0	0	0	0	0	0
00878	Y	-	0	0	0	0	0	0
00879	X	+	0	0	0	0	0	0
00879	X	-	0	0	0	0	0	0
00879	Y	+	0	0	0	0	0	0
00879	Y	-	0	0	0	0	0	0
00880	X	+	0	0	0	0	0	0
00880	X	-	0	0	0	0	0	0

Comm.: C20-025-S05

Il presente documento è di proprietà della ANTEX GROUP srl. È vietato la comunicazione a terzi o la riproduzione senza il permesso scritto della suddetta. La società tutela i propri diritti a rigore di Legge.





PARCO EOLICO DI "BUDDUSO"

RELAZIONE DI CALCOLO E TABULATI OPERE EDILI SSEU



Ingegneria & Innovazione

30/06/2023

REV: 2

Pag. 310

Nodi - Reazioni vincolari esterne per eccentricità accidentale

IdNd	Dir	e	F <sub>x</sub>	F <sub>y</sub>	F <sub>z</sub>	M <sub>x</sub>	M <sub>y</sub>	M <sub>z</sub>
			[N]	[N]	[N]	[N-m]	[N-m]	[N-m]
00880	Y	+	0	0	0	0	0	0
00880	Y	-	0	0	0	0	0	0
00881	X	+	0	0	0	0	0	0
00881	X	-	0	0	0	0	0	0
00881	Y	+	0	0	0	0	0	0
00881	Y	-	0	0	0	0	0	0
00882	X	+	0	0	0	0	0	0
00882	X	-	0	0	0	0	0	0
00882	Y	+	0	0	0	0	0	0
00882	Y	-	0	0	0	0	0	0
00883	X	+	0	0	0	0	0	0
00883	X	-	0	0	0	0	0	0
00883	Y	+	0	0	0	0	0	0
00883	Y	-	0	0	0	0	0	0
00884	X	+	0	0	0	0	0	0
00884	X	-	0	0	0	0	0	0
00884	Y	+	0	0	0	0	0	0
00884	Y	-	0	0	0	0	0	0
00885	X	+	0	0	0	0	0	0
00885	X	-	0	0	0	0	0	0
00885	Y	+	0	0	0	0	0	0
00885	Y	-	0	0	0	0	0	0
00886	X	+	0	0	0	0	0	0
00886	X	-	0	0	0	0	0	0
00886	Y	+	0	0	0	0	0	0
00886	Y	-	0	0	0	0	0	0
00887	X	+	0	0	0	0	0	0
00887	X	-	0	0	0	0	0	0
00887	Y	+	0	0	0	0	0	0
00887	Y	-	0	0	0	0	0	0
00888	X	+	0	0	0	0	0	0
00888	X	-	0	0	0	0	0	0
00888	Y	+	0	0	0	0	0	0
00888	Y	-	0	0	0	0	0	0
00889	X	+	0	0	0	0	0	0
00889	X	-	0	0	0	0	0	0
00889	Y	+	0	0	0	0	0	0
00889	Y	-	0	0	0	0	0	0
00890	X	+	0	0	0	0	0	0
00890	X	-	0	0	0	0	0	0
00890	Y	+	0	0	0	0	0	0
00890	Y	-	0	0	0	0	0	0
00891	X	+	0	0	0	0	0	0
00891	X	-	0	0	0	0	0	0
00891	Y	+	0	0	0	0	0	0
00891	Y	-	0	0	0	0	0	0
00892	X	+	0	0	0	0	0	0
00892	X	-	0	0	0	0	0	0
00892	Y	+	0	0	0	0	0	0
00892	Y	-	0	0	0	0	0	0
00893	X	+	0	0	0	0	0	0
00893	X	-	0	0	0	0	0	0
00893	Y	+	0	0	0	0	0	0
00893	Y	-	0	0	0	0	0	0
00894	X	+	0	0	0	0	0	0
00894	X	-	0	0	0	0	0	0
00894	Y	+	0	0	0	0	0	0
00894	Y	-	0	0	0	0	0	0
00895	X	+	0	0	0	0	0	0
00895	X	-	0	0	0	0	0	0
00895	Y	+	0	0	0	0	0	0
00895	Y	-	0	0	0	0	0	0
00896	X	+	0	0	0	0	0	0
00896	X	-	0	0	0	0	0	0
00896	Y	+	0	0	0	0	0	0
00896	Y	-	0	0	0	0	0	0

Comm.: C20-025-S05

Il presente documento è di proprietà della ANTEX GROUP srl. È vietato la comunicazione a terzi o la riproduzione senza il permesso scritto della suddetta. La società tutela i propri diritti a rigore di Legge.





PARCO EOLICO DI "BUDDUSO"

RELAZIONE DI CALCOLO E TABULATI OPERE EDILI  
SSEU



Ingegneria & Innovazione

30/06/2023

REV: 2

Pag. 311

Nodi - Reazioni vincolari esterne per eccentricità accidentale

IdNd	Dir	e	F <sub>x</sub>	F <sub>y</sub>	F <sub>z</sub>	M <sub>x</sub>	M <sub>y</sub>	M <sub>z</sub>
			[N]	[N]	[N]	[N-m]	[N-m]	[N-m]
00897	X	+	0	0	0	0	0	0
00897	X	-	0	0	0	0	0	0
00897	Y	+	0	0	0	0	0	0
00897	Y	-	0	0	0	0	0	0
00898	X	+	0	0	0	0	0	0
00898	X	-	0	0	0	0	0	0
00898	Y	+	0	0	0	0	0	0
00898	Y	-	0	0	0	0	0	0
00899	X	+	0	0	0	0	0	0
00899	X	-	0	0	0	0	0	0
00899	Y	+	0	0	0	0	0	0
00899	Y	-	0	0	0	0	0	0
00900	X	+	0	0	0	0	0	0
00900	X	-	0	0	0	0	0	0
00900	Y	+	0	0	0	0	0	0
00900	Y	-	0	0	0	0	0	0
00901	X	+	0	0	0	0	0	0
00901	X	-	0	0	0	0	0	0
00901	Y	+	0	0	0	0	0	0
00901	Y	-	0	0	0	0	0	0
00902	X	+	0	0	0	0	0	0
00902	X	-	0	0	0	0	0	0
00902	Y	+	0	0	0	0	0	0
00902	Y	-	0	0	0	0	0	0
00903	X	+	0	0	0	0	0	0
00903	X	-	0	0	0	0	0	0
00903	Y	+	0	0	0	0	0	0
00903	Y	-	0	0	0	0	0	0
00904	X	+	0	0	0	0	0	0
00904	X	-	0	0	0	0	0	0
00904	Y	+	0	0	0	0	0	0
00904	Y	-	0	0	0	0	0	0
00905	X	+	0	0	0	0	0	0
00905	X	-	0	0	0	0	0	0
00905	Y	+	0	0	0	0	0	0
00905	Y	-	0	0	0	0	0	0
00906	X	+	0	0	0	0	0	0
00906	X	-	0	0	0	0	0	0
00906	Y	+	0	0	0	0	0	0
00906	Y	-	0	0	0	0	0	0
00907	X	+	0	0	0	0	0	0
00907	X	-	0	0	0	0	0	0
00907	Y	+	0	0	0	0	0	0
00907	Y	-	0	0	0	0	0	0
00908	X	+	0	0	0	0	0	0
00908	X	-	0	0	0	0	0	0
00908	Y	+	0	0	0	0	0	0
00908	Y	-	0	0	0	0	0	0
00909	X	+	0	0	0	0	0	0
00909	X	-	0	0	0	0	0	0
00909	Y	+	0	0	0	0	0	0
00909	Y	-	0	0	0	0	0	0
00910	X	+	0	0	0	0	0	0
00910	X	-	0	0	0	0	0	0
00910	Y	+	0	0	0	0	0	0
00910	Y	-	0	0	0	0	0	0
00911	X	+	0	0	0	0	0	0
00911	X	-	0	0	0	0	0	0
00911	Y	+	0	0	0	0	0	0
00911	Y	-	0	0	0	0	0	0
00912	X	+	0	0	0	0	0	0
00912	X	-	0	0	0	0	0	0
00912	Y	+	0	0	0	0	0	0
00912	Y	-	0	0	0	0	0	0
00913	X	+	0	0	0	0	0	0
00913	X	-	0	0	0	0	0	0

Comm.: C20-025-S05

Il presente documento è di proprietà della ANTEX GROUP srl.  
È vietato la comunicazione a terzi o la riproduzione senza il permesso scritto della suddetta.  
La società tutela i propri diritti a rigore di Legge.





PARCO EOLICO DI "BUDDUSO"

RELAZIONE DI CALCOLO E TABULATI OPERE EDILI SSEU



Ingegneria & Innovazione

30/06/2023

REV: 2

Pag. 312

Nodi - Reazioni vincolari esterne per eccentricità accidentale

IdNd	Dir	e	F <sub>x</sub>	F <sub>y</sub>	F <sub>z</sub>	M <sub>x</sub>	M <sub>y</sub>	M <sub>z</sub>
			[N]	[N]	[N]	[N-m]	[N-m]	[N-m]
00913	Y	+	0	0	0	0	0	0
00913	Y	-	0	0	0	0	0	0
00914	X	+	0	0	0	0	0	0
00914	X	-	0	0	0	0	0	0
00914	Y	+	0	0	0	0	0	0
00914	Y	-	0	0	0	0	0	0
00915	X	+	0	0	0	0	0	0
00915	X	-	0	0	0	0	0	0
00915	Y	+	0	0	0	0	0	0
00915	Y	-	0	0	0	0	0	0
00916	X	+	0	0	0	0	0	0
00916	X	-	0	0	0	0	0	0
00916	Y	+	0	0	0	0	0	0
00916	Y	-	0	0	0	0	0	0
00917	X	+	0	0	0	0	0	0
00917	X	-	0	0	0	0	0	0
00917	Y	+	0	0	0	0	0	0
00917	Y	-	0	0	0	0	0	0
00918	X	+	0	0	0	0	0	0
00918	X	-	0	0	0	0	0	0
00918	Y	+	0	0	0	0	0	0
00918	Y	-	0	0	0	0	0	0
00919	X	+	0	0	0	0	0	0
00919	X	-	0	0	0	0	0	0
00919	Y	+	0	0	0	0	0	0
00919	Y	-	0	0	0	0	0	0
00920	X	+	0	0	0	0	0	0
00920	X	-	0	0	0	0	0	0
00920	Y	+	0	0	0	0	0	0
00920	Y	-	0	0	0	0	0	0
00921	X	+	0	0	0	0	0	0
00921	X	-	0	0	0	0	0	0
00921	Y	+	0	0	0	0	0	0
00921	Y	-	0	0	0	0	0	0
00922	X	+	0	0	0	0	0	0
00922	X	-	0	0	0	0	0	0
00922	Y	+	0	0	0	0	0	0
00922	Y	-	0	0	0	0	0	0
00923	X	+	0	0	0	0	0	0
00923	X	-	0	0	0	0	0	0
00923	Y	+	0	0	0	0	0	0
00923	Y	-	0	0	0	0	0	0
00924	X	+	0	0	0	0	0	0
00924	X	-	0	0	0	0	0	0
00924	Y	+	0	0	0	0	0	0
00924	Y	-	0	0	0	0	0	0
00925	X	+	0	0	0	0	0	0
00925	X	-	0	0	0	0	0	0
00925	Y	+	0	0	0	0	0	0
00925	Y	-	0	0	0	0	0	0
00926	X	+	0	0	0	0	0	0
00926	X	-	0	0	0	0	0	0
00926	Y	+	0	0	0	0	0	0
00926	Y	-	0	0	0	0	0	0
00927	X	+	0	0	0	0	0	0
00927	X	-	0	0	0	0	0	0
00927	Y	+	0	0	0	0	0	0
00927	Y	-	0	0	0	0	0	0
00928	X	+	0	0	0	0	0	0
00928	X	-	0	0	0	0	0	0
00928	Y	+	0	0	0	0	0	0
00928	Y	-	0	0	0	0	0	0
00929	X	+	0	0	0	0	0	0
00929	X	-	0	0	0	0	0	0
00929	Y	+	0	0	0	0	0	0
00929	Y	-	0	0	0	0	0	0

Comm.: C20-025-S05

Il presente documento è di proprietà della ANTEX GROUP srl. È vietato la comunicazione a terzi o la riproduzione senza il permesso scritto della suddetta. La società tutela i propri diritti a rigore di Legge.







PARCO EOLICO DI "BUDDUSO"

RELAZIONE DI CALCOLO E TABULATI OPERE EDILI SSEU



Ingegneria & Innovazione

30/06/2023

REV: 2

Pag. 313

Nodi - Reazioni vincolari esterne per eccentricità accidentale

IdNd	Dir	e	F <sub>x</sub>	F <sub>y</sub>	F <sub>z</sub>	M <sub>x</sub>	M <sub>y</sub>	M <sub>z</sub>
			[N]	[N]	[N]	[N-m]	[N-m]	[N-m]
00930	X	+	0	0	0	0	0	0
00930	X	-	0	0	0	0	0	0
00930	Y	+	0	0	0	0	0	0
00930	Y	-	0	0	0	0	0	0
00931	X	+	0	0	0	0	0	0
00931	X	-	0	0	0	0	0	0
00931	Y	+	0	0	0	0	0	0
00931	Y	-	0	0	0	0	0	0
00932	X	+	0	0	0	0	0	0
00932	X	-	0	0	0	0	0	0
00932	Y	+	0	0	0	0	0	0
00932	Y	-	0	0	0	0	0	0
00933	X	+	0	0	0	0	0	0
00933	X	-	0	0	0	0	0	0
00933	Y	+	0	0	0	0	0	0
00933	Y	-	0	0	0	0	0	0
00934	X	+	0	0	0	0	0	0
00934	X	-	0	0	0	0	0	0
00934	Y	+	0	0	0	0	0	0
00934	Y	-	0	0	0	0	0	0
00935	X	+	0	0	0	0	0	0
00935	X	-	0	0	0	0	0	0
00935	Y	+	0	0	0	0	0	0
00935	Y	-	0	0	0	0	0	0
00936	X	+	0	0	0	0	0	0
00936	X	-	0	0	0	0	0	0
00936	Y	+	0	0	0	0	0	0
00936	Y	-	0	0	0	0	0	0
00937	X	+	0	0	0	0	0	0
00937	X	-	0	0	0	0	0	0
00937	Y	+	0	0	0	0	0	0
00937	Y	-	0	0	0	0	0	0
00938	X	+	0	0	0	0	0	0
00938	X	-	0	0	0	0	0	0
00938	Y	+	0	0	0	0	0	0
00938	Y	-	0	0	0	0	0	0
00939	X	+	0	0	0	0	0	0
00939	X	-	0	0	0	0	0	0
00939	Y	+	0	0	0	0	0	0
00939	Y	-	0	0	0	0	0	0
00940	X	+	0	0	0	0	0	0
00940	X	-	0	0	0	0	0	0
00940	Y	+	0	0	0	0	0	0
00940	Y	-	0	0	0	0	0	0
00941	X	+	0	0	0	0	0	0
00941	X	-	0	0	0	0	0	0
00941	Y	+	0	0	0	0	0	0
00941	Y	-	0	0	0	0	0	0
00942	X	+	0	0	0	0	0	0
00942	X	-	0	0	0	0	0	0
00942	Y	+	0	0	0	0	0	0
00942	Y	-	0	0	0	0	0	0
00943	X	+	0	0	0	0	0	0
00943	X	-	0	0	0	0	0	0
00943	Y	+	0	0	0	0	0	0
00943	Y	-	0	0	0	0	0	0
00944	X	+	0	0	0	0	0	0
00944	X	-	0	0	0	0	0	0
00944	Y	+	0	0	0	0	0	0
00944	Y	-	0	0	0	0	0	0
00945	X	+	0	0	0	0	0	0
00945	X	-	0	0	0	0	0	0
00945	Y	+	0	0	0	0	0	0
00945	Y	-	0	0	0	0	0	0
00946	X	+	0	0	0	0	0	0
00946	X	-	0	0	0	0	0	0

Comm.: C20-025-S05

Il presente documento è di proprietà della ANTEX GROUP srl. È vietato la comunicazione a terzi o la riproduzione senza il permesso scritto della suddetta. La società tutela i propri diritti a rigore di Legge.





PARCO EOLICO DI "BUDDUSO"

RELAZIONE DI CALCOLO E TABULATI OPERE EDILI SSEU



Ingegneria & Innovazione

30/06/2023

REV: 2

Pag. 314

Nodi - Reazioni vincolari esterne per eccentricità accidentale

IdNd	Dir	e	F <sub>x</sub>	F <sub>y</sub>	F <sub>z</sub>	M <sub>x</sub>	M <sub>y</sub>	M <sub>z</sub>
			[N]	[N]	[N]	[N-m]	[N-m]	[N-m]
00946	Y	+	0	0	0	0	0	0
00946	Y	-	0	0	0	0	0	0
00947	X	+	0	0	0	0	0	0
00947	X	-	0	0	0	0	0	0
00947	Y	+	0	0	0	0	0	0
00947	Y	-	0	0	0	0	0	0
00948	X	+	0	0	0	0	0	0
00948	X	-	0	0	0	0	0	0
00948	Y	+	0	0	0	0	0	0
00948	Y	-	0	0	0	0	0	0
00949	X	+	0	0	0	0	0	0
00949	X	-	0	0	0	0	0	0
00949	Y	+	0	0	0	0	0	0
00949	Y	-	0	0	0	0	0	0
00950	X	+	0	0	0	0	0	0
00950	X	-	0	0	0	0	0	0
00950	Y	+	0	0	0	0	0	0
00950	Y	-	0	0	0	0	0	0
00951	X	+	0	0	0	0	0	0
00951	X	-	0	0	0	0	0	0
00951	Y	+	0	0	0	0	0	0
00951	Y	-	0	0	0	0	0	0
00952	X	+	0	0	0	0	0	0
00952	X	-	0	0	0	0	0	0
00952	Y	+	0	0	0	0	0	0
00952	Y	-	0	0	0	0	0	0
00953	X	+	0	0	0	0	0	0
00953	X	-	0	0	0	0	0	0
00953	Y	+	0	0	0	0	0	0
00953	Y	-	0	0	0	0	0	0
00954	X	+	0	0	0	0	0	0
00954	X	-	0	0	0	0	0	0
00954	Y	+	0	0	0	0	0	0
00954	Y	-	0	0	0	0	0	0
00955	X	+	0	0	0	0	0	0
00955	X	-	0	0	0	0	0	0
00955	Y	+	0	0	0	0	0	0
00955	Y	-	0	0	0	0	0	0
00956	X	+	0	0	0	0	0	0
00956	X	-	0	0	0	0	0	0
00956	Y	+	0	0	0	0	0	0
00956	Y	-	0	0	0	0	0	0
00957	X	+	0	0	0	0	0	0
00957	X	-	0	0	0	0	0	0
00957	Y	+	0	0	0	0	0	0
00957	Y	-	0	0	0	0	0	0
00958	X	+	0	0	0	0	0	0
00958	X	-	0	0	0	0	0	0
00958	Y	+	0	0	0	0	0	0
00958	Y	-	0	0	0	0	0	0
00959	X	+	0	0	0	0	0	0
00959	X	-	0	0	0	0	0	0
00959	Y	+	0	0	0	0	0	0
00959	Y	-	0	0	0	0	0	0
00960	X	+	0	0	0	0	0	0
00960	X	-	0	0	0	0	0	0
00960	Y	+	0	0	0	0	0	0
00960	Y	-	0	0	0	0	0	0
00961	X	+	0	0	0	0	0	0
00961	X	-	0	0	0	0	0	0
00961	Y	+	0	0	0	0	0	0
00961	Y	-	0	0	0	0	0	0
00962	X	+	0	0	0	0	0	0
00962	X	-	0	0	0	0	0	0
00962	Y	+	0	0	0	0	0	0
00962	Y	-	0	0	0	0	0	0

Comm.: C20-025-S05

Il presente documento è di proprietà della ANTEX GROUP srl. È vietato la comunicazione a terzi o la riproduzione senza il permesso scritto della suddetta. La società tutela i propri diritti a rigore di Legge.





PARCO EOLICO DI "BUDDUSO"

RELAZIONE DI CALCOLO E TABULATI OPERE EDILI  
SSEU



Ingegneria & Innovazione

30/06/2023

REV: 2

Pag. 315

Nodi - Reazioni vincolari esterne per eccentricità accidentale

IdNd	Dir	e	F <sub>x</sub>	F <sub>y</sub>	F <sub>z</sub>	M <sub>x</sub>	M <sub>y</sub>	M <sub>z</sub>
			[N]	[N]	[N]	[N-m]	[N-m]	[N-m]
00963	X	+	0	0	0	0	0	0
00963	X	-	0	0	0	0	0	0
00963	Y	+	0	0	0	0	0	0
00963	Y	-	0	0	0	0	0	0
00964	X	+	0	0	0	0	0	0
00964	X	-	0	0	0	0	0	0
00964	Y	+	0	0	0	0	0	0
00964	Y	-	0	0	0	0	0	0
00965	X	+	0	0	0	0	0	0
00965	X	-	0	0	0	0	0	0
00965	Y	+	0	0	0	0	0	0
00965	Y	-	0	0	0	0	0	0
00966	X	+	0	0	0	0	0	0
00966	X	-	0	0	0	0	0	0
00966	Y	+	0	0	0	0	0	0
00966	Y	-	0	0	0	0	0	0
00967	X	+	0	0	0	0	0	0
00967	X	-	0	0	0	0	0	0
00967	Y	+	0	0	0	0	0	0
00967	Y	-	0	0	0	0	0	0
00968	X	+	0	0	0	0	0	0
00968	X	-	0	0	0	0	0	0
00968	Y	+	0	0	0	0	0	0
00968	Y	-	0	0	0	0	0	0
00969	X	+	0	0	0	0	0	0
00969	X	-	0	0	0	0	0	0
00969	Y	+	0	0	0	0	0	0
00969	Y	-	0	0	0	0	0	0
00970	X	+	0	0	0	0	0	0
00970	X	-	0	0	0	0	0	0
00970	Y	+	0	0	0	0	0	0
00970	Y	-	0	0	0	0	0	0
00971	X	+	0	0	0	0	0	0
00971	X	-	0	0	0	0	0	0
00971	Y	+	0	0	0	0	0	0
00971	Y	-	0	0	0	0	0	0
00972	X	+	0	0	0	0	0	0
00972	X	-	0	0	0	0	0	0
00972	Y	+	0	0	0	0	0	0
00972	Y	-	0	0	0	0	0	0
00973	X	+	0	0	0	0	0	0
00973	X	-	0	0	0	0	0	0
00973	Y	+	0	0	0	0	0	0
00973	Y	-	0	0	0	0	0	0
00974	X	+	0	0	0	0	0	0
00974	X	-	0	0	0	0	0	0
00974	Y	+	0	0	0	0	0	0
00974	Y	-	0	0	0	0	0	0
00975	X	+	0	0	0	0	0	0
00975	X	-	0	0	0	0	0	0
00975	Y	+	0	0	0	0	0	0
00975	Y	-	0	0	0	0	0	0
00976	X	+	0	0	0	0	0	0
00976	X	-	0	0	0	0	0	0
00976	Y	+	0	0	0	0	0	0
00976	Y	-	0	0	0	0	0	0
00977	X	+	0	0	0	0	0	0
00977	X	-	0	0	0	0	0	0
00977	Y	+	0	0	0	0	0	0
00977	Y	-	0	0	0	0	0	0
00978	X	+	0	0	0	0	0	0
00978	X	-	0	0	0	0	0	0
00978	Y	+	0	0	0	0	0	0
00978	Y	-	0	0	0	0	0	0
00979	X	+	0	0	0	0	0	0
00979	X	-	0	0	0	0	0	0

Comm.: C20-025-S05

Il presente documento è di proprietà della ANTEX GROUP srl.  
È vietato la comunicazione a terzi o la riproduzione senza il permesso scritto della suddetta.  
La società tutela i propri diritti a rigore di Legge.





PARCO EOLICO DI "BUDDUSO"

RELAZIONE DI CALCOLO E TABULATI OPERE EDILI SSEU



Ingegneria & Innovazione

30/06/2023

REV: 2

Pag. 316

Nodi - Reazioni vincolari esterne per eccentricità accidentale

IdNd	Dir	e	F <sub>x</sub>	F <sub>y</sub>	F <sub>z</sub>	M <sub>x</sub>	M <sub>y</sub>	M <sub>z</sub>
			[N]	[N]	[N]	[N-m]	[N-m]	[N-m]
00979	Y	+	0	0	0	0	0	0
00979	Y	-	0	0	0	0	0	0
00980	X	+	0	0	0	0	0	0
00980	X	-	0	0	0	0	0	0
00980	Y	+	0	0	0	0	0	0
00980	Y	-	0	0	0	0	0	0
00981	X	+	0	0	0	0	0	0
00981	X	-	0	0	0	0	0	0
00981	Y	+	0	0	0	0	0	0
00981	Y	-	0	0	0	0	0	0
00982	X	+	0	0	0	0	0	0
00982	X	-	0	0	0	0	0	0
00982	Y	+	0	0	0	0	0	0
00982	Y	-	0	0	0	0	0	0
00983	X	+	0	0	0	0	0	0
00983	X	-	0	0	0	0	0	0
00983	Y	+	0	0	0	0	0	0
00983	Y	-	0	0	0	0	0	0
00984	X	+	0	0	0	0	0	0
00984	X	-	0	0	0	0	0	0
00984	Y	+	0	0	0	0	0	0
00984	Y	-	0	0	0	0	0	0
00985	X	+	0	0	0	0	0	0
00985	X	-	0	0	0	0	0	0
00985	Y	+	0	0	0	0	0	0
00985	Y	-	0	0	0	0	0	0
00986	X	+	0	0	0	0	0	0
00986	X	-	0	0	0	0	0	0
00986	Y	+	0	0	0	0	0	0
00986	Y	-	0	0	0	0	0	0
00987	X	+	0	0	0	0	0	0
00987	X	-	0	0	0	0	0	0
00987	Y	+	0	0	0	0	0	0
00987	Y	-	0	0	0	0	0	0
00988	X	+	0	0	0	0	0	0
00988	X	-	0	0	0	0	0	0
00988	Y	+	0	0	0	0	0	0
00988	Y	-	0	0	0	0	0	0
00989	X	+	0	0	0	0	0	0
00989	X	-	0	0	0	0	0	0
00989	Y	+	0	0	0	0	0	0
00989	Y	-	0	0	0	0	0	0
00990	X	+	0	0	0	0	0	0
00990	X	-	0	0	0	0	0	0
00990	Y	+	0	0	0	0	0	0
00990	Y	-	0	0	0	0	0	0
00991	X	+	0	0	0	0	0	0
00991	X	-	0	0	0	0	0	0
00991	Y	+	0	0	0	0	0	0
00991	Y	-	0	0	0	0	0	0
00992	X	+	0	0	0	0	0	0
00992	X	-	0	0	0	0	0	0
00992	Y	+	0	0	0	0	0	0
00992	Y	-	0	0	0	0	0	0
00993	X	+	0	0	0	0	0	0
00993	X	-	0	0	0	0	0	0
00993	Y	+	0	0	0	0	0	0
00993	Y	-	0	0	0	0	0	0
00994	X	+	0	0	0	0	0	0
00994	X	-	0	0	0	0	0	0
00994	Y	+	0	0	0	0	0	0
00994	Y	-	0	0	0	0	0	0
00995	X	+	0	0	0	0	0	0
00995	X	-	0	0	0	0	0	0
00995	Y	+	0	0	0	0	0	0
00995	Y	-	0	0	0	0	0	0

Comm.: C20-025-S05

Il presente documento è di proprietà della ANTEX GROUP srl. È vietato la comunicazione a terzi o la riproduzione senza il permesso scritto della suddetta. La società tutela i propri diritti a rigore di Legge.





PARCO EOLICO DI "BUDDUSO"

RELAZIONE DI CALCOLO E TABULATI OPERE EDILI  
SSEU



Ingegneria & Innovazione

30/06/2023

REV: 2

Pag. 317

Nodi - Reazioni vincolari esterne per eccentricità accidentale

IdNd	Dir	e	F <sub>x</sub>	F <sub>y</sub>	F <sub>z</sub>	M <sub>x</sub>	M <sub>y</sub>	M <sub>z</sub>
			[N]	[N]	[N]	[N-m]	[N-m]	[N-m]
00996	X	+	0	0	0	0	0	0
00996	X	-	0	0	0	0	0	0
00996	Y	+	0	0	0	0	0	0
00996	Y	-	0	0	0	0	0	0
00997	X	+	0	0	0	0	0	0
00997	X	-	0	0	0	0	0	0
00997	Y	+	0	0	0	0	0	0
00997	Y	-	0	0	0	0	0	0
00998	X	+	0	0	0	0	0	0
00998	X	-	0	0	0	0	0	0
00998	Y	+	0	0	0	0	0	0
00998	Y	-	0	0	0	0	0	0
00999	X	+	0	0	0	0	0	0
00999	X	-	0	0	0	0	0	0
00999	Y	+	0	0	0	0	0	0
00999	Y	-	0	0	0	0	0	0
01000	X	+	0	0	0	0	0	0
01000	X	-	0	0	0	0	0	0
01000	Y	+	0	0	0	0	0	0
01000	Y	-	0	0	0	0	0	0
01001	X	+	0	0	0	0	0	0
01001	X	-	0	0	0	0	0	0
01001	Y	+	0	0	0	0	0	0
01001	Y	-	0	0	0	0	0	0
01002	X	+	0	0	0	0	0	0
01002	X	-	0	0	0	0	0	0
01002	Y	+	0	0	0	0	0	0
01002	Y	-	0	0	0	0	0	0
01003	X	+	0	0	0	0	0	0
01003	X	-	0	0	0	0	0	0
01003	Y	+	0	0	0	0	0	0
01003	Y	-	0	0	0	0	0	0
01004	X	+	0	0	0	0	0	0
01004	X	-	0	0	0	0	0	0
01004	Y	+	0	0	0	0	0	0
01004	Y	-	0	0	0	0	0	0
01005	X	+	0	0	0	0	0	0
01005	X	-	0	0	0	0	0	0
01005	Y	+	0	0	0	0	0	0
01005	Y	-	0	0	0	0	0	0
01006	X	+	0	0	0	0	0	0
01006	X	-	0	0	0	0	0	0
01006	Y	+	0	0	0	0	0	0
01006	Y	-	0	0	0	0	0	0
01007	X	+	0	0	0	0	0	0
01007	X	-	0	0	0	0	0	0
01007	Y	+	0	0	0	0	0	0
01007	Y	-	0	0	0	0	0	0
01008	X	+	0	0	0	0	0	0
01008	X	-	0	0	0	0	0	0
01008	Y	+	0	0	0	0	0	0
01008	Y	-	0	0	0	0	0	0
01009	X	+	0	0	0	0	0	0
01009	X	-	0	0	0	0	0	0
01009	Y	+	0	0	0	0	0	0
01009	Y	-	0	0	0	0	0	0
01010	X	+	0	0	0	0	0	0
01010	X	-	0	0	0	0	0	0
01010	Y	+	0	0	0	0	0	0
01010	Y	-	0	0	0	0	0	0
01011	X	+	0	0	0	0	0	0
01011	X	-	0	0	0	0	0	0
01011	Y	+	0	0	0	0	0	0
01011	Y	-	0	0	0	0	0	0
01012	X	+	0	0	0	0	0	0
01012	X	-	0	0	0	0	0	0

Comm.: C20-025-S05

Il presente documento è di proprietà della ANTEX GROUP srl.  
È vietato la comunicazione a terzi o la riproduzione senza il permesso scritto della suddetta.  
La società tutela i propri diritti a rigore di Legge.





PARCO EOLICO DI "BUDDUSO"

RELAZIONE DI CALCOLO E TABULATI OPERE EDILI SSEU



Ingegneria & Innovazione

30/06/2023

REV: 2

Pag. 318

Nodi - Reazioni vincolari esterne per eccentricità accidentale

IdNd	Dir	e	F <sub>x</sub>	F <sub>y</sub>	F <sub>z</sub>	M <sub>x</sub>	M <sub>y</sub>	M <sub>z</sub>
			[N]	[N]	[N]	[N-m]	[N-m]	[N-m]
01012	Y	+	0	0	0	0	0	0
01012	Y	-	0	0	0	0	0	0
01013	X	+	0	0	0	0	0	0
01013	X	-	0	0	0	0	0	0
01013	Y	+	0	0	0	0	0	0
01013	Y	-	0	0	0	0	0	0
01014	X	+	0	0	0	0	0	0
01014	X	-	0	0	0	0	0	0
01014	Y	+	0	0	0	0	0	0
01014	Y	-	0	0	0	0	0	0
01015	X	+	0	0	0	0	0	0
01015	X	-	0	0	0	0	0	0
01015	Y	+	0	0	0	0	0	0
01015	Y	-	0	0	0	0	0	0
01016	X	+	0	0	0	0	0	0
01016	X	-	0	0	0	0	0	0
01016	Y	+	0	0	0	0	0	0
01016	Y	-	0	0	0	0	0	0
01017	X	+	0	0	0	0	0	0
01017	X	-	0	0	0	0	0	0
01017	Y	+	0	0	0	0	0	0
01017	Y	-	0	0	0	0	0	0
01018	X	+	0	0	0	0	0	0
01018	X	-	0	0	0	0	0	0
01018	Y	+	0	0	0	0	0	0
01018	Y	-	0	0	0	0	0	0
01019	X	+	0	0	0	0	0	0
01019	X	-	0	0	0	0	0	0
01019	Y	+	0	0	0	0	0	0
01019	Y	-	0	0	0	0	0	0
01020	X	+	0	0	0	0	0	0
01020	X	-	0	0	0	0	0	0
01020	Y	+	0	0	0	0	0	0
01020	Y	-	0	0	0	0	0	0
01021	X	+	0	0	0	0	0	0
01021	X	-	0	0	0	0	0	0
01021	Y	+	0	0	0	0	0	0
01021	Y	-	0	0	0	0	0	0
01022	X	+	0	0	0	0	0	0
01022	X	-	0	0	0	0	0	0
01022	Y	+	0	0	0	0	0	0
01022	Y	-	0	0	0	0	0	0
01023	X	+	0	0	0	0	0	0
01023	X	-	0	0	0	0	0	0
01023	Y	+	0	0	0	0	0	0
01023	Y	-	0	0	0	0	0	0
01024	X	+	0	0	0	0	0	0
01024	X	-	0	0	0	0	0	0
01024	Y	+	0	0	0	0	0	0
01024	Y	-	0	0	0	0	0	0
01025	X	+	0	0	0	0	0	0
01025	X	-	0	0	0	0	0	0
01025	Y	+	0	0	0	0	0	0
01025	Y	-	0	0	0	0	0	0
01026	X	+	0	0	0	0	0	0
01026	X	-	0	0	0	0	0	0
01026	Y	+	0	0	0	0	0	0
01026	Y	-	0	0	0	0	0	0
01027	X	+	0	0	0	0	0	0
01027	X	-	0	0	0	0	0	0
01027	Y	+	0	0	0	0	0	0
01027	Y	-	0	0	0	0	0	0
01028	X	+	0	0	0	0	0	0
01028	X	-	0	0	0	0	0	0
01028	Y	+	0	0	0	0	0	0
01028	Y	-	0	0	0	0	0	0

Comm.: C20-025-S05

Il presente documento è di proprietà della ANTEX GROUP srl. È vietato la comunicazione a terzi o la riproduzione senza il permesso scritto della suddetta. La società tutela i propri diritti a rigore di Legge.





PARCO EOLICO DI "BUDDUSO"

RELAZIONE DI CALCOLO E TABULATI OPERE EDILI  
SSEU



Ingegneria & Innovazione

30/06/2023

REV: 2

Pag. 319

Nodi - Reazioni vincolari esterne per eccentricità accidentale

IdNd	Dir	e	F <sub>x</sub>	F <sub>y</sub>	F <sub>z</sub>	M <sub>x</sub>	M <sub>y</sub>	M <sub>z</sub>
			[N]	[N]	[N]	[N-m]	[N-m]	[N-m]
01029	X	+	0	0	0	0	0	0
01029	X	-	0	0	0	0	0	0
01029	Y	+	0	0	0	0	0	0
01029	Y	-	0	0	0	0	0	0
01030	X	+	0	0	0	0	0	0
01030	X	-	0	0	0	0	0	0
01030	Y	+	0	0	0	0	0	0
01030	Y	-	0	0	0	0	0	0
01031	X	+	0	0	0	0	0	0
01031	X	-	0	0	0	0	0	0
01031	Y	+	0	0	0	0	0	0
01031	Y	-	0	0	0	0	0	0
01032	X	+	0	0	0	0	0	0
01032	X	-	0	0	0	0	0	0
01032	Y	+	0	0	0	0	0	0
01032	Y	-	0	0	0	0	0	0
01033	X	+	0	0	0	0	0	0
01033	X	-	0	0	0	0	0	0
01033	Y	+	0	0	0	0	0	0
01033	Y	-	0	0	0	0	0	0
01034	X	+	0	0	0	0	0	0
01034	X	-	0	0	0	0	0	0
01034	Y	+	0	0	0	0	0	0
01034	Y	-	0	0	0	0	0	0
01035	X	+	0	0	0	0	0	0
01035	X	-	0	0	0	0	0	0
01035	Y	+	0	0	0	0	0	0
01035	Y	-	0	0	0	0	0	0
01036	X	+	0	0	0	0	0	0
01036	X	-	0	0	0	0	0	0
01036	Y	+	0	0	0	0	0	0
01036	Y	-	0	0	0	0	0	0
01037	X	+	0	0	0	0	0	0
01037	X	-	0	0	0	0	0	0
01037	Y	+	0	0	0	0	0	0
01037	Y	-	0	0	0	0	0	0
01038	X	+	0	0	0	0	0	0
01038	X	-	0	0	0	0	0	0
01038	Y	+	0	0	0	0	0	0
01038	Y	-	0	0	0	0	0	0
01039	X	+	0	0	0	0	0	0
01039	X	-	0	0	0	0	0	0
01039	Y	+	0	0	0	0	0	0
01039	Y	-	0	0	0	0	0	0
01040	X	+	0	0	0	0	0	0
01040	X	-	0	0	0	0	0	0
01040	Y	+	0	0	0	0	0	0
01040	Y	-	0	0	0	0	0	0
01041	X	+	0	0	0	0	0	0
01041	X	-	0	0	0	0	0	0
01041	Y	+	0	0	0	0	0	0
01041	Y	-	0	0	0	0	0	0
01042	X	+	0	0	0	0	0	0
01042	X	-	0	0	0	0	0	0
01042	Y	+	0	0	0	0	0	0
01042	Y	-	0	0	0	0	0	0
01043	X	+	0	0	0	0	0	0
01043	X	-	0	0	0	0	0	0
01043	Y	+	0	0	0	0	0	0
01043	Y	-	0	0	0	0	0	0
01044	X	+	0	0	0	0	0	0
01044	X	-	0	0	0	0	0	0
01044	Y	+	0	0	0	0	0	0
01044	Y	-	0	0	0	0	0	0
01045	X	+	0	0	0	0	0	0
01045	X	-	0	0	0	0	0	0

Comm.: C20-025-S05

Il presente documento è di proprietà della ANTEX GROUP srl.  
È vietato la comunicazione a terzi o la riproduzione senza il permesso scritto della suddetta.  
La società tutela i propri diritti a rigore di Legge.





PARCO EOLICO DI "BUDDUSO"

RELAZIONE DI CALCOLO E TABULATI OPERE EDILI  
SSEU



Ingegneria & Innovazione

30/06/2023

REV: 2

Pag. 320

Nodi - Reazioni vincolari esterne per eccentricità accidentale

IdNd	Dir	e	F <sub>x</sub>	F <sub>y</sub>	F <sub>z</sub>	M <sub>x</sub>	M <sub>y</sub>	M <sub>z</sub>
			[N]	[N]	[N]	[N-m]	[N-m]	[N-m]
01045	Y	+	0	0	0	0	0	0
01045	Y	-	0	0	0	0	0	0
01046	X	+	0	0	0	0	0	0
01046	X	-	0	0	0	0	0	0
01046	Y	+	0	0	0	0	0	0
01046	Y	-	0	0	0	0	0	0
01047	X	+	0	0	0	0	0	0
01047	X	-	0	0	0	0	0	0
01047	Y	+	0	0	0	0	0	0
01047	Y	-	0	0	0	0	0	0
01048	X	+	0	0	0	0	0	0
01048	X	-	0	0	0	0	0	0
01048	Y	+	0	0	0	0	0	0
01048	Y	-	0	0	0	0	0	0
01049	X	+	0	0	0	0	0	0
01049	X	-	0	0	0	0	0	0
01049	Y	+	0	0	0	0	0	0
01049	Y	-	0	0	0	0	0	0
01050	X	+	0	0	0	0	0	0
01050	X	-	0	0	0	0	0	0
01050	Y	+	0	0	0	0	0	0
01050	Y	-	0	0	0	0	0	0
01051	X	+	0	0	0	0	0	0
01051	X	-	0	0	0	0	0	0
01051	Y	+	0	0	0	0	0	0
01051	Y	-	0	0	0	0	0	0
01052	X	+	0	0	0	0	0	0
01052	X	-	0	0	0	0	0	0
01052	Y	+	0	0	0	0	0	0
01052	Y	-	0	0	0	0	0	0
01053	X	+	0	0	0	0	0	0
01053	X	-	0	0	0	0	0	0
01053	Y	+	0	0	0	0	0	0
01053	Y	-	0	0	0	0	0	0
01054	X	+	0	0	0	0	0	0
01054	X	-	0	0	0	0	0	0
01054	Y	+	0	0	0	0	0	0
01054	Y	-	0	0	0	0	0	0
01055	X	+	0	0	0	0	0	0
01055	X	-	0	0	0	0	0	0
01055	Y	+	0	0	0	0	0	0
01055	Y	-	0	0	0	0	0	0
01056	X	+	0	0	0	0	0	0
01056	X	-	0	0	0	0	0	0
01056	Y	+	0	0	0	0	0	0
01056	Y	-	0	0	0	0	0	0
01057	X	+	0	0	0	0	0	0
01057	X	-	0	0	0	0	0	0
01057	Y	+	0	0	0	0	0	0
01057	Y	-	0	0	0	0	0	0
01058	X	+	0	0	0	0	0	0
01058	X	-	0	0	0	0	0	0
01058	Y	+	0	0	0	0	0	0
01058	Y	-	0	0	0	0	0	0
01059	X	+	0	0	0	0	0	0
01059	X	-	0	0	0	0	0	0
01059	Y	+	0	0	0	0	0	0
01059	Y	-	0	0	0	0	0	0
01060	X	+	0	0	0	0	0	0
01060	X	-	0	0	0	0	0	0
01060	Y	+	0	0	0	0	0	0
01060	Y	-	0	0	0	0	0	0
01061	X	+	0	0	0	0	0	0
01061	X	-	0	0	0	0	0	0
01061	Y	+	0	0	0	0	0	0
01061	Y	-	0	0	0	0	0	0

Comm.: C20-025-S05

Il presente documento è di proprietà della ANTEX GROUP srl.  
È vietato la comunicazione a terzi o la riproduzione senza il permesso scritto della suddetta.  
La società tutela i propri diritti a rigore di Legge.







PARCO EOLICO DI "BUDDUSO"

RELAZIONE DI CALCOLO E TABULATI OPERE EDILI SSEU



Ingegneria & Innovazione

30/06/2023

REV: 2

Pag. 321

Nodi - Reazioni vincolari esterne per eccentricità accidentale

IdNd	Dir	e	F <sub>x</sub>	F <sub>y</sub>	F <sub>z</sub>	M <sub>x</sub>	M <sub>y</sub>	M <sub>z</sub>
			[N]	[N]	[N]	[N-m]	[N-m]	[N-m]
01062	X	+	0	0	0	0	0	0
01062	X	-	0	0	0	0	0	0
01062	Y	+	0	0	0	0	0	0
01062	Y	-	0	0	0	0	0	0
01063	X	+	0	0	0	0	0	0
01063	X	-	0	0	0	0	0	0
01063	Y	+	0	0	0	0	0	0
01063	Y	-	0	0	0	0	0	0
01064	X	+	0	0	0	0	0	0
01064	X	-	0	0	0	0	0	0
01064	Y	+	0	0	0	0	0	0
01064	Y	-	0	0	0	0	0	0
01065	X	+	0	0	0	0	0	0
01065	X	-	0	0	0	0	0	0
01065	Y	+	0	0	0	0	0	0
01065	Y	-	0	0	0	0	0	0
01066	X	+	0	0	0	0	0	0
01066	X	-	0	0	0	0	0	0
01066	Y	+	0	0	0	0	0	0
01066	Y	-	0	0	0	0	0	0
01067	X	+	0	0	0	0	0	0
01067	X	-	0	0	0	0	0	0
01067	Y	+	0	0	0	0	0	0
01067	Y	-	0	0	0	0	0	0
01068	X	+	0	0	0	0	0	0
01068	X	-	0	0	0	0	0	0
01068	Y	+	0	0	0	0	0	0
01068	Y	-	0	0	0	0	0	0
01069	X	+	0	0	0	0	0	0
01069	X	-	0	0	0	0	0	0
01069	Y	+	0	0	0	0	0	0
01069	Y	-	0	0	0	0	0	0
01070	X	+	0	0	0	0	0	0
01070	X	-	0	0	0	0	0	0
01070	Y	+	0	0	0	0	0	0
01070	Y	-	0	0	0	0	0	0
01071	X	+	0	0	0	0	0	0
01071	X	-	0	0	0	0	0	0
01071	Y	+	0	0	0	0	0	0
01071	Y	-	0	0	0	0	0	0
01072	X	+	0	0	0	0	0	0
01072	X	-	0	0	0	0	0	0
01072	Y	+	0	0	0	0	0	0
01072	Y	-	0	0	0	0	0	0
01073	X	+	0	0	0	0	0	0
01073	X	-	0	0	0	0	0	0
01073	Y	+	0	0	0	0	0	0
01073	Y	-	0	0	0	0	0	0
01074	X	+	0	0	0	0	0	0
01074	X	-	0	0	0	0	0	0
01074	Y	+	0	0	0	0	0	0
01074	Y	-	0	0	0	0	0	0
01075	X	+	0	0	0	0	0	0
01075	X	-	0	0	0	0	0	0
01075	Y	+	0	0	0	0	0	0
01075	Y	-	0	0	0	0	0	0
01076	X	+	0	0	0	0	0	0
01076	X	-	0	0	0	0	0	0
01076	Y	+	0	0	0	0	0	0
01076	Y	-	0	0	0	0	0	0
01077	X	+	0	0	0	0	0	0
01077	X	-	0	0	0	0	0	0
01077	Y	+	0	0	0	0	0	0
01077	Y	-	0	0	0	0	0	0
01078	X	+	0	0	0	0	0	0
01078	X	-	0	0	0	0	0	0

Comm.: C20-025-S05

Il presente documento è di proprietà della ANTEX GROUP srl. È vietato la comunicazione a terzi o la riproduzione senza il permesso scritto della suddetta. La società tutela i propri diritti a rigore di Legge.





PARCO EOLICO DI "BUDDUSO"

RELAZIONE DI CALCOLO E TABULATI OPERE EDILI  
SSEU



Ingegneria & Innovazione

30/06/2023

REV: 2

Pag. 322

Nodi - Reazioni vincolari esterne per eccentricità accidentale

IdNd	Dir	e	F <sub>x</sub>	F <sub>y</sub>	F <sub>z</sub>	M <sub>x</sub>	M <sub>y</sub>	M <sub>z</sub>
			[N]	[N]	[N]	[N-m]	[N-m]	[N-m]
01078	Y	+	0	0	0	0	0	0
01078	Y	-	0	0	0	0	0	0
01079	X	+	0	0	0	0	0	0
01079	X	-	0	0	0	0	0	0
01079	Y	+	0	0	0	0	0	0
01079	Y	-	0	0	0	0	0	0
01080	X	+	0	0	0	0	0	0
01080	X	-	0	0	0	0	0	0
01080	Y	+	0	0	0	0	0	0
01080	Y	-	0	0	0	0	0	0
01081	X	+	0	0	0	0	0	0
01081	X	-	0	0	0	0	0	0
01081	Y	+	0	0	0	0	0	0
01081	Y	-	0	0	0	0	0	0
01082	X	+	0	0	0	0	0	0
01082	X	-	0	0	0	0	0	0
01082	Y	+	0	0	0	0	0	0
01082	Y	-	0	0	0	0	0	0
01083	X	+	0	0	0	0	0	0
01083	X	-	0	0	0	0	0	0
01083	Y	+	0	0	0	0	0	0
01083	Y	-	0	0	0	0	0	0
01084	X	+	0	0	0	0	0	0
01084	X	-	0	0	0	0	0	0
01084	Y	+	0	0	0	0	0	0
01084	Y	-	0	0	0	0	0	0
01085	X	+	0	0	0	0	0	0
01085	X	-	0	0	0	0	0	0
01085	Y	+	0	0	0	0	0	0
01085	Y	-	0	0	0	0	0	0
01086	X	+	0	0	0	0	0	0
01086	X	-	0	0	0	0	0	0
01086	Y	+	0	0	0	0	0	0
01086	Y	-	0	0	0	0	0	0
01087	X	+	0	0	0	0	0	0
01087	X	-	0	0	0	0	0	0
01087	Y	+	0	0	0	0	0	0
01087	Y	-	0	0	0	0	0	0
01088	X	+	0	0	0	0	0	0
01088	X	-	0	0	0	0	0	0
01088	Y	+	0	0	0	0	0	0
01088	Y	-	0	0	0	0	0	0
01089	X	+	0	0	0	0	0	0
01089	X	-	0	0	0	0	0	0
01089	Y	+	0	0	0	0	0	0
01089	Y	-	0	0	0	0	0	0
01090	X	+	0	0	0	0	0	0
01090	X	-	0	0	0	0	0	0
01090	Y	+	0	0	0	0	0	0
01090	Y	-	0	0	0	0	0	0
01091	X	+	0	0	0	0	0	0
01091	X	-	0	0	0	0	0	0
01091	Y	+	0	0	0	0	0	0
01091	Y	-	0	0	0	0	0	0
01092	X	+	0	0	0	0	0	0
01092	X	-	0	0	0	0	0	0
01092	Y	+	0	0	0	0	0	0
01092	Y	-	0	0	0	0	0	0
01093	X	+	0	0	0	0	0	0
01093	X	-	0	0	0	0	0	0
01093	Y	+	0	0	0	0	0	0
01093	Y	-	0	0	0	0	0	0
01094	X	+	0	0	0	0	0	0
01094	X	-	0	0	0	0	0	0
01094	Y	+	0	0	0	0	0	0
01094	Y	-	0	0	0	0	0	0

Il presente documento è di proprietà della ANTEX GROUP srl.  
È vietato la comunicazione a terzi o la riproduzione senza il permesso scritto della suddetta.  
La società tutela i propri diritti a rigore di Legge.

Comm.: C20-025-S05





PARCO EOLICO DI "BUDDUSO"

RELAZIONE DI CALCOLO E TABULATI OPERE EDILI  
SSEU



Ingegneria & Innovazione

30/06/2023

REV: 2

Pag. 323

Nodi - Reazioni vincolari esterne per eccentricità accidentale

IdNd	Dir	e	F <sub>x</sub> [N]	F <sub>y</sub> [N]	F <sub>z</sub> [N]	M <sub>x</sub> [N-m]	M <sub>y</sub> [N-m]	M <sub>z</sub> [N-m]
01095	X	+	0	0	0	0	0	0
01095	X	-	0	0	0	0	0	0
01095	Y	+	0	0	0	0	0	0
01095	Y	-	0	0	0	0	0	0
01096	X	+	0	0	0	0	0	0
01096	X	-	0	0	0	0	0	0
01096	Y	+	0	0	0	0	0	0
01096	Y	-	0	0	0	0	0	0
01097	X	+	0	0	0	0	0	0
01097	X	-	0	0	0	0	0	0
01097	Y	+	0	0	0	0	0	0
01097	Y	-	0	0	0	0	0	0
01098	X	+	0	0	0	0	0	0
01098	X	-	0	0	0	0	0	0
01098	Y	+	0	0	0	0	0	0
01098	Y	-	0	0	0	0	0	0
01099	X	+	0	0	0	0	0	0
01099	X	-	0	0	0	0	0	0
01099	Y	+	0	0	0	0	0	0
01099	Y	-	0	0	0	0	0	0
01100	X	+	0	0	0	0	0	0
01100	X	-	0	0	0	0	0	0
01100	Y	+	0	0	0	0	0	0
01100	Y	-	0	0	0	0	0	0
01101	X	+	0	0	0	0	0	0
01101	X	-	0	0	0	0	0	0
01101	Y	+	0	0	0	0	0	0
01101	Y	-	0	0	0	0	0	0
01102	X	+	0	0	0	0	0	0
01102	X	-	0	0	0	0	0	0
01102	Y	+	0	0	0	0	0	0
01102	Y	-	0	0	0	0	0	0
01103	X	+	0	0	0	0	0	0
01103	X	-	0	0	0	0	0	0
01103	Y	+	0	0	0	0	0	0
01103	Y	-	0	0	0	0	0	0
01104	X	+	0	0	0	0	0	0
01104	X	-	0	0	0	0	0	0
01104	Y	+	0	0	0	0	0	0
01104	Y	-	0	0	0	0	0	0
01105	X	+	0	0	0	0	0	0
01105	X	-	0	0	0	0	0	0
01105	Y	+	0	0	0	0	0	0
01105	Y	-	0	0	0	0	0	0
01106	X	+	0	0	0	0	0	0
01106	X	-	0	0	0	0	0	0
01106	Y	+	0	0	0	0	0	0
01106	Y	-	0	0	0	0	0	0

LEGENDA:

- IdNd** Identificativo del nodo.  
**Dir** Direzione del sisma.  
**e** Segno dell'eccentricità accidentale.  
**F<sub>x</sub>, F<sub>y</sub>** Reazioni vincolari relative al sistema di riferimento globale X, Y, Z.  
**F<sub>z</sub>, M<sub>x</sub>**  
**M<sub>y</sub>, M<sub>z</sub>**

NODI (CA) - VERIFICA A PUNZONAMENTO (Fondazione)

IdNd	Sp <sub>p</sub>	Dir <sub>p</sub> z	V <sub>Ed,pz</sub>	β	u <sub>0</sub>	V <sub>Rd,0,max</sub>	D <sub>st</sub>	θ	u <sub>1</sub>	R <sub>z,terr</sub>	V <sub>Ed,red</sub>	V <sub>Rd,1,c</sub>	A <sub>s,pz,A/B</sub>	V <sub>Rd,1,cs,s</sub>	V <sub>Rd,1,cs,c</sub>	α	D <sub>st,0</sub> ut	U <sub>out</sub>	CS <sub>0,ma</sub> x	CS <sub>1,c</sub>	CS <sub>1,cs</sub>
0000 2	4,00	0	0	0,00	0,00	0	0,00	0,0	0,00	-	-	0	-	-	-	-	-	-	-	NS	NS

LEGENDA:

Il presente documento è di proprietà della ANTEX GROUP srl.  
È Vietato la comunicazione a terzi o la riproduzione senza il permesso scritto della suddetta.  
La società tutela i propri diritti a rigore di Legge.

Comm.: C20-025-S05





PARCO EOLICO DI "BUDDUSO"

RELAZIONE DI CALCOLO E TABULATI OPERE EDILI  
SSEU



Ingegneria & Innovazione

30/06/2023

REV: 2

Pag. 324

Nodi (CA) - Verifica a punzonamento

Id <sub>Nd</sub>	Sp <sub>p</sub>	Dir <sub>pz</sub>	V <sub>Ed,pz</sub>	β	u <sub>0</sub>	V <sub>Rd,0,max</sub>	D <sub>st</sub>	θ	u <sub>1</sub>	R <sub>z,terr</sub>	V <sub>Ed,red</sub>	V <sub>Rd,1,c</sub>	A <sub>s,pz,A/B</sub>	V <sub>Rd,1,cs,s</sub>	V <sub>Rd,1,cs,c</sub>	α	D <sub>st,out</sub>	u <sub>out</sub>	CS <sub>0,max</sub>	CS <sub>1,c</sub>	CS <sub>1,cs</sub>
[m]			[N]		[m]	[N]	[m]	[°]	[m]	[N]	[N]	[N]	[cm <sup>2</sup> ]	[N]	[N]	[°]	[m]	[m]	x	c	cs
Id <sub>Nd</sub>	Identificativo del nodo.																				
Sp <sub>p</sub>	Spessore della piastra.																				
Dir <sub>pz</sub>	Direzione di punzonamento (0 = verso il basso; 1 = verso l'alto).																				
V <sub>Ed,pz</sub>	Forza di punzonamento di progetto.																				
β	Coefficiente amplificativo per l'eccentricità																				
u <sub>0</sub>	Perimetro di verifica in adiacenza del pilastro																				
V <sub>Rd,0,max</sub>	Forza resistente in adiacenza del pilastro																				
D <sub>st</sub>	Distanza dal pilastro del perimetro critico u <sub>1</sub>																				
θ	Angolo di diffusione																				
u <sub>1</sub>	Perimetro di verifica di base																				
R <sub>z,terr</sub>	Reazione del terreno all'interno del perimetro u <sub>1</sub>																				
V <sub>Ed,red</sub>	Forza netta di punzonamento																				
V <sub>Rd,1,c</sub>	Forza resistente in assenza di armature lungo u <sub>1</sub>																				
A <sub>s,pz,A/B</sub>	Armatura a punzonamento esecutiva in direzione A/B.																				
V <sub>Rd,1,cs,s</sub>	Forza resistente dovuta alle armature lungo u <sub>1</sub>																				
V <sub>Rd,1,cs,c</sub>	Forza resistente dovuta al calcestruzzo, in presenza di armature, lungo u <sub>1</sub>																				
α	Angolo compreso fra l'armatura a punzonamento ed il piano della piastra																				
D <sub>st,out</sub>	Distanza dal pilastro oltre la quale non è richiesta armatura																				
u <sub>out</sub>	Perimetro critico oltre il quale non è richiesta armatura																				
CS <sub>0,max</sub>	Coefficiente di sicurezza per la verifica in adiacenza del pilastro, lungo il perimetro u <sub>0</sub>																				
CS <sub>1,c</sub>	Coefficiente di sicurezza in assenza di armature lungo il perimetro u <sub>1</sub>																				
CS <sub>1,cs</sub>	Coefficiente di sicurezza in presenza di armature lungo il perimetro u <sub>1</sub>																				

PLATEE - VERIFICHE PRESSOFLESSIONE RETTA ALLO SLU (Fondazione)

Platee - Verifiche pressoflessione retta allo SLU

Dir	Pos	Nodo	N <sub>Ed</sub>	M <sub>Ed</sub>	A <sub>s</sub>	A <sub>df</sub>	CS	Nodo	N <sub>Ed</sub>	M <sub>Ed</sub>	A <sub>s</sub>	A <sub>df</sub>	CS	Nodo	N <sub>Ed</sub>	M <sub>Ed</sub>	A <sub>s</sub>	A <sub>df</sub>	CS	
			[N]	[N-m]	[cm <sup>2</sup> /cm]	[cm <sup>2</sup> /cm]			[N]	[N-m]	[cm <sup>2</sup> /cm]	[cm <sup>2</sup> /cm]			[N]	[N-m]	[cm <sup>2</sup> /cm]	[cm <sup>2</sup> /cm]		
Fondazione																				
Platea 1																				
P	S	00002	0	5.009.067	9,778	9,778	30,1	00003	0	0	2,356	2,356	-	00004	0	181	2,356	2,356	NS	
	I		0	1.009.640	9,778	9,778	NS		0	1.924	2,356	2,356	NS		0	1.691	2,356	2,356	NS	
S	S		0	4.628.738	2,591	2,591	3,79		0	0	1,413	1,413	-		0	6.214	1,413	1,413	NS	
	I		0	1.066.335	3,652	3,652	6,90		0	1.499	1,413	1,413	NS		0	1.494	1,413	1,413	NS	
P	S	00005	0	16.265	2,356	2,356	NS	00006	0	0	2,356	2,356	-	00007	0	2.739	2,356	2,356	NS	
	I		0	1.465	2,356	2,356	NS		0	9.770	2,356	2,356	NS		0	4.188	2,356	2,356	NS	
S	S		0	9.394	1,413	1,413	NS		0	0	1,413	1,413	-		0	17.281	1,413	1,413	NS	
	I		0	1.449	1,413	1,413	NS		0	4.879	1,413	1,413	NS		0	2.451	1,413	1,413	NS	
P	S	00008	0	0	2,356	2,356	-	00009	0	0	2,356	2,356	-	00010	0	0	2,356	2,356	-	
	I		0	77.059	2,356	2,356	NS		0	102.774	2,356	2,356	NS		0	282.068	2,356	2,356	NS	
S	S		0	56.967	1,413	1,413	NS		0	0	1,413	1,413	-		0	64.273	1,413	1,413	NS	
	I		0	6.334	1,413	1,413	NS		0	40.106	1,413	1,413	NS		0	6.717	1,413	1,413	NS	
P	S	00011	0	0	2,356	2,356	-	00012	0	0	2,356	2,356	-	00013	0	0	2,356	2,356	-	
	I		0	351.209	2,356	2,356	NS		0	540.250	2,356	2,356	67,25		0	751.371	2,356	2,356	48,35	
S	S		0	0	1,413	1,413	-		0	49.886	1,413	1,413	NS		0	103.600	1,413	1,413	NS	
	I		0	24.594	1,413	1,413	NS		0	6.010	1,413	1,413	NS		0	6.040	1,413	1,413	NS	
P	S	00014	0	0	2,356	2,356	-	00015	0	0	2,356	2,356	-	00016	0	0	2,356	2,356	-	
	I		0	807.868	2,356	2,356	44,97		0	1.080.137	2,356	2,356	33,64		0	1.147.541	2,356	2,356	31,66	

Il presente documento è di proprietà della ANTEX GROUP srl.  
È vietato la comunicazione a terzi o la riproduzione senza il permesso scritto della suddetta.  
La società tutela i propri diritti a rigore di Legge.

Comm.: C20-025-S05





PARCO EOLICO DI "BUDDUSO"

RELAZIONE DI CALCOLO E TABULATI OPERE EDILI SSEU



Ingegneria & Innovazione

30/06/2023

REV: 2

Pag. 325

Platee - Verifiche pressoflessione retta allo SLU

Table with columns: Dir, Pos, Nodo, NEd, MEd, As, Adf, CS, and repeated for each node. It contains structural analysis data for various plate elements.

Il presente documento è di proprietà della ANTEX GROUP srl. È vietato la comunicazione a terzi o la riproduzione senza il permesso scritto della suddetta. La società tutela i propri diritti a rigore di Legge.

Comm.: C20-025-S05





PARCO EOLICO DI "BUDDUSO"

RELAZIONE DI CALCOLO E TABULATI OPERE EDILI  
SSEU



Ingegneria & Innovazione

30/06/2023

REV: 2

Pag. 326

Platee - Verifiche pressoflessione retta allo SLU

Dir	Pos	Nodo	N <sub>Ed</sub>	M <sub>Ed</sub>	A <sub>s</sub>	A <sub>df</sub>	CS	Nodo	N <sub>Ed</sub>	M <sub>Ed</sub>	A <sub>s</sub>	A <sub>df</sub>	CS	Nodo	N <sub>Ed</sub>	M <sub>Ed</sub>	A <sub>s</sub>	A <sub>df</sub>	CS
			[N]	[N-m]	[cm <sup>2</sup> /cm]	[cm <sup>2</sup> /cm]			[N]	[N-m]	[cm <sup>2</sup> /cm]	[cm <sup>2</sup> /cm]			[N]	[N-m]	[cm <sup>2</sup> /cm]	[cm <sup>2</sup> /cm]	
	I		0	126.156	1,41372	1,41372	NS		0	148.970	1,41372	1,41372	NS		0	1.512	1,41372	1,41372	NS
P	S	00041	0	949.009	2,35619	2,35619	38,28	00042	0	828.328	2,35619	2,35619	43,86	00043	0	659.839	2,35619	2,35619	55,06
	I		0	4.383	2,35619	2,35619	NS		0	4.592	2,35619	2,35619	NS		0	5.801	2,35619	2,35619	NS
S	S		0	0	1,41372	1,41372	-		0	0	1,41372	1,41372	-		0	38.930	1,41372	1,41372	NS
	I		0	151.884	1,41372	1,41372	NS		0	100.509	1,41372	1,41372	NS		0	1.544	1,41372	1,41372	NS
P	S	00044	0	661.575	2,35619	2,35619	54,92	00045	0	427.212	2,35619	2,35619	85,05	00046	0	426.557	2,35619	2,35619	85,18
	I		0	5.047	2,35619	2,35619	NS		0	5.822	2,35619	2,35619	NS		0	4.746	2,35619	2,35619	NS
S	S		0	0	1,41372	1,41372	-		0	61.842	1,41372	1,41372	NS		0	0	1,41372	1,41372	-
	I		0	124.414	1,41372	1,41372	NS		0	1.501	1,41372	1,41372	NS		0	121.710	1,41372	1,41372	NS
P	S	00047	0	274.725	2,35619	2,35619	NS	00048	0	104.484	2,35619	2,35619	NS	00049	0	99.276	2,35619	2,35619	NS
	I		0	4.796	2,35619	2,35619	NS		0	5.848	2,35619	2,35619	NS		0	5.157	2,35619	2,35619	NS
S	S		0	0	1,41372	1,41372	-		0	34.874	1,41372	1,41372	NS		0	0	1,41372	1,41372	-
	I		0	81.236	1,41372	1,41372	NS		0	1.543	1,41372	1,41372	NS		0	95.037	1,41372	1,41372	NS
P	S	00050	0	0	2,35619	2,35619	-	00051	0	0	2,35619	2,35619	-	00052	0	0	2,35619	2,35619	-
	I		0	58.549	2,35619	2,35619	NS		0	31.996	2,35619	2,35619	NS		0	63.646	2,35619	2,35619	NS
S	S		0	42.400	1,41372	1,41372	NS		0	0	1,41372	1,41372	-		0	0	1,41372	1,41372	-
	I		0	1.566	1,41372	1,41372	NS		0	79.452	1,41372	1,41372	NS		0	36.575	1,41372	1,41372	NS
P	S	00053	0	0	2,35619	2,35619	-	00054	0	3.691	2,35619	2,35619	NS	00055	0	662	2,35619	2,35619	NS
	I		0	22.470	2,35619	2,35619	NS		0	4.485	2,35619	2,35619	NS		0	2.222	2,35619	2,35619	NS
S	S		0	0	1,41372	1,41372	-		0	0	1,41372	1,41372	-		0	0	1,41372	1,41372	-
	I		0	134.387	1,41372	1,41372	NS		0	226.883	1,41372	1,41372	96,10		0	258.258	1,41372	1,41372	84,42
P	S	00056	0	0	2,35619	2,35619	-	00057	0	12.080	2,35619	2,35619	NS	00058	0	705	2,35619	2,35619	NS
	I		0	7.294	2,35619	2,35619	NS		0	4.510	2,35619	2,35619	NS		0	28.166	2,35619	2,35619	NS
S	S		0	0	1,41372	1,41372	-		0	0	1,41372	1,41372	-		0	0	1,41372	1,41372	-
	I		0	282.806	1,41372	1,41372	77,09		0	288.812	1,41372	1,41372	75,49		0	233.196	1,41372	1,41372	93,50
P	S	00059	0	13.160	2,35619	2,35619	NS	00060	0	26.721	2,35619	2,35619	NS	00061	0	27.858	2,35619	2,35619	NS
	I		0	4.251	2,35619	2,35619	NS		0	4.380	2,35619	2,35619	NS		0	4.352	2,35619	2,35619	NS
S	S		0	0	1,41372	1,41372	-		0	0	1,41372	1,41372	-		0	19.153	1,41372	1,41372	NS
	I		0	185.284	1,41372	1,41372	NS		0	87.579	1,41372	1,41372	NS		0	3.489	1,41372	1,41372	NS
P	S	00062	0	0	2,35619	2,35619	-	00063	0	25.421	2,35619	2,35619	NS	00064	0	32.556	2,35619	2,35619	NS
	I		0	32.439	2,35619	2,35619	NS		0	0	2,35619	2,35619	-		0	4.532	2,35619	2,35619	NS
S	S		0	218.498	1,41372	1,41372	99,78		0	364.529	1,41372	1,41372	59,81		0	528.909	1,41372	1,41372	41,22
	I		0	6.627	1,41372	1,41372	NS		0	4.721	1,41372	1,41372	NS		0	3.952	1,41372	1,41372	NS

Il presente documento è di proprietà della ANTEX GROUP srl.  
È Vietato la comunicazione a terzi o la riproduzione senza il permesso scritto della suddetta.  
La società tutela i propri diritti a rigore di Legge.

Comm.: C20-025-S05





PARCO EOLICO DI "BUDDUSO"

RELAZIONE DI CALCOLO E TABULATI OPERE EDILI  
SSEU



Ingegneria & Innovazione

30/06/2023

REV: 2

Pag. 327

Platee - Verifiche pressoflessione retta allo SLU

Dir	Pos	Nodo	N <sub>Ed</sub>		M <sub>Ed</sub>		A <sub>s</sub>		A <sub>df</sub>		CS	Nodo		N <sub>Ed</sub>		M <sub>Ed</sub>		A <sub>s</sub>		A <sub>df</sub>		CS
			[N]	[N-m]	[cm <sup>2</sup> /cm]	[cm <sup>2</sup> /cm]	[N]	[N-m]	[cm <sup>2</sup> /cm]	[cm <sup>2</sup> /cm]		[N]	[N-m]	[cm <sup>2</sup> /cm]	[cm <sup>2</sup> /cm]	[N]	[N-m]	[cm <sup>2</sup> /cm]	[cm <sup>2</sup> /cm]			
P	S	00065	0	0	2,356	2,356	-	00066	0	20.68	2,356	2,356	NS	00067	0	32.02	2,356	2,356	NS			
			0	42.51	2,356	2,356	NS	0	0	2,356	2,356	-	0	4.421	2,356	2,356	NS					
S	S	0	804.4	1,413	1,413	27,1	0	991.8	1,413	1,413	21,9	8	0	1.181	1,413	1,413	18,46					
			33	72	72	0	13	72	72	NS	0	4.133	1,413	1,413	0	0.16	1,413	1,413	NS			
P	S	00068	0	0	2,356	2,356	-	00069	0	13.27	2,356	2,356	NS	00070	0	19.49	2,356	2,356	NS			
			0	48.20	2,356	2,356	NS	0	0	2,356	2,356	-	0	4.362	2,356	2,356	NS					
S	S	0	1.480.	1,413	1,413	14,7	0	1.660.	1,413	1,413	13,1	3	0	1.833.	1,413	1,413	11,89					
			657	72	72	3	120	72	72	NS	0	3.751	1,413	1,413	0	0.558	1,413	1,413	NS			
P	S	00071	0	0	2,356	2,356	-	00072	0	13.09	2,356	2,356	NS	00073	0	183	2,356	2,356	NS			
			0	49.17	2,356	2,356	NS	0	0	2,356	2,356	-	0	4.324	2,356	2,356	NS					
S	S	0	2.079.	1,413	1,413	10,4	0	2.194.	1,413	1,413	9,93	0	2.306.	1,413	1,413	9,45						
			208	72	72	9	756	72	72	NS	0	3.646	1,413	1,413	0	0.572	1,413	1,413	NS			
P	S	00074	0	0	2,356	2,356	-	00075	0	23.55	2,356	2,356	NS	00076	0	0	2,356	2,356	-			
			0	45.72	2,356	2,356	NS	0	0	2,356	2,356	-	0	25.54	2,356	2,356	NS					
S	S	0	2.426.	1,413	1,413	8,98	0	2.438.	1,413	1,413	8,94	0	2.452.	1,413	1,413	8,89						
			654	72	72	NS	0	699	72	72	NS	0	617	72	72	NS						
P	S	00077	0	0	2,356	2,356	-	00078	0	40.51	2,356	2,356	NS	00079	0	0	2,356	2,356	-			
			0	38.22	2,356	2,356	NS	0	0	2,356	2,356	-	0	41.95	2,356	2,356	NS					
S	S	0	2.414.	1,413	1,413	9,03	0	2.313.	1,413	1,413	9,42	0	2.223.	1,413	1,413	9,81						
			547	72	72	NS	0	643	72	72	NS	0	114	72	72	NS						
P	S	00080	0	0	2,356	2,356	-	00081	0	0	2,356	2,356	-	00082	0	38.25	2,356	2,356	NS			
			0	26.17	2,356	2,356	NS	0	18.59	2,356	2,356	NS	0	4.252	2,356	2,356	NS					
S	S	0	2.042.	1,413	1,413	10,6	0	1.891.	1,413	1,413	11,5	3	0	1.633.	1,413	1,413	13,35					
			549	72	72	7	478	72	72	NS	0	3.201	1,413	1,413	0	0.120	1,413	1,413	NS			
P	S	00083	0	709	2,356	2,356	NS	00084	0	0	2,356	2,356	-	00085	0	48.27	2,356	2,356	NS			
			0	55.38	2,356	2,356	NS	0	8.832	2,356	2,356	NS	0	4.299	2,356	2,356	NS					
S	S	0	1.462.	1,413	1,413	14,9	0	1.243.	1,413	1,413	17,5	4	0	959.1	1,413	1,413	22,73					
			981	72	72	0	297	72	72	NS	0	3.963	1,413	1,413	0	0.60	1,413	1,413	NS			
P	S	00086	0	671	2,356	2,356	NS	00087	0	0	2,356	2,356	-	00088	0	45.46	2,356	2,356	NS			
			0	50.41	2,356	2,356	NS	0	7.947	2,356	2,356	NS	0	4.334	2,356	2,356	NS					
S	S	0	793.6	1,413	1,413	27,4	0	584.4	1,413	1,413	37,3	1	0	338.3	1,413	1,413	64,44					
			51	72	72	7	29	72	72	NS	0	4.712	1,413	1,413	0	0.26	1,413	1,413	NS			
P	S	00089	0	654	2,356	2,356	NS	00090	0	0	2,356	2,356	-	00091	0	31.40	2,356	2,356	NS			
			0	0	2,356	2,356	NS	0	0	2,356	2,356	-	0	31.40	2,356	2,356	NS					

Comm.: C20-025-S05

Il presente documento è di proprietà della ANTEX GROUP srl.  
È Vietato la comunicazione a terzi o la riproduzione senza il permesso scritto della suddetta.  
La società tutela i propri diritti a rigore di Legge.





PARCO EOLICO DI "BUDDUSO"

RELAZIONE DI CALCOLO E TABULATI OPERE EDILI  
SSEU



Ingegneria & Innovazione

30/06/2023

REV: 2

Pag. 328

Platee - Verifiche pressoflessione retta allo SLU

Dir	Pos	Nodo	N <sub>Ed</sub>	M <sub>Ed</sub>	A <sub>s</sub>	A <sub>df</sub>	CS	Nodo	N <sub>Ed</sub>	M <sub>Ed</sub>	A <sub>s</sub>	A <sub>df</sub>	CS	Nodo	N <sub>Ed</sub>	M <sub>Ed</sub>	A <sub>s</sub>	A <sub>df</sub>	CS
			[N]	[N-m]	[cm <sup>2</sup> /cm]	[cm <sup>2</sup> /cm]			[N]	[N-m]	[cm <sup>2</sup> /cm]	[cm <sup>2</sup> /cm]			[N]	[N-m]	[cm <sup>2</sup> /cm]	[cm <sup>2</sup> /cm]	
	I		0	33.26 2	2,356 19	2,356 19	NS		0	7.706	2,356 19	2,356 19	NS		0	4.383	2,356 19	2,356 19	NS
S	S		0	215.2 45	1,413 72	1,413 72	NS		0	61.24 3	1,413 72	1,413 72	NS		0	0	1,413 72	1,413 72	-
	I		0	4.126	1,413 72	1,413 72	NS		0	5.545	1,413 72	1,413 72	NS		0	98.61 8	1,413 72	1,413 72	NS
P	S	00092	0	668	2,356 19	2,356 19	NS	00093	0	79	2,356 19	2,356 19	NS	00094	0	11.86 9	2,356 19	2,356 19	NS
	I		0	17.51 3	2,356 19	2,356 19	NS		0	4.329	2,356 19	2,356 19	NS		0	4.452	2,356 19	2,356 19	NS
S	S		0	0	1,413 72	1,413 72	-		0	0	1,413 72	1,413 72	-		0	0	1,413 72	1,413 72	-
	I		0	159.8 85	1,413 72	1,413 72	NS		0	235.7 09	1,413 72	1,413 72	92,5 0		0	283.0 46	1,413 72	1,413 72	77,03
P	S	00095	0	660	2,356 19	2,356 19	NS	00096	0	5.971	2,356 19	2,356 19	NS	00097	0	0	2,356 19	2,356 19	-
	I		0	13.82 4	2,356 19	2,356 19	NS		0	4.277	2,356 19	2,356 19	NS		0	10.02 6	2,356 19	2,356 19	NS
S	S		0	0	1,413 72	1,413 72	-		0	0	1,413 72	1,413 72	-		0	0	1,413 72	1,413 72	-
	I		0	275.0 11	1,413 72	1,413 72	79,2 8		0	270.2 44	1,413 72	1,413 72	80,6 8		0	206.1 96	1,413 72	1,413 72	NS
P	S	00098	0	0	2,356 19	2,356 19	-	00099	0	0	2,356 19	2,356 19	-	00100	0	0	2,356 19	2,356 19	-
	I		0	9.561	2,356 19	2,356 19	NS		0	71.70 6	2,356 19	2,356 19	NS		0	38.66 4	2,356 19	2,356 19	NS
S	S		0	0	1,413 72	1,413 72	-		0	15.05 4	1,413 72	1,413 72	NS		0	0	1,413 72	1,413 72	-
	I		0	123.0 57	1,413 72	1,413 72	NS		0	1.389	1,413 72	1,413 72	NS		0	67.14 2	1,413 72	1,413 72	NS
P	S	00101	0	25.10 8	2,356 19	2,356 19	NS	00102	0	11.05 2	2,356 19	2,356 19	NS	00103	0	185.1 60	2,356 19	2,356 19	NS
	I		0	4.906	2,356 19	2,356 19	NS		0	5.928	2,356 19	2,356 19	NS		0	4.807	2,356 19	2,356 19	NS
S	S		0	0	1,413 72	1,413 72	-		0	44.37 7	1,413 72	1,413 72	NS		0	0	1,413 72	1,413 72	-
	I		0	91.22 8	1,413 72	1,413 72	NS		0	1.562	1,413 72	1,413 72	NS		0	95.92 2	1,413 72	1,413 72	NS
P	S	00104	0	307.2 32	2,356 19	2,356 19	NS	00105	0	318.3 70	2,356 19	2,356 19	NS	00106	0	557.2 46	2,356 19	2,356 19	65,20
	I		0	4.887	2,356 19	2,356 19	NS		0	6.033	2,356 19	2,356 19	NS		0	5.140	2,356 19	2,356 19	NS
S	S		0	0	1,413 72	1,413 72	-		0	64.04 5	1,413 72	1,413 72	NS		0	0	1,413 72	1,413 72	-
	I		0	112.5 62	1,413 72	1,413 72	NS		0	1.574	1,413 72	1,413 72	NS		0	128.5 88	1,413 72	1,413 72	NS
P	S	00107	0	550.9 28	2,356 19	2,356 19	65,9 5	00108	0	759.2 23	2,356 19	2,356 19	47,8 5	00109	0	877.2 87	2,356 19	2,356 19	41,41
	I		0	5.822	2,356 19	2,356 19	NS		0	4.638	2,356 19	2,356 19	NS		0	4.576	2,356 19	2,356 19	NS
S	S		0	54.23 1	1,413 72	1,413 72	NS		0	0	1,413 72	1,413 72	-		0	0	1,413 72	1,413 72	-
	I		0	1.536	1,413 72	1,413 72	NS		0	115.5 99	1,413 72	1,413 72	NS		0	142.4 94	1,413 72	1,413 72	NS
P	S	00110	0	814.8 27	2,356 19	2,356 19	44,5 9	00111	0	1.013. 176	2,356 19	2,356 19	35,8 6	00112	0	887.6 16	2,356 19	2,356 19	40,93
	I		0	5.656	2,356 19	2,356 19	NS		0	4.837	2,356 19	2,356 19	NS		0	5.566	2,356 19	2,356 19	NS
S	S		0	73.96 5	1,413 72	1,413 72	NS		0	0	1,413 72	1,413 72	-		0	67.35 4	1,413 72	1,413 72	NS
	I		0	1.544	1,413 72	1,413 72	NS		0	154.2 68	1,413 72	1,413 72	NS		0	1.560	1,413 72	1,413 72	NS
P	S	00113	0	998.3 90	2,356 19	2,356 19	36,3 9	00114	0	950.1 03	2,356 19	2,356 19	38,2 4	00115	0	737.5 49	2,356 19	2,356 19	49,26
	I		0	4.366	2,356 19	2,356 19	NS		0	4.182	2,356 19	2,356 19	NS		0	5.098	2,356 19	2,356 19	NS

Il presente documento è di proprietà della ANTEX GROUP srl.  
È Vietato la comunicazione a terzi o la riproduzione senza il permesso scritto della suddetta.  
La società tutela i propri diritti a rigore di Legge.

Comm.: C20-025-S05







PARCO EOLICO DI "BUDDUSO"

RELAZIONE DI CALCOLO E TABULATI OPERE EDILI  
SSEU



Ingegneria & Innovazione

30/06/2023

REV: 2

Pag. 329

Platee - Verifiche pressoflessione retta allo SLU

Dir	Pos	Nodo	N <sub>Ed</sub>		M <sub>Ed</sub>		A <sub>s</sub>		A <sub>df</sub>		CS	Nodo	N <sub>Ed</sub>		M <sub>Ed</sub>		A <sub>s</sub>		A <sub>df</sub>		CS
			[N]	[N-m]	[N-m]	[cm <sup>2</sup> /cm]	[cm <sup>2</sup> /cm]	[N]	[N-m]	[cm <sup>2</sup> /cm]			[cm <sup>2</sup> /cm]	[N]	[N-m]	[cm <sup>2</sup> /cm]	[cm <sup>2</sup> /cm]				
S	S		0	0	1,413	1,413	-		0	0	1,413	1,413	-		0	66.44	1,413	1,413		NS	
			0	136.103	1,413	1,413	NS		0	136.677	1,413	1,413	NS		0	1.540	1,413	1,413		NS	
P	S	00116	0	749.933	2,356	2,356	48,45	00117	0	512.762	2,356	2,356	70,86	00118	0	301.140	2,356	2,356		NS	
			0	4.111	2,356	2,356	NS		0	4.208	2,356	2,356	NS		0	5.246	2,356	2,356		NS	
S	S		0	0	1,413	1,413	-		0	0	1,413	1,413	-		0	4.635	1,413	1,413		NS	
			0	132.263	1,413	1,413	NS		0	47.000	1,413	1,413	NS		0	1.554	1,413	1,413		NS	
P	S	00119	0	122.889	2,356	2,356	NS	00120	0	0	2,356	2,356	-	00121	0	0	2,356	2,356		-	
			0	4.528	2,356	2,356	NS		0	164.412	2,356	2,356	NS		0	351.858	2,356	2,356		NS	
S	S		0	0	1,413	1,413	-		0	32.465	1,413	1,413	NS		0	0	1,413	1,413		-	
			0	52.108	1,413	1,413	NS		0	1.528	1,413	1,413	NS		0	45.017	1,413	1,413		NS	
P	S	00122	0	0	2,356	2,356	-	00123	0	0	2,356	2,356	-	00124	0	0	2,356	2,356		-	
			0	695.317	2,356	2,356	52,25		0	852.523	2,356	2,356	42,62		0	1.147.138	2,356	2,356		31,67	
S	S		0	63.192	1,413	1,413	NS		0	0	1,413	1,413	-		0	71.241	1,413	1,413		NS	
			0	5.987	1,413	1,413	NS		0	44.267	1,413	1,413	NS		0	6.758	1,413	1,413		NS	
P	S	00125	0	0	2,356	2,356	-	00126	0	0	2,356	2,356	-	00127	0	0	2,356	2,356		-	
			0	1.273.952	2,356	2,356	28,52		0	1.476.828	2,356	2,356	24,60		0	1.665.639	2,356	2,356		21,81	
S	S		0	0	1,413	1,413	-		0	64.993	1,413	1,413	NS		0	140.555	1,413	1,413		NS	
			0	19.227	1,413	1,413	NS		0	6.016	1,413	1,413	NS		0	6.089	1,413	1,413		NS	
P	S	00128	0	0	2,356	2,356	-	00129	0	0	2,356	2,356	-	00130	0	0	2,356	2,356		-	
			0	1.596.938	2,356	2,356	22,75		0	1.776.763	2,356	2,356	20,45		0	1.755.062	2,356	2,356		20,70	
S	S		0	0	1,413	1,413	-		0	144.537	1,413	1,413	NS		0	124.854	1,413	1,413		NS	
			0	75.020	1,413	1,413	NS		0	6.089	1,413	1,413	NS		0	5.989	1,413	1,413		NS	
P	S	00131	0	0	2,356	2,356	-	00132	0	0	2,356	2,356	-	00133	0	0	2,356	2,356		-	
			0	1.598.568	2,356	2,356	22,73		0	1.664.983	2,356	2,356	21,82		0	1.409.587	2,356	2,356		25,78	
S	S		0	0	1,413	1,413	-		0	144.830	1,413	1,413	NS		0	0	1,413	1,413		-	
			0	63.158	1,413	1,413	NS		0	6.732	1,413	1,413	NS		0	79.504	1,413	1,413		NS	
P	S	00134	0	0	2,356	2,356	-	00135	0	0	2,356	2,356	-	00136	0	0	2,356	2,356		-	
			0	1.420.834	2,356	2,356	25,57		0	1.231.202	2,356	2,356	29,51		0	987.413	2,356	2,356		36,80	
S	S		0	137.685	1,413	1,413	NS		0	92.752	1,413	1,413	NS		0	0	1,413	1,413		-	
			0	5.962	1,413	1,413	NS		0	5.940	1,413	1,413	NS		0	48.141	1,413	1,413		NS	
P	S	00137	0	0	2,356	2,356	-	00138	0	0	2,356	2,356	-	00139	0	0	2,356	2,356		-	
			0	930.037	2,356	2,356	39,07		0	651.325	2,356	2,356	55,78		0	591.055	2,356	2,356		61,47	
S	S		0	107.675	1,413	1,413	NS		0	0	1,413	1,413	-		0	98.022	1,413	1,413		NS	

Comm.: C20-025-S05

Il presente documento è di proprietà della ANTEX GROUP srl.  
È vietato la comunicazione a terzi o la riproduzione senza il permesso scritto della suddetta.  
La società tutela i propri diritti a rigore di Legge.





PARCO EOLICO DI "BUDDUSO"

RELAZIONE DI CALCOLO E TABULATI OPERE EDILI  
SSEU



Ingegneria & Innovazione

30/06/2023

REV: 2

Pag. 330

Platee - Verifiche pressoflessione retta allo SLU

Dir	Pos	Nodo	N <sub>Ed</sub>		M <sub>Ed</sub>		A <sub>s</sub>	A <sub>df</sub>	CS	Nodo	N <sub>Ed</sub>		M <sub>Ed</sub>		A <sub>s</sub>	A <sub>df</sub>	CS	Nodo	N <sub>Ed</sub>		M <sub>Ed</sub>		A <sub>s</sub>	A <sub>df</sub>	CS
			[N]	[N-m]	[N-m]	[N-m]					[N]	[N-m]	[N-m]	[N-m]					[N]	[N-m]	[N-m]	[N-m]			
	I		0	6.717	1,413 72	1,413 72			NS		0	67.39 8	1,413 72	1,413 72			NS		0	5.981	1,413 72	1,413 72			NS
P	S	00140	0	0	2,356 19	2,356 19			-	00141	0	0	2,356 19	2,356 19			-	00142	0	0	2,356 19	2,356 19			-
	I		0	409.4 92	2,356 19	2,356 19		88,7 3			0	217.2 89	2,356 19	2,356 19			NS		0	172.0 25	2,356 19	2,356 19			NS
S	S		0	64.94 9	1,413 72	1,413 72			NS		0	0	1,413 72	1,413 72			-		0	62.64 0	1,413 72	1,413 72			NS
	I		0	6.055	1,413 72	1,413 72			NS		0	37.05 8	1,413 72	1,413 72			NS		0	5.993	1,413 72	1,413 72			NS
P	S	00143	0	0	2,356 19	2,356 19			-	00144	0	5.864	2,356 19	2,356 19			NS	00145	0	2.044	2,356 19	2,356 19			NS
	I		0	57.18 8	2,356 19	2,356 19			NS		0	4.234	2,356 19	2,356 19			NS		0	601	2,356 19	2,356 19			NS
S	S		0	29.29 6	1,413 72	1,413 72			NS		0	0	1,413 72	1,413 72			-		0	63.84 1	1,413 72	1,413 72			NS
	I		0	5.140	1,413 72	1,413 72			NS		0	7.426	1,413 72	1,413 72			NS		0	3.263	1,413 72	1,413 72			NS
P	S	00146	0	0	2,356 19	2,356 19			-	00147	0	0	2,356 19	2,356 19			-	00148	0	17.79 4	2,356 19	2,356 19			NS
	I		0	16.03 9	2,356 19	2,356 19			NS		0	10.05 5	2,356 19	2,356 19			NS		0	0	2,356 19	2,356 19			-
S	S		0	102.1 05	1,413 72	1,413 72			NS		0	104.2 32	1,413 72	1,413 72			NS		0	75.08 4	1,413 72	1,413 72			NS
	I		0	3.641	1,413 72	1,413 72			NS		0	6.445	1,413 72	1,413 72			NS		0	4.654	1,413 72	1,413 72			NS
P	S	00149	0	0	2,356 19	2,356 19			-	00150	0	327	2,356 19	2,356 19			NS	00151	0	25.23 4	2,356 19	2,356 19			NS
	I		0	35.72 9	2,356 19	2,356 19			NS		0	4.333	2,356 19	2,356 19			NS		0	0	2,356 19	2,356 19			-
S	S		0	52.94 2	1,413 72	1,413 72			NS		0	0	1,413 72	1,413 72			-		0	0	1,413 72	1,413 72			-
	I		0	4.795	1,413 72	1,413 72			NS		0	59.47 0	1,413 72	1,413 72			NS		0	176.4 27	1,413 72	1,413 72			NS
P	S	00152	0	0	2,356 19	2,356 19			-	00153	0	3.418	2,356 19	2,356 19			NS	00154	0	43.50 4	2,356 19	2,356 19			NS
	I		0	53.54 6	2,356 19	2,356 19			NS		0	4.375	2,356 19	2,356 19			NS		0	0	2,356 19	2,356 19			-
S	S		0	0	1,413 72	1,413 72			-		0	0	1,413 72	1,413 72			-		0	0	1,413 72	1,413 72			-
	I		0	275.0 27	1,413 72	1,413 72		79,2 8			0	503.2 01	1,413 72	1,413 72		43,3 3			0	705.6 05	1,413 72	1,413 72		30,90	
P	S	00155	0	0	2,356 19	2,356 19			-	00156	0	5.217	2,356 19	2,356 19			NS	00157	0	61.56 7	2,356 19	2,356 19			NS
	I		0	65.50 0	2,356 19	2,356 19			NS		0	4.426	2,356 19	2,356 19			NS		0	0	2,356 19	2,356 19			-
S	S		0	0	1,413 72	1,413 72			-		0	0	1,413 72	1,413 72			-		0	0	1,413 72	1,413 72			-
	I		0	873.9 58	1,413 72	1,413 72		24,9 5			0	1.192. 660	1,413 72	1,413 72		18,2 8			0	1.452. 737	1,413 72	1,413 72		15,01	
P	S	00158	0	0	2,356 19	2,356 19			-	00159	0	8.972	2,356 19	2,356 19			NS	00160	0	65.45 1	2,356 19	2,356 19			NS
	I		0	65.56 2	2,356 19	2,356 19			NS		0	4.526	2,356 19	2,356 19			NS		0	0	2,356 19	2,356 19			-
S	S		0	0	1,413 72	1,413 72			-		0	0	1,413 72	1,413 72			-		0	0	1,413 72	1,413 72			-
	I		0	1.666. 857	1,413 72	1,413 72		13,0 8			0	2.018. 843	1,413 72	1,413 72		10,8 0			0	2.285. 621	1,413 72	1,413 72		9,54	
P	S	00161	0	0	2,356 19	2,356 19			-	00162	0	24.67 1	2,356 19	2,356 19			NS	00163	0	34.78 9	2,356 19	2,356 19			NS
	I		0	52.30 4	2,356 19	2,356 19			NS		0	4.366	2,356 19	2,356 19			NS		0	4.363	2,356 19	2,356 19			NS
S	S		0	0	1,413 72	1,413 72			-		0	0	1,413 72	1,413 72			-		0	0	1,413 72	1,413 72			-
	I		0	2.498. 275	1,413 72	1,413 72		8,73			0	2.811. 462	1,413 72	1,413 72		7,75			0	2.994. 175	1,413 72	1,413 72		7,28	

Il presente documento è di proprietà della ANTEX GROUP srl.  
È Vietato la comunicazione a terzi o la riproduzione senza il permesso scritto della suddetta.  
La società tutela i propri diritti a rigore di Legge.

Comm.: C20-025-S05





PARCO EOLICO DI "BUDDUSO"

RELAZIONE DI CALCOLO E TABULATI OPERE EDILI  
SSEU



Ingegneria & Innovazione

30/06/2023

REV: 2

Pag. 331

Platee - Verifiche pressoflessione retta allo SLU

Dir	Pos	Nodo	N <sub>Ed</sub>	M <sub>Ed</sub>	A <sub>s</sub>	A <sub>df</sub>	CS	Nodo	N <sub>Ed</sub>	M <sub>Ed</sub>	A <sub>s</sub>	A <sub>df</sub>	CS	Nodo	N <sub>Ed</sub>	M <sub>Ed</sub>	A <sub>s</sub>	A <sub>df</sub>	CS
			[N]	[N-m]	[cm <sup>2</sup> /cm]	[cm <sup>2</sup> /cm]			[N]	[N-m]	[cm <sup>2</sup> /cm]	[cm <sup>2</sup> /cm]			[N]	[N-m]	[cm <sup>2</sup> /cm]	[cm <sup>2</sup> /cm]	
P	S	00164	0	46.23 8	2,356 19	2,356 19	NS	00165	0	717	2,356 19	2,356 19	NS	00166	0	48.70 5	2,356 19	2,356 19	NS
I			0	4.262	2,356 19	2,356 19	NS		0	54.87 9	2,356 19	2,356 19	NS		0	4.521	2,356 19	2,356 19	NS
S	S		0	0	1,413 72	1,413 72	-		0	0	1,413 72	1,413 72	-		0	0	1,413 72	1,413 72	-
I			0	3.213. 022	1,413 72	1,413 72	6,79		0	3.315. 866	1,413 72	1,413 72	6,58		0	3.442. 378	1,413 72	1,413 72	6,33
P	S	00167	0	28.45 5	2,356 19	2,356 19	NS	00168	0	677	2,356 19	2,356 19	NS	00169	0	57.39 6	2,356 19	2,356 19	NS
I			0	4.302	2,356 19	2,356 19	NS		0	38.14 3	2,356 19	2,356 19	NS		0	4.416	2,356 19	2,356 19	NS
S	S		0	0	1,413 72	1,413 72	-		0	0	1,413 72	1,413 72	-		0	0	1,413 72	1,413 72	-
I			0	3.487. 683	1,413 72	1,413 72	6,25		0	3.461. 307	1,413 72	1,413 72	6,30		0	3.455. 670	1,413 72	1,413 72	6,31
P	S	00170	0	3.607	2,356 19	2,356 19	NS	00171	0	648	2,356 19	2,356 19	NS	00172	0	60.25 4	2,356 19	2,356 19	NS
I			0	4.329	2,356 19	2,356 19	NS		0	28.00 2	2,356 19	2,356 19	NS		0	4.365	2,356 19	2,356 19	NS
S	S		0	0	1,413 72	1,413 72	-		0	0	1,413 72	1,413 72	-		0	0	1,413 72	1,413 72	-
I			0	3.310. 308	1,413 72	1,413 72	6,59		0	3.164. 314	1,413 72	1,413 72	6,89		0	3.035. 111	1,413 72	1,413 72	7,18
P	S	00173	0	0	2,356 19	2,356 19	-	00174	0	656	2,356 19	2,356 19	NS	00175	0	57.34 9	2,356 19	2,356 19	NS
I			0	22.07 4	2,356 19	2,356 19	NS		0	28.26 7	2,356 19	2,356 19	NS		0	4.330	2,356 19	2,356 19	NS
S	S		0	0	1,413 72	1,413 72	-		0	0	1,413 72	1,413 72	-		0	0	1,413 72	1,413 72	-
I			0	2.736. 788	1,413 72	1,413 72	7,97		0	2.514. 930	1,413 72	1,413 72	8,67		0	2.305. 401	1,413 72	1,413 72	9,46
P	S	00176	0	0	2,356 19	2,356 19	-	00177	0	692	2,356 19	2,356 19	NS	00178	0	48.98 6	2,356 19	2,356 19	NS
I			0	38.01 2	2,356 19	2,356 19	NS		0	35.16 7	2,356 19	2,356 19	NS		0	4.306	2,356 19	2,356 19	NS
S	S		0	0	1,413 72	1,413 72	-		0	0	1,413 72	1,413 72	-		0	0	1,413 72	1,413 72	-
I			0	1.936. 096	1,413 72	1,413 72	11,2 6		0	1.692. 684	1,413 72	1,413 72	12,8 8		0	1.466. 374	1,413 72	1,413 72	14,87
P	S	00179	0	0	2,356 19	2,356 19	-	00180	0	714	2,356 19	2,356 19	NS	00181	0	36.22 0	2,356 19	2,356 19	NS
I			0	42.00 7	2,356 19	2,356 19	NS		0	38.70 4	2,356 19	2,356 19	NS		0	4.268	2,356 19	2,356 19	NS
S	S		0	0	1,413 72	1,413 72	-		0	0	1,413 72	1,413 72	-		0	0	1,413 72	1,413 72	-
I			0	1.115. 704	1,413 72	1,413 72	19,5 4		0	898.2 23	1,413 72	1,413 72	24,2 7		0	712.7 06	1,413 72	1,413 72	30,59
P	S	00182	0	0	2,356 19	2,356 19	-	00183	0	0	2,356 19	2,356 19	-	00184	0	0	2,356 19	2,356 19	-
I			0	40.80 2	2,356 19	2,356 19	NS		0	41.76 4	2,356 19	2,356 19	NS		0	34.19 8	2,356 19	2,356 19	NS
S	S		0	0	1,413 72	1,413 72	-		0	0	1,413 72	1,413 72	-		0	0	1,413 72	1,413 72	-
I			0	439.5 05	1,413 72	1,413 72	49,6 1		0	290.9 08	1,413 72	1,413 72	74,9 5		0	140.7 10	1,413 72	1,413 72	NS
P	S	00185	0	46.81 9	2,356 19	2,356 19	NS	00186	0	0	2,356 19	2,356 19	-	00187	0	0	2,356 19	2,356 19	-
I			0	0	2,356 19	2,356 19	-		0	27.96 7	2,356 19	2,356 19	NS		0	16.76 0	2,356 19	2,356 19	NS
S	S		0	0	1,413 72	1,413 72	-		0	50.17 9	1,413 72	1,413 72	NS		0	92.31 4	1,413 72	1,413 72	NS
I			0	55.59 8	1,413 72	1,413 72	NS		0	4.555	1,413 72	1,413 72	NS		0	6.332	1,413 72	1,413 72	NS
P	S	00188	0	21.52 7	2,356 19	2,356 19	NS	00189	0	0	2,356 19	2,356 19	-	00190	0	4.423	2,356 19	2,356 19	NS

Comm.: C20-025-S05

Il presente documento è di proprietà della ANTEX GROUP srl.  
È vietato la comunicazione a terzi o la riproduzione senza il permesso scritto della suddetta.  
La società tutela i propri diritti a rigore di Legge.





PARCO EOLICO DI "BUDDUSO"

RELAZIONE DI CALCOLO E TABULATI OPERE EDILI  
SSEU



Ingegneria & Innovazione

30/06/2023

REV: 2

Pag. 332

Platee - Verifiche pressoflessione retta allo SLU

Dir	Pos	Nodo	N <sub>Ed</sub>		M <sub>Ed</sub>		A <sub>s</sub>		A <sub>df</sub>		CS	Nodo	N <sub>Ed</sub>		M <sub>Ed</sub>		A <sub>s</sub>		A <sub>df</sub>		CS						
			[N]	[N-m]	[cm <sup>2</sup> /cm]	[cm <sup>2</sup> /cm]	[N]	[N-m]	[cm <sup>2</sup> /cm]	[cm <sup>2</sup> /cm]			[N]	[N-m]	[cm <sup>2</sup> /cm]	[cm <sup>2</sup> /cm]											
	I		0	0	2,356 19	2,356 19	-					0	0	19.56 9	2,356 19	2,356 19	NS		0	3.204	2,356 19	2,356 19	NS				
S	S		0	97.22 7	1,413 72	1,413 72	NS					0	0	109.2 20	1,413 72	1,413 72	NS		0	68.40 0	1,413 72	1,413 72	NS				
	I		0	4.599	1,413 72	1,413 72	NS					0	0	5.509	1,413 72	1,413 72	NS		0	4.501	1,413 72	1,413 72	NS				
P	S	00191	0	0	2,356 19	2,356 19	-	00192	0	0	2,356 19	2,356 19	-	00193	0	0	7.467	2,356 19	2,356 19	NS		0	7.467	2,356 19	2,356 19	NS	
	I		0	32.19 5	2,356 19	2,356 19	NS		0	0	39.19 6	2,356 19	2,356 19	NS	0	0	2.804	2,356 19	2,356 19	NS		0	2.804	2,356 19	2,356 19	NS	
S	S		0	0	1,413 72	1,413 72	-		0	0	1,413 72	1,413 72	-		0	0	38.11 9	1,413 72	1,413 72	NS		0	38.11 9	1,413 72	1,413 72	NS	
	I		0	69.75 2	1,413 72	1,413 72	NS		0	0	70.63 3	1,413 72	1,413 72	NS	0	0	2.721	1,413 72	1,413 72	NS		0	2.721	1,413 72	1,413 72	NS	
P	S	00194	0	275	2,356 19	2,356 19	NS	00195	0	0	2,356 19	2,356 19	-	00196	0	0	0	2,356 19	2,356 19	-		0	0	2,356 19	2,356 19	-	
	I		0	3.205	2,356 19	2,356 19	NS		0	0	14.38 5	2,356 19	2,356 19	NS	0	0	125.4 03	2,356 19	2,356 19	NS		0	125.4 03	2,356 19	2,356 19	NS	
S	S		0	36.22 7	1,413 72	1,413 72	NS		0	0	82.34 7	1,413 72	1,413 72	NS	0	0	100.3 07	1,413 72	1,413 72	NS		0	100.3 07	1,413 72	1,413 72	NS	
	I		0	3.184	1,413 72	1,413 72	NS		0	0	4.465	1,413 72	1,413 72	NS	0	0	6.067	1,413 72	1,413 72	NS		0	6.067	1,413 72	1,413 72	NS	
P	S	00197	0	0	2,356 19	2,356 19	-	00198	0	0	2,356 19	2,356 19	-	00199	0	0	0	2,356 19	2,356 19	-		0	0	2,356 19	2,356 19	-	
	I		0	305.5 80	2,356 19	2,356 19	NS		0	0	553.1 52	2,356 19	2,356 19	65,6 8	0	0	821.0 64	2,356 19	2,356 19	44,25		0	821.0 64	2,356 19	2,356 19	44,25	
S	S		0	118.8 63	1,413 72	1,413 72	NS		0	0	152.1 38	1,413 72	1,413 72	NS	0	0	175.0 99	1,413 72	1,413 72	NS		0	175.0 99	1,413 72	1,413 72	NS	
	I		0	6.080	1,413 72	1,413 72	NS		0	0	5.937	1,413 72	1,413 72	NS	0	0	5.577	1,413 72	1,413 72	NS		0	5.577	1,413 72	1,413 72	NS	
P	S	00200	0	0	2,356 19	2,356 19	-	00201	0	0	2,356 19	2,356 19	-	00202	0	0	0	2,356 19	2,356 19	-		0	0	2,356 19	2,356 19	-	
	I		0	1.117. 709	2,356 19	2,356 19	32,5 1		0	0	1.401. 030	2,356 19	2,356 19	25,9 3	0	0	1.618. 264	2,356 19	2,356 19	22,45		0	1.618. 264	2,356 19	2,356 19	22,45	
S	S		0	206.9 91	1,413 72	1,413 72	NS		0	0	255.3 20	1,413 72	1,413 72	85,3 9	0	0	270.1 97	1,413 72	1,413 72	80,69		0	270.1 97	1,413 72	1,413 72	80,69	
	I		0	5.538	1,413 72	1,413 72	NS		0	0	5.827	1,413 72	1,413 72	NS	0	0	5.543	1,413 72	1,413 72	NS		0	5.543	1,413 72	1,413 72	NS	
P	S	00203	0	0	2,356 19	2,356 19	-	00204	0	0	2,356 19	2,356 19	-	00205	0	0	0	2,356 19	2,356 19	-		0	0	2,356 19	2,356 19	-	
	I		0	1.785. 544	2,356 19	2,356 19	20,3 5		0	0	1.864. 924	2,356 19	2,356 19	19,4 8	0	0	1.801. 958	2,356 19	2,356 19	20,16		0	1.801. 958	2,356 19	2,356 19	20,16	
S	S		0	290.3 60	1,413 72	1,413 72	75,0 9		0	0	316.5 97	1,413 72	1,413 72	68,8 7	0	0	288.3 58	1,413 72	1,413 72	75,61		0	288.3 58	1,413 72	1,413 72	75,61	
	I		0	5.582	1,413 72	1,413 72	NS		0	0	5.962	1,413 72	1,413 72	NS	0	0	6.084	1,413 72	1,413 72	NS		0	6.084	1,413 72	1,413 72	NS	
P	S	00206	0	0	2,356 19	2,356 19	-	00207	0	0	2,356 19	2,356 19	-	00208	0	0	0	2,356 19	2,356 19	-		0	0	2,356 19	2,356 19	-	
	I		0	1.650. 043	2,356 19	2,356 19	22,0 2		0	0	1.358. 244	2,356 19	2,356 19	26,7 5	0	0	965.0 64	2,356 19	2,356 19	37,65		0	965.0 64	2,356 19	2,356 19	37,65	
S	S		0	266.1 55	1,413 72	1,413 72	81,9 2		0	0	190.6 66	1,413 72	1,413 72	NS	0	0	112.9 33	1,413 72	1,413 72	NS		0	112.9 33	1,413 72	1,413 72	NS	
	I		0	5.958	1,413 72	1,413 72	NS		0	0	5.587	1,413 72	1,413 72	NS	0	0	5.549	1,413 72	1,413 72	NS		0	5.549	1,413 72	1,413 72	NS	
P	S	00209	0	0	2,356 19	2,356 19	-	00210	0	0	2,356 19	2,356 19	-	00211	0	0	344.3 24	2,356 19	2,356 19	NS		0	344.3 24	2,356 19	2,356 19	NS	
	I		0	533.8 49	2,356 19	2,356 19	68,0 6		0	0	87.52 7	2,356 19	2,356 19	NS	0	0	4.331	2,356 19	2,356 19	NS		0	4.331	2,356 19	2,356 19	NS	
S	S		0	24.12 4	1,413 72	1,413 72	NS		0	0	0	1,413 72	1,413 72	-	0	0	0	1,413 72	1,413 72	-		0	0	1,413 72	1,413 72	-	
	I		0	5.830	1,413 72	1,413 72	NS		0	0	70.84 4	1,413 72	1,413 72	NS	0	0	153.8 39	1,413 72	1,413 72	NS		0	153.8 39	1,413 72	1,413 72	NS	
P	S	00212	0	691.6 30	2,356 19	2,356 19	52,5 3	00213	0	0	920.1 67	2,356 19	2,356 19	39,4 8	00214	0	0	1.068. 445	2,356 19	2,356 19	34,00		0	1.068. 445	2,356 19	2,356 19	34,00
	I		0	4.159	2,356 19	2,356 19	NS		0	0	4.232	2,356 19	2,356 19	NS	0	0	4.272	2,356 19	2,356 19	NS		0	4.272	2,356 19	2,356 19	NS	

Comm.: C20-025-S05

Il presente documento è di proprietà della ANTEX GROUP srl.  
È vietato la comunicazione a terzi o la riproduzione senza il permesso scritto della suddetta.  
La società tutela i propri diritti a rigore di Legge.





PARCO EOLICO DI "BUDDUSO"

RELAZIONE DI CALCOLO E TABULATI OPERE EDILI  
SSEU



Ingegneria & Innovazione

30/06/2023

REV: 2

Pag. 333

Platee - Verifiche pressoflessione retta allo SLU

Dir	Pos	Nodo	N <sub>Ed</sub>		M <sub>Ed</sub>		A <sub>s</sub>		A <sub>df</sub>		CS	Nodo	N <sub>Ed</sub>		M <sub>Ed</sub>		A <sub>s</sub>		A <sub>df</sub>		CS
			[N]	[N-m]	[cm <sup>2</sup> /cm]	[cm <sup>2</sup> /cm]	[N]	[N-m]	[cm <sup>2</sup> /cm]	[cm <sup>2</sup> /cm]			[N]	[N-m]	[cm <sup>2</sup> /cm]	[cm <sup>2</sup> /cm]					
S	S		0	0	1,413	1,413	72	72	-	-		0	0	1,413	1,413	72	72	-	-		
	I		0	235.7	1,413	1,413	72	72	92,4	8		0	270.3	1,413	1,413	72	72	80,6	5		
P	S	00215	0	1.082.	2,356	2,356	19	19	33,5	5	00216	0	1.016.	2,356	2,356	19	19	35,7	6	00217	
	I		0	918	2,356	2,356	19	19	5	NS		0	092	2,356	2,356	19	19	6	NS		
			0	4.567	19	19	19	19	NS			0	4.653	19	19	19	19	NS		0	
S	S		0	0	1,413	1,413	72	72	-	-		0	0	1,413	1,413	72	72	-	-		
	I		0	294.7	1,413	1,413	72	72	73,9	6		0	285.4	1,413	1,413	72	72	76,3	9		
			0	95	72	72	72	72	6			0	25	72	72	72	72	9		0	
P	S	00218	0	700.7	2,356	2,356	19	19	51,8	5	00219	0	491.9	2,356	2,356	19	19	73,8	6	00220	
	I		0	07	19	19	19	19	5	NS		0	30	19	19	19	19	6	NS		
			0	4.824	2,356	2,356	19	19	NS			0	4.970	2,356	2,356	19	19	NS		0	
S	S		0	0	1,413	1,413	72	72	-	-		0	0	1,413	1,413	72	72	-	-		
	I		0	242.1	1,413	1,413	72	72	90,0	3		0	218.1	1,413	1,413	72	72	99,9	6		
			0	86	72	72	72	72	3			0	14	72	72	72	72	6		0	
P	S	00221	0	124.5	2,356	2,356	19	19	NS		00222	0	13.50	2,356	2,356	19	19	NS		00223	
	I		0	85	19	19	19	19	NS			0	6	19	19	19	19	NS		0	
			0	4.930	2,356	2,356	19	19	NS			0	4.981	2,356	2,356	19	19	NS		0	
S	S		0	0	1,413	1,413	72	72	-	-		0	0	1,413	1,413	72	72	-	-		
	I		0	177.3	1,413	1,413	72	72	NS			0	168.9	1,413	1,413	72	72	NS		0	
			0	35	72	72	72	72	NS			0	57	72	72	72	72	NS		0	
P	S	00224	0	0	2,356	2,356	19	19	-	-	00225	0	0	2,356	2,356	19	19	-	-	00226	
	I		0	87.39	2,356	2,356	19	19	NS			0	258.2	2,356	2,356	19	19	NS		0	
			0	6	19	19	19	19	NS			0	71	19	19	19	19	NS		0	
S	S		0	126.5	1,413	1,413	72	72	NS			0	159.8	1,413	1,413	72	72	NS		0	
	I		0	21	72	72	72	72	NS			0	65	72	72	72	72	NS		0	
			0	5.196	1,413	1,413	72	72	NS			0	5.306	1,413	1,413	72	72	NS		0	
P	S	00227	0	0	2,356	2,356	19	19	-	-	00228	0	0	2,356	2,356	19	19	-	-	00229	
	I		0	779.0	2,356	2,356	19	19	46,6	4		0	1.088.	2,356	2,356	19	19	33,3	8		
			0	59	19	19	19	19	4			0	494	19	19	19	19	8		0	
S	S		0	250.8	1,413	1,413	72	72	86,9	3		0	309.2	1,413	1,413	72	72	70,4	9		
	I		0	20	72	72	72	72	3			0	93	72	72	72	72	9		0	
			0	5.457	1,413	1,413	72	72	NS			0	5.305	1,413	1,413	72	72	NS		0	
P	S	00230	0	0	2,356	2,356	19	19	-	-	00231	0	0	2,356	2,356	19	19	-	-	00232	
	I		0	1.681.	2,356	2,356	19	19	21,6	0		0	1.903.	2,356	2,356	19	19	19,0	9		
			0	936	19	19	19	19	0			0	505	19	19	19	19	9		0	
S	S		0	424.9	1,413	1,413	72	72	51,3	1		0	475.3	1,413	1,413	72	72	45,8	7		
	I		0	51	72	72	72	72	1			0	48	72	72	72	72	7		0	
			0	5.270	1,413	1,413	72	72	NS			0	5.299	1,413	1,413	72	72	NS		0	
P	S	00233	0	0	2,356	2,356	19	19	-	-	00234	0	0	2,356	2,356	19	19	-	-	00235	
	I		0	2.053.	2,356	2,356	19	19	17,6	9		0	1.932.	2,356	2,356	19	19	18,8	0		
			0	585	19	19	19	19	9			0	533	19	19	19	19	0		0	
S	S		0	499.4	1,413	1,413	72	72	43,6	6		0	460.8	1,413	1,413	72	72	47,3	1		
	I		0	30	72	72	72	72	6			0	46	72	72	72	72	1		0	
			0	5.611	1,413	1,413	72	72	NS			0	5.607	1,413	1,413	72	72	NS		0	
P	S	00236	0	0	2,356	2,356	19	19	-	-	00237	0	0	2,356	2,356	19	19	-	-	00238	
	I		0	1.289.	2,356	2,356	19	19	28,1	7		0	810.1	2,356	2,356	19	19	44,8	5		
			0	655	19	19	19	19	7			0	41	19	19	19	19	5		0	
S	S		0	263.8	1,413	1,413	72	72	82,6	4		0	113.7	1,413	1,413	72	72	NS		0	
			0	43	72	72	72	72	4			0	52	72	72	72	72	NS		0	

Il presente documento è di proprietà della ANTEX GROUP srl.  
È vietato la comunicazione a terzi o la riproduzione senza il permesso scritto della suddetta.  
La società tutela i propri diritti a rigore di Legge.

Comm.: C20-025-S05





PARCO EOLICO DI "BUDDUSO"

RELAZIONE DI CALCOLO E TABULATI OPERE EDILI  
SSEU



Ingegneria & Innovazione

30/06/2023

REV: 2

Pag. 334

Platee - Verifiche pressoflessione retta allo SLU

Dir	Pos	Nodo	N <sub>Ed</sub>		M <sub>Ed</sub>		A <sub>s</sub>		A <sub>df</sub>		CS	Nodo	N <sub>Ed</sub>		M <sub>Ed</sub>		A <sub>s</sub>		A <sub>df</sub>		CS
			[N]	[N-m]	[cm <sup>2</sup> /cm]	[cm <sup>2</sup> /cm]	[N]	[N-m]	[cm <sup>2</sup> /cm]	[cm <sup>2</sup> /cm]			[N]	[N-m]	[cm <sup>2</sup> /cm]	[cm <sup>2</sup> /cm]					
	I		0	5.277	1,413 72	1,413 72	NS		0	5.245	1,413 72	1,413 72	NS		0	49.07 3	1,413 72	1,413 72	NS		
P	S	00239	0	212.7 05	2,356 19	2,356 19	NS	00240	0	652.9 17	2,356 19	2,356 19	55,6 5	00241	0	980.5 92	2,356 19	2,356 19	37,05		
	I		0	4.215	2,356 19	2,356 19	NS		0	4.520	2,356 19	2,356 19	NS		0	4.534	2,356 19	2,356 19	NS		
S	S		0	0	1,413 72	1,413 72	-		0	0	1,413 72	1,413 72	-		0	0	1,413 72	1,413 72	-		
	I		0	204.9 10	1,413 72	1,413 72	NS		0	335.1 92	1,413 72	1,413 72	65,0 5		0	430.5 75	1,413 72	1,413 72	50,64		
P	S	00242	0	1.192. 083	2,356 19	2,356 19	30,4 8	00243	0	1.275. 594	2,356 19	2,356 19	28,4 8	00244	0	1.245. 121	2,356 19	2,356 19	29,18		
	I		0	4.598	2,356 19	2,356 19	NS		0	4.693	2,356 19	2,356 19	NS		0	4.514	2,356 19	2,356 19	NS		
S	S		0	0	1,413 72	1,413 72	-		0	0	1,413 72	1,413 72	-		0	0	1,413 72	1,413 72	-		
	I		0	488.0 23	1,413 72	1,413 72	44,6 8		0	508.9 75	1,413 72	1,413 72	42,8 4		0	502.5 77	1,413 72	1,413 72	43,38		
P	S	00245	0	1.127. 344	2,356 19	2,356 19	32,2 3	00246	0	946.9 58	2,356 19	2,356 19	38,3 7	00247	0	726.2 64	2,356 19	2,356 19	50,03		
	I		0	4.877	2,356 19	2,356 19	NS		0	4.959	2,356 19	2,356 19	NS		0	4.797	2,356 19	2,356 19	NS		
S	S		0	0	1,413 72	1,413 72	-		0	0	1,413 72	1,413 72	-		0	0	1,413 72	1,413 72	-		
	I		0	470.4 31	1,413 72	1,413 72	46,3 5		0	429.4 59	1,413 72	1,413 72	50,7 7		0	386.0 35	1,413 72	1,413 72	56,48		
P	S	00248	0	501.8 60	2,356 19	2,356 19	72,4 0	00249	0	295.9 52	2,356 19	2,356 19	NS	00250	0	127.4 18	2,356 19	2,356 19	NS		
	I		0	5.169	2,356 19	2,356 19	NS		0	5.205	2,356 19	2,356 19	NS		0	5.317	2,356 19	2,356 19	NS		
S	S		0	0	1,413 72	1,413 72	-		0	0	1,413 72	1,413 72	-		0	0	1,413 72	1,413 72	-		
	I		0	340.4 74	1,413 72	1,413 72	64,0 4		0	302.6 39	1,413 72	1,413 72	72,0 4		0	274.7 12	1,413 72	1,413 72	79,37		
P	S	00251	0	22.97 1	2,356 19	2,356 19	NS	00252	0	0	2,356 19	2,356 19	-	00253	0	0	2,356 19	2,356 19	-		
	I		0	5.861	2,356 19	2,356 19	NS		0	42.49 3	2,356 19	2,356 19	NS		0	198.6 61	2,356 19	2,356 19	NS		
S	S		0	0	1,413 72	1,413 72	-		0	88.75 7	1,413 72	1,413 72	NS		0	130.2 00	1,413 72	1,413 72	NS		
	I		0	256.2 98	1,413 72	1,413 72	85,0 7		0	4.432	1,413 72	1,413 72	NS		0	5.721	1,413 72	1,413 72	NS		
P	S	00254	0	0	2,356 19	2,356 19	-	00255	0	0	2,356 19	2,356 19	-	00256	0	0	2,356 19	2,356 19	-		
	I		0	425.9 09	2,356 19	2,356 19	85,3 1		0	713.0 44	2,356 19	2,356 19	50,9 5		0	1.039. 701	2,356 19	2,356 19	34,95		
S	S		0	179.5 73	1,413 72	1,413 72	NS		0	241.2 91	1,413 72	1,413 72	90,3 6		0	314.2 66	1,413 72	1,413 72	69,38		
	I		0	5.443	1,413 72	1,413 72	NS		0	5.301	1,413 72	1,413 72	NS		0	5.289	1,413 72	1,413 72	NS		
P	S	00257	0	0	2,356 19	2,356 19	-	00258	0	0	2,356 19	2,356 19	-	00259	0	0	2,356 19	2,356 19	-		
	I		0	1.385. 804	2,356 19	2,356 19	26,2 2		0	1.721. 655	2,356 19	2,356 19	21,1 0		0	2.010. 996	2,356 19	2,356 19	18,07		
S	S		0	396.8 50	1,413 72	1,413 72	54,9 4		0	483.0 74	1,413 72	1,413 72	45,1 3		0	562.2 16	1,413 72	1,413 72	38,78		
	I		0	5.262	1,413 72	1,413 72	NS		0	5.234	1,413 72	1,413 72	NS		0	5.255	1,413 72	1,413 72	NS		
P	S	00260	0	0	2,356 19	2,356 19	-	00261	0	0	2,356 19	2,356 19	-	00262	0	0	2,356 19	2,356 19	-		
	I		0	2.222. 652	2,356 19	2,356 19	16,3 5		0	2.320. 854	2,356 19	2,356 19	15,6 5		0	2.272. 010	2,356 19	2,356 19	15,99		
S	S		0	624.2 04	1,413 72	1,413 72	34,9 3		0	654.6 71	1,413 72	1,413 72	33,3 0		0	638.0 74	1,413 72	1,413 72	34,17		
	I		0	5.282	1,413 72	1,413 72	NS		0	5.302	1,413 72	1,413 72	NS		0	5.420	1,413 72	1,413 72	NS		

Il presente documento è di proprietà della ANTEX GROUP srl.  
È Vietato la comunicazione a terzi o la riproduzione senza il permesso scritto della suddetta.  
La società tutela i propri diritti a rigore di Legge.

Comm.: C20-025-S05





PARCO EOLICO DI "BUDDUSO"

RELAZIONE DI CALCOLO E TABULATI OPERE EDILI  
SSEU



Ingegneria & Innovazione

30/06/2023

REV: 2

Pag. 335

Platee - Verifiche pressoflessione retta allo SLU

Dir	Pos	Nodo	NEd			MEd			CS	Nodo	NEd			MEd			CS	NEd	MEd			CS			
			[N]	[N-m]	[cm <sup>2</sup> /cm]	[cm <sup>2</sup> /cm]	[N]	[N-m]			[cm <sup>2</sup> /cm]	[N]	[N-m]	[cm <sup>2</sup> /cm]	[N]	[N-m]			[cm <sup>2</sup> /cm]	[N]	[N-m]		[cm <sup>2</sup> /cm]		
P	S	00263	0	0	2,356 19	2,356 19	-	00264	0	0	2,356 19	2,356 19	-	00265	0	0	2,356 19	2,356 19	-	00266	0	0	2,356 19	2,356 19	-
			0	2.061. 788	2,356 19	2,356 19	17,6 2		0	1.687. 838	2,356 19	2,356 19	21,5 3		0	1.177. 248	2,356 19	2,356 19	30,86						
S	S	0	565.7 18	1,413 72	1,413 72	38,5 4	0	433.1 43	1,413 72	1,413 72	50,3 4	0	248.6 05	1,413 72	1,413 72	87,70									
			0	5.288	1,413 72	1,413 72		NS	0	5.256	1,413 72		1,413 72	NS	0	5.221	1,413 72	1,413 72	NS						
P	S	00266	0	0	2,356 19	2,356 19	-	00267	0	28.19 5	2,356 19	2,356 19	NS	00268	0	584.3 62	2,356 19	2,356 19	62,17						
			0	583.1 04	2,356 19	2,356 19	62,3 1		0	4.368	2,356 19	2,356 19	NS		0	4.401	2,356 19	2,356 19	NS						
S	S	0	32.15 8	1,413 72	1,413 72	NS	0	0	1,413 72	1,413 72	-	0	0	1,413 72	1,413 72	-									
			0	5.194	1,413 72	1,413 72		NS	0	190.1 09	1,413 72		1,413 72	NS	0	387.2 75	1,413 72	1,413 72	56,30						
P	S	00269	0	1.029. 236	2,356 19	2,356 19	35,3 0	00270	0	1.330. 970	2,356 19	2,356 19	27,3 0	00271	0	1.484. 491	2,356 19	2,356 19	24,47						
			0	4.498	2,356 19	2,356 19	NS		0	4.546	2,356 19	2,356 19	NS		0	4.616	2,356 19	2,356 19	NS						
S	S	0	0	1,413 72	1,413 72	-	0	0	1,413 72	1,413 72	-	0	0	1,413 72	1,413 72	-									
			0	538.9 99	1,413 72	1,413 72		40,4 5	0	635.2 73	1,413 72		1,413 72	34,3 2	0	677.8 61	1,413 72	1,413 72	32,16						
P	S	00272	0	1.498. 015	2,356 19	2,356 19	24,2 5	00273	0	1.399. 236	2,356 19	2,356 19	25,9 7	00274	0	1.218. 825	2,356 19	2,356 19	29,81						
			0	4.637	2,356 19	2,356 19	NS		0	4.719	2,356 19	2,356 19	NS		0	4.853	2,356 19	2,356 19	NS						
S	S	0	0	1,413 72	1,413 72	-	0	0	1,413 72	1,413 72	-	0	0	1,413 72	1,413 72	-									
			0	673.6 28	1,413 72	1,413 72		32,3 7	0	636.6 33	1,413 72		1,413 72	34,2 5	0	580.2 18	1,413 72	1,413 72	37,58						
P	S	00275	0	984.9 81	2,356 19	2,356 19	36,8 9	00276	0	731.8 58	2,356 19	2,356 19	49,6 4	00277	0	487.9 09	2,356 19	2,356 19	74,47						
			0	4.904	2,356 19	2,356 19	NS		0	5.005	2,356 19	2,356 19	NS		0	5.140	2,356 19	2,356 19	NS						
S	S	0	0	1,413 72	1,413 72	-	0	0	1,413 72	1,413 72	-	0	0	1,413 72	1,413 72	-									
			0	514.1 89	1,413 72	1,413 72		42,4 0	0	449.4 04	1,413 72		1,413 72	48,5 1	0	392.3 56	1,413 72	1,413 72	55,57						
P	S	00278	0	273.7 38	2,356 19	2,356 19	NS	00279	0	110.5 66	2,356 19	2,356 19	NS	00280	0	12.21 4	2,356 19	2,356 19	NS						
			0	5.167	2,356 19	2,356 19	NS		0	5.078	2,356 19	2,356 19	NS		0	4.860	2,356 19	2,356 19	NS						
S	S	0	0	1,413 72	1,413 72	-	0	0	1,413 72	1,413 72	-	0	0	1,413 72	1,413 72	-									
			0	345.7 98	1,413 72	1,413 72		63,0 5	0	312.4 43	1,413 72		1,413 72	69,7 8	0	287.7 91	1,413 72	1,413 72	75,76						
P	S	00281	0	0	2,356 19	2,356 19	-	00282	0	0	2,356 19	2,356 19	-	00283	0	0	2,356 19	2,356 19	-						
			0	124.6 89	2,356 19	2,356 19	NS		0	343.1 23	2,356 19	2,356 19	NS		0	627.0 18	2,356 19	2,356 19	57,94						
S	S	0	22.98 9	1,413 72	1,413 72	NS	0	77.29 1	1,413 72	1,413 72	NS	0	143.1 27	1,413 72	1,413 72	NS									
			0	5.152	1,413 72	1,413 72		NS	0	5.090	1,413 72		1,413 72	NS	0	5.222	1,413 72	1,413 72	NS						
P	S	00284	0	0	2,356 19	2,356 19	-	00285	0	0	2,356 19	2,356 19	-	00286	0	0	2,356 19	2,356 19	-						
			0	967.3 89	2,356 19	2,356 19	37,5 6		0	1.344. 957	2,356 19	2,356 19	27,0 1		0	1.733. 779	2,356 19	2,356 19	20,96						
S	S	0	224.8 30	1,413 72	1,413 72	96,9 7	0	321.8 86	1,413 72	1,413 72	67,7 3	0	430.4 64	1,413 72	1,413 72	50,65									
			0	5.214	1,413 72	1,413 72		NS	0	5.210	1,413 72		1,413 72	NS	0	5.190	1,413 72	1,413 72	NS						
P	S	00287	0	0	2,356 19	2,356 19	-	00288	0	0	2,356 19	2,356 19	-	00289	0	0	2,356 19	2,356 19	-						

Il presente documento è di proprietà della ANTEX GROUP srl.  
È vietato la comunicazione a terzi o la riproduzione senza il permesso scritto della suddetta.  
La società tutela i propri diritti a rigore di Legge.

Comm.: C20-025-S05





PARCO EOLICO DI "BUDDUSO"

RELAZIONE DI CALCOLO E TABULATI OPERE EDILI  
SSEU



Ingegneria & Innovazione

30/06/2023

REV: 2

Pag. 336

Platee - Verifiche pressoflessione retta allo SLU

Dir	Pos	Nodo	NEd				MEd				CS				Nodo	NEd				MEd				CS				
			[N]	[N-m]	[cm <sup>2</sup> /cm]	[cm <sup>2</sup> /cm]	[N]	[N-m]	[cm <sup>2</sup> /cm]	[cm <sup>2</sup> /cm]	[N]	[N-m]	[cm <sup>2</sup> /cm]	[cm <sup>2</sup> /cm]		[N]	[N-m]	[cm <sup>2</sup> /cm]	[cm <sup>2</sup> /cm]	[N]	[N-m]	[cm <sup>2</sup> /cm]	[cm <sup>2</sup> /cm]	[N]	[N-m]	[cm <sup>2</sup> /cm]	[cm <sup>2</sup> /cm]	
	I		0	2.099.042	2,35619	2,35619	17,31		0	2.402.403	2,35619	2,35619	15,12		0	2.601.780	2,35619	2,35619	13,96									
S	S		0	541.887	1,41372	1,41372	40,23		0	643.803	1,41372	1,41372	33,87		0	719.503	1,41372	1,41372	30,30									
	I		0	5.18572	1,41372	1,41372	NS		0	5.19772	1,41372	1,41372	NS		0	5.19172	1,41372	1,41372	NS									
P	S	00290	0	0	2,35619	2,35619	-	00291	0	0	2,35619	2,35619	-	00292	0	0	2,35619	2,35619	-									
	I		0	2.653.044	2,35619	2,35619	13,69		0	2.520.946	2,35619	2,35619	14,41		0	2.187.262	2,35619	2,35619	16,61									
S	S		0	748.817	1,41372	1,41372	29,12		0	712.999	1,41372	1,41372	30,58		0	599.566	1,41372	1,41372	36,36									
	I		0	5.18672	1,41372	1,41372	NS		0	5.17872	1,41372	1,41372	NS		0	5.16672	1,41372	1,41372	NS									
P	S	00293	0	0	2,35619	2,35619	-	00294	0	0	2,35619	2,35619	-	00295	0	0	2,35619	2,35619	-									
	I		0	1.660.176	2,35619	2,35619	21,88		0	986.715	2,35619	2,35619	36,82		0	247.698	2,35619	2,35619	NS									
S	S		0	408.027	1,41372	1,41372	53,43		0	156.237	1,41372	1,41372	NS		0	0	1,41372	1,41372	-									
	I		0	5.16072	1,41372	1,41372	NS		0	5.13972	1,41372	1,41372	NS		0	122.794	1,41372	1,41372	NS									
P	S	00296	0	462.808	2,35619	2,35619	78,50	00297	0	1.057.667	2,35619	2,35619	34,35	00298	0	1.484.785	2,35619	2,35619	24,47									
	I		0	4.380	2,35619	2,35619	NS		0	4.449	2,35619	2,35619	NS		0	4.511	2,35619	2,35619	NS									
S	S		0	0	1,41372	1,41372	-		0	0	1,41372	1,41372	-		0	0	1,41372	1,41372	-									
	I		0	385.454	1,41372	1,41372	56,56		0	597.057	1,41372	1,41372	36,52		0	737.242	1,41372	1,41372	29,57									
P	S	00299	0	1.728.298	2,35619	2,35619	21,02	00300	0	1.798.181	2,35619	2,35619	20,21	00301	0	1.722.844	2,35619	2,35619	21,09									
	I		0	4.570	2,35619	2,35619	NS		0	4.624	2,35619	2,35619	NS		0	4.669	2,35619	2,35619	NS									
S	S		0	0	1,41372	1,41372	-		0	0	1,41372	1,41372	-		0	0	1,41372	1,41372	-									
	I		0	803.571	1,41372	1,41372	27,13		0	805.640	1,41372	1,41372	27,06		0	760.158	1,41372	1,41372	28,68									
P	S	00302	0	1.540.222	2,35619	2,35619	23,59	00303	0	1.288.011	2,35619	2,35619	28,21	00304	0	1.001.964	2,35619	2,35619	36,26									
	I		0	4.777	2,35619	2,35619	NS		0	4.868	2,35619	2,35619	NS		0	4.941	2,35619	2,35619	NS									
S	S		0	0	1,41372	1,41372	-		0	0	1,41372	1,41372	-		0	0	1,41372	1,41372	-									
	I		0	685.771	1,41372	1,41372	31,79		0	598.540	1,41372	1,41372	36,43		0	510.939	1,41372	1,41372	42,67									
P	S	00305	0	715.108	2,35619	2,35619	50,81	00306	0	452.940	2,35619	2,35619	80,21	00307	0	235.425	2,35619	2,35619	NS									
	I		0	5.057	2,35619	2,35619	NS		0	5.127	2,35619	2,35619	NS		0	5.197	2,35619	2,35619	NS									
S	S		0	0	1,41372	1,41372	-		0	0	1,41372	1,41372	-		0	0	1,41372	1,41372	-									
	I		0	432.053	1,41372	1,41372	50,46		0	366.585	1,41372	1,41372	59,48		0	316.158	1,41372	1,41372	68,96									
P	S	00308	0	73.598	2,35619	2,35619	NS	00309	0	0	2,35619	2,35619	-	00310	0	0	2,35619	2,35619	-									
	I		0	5.734	2,35619	2,35619	NS		0	56.517	2,35619	2,35619	NS		0	248.905	2,35619	2,35619	NS									
S	S		0	0	1,41372	1,41372	-		0	0	1,41372	1,41372	-		0	0	1,41372	1,41372	-									
	I		0	277.754	1,41372	1,41372	78,50		0	157.308	1,41372	1,41372	NS		0	102.381	1,41372	1,41372	NS									
P	S	00311	0	0	2,35619	2,35619	-	00312	0	0	2,35619	2,35619	-	00313	0	0	2,35619	2,35619	-									
	I		0	521.095	2,35619	2,35619	69,72		0	865.707	2,35619	2,35619	41,97		0	1.267.952	2,35619	2,35619	28,65									

Il presente documento è di proprietà della ANTEX GROUP srl.  
È vietato la comunicazione a terzi o la riproduzione senza il permesso scritto della suddetta.  
La società tutela i propri diritti a rigore di Legge.

Comm.: C20-025-S05







PARCO EOLICO DI "BUDDUSO"

RELAZIONE DI CALCOLO E TABULATI OPERE EDILI  
SSEU



Ingegneria & Innovazione

30/06/2023

REV: 2

Pag. 337

Platee - Verifiche pressoflessione retta allo SLU

Dir	Pos	Nodo	N <sub>Ed</sub>		M <sub>Ed</sub>		A <sub>s</sub>		A <sub>df</sub>		CS	Nodo	N <sub>Ed</sub>		M <sub>Ed</sub>		A <sub>s</sub>		A <sub>df</sub>		CS
			[N]	[N-m]	[cm <sup>2</sup> /cm]	[cm <sup>2</sup> /cm]	[N]	[N-m]	[cm <sup>2</sup> /cm]	[cm <sup>2</sup> /cm]			[N]	[N-m]	[cm <sup>2</sup> /cm]	[cm <sup>2</sup> /cm]	[N]	[N-m]	[cm <sup>2</sup> /cm]	[cm <sup>2</sup> /cm]	
S	S		0	0	1,413 72	1,413 72	-		0	43.74 7	1,413 72	1,413 72	NS		0	145.2 75	1,413 72	1,413 72	NS		
	I		0	38.47 4	1,413 72	1,413 72	NS		0	5.123	1,413 72	1,413 72	NS		0	5.124	1,413 72	1,413 72	NS		
P	S	00314	0	0	2,356 19	2,356 19	-	00315	0	0	2,356 19	2,356 19	-	00316	0	0	2,356 19	2,356 19	-		
	I		0	1.705. 578	2,356 19	2,356 19	21,3 0		0	2.147. 327	2,356 19	2,356 19	16,9 2		0	2.552. 999	2,356 19	2,356 19	14,23		
S	S		0	266.7 93	1,413 72	1,413 72	81,7 2		0	403.3 01	1,413 72	1,413 72	54,0 6		0	544.2 02	1,413 72	1,413 72	40,06		
	I		0	5.117	1,413 72	1,413 72	NS		0	5.109	1,413 72	1,413 72	NS		0	5.104	1,413 72	1,413 72	NS		
P	S	00317	0	0	2,356 19	2,356 19	-	00318	0	0	2,356 19	2,356 19	-	00319	0	0	2,356 19	2,356 19	-		
	I		0	2.874. 684	2,356 19	2,356 19	12,6 4		0	3.057. 740	2,356 19	2,356 19	11,8 8		0	3.046. 859	2,356 19	2,356 19	11,92		
S	S		0	672.6 29	1,413 72	1,413 72	32,4 1		0	765.1 59	1,413 72	1,413 72	28,4 9		0	794.3 66	1,413 72	1,413 72	27,45		
	I		0	5.097	1,413 72	1,413 72	NS		0	5.086	1,413 72	1,413 72	NS		0	5.076	1,413 72	1,413 72	NS		
P	S	00320	0	0	2,356 19	2,356 19	-	00321	0	0	2,356 19	2,356 19	-	00322	0	0	2,356 19	2,356 19	-		
	I		0	2.797. 587	2,356 19	2,356 19	12,9 9		0	2.290. 947	2,356 19	2,356 19	15,8 6		0	1.552. 777	2,356 19	2,356 19	23,40		
S	S		0	734.8 88	1,413 72	1,413 72	29,6 7		0	572.0 79	1,413 72	1,413 72	38,1 1		0	312.6 60	1,413 72	1,413 72	69,73		
	I		0	5.067	1,413 72	1,413 72	NS		0	5.061	1,413 72	1,413 72	NS		0	5.054	1,413 72	1,413 72	NS		
P	S	00323	0	0	2,356 19	2,356 19	-	00324	0	244.1 65	2,356 19	2,356 19	NS	00325	0	1.044. 335	2,356 19	2,356 19	34,79		
	I		0	665.6 54	2,356 19	2,356 19	54,5 8		0	4.382	2,356 19	2,356 19	NS		0	4.413	2,356 19	2,356 19	NS		
S	S		0	0	1,413 72	1,413 72	-		0	0	1,413 72	1,413 72	-		0	0	1,413 72	1,413 72	-		
	I		0	10,38 7	1,413 72	1,413 72	NS		0	338.8 12	1,413 72	1,413 72	64,3 5		0	617.0 37	1,413 72	1,413 72	35,33		
P	S	00326	0	1.646. 289	2,356 19	2,356 19	22,0 7	00327	0	2.014. 804	2,356 19	2,356 19	18,0 3	00328	0	2.158. 800	2,356 19	2,356 19	16,83		
	I		0	4.467	2,356 19	2,356 19	NS		0	4.523	2,356 19	2,356 19	NS		0	4.581	2,356 19	2,356 19	NS		
S	S		0	0	1,413 72	1,413 72	-		0	0	1,413 72	1,413 72	-		0	0	1,413 72	1,413 72	-		
	I		0	807.8 43	1,413 72	1,413 72	26,9 9		0	900.7 48	1,413 72	1,413 72	24,2 1		0	906.6 78	1,413 72	1,413 72	24,05		
P	S	00329	0	2.113. 656	2,356 19	2,356 19	17,1 9	00330	0	1.927. 218	2,356 19	2,356 19	18,8 5	00331	0	1.648. 497	2,356 19	2,356 19	22,04		
	I		0	4.640	2,356 19	2,356 19	NS		0	4.717	2,356 19	2,356 19	NS		0	4.810	2,356 19	2,356 19	NS		
S	S		0	0	1,413 72	1,413 72	-		0	0	1,413 72	1,413 72	-		0	0	1,413 72	1,413 72	-		
	I		0	848.0 44	1,413 72	1,413 72	25,7 1		0	750.3 27	1,413 72	1,413 72	29,0 6		0	636.0 02	1,413 72	1,413 72	34,28		
P	S	00332	0	1.321. 732	2,356 19	2,356 19	27,4 9	00333	0	984.9 80	2,356 19	2,356 19	36,8 9	00334	0	668.5 67	2,356 19	2,356 19	54,34		
	I		0	4.898	2,356 19	2,356 19	NS		0	4.989	2,356 19	2,356 19	NS		0	5.072	2,356 19	2,356 19	NS		
S	S		0	0	1,413 72	1,413 72	-		0	0	1,413 72	1,413 72	-		0	0	1,413 72	1,413 72	-		
	I		0	521.8 65	1,413 72	1,413 72	41,7 8		0	419.0 16	1,413 72	1,413 72	52,0 3		0	333.2 92	1,413 72	1,413 72	65,42		
P	S	00335	0	394.9 06	2,356 19	2,356 19	92,0 0	00336	0	179.8 41	2,356 19	2,356 19	NS	00337	0	33.03 7	2,356 19	2,356 19	NS		
	I		0	5.098	2,356 19	2,356 19	NS		0	4.976	2,356 19	2,356 19	NS		0	4.770	2,356 19	2,356 19	NS		
S	S		0	0	1,413 72	1,413 72	-		0	0	1,413 72	1,413 72	-		0	0	1,413 72	1,413 72	-		

Il presente documento è di proprietà della ANTEX GROUP srl.  
È vietato la comunicazione a terzi o la riproduzione senza il permesso scritto della suddetta.  
La società tutela i propri diritti a rigore di Legge.

Comm.: C20-025-S05





PARCO EOLICO DI "BUDDUSO"

RELAZIONE DI CALCOLO E TABULATI OPERE EDILI  
SSEU



Ingegneria & Innovazione

30/06/2023

REV: 2

Pag. 338

Platee - Verifiche pressoflessione retta allo SLU

Dir	Pos	Nodo	N <sub>Ed</sub>	M <sub>Ed</sub>	A <sub>s</sub>	A <sub>df</sub>	CS	Nodo	N <sub>Ed</sub>	M <sub>Ed</sub>	A <sub>s</sub>	A <sub>df</sub>	CS	Nodo	N <sub>Ed</sub>	M <sub>Ed</sub>	A <sub>s</sub>	A <sub>df</sub>	CS
			[N]	[N-m]	[cm <sup>2</sup> /cm]	[cm <sup>2</sup> /cm]			[N]	[N-m]	[cm <sup>2</sup> /cm]	[cm <sup>2</sup> /cm]			[N]	[N-m]	[cm <sup>2</sup> /cm]	[cm <sup>2</sup> /cm]	
	I		0	266.2 26	1,413 72	1,413 72	81,9 0		0	216.0 61	1,413 72	1,413 72	NS		0	173.3 95	1,413 72	1,413 72	NS
P	S	00338	0	0	2,356 19	2,356 19	-	00339	0	0	2,356 19	2,356 19	-	00340	0	0	2,356 19	2,356 19	-
	I		0	146.2 20	2,356 19	2,356 19	NS		0	398.1 39	2,356 19	2,356 19	91,2 6		0	733.6 72	2,356 19	2,356 19	49,52
S	S		0	0	1,413 72	1,413 72	-		0	0	1,413 72	1,413 72	-		0	0	1,413 72	1,413 72	-
	I		0	352.6 59	1,413 72	1,413 72	61,8 2		0	293.6 57	1,413 72	1,413 72	74,2 5		0	221.8 91	1,413 72	1,413 72	98,26
P	S	00341	0	0	2,356 19	2,356 19	-	00342	0	0	2,356 19	2,356 19	-	00343	0	0	2,356 19	2,356 19	-
	I		0	1.147. 870	2,356 19	2,356 19	31,6 5		0	1.623. 792	2,356 19	2,356 19	22,3 8		0	2.135. 418	2,356 19	2,356 19	17,01
S	S		0	0	1,413 72	1,413 72	-		0	0	1,413 72	1,413 72	-		0	141.8 07	1,413 72	1,413 72	NS
	I		0	127.5 68	1,413 72	1,413 72	NS		0	6.913	1,413 72	1,413 72	NS		0	5.025	1,413 72	1,413 72	NS
P	S	00344	0	0	2,356 19	2,356 19	-	00345	0	0	2,356 19	2,356 19	-	00346	0	0	2,356 19	2,356 19	-
	I		0	2.645. 627	2,356 19	2,356 19	13,7 3		0	3.104. 999	2,356 19	2,356 19	11,7 0		0	3.451. 169	2,356 19	2,356 19	10,53
S	S		0	310.8 39	1,413 72	1,413 72	70,1 4		0	488.4 97	1,413 72	1,413 72	44,6 3		0	652.0 56	1,413 72	1,413 72	33,44
	I		0	5.016	1,413 72	1,413 72	NS		0	5.007	1,413 72	1,413 72	NS		0	4.994	1,413 72	1,413 72	NS
P	S	00347	0	0	2,356 19	2,356 19	-	00348	0	0	2,356 19	2,356 19	-	00349	0	0	2,356 19	2,356 19	-
	I		0	3.611. 160	2,356 19	2,356 19	10,0 6		0	3.510. 297	2,356 19	2,356 19	10,3 5		0	3.089. 430	2,356 19	2,356 19	11,76
S	S		0	768.8 36	1,413 72	1,413 72	28,3 6		0	800.1 64	1,413 72	1,413 72	27,2 5		0	710.9 78	1,413 72	1,413 72	30,67
	I		0	4.981	1,413 72	1,413 72	NS		0	4.970	1,413 72	1,413 72	NS		0	4.962	1,413 72	1,413 72	NS
P	S	00350	0	0	2,356 19	2,356 19	-	00351	0	0	2,356 19	2,356 19	-	00352	0	0	2,356 19	2,356 19	-
	I		0	2.332. 444	2,356 19	2,356 19	15,5 8		0	1.299. 117	2,356 19	2,356 19	27,9 7		0	140.4 23	2,356 19	2,356 19	NS
S	S		0	485.4 94	1,413 72	1,413 72	44,9 1		0	144.6 87	1,413 72	1,413 72	NS		0	0	1,413 72	1,413 72	-
	I		0	4.957	1,413 72	1,413 72	NS		0	4.952	1,413 72	1,413 72	NS		0	248.3 29	1,413 72	1,413 72	87,80
P	S	00353	0	945.5 17	2,356 19	2,356 19	38,4 3	00354	0	1.798. 233	2,356 19	2,356 19	20,2 0	00355	0	2.347. 353	2,356 19	2,356 19	15,48
	I		0	4.395	2,356 19	2,356 19	NS		0	4.432	2,356 19	2,356 19	NS		0	4.480	2,356 19	2,356 19	NS
S	S		0	0	1,413 72	1,413 72	-		0	0	1,413 72	1,413 72	-		0	0	1,413 72	1,413 72	-
	I		0	604.4 78	1,413 72	1,413 72	36,0 7		0	857.5 93	1,413 72	1,413 72	25,4 2		0	981.9 27	1,413 72	1,413 72	22,20
P	S	00356	0	2.596. 027	2,356 19	2,356 19	14,0 0	00357	0	2.591. 468	2,356 19	2,356 19	14,0 2	00358	0	2.398. 700	2,356 19	2,356 19	15,15
	I		0	4.535	2,356 19	2,356 19	NS		0	4.597	2,356 19	2,356 19	NS		0	4.667	2,356 19	2,356 19	NS
S	S		0	0	1,413 72	1,413 72	-		0	0	1,413 72	1,413 72	-		0	0	1,413 72	1,413 72	-
	I		0	988.3 24	1,413 72	1,413 72	22,0 6		0	907.8 35	1,413 72	1,413 72	24,0 2		0	776.5 48	1,413 72	1,413 72	28,08
P	S	00359	0	2.083. 559	2,356 19	2,356 19	17,4 4	00360	0	1.703. 688	2,356 19	2,356 19	21,3 3	00361	0	1.305. 792	2,356 19	2,356 19	27,82
	I		0	4.753	2,356 19	2,356 19	NS		0	4.844	2,356 19	2,356 19	NS		0	4.934	2,356 19	2,356 19	NS
S	S		0	0	1,413 72	1,413 72	-		0	0	1,413 72	1,413 72	-		0	0	1,413 72	1,413 72	-
	I		0	625.9 36	1,413 72	1,413 72	34,8 3		0	478.6 41	1,413 72	1,413 72	45,5 5		0	348.2 89	1,413 72	1,413 72	62,60

Il presente documento è di proprietà della ANTEX GROUP srl.  
È Vietato la comunicazione a terzi o la riproduzione senza il permesso scritto della suddetta.  
La società tutela i propri diritti a rigore di Legge.

Comm.: C20-025-S05





PARCO EOLICO DI "BUDDUSO"

RELAZIONE DI CALCOLO E TABULATI OPERE EDILI  
SSEU



Ingegneria & Innovazione

30/06/2023

REV: 2

Pag. 339

Platee - Verifiche pressoflessione retta allo SLU

Dir	Pos	Nodo	NEd				MEd				CS								
			[N]	[N-m]	[cm <sup>2</sup> /cm]	[cm <sup>2</sup> /cm]	[N]	[N-m]	[cm <sup>2</sup> /cm]	[cm <sup>2</sup> /cm]	[N]	[N-m]	[cm <sup>2</sup> /cm]	[cm <sup>2</sup> /cm]					
P	S	00362	0	925.7	2,356	2,356	39,2	00363	0	589.5	2,356	2,356	61,6	00364	0	314.7	2,356	2,356	NS
			66	19	19	5	47	19	19	3	68	19	19	NS	0	5.141	2,356	2,356	NS
S	S	0	0	0	1,413	1,413	-	0	0	1,413	1,413	-	0	0	0	1,413	1,413	-	
			241.1	1,413	1,413	90,4	0	157.8	1,413	1,413	NS	0	95.65	1,413	1,413	3	72	72	NS
P	S	00365	0	107.6	2,356	2,356	NS	00366	0	0	2,356	2,356	-	00367	0	0	2,356	2,356	-
			23	19	19	1	57.05	2,356	2,356	NS	0	266.6	2,356	2,356	26	19	19	NS	
S	S	0	0	0	1,413	1,413	-	0	0	1,413	1,413	-	0	0	1,413	1,413	-		
			46.77	1,413	1,413	NS	0	662.7	1,413	1,413	32,9	0	611.9	1,413	1,413	24	72	72	35,63
P	S	00368	0	0	2,356	2,356	-	00369	0	0	2,356	2,356	-	00370	0	0	2,356	2,356	-
			576.5	2,356	2,356	63,0	0	984.4	2,356	2,356	36,9	0	1.480.	2,356	2,356	664	19	19	24,54
S	S	0	0	0	1,413	1,413	-	0	0	1,413	1,413	-	0	0	1,413	1,413	-		
			555.2	1,413	1,413	39,2	0	480.5	1,413	1,413	45,3	0	377.5	1,413	1,413	8	72	72	57,75
P	S	00371	0	0	2,356	2,356	-	00372	0	0	2,356	2,356	-	00373	0	0	2,356	2,356	-
			2.046.	2,356	2,356	17,7	0	2.651.	2,356	2,356	13,7	0	3.251.	2,356	2,356	582	19	19	11,17
S	S	0	0	0	1,413	1,413	-	0	0	1,413	1,413	-	0	0	1,413	1,413	-		
			239.6	1,413	1,413	90,9	0	64.18	1,413	1,413	NS	0	4.921	1,413	1,413	72	72	72	NS
P	S	00374	0	0	2,356	2,356	-	00375	0	0	2,356	2,356	-	00376	0	0	2,356	2,356	-
			3.783.	2,356	2,356	9,60	0	4.162.	2,356	2,356	8,73	0	4.286.	2,356	2,356	526	19	19	8,48
S	S	0	0	371.9	1,413	1,413	58,6	0	585.1	1,413	1,413	37,2	0	738.3	1,413	1,413	29,53		
			87	72	72	1	58	72	72	6	38	72	72	0	4.881	1,413	1,413	NS	
P	S	00377	0	0	2,356	2,356	-	00378	0	0	2,356	2,356	-	00379	0	0	2,356	2,356	-
			4.048.	2,356	2,356	8,97	0	3.367.	2,356	2,356	10,7	0	2.237.	2,356	2,356	531	19	19	16,24
S	S	0	0	774.5	1,413	1,413	28,1	0	644.0	1,413	1,413	33,8	0	332.8	1,413	1,413	65,50		
			98	72	72	5	66	72	72	5	49	72	72	0	4.856	1,413	1,413	NS	
P	S	00380	0	0	2,356	2,356	-	00381	0	683.9	2,356	2,356	53,1	00382	0	1.906.	2,356	2,356	19,06
			793.7	2,356	2,356	45,7	0	4.387	2,356	2,356	NS	0	4.409	2,356	2,356	19	19	NS	
S	S	0	0	0	1,413	1,413	-	0	0	1,413	1,413	-	0	0	1,413	1,413	-		
			107.8	1,413	1,413	NS	0	556.6	1,413	1,413	39,1	0	893.3	1,413	1,413	72	72	24,41	
P	S	00383	0	2.725.	2,356	2,356	13,3	00384	0	3.129.	2,356	2,356	11,6	00385	0	3.182.	2,356	2,356	11,42
			633	19	19	3	020	19	19	1	198	19	19	0	4.550	2,356	2,356	NS	
S	S	0	0	0	1,413	1,413	-	0	0	1,413	1,413	-	0	0	1,413	1,413	-		
			1.059.	1,413	1,413	20,5	0	1.062.	1,413	1,413	20,5	0	947.3	1,413	1,413	72	72	23,01	
P	S	00386	0	2.979.	2,356	2,356	12,1	00387	0	2.613.	2,356	2,356	13,9	00388	0	2.163.	2,356	2,356	16,80

Il presente documento è di proprietà della ANTEX GROUP srl.  
È vietato la comunicazione a terzi o la riproduzione senza il permesso scritto della suddetta.  
La società tutela i propri diritti a rigore di Legge.

Comm.: C20-025-S05





PARCO EOLICO DI "BUDDUSO"

RELAZIONE DI CALCOLO E TABULATI OPERE EDILI  
SSEU



Ingegneria & Innovazione

30/06/2023

REV: 2

Pag. 340

Platee - Verifiche pressoflessione retta allo SLU

Dir	Pos	Nodo	N <sub>Ed</sub>		M <sub>Ed</sub>		A <sub>s</sub>		A <sub>df</sub>		CS	Nodo	N <sub>Ed</sub>		M <sub>Ed</sub>		A <sub>s</sub>		A <sub>df</sub>		CS
			[N]	[N-m]	[cm <sup>2</sup> /cm]	[cm <sup>2</sup> /cm]	[N]	[N-m]	[cm <sup>2</sup> /cm]	[cm <sup>2</sup> /cm]			[N]	[N-m]	[cm <sup>2</sup> /cm]	[cm <sup>2</sup> /cm]					
	I		0	4.618	2,356 19	2,356 19	NS		0	4.697	2,356 19	2,356 19	NS		0	4.787	2,356 19	2,356 19	NS		
S	S		0	0	1,413 72	1,413 72	-		0	0	1,413 72	1,413 72	-		0	0	1,413 72	1,413 72	-		
	I		0	766.4 08	1,413 72	1,413 72	28,4 5		0	565.4 80	1,413 72	1,413 72	38,5 6		0	375.4 52	1,413 72	1,413 72	58,07		
P	S	00389	0	1.687. 784	2,356 19	2,356 19	21,5 3	00390	0	1.230. 760	2,356 19	2,356 19	29,5 2	00391	0	822.0 21	2,356 19	2,356 19	44,20		
	I		0	4.880	2,356 19	2,356 19	NS		0	4.969	2,356 19	2,356 19	NS		0	5.044	2,356 19	2,356 19	NS		
S	S		0	0	1,413 72	1,413 72	-		0	0	1,413 72	1,413 72	-		0	14.66 9	1,413 72	1,413 72	NS		
	I		0	212.9 30	1,413 72	1,413 72	NS		0	83.70 2	1,413 72	1,413 72	NS		0	4.950	1,413 72	1,413 72	NS		
P	S	00392	0	481.1 26	2,356 19	2,356 19	75,5 2	00393	0	219.3 32	2,356 19	2,356 19	NS	00394	0	41.30 3	2,356 19	2,356 19	NS		
	I		0	5.072	2,356 19	2,356 19	NS		0	4.955	2,356 19	2,356 19	NS		0	4.752	2,356 19	2,356 19	NS		
S	S		0	84.73 4	1,413 72	1,413 72	NS		0	136.1 55	1,413 72	1,413 72	NS		0	182.5 31	1,413 72	1,413 72	NS		
	I		0	4.991	1,413 72	1,413 72	NS		0	5.328	1,413 72	1,413 72	NS		0	4.221	1,413 72	1,413 72	NS		
P	S	00395	0	0	2,356 19	2,356 19	-	00396	0	0	2,356 19	2,356 19	-	00397	0	0	2,356 19	2,356 19	-		
	I		0	143.6 08	2,356 19	2,356 19	NS		0	406.1 50	2,356 19	2,356 19	89,4 6		0	785.4 56	2,356 19	2,356 19	46,26		
S	S		0	0	1,413 72	1,413 72	-		0	0	1,413 72	1,413 72	-		0	0	1,413 72	1,413 72	-		
	I		0	979.0 96	1,413 72	1,413 72	22,2 7		0	939.9 58	1,413 72	1,413 72	23,2 0		0	894.2 83	1,413 72	1,413 72	24,38		
P	S	00398	0	0	2,356 19	2,356 19	-	00399	0	0	2,356 19	2,356 19	-	00400	0	0	2,356 19	2,356 19	-		
	I		0	1.277. 697	2,356 19	2,356 19	28,4 4		0	1.872. 141	2,356 19	2,356 19	19,4 1		0	2.548. 998	2,356 19	2,356 19	14,25		
S	S		0	0	1,413 72	1,413 72	-		0	0	1,413 72	1,413 72	-		0	0	1,413 72	1,413 72	-		
	I		0	824.9 33	1,413 72	1,413 72	26,4 3		0	720.5 19	1,413 72	1,413 72	30,2 6		0	569.5 81	1,413 72	1,413 72	38,28		
P	S	00401	0	0	2,356 19	2,356 19	-	00402	0	0	2,356 19	2,356 19	-	00403	0	0	2,356 19	2,356 19	-		
	I		0	3.274. 477	2,356 19	2,356 19	11,1 0		0	3.994. 129	2,356 19	2,356 19	9,10		0	4.624. 948	2,356 19	2,356 19	7,86		
S	S		0	0	1,413 72	1,413 72	-		0	0	1,413 72	1,413 72	-		0	187.8 97	1,413 72	1,413 72	NS		
	I		0	364.4 27	1,413 72	1,413 72	59,8 3		0	106.3 71	1,413 72	1,413 72	NS		0	4.815	1,413 72	1,413 72	NS		
P	S	00404	0	0	2,356 19	2,356 19	-	00405	0	0	2,356 19	2,356 19	-	00406	0	0	2,356 19	2,356 19	-		
	I		0	5.049. 123	2,356 19	2,356 19	7,20		0	5.115. 814	2,356 19	2,356 19	7,10		0	4.662. 073	2,356 19	2,356 19	7,79		
S	S		0	473.5 41	1,413 72	1,413 72	46,0 4		0	681.7 37	1,413 72	1,413 72	31,9 8		0	724.6 56	1,413 72	1,413 72	30,09		
	I		0	4.800	1,413 72	1,413 72	NS		0	4.787	1,413 72	1,413 72	NS		0	4.776	1,413 72	1,413 72	NS		
P	S	00407	0	0	2,356 19	2,356 19	-	00408	0	0	2,356 19	2,356 19	-	00409	0	122.5 14	2,356 19	2,356 19	NS		
	I		0	3.569. 695	2,356 19	2,356 19	10,1 8		0	1.871. 165	2,356 19	2,356 19	19,4 2		0	4.386	2,356 19	2,356 19	NS		
S	S		0	529.1 56	1,413 72	1,413 72	41,2 0		0	93.46 6	1,413 72	1,413 72	NS		0	0	1,413 72	1,413 72	-		
	I		0	4.767	1,413 72	1,413 72	NS		0	4.763	1,413 72	1,413 72	NS		0	458.3 15	1,413 72	1,413 72	47,57		
P	S	00410	0	1.902. 802	2,356 19	2,356 19	19,0 9	00411	0	3.141. 806	2,356 19	2,356 19	11,5 6	00412	0	3.782. 997	2,356 19	2,356 19	9,60		
	I		0	4.397	2,356 19	2,356 19	NS		0	4.421	2,356 19	2,356 19	NS		0	4.457	2,356 19	2,356 19	NS		

Il presente documento è di proprietà della ANTEX GROUP srl.  
È Vietato la comunicazione a terzi o la riproduzione senza il permesso scritto della suddetta.  
La società tutela i propri diritti a rigore di Legge.

Comm.: C20-025-S05





PARCO EOLICO DI "BUDDUSO"

RELAZIONE DI CALCOLO E TABULATI OPERE EDILI  
SSEU



Ingegneria & Innovazione

30/06/2023

REV: 2

Pag. 341

Platee - Verifiche pressoflessione retta allo SLU

Dir	Pos	Nodo	N <sub>Ed</sub>	M <sub>Ed</sub>	A <sub>s</sub>	A <sub>df</sub>	CS	Nodo	N <sub>Ed</sub>	M <sub>Ed</sub>	A <sub>s</sub>	A <sub>df</sub>	CS	Nodo	N <sub>Ed</sub>	M <sub>Ed</sub>	A <sub>s</sub>	A <sub>df</sub>	CS
			[N]	[N-m]	[cm <sup>2</sup> /cm]	[cm <sup>2</sup> /cm]			[N]	[N-m]	[cm <sup>2</sup> /cm]	[cm <sup>2</sup> /cm]			[N]	[N-m]	[cm <sup>2</sup> /cm]	[cm <sup>2</sup> /cm]	
S	S		0	0	1,413 72	1,413 72	-		0	0	1,413 72	1,413 72	-		0	0	1,413 72	1,413 72	-
	I		0	915.2 26	1,413 72	1,413 72	23,8 2		0	1.146. 362	1,413 72	1,413 72	19,0 2		0	1.144. 190	1,413 72	1,413 72	19,06
P	S	00413	0	3.921. 684	2,356 19	2,356 19	9,26	00414	0	3.702. 857	2,356 19	2,356 19	9,81	00415	0	3.265. 055	2,356 19	2,356 19	11,13
	I		0	4.506	2,356 19	2,356 19	NS		0	4.568	2,356 19	2,356 19	NS		0	4.642	2,356 19	2,356 19	NS
S	S		0	0	1,413 72	1,413 72	-		0	0	1,413 72	1,413 72	-		0	0	1,413 72	1,413 72	-
	I		0	973.9 55	1,413 72	1,413 72	22,3 9		0	718.6 88	1,413 72	1,413 72	30,3 4		0	446.7 32	1,413 72	1,413 72	48,81
P	S	00416	0	2.718. 637	2,356 19	2,356 19	13,3 6	00417	0	2.142. 763	2,356 19	2,356 19	16,9 6	00418	0	1.590. 456	2,356 19	2,356 19	22,84
	I		0	4.729	2,356 19	2,356 19	NS		0	4.823	2,356 19	2,356 19	NS		0	4.918	2,356 19	2,356 19	NS
S	S		0	0	1,413 72	1,413 72	-		0	603	1,413 72	1,413 72	NS		0	150.4 41	1,413 72	1,413 72	NS
	I		0	201.0 09	1,413 72	1,413 72	NS		0	4.852	1,413 72	1,413 72	NS		0	4.860	1,413 72	1,413 72	NS
P	S	00419	0	1.095. 578	2,356 19	2,356 19	33,1 6	00420	0	678.8 68	2,356 19	2,356 19	53,5 2	00421	0	352.3 99	2,356 19	2,356 19	NS
	I		0	5.006	2,356 19	2,356 19	NS		0	5.071	2,356 19	2,356 19	NS		0	5.148	2,356 19	2,356 19	NS
S	S		0	256.9 98	1,413 72	1,413 72	84,8 4		0	329.3 73	1,413 72	1,413 72	66,1 9		0	378.0 21	1,413 72	1,413 72	57,68
	I		0	4.869	1,413 72	1,413 72	NS		0	4.881	1,413 72	1,413 72	NS		0	4.758	1,413 72	1,413 72	NS
P	S	00422	0	120.1 31	2,356 19	2,356 19	NS	00423	0	0	2,356 19	2,356 19	-	00424	0	0	2,356 19	2,356 19	-
	I		0	5.722	2,356 19	2,356 19	NS		0	40.99 3	2,356 19	2,356 19	NS		0	239.1 47	2,356 19	2,356 19	NS
S	S		0	417.4 54	1,413 72	1,413 72	52,2 3		0	0	1,413 72	1,413 72	-		0	0	1,413 72	1,413 72	-
	I		0	4.820	1,413 72	1,413 72	NS		0	1.379. 104	1,413 72	1,413 72	15,8 1		0	1.357. 345	1,413 72	1,413 72	16,06
P	S	00425	0	0	2,356 19	2,356 19	-	00426	0	0	2,356 19	2,356 19	-	00427	0	0	2,356 19	2,356 19	-
	I		0	567.2 13	2,356 19	2,356 19	64,0 5		0	1.027. 421	2,356 19	2,356 19	35,3 6		0	1.618. 074	2,356 19	2,356 19	22,45
S	S		0	0	1,413 72	1,413 72	-		0	0	1,413 72	1,413 72	-		0	0	1,413 72	1,413 72	-
	I		0	1.341. 012	1,413 72	1,413 72	16,2 6		0	1.317. 558	1,413 72	1,413 72	16,5 5		0	1.268. 382	1,413 72	1,413 72	17,19
P	S	00428	0	0	2,356 19	2,356 19	-	00429	0	0	2,356 19	2,356 19	-	00430	0	0	2,356 19	2,356 19	-
	I		0	2.330. 497	2,356 19	2,356 19	15,5 9		0	3.145. 967	2,356 19	2,356 19	11,5 5		0	4.028. 100	2,356 19	2,356 19	9,02
S	S		0	0	1,413 72	1,413 72	-		0	0	1,413 72	1,413 72	-		0	0	1,413 72	1,413 72	-
	I		0	1.175. 916	1,413 72	1,413 72	18,5 4		0	1.020. 978	1,413 72	1,413 72	21,3 5		0	786.5 85	1,413 72	1,413 72	27,72
P	S	00431	0	0	2,356 19	2,356 19	-	00432	0	0	2,356 19	2,356 19	-	00433	0	0	2,356 19	2,356 19	-
	I		0	4.910. 844	2,356 19	2,356 19	7,40		0	5.682. 786	2,356 19	2,356 19	6,39		0	6.172. 148	2,356 19	2,356 19	5,89
S	S		0	0	1,413 72	1,413 72	-		0	0	1,413 72	1,413 72	-		0	316.1 13	1,413 72	1,413 72	68,97
	I		0	466.5 91	1,413 72	1,413 72	46,7 3		0	79.55 6	1,413 72	1,413 72	NS		0	4.716	1,413 72	1,413 72	NS
P	S	00434	0	0	2,356 19	2,356 19	-	00435	0	0	2,356 19	2,356 19	-	00436	0	0	2,356 19	2,356 19	-
	I		0	6.144. 122	2,356 19	2,356 19	5,91		0	5.334. 386	2,356 19	2,356 19	6,81		0	3.563. 899	2,356 19	2,356 19	10,19
S	S		0	608.3 11	1,413 72	1,413 72	35,8 4		0	655.0 38	1,413 72	1,413 72	33,2 8		0	345.7 67	1,413 72	1,413 72	63,06

Il presente documento è di proprietà della ANTEX GROUP srl.  
È vietato la comunicazione a terzi o la riproduzione senza il permesso scritto della suddetta.  
La società tutela i propri diritti a rigore di Legge.

Comm.: C20-025-S05





PARCO EOLICO DI "BUDDUSO"

RELAZIONE DI CALCOLO E TABULATI OPERE EDILI  
SSEU



Ingegneria & Innovazione

30/06/2023

REV: 2

Pag. 342

Platee - Verifiche pressoflessione retta allo SLU

Dir	Pos	Nodo	N <sub>Ed</sub>		M <sub>Ed</sub>		CS	Nodo	N <sub>Ed</sub>		M <sub>Ed</sub>		CS	Nodo	N <sub>Ed</sub>		M <sub>Ed</sub>		CS
			[N]	[N-m]	[cm <sup>2</sup> /cm]	[cm <sup>2</sup> /cm]			[N]	[N-m]	[cm <sup>2</sup> /cm]	[cm <sup>2</sup> /cm]			[N]	[N-m]	[cm <sup>2</sup> /cm]	[cm <sup>2</sup> /cm]	
	I		0	4.703	1,413 72	1,413 72	NS		0	4.692	1,413 72	1,413 72	NS		0	4.684	1,413 72	1,413 72	NS
P	S	00437	0	0	2,356 19	2,356 19	-	00438	0	1.648. 992	2,356 19	2,356 19	22,0 3	00439	0	3.571. 135	2,356 19	2,356 19	10,17
	I		0	985.9 35	2,356 19	2,356 19	36,8 5		0	4.397	2,356 19	2,356 19	NS		0	4.409	2,356 19	2,356 19	NS
S	S		0	0	1,413 72	1,413 72	-		0	0	1,413 72	1,413 72	-		0	0	1,413 72	1,413 72	-
	I		0	275.7 12	1,413 72	1,413 72	79,0 8		0	909.5 13	1,413 72	1,413 72	23,9 7		0	1.253. 039	1,413 72	1,413 72	17,40
P	S	00440	0	4.594. 200	2,356 19	2,356 19	7,91	00441	0	4.863. 220	2,356 19	2,356 19	7,47	00442	0	4.616. 480	2,356 19	2,356 19	7,87
	I		0	4.432	2,356 19	2,356 19	NS		0	4.469	2,356 19	2,356 19	NS		0	4.521	2,356 19	2,356 19	NS
S	S		0	0	1,413 72	1,413 72	-		0	0	1,413 72	1,413 72	-		0	0	1,413 72	1,413 72	-
	I		0	1.248. 198	1,413 72	1,413 72	17,4 7		0	993.6 85	1,413 72	1,413 72	21,9 4		0	625.7 85	1,413 72	1,413 72	34,84
P	S	00443	0	4.071. 903	2,356 19	2,356 19	8,92	00444	0	3.391. 851	2,356 19	2,356 19	10,7 1	00445	0	2.683. 483	2,356 19	2,356 19	13,54
	I		0	4.588	2,356 19	2,356 19	NS		0	4.669	2,356 19	2,356 19	NS		0	4.762	2,356 19	2,356 19	NS
S	S		0	0	1,413 72	1,413 72	-		0	67.07 7	1,413 72	1,413 72	NS		0	308.2 09	1,413 72	1,413 72	70,74
	I		0	252.2 57	1,413 72	1,413 72	86,4 3		0	4.759	1,413 72	1,413 72	NS		0	4.771	1,413 72	1,413 72	NS
P	S	00446	0	2.011. 759	2,356 19	2,356 19	18,0 6	00447	0	1.413. 695	2,356 19	2,356 19	25,7 0	00448	0	909.4 69	2,356 19	2,356 19	39,95
	I		0	4.862	2,356 19	2,356 19	NS		0	4.963	2,356 19	2,356 19	NS		0	5.055	2,356 19	2,356 19	NS
S	S		0	475.1 09	1,413 72	1,413 72	45,8 9		0	581.7 69	1,413 72	1,413 72	37,4 8		0	645.0 71	1,413 72	1,413 72	33,80
	I		0	4.781	1,413 72	1,413 72	NS		0	4.787	1,413 72	1,413 72	NS		0	4.785	1,413 72	1,413 72	NS
P	S	00449	0	509.6 06	2,356 19	2,356 19	71,3 0	00450	0	218.0 87	2,356 19	2,356 19	NS	00451	0	34.43 5	2,356 19	2,356 19	NS
	I		0	5.105	2,356 19	2,356 19	NS		0	5.007	2,356 19	2,356 19	NS		0	4.800	2,356 19	2,356 19	NS
S	S		0	680.8 33	1,413 72	1,413 72	32,0 2		0	705.3 82	1,413 72	1,413 72	30,9 1		0	734.2 46	1,413 72	1,413 72	29,69
	I		0	4.818	1,413 72	1,413 72	NS		0	5.143	1,413 72	1,413 72	NS		0	4.027	1,413 72	1,413 72	NS
P	S	00452	0	0	2,356 19	2,356 19	-	00453	0	0	2,356 19	2,356 19	-	00454	0	0	2,356 19	2,356 19	-
	I		0	110.0 72	2,356 19	2,356 19	NS		0	352.5 69	2,356 19	2,356 19	NS		0	752.3 17	2,356 19	2,356 19	48,29
S	S		0	0	1,413 72	1,413 72	-		0	0	1,413 72	1,413 72	-		0	0	1,413 72	1,413 72	-
	I		0	1.779. 445	1,413 72	1,413 72	12,2 5		0	1.791. 931	1,413 72	1,413 72	12,1 7		0	1.818. 156	1,413 72	1,413 72	11,99
P	S	00455	0	0	2,356 19	2,356 19	-	00456	0	0	2,356 19	2,356 19	-	00457	0	0	2,356 19	2,356 19	-
	I		0	1.304. 623	2,356 19	2,356 19	27,8 5		0	2.009. 276	2,356 19	2,356 19	18,0 8		0	2.862. 700	2,356 19	2,356 19	12,69
S	S		0	0	1,413 72	1,413 72	-		0	0	1,413 72	1,413 72	-		0	0	1,413 72	1,413 72	-
	I		0	1.836. 488	1,413 72	1,413 72	11,8 7		0	1.829. 505	1,413 72	1,413 72	11,9 2		0	1.771. 834	1,413 72	1,413 72	12,31
P	S	00458	0	0	2,356 19	2,356 19	-	00459	0	0	2,356 19	2,356 19	-	00460	0	0	2,356 19	2,356 19	-
	I		0	3.851. 508	2,356 19	2,356 19	9,43		0	4.940. 512	2,356 19	2,356 19	7,35		0	6.051. 820	2,356 19	2,356 19	6,00
S	S		0	0	1,413 72	1,413 72	-		0	0	1,413 72	1,413 72	-		0	0	1,413 72	1,413 72	-
	I		0	1.631. 765	1,413 72	1,413 72	13,3 6		0	1.375. 389	1,413 72	1,413 72	15,8 5		0	979.5 40	1,413 72	1,413 72	22,26

Il presente documento è di proprietà della ANTEX GROUP srl.  
È Vietato la comunicazione a terzi o la riproduzione senza il permesso scritto della suddetta.  
La società tutela i propri diritti a rigore di Legge.

Comm.: C20-025-S05





PARCO EOLICO DI "BUDDUSO"

RELAZIONE DI CALCOLO E TABULATI OPERE EDILI  
SSEU



Ingegneria & Innovazione

30/06/2023

REV: 2

Pag. 343

Platee - Verifiche pressoflessione retta allo SLU

Dir	Pos	Nodo	NEd			MEd			CS	Nodo			MEd			CS	NEd			MEd			CS		
			[N]	[N-m]	[cm <sup>2</sup> /cm]	[cm <sup>2</sup> /cm]	[N-m]	[N]		[N-m]	[cm <sup>2</sup> /cm]	[N]	[N-m]	[cm <sup>2</sup> /cm]	[N]		[N-m]	[cm <sup>2</sup> /cm]	[N]	[N-m]	[cm <sup>2</sup> /cm]	[N]		[N-m]	[cm <sup>2</sup> /cm]
P	S	00461	0	0	2,356	2,356	-	00462	0	0	2,356	2,356	-	00463	0	0	2,356	2,356	-	00464	0	0	2,356	2,356	-
			0	7.033.916	2,356	2,356	5,17		0	7.625.915	2,356	2,356	4,76		0	7.439.423	2,356	2,356	4,88						
S	S	00461	0	0	1,413	1,413	-	00462	0	107.335	1,413	1,413	NS	00463	0	530.878	1,413	1,413	41,07	00464	0	4.632	1,413	1,413	NS
			0	457.424	1,413	1,413	47,66		0	4.644	1,413	1,413	NS		0	4.632	1,413	1,413	NS						
P	S	00464	0	0	2,356	2,356	-	00465	0	0	2,356	2,356	-	00466	0	837.491	2,356	2,356	43,38	00467	0	6.012.483	2,356	2,356	NS
			0	6.012.483	2,356	2,356	6,04		0	3.048.098	2,356	2,356	11,92		0	4.408	2,356	2,356	NS						
S	S	00464	0	565.904	1,413	1,413	38,53	00465	0	38.578	1,413	1,413	NS	00466	0	0	1,413	1,413	-	00467	0	830.833	1,413	1,413	26,24
			0	4.622	1,413	1,413	NS		0	4.615	1,413	1,413	NS		0	830.833	1,413	1,413	26,24						
P	S	00467	0	3.947.883	2,356	2,356	9,20	00468	0	5.618.386	2,356	2,356	6,47	00469	0	6.092.252	2,356	2,356	5,96	00470	0	4.442	2,356	2,356	NS
			0	4.411	2,356	2,356	NS		0	4.419	2,356	2,356	NS		0	4.442	2,356	2,356	NS						
S	S	00467	0	0	1,413	1,413	-	00468	0	0	1,413	1,413	-	00469	0	0	1,413	1,413	-	00470	0	1.388.977	1,413	1,413	15,70
			0	1.388.977	1,413	1,413	15,70		0	1.397.317	1,413	1,413	15,60		0	1.010.873	1,413	1,413	21,57						
P	S	00470	0	5.791.577	2,356	2,356	6,27	00471	0	5.080.728	2,356	2,356	7,15	00472	0	4.208.662	2,356	2,356	8,63	00473	0	4.611	2,356	2,356	NS
			0	4.481	2,356	2,356	NS		0	4.538	2,356	2,356	NS		0	4.611	2,356	2,356	NS						
S	S	00470	0	0	1,413	1,413	-	00471	0	54.487	1,413	1,413	NS	00472	0	464.844	1,413	1,413	46,90	00473	0	4.685	1,413	1,413	NS
			0	467.538	1,413	1,413	46,63		0	4.671	1,413	1,413	NS		0	4.685	1,413	1,413	NS						
P	S	00473	0	3.322.603	2,356	2,356	10,93	00474	0	2.500.310	2,356	2,356	14,53	00475	0	1.778.751	2,356	2,356	20,43	00476	0	4.700	2,356	2,356	NS
			0	4.700	2,356	2,356	NS		0	4.800	2,356	2,356	NS		0	4.907	2,356	2,356	NS						
S	S	00473	0	746.232	1,413	1,413	29,22	00474	0	916.572	1,413	1,413	23,79	00475	0	1.005.633	1,413	1,413	21,68	00476	0	4.721	1,413	1,413	NS
			0	4.699	1,413	1,413	NS		0	4.711	1,413	1,413	NS		0	4.721	1,413	1,413	NS						
P	S	00476	0	1.173.736	2,356	2,356	30,95	00477	0	691.288	2,356	2,356	52,56	00478	0	333.687	2,356	2,356	NS	00479	0	5.238	2,356	2,356	NS
			0	5.016	2,356	2,356	NS		0	5.117	2,356	2,356	NS		0	5.238	2,356	2,356	NS						
S	S	00476	0	1.042.052	1,413	1,413	20,92	00477	0	1.049.307	1,413	1,413	20,78	00478	0	1.044.369	1,413	1,413	20,88	00479	0	4.583	1,413	1,413	NS
			0	4.728	1,413	1,413	NS		0	4.727	1,413	1,413	NS		0	4.583	1,413	1,413	NS						
P	S	00479	0	104.334	2,356	2,356	NS	00480	0	0	2,356	2,356	-	00481	0	0	2,356	2,356	-	00482	0	1.046.279	1,413	1,413	-
			0	5.795	2,356	2,356	NS		0	10.441	2,356	2,356	NS		0	164.935	2,356	2,356	NS						
S	S	00479	0	1.046.279	1,413	1,413	20,84	00480	0	0	1,413	1,413	-	00481	0	0	1,413	1,413	-	00482	0	4.655	1,413	1,413	9,79
			0	4.655	1,413	1,413	NS		0	2.193.187	1,413	1,413	9,94		0	2.226.431	1,413	1,413	9,79						
P	S	00482	0	0	2,356	2,356	-	00483	0	0	2,356	2,356	-	00484	0	0	2,356	2,356	-	00485	0	0	2,356	2,356	-
			0	481.551	2,356	2,356	75,45		0	964.246	2,356	2,356	37,68		0	1.619.073	2,356	2,356	22,44						
S	S	00482	0	0	1,413	1,413	-	00483	0	0	1,413	1,413	-	00484	0	0	1,413	1,413	-	00485	0	2.288.602	1,413	1,413	8,85
			0	2.288.602	1,413	1,413	9,53		0	2.373.932	1,413	1,413	9,18		0	2.462.610	1,413	1,413	8,85						
P	S	00485	0	0	2,356	2,356	-	00486	0	0	2,356	2,356	-	00487	0	0	2,356	2,356	-						

Il presente documento è di proprietà della ANTEX GROUP srl.  
È Vietato la comunicazione a terzi o la riproduzione senza il permesso scritto della suddetta.  
La società tutela i propri diritti a rigore di Legge.

Comm.: C20-025-S05





PARCO EOLICO DI "BUDDUSO"

RELAZIONE DI CALCOLO E TABULATI OPERE EDILI  
SSEU



Ingegneria & Innovazione

30/06/2023

REV: 2

Pag. 344

Platee - Verifiche pressoflessione retta allo SLU

Dir	Pos	Nodo	N <sub>Ed</sub>	M <sub>Ed</sub>	A <sub>s</sub>	A <sub>df</sub>	CS	Nodo	N <sub>Ed</sub>	M <sub>Ed</sub>	A <sub>s</sub>	A <sub>df</sub>	CS	Nodo	N <sub>Ed</sub>	M <sub>Ed</sub>	A <sub>s</sub>	A <sub>df</sub>	CS
			[N]	[N-m]	[cm <sup>2</sup> /cm]	[cm <sup>2</sup> /cm]			[N]	[N-m]	[cm <sup>2</sup> /cm]	[cm <sup>2</sup> /cm]			[N]	[N-m]	[cm <sup>2</sup> /cm]	[cm <sup>2</sup> /cm]	
	I		0	2.452.970	2,356 19	2,356 19	14,8 1		0	3.472.567	2,356 19	2,356 19	10,4 6		0	4.677.426	2,356 19	2,356 19	7,77
S	S		0	0	1,413 72	1,413 72	-		0	0	1,413 72	1,413 72	-		0	0	1,413 72	1,413 72	-
	I		0	2.531.842	1,413 72	1,413 72	8,61		0	2.547.616	1,413 72	1,413 72	8,56		0	2.460.651	1,413 72	1,413 72	8,86
P	S	00488	0	0	2,356 19	2,356 19	-	00489	0	0	2,356 19	2,356 19	-	00490	0	0	2,356 19	2,356 19	-
	I		0	6.043.030	2,356 19	2,356 19	6,01		0	7.485.148	2,356 19	2,356 19	4,85		0	8.798.651	2,356 19	2,356 19	4,13
S	S		0	0	1,413 72	1,413 72	-		0	0	1,413 72	1,413 72	-		0	0	1,413 72	1,413 72	-
	I		0	2.207.309	1,413 72	1,413 72	9,88		0	1.726.379	1,413 72	1,413 72	12,6 3		0	1.006.839	1,413 72	1,413 72	21,65
P	S	00491	0	0	2,356 19	2,356 19	-	00492	0	0	2,356 19	2,356 19	-	00493	0	0	2,356 19	2,356 19	-
	I		0	9.572.693	2,356 19	2,356 19	3,80		0	9.110.986	2,356 19	2,356 19	3,99		0	6.520.333	2,356 19	2,356 19	5,57
S	S		0	0	1,413 72	1,413 72	-		0	471.602	1,413 72	1,413 72	46,2 3		0	435.180	1,413 72	1,413 72	50,10
	I		0	167.088	1,413 72	1,413 72	NS		0	4.579	1,413 72	1,413 72	NS		0	4.570	1,413 72	1,413 72	NS
P	S	00494	0	0	2,356 19	2,356 19	-	00495	0	4.079.020	2,356 19	2,356 19	8,91	00496	0	6.946.872	2,356 19	2,356 19	5,23
	I		0	1.277.134	2,356 19	2,356 19	28,4 5		0	4.429	2,356 19	2,356 19	NS		0	4.423	2,356 19	2,356 19	NS
S	S		0	0	1,413 72	1,413 72	-		0	0	1,413 72	1,413 72	-		0	0	1,413 72	1,413 72	-
	I		0	544.399	1,413 72	1,413 72	40,0 5		0	1.545.235	1,413 72	1,413 72	14,1 1		0	1.627.433	1,413 72	1,413 72	13,40
P	S	00497	0	7.758.237	2,356 19	2,356 19	4,68	00498	0	7.340.990	2,356 19	2,356 19	4,95	00499	0	6.355.706	2,356 19	2,356 19	5,72
	I		0	4.427	2,356 19	2,356 19	NS		0	4.450	2,356 19	2,356 19	NS		0	4.493	2,356 19	2,356 19	NS
S	S		0	0	1,413 72	1,413 72	-		0	0	1,413 72	1,413 72	-		0	541.677	1,413 72	1,413 72	40,25
	I		0	1.026.653	1,413 72	1,413 72	21,2 4		0	197.187	1,413 72	1,413 72	NS		0	4.611	1,413 72	1,413 72	NS
P	S	00500	0	5.198.283	2,356 19	2,356 19	6,99	00501	0	4.070.514	2,356 19	2,356 19	8,93	00502	0	3.058.633	2,356 19	2,356 19	11,88
	I		0	4.557	2,356 19	2,356 19	NS		0	4.638	2,356 19	2,356 19	NS		0	4.734	2,356 19	2,356 19	NS
S	S		0	1.062.371	1,413 72	1,413 72	20,5 2		0	1.367.863	1,413 72	1,413 72	15,9 4		0	1.511.328	1,413 72	1,413 72	14,43
	I		0	4.622	1,413 72	1,413 72	NS		0	4.635	1,413 72	1,413 72	NS		0	4.649	1,413 72	1,413 72	NS
P	S	00503	0	2.190.990	2,356 19	2,356 19	16,5 8	00504	0	1.472.014	2,356 19	2,356 19	24,6 8	00505	0	898.571	2,356 19	2,356 19	40,43
	I		0	4.842	2,356 19	2,356 19	NS		0	4.961	2,356 19	2,356 19	NS		0	5.089	2,356 19	2,356 19	NS
S	S		0	1.550.661	1,413 72	1,413 72	14,0 6		0	1.531.543	1,413 72	1,413 72	14,2 4		0	1.486.000	1,413 72	1,413 72	14,67
	I		0	4.664	1,413 72	1,413 72	NS		0	4.676	1,413 72	1,413 72	NS		0	4.674	1,413 72	1,413 72	NS
P	S	00506	0	466.670	2,356 19	2,356 19	77,8 5	00507	0	172.618	2,356 19	2,356 19	NS	00508	0	13.292	2,356 19	2,356 19	NS
	I		0	5.204	2,356 19	2,356 19	NS		0	5.214	2,356 19	2,356 19	NS		0	4.994	2,356 19	2,356 19	NS
S	S		0	1.435.734	1,413 72	1,413 72	15,1 9		0	1.399.025	1,413 72	1,413 72	15,5 8		0	1.386.598	1,413 72	1,413 72	15,72
	I		0	4.689	1,413 72	1,413 72	NS		0	4.954	1,413 72	1,413 72	NS		0	3.797	1,413 72	1,413 72	NS
P	S	00509	0	0	2,356 19	2,356 19	-	00510	0	0	2,356 19	2,356 19	-	00511	0	0	2,356 19	2,356 19	-
	I		0	50.972	2,356 19	2,356 19	NS		0	245.336	2,356 19	2,356 19	NS		0	633.875	2,356 19	2,356 19	57,32

Il presente documento è di proprietà della ANTEX GROUP srl.  
È Vietato la comunicazione a terzi o la riproduzione senza il permesso scritto della suddetta.  
La società tutela i propri diritti a rigore di Legge.

Comm.: C20-025-S05







PARCO EOLICO DI "BUDDUSO"

RELAZIONE DI CALCOLO E TABULATI OPERE EDILI  
SSEU



Ingegneria & Innovazione

30/06/2023

REV: 2

Pag. 345

Platee - Verifiche pressoflessione retta allo SLU

Dir	Pos	Nodo	N <sub>Ed</sub>		M <sub>Ed</sub>		CS	Nodo	N <sub>Ed</sub>		M <sub>Ed</sub>		CS	Nodo	N <sub>Ed</sub>		M <sub>Ed</sub>		CS
			[N]	[N-m]	[cm <sup>2</sup> /cm]	[cm <sup>2</sup> /cm]			[N]	[N-m]	[cm <sup>2</sup> /cm]	[cm <sup>2</sup> /cm]			[N]	[N-m]	[cm <sup>2</sup> /cm]	[cm <sup>2</sup> /cm]	
S	S		0	0	1,413 72	1,413 72	-		0	0	1,413 72	1,413 72	-		0	0	1,413 72	1,413 72	-
	I		0	2.608. 648	1,413 72	1,413 72	8,36		0	2.697. 897	1,413 72	1,413 72	8,08		0	2.837. 547	1,413 72	1,413 72	7,68
P	S	00512	0	0	2,356 19	2,356 19	-	00513	0	0	2,356 19	2,356 19	-	00514	0	0	2,356 19	2,356 19	-
	I		0	1.206. 098	2,356 19	2,356 19	30,1 2		0	1.971. 806	2,356 19	2,356 19	18,4 3		0	2.948. 095	2,356 19	2,356 19	12,32
S	S		0	0	1,413 72	1,413 72	-		0	0	1,413 72	1,413 72	-		0	0	1,413 72	1,413 72	-
	I		0	3.010. 934	1,413 72	1,413 72	7,24		0	3.206. 341	1,413 72	1,413 72	6,80		0	3.400. 560	1,413 72	1,413 72	6,41
P	S	00515	0	0	2,356 19	2,356 19	-	00516	0	0	2,356 19	2,356 19	-	00517	0	0	2,356 19	2,356 19	-
	I		0	4.158. 638	2,356 19	2,356 19	8,74		0	5.628. 758	2,356 19	2,356 19	6,45		0	7.366. 056	2,356 19	2,356 19	4,93
S	S		0	0	1,413 72	1,413 72	-		0	0	1,413 72	1,413 72	-		0	0	1,413 72	1,413 72	-
	I		0	3.553. 012	1,413 72	1,413 72	6,14		0	3.594. 476	1,413 72	1,413 72	6,07		0	3.414. 158	1,413 72	1,413 72	6,39
P	S	00518	0	0	2,356 19	2,356 19	-	00519	0	0	2,356 19	2,356 19	-	00520	0	0	2,356 19	2,356 19	-
	I		0	9.303. 738	2,356 19	2,356 19	3,91		0	11.17 4.132	2,356 19	2,356 19	3,25		-2	12.31 2.916	2,356 19	2,356 19	2,95
S	S		0	0	1,413 72	1,413 72	-		0	0	1,413 72	1,413 72	-		0	0	1,413 72	1,413 72	-
	I		0	2.866. 621	1,413 72	1,413 72	7,61		0	1.857. 357	1,413 72	1,413 72	11,7 4		2	537.9 02	1,413 72	1,413 72	40,53
P	S	00521	0	0	2,356 19	2,356 19	-	00522	0	0	2,356 19	2,356 19	-	00523	6	3.290. 022	2,356 19	2,356 19	11,04
	I		-8	11.38 6.108	2,356 19	2,356 19	3,19		-6	6.205. 926	2,356 19	2,356 19	5,85		0	4.464	2,356 19	2,356 19	NS
S	S		8	496.0 43	1,413 72	1,413 72	43,9 5		6	184.1 37	1,413 72	1,413 72	NS		0	0	1,413 72	1,413 72	-
	I		0	4.551	1,413 72	1,413 72	NS		0	4.545	1,413 72	1,413 72	NS		-6	1.663. 970	1,413 72	1,413 72	13,10
P	S	00524	8	8.777. 963	2,356 19	2,356 19	4,14	00525	2	10.14 2.415	2,356 19	2,356 19	3,58	00526	0	9.452. 321	2,356 19	2,356 19	3,84
	I		0	4.448	2,356 19	2,356 19	NS		0	4.428	2,356 19	2,356 19	NS		0	4.430	2,356 19	2,356 19	NS
S	S		0	0	1,413 72	1,413 72	-		0	0	1,413 72	1,413 72	-		0	296.1 41	1,413 72	1,413 72	73,62
	I		-8	2.025. 190	1,413 72	1,413 72	10,7 7		-2	1.030. 291	1,413 72	1,413 72	21,1 6		0	4.565	1,413 72	1,413 72	NS
P	S	00527	0	7.985. 728	2,356 19	2,356 19	4,55	00528	0	6.389. 391	2,356 19	2,356 19	5,69	00529	0	4.931. 084	2,356 19	2,356 19	7,37
	I		0	4.457	2,356 19	2,356 19	NS		0	4.508	2,356 19	2,356 19	NS		0	4.580	2,356 19	2,356 19	NS
S	S		0	1.355. 460	1,413 72	1,413 72	16,0 9		0	1.982. 407	1,413 72	1,413 72	11,0 0		0	2.255. 131	1,413 72	1,413 72	9,67
	I		0	4.569	1,413 72	1,413 72	NS		0	4.574	1,413 72	1,413 72	NS		0	4.582	1,413 72	1,413 72	NS
P	S	00530	0	3.683. 974	2,356 19	2,356 19	9,86	00531	0	2.647. 770	2,356 19	2,356 19	13,7 2	00532	0	1.803. 495	2,356 19	2,356 19	20,15
	I		0	4.670	2,356 19	2,356 19	NS		0	4.774	2,356 19	2,356 19	NS		0	4.890	2,356 19	2,356 19	NS
S	S		0	2.307. 012	1,413 72	1,413 72	9,45		0	2.241. 612	1,413 72	1,413 72	9,73		0	2.124. 389	1,413 72	1,413 72	10,26
	I		0	4.593	1,413 72	1,413 72	NS		0	4.609	1,413 72	1,413 72	NS		0	4.627	1,413 72	1,413 72	NS
P	S	00533	0	1.132. 448	2,356 19	2,356 19	32,0 8	00534	0	621.2 47	2,356 19	2,356 19	58,4 8	00535	0	262.4 02	2,356 19	2,356 19	NS
	I		0	5.020	2,356 19	2,356 19	NS		0	5.179	2,356 19	2,356 19	NS		0	5.533	2,356 19	2,356 19	NS
S	S		0	1.994. 297	1,413 72	1,413 72	10,9 3		0	1.874. 235	1,413 72	1,413 72	11,6 3		0	1.776. 934	1,413 72	1,413 72	12,27

Il presente documento è di proprietà della ANTEX GROUP srl.  
È vietato la comunicazione a terzi o la riproduzione senza il permesso scritto della suddetta.  
La società tutela i propri diritti a rigore di Legge.

Comm.: C20-025-S05





PARCO EOLICO DI "BUDDUSO"

RELAZIONE DI CALCOLO E TABULATI OPERE EDILI  
SSEU



Ingegneria & Innovazione

30/06/2023

REV: 2

Pag. 346

Platee - Verifiche pressoflessione retta allo SLU

Dir	Pos	Nodo	N <sub>Ed</sub>	M <sub>Ed</sub>	A <sub>s</sub>	A <sub>df</sub>	CS	Nodo	N <sub>Ed</sub>	M <sub>Ed</sub>	A <sub>s</sub>	A <sub>df</sub>	CS	Nodo	N <sub>Ed</sub>	M <sub>Ed</sub>	A <sub>s</sub>	A <sub>df</sub>	CS
			[N]	[N-m]	[cm <sup>2</sup> /cm]	[cm <sup>2</sup> /cm]			[N]	[N-m]	[cm <sup>2</sup> /cm]	[cm <sup>2</sup> /cm]			[N]	[N-m]	[cm <sup>2</sup> /cm]	[cm <sup>2</sup> /cm]	
	I		0	4.652	1,413 72	1,413 72	NS		0	4.667	1,413 72	1,413 72	NS		0	4.499	1,413 72	1,413 72	NS
P	S	00536	0	62.65 5	2,356 19	2,356 19	NS	00537	0	10.46 5	2,356 19	2,356 19	NS	00538	0	0	2,356 19	2,356 19	-
	I		0	6.298	2,356 19	2,356 19	NS		0	5.988	2,356 19	2,356 19	NS		0	67.00 9	2,356 19	2,356 19	NS
S	S		0	1.717. 562	1,413 72	1,413 72	12,6 9		0	0	1,413 72	1,413 72	-		0	0	1,413 72	1,413 72	-
	I		0	4.431	1,413 72	1,413 72	NS		0	2.915. 151	1,413 72	1,413 72	7,48		0	3.032. 456	1,413 72	1,413 72	7,19
P	S	00539	0	0	2,356 19	2,356 19	-	00540	0	0	2,356 19	2,356 19	-	00541	0	0	2,356 19	2,356 19	-
	I		0	347.1 68	2,356 19	2,356 19	NS		0	816.2 56	2,356 19	2,356 19	44,5 1		0	1.482. 977	2,356 19	2,356 19	24,50
S	S		0	0	1,413 72	1,413 72	-		0	0	1,413 72	1,413 72	-		0	0	1,413 72	1,413 72	-
	I		0	3.198. 022	1,413 72	1,413 72	6,82		0	3.429. 352	1,413 72	1,413 72	6,36		0	3.721. 814	1,413 72	1,413 72	5,86
P	S	00542	0	0	2,356 19	2,356 19	-	00543	0	0	2,356 19	2,356 19	-	00544	0	0	2,356 19	2,356 19	-
	I		0	2.364. 701	2,356 19	2,356 19	15,3 6		0	3.492. 155	2,356 19	2,356 19	10,4 0		0	4.913. 548	2,356 19	2,356 19	7,39
S	S		0	0	1,413 72	1,413 72	-		0	0	1,413 72	1,413 72	-		0	0	1,413 72	1,413 72	-
	I		0	4.068. 448	1,413 72	1,413 72	5,36		0	4.452. 491	1,413 72	1,413 72	4,90		0	4.837. 495	1,413 72	1,413 72	4,51
P	S	00545	0	0	2,356 19	2,356 19	-	00546	0	0	2,356 19	2,356 19	-	00547	0	0	2,356 19	2,356 19	-
	I		0	6.697. 694	2,356 19	2,356 19	5,42		0	8.925. 260	2,356 19	2,356 19	4,07		1	11.62 4.734	2,356 19	2,356 19	3,13
S	S		0	0	1,413 72	1,413 72	-		0	0	1,413 72	1,413 72	-		0	0	1,413 72	1,413 72	-
	I		0	5.146. 128	1,413 72	1,413 72	4,24		0	5.216. 492	1,413 72	1,413 72	4,18		-1	4.738. 891	1,413 72	1,413 72	4,60
P	S	00548	0	0	2,356 19	2,356 19	-	00549	0	0	2,356 19	2,356 19	-	00550	0	0	2,356 19	2,356 19	-
	I		-12	14.51 8.854	2,356 19	2,356 19	2,50		95	16.43 7.183	2,356 19	2,356 19	2,21		228	14.71 3.472	2,356 19	2,356 19	2,47
S	S		0	0	1,413 72	1,413 72	-		0	0	1,413 72	1,413 72	-		-218	658.3 28	1,413 72	1,413 72	33,12
	I		11	3.321. 648	1,413 72	1,413 72	6,56		-90	1.087. 294	1,413 72	1,413 72	20,0 5		0	4.555	1,413 72	1,413 72	NS
P	S	00551	0	0	2,356 19	2,356 19	-	00552	-228	11.50 7.053	2,356 19	2,356 19	3,16	00553	-95	13.80 4.822	2,356 19	2,356 19	2,63
	I		0	1.751. 471	2,356 19	2,356 19	20,7 4		0	4.502	2,356 19	2,356 19	NS		0	4.452	2,356 19	2,356 19	NS
S	S		0	0	1,413 72	1,413 72	-		0	0	1,413 72	1,413 72	-		0	0	1,413 72	1,413 72	-
	I		0	986.5 45	1,413 72	1,413 72	22,1 0		218	2.680. 642	1,413 72	1,413 72	8,13		90	980.0 65	1,413 72	1,413 72	22,25
P	S	00554	12	12.47 1.539	2,356 19	2,356 19	2,91	00555	-1	10.08 4.320	2,356 19	2,356 19	3,60	00556	0	7.796. 596	2,356 19	2,356 19	4,66
	I		0	4.424	2,356 19	2,356 19	NS		0	4.430	2,356 19	2,356 19	NS		0	4.467	2,356 19	2,356 19	NS
S	S		-11	1.290. 653	1,413 72	1,413 72	16,8 9		1	2.814. 291	1,413 72	1,413 72	7,75		0	3.435. 922	1,413 72	1,413 72	6,35
	I		0	4.555	1,413 72	1,413 72	NS		0	4.547	1,413 72	1,413 72	NS		0	4.541	1,413 72	1,413 72	NS
P	S	00557	0	5.895. 452	2,356 19	2,356 19	6,16	00558	0	4.367. 415	2,356 19	2,356 19	8,32	00559	0	3.144. 599	2,356 19	2,356 19	11,55
	I		0	4.529	2,356 19	2,356 19	NS		0	4.610	2,356 19	2,356 19	NS		0	4.708	2,356 19	2,356 19	NS
S	S		0	3.517. 926	1,413 72	1,413 72	6,20		0	3.353. 440	1,413 72	1,413 72	6,50		0	3.097. 076	1,413 72	1,413 72	7,04
	I		0	4.541	1,413 72	1,413 72	NS		0	4.547	1,413 72	1,413 72	NS		0	4.559	1,413 72	1,413 72	NS

Il presente documento è di proprietà della ANTEX GROUP srl.  
È Vietato la comunicazione a terzi o la riproduzione senza il permesso scritto della suddetta.  
La società tutela i propri diritti a rigore di Legge.

Comm.: C20-025-S05





PARCO EOLICO DI "BUDDUSO"

RELAZIONE DI CALCOLO E TABULATI OPERE EDILI  
SSEU



Ingegneria & Innovazione

30/06/2023

REV: 2

Pag. 347

Platee - Verifiche pressoflessione retta allo SLU

Dir	Pos	Nodo	NEd				MEd				CS								
			[N]	[N-m]	[cm <sup>2</sup> /cm]	[cm <sup>2</sup> /cm]	[N]	[N-m]	[cm <sup>2</sup> /cm]	[cm <sup>2</sup> /cm]	[N]	[N-m]	[cm <sup>2</sup> /cm]	[cm <sup>2</sup> /cm]					
P	S	00560	0	2.167.732	2,356 19	2,356 19	16,7 6	00561	0	1.395.437	2,356 19	2,356 19	26,0 4	00562	0	801.742	2,356 19	2,356 19	45,32
			0	4.819	2,356 19	2,356 19	NS		0	4.945	2,356 19	2,356 19	NS		0	5.092	2,356 19	2,356 19	NS
S	S	00563	0	2.823.668	1,413 72	1,413 72	7,72	00564	0	2.569.437	1,413 72	1,413 72	8,49	00565	0	2.351.978	1,413 72	1,413 72	9,27
			0	4.575	1,413 72	1,413 72	NS		0	4.596	1,413 72	1,413 72	NS		0	4.620	1,413 72	1,413 72	NS
P	S	00563	0	372.476	2,356 19	2,356 19	97,5 4	00564	0	100.947	2,356 19	2,356 19	NS	00565	0	283	2,356 19	2,356 19	NS
			0	5.258	2,356 19	2,356 19	NS		0	5.695	2,356 19	2,356 19	NS		0	5.988	2,356 19	2,356 19	NS
S	S	00563	0	2.179.480	1,413 72	1,413 72	10,0 0	00564	0	2.057.399	1,413 72	1,413 72	10,6 0	00565	0	1.979.818	1,413 72	1,413 72	11,01
			0	4.727	1,413 72	1,413 72	NS		0	5.052	1,413 72	1,413 72	NS		0	3.277	1,413 72	1,413 72	NS
P	S	00566	0	36.828	2,356 19	2,356 19	NS	00567	0	0	2,356 19	2,356 19	-	00568	0	0	2,356 19	2,356 19	-
			0	6.283	2,356 19	2,356 19	NS		0	128.139	2,356 19	2,356 19	NS		0	484.516	2,356 19	2,356 19	74,99
S	S	00566	0	0	1,413 72	1,413 72	-	00567	0	0	1,413 72	1,413 72	-	00568	0	0	1,413 72	1,413 72	-
			0	3.259.466	1,413 72	1,413 72	6,69		0	3.443.172	1,413 72	1,413 72	6,33		0	3.698.173	1,413 72	1,413 72	5,90
P	S	00569	0	0	2,356 19	2,356 19	-	00570	0	0	2,356 19	2,356 19	-	00571	0	0	2,356 19	2,356 19	-
			0	1.039.410	2,356 19	2,356 19	34,9 5		0	1.803.953	2,356 19	2,356 19	20,1 4		0	2.804.290	2,356 19	2,356 19	12,96
S	S	00569	0	0	1,413 72	1,413 72	-	00570	0	0	1,413 72	1,413 72	-	00571	0	0	1,413 72	1,413 72	-
			0	4.042.765	1,413 72	1,413 72	5,39		0	4.483.816	1,413 72	1,413 72	4,86		0	5.027.013	1,413 72	1,413 72	4,34
P	S	00572	0	0	2,356 19	2,356 19	-	00573	0	0	2,356 19	2,356 19	-	00574	0	0	2,356 19	2,356 19	-
			0	4.086.962	2,356 19	2,356 19	8,89		0	5.730.371	2,356 19	2,356 19	6,34		0	7.864.210	2,356 19	2,356 19	4,62
S	S	00572	0	0	1,413 72	1,413 72	-	00573	0	0	1,413 72	1,413 72	-	00574	0	0	1,413 72	1,413 72	-
			0	5.674.462	1,413 72	1,413 72	3,84		0	6.416.714	1,413 72	1,413 72	3,40		0	7.211.070	1,413 72	1,413 72	3,02
P	S	00575	0	0	2,356 19	2,356 19	-	00576	0	0	2,356 19	2,356 19	-	00577	0	0	2,356 19	2,356 19	-
			1	10.697.978	2,356 19	2,356 19	3,40		-21	14.529.012	2,356 19	2,356 19	2,50		376	19.490.110	2,356 19	2,356 19	1,86
S	S	00575	0	0	1,413 72	1,413 72	-	00576	0	0	1,413 72	1,413 72	-	00577	0	0	1,413 72	1,413 72	-
			-1	7.914.464	1,413 72	1,413 72	2,75		20	8.067.471	1,413 72	1,413 72	2,70		-359	6.437.844	1,413 72	1,413 72	3,39
P	S	00578	0	0	2,356 19	2,356 19	-	00579	0	0	2,356 19	2,356 19	-	00580	4.608	16.096.686	2,356 19	2,356 19	2,26
			-4.211	23.757.518	2,356 19	2,356 19	1,53		-4.608	20.175.130	2,356 19	2,356 19	1,80		0	4.574	2,356 19	2,356 19	NS
S	S	00578	0	0	1,413 72	1,413 72	-	00579	4.399	2.345.719	1,413 72	1,413 72	9,29	00580	0	0	1,413 72	1,413 72	-
			4.019	1.844.428	1,413 72	1,413 72	11,8 2		0	4.621	1,413 72	1,413 72	NS		-4.399	5.047.485	1,413 72	1,413 72	4,32
P	S	00581	4.211	20.499.046	2,356 19	2,356 19	1,77	00582	-376	17.038.914	2,356 19	2,356 19	2,13	00583	21	12.730.614	2,356 19	2,356 19	2,85
			0	4.514	2,356 19	2,356 19	NS		0	4.431	2,356 19	2,356 19	NS		0	4.414	2,356 19	2,356 19	NS
S	S	00581	0	0	1,413 72	1,413 72	-	00582	359	3.769.236	1,413 72	1,413 72	5,78	00583	-20	5.616.848	1,413 72	1,413 72	3,88
			-4.019	922.721	1,413 72	1,413 72	23,6 4		0	4.580	1,413 72	1,413 72	NS		0	4.546	1,413 72	1,413 72	NS
P	S	00584	-1	9.396.631	2,356 19	2,356 19	3,87	00585	0	6.941.832	2,356 19	2,356 19	5,23	00586	0	5.099.455	2,356 19	2,356 19	7,12

Comm.: C20-025-S05

Il presente documento è di proprietà della ANTEX GROUP srl.  
È vietato la comunicazione a terzi o la riproduzione senza il permesso scritto della suddetta.  
La società tutela i propri diritti a rigore di Legge.





PARCO EOLICO DI "BUDDUSO"

RELAZIONE DI CALCOLO E TABULATI OPERE EDILI  
SSEU



Ingegneria & Innovazione

30/06/2023

REV: 2

Pag. 348

Platee - Verifiche pressoflessione retta allo SLU

Dir	Pos	Nodo	N <sub>Ed</sub>		M <sub>Ed</sub>		A <sub>s</sub>		A <sub>df</sub>		CS	Nodo	N <sub>Ed</sub>		M <sub>Ed</sub>		A <sub>s</sub>		A <sub>df</sub>		CS	
			[N]	[N-m]	[N-m]	[N-m]	[cm <sup>2</sup> /cm]	[cm <sup>2</sup> /cm]	[N]	[N-m]			[N-m]	[N-m]	[cm <sup>2</sup> /cm]	[cm <sup>2</sup> /cm]						
	I		0	4.435	2,356 19	2,356 19	NS					0	4.485	2,356 19	2,356 19	NS						
S	S		1	5.717. 814	1,413 72	1,413 72	3,81					0	5.254. 788	1,413 72	1,413 72	4,15						4,67
	I		0	4.525	1,413 72	1,413 72	NS					0	4.515	1,413 72	1,413 72	NS						NS
P	S	00587	0	3.680. 348	2,356 19	2,356 19	9,87	00588	0	2.568. 189	2,356 19	2,356 19	14,1 5	00589	0	1.693. 483	2,356 19	2,356 19				21,45
	I		0	4.647	2,356 19	2,356 19	NS					0	4.752	2,356 19	2,356 19	NS						NS
S	S		0	4.109. 628	1,413 72	1,413 72	5,31					0	3.612. 640	1,413 72	1,413 72	6,04						6,83
	I		0	4.517	1,413 72	1,413 72	NS					0	4.528	1,413 72	1,413 72	NS						NS
P	S	00590	0	1.015. 647	2,356 19	2,356 19	35,7 7	00591	0	512.4 46	2,356 19	2,356 19	70,9 0	00592	0	174.7 00	2,356 19	2,356 19				NS
	I		0	5.002	2,356 19	2,356 19	NS					0	5.163	2,356 19	2,356 19	NS						NS
S	S		0	2.851. 559	1,413 72	1,413 72	7,65					0	2.585. 385	1,413 72	1,413 72	8,43						9,12
	I		0	4.567	1,413 72	1,413 72	NS					0	4.581	1,413 72	1,413 72	NS						NS
P	S	00593	0	0	2,356 19	2,356 19	-	00594	0	35.92 2	2,356 19	2,356 19	NS	00595	0	12.90 8	2,356 19	2,356 19				NS
	I		0	6.274	2,356 19	2,356 19	NS					0	4.999	2,356 19	2,356 19	NS						NS
S	S		0	2.253. 234	1,413 72	1,413 72	9,68					0	0	1,413 72	1,413 72	-						-
	I		0	4.377	1,413 72	1,413 72	NS					0	3.403. 697	1,413 72	1,413 72	6,41						6,11
P	S	00596	0	0	2,356 19	2,356 19	-	00597	0	0	2,356 19	2,356 19	-	00598	0	0	2,356 19	2,356 19				-
	I		0	231.1 79	2,356 19	2,356 19	NS					0	673.2 16	2,356 19	2,356 19	53,9 7						27,55
S	S		0	0	1,413 72	1,413 72	-					0	0	1,413 72	1,413 72	-						-
	I		0	3.818. 656	1,413 72	1,413 72	5,71					0	4.169. 748	1,413 72	1,413 72	5,23						4,70
P	S	00599	0	0	2,356 19	2,356 19	-	00600	0	0	2,356 19	2,356 19	-	00601	0	0	2,356 19	2,356 19				-
	I		0	2.185. 604	2,356 19	2,356 19	16,6 2					0	3.308. 662	2,356 19	2,356 19	10,9 8						7,65
S	S		0	0	1,413 72	1,413 72	-					0	0	1,413 72	1,413 72	-						-
	I		0	5.246. 862	1,413 72	1,413 72	4,16					0	6.017. 688	1,413 72	1,413 72	3,62						3,12
P	S	00602	0	0	2,356 19	2,356 19	-	00603	0	0	2,356 19	2,356 19	-	00604	0	0	2,356 19	2,356 19				-
	I		0	6.624. 335	2,356 19	2,356 19	5,48					0	9.129. 168	2,356 19	2,356 19	3,98						2,87
S	S		0	0	1,413 72	1,413 72	-					0	0	1,413 72	1,413 72	-						-
	I		0	8.204. 282	1,413 72	1,413 72	2,66					0	9.732. 268	1,413 72	1,413 72	2,24						1,87
P	S	00605	0	0	2,356 19	2,356 19	-	00606	0	0	2,356 19	2,356 19	-	00607	0	0	2,356 19	2,356 19				-
	I		430	17.95 6.078	2,356 19	2,356 19	2,02					-10.51 5	26.70 2.280	2,709 62	2,709 62	1,63						1,03
S	S		0	0	1,413 72	1,413 72	-					0	0	1,413 72	1,413 72	-						-
	I		-410	13.85 4.661	1,413 72	1,413 72	1,57					10.03 8	14.76 7.770	1,884 95	1,884 95	2,28						7,14
P	S	00608	0	0	2,709 62	2,709 62	-	00609	-175.5 53	36.25 6.768	2,709 62	2,709 62	1,17	00610	10.51 5	23.75 6.788	2,356 19	2,356 19				1,53
	I		0	12.97 3.965	2,709 62	2,709 62	3,22					0	4.709	2,356 19	2,356 19	14,3 4						NS

Il presente documento è di proprietà della ANTEX GROUP srl.  
È vietato la comunicazione a terzi o la riproduzione senza il permesso scritto della suddetta.  
La società tutela i propri diritti a rigore di Legge.

Comm.: C20-025-S05





PARCO EOLICO DI "BUDDUSO"

RELAZIONE DI CALCOLO E TABULATI OPERE EDILI  
SSEU



Ingegneria & Innovazione

30/06/2023

REV: 2

Pag. 349

Platee - Verifiche pressoflessione retta allo SLU

Dir	Pos	Nodo	N <sub>Ed</sub> [N]	M <sub>Ed</sub> [N-m]	A <sub>s</sub> [cm <sup>2</sup> /cm]	A <sub>df</sub> [cm <sup>2</sup> /cm]	CS	Nodo	N <sub>Ed</sub> [N]	M <sub>Ed</sub> [N-m]	A <sub>s</sub> [cm <sup>2</sup> /cm]	A <sub>df</sub> [cm <sup>2</sup> /cm]	CS	Nodo	N <sub>Ed</sub> [N]	M <sub>Ed</sub> [N-m]	A <sub>s</sub> [cm <sup>2</sup> /cm]	A <sub>df</sub> [cm <sup>2</sup> /cm]	CS
S	S		0	0	1,413 72	1,413 72	-		167.5 79	3.334. 432	1,413 72	1,413 72	6,44		-10.03 8	11.18 9.301	1,413 72	1,413 72	1,95
	I		0	6.244. 438	1,884 95	1,884 95	9,67		0	4.722	1,413 72	1,413 72	NS		0	4.620	1,413 72	1,413 72	NS
P	S	00611	-430	15.86 4.438	2,356 19	2,356 19	2,29	00612	15	11.15 0.222	2,356 19	2,356 19	3,26	00613	0	8.066. 044	2,356 19	2,356 19	4,50
	I		0	4.414	2,356 19	2,356 19	NS		0	4.413	2,356 19	2,356 19	NS		0	4.450	2,356 19	2,356 19	NS
S	S		410	10.75 3.070	1,413 72	1,413 72	2,03		-14	8.976. 521	1,413 72	1,413 72	2,43		0	7.426. 342	1,413 72	1,413 72	2,94
	I		0	4.559	1,413 72	1,413 72	NS		0	4.523	1,413 72	1,413 72	NS		0	4.501	1,413 72	1,413 72	NS
P	S	00614	0	5.890. 206	2,356 19	2,356 19	6,17	00615	0	4.269. 005	2,356 19	2,356 19	8,51	00616	0	3.018. 702	2,356 19	2,356 19	12,04
	I		0	4.511	2,356 19	2,356 19	NS		0	4.593	2,356 19	2,356 19	NS		0	4.691	2,356 19	2,356 19	NS
S	S		0	6.190. 938	1,413 72	1,413 72	3,52		0	5.212. 316	1,413 72	1,413 72	4,18		0	4.436. 446	1,413 72	1,413 72	4,91
	I		0	4.491	1,413 72	1,413 72	NS		0	4.488	1,413 72	1,413 72	NS		0	4.492	1,413 72	1,413 72	NS
P	S	00617	0	2.039. 266	2,356 19	2,356 19	17,8 2	00618	0	1.274. 748	2,356 19	2,356 19	28,5 0	00619	0	694.5 46	2,356 19	2,356 19	52,31
	I		0	4.802	2,356 19	2,356 19	NS		0	4.924	2,356 19	2,356 19	NS		0	5.056	2,356 19	2,356 19	NS
S	S		0	3.822. 294	1,413 72	1,413 72	5,70		0	3.340. 294	1,413 72	1,413 72	6,53		0	2.969. 396	1,413 72	1,413 72	7,34
	I		0	4.500	1,413 72	1,413 72	NS		0	4.507	1,413 72	1,413 72	NS		0	4.503	1,413 72	1,413 72	NS
P	S	00620	0	284.1 62	2,356 19	2,356 19	NS	00621	0	40.38 5	2,356 19	2,356 19	NS	00622	0	0	2,356 19	2,356 19	-
	I		0	5.176	2,356 19	2,356 19	NS		0	5.196	2,356 19	2,356 19	NS		0	22.06 9	2,356 19	2,356 19	NS
S	S		0	2.694. 260	1,413 72	1,413 72	8,09		0	2.502. 674	1,413 72	1,413 72	8,71		0	2.381. 486	1,413 72	1,413 72	9,16
	I		0	4.521	1,413 72	1,413 72	NS		0	4.784	1,413 72	1,413 72	NS		0	3.610	1,413 72	1,413 72	NS
P	S	00623	0	69.51 1	2,356 19	2,356 19	NS	00624	0	0	2,356 19	2,356 19	-	00625	0	0	2,356 19	2,356 19	-
	I		0	5.770	2,356 19	2,356 19	NS		0	61.34 8	2,356 19	2,356 19	NS		0	395.8 56	2,356 19	2,356 19	91,78
S	S		0	0	1,413 72	1,413 72	-		0	0	1,413 72	1,413 72	-		0	0	1,413 72	1,413 72	-
	I		0	3.585. 702	1,413 72	1,413 72	6,08		0	3.806. 384	1,413 72	1,413 72	5,73		0	4.127. 148	1,413 72	1,413 72	5,28
P	S	00626	0	0	2,356 19	2,356 19	-	00627	0	0	2,356 19	2,356 19	-	00628	0	0	2,356 19	2,356 19	-
	I		0	930.8 91	2,356 19	2,356 19	39,0 3		0	1.675. 795	2,356 19	2,356 19	21,6 8		0	2.654. 959	2,356 19	2,356 19	13,68
S	S		0	0	1,413 72	1,413 72	-		0	0	1,413 72	1,413 72	-		0	0	1,413 72	1,413 72	-
	I		0	4.570. 069	1,413 72	1,413 72	4,77		0	5.157. 924	1,413 72	1,413 72	4,23		0	5.922. 613	1,413 72	1,413 72	3,68
P	S	00629	0	0	2,356 19	2,356 19	-	00630	0	0	2,356 19	2,356 19	-	00631	0	0	2,356 19	2,356 19	-
	I		0	3.914. 571	2,356 19	2,356 19	9,28		0	5.536. 787	2,356 19	2,356 19	6,56		0	7.670. 156	2,356 19	2,356 19	4,74
S	S		0	0	1,413 72	1,413 72	-		0	0	1,413 72	1,413 72	-		0	0	1,413 72	1,413 72	-
	I		0	6.911. 882	1,413 72	1,413 72	3,15		0	8.200. 885	1,413 72	1,413 72	2,66		0	9.914. 068	1,413 72	1,413 72	2,20
P	S	00632	0	0	2,356 19	2,356 19	-	00633	0	0	2,356 19	2,356 19	-	00634	0	0	2,356 19	2,356 19	-
	I		-4	10.59 8.910	2,356 19	2,356 19	3,43		156	14.93 3.333	2,356 19	2,356 19	2,43		-6.064	22.11 5.354	2,709 62	2,709 62	2,01
S	S		0	0	1,413 72	1,413 72	-		0	0	1,413 72	1,413 72	-		0	0	1,413 72	1,413 72	-

Il presente documento è di proprietà della ANTEX GROUP srl.  
È vietato la comunicazione a terzi o la riproduzione senza il permesso scritto della suddetta.  
La società tutela i propri diritti a rigore di Legge.

Comm.: C20-025-S05





PARCO EOLICO DI "BUDDUSO"

RELAZIONE DI CALCOLO E TABULATI OPERE EDILI  
SSEU



Ingegneria & Innovazione

30/06/2023

REV: 2

Pag. 350

Platee - Verifiche pressoflessione retta allo SLU

Dir	Pos	Nodo	N <sub>Ed</sub>	M <sub>Ed</sub>	A <sub>s</sub>	A <sub>df</sub>	CS	Nodo	N <sub>Ed</sub>	M <sub>Ed</sub>	A <sub>s</sub>	A <sub>df</sub>	CS	Nodo	N <sub>Ed</sub>	M <sub>Ed</sub>	A <sub>s</sub>	A <sub>df</sub>	CS
			[N]	[N-m]	[cm <sup>2</sup> /cm]	[cm <sup>2</sup> /cm]			[N]	[N-m]	[cm <sup>2</sup> /cm]	[cm <sup>2</sup> /cm]			[N]	[N-m]	[cm <sup>2</sup> /cm]	[cm <sup>2</sup> /cm]	
	I		4	12.27 2.681	1,413 72	1,413 72	1,78		-149	15.71 2.402	1,413 72	1,413 72	1,39		5.789	21.42 1.868	1,884 95	1,884 95	1,43
P	S	00635	0	0	2,356 19	2,356 19	-	00636	0	0	2,356 19	2,356 19	-	00637	5.652. 208	111.8 66.09 6	9,778 20	9,778 20	1,25
	I		230.2 91	36.63 4.368	9,778 20	9,778 20	7,63		-5.652 .208	115.7 26.51 2	9,778 20	9,778 20	1,25		0	4.556	2,356 19	2,356 19	1,77
S	S		0	0	1,413 72	1,413 72	-		0	0	2,591 81	2,591 81	-		-14.77 1.791	17.18 6.594	1,884 95	1,884 95	3,35
	I		-219.8 30	32.39 9.012	3,652 10	3,652 10	2,42		14.77 1.791	26.95 1.696	3,652 10	3,652 10	1,01		0	4.120	1,413 72	1,413 72	7,02
P	S	00638	-230.2 91	33.07 5.760	9,778 20	9,778 20	5,93	00639	6.064	19.67 5.504	2,356 19	2,356 19	1,85	00640	-156	13.19 7.027	2,356 19	2,356 19	2,75
	I		0	4.509	2,356 19	2,356 19	1,77		0	4.419	2,356 19	2,356 19	NS		0	4.407	2,356 19	2,356 19	NS
S	S		219.8 30	27.62 1.554	1,884 95	1,884 95	1,04		-5.789	17.63 1.890	1,413 72	1,413 72	1,24		149	12.59 2.159	1,413 72	1,413 72	1,73
	I		0	4.690	1,413 72	1,413 72	7,02		0	4.579	1,413 72	1,413 72	NS		0	4.521	1,413 72	1,413 72	NS
P	S	00641	4	9.361. 637	2,356 19	2,356 19	3,88	00642	0	6.804. 796	2,356 19	2,356 19	5,34	00643	0	4.955. 145	2,356 19	2,356 19	7,33
	I		0	4.427	2,356 19	2,356 19	NS		0	4.476	2,356 19	2,356 19	NS		0	4.547	2,356 19	2,356 19	NS
S	S		-4	9.639. 684	1,413 72	1,413 72	2,26		0	7.655. 056	1,413 72	1,413 72	2,85		0	6.236. 164	1,413 72	1,413 72	3,50
	I		0	4.497	1,413 72	1,413 72	NS		0	4.481	1,413 72	1,413 72	NS		0	4.473	1,413 72	1,413 72	NS
P	S	00644	0	3.550. 282	2,356 19	2,356 19	10,2 3	00645	0	2.455. 084	2,356 19	2,356 19	14,8 0	00646	0	1.596. 057	2,356 19	2,356 19	22,76
	I		0	4.637	2,356 19	2,356 19	NS		0	4.740	2,356 19	2,356 19	NS		0	4.852	2,356 19	2,356 19	NS
S	S		0	5.181. 611	1,413 72	1,413 72	4,21		0	4.379. 820	1,413 72	1,413 72	4,98		0	3.764. 572	1,413 72	1,413 72	5,79
	I		0	4.470	1,413 72	1,413 72	NS		0	4.472	1,413 72	1,413 72	NS		0	4.474	1,413 72	1,413 72	NS
P	S	00647	0	932.6 72	2,356 19	2,356 19	38,9 6	00648	0	444.0 87	2,356 19	2,356 19	81,8 1	00649	0	122.8 17	2,356 19	2,356 19	NS
	I		0	4.966	2,356 19	2,356 19	NS		0	5.074	2,356 19	2,356 19	NS		0	5.206	2,356 19	2,356 19	NS
S	S		0	3.294. 666	1,413 72	1,413 72	6,62		0	2.943. 300	1,413 72	1,413 72	7,41		0	2.692. 184	1,413 72	1,413 72	8,10
	I		0	4.475	1,413 72	1,413 72	NS		0	4.471	1,413 72	1,413 72	NS		0	4.324	1,413 72	1,413 72	NS
P	S	00650	0	0	2,356 19	2,356 19	-	00651	0	48.28 3	2,356 19	2,356 19	NS	00652	0	32.46 7	2,356 19	2,356 19	NS
	I		0	29.85 3	2,356 19	2,356 19	NS		0	4.796	2,356 19	2,356 19	NS		0	4.975	2,356 19	2,356 19	NS
S	S		0	2.523. 680	1,413 72	1,413 72	8,64		0	0	1,413 72	1,413 72	-		0	0	1,413 72	1,413 72	-
	I		0	4.403	1,413 72	1,413 72	NS		0	3.511. 730	1,413 72	1,413 72	6,21		0	3.687. 379	1,413 72	1,413 72	5,91
P	S	00653	0	0	2,356 19	2,356 19	-	00654	0	0	2,356 19	2,356 19	-	00655	0	0	2,356 19	2,356 19	-
	I		0	203.7 41	2,356 19	2,356 19	NS		0	638.4 75	2,356 19	2,356 19	56,9 1		0	1.276. 678	2,356 19	2,356 19	28,46
S	S		0	0	1,413 72	1,413 72	-		0	0	1,413 72	1,413 72	-		0	0	1,413 72	1,413 72	-
	I		0	3.951. 187	1,413 72	1,413 72	5,52		0	4.329. 678	1,413 72	1,413 72	5,04		0	4.841. 118	1,413 72	1,413 72	4,50
P	S	00656	0	0	2,356 19	2,356 19	-	00657	0	0	2,356 19	2,356 19	-	00658	0	0	2,356 19	2,356 19	-
	I		0	2.134. 789	2,356 19	2,356 19	17,0 2		0	3.247. 010	2,356 19	2,356 19	11,1 9		0	4.675. 234	2,356 19	2,356 19	7,77
S	S		0	0	1,413 72	1,413 72	-		0	0	1,413 72	1,413 72	-		0	0	1,413 72	1,413 72	-

Comm.: C20-025-S05

Il presente documento è di proprietà della ANTEX GROUP srl.  
È vietato la comunicazione a terzi o la riproduzione senza il permesso scritto della suddetta.  
La società tutela i propri diritti a rigore di Legge.





PARCO EOLICO DI "BUDDUSO"

RELAZIONE DI CALCOLO E TABULATI OPERE EDILI  
SSEU



Ingegneria & Innovazione

30/06/2023

REV: 2

Pag. 351

Platee - Verifiche pressoflessione retta allo SLU

Dir	Pos	Nodo	NEd				MEd				CS								
			[N]	[N-m]	[cm <sup>2</sup> /cm]	[cm <sup>2</sup> /cm]	[N]	[N-m]	[cm <sup>2</sup> /cm]	[cm <sup>2</sup> /cm]	[N]	[N-m]	[cm <sup>2</sup> /cm]	[cm <sup>2</sup> /cm]					
	I		0	5.511.632	1,413 72	1,413 72	3,96		0	6.379.720	1,413 72	1,413 72	3,42		0	7.504.464	1,413 72	1,413 72	2,91
P	S	00659	0	0	2,356 19	2,356 19	-	00660	0	0	2,356 19	2,356 19	-	00661	0	0	2,356 19	2,356 19	-
	I		0	6.529.720	2,356 19	2,356 19	5,56		0	9.014.846	2,356 19	2,356 19	4,03		3	12.54 5.307	2,356 19	2,356 19	2,90
S	S		0	0	1,413 72	1,413 72	-		0	0	1,413 72	1,413 72	-		0	0	1,413 72	1,413 72	-
	I		0	8.981.170	1,413 72	1,413 72	2,43		0	10.97 3.696	1,413 72	1,413 72	1,99		-3	13.78 0.435	1,413 72	1,413 72	1,58
P	S	00662	0	0	2,356 19	2,356 19	-	00663	0	0	2,356 19	2,356 19	-	00664	0	0	2,356 19	2,356 19	-
	I		-108	18.05 5.426	2,356 19	2,356 19	2,01		4.191	28.25 2.854	2,709 62	2,709 62	1,53		5.378. 212	68.65 1.232	9,778 20	9,778 20	4,28
S	S		0	0	1,413 72	1,413 72	-		0	0	1,413 72	1,413 72	-		0	0	1,413 72	1,413 72	-
	I		103	18.00 3.176	1,413 72	1,413 72	1,21		-4.001	24.85 2.284	1,884 95	1,884 95	1,20		-8.781 .334	37.66 7.408	3,652 10	3,652 10	2,21
P	S	00665	0	0	9,778 20	9,778 20	-	00666	-5.378 .212	63.96 5.312	9,778 20	9,778 20	4,38	00667	-4.191	25.33 3.928	9,424 77	9,424 77	4,04
	I		0	3.844. 100	9,778 20	9,778 20	39,2 2		0	4.666	2,356 19	2,356 19	1,77		0	4.452	2,356 19	2,356 19	1,80
S	S		0	0	1,884 95	1,884 95	-		8.781. 334	31.90 2.090	3,298 67	3,298 67	1,10		4.001	20.62 7.460	1,884 95	1,884 95	1,49
	I		-1	2.904. 254	3,652 10	3,652 10	4,12		0	4.449	1,413 72	1,413 72	2,56		0	4.418	1,413 72	1,413 72	7,02
P	S	00668	108	16.00 0.151	2,356 19	2,356 19	2,27	00669	-3	11.07 7.669	2,356 19	2,356 19	3,28	00670	0	7.976. 099	2,356 19	2,356 19	4,56
	I		0	4.407	2,356 19	2,356 19	NS		0	4.414	2,356 19	2,356 19	NS		0	4.449	2,356 19	2,356 19	NS
S	S		-103	14.58 4.239	1,413 72	1,413 72	1,49		3	10.92 3.458	1,413 72	1,413 72	2,00		0	8.540. 757	1,413 72	1,413 72	2,55
	I		0	4.511	1,413 72	1,413 72	NS		0	4.498	1,413 72	1,413 72	NS		0	4.481	1,413 72	1,413 72	NS
P	S	00671	0	5.815. 324	2,356 19	2,356 19	6,25	00672	0	4.209. 326	2,356 19	2,356 19	8,63	00673	0	2.970. 699	2,356 19	2,356 19	12,23
	I		0	4.510	2,356 19	2,356 19	NS		0	4.591	2,356 19	2,356 19	NS		0	4.686	2,356 19	2,356 19	NS
S	S		0	6.878. 758	1,413 72	1,413 72	3,17		0	5.664. 158	1,413 72	1,413 72	3,85		0	4.748. 852	1,413 72	1,413 72	4,59
	I		0	4.470	1,413 72	1,413 72	NS		0	4.463	1,413 72	1,413 72	NS		0	4.461	1,413 72	1,413 72	NS
P	S	00674	0	1.999. 926	2,356 19	2,356 19	18,1 7	00675	0	1.242. 126	2,356 19	2,356 19	29,2 5	00676	0	667.6 39	2,356 19	2,356 19	54,42
	I		0	4.790	2,356 19	2,356 19	NS		0	4.896	2,356 19	2,356 19	NS		0	4.996	2,356 19	2,356 19	NS
S	S		0	4.048. 140	1,413 72	1,413 72	5,39		0	3.510. 524	1,413 72	1,413 72	6,21		0	3.103. 199	1,413 72	1,413 72	7,03
	I		0	4.460	1,413 72	1,413 72	NS		0	4.458	1,413 72	1,413 72	NS		0	4.450	1,413 72	1,413 72	NS
P	S	00677	0	262.7 97	2,356 19	2,356 19	NS	00678	0	25.11 7	2,356 19	2,356 19	NS	00679	0	0	2,356 19	2,356 19	-
	I		0	5.057	2,356 19	2,356 19	NS		0	4.976	2,356 19	2,356 19	NS		0	31.91 5	2,356 19	2,356 19	NS
S	S		0	2.804. 376	1,413 72	1,413 72	7,77		0	2.599. 338	1,413 72	1,413 72	8,39		0	2.471. 069	1,413 72	1,413 72	8,82
	I		0	4.479	1,413 72	1,413 72	NS		0	4.797	1,413 72	1,413 72	NS		0	3.663	1,413 72	1,413 72	NS
P	S	00680	0	54.37 3	2,356 19	2,356 19	NS	00681	0	0	2,356 19	2,356 19	-	00682	0	0	2,356 19	2,356 19	-
	I		0	5.691	2,356 19	2,356 19	NS		0	85.12 0	2,356 19	2,356 19	NS		0	428.2 59	2,356 19	2,356 19	84,84
S	S		0	0	1,413 72	1,413 72	-		0	0	1,413 72	1,413 72	-		0	0	1,413 72	1,413 72	-
	I		0	3.472. 796	1,413 72	1,413 72	6,28		0	3.676. 874	1,413 72	1,413 72	5,93		0	3.974. 064	1,413 72	1,413 72	5,49

Il presente documento è di proprietà della ANTEX GROUP srl.  
È Vietato la comunicazione a terzi o la riproduzione senza il permesso scritto della suddetta.  
La società tutela i propri diritti a rigore di Legge.

Comm.: C20-025-S05









PARCO EOLICO DI "BUDDUSO"

RELAZIONE DI CALCOLO E TABULATI OPERE EDILI  
SSEU



Ingegneria & Innovazione

30/06/2023

REV: 2

Pag. 353

Platee - Verifiche pressoflessione retta allo SLU

Dir	Pos	Nodo	N <sub>Ed</sub>	M <sub>Ed</sub>	A <sub>s</sub>	A <sub>df</sub>	CS	Nodo	N <sub>Ed</sub>	M <sub>Ed</sub>	A <sub>s</sub>	A <sub>df</sub>	CS	Nodo	N <sub>Ed</sub>	M <sub>Ed</sub>	A <sub>s</sub>	A <sub>df</sub>	CS
			[N]	[N-m]	[cm <sup>2</sup> /cm]	[cm <sup>2</sup> /cm]			[N]	[N-m]	[cm <sup>2</sup> /cm]	[cm <sup>2</sup> /cm]			[N]	[N-m]	[cm <sup>2</sup> /cm]	[cm <sup>2</sup> /cm]	
	I		0	17.26 6	2,356 19	2,356 19	NS		0	4.739	2,356 19	2,356 19	NS		0	22.22 2	2,356 19	2,356 19	NS
S	S		0	2.429. 528	1,413 72	1,413 72	8,97		0	0	1,413 72	1,413 72	-		0	0	1,413 72	1,413 72	-
	I		0	4.401	1,413 72	1,413 72	NS		0	3.200. 165	1,413 72	1,413 72	6,81		0	3.340. 198	1,413 72	1,413 72	6,53
P	S	00710	0	0	2,356 19	2,356 19	-	00711	0	0	2,356 19	2,356 19	-	00712	0	0	2,356 19	2,356 19	-
	I		0	282.7 51	2,356 19	2,356 19	NS		0	738.6 95	2,356 19	2,356 19	49,1 8		0	1.396. 777	2,356 19	2,356 19	26,01
S	S		0	0	1,413 72	1,413 72	-		0	0	1,413 72	1,413 72	-		0	0	1,413 72	1,413 72	-
	I		0	3.550. 811	1,413 72	1,413 72	6,14		0	3.848. 058	1,413 72	1,413 72	5,67		0	4.237. 494	1,413 72	1,413 72	5,15
P	S	00713	0	0	2,356 19	2,356 19	-	00714	0	0	2,356 19	2,356 19	-	00715	0	0	2,356 19	2,356 19	-
	I		0	2.275. 559	2,356 19	2,356 19	15,9 7		0	3.410. 452	2,356 19	2,356 19	10,6 5		0	4.862. 234	2,356 19	2,356 19	7,47
S	S		0	0	1,413 72	1,413 72	-		0	0	1,413 72	1,413 72	-		0	0	1,413 72	1,413 72	-
	I		0	4.725. 013	1,413 72	1,413 72	4,61		0	5.314. 372	1,413 72	1,413 72	4,10		0	6.002. 008	1,413 72	1,413 72	3,63
P	S	00716	0	0	2,356 19	2,356 19	-	00717	0	0	2,356 19	2,356 19	-	00718	0	0	2,356 19	2,356 19	-
	I		0	6.731. 932	2,356 19	2,356 19	5,40		0	9.184. 373	2,356 19	2,356 19	3,96		12	12.46 9.791	2,356 19	2,356 19	2,91
S	S		0	0	1,413 72	1,413 72	-		0	0	1,413 72	1,413 72	-		0	0	1,413 72	1,413 72	-
	I		0	6.763. 340	1,413 72	1,413 72	3,22		0	7.514. 366	1,413 72	1,413 72	2,90		-11	7.993. 379	1,413 72	1,413 72	2,73
P	S	00719	0	0	2,356 19	2,356 19	-	00720	0	0	2,356 19	2,356 19	-	00721	0	0	2,356 19	2,356 19	-
	I		-314	16.89 5.172	2,356 19	2,356 19	2,15		6.231	21.83 4.346	2,356 19	2,356 19	1,66		-16.99 7	24.10 1.476	2,356 19	2,356 19	1,51
S	S		0	0	1,413 72	1,413 72	-		0	0	1,413 72	1,413 72	-		16.22 5	609.3 85	1,413 72	1,413 72	35,73
	I		300	7.356. 892	1,413 72	1,413 72	2,96		-5.948	4.259. 554	1,413 72	1,413 72	5,12		0	4.644	1,413 72	1,413 72	NS
P	S	00722	0	0	2,356 19	2,356 19	-	00723	16.99 7	20.42 2.580	2,356 19	2,356 19	1,78	00724	-6.231	18.99 8.674	2,356 19	2,356 19	1,91
	I		0	2.111. 229	2,356 19	2,356 19	17,2 1		0	4.569	2,356 19	2,356 19	NS		0	4.418	2,356 19	2,356 19	NS
S	S		0	0	1,413 72	1,413 72	-		0	0	1,413 72	1,413 72	-		5.948	1.541. 085	1,413 72	1,413 72	14,14
	I		0	1.321. 174	1,413 72	1,413 72	16,5 0		-16.22 5	3.333. 774	1,413 72	1,413 72	6,55		0	4.610	1,413 72	1,413 72	NS
P	S	00725	314	14.79 2.076	2,356 19	2,356 19	2,46	00726	-12	10.93 6.530	2,356 19	2,356 19	3,32	00727	0	8.084. 118	2,356 19	2,356 19	4,49
	I		0	4.396	2,356 19	2,356 19	NS		0	4.416	2,356 19	2,356 19	NS		0	4.459	2,356 19	2,356 19	NS
S	S		-300	4.800. 412	1,413 72	1,413 72	4,54		11	5.677. 608	1,413 72	1,413 72	3,84		0	5.446. 686	1,413 72	1,413 72	4,00
	I		0	4.546	1,413 72	1,413 72	NS		0	4.512	1,413 72	1,413 72	NS		0	4.497	1,413 72	1,413 72	NS
P	S	00728	0	5.963. 672	2,356 19	2,356 19	6,09	00729	0	4.349. 865	2,356 19	2,356 19	8,35	00730	0	3.094. 249	2,356 19	2,356 19	11,74
	I		0	4.521	2,356 19	2,356 19	NS		0	4.601	2,356 19	2,356 19	NS		0	4.692	2,356 19	2,356 19	NS
S	S		0	4.920. 519	1,413 72	1,413 72	4,43		0	4.353. 602	1,413 72	1,413 72	5,01		0	3.830. 072	1,413 72	1,413 72	5,69
	I		0	4.489	1,413 72	1,413 72	NS		0	4.485	1,413 72	1,413 72	NS		0	4.482	1,413 72	1,413 72	NS
P	S	00731	0	2.106. 664	2,356 19	2,356 19	17,2 5	00732	0	1.333. 626	2,356 19	2,356 19	27,2 4	00733	0	744.5 90	2,356 19	2,356 19	48,80
	I		0	4.789	2,356 19	2,356 19	NS		0	4.883	2,356 19	2,356 19	NS		0	4.965	2,356 19	2,356 19	NS

Il presente documento è di proprietà della ANTEX GROUP srl.  
È vietato la comunicazione a terzi o la riproduzione senza il permesso scritto della suddetta.  
La società tutela i propri diritti a rigore di Legge.

Comm.: C20-025-S05





PARCO EOLICO DI "BUDDUSO"

RELAZIONE DI CALCOLO E TABULATI OPERE EDILI  
SSEU



Ingegneria & Innovazione

30/06/2023

REV: 2

Pag. 354

Platee - Verifiche pressoflessione retta allo SLU

Dir	Pos	Nodo	N <sub>Ed</sub>		M <sub>Ed</sub>		CS	Nodo	N <sub>Ed</sub>		M <sub>Ed</sub>		CS	Nodo	N <sub>Ed</sub>		M <sub>Ed</sub>		CS
			[N]	[N-m]	[cm <sup>2</sup> /cm]	[cm <sup>2</sup> /cm]			[N]	[N-m]	[cm <sup>2</sup> /cm]	[cm <sup>2</sup> /cm]			[N]	[N-m]	[cm <sup>2</sup> /cm]	[cm <sup>2</sup> /cm]	
S	S		0	3.376.772	1,413.72	1,413.72	6,46		0	3.000.070	1,413.72	1,413.72	7,27		0	2.699.018	1,413.72	1,413.72	8,08
	I		0	4.482	1,413.72	1,413.72	NS		0	4.483	1,413.72	1,413.72	NS		0	4.481	1,413.72	1,413.72	NS
P	S	00734	0	324.110	2,356.19	2,356.19	NS	00735	0	67.067	2,356.19	2,356.19	NS	00736	0	0	2,356.19	2,356.19	-
	I		0	5.006	2,356.19	2,356.19	NS		0	4.910	2,356.19	2,356.19	NS		0	18.557	2,356.19	2,356.19	NS
S	S		0	2.470.242	1,413.72	1,413.72	8,83		0	2.310.571	1,413.72	1,413.72	9,44		0	2.212.161	1,413.72	1,413.72	9,86
	I		0	4.517	1,413.72	1,413.72	NS		0	4.846	1,413.72	1,413.72	NS		0	3.724	1,413.72	1,413.72	NS
P	S	00737	0	1.438	2,356.19	2,356.19	NS	00738	0	0	2,356.19	2,356.19	-	00739	0	0	2,356.19	2,356.19	-
	I		0	5.680	2,356.19	2,356.19	NS		0	184.842	2,356.19	2,356.19	NS		0	559.322	2,356.19	2,356.19	64,96
S	S		0	0	1,413.72	1,413.72	-		0	0	1,413.72	1,413.72	-		0	0	1,413.72	1,413.72	-
	I		0	2.956.188	1,413.72	1,413.72	7,38		0	3.095.495	1,413.72	1,413.72	7,04		0	3.293.678	1,413.72	1,413.72	6,62
P	S	00740	0	0	2,356.19	2,356.19	-	00741	0	0	2,356.19	2,356.19	-	00742	0	0	2,356.19	2,356.19	-
	I		0	1.126.404	2,356.19	2,356.19	32,26		0	1.898.108	2,356.19	2,356.19	19,14		0	2.898.074	2,356.19	2,356.19	12,54
S	S		0	0	1,413.72	1,413.72	-		0	0	1,413.72	1,413.72	-		0	0	1,413.72	1,413.72	-
	I		0	3.553.451	1,413.72	1,413.72	6,14		0	3.870.592	1,413.72	1,413.72	5,63		0	4.233.487	1,413.72	1,413.72	5,15
P	S	00743	0	0	2,356.19	2,356.19	-	00744	0	0	2,356.19	2,356.19	-	00745	0	0	2,356.19	2,356.19	-
	I		0	4.165.059	2,356.19	2,356.19	8,72		0	5.756.858	2,356.19	2,356.19	6,31		0	7.749.132	2,356.19	2,356.19	4,69
S	S		0	0	1,413.72	1,413.72	-		0	0	1,413.72	1,413.72	-		0	0	1,413.72	1,413.72	-
	I		0	4.616.437	1,413.72	1,413.72	4,72		0	4.965.088	1,413.72	1,413.72	4,39		0	5.165.992	1,413.72	1,413.72	4,22
P	S	00746	0	0	2,356.19	2,356.19	-	00747	0	0	2,356.19	2,356.19	-	00748	0	0	2,356.19	2,356.19	-
	I		-1	10.208.015	2,356.19	2,356.19	3,56		12	13.043.980	2,356.19	2,356.19	2,79		-163	15.609.341	2,356.19	2,356.19	2,33
S	S		0	0	1,413.72	1,413.72	-		0	0	1,413.72	1,413.72	-		0	0	1,413.72	1,413.72	-
	I		1	4.989.024	1,413.72	1,413.72	4,37		-12	4.071.772	1,413.72	1,413.72	5,35		155	2.224.397	1,413.72	1,413.72	9,80
P	S	00749	0	0	2,356.19	2,356.19	-	00750	0	0	2,356.19	2,356.19	-	00751	-450	6.066.438	2,356.19	2,356.19	5,99
	I		274	16.196.838	2,356.19	2,356.19	2,24		450	9.467.721	2,356.19	2,356.19	3,84		0	4.577	2,356.19	2,356.19	NS
S	S		0	0	1,413.72	1,413.72	-		-429	315.224	1,413.72	1,413.72	69,17		0	0	1,413.72	1,413.72	-
	I		0	4.573	1,413.72	1,413.72	NS		0	4.549	1,413.72	1,413.72	NS		429	2.287.619	1,413.72	1,413.72	9,53
P	S	00752	-274	13.273.098	2,356.19	2,356.19	2,74	00753	163	13.279.334	2,356.19	2,356.19	2,74	00754	-12	11.262.601	2,356.19	2,356.19	3,23
	I		0	4.465	2,356.19	2,356.19	NS		0	4.418	2,356.19	2,356.19	NS		0	4.414	2,356.19	2,356.19	NS
S	S		0	0	1,413.72	1,413.72	-		-155	179.037	1,413.72	1,413.72	NS		12	2.097.246	1,413.72	1,413.72	10,40
	I		262	2.032.491	1,413.72	1,413.72	10,73		0	4.565	1,413.72	1,413.72	NS		0	4.545	1,413.72	1,413.72	NS
P	S	00755	1	8.884.498	2,356.19	2,356.19	4,09	00756	0	6.792.380	2,356.19	2,356.19	5,35	00757	0	5.089.420	2,356.19	2,356.19	7,14
	I		0	4.444	2,356.19	2,356.19	NS		0	4.497	2,356.19	2,356.19	NS		0	4.569	2,356.19	2,356.19	NS
S	S		-1	3.141.215	1,413.72	1,413.72	6,94		0	3.467.087	1,413.72	1,413.72	6,29		0	3.414.244	1,413.72	1,413.72	6,39

Il presente documento è di proprietà della ANTEX GROUP srl.  
È vietato la comunicazione a terzi o la riproduzione senza il permesso scritto della suddetta.  
La società tutela i propri diritti a rigore di Legge.

Comm.: C20-025-S05





PARCO EOLICO DI "BUDDUSO"

RELAZIONE DI CALCOLO E TABULATI OPERE EDILI  
SSEU



Ingegneria & Innovazione

30/06/2023

REV: 2

Pag. 355

Platee - Verifiche pressoflessione retta allo SLU

Dir	Pos	Nodo	N <sub>Ed</sub> [N]	M <sub>Ed</sub> [N-m]	A <sub>s</sub> [cm <sup>2</sup> /cm]	A <sub>df</sub> [cm <sup>2</sup> /cm]	CS	Nodo	N <sub>Ed</sub> [N]	M <sub>Ed</sub> [N-m]	A <sub>s</sub> [cm <sup>2</sup> /cm]	A <sub>df</sub> [cm <sup>2</sup> /cm]	CS	Nodo	N <sub>Ed</sub> [N]	M <sub>Ed</sub> [N-m]	A <sub>s</sub> [cm <sup>2</sup> /cm]	A <sub>df</sub> [cm <sup>2</sup> /cm]	CS
	I		0	4.529	1,413 72	1,413 72	NS		0	4.520	1,413 72	1,413 72	NS		0	4.516	1,413 72	1,413 72	NS
P	S	00758	0	3.723. 588	2,356 19	2,356 19	9,76	00759	0	2.630. 278	2,356 19	2,356 19	13,8 1	00760	0	1.759. 770	2,356 19	2,356 19	20,65
	I		0	4.655	2,356 19	2,356 19	NS		0	4.748	2,356 19	2,356 19	NS		0	4.842	2,356 19	2,356 19	NS
S	S		0	3.201. 372	1,413 72	1,413 72	6,81		0	2.937. 362	1,413 72	1,413 72	7,42		0	2.675. 331	1,413 72	1,413 72	8,15
	I		0	4.515	1,413 72	1,413 72	NS		0	4.516	1,413 72	1,413 72	NS		0	4.518	1,413 72	1,413 72	NS
P	S	00761	0	1.079. 042	2,356 19	2,356 19	33,6 7	00762	0	568.3 81	2,356 19	2,356 19	63,9 2	00763	0	218.1 92	2,356 19	2,356 19	NS
	I		0	4.927	2,356 19	2,356 19	NS		0	4.992	2,356 19	2,356 19	NS		0	5.075	2,356 19	2,356 19	NS
S	S		0	2.441. 310	1,413 72	1,413 72	8,93		0	2.248. 032	1,413 72	1,413 72	9,70		0	2.101. 457	1,413 72	1,413 72	10,38
	I		0	4.524	1,413 72	1,413 72	NS		0	4.535	1,413 72	1,413 72	NS		0	4.410	1,413 72	1,413 72	NS
P	S	00764	0	25.47 1	2,356 19	2,356 19	NS	00765	0	0	2,356 19	2,356 19	-	00766	0	0	2,356 19	2,356 19	-
	I		0	5.680	2,356 19	2,356 19	NS		0	5.064	2,356 19	2,356 19	NS		0	118.6 85	2,356 19	2,356 19	NS
S	S		0	2.001. 714	1,413 72	1,413 72	10,8 9		0	0	1,413 72	1,413 72	-		0	0	1,413 72	1,413 72	-
	I		0	4.460	1,413 72	1,413 72	NS		0	2.558. 010	1,413 72	1,413 72	8,52		0	2.634. 748	1,413 72	1,413 72	8,28
P	S	00767	0	0	2,356 19	2,356 19	-	00768	0	0	2,356 19	2,356 19	-	00769	0	0	2,356 19	2,356 19	-
	I		0	418.3 53	2,356 19	2,356 19	86,8 5		0	898.3 66	2,356 19	2,356 19	40,4 4		0	1.565. 705	2,356 19	2,356 19	23,21
S	S		0	0	1,413 72	1,413 72	-		0	0	1,413 72	1,413 72	-		0	0	1,413 72	1,413 72	-
	I		0	2.750. 914	1,413 72	1,413 72	7,93		0	2.905. 668	1,413 72	1,413 72	7,50		0	3.089. 126	1,413 72	1,413 72	7,06
P	S	00770	0	0	2,356 19	2,356 19	-	00771	0	0	2,356 19	2,356 19	-	00772	0	0	2,356 19	2,356 19	-
	I		0	2.433. 738	2,356 19	2,356 19	14,9 3		0	3.522. 752	2,356 19	2,356 19	10,3 1		0	4.857. 710	2,356 19	2,356 19	7,48
S	S		0	0	1,413 72	1,413 72	-		0	0	1,413 72	1,413 72	-		0	0	1,413 72	1,413 72	-
	I		0	3.283. 496	1,413 72	1,413 72	6,64		0	3.457. 652	1,413 72	1,413 72	6,31		0	3.558. 162	1,413 72	1,413 72	6,13
P	S	00773	0	0	2,356 19	2,356 19	-	00774	0	0	2,356 19	2,356 19	-	00775	0	0	2,356 19	2,356 19	-
	I		0	6.457. 590	2,356 19	2,356 19	5,63		0	8.300. 372	2,356 19	2,356 19	4,38		0	10.23 5.806	2,356 19	2,356 19	3,55
S	S		0	0	1,413 72	1,413 72	-		0	0	1,413 72	1,413 72	-		0	0	1,413 72	1,413 72	-
	I		0	3.496. 669	1,413 72	1,413 72	6,24		0	3.144. 046	1,413 72	1,413 72	6,93		0	2.370. 086	1,413 72	1,413 72	9,20
P	S	00776	0	0	2,356 19	2,356 19	-	00777	0	0	2,356 19	2,356 19	-	00778	0	0	2,356 19	2,356 19	-
	I		4	11.83 0.340	2,356 19	2,356 19	3,07		-3	12.10 9.014	2,356 19	2,356 19	3,00		-19	9.303. 047	2,356 19	2,356 19	3,91
S	S		0	0	1,413 72	1,413 72	-		2	78.07 8	1,413 72	1,413 72	NS		18	524.6 11	1,413 72	1,413 72	41,56
	I		-4	1.175. 937	1,413 72	1,413 72	18,5 4		0	4.561	1,413 72	1,413 72	NS		0	4.548	1,413 72	1,413 72	NS
P	S	00779	0	0	2,356 19	2,356 19	-	00780	19	6.524. 032	2,356 19	2,356 19	5,57	00781	3	9.718. 363	2,356 19	2,356 19	3,74
	I		0	1.475. 195	2,356 19	2,356 19	24,6 3		0	4.478	2,356 19	2,356 19	NS		0	4.434	2,356 19	2,356 19	NS
S	S		0	0	1,413 72	1,413 72	-		0	0	1,413 72	1,413 72	-		0	0	1,413 72	1,413 72	-
	I		0	730.6 30	1,413 72	1,413 72	29,8 4		-18	2.015. 980	1,413 72	1,413 72	10,8 2		-2	1.619. 718	1,413 72	1,413 72	13,46

Il presente documento è di proprietà della ANTEX GROUP srl.  
È Vietato la comunicazione a terzi o la riproduzione senza il permesso scritto della suddetta.  
La società tutela i propri diritti a rigore di Legge.

Comm.: C20-025-S05





PARCO EOLICO DI "BUDDUSO"

RELAZIONE DI CALCOLO E TABULATI OPERE EDILI  
SSEU



Ingegneria & Innovazione

30/06/2023

REV: 2

Pag. 356

Platee - Verifiche pressoflessione retta allo SLU

Dir	Pos	Nodo	NEd				MEd				CS								
			[N]	[N-m]	[cm <sup>2</sup> /cm]	[cm <sup>2</sup> /cm]	[N]	[N-m]	[cm <sup>2</sup> /cm]	[cm <sup>2</sup> /cm]	[N]	[N-m]	[cm <sup>2</sup> /cm]	[cm <sup>2</sup> /cm]					
P	S	00782	-4	9.890.015	2,356 19	2,356 19	3,67	00783	0	8.723.779	2,356 19	2,356 19	4,16	00784	0	7.160.612	2,356 19	2,356 19	5,07
			0	4.421	2,356 19	2,356 19	NS		0	4.438	2,356 19	2,356 19	NS		0	4.480	2,356 19	2,356 19	NS
S	S		0	0	1,413 72	1,413 72	-		0	836.808	1,413 72	1,413 72	26,0 5		0	1.675.820	1,413 72	1,413 72	13,01
			4	385.850	1,413 72	1,413 72	56,5 1		0	4.564	1,413 72	1,413 72	NS		0	4.560	1,413 72	1,413 72	NS
P	S	00785	0	5.626.917	2,356 19	2,356 19	6,46	00786	0	4.276.926	2,356 19	2,356 19	8,49	00787	0	3.139.757	2,356 19	2,356 19	11,57
			0	4.543	2,356 19	2,356 19	NS		0	4.623	2,356 19	2,356 19	NS		0	4.712	2,356 19	2,356 19	NS
S	S		0	2.114.617	1,413 72	1,413 72	10,3 1		0	2.268.923	1,413 72	1,413 72	9,61		0	2.258.303	1,413 72	1,413 72	9,65
			0	4.559	1,413 72	1,413 72	NS		0	4.561	1,413 72	1,413 72	NS		0	4.563	1,413 72	1,413 72	NS
P	S	00788	0	2.203.302	2,356 19	2,356 19	16,4 9	00789	0	1.448.240	2,356 19	2,356 19	25,0 9	00790	0	858.599	2,356 19	2,356 19	42,32
			0	4.807	2,356 19	2,356 19	NS		0	4.898	2,356 19	2,356 19	NS		0	4.977	2,356 19	2,356 19	NS
S	S		0	2.165.757	1,413 72	1,413 72	10,0 7		0	2.042.117	1,413 72	1,413 72	10,6 8		0	1.917.556	1,413 72	1,413 72	11,37
			0	4.567	1,413 72	1,413 72	NS		0	4.570	1,413 72	1,413 72	NS		0	4.571	1,413 72	1,413 72	NS
P	S	00791	0	424.174	2,356 19	2,356 19	85,6 5	00792	0	140.023	2,356 19	2,356 19	NS	00793	0	9.725	2,356 19	2,356 19	NS
			0	5.014	2,356 19	2,356 19	NS		0	4.915	2,356 19	2,356 19	NS		0	4.743	2,356 19	2,356 19	NS
S	S		0	1.809.773	1,413 72	1,413 72	12,0 5		0	1.729.331	1,413 72	1,413 72	12,6 1		0	1.682.805	1,413 72	1,413 72	12,96
			0	4.609	1,413 72	1,413 72	NS		0	4.939	1,413 72	1,413 72	NS		0	3.818	1,413 72	1,413 72	NS
P	S	00794	0	0	2,356 19	2,356 19	-	00795	0	0	2,356 19	2,356 19	-	00796	0	0	2,356 19	2,356 19	-
			0	64.217	2,356 19	2,356 19	NS		0	304.311	2,356 19	2,356 19	NS		0	703.035	2,356 19	2,356 19	51,68
S	S		0	0	1,413 72	1,413 72	-		0	0	1,413 72	1,413 72	-		0	0	1,413 72	1,413 72	-
			0	2.182.187	1,413 72	1,413 72	9,99		0	2.239.696	1,413 72	1,413 72	9,73		0	2.315.695	1,413 72	1,413 72	9,42
P	S	00797	0	0	2,356 19	2,356 19	-	00798	0	0	2,356 19	2,356 19	-	00799	0	0	2,356 19	2,356 19	-
			0	1.270.728	2,356 19	2,356 19	28,5 9		0	2.013.353	2,356 19	2,356 19	18,0 5		0	2.937.818	2,356 19	2,356 19	12,37
S	S		0	0	1,413 72	1,413 72	-		0	0	1,413 72	1,413 72	-		0	0	1,413 72	1,413 72	-
			0	2.402.729	1,413 72	1,413 72	9,07		0	2.482.098	1,413 72	1,413 72	8,78		0	2.525.997	1,413 72	1,413 72	8,63
P	S	00800	0	0	2,356 19	2,356 19	-	00801	0	0	2,356 19	2,356 19	-	00802	0	0	2,356 19	2,356 19	-
			0	4.047.976	2,356 19	2,356 19	8,98		0	5.333.420	2,356 19	2,356 19	6,81		0	6.744.330	2,356 19	2,356 19	5,39
S	S		0	0	1,413 72	1,413 72	-		0	0	1,413 72	1,413 72	-		0	0	1,413 72	1,413 72	-
			0	2.493.274	1,413 72	1,413 72	8,74		0	2.327.492	1,413 72	1,413 72	9,37		0	1.964.354	1,413 72	1,413 72	11,10
P	S	00803	0	0	2,356 19	2,356 19	-	00804	0	0	2,356 19	2,356 19	-	00805	0	0	2,356 19	2,356 19	-
			0	8.144.260	2,356 19	2,356 19	4,46		0	9.235.982	2,356 19	2,356 19	3,93		0	9.473.712	2,356 19	2,356 19	3,84
S	S		0	0	1,413 72	1,413 72	-		0	0	1,413 72	1,413 72	-		0	209.498	1,413 72	1,413 72	NS
			0	1.362.057	1,413 72	1,413 72	16,0 1		0	565.836	1,413 72	1,413 72	38,5 3		0	4.589	1,413 72	1,413 72	NS
P	S	00806	0	0	2,356 19	2,356 19	-	00807	0	0	2,356 19	2,356 19	-	00808	0	1.570.565	2,356 19	2,356 19	23,13

Il presente documento è di proprietà della ANTEX GROUP srl.  
È Vietato la comunicazione a terzi o la riproduzione senza il permesso scritto della suddetta.  
La società tutela i propri diritti a rigore di Legge.

Comm.: C20-025-S05





PARCO EOLICO DI "BUDDUSO"

RELAZIONE DI CALCOLO E TABULATI OPERE EDILI  
SSEU



Ingegneria & Innovazione

30/06/2023

REV: 2

Pag. 357

Platee - Verifiche pressoflessione retta allo SLU

Dir	Pos	Nodo	N <sub>Ed</sub>	M <sub>Ed</sub>	A <sub>s</sub>	A <sub>df</sub>	CS	Nodo	N <sub>Ed</sub>	M <sub>Ed</sub>	A <sub>s</sub>	A <sub>df</sub>	CS	Nodo	N <sub>Ed</sub>	M <sub>Ed</sub>	A <sub>s</sub>	A <sub>df</sub>	CS
			[N]	[N-m]	[cm <sup>2</sup> /cm]	[cm <sup>2</sup> /cm]			[N]	[N-m]	[cm <sup>2</sup> /cm]	[cm <sup>2</sup> /cm]			[N]	[N-m]	[cm <sup>2</sup> /cm]	[cm <sup>2</sup> /cm]	
	I		1	8.047.196	2,356 19	2,356 19	4,51		0	4.085.158	2,356 19	2,356 19	8,89		0	4.454	2,356 19	2,356 19	NS
S	S		-1	552.798	1,413 72	1,413 72	39,4 4		0	24.117	1,413 72	1,413 72	NS		0	0	1,413 72	1,413 72	-
	I		0	4.578	1,413 72	1,413 72	NS		0	4.567	1,413 72	1,413 72	NS		0	1.110.745	1,413 72	1,413 72	19,63
P	S	00809	-1	5.736.781	2,356 19	2,356 19	6,33	00810	0	7.484.240	2,356 19	2,356 19	4,85	00811	0	7.603.742	2,356 19	2,356 19	4,78
	I		0	4.435	2,356 19	2,356 19	NS		0	4.424	2,356 19	2,356 19	NS		0	4.435	2,356 19	2,356 19	NS
S	S		0	0	1,413 72	1,413 72	-		0	0	1,413 72	1,413 72	-		0	0	1,413 72	1,413 72	-
	I		1	1.677.640	1,413 72	1,413 72	13,0 0		0	1.379.106	1,413 72	1,413 72	15,8 1		0	630.294	1,413 72	1,413 72	34,59
P	S	00812	0	6.856.000	2,356 19	2,356 19	5,30	00813	0	5.762.631	2,356 19	2,356 19	6,30	00814	0	4.612.514	2,356 19	2,356 19	7,88
	I		0	4.469	2,356 19	2,356 19	NS		0	4.523	2,356 19	2,356 19	NS		0	4.595	2,356 19	2,356 19	NS
S	S		0	170.413	1,413 72	1,413 72	NS		0	801.603	1,413 72	1,413 72	27,2 0		0	1.210.724	1,413 72	1,413 72	18,01
	I		0	4.606	1,413 72	1,413 72	NS		0	4.611	1,413 72	1,413 72	NS		0	4.616	1,413 72	1,413 72	NS
P	S	00815	0	3.541.868	2,356 19	2,356 19	10,2 6	00816	0	2.603.637	2,356 19	2,356 19	13,9 5	00817	0	1.812.213	2,356 19	2,356 19	20,05
	I		0	4.681	2,356 19	2,356 19	NS		0	4.774	2,356 19	2,356 19	NS		0	4.869	2,356 19	2,356 19	NS
S	S		0	1.430.763	1,413 72	1,413 72	15,2 4		0	1.519.106	1,413 72	1,413 72	14,3 5		0	1.527.559	1,413 72	1,413 72	14,27
	I		0	4.622	1,413 72	1,413 72	NS		0	4.628	1,413 72	1,413 72	NS		0	4.634	1,413 72	1,413 72	NS
P	S	00818	0	1.167.509	2,356 19	2,356 19	31,1 2	00819	0	665.778	2,356 19	2,356 19	54,5 7	00820	0	303.583	2,356 19	2,356 19	NS
	I		0	4.957	2,356 19	2,356 19	NS		0	5.026	2,356 19	2,356 19	NS		0	5.112	2,356 19	2,356 19	NS
S	S		0	1.494.508	1,413 72	1,413 72	14,5 9		0	1.446.355	1,413 72	1,413 72	15,0 7		0	1.401.376	1,413 72	1,413 72	15,56
	I		0	4.641	1,413 72	1,413 72	NS		0	4.651	1,413 72	1,413 72	NS		0	4.524	1,413 72	1,413 72	NS
P	S	00821	0	72.658	2,356 19	2,356 19	NS	00822	0	0	2,356 19	2,356 19	-	00823	0	0	2,356 19	2,356 19	-
	I		0	5.695	2,356 19	2,356 19	NS		0	40.403	2,356 19	2,356 19	NS		0	210.208	2,356 19	2,356 19	NS
S	S		0	1.368.487	1,413 72	1,413 72	15,9 3		0	0	1,413 72	1,413 72	-		0	0	1,413 72	1,413 72	-
	I		0	4.587	1,413 72	1,413 72	NS		0	1.754.395	1,413 72	1,413 72	12,4 3		0	1.767.844	1,413 72	1,413 72	12,33
P	S	00824	0	0	2,356 19	2,356 19	-	00825	0	0	2,356 19	2,356 19	-	00826	0	0	2,356 19	2,356 19	-
	I		0	534.272	2,356 19	2,356 19	68,0 0		0	1.009.758	2,356 19	2,356 19	35,9 8		0	1.637.259	2,356 19	2,356 19	22,19
S	S		0	0	1,413 72	1,413 72	-		0	0	1,413 72	1,413 72	-		0	0	1,413 72	1,413 72	-
	I		0	1.791.969	1,413 72	1,413 72	12,1 7		0	1.814.521	1,413 72	1,413 72	12,0 2		0	1.821.121	1,413 72	1,413 72	11,97
P	S	00827	0	0	2,356 19	2,356 19	-	00828	0	0	2,356 19	2,356 19	-	00829	0	0	2,356 19	2,356 19	-
	I		0	2.415.295	2,356 19	2,356 19	15,0 4		0	3.336.048	2,356 19	2,356 19	10,8 9		0	4.376.648	2,356 19	2,356 19	8,30
S	S		0	0	1,413 72	1,413 72	-		0	0	1,413 72	1,413 72	-		0	0	1,413 72	1,413 72	-
	I		0	1.790.146	1,413 72	1,413 72	12,1 8		0	1.693.222	1,413 72	1,413 72	12,8 8		0	1.497.212	1,413 72	1,413 72	14,56
P	S	00830	0	0	2,356 19	2,356 19	-	00831	0	0	2,356 19	2,356 19	-	00832	0	0	2,356 19	2,356 19	-
	I		0	5.483.152	2,356 19	2,356 19	6,63		0	6.544.778	2,356 19	2,356 19	5,55		0	7.359.806	2,356 19	2,356 19	4,94

Il presente documento è di proprietà della ANTEX GROUP srl.  
È vietato la comunicazione a terzi o la riproduzione senza il permesso scritto della suddetta.  
La società tutela i propri diritti a rigore di Legge.

Comm.: C20-025-S05





PARCO EOLICO DI "BUDDUSO"

RELAZIONE DI CALCOLO E TABULATI OPERE EDILI  
SSEU



Ingegneria & Innovazione

30/06/2023

REV: 2

Pag. 358

Platee - Verifiche pressoflessione retta allo SLU

Dir	Pos	Nodo	N <sub>Ed</sub>	M <sub>Ed</sub>	A <sub>s</sub>	A <sub>df</sub>	CS	Nodo	N <sub>Ed</sub>	M <sub>Ed</sub>	A <sub>s</sub>	A <sub>df</sub>	CS	Nodo	N <sub>Ed</sub>	M <sub>Ed</sub>	A <sub>s</sub>	A <sub>df</sub>	CS
			[N]	[N-m]	[cm <sup>2</sup> /cm]	[cm <sup>2</sup> /cm]			[N]	[N-m]	[cm <sup>2</sup> /cm]	[cm <sup>2</sup> /cm]			[N]	[N-m]	[cm <sup>2</sup> /cm]	[cm <sup>2</sup> /cm]	
S	S		0	0	1,413 72	1,413 72	-		0	0	1,413 72	1,413 72	-		0	0	1,413 72	1,413 72	-
	I		0	1.172. 227	1,413 72	1,413 72	18,6 0		0	710.5 51	1,413 72	1,413 72	30,6 8		0	157.7 06	1,413 72	1,413 72	NS
P	S	00833	0	0	2,356 19	2,356 19	-	00834	0	0	2,356 19	2,356 19	-	00835	0	0	2,356 19	2,356 19	-
	I		0	7.605. 488	2,356 19	2,356 19	4,78		0	6.845. 988	2,356 19	2,356 19	5,31		0	4.659. 325	2,356 19	2,356 19	7,80
S	S		0	355.8 18	1,413 72	1,413 72	61,2 8		0	605.7 77	1,413 72	1,413 72	35,9 9		0	360.0 64	1,413 72	1,413 72	60,55
	I		0	4.643	1,413 72	1,413 72	NS		0	4.632	1,413 72	1,413 72	NS		0	4.622	1,413 72	1,413 72	NS
P	S	00836	0	0	2,356 19	2,356 19	-	00837	0	2.512. 393	2,356 19	2,356 19	14,4 6	00838	0	4.899. 220	2,356 19	2,356 19	7,42
	I		0	1.112. 110	2,356 19	2,356 19	32,6 7		0	4.422	2,356 19	2,356 19	NS		0	4.420	2,356 19	2,356 19	NS
S	S		0	0	1,413 72	1,413 72	-		0	0	1,413 72	1,413 72	-		0	0	1,413 72	1,413 72	-
	I		0	392.2 30	1,413 72	1,413 72	55,5 9		0	1.160. 169	1,413 72	1,413 72	18,7 9		0	1.445. 498	1,413 72	1,413 72	15,08
P	S	00839	0	5.928. 351	2,356 19	2,356 19	6,13	00840	0	5.974. 446	2,356 19	2,356 19	6,08	00841	0	5.441. 780	2,356 19	2,356 19	6,68
	I		0	4.430	2,356 19	2,356 19	NS		0	4.459	2,356 19	2,356 19	NS		0	4.507	2,356 19	2,356 19	NS
S	S		0	0	1,413 72	1,413 72	-		0	0	1,413 72	1,413 72	-		0	0	1,413 72	1,413 72	-
	I		0	1.237. 823	1,413 72	1,413 72	17,6 1		0	755.3 53	1,413 72	1,413 72	28,8 6		0	213.8 08	1,413 72	1,413 72	NS
P	S	00842	0	4.635. 650	2,356 19	2,356 19	7,84	00843	0	3.750. 081	2,356 19	2,356 19	9,69	00844	0	2.893. 903	2,356 19	2,356 19	12,55
	I		0	4.572	2,356 19	2,356 19	NS		0	4.652	2,356 19	2,356 19	NS		0	4.743	2,356 19	2,356 19	NS
S	S		0	255.4 81	1,413 72	1,413 72	85,3 4		0	600.1 55	1,413 72	1,413 72	36,3 3		0	823.7 39	1,413 72	1,413 72	26,47
	I		0	4.680	1,413 72	1,413 72	NS		0	4.690	1,413 72	1,413 72	NS		0	4.700	1,413 72	1,413 72	NS
P	S	00845	0	2.122. 025	2,356 19	2,356 19	17,1 2	00846	0	1.459. 479	2,356 19	2,356 19	24,8 9	00847	0	916.5 53	2,356 19	2,356 19	39,64
	I		0	4.839	2,356 19	2,356 19	NS		0	4.937	2,356 19	2,356 19	NS		0	5.027	2,356 19	2,356 19	NS
S	S		0	951.3 73	1,413 72	1,413 72	22,9 2		0	1.012. 602	1,413 72	1,413 72	21,5 3		0	1.033. 359	1,413 72	1,413 72	21,10
	I		0	4.709	1,413 72	1,413 72	NS		0	4.715	1,413 72	1,413 72	NS		0	4.713	1,413 72	1,413 72	NS
P	S	00848	0	497.0 99	2,356 19	2,356 19	73,0 9	00849	0	202.5 21	2,356 19	2,356 19	NS	00850	0	34.95 7	2,356 19	2,356 19	NS
	I		0	5.079	2,356 19	2,356 19	NS		0	4.990	2,356 19	2,356 19	NS		0	4.808	2,356 19	2,356 19	NS
S	S		0	1.033. 730	1,413 72	1,413 72	21,0 9		0	1.027. 691	1,413 72	1,413 72	21,2 2		0	1.030. 773	1,413 72	1,413 72	21,15
	I		0	4.746	1,413 72	1,413 72	NS		0	5.067	1,413 72	1,413 72	NS		0	3.936	1,413 72	1,413 72	NS
P	S	00851	0	0	2,356 19	2,356 19	-	00852	0	0	2,356 19	2,356 19	-	00853	0	0	2,356 19	2,356 19	-
	I		0	113.2 49	2,356 19	2,356 19	NS		0	387.3 36	2,356 19	2,356 19	93,8 0		0	780.6 37	2,356 19	2,356 19	46,54
S	S		0	0	1,413 72	1,413 72	-		0	0	1,413 72	1,413 72	-		0	0	1,413 72	1,413 72	-
	I		0	1.346. 091	1,413 72	1,413 72	16,2 0		0	1.337. 104	1,413 72	1,413 72	16,3 1		0	1.318. 834	1,413 72	1,413 72	16,53
P	S	00854	0	0	2,356 19	2,356 19	-	00855	0	0	2,356 19	2,356 19	-	00856	0	0	2,356 19	2,356 19	-
	I		0	1.305. 495	2,356 19	2,356 19	27,8 3		0	1.956. 718	2,356 19	2,356 19	18,5 7		0	2.721. 087	2,356 19	2,356 19	13,35
S	S		0	0	1,413 72	1,413 72	-		0	0	1,413 72	1,413 72	-		0	0	1,413 72	1,413 72	-

Il presente documento è di proprietà della ANTEX GROUP srl.  
È Vietato la comunicazione a terzi o la riproduzione senza il permesso scritto della suddetta.  
La società tutela i propri diritti a rigore di Legge.

Comm.: C20-025-S05







PARCO EOLICO DI "BUDDUSO"

RELAZIONE DI CALCOLO E TABULATI OPERE EDILI  
SSEU



Ingegneria & Innovazione

30/06/2023

REV: 2

Pag. 360

Platee - Verifiche pressoflessione retta allo SLU

Dir	Pos	Nodo	NEd				MEd				CS								
			[N]	[N-m]	[cm <sup>2</sup> /cm]	[cm <sup>2</sup> /cm]	[N]	[N-m]	[cm <sup>2</sup> /cm]	[cm <sup>2</sup> /cm]	[N]	[N-m]	[cm <sup>2</sup> /cm]	[cm <sup>2</sup> /cm]					
P	S	00881	0	0	2,356	2,356	-	00882	0	0	2,356	2,356	-	00883	0	0	2,356	2,356	-
			0	581.1	2,356	2,356	62,5		0	1.016.	2,356	2,356	35,7		0	1.559.	2,356	2,356	23,30
S	S	00881	0	0	1,413	1,413	-	00882	0	0	1,413	1,413	-	00883	0	0	1,413	1,413	-
			0	908.2	1,413	1,413	24,0		0	851.9	1,413	1,413	25,5		0	766.0	1,413	1,413	28,46
P	S	00884	0	0	2,356	2,356	-	00885	0	0	2,356	2,356	-	00886	0	0	2,356	2,356	-
			0	2.195.	2,356	2,356	16,5		0	2.899.	2,356	2,356	12,5		0	3.625.	2,356	2,356	10,02
S	S	00884	0	0	1,413	1,413	-	00885	0	0	1,413	1,413	-	00886	0	0	1,413	1,413	-
			0	639.1	1,413	1,413	34,1		0	461.6	1,413	1,413	47,2		0	229.8	1,413	1,413	94,87
P	S	00887	0	0	2,356	2,356	-	00888	0	0	2,356	2,356	-	00889	0	0	2,356	2,356	-
			0	4.308.	2,356	2,356	8,43		0	4.846.	2,356	2,356	7,50		0	5.107.	2,356	2,356	7,11
S	S	00887	0	48.67	1,413	1,413	NS	00888	0	341.9	1,413	1,413	63,7	00889	0	595.0	1,413	1,413	36,64
			0	4.829	1,413	1,413	NS		0	4.816	1,413	1,413	NS		0	4.804	1,413	1,413	NS
P	S	00890	0	0	2,356	2,356	-	00891	0	0	2,356	2,356	-	00892	0	0	2,356	2,356	-
			0	4.929.	2,356	2,356	7,37		0	4.166.	2,356	2,356	8,72		0	2.761.	2,356	2,356	13,16
S	S	00890	0	727.3	1,413	1,413	29,9	00891	0	654.3	1,413	1,413	33,3	00892	0	332.2	1,413	1,413	65,63
			0	4.793	1,413	1,413	NS		0	4.783	1,413	1,413	NS		0	4.777	1,413	1,413	NS
P	S	00893	0	0	2,356	2,356	-	00894	0	1.047.	2,356	2,356	34,6	00895	0	2.569.	2,356	2,356	14,14
			0	878.1	2,356	2,356	41,3		0	4.401	2,356	2,356	NS		0	4.414	2,356	2,356	NS
S	S	00893	0	0	1,413	1,413	-	00894	0	0	1,413	1,413	-	00895	0	0	1,413	1,413	-
			0	181.1	1,413	1,413	NS		0	704.2	1,413	1,413	30,9		0	1.055.	1,413	1,413	20,65
P	S	00896	0	3.501.	2,356	2,356	10,3	00897	0	3.877.	2,356	2,356	9,37	00898	0	3.823.	2,356	2,356	9,50
			0	4.439	2,356	2,356	NS		0	4.478	2,356	2,356	NS		0	4.533	2,356	2,356	NS
S	S	00896	0	0	1,413	1,413	-	00897	0	0	1,413	1,413	-	00898	0	0	1,413	1,413	-
			0	1.168.	1,413	1,413	18,6		0	1.076.	1,413	1,413	20,2		0	857.6	1,413	1,413	25,42
P	S	00899	0	3.484.	2,356	2,356	10,4	00900	0	2.985.	2,356	2,356	12,1	00901	0	2.420.	2,356	2,356	15,01
			0	4.604	2,356	2,356	NS		0	4.685	2,356	2,356	NS		0	4.776	2,356	2,356	NS
S	S	00899	0	0	1,413	1,413	-	00900	0	0	1,413	1,413	-	00901	0	0	1,413	1,413	-
			0	590.4	1,413	1,413	36,9		0	330.0	1,413	1,413	66,0		0	107.1	1,413	1,413	NS
P	S	00902	0	1.854.	2,356	2,356	19,5	00903	0	1.330.	2,356	2,356	27,3	00904	0	874.1	2,356	2,356	41,56
			0	4.874	2,356	2,356	NS		0	4.981	2,356	2,356	NS		0	5.098	2,356	2,356	NS
S	S	00902	0	68.64	1,413	1,413	NS	00903	0	196.2	1,413	1,413	NS	00904	0	284.7	1,413	1,413	76,57
			0	4.897	1,413	1,413	NS		0	4.912	1,413	1,413	NS		0	4.914	1,413	1,413	NS
P	S	00905	0	502.8	2,356	2,356	72,2	00906	0	225.6	2,356	2,356	NS	00907	0	46.81	2,356	2,356	NS

Comm.: C20-025-S05

Il presente documento è di proprietà della ANTEX GROUP srl.  
È vietato la comunicazione a terzi o la riproduzione senza il permesso scritto della suddetta.  
La società tutela i propri diritti a rigore di Legge.









PARCO EOLICO DI "BUDDUSO"

RELAZIONE DI CALCOLO E TABULATI OPERE EDILI  
SSEU



Ingegneria & Innovazione

30/06/2023

REV: 2

Pag. 362

Platee - Verifiche pressoflessione retta allo SLU

Dir	Pos	Nodo	N <sub>Ed</sub>	M <sub>Ed</sub>	A <sub>s</sub>	A <sub>df</sub>	CS	Nodo	N <sub>Ed</sub>	M <sub>Ed</sub>	A <sub>s</sub>	A <sub>df</sub>	CS	Nodo	N <sub>Ed</sub>	M <sub>Ed</sub>	A <sub>s</sub>	A <sub>df</sub>	CS
			[N]	[N-m]	[cm <sup>2</sup> /cm]	[cm <sup>2</sup> /cm]			[N]	[N-m]	[cm <sup>2</sup> /cm]	[cm <sup>2</sup> /cm]			[N]	[N-m]	[cm <sup>2</sup> /cm]	[cm <sup>2</sup> /cm]	
S	S		0	0	1,413	1,413	-		0	0	1,413	1,413	-		0	0	1,413	1,413	-
	I		0	476.4	1,413	1,413	45,7		0	299.8	1,413	1,413	72,7		0	154.2	1,413	1,413	NS
P	S	00932	0	1.014.	2,356	2,356	35,8	00933	0	639.6	2,356	2,356	56,8	00934	0	338.7	2,356	2,356	NS
	I		0	729	19	19	1		0	52	19	19	0		0	40	19	19	NS
			0	5.054	2,356	2,356	NS		0	5.196	19	19	NS		0	5.536	19	19	NS
S	S		0	0	1,413	1,413	-		0	42.63	1,413	1,413	NS		0	103.0	1,413	1,413	NS
	I		0	41.70	1,413	1,413	NS		0	2	72	72	NS		0	66	72	72	NS
			0	3	72	72	NS		0	5.052	1,413	1,413	NS		0	4.892	72	72	NS
P	S	00935	0	106.5	2,356	2,356	NS	00936	0	0	2,356	2,356	-	00937	0	0	2,356	2,356	-
	I		0	97	19	19	NS		0	59.21	2,356	2,356	NS		0	264.2	2,356	2,356	NS
			0	6.282	2,356	2,356	NS		0	3	19	19	-		0	29	19	19	-
S	S		0	144.0	1,413	1,413	NS		0	0	1,413	1,413	-		0	0	1,413	1,413	-
	I		0	16	72	72	NS		0	375.5	1,413	1,413	58,0		0	315.5	1,413	1,413	69,08
			0	4.857	1,413	1,413	NS		0	54	72	72	6		0	98	72	72	-
P	S	00938	0	0	2,356	2,356	-	00939	0	0	2,356	2,356	-	00940	0	0	2,356	2,356	-
	I		0	553.5	2,356	2,356	65,6		0	928.3	2,356	2,356	39,1		0	1.374.	2,356	2,356	26,44
			0	70	19	19	3		0	20	19	19	4		0	009	19	19	-
S	S		0	0	1,413	1,413	-		0	0	1,413	1,413	-		0	0	1,413	1,413	-
	I		0	252.8	1,413	1,413	86,2		0	170.4	1,413	1,413	NS		0	63.48	1,413	1,413	NS
			0	42	72	72	3		0	12	72	72	NS		0	6	72	72	-
P	S	00941	0	0	2,356	2,356	-	00942	0	0	2,356	2,356	-	00943	0	0	2,356	2,356	-
	I		0	1.869.	2,356	2,356	19,4		0	2.382.	2,356	2,356	15,2		0	2.871.	2,356	2,356	12,65
			0	252	19	19	4		0	816	19	19	5		0	566	19	19	-
S	S		0	71.61	1,413	1,413	NS		0	230.0	1,413	1,413	94,7		0	404.3	1,413	1,413	53,92
	I		0	3	72	72	NS		0	93	72	72	6		0	32	72	72	-
			0	5.067	1,413	1,413	NS		0	5.046	1,413	1,413	NS		0	5.028	1,413	1,413	NS
			0	72	72	72	NS		0	72	72	72	NS		0	72	72	72	-
P	S	00944	0	0	2,356	2,356	-	00945	0	0	2,356	2,356	-	00946	0	0	2,356	2,356	-
	I		0	3.279.	2,356	2,356	11,0		0	3.539.	2,356	2,356	10,2		0	3.575.	2,356	2,356	10,16
			0	712	19	19	8		0	379	19	19	7		0	989	19	19	-
S	S		0	576.6	1,413	1,413	37,8		0	719.2	1,413	1,413	30,3		0	795.9	1,413	1,413	27,39
	I		0	27	72	72	1		0	12	72	72	1		0	62	72	72	-
			0	5.014	1,413	1,413	NS		0	5.002	1,413	1,413	NS		0	4.992	1,413	1,413	NS
			0	72	72	72	NS		0	72	72	72	NS		0	72	72	72	-
P	S	00947	0	0	2,356	2,356	-	00948	0	0	2,356	2,356	-	00949	0	0	2,356	2,356	-
	I		0	3.320.	2,356	2,356	10,9		0	2.733.	2,356	2,356	13,2		0	1.831.	2,356	2,356	19,84
			0	858	19	19	4		0	234	19	19	9		0	725	19	19	-
S	S		0	768.9	1,413	1,413	28,3		0	611.0	1,413	1,413	35,6		0	323.4	1,413	1,413	67,41
	I		0	55	72	72	5		0	88	72	72	8		0	56	72	72	-
			0	4.982	1,413	1,413	NS		0	4.975	1,413	1,413	NS		0	4.973	1,413	1,413	NS
			0	72	72	72	NS		0	72	72	72	NS		0	72	72	72	-
P	S	00950	0	0	2,356	2,356	-	00951	0	414.7	2,356	2,356	87,5	00952	0	1.390.	2,356	2,356	26,12
	I		0	722.0	2,356	2,356	50,3		0	96	19	19	9		0	858	19	19	-
			0	53	19	19	2		0	4.402	2,356	2,356	NS		0	4.421	2,356	2,356	NS
S	S		0	0	1,413	1,413	-		0	0	1,413	1,413	-		0	0	1,413	1,413	-
	I		0	52.11	1,413	1,413	NS		0	434.2	1,413	1,413	50,2		0	743.7	1,413	1,413	29,31
			0	8	72	72	NS		0	48	72	72	1		0	85	72	72	-
P	S	00953	0	2.091.	2,356	2,356	17,3	00954	0	2.486.	2,356	2,356	14,6	00955	0	2.602.	2,356	2,356	13,96
	I		0	729	19	19	7		0	148	19	19	1		0	192	19	19	-
			0	4.449	2,356	2,356	NS		0	4.492	19	19	NS		0	4.558	19	19	NS
			0	72	72	72	-		0	72	72	72	-		0	72	72	72	-

Il presente documento è di proprietà della ANTEX GROUP srl.  
È vietato la comunicazione a terzi o la riproduzione senza il permesso scritto della suddetta.  
La società tutela i propri diritti a rigore di Legge.

Comm.: C20-025-S05





PARCO EOLICO DI "BUDDUSO"

RELAZIONE DI CALCOLO E TABULATI OPERE EDILI  
SSEU



Ingegneria & Innovazione

30/06/2023

REV: 2

Pag. 363

Platee - Verifiche pressoflessione retta allo SLU

Dir	Pos	Nodo	N <sub>Ed</sub>	M <sub>Ed</sub>	A <sub>s</sub>	A <sub>df</sub>	CS	Nodo	N <sub>Ed</sub>	M <sub>Ed</sub>	A <sub>s</sub>	A <sub>df</sub>	CS	Nodo	N <sub>Ed</sub>	M <sub>Ed</sub>	A <sub>s</sub>	A <sub>df</sub>	CS
			[N]	[N-m]	[cm <sup>2</sup> /cm]	[cm <sup>2</sup> /cm]			[N]	[N-m]	[cm <sup>2</sup> /cm]	[cm <sup>2</sup> /cm]			[N]	[N-m]	[cm <sup>2</sup> /cm]	[cm <sup>2</sup> /cm]	
	I		0	933.5 83	1,413 72	1,413 72	23,3 5		0	997.5 31	1,413 72	1,413 72	21,8 6		0	958.1 50	1,413 72	1,413 72	22,76
P	S	00956	0	2.497. 693	2,356 19	2,356 19	14,5 5	00957	0	2.238. 874	2,356 19	2,356 19	16,2 3	00958	0	1.887. 707	2,356 19	2,356 19	19,25
	I		0	4.636	2,356 19	2,356 19	NS		0	4.721	2,356 19	2,356 19	NS		0	4.809	2,356 19	2,356 19	NS
S	S		0	0	1,413 72	1,413 72	-		0	0	1,413 72	1,413 72	-		0	0	1,413 72	1,413 72	-
	I		0	850.0 46	1,413 72	1,413 72	25,6 5		0	707.4 86	1,413 72	1,413 72	30,8 2		0	557.6 25	1,413 72	1,413 72	39,10
P	S	00959	0	1.496. 304	2,356 19	2,356 19	24,2 8	00960	0	1.105. 829	2,356 19	2,356 19	32,8 6	00961	0	746.9 21	2,356 19	2,356 19	48,64
	I		0	4.900	2,356 19	2,356 19	NS		0	5.007	2,356 19	2,356 19	NS		0	5.132	2,356 19	2,356 19	NS
S	S		0	0	1,413 72	1,413 72	-		0	0	1,413 72	1,413 72	-		0	0	1,413 72	1,413 72	-
	I		0	418.4 97	1,413 72	1,413 72	52,1 0		0	299.8 93	1,413 72	1,413 72	72,7 0		0	205.1 66	1,413 72	1,413 72	NS
P	S	00962	0	441.2 08	2,356 19	2,356 19	82,3 5	00963	0	203.7 79	2,356 19	2,356 19	NS	00964	0	37.30 2	2,356 19	2,356 19	NS
	I		0	5.275	2,356 19	2,356 19	NS		0	5.700	2,356 19	2,356 19	NS		0	5.989	2,356 19	2,356 19	NS
S	S		0	0	1,413 72	1,413 72	-		0	0	1,413 72	1,413 72	-		0	0	1,413 72	1,413 72	-
	I		0	133.1 35	1,413 72	1,413 72	NS		0	80.38 0	1,413 72	1,413 72	NS		0	28.17 3	1,413 72	1,413 72	NS
P	S	00965	0	0	2,356 19	2,356 19	-	00966	0	0	2,356 19	2,356 19	-	00967	0	0	2,356 19	2,356 19	-
	I		0	142.7 79	2,356 19	2,356 19	NS		0	373.6 56	2,356 19	2,356 19	97,2 3		0	681.7 08	2,356 19	2,356 19	53,30
S	S		0	0	1,413 72	1,413 72	-		0	0	1,413 72	1,413 72	-		0	6.715	1,413 72	1,413 72	NS
	I		0	126.5 89	1,413 72	1,413 72	NS		0	65.37 9	1,413 72	1,413 72	NS		0	5.182	1,413 72	1,413 72	NS
P	S	00968	0	0	2,356 19	2,356 19	-	00969	0	0	2,356 19	2,356 19	-	00970	0	0	2,356 19	2,356 19	-
	I		0	1.055. 698	2,356 19	2,356 19	34,4 2		0	1.476. 767	2,356 19	2,356 19	24,6 0		0	1.918. 548	2,356 19	2,356 19	18,94
S	S		0	97.50 1	1,413 72	1,413 72	NS		0	208.7 25	1,413 72	1,413 72	NS		0	337.8 08	1,413 72	1,413 72	64,54
	I		0	5.168	1,413 72	1,413 72	NS		0	5.151	1,413 72	1,413 72	NS		0	5.139	1,413 72	1,413 72	NS
P	S	00971	0	0	2,356 19	2,356 19	-	00972	0	0	2,356 19	2,356 19	-	00973	0	0	2,356 19	2,356 19	-
	I		0	2.345. 468	2,356 19	2,356 19	15,4 9		0	2.713. 218	2,356 19	2,356 19	13,3 9		0	2.970. 362	2,356 19	2,356 19	12,23
S	S		0	477.1 34	1,413 72	1,413 72	45,7 0		0	612.9 39	1,413 72	1,413 72	35,5 7		0	725.0 05	1,413 72	1,413 72	30,07
	I		0	5.126	1,413 72	1,413 72	NS		0	5.115	1,413 72	1,413 72	NS		0	5.104	1,413 72	1,413 72	NS
P	S	00974	0	0	2,356 19	2,356 19	-	00975	0	0	2,356 19	2,356 19	-	00976	0	0	2,356 19	2,356 19	-
	I		0	3.061. 361	2,356 19	2,356 19	11,8 7		0	2.935. 702	2,356 19	2,356 19	12,3 8		0	2.560. 061	2,356 19	2,356 19	14,19
S	S		0	787.6 04	1,413 72	1,413 72	27,6 8		0	773.8 86	1,413 72	1,413 72	28,1 7		0	662.9 25	1,413 72	1,413 72	32,89
	I		0	5.095	1,413 72	1,413 72	NS		0	5.084	1,413 72	1,413 72	NS		0	5.075	1,413 72	1,413 72	NS
P	S	00977	0	0	2,356 19	2,356 19	-	00978	0	0	2,356 19	2,356 19	-	00979	0	0	2,356 19	2,356 19	-
	I		0	1.935. 621	2,356 19	2,356 19	18,7 7		0	1.115. 957	2,356 19	2,356 19	32,5 6		0	208.6 80	2,356 19	2,356 19	NS
S	S		0	449.6 71	1,413 72	1,413 72	48,4 9		0	154.4 23	1,413 72	1,413 72	NS		0	0	1,413 72	1,413 72	-
	I		0	5.074	1,413 72	1,413 72	NS		0	5.077	1,413 72	1,413 72	NS		0	177.7 71	1,413 72	1,413 72	NS

Il presente documento è di proprietà della ANTEX GROUP srl.  
È Vietato la comunicazione a terzi o la riproduzione senza il permesso scritto della suddetta.  
La società tutela i propri diritti a rigore di Legge.

Comm.: C20-025-S05





PARCO EOLICO DI "BUDDUSO"

RELAZIONE DI CALCOLO E TABULATI OPERE EDILI  
SSEU



Ingegneria & Innovazione

30/06/2023

REV: 2

Pag. 364

Platee - Verifiche pressoflessione retta allo SLU

Dir	Pos	Nodo	NEd				MEd				CS				Nodo	NEd				MEd				CS			
			[N]	[N-m]	[cm <sup>2</sup> /cm]	[cm <sup>2</sup> /cm]	[N]	[N-m]	[cm <sup>2</sup> /cm]	[cm <sup>2</sup> /cm]	[N]	[N-m]	[cm <sup>2</sup> /cm]	[cm <sup>2</sup> /cm]		[N]	[N-m]	[cm <sup>2</sup> /cm]	[cm <sup>2</sup> /cm]	[N]	[N-m]	[cm <sup>2</sup> /cm]	[cm <sup>2</sup> /cm]	[N]	[N-m]	[cm <sup>2</sup> /cm]	[cm <sup>2</sup> /cm]
P	S	00980	0	654.2	2,356	2,356	55,5	00981	0	1.358.	2,356	2,356	26,7	00982	0	1.842.	2,356	2,356	19,72								
			72	19	19	3	289	19	19	5	392	19	19	NS	0	4.469	2,356	2,356	NS								
S	S		0	0	1,413	1,413	-		0	0	1,413	1,413	-		0	0	1,413	1,413	-								
			485.9	1,413	1,413	44,8	72	72	7	0	722.8	1,413	1,413	30,1	0	864.8	1,413	1,413	25,21								
P	S	00983	0	2.095.	2,356	2,356	17,3	00984	0	2.140.	2,356	2,356	16,9	00985	0	2.020.	2,356	2,356	17,98								
			341	19	19	4	711	19	19	7	796	19	19	NS	0	4.697	2,356	2,356	NS								
S	S		0	0	1,413	1,413	-		0	0	1,413	1,413	-		0	0	1,413	1,413	-								
			485.9	1,413	1,413	44,8	72	72	7	0	722.8	1,413	1,413	30,1	0	864.8	1,413	1,413	25,21								
P	S	00986	0	1.784.	2,356	2,356	20,3	00987	0	1.478.	2,356	2,356	24,5	00988	0	1.145.	2,356	2,356	31,73								
			598	19	19	6	911	19	19	7	144	19	19	NS	0	4.960	2,356	2,356	NS								
S	S		0	0	1,413	1,413	-		0	0	1,413	1,413	-		0	0	1,413	1,413	-								
			698.2	1,413	1,413	31,2	47	72	2	0	885.2	1,413	1,413	24,6	0	805.5	1,413	1,413	27,07								
P	S	00989	0	817.3	2,356	2,356	44,4	00990	0	521.4	2,356	2,356	69,6	00991	0	276.8	2,356	2,356	NS								
			09	19	19	5	83	19	19	7	65	19	19	NS	0	5.527	2,356	2,356	NS								
S	S		0	0	1,413	1,413	-		0	0	1,413	1,413	-		0	0	1,413	1,413	-								
			380.3	1,413	1,413	57,3	96	72	2	0	304.2	1,413	1,413	71,6	0	246.4	1,413	1,413	88,46								
P	S	00992	0	94.55	2,356	2,356	NS	00993	0	0	2,356	2,356	-	00994	0	0	2,356	2,356	-								
			1	19	19	NS	0	47.53	2,356	2,356	NS	0	224.4	2,356	2,356	NS	0	48	19	19	NS						
S	S		0	0	1,413	1,413	-		0	1.590	1,413	1,413	NS		0	54.02	1,413	1,413	NS								
			200.1	1,413	1,413	NS	0	4.310	1,413	1,413	NS	0	5.565	1,413	1,413	NS	0	72	72	NS							
P	S	00995	0	0	2,356	2,356	-	00996	0	0	2,356	2,356	-	00997	0	0	2,356	2,356	-								
			473.4	2,356	2,356	76,7	42	19	3	0	786.4	2,356	2,356	46,2	0	1.146.	2,356	2,356	31,70								
S	S		0	113.6	1,413	1,413	NS		0	186.6	1,413	1,413	NS		0	275.4	1,413	1,413	NS								
			67	72	72	NS	0	5.176	1,413	1,413	NS	0	5.194	1,413	1,413	NS	0	72	72	NS							
P	S	00998	0	0	2,356	2,356	-	00999	0	0	2,356	2,356	-	01000	0	0	2,356	2,356	-								
			1.530.	2,356	2,356	23,7	788	19	3	0	1.910.	2,356	2,356	19,0	0	2.248.	2,356	2,356	16,16								
S	S		0	378.0	1,413	1,413	57,6		0	488.4	1,413	1,413	44,6		0	595.7	1,413	1,413	36,60								
			38	72	72	7	14	72	4	0	5.216	1,413	1,413	NS	0	5.215	1,413	1,413	NS								
P	S	01001	0	0	2,356	2,356	-	01002	0	0	2,356	2,356	-	01003	0	0	2,356	2,356	-								
			2.503.	2,356	2,356	14,5	476	19	1	0	2.632.	2,356	2,356	13,8	0	2.595.	2,356	2,356	14,00								
S	S		0	685.6	1,413	1,413	31,8		0	739.3	1,413	1,413	29,4		0	737.1	1,413	1,413	29,58								
			94	72	72	0	94	72	9	0	5.198	1,413	1,413	NS	0	5.188	1,413	1,413	NS								
P	S	01004	0	0	2,356	2,356	-	01005	0	0	2,356	2,356	-	01006	0	0	2,356	2,356	-								

Il presente documento è di proprietà della ANTEX GROUP srl.  
È vietato la comunicazione a terzi o la riproduzione senza il permesso scritto della suddetta.  
La società tutela i propri diritti a rigore di Legge.

Comm.: C20-025-S05





PARCO EOLICO DI "BUDDUSO"

RELAZIONE DI CALCOLO E TABULATI OPERE EDILI  
SSEU



Ingegneria & Innovazione

30/06/2023

REV: 2

Pag. 365

Platee - Verifiche pressoflessione retta allo SLU

Dir	Pos	Nodo	NEd				MEd				AS				Adf				CS
			[N]	[N-m]	[cm <sup>2</sup> /cm]	[cm <sup>2</sup> /cm]	[N]	[N-m]	[cm <sup>2</sup> /cm]	[cm <sup>2</sup> /cm]	[N]	[N-m]	[cm <sup>2</sup> /cm]	[cm <sup>2</sup> /cm]	[N]	[N-m]	[cm <sup>2</sup> /cm]	[cm <sup>2</sup> /cm]	
	I		0	2.364.928	2,356 19	2,356 19	15,3 6		0	1.934.920	2,356 19	2,356 19	18,7 8		0	1.331.213	2,356 19	2,356 19	27,29
S	S		0	662.899	1,413 72	1,413 72	32,8 9		0	509.598	1,413 72	1,413 72	42,7 8		0	285.248	1,413 72	1,413 72	76,43
	I		0	5.163	1,413 72	1,413 72	NS		0	5.160	1,413 72	1,413 72	NS		0	5.178	1,413 72	1,413 72	NS
P	S	01007	0	0	2,356 19	2,356 19	-	01008	0	111.837	2,356 19	2,356 19	NS	01009	0	767.960	2,356 19	2,356 19	47,31
	I		0	619.035	2,356 19	2,356 19	58,6 9		0	4.420	2,356 19	2,356 19	NS		0	4.438	2,356 19	2,356 19	NS
S	S		0	16.527	1,413 72	1,413 72	NS		0	0	1,413 72	1,413 72	-		0	0	1,413 72	1,413 72	-
	I		0	5.183	1,413 72	1,413 72	NS		0	258.703	1,413 72	1,413 72	84,2 8		0	498.657	1,413 72	1,413 72	43,72
P	S	01010	0	1.279.636	2,356 19	2,356 19	28,3 9	01011	0	1.613.643	2,356 19	2,356 19	22,5 2	01012	0	1.768.131	2,356 19	2,356 19	20,55
	I		0	4.456	2,356 19	2,356 19	NS		0	4.476	2,356 19	2,356 19	NS		0	4.575	2,356 19	2,356 19	NS
S	S		0	0	1,413 72	1,413 72	-		0	0	1,413 72	1,413 72	-		0	0	1,413 72	1,413 72	-
	I		0	675.630	1,413 72	1,413 72	32,2 7		0	778.699	1,413 72	1,413 72	28,0 0		0	811.980	1,413 72	1,413 72	26,85
P	S	01013	0	1.762.451	2,356 19	2,356 19	20,6 1	01014	0	1.630.293	2,356 19	2,356 19	22,2 9	01015	0	1.409.968	2,356 19	2,356 19	25,77
	I		0	4.672	2,356 19	2,356 19	NS		0	4.764	2,356 19	2,356 19	NS		0	4.845	2,356 19	2,356 19	NS
S	S		0	0	1,413 72	1,413 72	-		0	0	1,413 72	1,413 72	-		0	0	1,413 72	1,413 72	-
	I		0	788.983	1,413 72	1,413 72	27,6 3		0	727.815	1,413 72	1,413 72	29,9 6		0	646.083	1,413 72	1,413 72	33,75
P	S	01016	0	1.138.265	2,356 19	2,356 19	31,9 2	01017	0	850.388	2,356 19	2,356 19	42,7 2	01018	0	574.715	2,356 19	2,356 19	63,22
	I		0	4.907	2,356 19	2,356 19	NS		0	5.024	2,356 19	2,356 19	NS		0	5.122	2,356 19	2,356 19	NS
S	S		0	0	1,413 72	1,413 72	-		0	0	1,413 72	1,413 72	-		0	0	1,413 72	1,413 72	-
	I		0	558.037	1,413 72	1,413 72	39,0 7		0	474.701	1,413 72	1,413 72	45,9 3		0	402.688	1,413 72	1,413 72	54,14
P	S	01019	0	333.875	2,356 19	2,356 19	NS	01020	0	145.780	2,356 19	2,356 19	NS	01021	0	22.544	2,356 19	2,356 19	NS
	I		0	5.178	2,356 19	2,356 19	NS		0	5.181	2,356 19	2,356 19	NS		0	4.976	2,356 19	2,356 19	NS
S	S		0	0	1,413 72	1,413 72	-		0	0	1,413 72	1,413 72	-		0	0	1,413 72	1,413 72	-
	I		0	345.171	1,413 72	1,413 72	63,1 7		0	301.955	1,413 72	1,413 72	72,2 1		0	266.043	1,413 72	1,413 72	81,95
P	S	01022	0	0	2,356 19	2,356 19	-	01023	0	0	2,356 19	2,356 19	-	01024	0	0	2,356 19	2,356 19	-
	I		0	107.958	2,356 19	2,356 19	NS		0	300.266	2,356 19	2,356 19	NS		0	557.972	2,356 19	2,356 19	65,12
S	S		0	112.500	1,413 72	1,413 72	NS		0	157.662	1,413 72	1,413 72	NS		0	212.376	1,413 72	1,413 72	NS
	I		0	5.145	1,413 72	1,413 72	NS		0	5.048	1,413 72	1,413 72	NS		0	5.177	1,413 72	1,413 72	NS
P	S	01025	0	0	2,356 19	2,356 19	-	01026	0	0	2,356 19	2,356 19	-	01027	0	0	2,356 19	2,356 19	-
	I		0	866.735	2,356 19	2,356 19	41,9 2		0	1.203.767	2,356 19	2,356 19	30,1 8		0	1.546.439	2,356 19	2,356 19	23,49
S	S		0	279.817	1,413 72	1,413 72	77,9 2		0	356.976	1,413 72	1,413 72	61,0 8		0	441.048	1,413 72	1,413 72	49,43
	I		0	5.185	1,413 72	1,413 72	NS		0	5.238	1,413 72	1,413 72	NS		0	5.284	1,413 72	1,413 72	NS
P	S	01028	0	0	2,356 19	2,356 19	-	01029	0	0	2,356 19	2,356 19	-	01030	0	0	2,356 19	2,356 19	-
	I		0	1.862.738	2,356 19	2,356 19	19,5 0		0	2.116.334	2,356 19	2,356 19	17,1 7		0	2.274.602	2,356 19	2,356 19	15,97

Il presente documento è di proprietà della ANTEX GROUP srl.  
È Vietato la comunicazione a terzi o la riproduzione senza il permesso scritto della suddetta.  
La società tutela i propri diritti a rigore di Legge.

Comm.: C20-025-S05





PARCO EOLICO DI "BUDDUSO"

RELAZIONE DI CALCOLO E TABULATI OPERE EDILI  
SSEU



Ingegneria & Innovazione

30/06/2023

REV: 2

Pag. 366

Platee - Verifiche pressoflessione retta allo SLU

Dir	Pos	Nodo	N <sub>Ed</sub> [N]	M <sub>Ed</sub> [N-m]	A <sub>s</sub> [cm <sup>2</sup> /cm]	A <sub>df</sub> [cm <sup>2</sup> /cm]	CS	Nodo	N <sub>Ed</sub> [N]	M <sub>Ed</sub> [N-m]	A <sub>s</sub> [cm <sup>2</sup> /cm]	A <sub>df</sub> [cm <sup>2</sup> /cm]	CS	Nodo	N <sub>Ed</sub> [N]	M <sub>Ed</sub> [N-m]	A <sub>s</sub> [cm <sup>2</sup> /cm]	A <sub>df</sub> [cm <sup>2</sup> /cm]	CS
S	S		0	524.3 16	1,413 72	1,413 72	41,5 8		0	595.5 05	1,413 72	1,413 72	36,6 1		0	642.8 59	1,413 72	1,413 72	33,92
	I		0	5.315	1,413 72	1,413 72	NS		0	5.441	1,413 72	1,413 72	NS		0	5.313	1,413 72	1,413 72	NS
P	S	01031	0	0	2,356 19	2,356 19	-	01032	0	0	2,356 19	2,356 19	-	01033	0	0	2,356 19	2,356 19	-
	I		0	2.300. 638	2,356 19	2,356 19	15,7 9		0	2.173. 402	2,356 19	2,356 19	16,7 2		0	1.883. 804	2,356 19	2,356 19	19,29
S	S		0	650.1 32	1,413 72	1,413 72	33,5 4		0	606.1 12	1,413 72	1,413 72	35,9 7		0	503.7 96	1,413 72	1,413 72	43,28
	I		0	5.281	1,413 72	1,413 72	NS		0	5.242	1,413 72	1,413 72	NS		0	5.213	1,413 72	1,413 72	NS
P	S	01034	0	0	2,356 19	2,356 19	-	01035	0	0	2,356 19	2,356 19	-	01036	0	0	2,356 19	2,356 19	-
	I		0	1.440. 217	2,356 19	2,356 19	25,2 3		0	883.9 62	2,356 19	2,356 19	41,1 0		0	278.0 10	2,356 19	2,356 19	NS
S	S		0	343.5 11	1,413 72	1,413 72	63,4 7		0	140.5 10	1,413 72	1,413 72	NS		0	0	1,413 72	1,413 72	-
	I		0	5.238	1,413 72	1,413 72	NS		0	5.271	1,413 72	1,413 72	NS		0	81.97 8	1,413 72	1,413 72	NS
P	S	01037	0	309.9 02	2,356 19	2,356 19	NS	01038	0	812.5 35	2,356 19	2,356 19	44,7 1	01039	0	1.184. 881	2,356 19	2,356 19	30,66
	I		0	4.430	2,356 19	2,356 19	NS		0	4.456	2,356 19	2,356 19	NS		0	4.441	2,356 19	2,356 19	NS
S	S		0	0	1,413 72	1,413 72	-		0	0	1,413 72	1,413 72	-		0	0	1,413 72	1,413 72	-
	I		0	293.7 18	1,413 72	1,413 72	74,2 3		0	470.0 23	1,413 72	1,413 72	46,3 9		0	593.9 45	1,413 72	1,413 72	36,71
P	S	01040	0	1.411. 414	2,356 19	2,356 19	25,7 4	01041	0	1.494. 206	2,356 19	2,356 19	24,3 2	01042	0	1.448. 953	2,356 19	2,356 19	25,07
	I		0	4.504	2,356 19	2,356 19	NS		0	4.640	2,356 19	2,356 19	NS		0	4.727	2,356 19	2,356 19	NS
S	S		0	0	1,413 72	1,413 72	-		0	0	1,413 72	1,413 72	-		0	0	1,413 72	1,413 72	-
	I		0	662.7 23	1,413 72	1,413 72	32,9 0		0	681.2 83	1,413 72	1,413 72	32,0 0		0	659.4 04	1,413 72	1,413 72	33,06
P	S	01043	0	1.306. 798	2,356 19	2,356 19	27,8 0	01044	0	1.096. 307	2,356 19	2,356 19	33,1 4	01045	0	851.2 81	2,356 19	2,356 19	42,68
	I		0	4.831	2,356 19	2,356 19	NS		0	4.873	2,356 19	2,356 19	NS		0	4.960	2,356 19	2,356 19	NS
S	S		0	0	1,413 72	1,413 72	-		0	0	1,413 72	1,413 72	-		0	0	1,413 72	1,413 72	-
	I		0	611.7 97	1,413 72	1,413 72	35,6 4		0	549.5 44	1,413 72	1,413 72	39,6 7		0	483.9 80	1,413 72	1,413 72	45,05
P	S	01046	0	601.8 83	2,356 19	2,356 19	60,3 6	01047	0	370.6 33	2,356 19	2,356 19	98,0 3	01048	0	181.1 65	2,356 19	2,356 19	NS
	I		0	5.086	2,356 19	2,356 19	NS		0	5.102	2,356 19	2,356 19	NS		0	5.169	2,356 19	2,356 19	NS
S	S		0	0	1,413 72	1,413 72	-		0	0	1,413 72	1,413 72	-		0	0	1,413 72	1,413 72	-
	I		0	423.1 69	1,413 72	1,413 72	51,5 2		0	370.8 45	1,413 72	1,413 72	58,7 9		0	331.1 77	1,413 72	1,413 72	65,83
P	S	01049	0	48.31 5	2,356 19	2,356 19	NS	01050	0	0	2,356 19	2,356 19	-	01051	0	0	2,356 19	2,356 19	-
	I		0	5.709	2,356 19	2,356 19	NS		0	33.07 9	2,356 19	2,356 19	NS		0	161.0 16	2,356 19	2,356 19	NS
S	S		0	0	1,413 72	1,413 72	-		0	116.3 64	1,413 72	1,413 72	NS		0	146.7 99	1,413 72	1,413 72	NS
	I		0	304.3 54	1,413 72	1,413 72	71,6 4		0	4.583	1,413 72	1,413 72	NS		0	5.567	1,413 72	1,413 72	NS
P	S	01052	0	0	2,356 19	2,356 19	-	01053	0	0	2,356 19	2,356 19	-	01054	0	0	2,356 19	2,356 19	-
	I		0	364.7 26	2,356 19	2,356 19	99,6 2		0	629.4 81	2,356 19	2,356 19	57,7 2		0	924.3 43	2,356 19	2,356 19	39,31
S	S		0	183.8 41	1,413 72	1,413 72	NS		0	227.8 56	1,413 72	1,413 72	95,6 9		0	280.3 60	1,413 72	1,413 72	77,77

Il presente documento è di proprietà della ANTEX GROUP srl.  
È Vietato la comunicazione a terzi o la riproduzione senza il permesso scritto della suddetta.  
La società tutela i propri diritti a rigore di Legge.

Comm.: C20-025-S05





PARCO EOLICO DI "BUDDUSO"

RELAZIONE DI CALCOLO E TABULATI OPERE EDILI  
SSEU



Ingegneria & Innovazione

30/06/2023

REV: 2

Pag. 367

Platee - Verifiche pressoflessione retta allo SLU

Dir	Pos	Nodo	N <sub>Ed</sub>		M <sub>Ed</sub>		CS	Nodo	N <sub>Ed</sub>		M <sub>Ed</sub>		CS	Nodo	N <sub>Ed</sub>		M <sub>Ed</sub>		CS
			[N]	[N-m]	[cm <sup>2</sup> /cm]	[cm <sup>2</sup> /cm]			[N]	[N-m]	[cm <sup>2</sup> /cm]	[cm <sup>2</sup> /cm]			[N]	[N-m]	[cm <sup>2</sup> /cm]	[cm <sup>2</sup> /cm]	
	I		0	5.129	1,413 72	1,413 72	NS		0	5.156	1,413 72	1,413 72	NS		0	5.222	1,413 72	1,413 72	NS
P	S	01055	0	0	2,356 19	2,356 19	-	01056	0	0	2,356 19	2,356 19	-	01057	0	0	2,356 19	2,356 19	-
I	0		1.236. 272	2,356 19	2,356 19	29,3 9		0	1.538. 457	2,356 19	2,356 19	23,6 2		0	1.789. 158	2,356 19	2,356 19	20,31	
S	S		0	340.2 58	1,413 72	1,413 72	64,0 8		0	397.6 61	1,413 72	1,413 72	54,8 3		0	449.3 25	1,413 72	1,413 72	48,52
I	0	5.280	1,413 72	1,413 72	NS		0	5.451	1,413 72	1,413 72	NS		0	5.622	1,413 72	1,413 72	NS		
P	S	01058	0	0	2,356 19	2,356 19	-	01059	0	0	2,356 19	2,356 19	-	01060	0	0	2,356 19	2,356 19	-
I	0		1.971. 662	2,356 19	2,356 19	18,4 3		0	2.049. 001	2,356 19	2,356 19	17,7 3		0	1.997. 216	2,356 19	2,356 19	18,19	
S	S		0	488.0 09	1,413 72	1,413 72	44,6 8		0	502.6 75	1,413 72	1,413 72	43,3 7		0	485.8 55	1,413 72	1,413 72	44,88
I	0	5.622	1,413 72	1,413 72	NS		0	5.463	1,413 72	1,413 72	NS		0	5.292	1,413 72	1,413 72	NS		
P	S	01061	0	0	2,356 19	2,356 19	-	01062	0	0	2,356 19	2,356 19	-	01063	0	0	2,356 19	2,356 19	-
I	0		1.810. 203	2,356 19	2,356 19	20,0 7		0	1.491. 908	2,356 19	2,356 19	24,3 5		0	1.055. 341	2,356 19	2,356 19	34,43	
S	S		0	423.5 02	1,413 72	1,413 72	51,4 8		0	323.1 59	1,413 72	1,413 72	67,4 7		0	189.4 57	1,413 72	1,413 72	NS
I	0	5.255	1,413 72	1,413 72	NS		0	5.263	1,413 72	1,413 72	NS		0	5.289	1,413 72	1,413 72	NS		
P	S	01064	0	0	2,356 19	2,356 19	-	01065	0	0	2,356 19	2,356 19	-	01066	0	436.9 71	2,356 19	2,356 19	83,15
I	0		552.6 94	2,356 19	2,356 19	65,7 4		0	43.46 8	2,356 19	2,356 19	NS		0	4.460	2,356 19	2,356 19	NS	
S	S		0	31.13 7	1,413 72	1,413 72	NS		0	0	1,413 72	1,413 72	-		0	0	1,413 72	1,413 72	-
I	0	5.446	1,413 72	1,413 72	NS		0	129.7 47	1,413 72	1,413 72	NS		0	274.7 40	1,413 72	1,413 72	79,36		
P	S	01067	0	818.9 24	2,356 19	2,356 19	44,3 7	01068	0	1.089. 778	2,356 19	2,356 19	33,3 4	01069	0	1.236. 822	2,356 19	2,356 19	29,38
I	0		4.499	2,356 19	2,356 19	NS		0	4.296	2,356 19	2,356 19	NS		0	4.633	2,356 19	2,356 19	NS	
S	S		0	0	1,413 72	1,413 72	-		0	0	1,413 72	1,413 72	-		0	0	1,413 72	1,413 72	-
I	0	388.4 83	1,413 72	1,413 72	56,1 2		0	467.1 32	1,413 72	1,413 72	46,6 7		0	502.9 66	1,413 72	1,413 72	43,35		
P	S	01070	0	1.260. 916	2,356 19	2,356 19	28,8 1	01071	0	1.184. 211	2,356 19	2,356 19	30,6 8	01072	0	1.034. 271	2,356 19	2,356 19	35,13
I	0		4.703	2,356 19	2,356 19	NS		0	4.797	2,356 19	2,356 19	NS		0	4.932	2,356 19	2,356 19	NS	
S	S		0	0	1,413 72	1,413 72	-		0	0	1,413 72	1,413 72	-		0	0	1,413 72	1,413 72	-
I	0	507.5 06	1,413 72	1,413 72	42,9 6		0	487.4 80	1,413 72	1,413 72	44,7 3		0	452.1 89	1,413 72	1,413 72	48,22		
P	S	01073	0	829.4 82	2,356 19	2,356 19	43,8 0	01074	0	606.5 86	2,356 19	2,356 19	59,9 0	01075	0	391.1 58	2,356 19	2,356 19	92,88
I	0		4.754	2,356 19	2,356 19	NS		0	5.098	2,356 19	2,356 19	NS		0	5.167	2,356 19	2,356 19	NS	
S	S		0	0	1,413 72	1,413 72	-		0	0	1,413 72	1,413 72	-		0	0	1,413 72	1,413 72	-
I	0	409.9 74	1,413 72	1,413 72	53,1 8		0	363.1 49	1,413 72	1,413 72	60,0 4		0	322.4 21	1,413 72	1,413 72	67,62		
P	S	01076	0	199.9 33	2,356 19	2,356 19	NS	01077	0	63.57 9	2,356 19	2,356 19	NS	01078	0	1.447	2,356 19	2,356 19	NS
I	0		4.897	2,356 19	2,356 19	NS		0	4.952	2,356 19	2,356 19	NS		0	4.704	2,356 19	2,356 19	NS	
S	S		0	0	1,413 72	1,413 72	-		0	0	1,413 72	1,413 72	-		0	0	1,413 72	1,413 72	-
I	0	290.5 11	1,413 72	1,413 72	75,0 5		0	268.1 88	1,413 72	1,413 72	81,3 0		0	256.8 15	1,413 72	1,413 72	84,90		

Il presente documento è di proprietà della ANTEX GROUP srl.  
È Vietato la comunicazione a terzi o la riproduzione senza il permesso scritto della suddetta.  
La società tutela i propri diritti a rigore di Legge.

Comm.: C20-025-S05





PARCO EOLICO DI "BUDDUSO"

RELAZIONE DI CALCOLO E TABULATI OPERE EDILI  
SSEU



Ingegneria & Innovazione

30/06/2023

REV: 2

Pag. 368

Platee - Verifiche pressoflessione retta allo SLU

Dir	Pos	Nodo	N <sub>Ed</sub>		M <sub>Ed</sub>		A <sub>s</sub>		A <sub>df</sub>		CS	Nodo	N <sub>Ed</sub>		M <sub>Ed</sub>		A <sub>s</sub>		A <sub>df</sub>		CS							
			[N]	[N-m]	[N-m]	[N-m]	[cm <sup>2</sup> /cm]	[cm <sup>2</sup> /cm]	[N]	[N-m]			[cm <sup>2</sup> /cm]	[cm <sup>2</sup> /cm]	[N]	[N-m]	[cm <sup>2</sup> /cm]	[cm <sup>2</sup> /cm]										
P	S	01079	0	0	2,356	2,356	-	01080	0	0	2,356	2,356	-	01081	0	0	2,356	2,356	-	-								
			0	55.56	7	2,356	19	2,356	19	NS	0	198.3	84	2,356	19	2,356	19	NS	0	419.8	77	2,356	19	2,356	19	86,53		
	S	S	0	91.81	5	1,413	72	1,413	72	NS	0	109.6	91	1,413	72	1,413	72	NS	0	132.4	72	1,413	72	1,413	72	NS		
P	S	01082	0	0	2,356	2,356	-	01083	0	0	2,356	2,356	-	01084	0	0	2,356	2,356	-	-								
			0	685.9	43	2,356	19	2,356	19	52,9	7	0	959.8	05	2,356	19	2,356	19	37,8	5	0	1.253.	940	2,356	19	2,356	19	28,97
	S	S	0	169.6	93	1,413	72	1,413	72	NS	0	193.6	50	1,413	72	1,413	72	NS	0	225.8	52	1,413	72	1,413	72	96,54		
P	S	01085	0	0	2,356	2,356	-	01086	0	0	2,356	2,356	-	01087	0	0	2,356	2,356	-	-								
			0	1.516.	627	2,356	19	2,356	19	23,9	6	0	1.699.	191	2,356	19	2,356	19	21,3	8	0	1.830.	866	2,356	19	2,356	19	19,84
	S	S	0	273.0	14	1,413	72	1,413	72	79,8	6	0	285.2	83	1,413	72	1,413	72	76,4	3	0	313.4	84	1,413	72	1,413	72	69,55
P	S	01088	0	0	2,356	2,356	-	01089	0	0	2,356	2,356	-	01090	0	0	2,356	2,356	-	-								
			0	1.829.	303	2,356	19	2,356	19	19,8	6	0	1.719.	239	2,356	19	2,356	19	21,1	3	0	1.507.	331	2,356	19	2,356	19	24,10
	S	S	0	290.5	30	1,413	72	1,413	72	75,0	4	0	265.9	39	1,413	72	1,413	72	81,9	8	0	233.2	06	1,413	72	1,413	72	93,49
P	S	01091	0	0	2,356	2,356	-	01092	0	0	2,356	2,356	-	01093	0	0	2,356	2,356	-	-								
			0	1.165.	687	2,356	19	2,356	19	31,1	7	0	741.6	08	2,356	19	2,356	19	48,9	9	0	300.7	89	2,356	19	2,356	19	NS
	S	S	0	148.4	75	1,413	72	1,413	72	NS	0	64.08	6	1,413	72	1,413	72	NS	0	0	30.46	9	1,413	72	1,413	72	-	
P	S	01094	0	130.3	30	2,356	2,356	NS	01095	0	516.3	24	2,356	19	2,356	19	70,3	7	01096	0	796.9	43	2,356	19	2,356	19	45,59	
			0	4.114	2,356	19	2,356	19	NS	0	4.097	2,356	19	2,356	19	NS	0	4.351	2,356	19	2,356	19	NS	0	4.351	2,356	19	NS
	S	S	0	0	118.0	04	1,413	72	1,413	72	-	0	0	203.3	63	1,413	72	1,413	72	NS	0	246.1	80	1,413	72	1,413	72	88,56
P	S	01097	0	992.0	68	2,356	2,356	36,6	2	01098	0	1.083.	917	2,356	19	2,356	19	33,5	2	01099	0	1.049.	146	2,356	19	2,356	19	34,63
			0	4.428	2,356	19	2,356	19	NS	0	4.294	2,356	19	2,356	19	NS	0	4.420	2,356	19	2,356	19	NS	0	4.420	2,356	19	NS
	S	S	0	0	280.3	93	1,413	72	1,413	72	-	0	0	314.3	78	1,413	72	1,413	72	69,3	5	0	297.2	16	1,413	72	1,413	72
P	S	01100	0	962.7	94	2,356	2,356	37,7	4	01101	0	792.4	79	2,356	19	2,356	19	45,8	5	01102	0	589.5	68	2,356	19	2,356	19	61,63
			0	4.501	2,356	19	2,356	19	NS	0	4.806	2,356	19	2,356	19	NS	0	4.856	2,356	19	2,356	19	NS	0	4.856	2,356	19	NS
	S	S	0	0	295.6	72	1,413	72	1,413	72	-	0	0	256.1	12	1,413	72	1,413	72	85,1	3	0	231.3	76	1,413	72	1,413	72
P	S	01103	0	397.4	12	2,356	2,356	91,4	2	01104	0	203.4	52	2,356	19	2,356	19	NS	01105	0	53.74	8	2,356	19	2,356	19	NS	

Il presente documento è di proprietà della ANTEX GROUP srl.  
È Vietato la comunicazione a terzi o la riproduzione senza il permesso scritto della suddetta.  
La società tutela i propri diritti a rigore di Legge.

Comm.: C20-025-S05







PARCO EOLICO DI "BUDDUSO"

RELAZIONE DI CALCOLO E TABULATI OPERE EDILI  
SSEU



Ingegneria & Innovazione

30/06/2023

REV: 2

Pag. 369

Platee - Verifiche pressoflessione retta allo SLU

Dir	Pos	Nodo	N <sub>Ed</sub>	M <sub>Ed</sub>	A <sub>s</sub>	A <sub>df</sub>	CS	Nodo	N <sub>Ed</sub>	M <sub>Ed</sub>	A <sub>s</sub>	A <sub>df</sub>	CS	Nodo	N <sub>Ed</sub>	M <sub>Ed</sub>	A <sub>s</sub>	A <sub>df</sub>	CS
			[N]	[N-m]	[cm <sup>2</sup> /cm]	[cm <sup>2</sup> /cm]			[N]	[N-m]	[cm <sup>2</sup> /cm]	[cm <sup>2</sup> /cm]			[N]	[N-m]	[cm <sup>2</sup> /cm]	[cm <sup>2</sup> /cm]	
	I		0	4.766	2,356 19	2,356 19	NS		0	4.957	2,356 19	2,356 19	NS		0	4.990	2,356 19	2,356 19	NS
S	S		0	0	1,413 72	1,413 72	-		0	0	1,413 72	1,413 72	-		0	0	1,413 72	1,413 72	-
	I		0	217.8 85	1,413 72	1,413 72	NS		0	184.5 06	1,413 72	1,413 72	NS		0	168.0 94	1,413 72	1,413 72	NS
P	S	01106	0	0	2,356 19	2,356 19	-												
	I		0	18.90 4	2,356 19	2,356 19	NS												
S	S		0	0	1,413 72	1,413 72	-												
	I		0	164.2 57	1,413 72	1,413 72	NS												

LEGENDA:

**Dir** Direzione [P] = principale (asse locale 1) - [S] = secondaria (asse locale 2).

**Pos** Posizione [S] = superiore - [I] = inferiore.

**A<sub>s</sub>** Area delle armature esecutive per unità di lunghezza.

**A<sub>df</sub>** Armatura disponibile per la flessione

**CS** Coefficiente di sicurezza ([NS] = Non Significativo se CS ≥ 100; [VNR]= Verifica Non Richiesta; Informazioni aggiuntive sulla condizione: [V] = statica; [E] = eccezionale; [S] = sismica; [N] = sismica non lineare).

**N<sub>Ed</sub>, M<sub>Ed</sub>** Sollecitazioni di progetto.

Platee - VERIFICHE DELLE TENSIONI DI ESERCIZIO (Fondazione)

Platee - verifiche delle tensioni di esercizio

Nodo/ Tp <sub>rnf</sub>	Dir	Compressione calcestruzzo							Trazione acciaio							
		Compressione calcestruzzo rinforzo							Trazione acciaio/FRP rinforzo							
		Id <sub>Cmb</sub>	σ <sub>cc</sub>	σ <sub>cd,amm</sub>	N <sub>Ed</sub>	M <sub>Ed</sub>	CS	Verific ato	Id <sub>Cmb</sub>	σ <sub>at</sub>	σ <sub>td,amm</sub>	N <sub>Ed</sub>	M <sub>Ed</sub>	CS	Verific ato	
<b>Fondazione</b>		<b>Platea 1</b>														
00636	P	RAR	17,271	22,41	3.768.138	-77.151.4 64	1,30	SI	RAR	214,737	360,00	3.768.138	-77.151.4 64	1,68	SI	
		QPR	5,182	16,81	1.130.442	-23.147.8 96	3,24	SI	-	-	-	-	-	-	-	
	S	RAR	0,000	22,41	-6.893.50 2	-12.578.7 20	-	SI	RAR	259,697	360,00	-9.847.86 0	-17.968.2 10	1,39	SI	
		QPR	0,528	16,81	-2.954.35 8	-5.392.68 4	31,83	SI	-	-	-	-	-	-	-	

LEGENDA:

**Rinf.** Indica la presenza del rinforzo sulla sezione di verifica.

**Dir** Direzione [P] = principale (asse locale 1) - [S] = secondaria (asse locale 2).

**Id<sub>Cmb</sub>** Identificativo della Combinazione di Azione: [QPR] = Quasi Permanente - [FRQ] = Frequente - [RAR] = Rara.

**σ<sub>cc</sub>** Tensione massima di compressione nel calcestruzzo della Trave/Rinforzo.

**σ<sub>cd,amm</sub>** Tensione ammissibile per la verifica a compressione del calcestruzzo.

**σ<sub>at</sub>** Tensione massima di trazione nell'acciaio della Trave/Rinforzo o nel FRP.

**σ<sub>td,amm</sub>** Tensione ammissibile per la verifica a trazione dell'acciaio/rinforzo.

**N<sub>Ed</sub>, M<sub>Ed</sub>** Sollecitazioni di progetto.

**CS** Coefficiente di Sicurezza (= σ<sub>cd,amm</sub>/σ<sub>cc</sub>; σ<sub>td,amm</sub>/σ<sub>at</sub>). [NS] = Non Significativo (CS ≥ 100).

**Verific  
ato** [SI] = La verifica è soddisfatta (σ<sub>cc</sub> ≤ σ<sub>cd,amm</sub>; σ<sub>at</sub> ≤ σ<sub>td,amm</sub>). [NO] = La verifica NON è soddisfatta (σ<sub>cc</sub> > σ<sub>cd,amm</sub>; σ<sub>at</sub> > σ<sub>td,amm</sub>).

**Nota** Nella tabella, per ogni elemento, viene riportato il nodo della shell che ha il coefficiente di sicurezza (CS) più piccolo.

Platee - VERIFICA ALLO STATO LIMITE DI FESSURAZIONE (Fondazione)

Platee - verifica allo stato limite di fessurazione

Nodo	Dir	Id <sub>Cmb</sub>	N <sub>Ed</sub>	M <sub>Ed</sub>	σ <sub>ct,f</sub>	σ <sub>t</sub>	ε <sub>sm</sub>	A <sub>e</sub>	Δ <sub>sm</sub>	W <sub>d</sub>	W <sub>amm</sub>	CS	Verificat o
<b>Fondazione</b>		<b>Platea 1</b>											
		<b>AA= PCA</b>											
<b>NOTA: L'elemento è fessurato. Di seguito sono riportati solamente i nodi strutturali per i quali si riscontra la fessurazione(W<sub>d</sub> ≠ 0)</b>													
00607	P	FRQ	-58.518	-13.479.5 38	3,30	2,79	5,8717 E-04	750	65	0,038	0,400	10,46	SI

Comm.: C20-025-S05

Il presente documento è di proprietà della ANTEX GROUP srl.  
È vietato la comunicazione a terzi o la riproduzione senza il permesso scritto della suddetta.  
La società tutela i propri diritti a rigore di Legge.





PARCO EOLICO DI "BUDDUSO"

RELAZIONE DI CALCOLO E TABULATI OPERE EDILI  
SSEU



Ingegneria & Innovazione

30/06/2023

REV: 2

Pag. 370

Platee - verifica allo stato limite di fessurazione

Nodo	Dir	Id <sub>Cmb</sub>	N <sub>Ed</sub>	M <sub>Ed</sub>	σ <sub>ct,f</sub>	σ <sub>t</sub>	ε <sub>sm</sub>	A <sub>e</sub>	Δ <sub>sm</sub>	W <sub>d</sub>	W <sub>amm</sub>	CS	Verificato
			[N]	[N-m]	[N/mm <sup>2</sup> ]	[N/mm <sup>2</sup> ]		[cm <sup>2</sup> ]	[mm]	[mm]	[mm]		
		QPR	-35.111	-8.089.175	1,98	2,79	0 E+00	0	0	0,000	0,300	-	SI
	S	FRQ	55.860	-2.406.908	0,66	2,79	0 E+00	0	0	0,000	0,400	-	SI
		QPR	33.516	-1.445.601	0,40	2,79	0 E+00	0	0	0,000	0,300	-	SI
00635	P	FRQ	-76.764	-12.213.415	2,52	2,79	0 E+00	0	0	0,000	0,400	-	SI
		QPR	-46.058	-7.329.439	1,51	2,79	0 E+00	0	0	0,000	0,300	-	SI
	S	FRQ	73.277	-10.801.708	2,81	2,79	3,374 E-04	750	61	0,021	0,400	19,29	SI
		QPR	43.966	-6.482.472	1,69	2,79	0 E+00	0	0	0,000	0,300	-	SI
00664	P	FRQ	-1.792.737	-22.885.770	4,87	2,79	3,1187 E-04	750	55	0,017	0,400	23,36	SI
		QPR	-1.075.642	-13.732.903	2,92	2,79	1,697 E-04	750	55	0,009	0,300	32,19	SI
	S	FRQ	2.927.112	-12.557.737	2,77	2,79	0 E+00	0	0	0,000	0,400	-	SI
		QPR	1.756.267	-7.536.014	1,66	2,79	0 E+00	0	0	0,000	0,300	-	SI
00693	P	FRQ	-289.688	-12.750.309	3,17	2,79	5,6997 E-04	750	65	0,037	0,400	10,78	SI
		QPR	-173.813	-7.651.700	1,90	2,79	0 E+00	0	0	0,000	0,300	-	SI
	S	FRQ	165.917	-106.247	-0,01	2,79	0 E+00	0	0	0,000	0,400	-	SI
		QPR	165.917	-106.239	-0,01	2,79	0 E+00	0	0	0,000	0,300	-	SI
00666	P	FRQ	1.792.737	21.319.352	4,21	2,79	2,262 E-04	750	55	0,012	0,400	32,20	SI
		QPR	1.075.642	12.790.173	2,53	2,79	0 E+00	0	0	0,000	0,300	-	SI
	S	FRQ	-2.927.112	10.631.725	3,34	2,79	5,549 E-04	750	63	0,035	0,400	11,52	SI
		QPR	-1.756.267	6.377.664	2,00	2,79	0 E+00	0	0	0,000	0,300	-	SI
00636	P	FRQ	1.884.069	-38.577.484	7,75	2,79	4,6768 E-04	750	55	0,026	0,400	15,58	SI
		QPR	1.130.442	-23.147.896	4,65	2,79	2,6318 E-04	750	55	0,014	0,300	20,76	SI
	S	FRQ	-4.923.930	-8.985.689	3,00	2,79	5,7198 E-04	750	63	0,036	0,400	11,06	SI
		QPR	-2.954.358	-5.392.684	1,80	2,79	0 E+00	0	0	0,000	0,300	-	SI
00637	P	FRQ	-1.884.069	37.286.340	7,84	2,79	5,1636 E-04	750	55	0,028	0,400	14,11	SI
		QPR	-1.130.442	22.370.400	4,70	2,79	2,9235 E-04	750	55	0,016	0,300	18,69	SI
	S	FRQ	4.923.930	5.726.732	0,55	2,79	0 E+00	0	0	0,000	0,400	-	SI
		QPR	2.954.358	3.434.769	0,33	2,79	0 E+00	0	0	0,000	0,300	-	SI
00609	P	FRQ	58.518	12.083.149	2,94	2,79	5,1222 E-04	750	65	0,033	0,400	11,99	SI
		QPR	35.111	7.248.437	1,76	2,79	0 E+00	0	0	0,000	0,300	-	SI
	S	FRQ	-55.860	1.109.030	0,33	2,79	0 E+00	0	0	0,000	0,400	-	SI
		QPR	-33.516	663.962	0,20	2,79	0 E+00	0	0	0,000	0,300	-	SI

LEGENDA:

- Dir** Direzione [P] = principale (asse locale 1) - [S] = secondaria (asse locale 2).
- AA** Identificativo dell'aggressività dell'ambiente: [PCA] = "Ordinario"; [MDA] = "Aggressivo"; [MLA] = "Molto aggressivo".
- Id<sub>Cmb</sub>** Identificativo della Combinazione di Azione: [QPR] = Quasi Permanente - [FRQ] = Frequente - [RAR] = Rara.
- N<sub>Ed</sub>, M<sub>Ed</sub>** Sollecitazioni di progetto.
- σ<sub>ct,f</sub>** Tensione massima di trazione nel calcestruzzo per la fessurazione, calcolata nell'ipotesi di calcestruzzo resistente a trazione. Se tale valore è maggiore di σ<sub>t</sub> la sezione è soggetta a fessurazione.
- σ<sub>t</sub>** N.B. I valori negativi indicano una sezione interamente compressa. In tal caso le sollecitazioni forniscono il minimo valore di compressione.
- σ<sub>t</sub>** Tensione massima di trazione nel calcestruzzo relativa allo stato limite di formazione delle fessure [relazione (4.1.13) del § 4.1.2.4 del DM 2018].
- ε<sub>sm</sub>** Deformazione unitaria media delle barre di armatura.

Comm.: C20-025-S05

Il presente documento è di proprietà della ANTEX GROUP srl.  
È vietato la comunicazione a terzi o la riproduzione senza il permesso scritto della suddetta.  
La società tutela i propri diritti a rigore di Legge.





PARCO EOLICO DI "BUDDUSO"

RELAZIONE DI CALCOLO E TABULATI OPERE EDILI  
SSEU



Ingegneria & Innovazione

30/06/2023

REV: 2

Pag. 371

Platee - verifica allo stato limite di fessurazione

Nodo	Dir	Id <sub>Cmb</sub>	N <sub>Ed</sub>	M <sub>Ed</sub>	σ <sub>ct,f</sub>	σ <sub>t</sub>	ε <sub>sm</sub>	A <sub>e</sub>	Δ <sub>sm</sub>	W <sub>d</sub>	W <sub>amm</sub>	CS	Verificato
			[N]	[N-m]	[N/mm <sup>2</sup> ]	[N/mm <sup>2</sup> ]		[cm <sup>2</sup> ]	[mm]	[mm]	[mm]		
<b>A<sub>e</sub></b>	Area efficace del calcestruzzo teso.												
<b>Δ<sub>sm</sub></b>	Distanza media tra le fessure.												
<b>W<sub>d</sub></b>	Valore di calcolo di apertura massima delle fessure.												
<b>W<sub>amm</sub></b>	Valore ammissibile di apertura delle fessure.												
<b>CS</b>	Coefficiente di Sicurezza (=W <sub>d</sub> / W <sub>amm</sub> ). [NS] = Non Significativo (CS ≥ 100). [-] = Fessurazioni nulle (W <sub>d</sub> = 0).												
<b>Verificato</b>	[SI] = W <sub>d</sub> ≤ W <sub>amm</sub> ; [NO] = W <sub>d</sub> > W <sub>amm</sub>												

VERIFICHE CARICO LIMITE FONDAZIONI DIRETTE ALLO SLU (Fondazione)

Verifiche Carico Limite fondazioni dirette allo SLU

Id <sub>Fnd</sub>	CS	L <sub>x</sub>	L <sub>y</sub>	R <sub>tz</sub>	Z <sub>p,cmp</sub>	Z <sub>fid</sub>	Cmp T	C. Terzaghi						Q <sub>Ed</sub>	Q <sub>Rd</sub>	R <sub>f</sub>
								per N <sub>q</sub>	per N <sub>c</sub>	per N <sub>γ</sub>	N <sub>q</sub>	N <sub>c</sub>	N <sub>γ</sub>			
		[m]	[m]	[°]	[m]	[m]								[N/mm <sup>2</sup> ]	[N/mm <sup>2</sup> ]	
Platea 1	NS	23,12	23,10	90,00	-	-	-	-	-	-	-	-	-	0,179	18,630	NO

LEGENDA:

- Id<sub>Fnd</sub>** Descrizione dell'oggetto di fondazione al quale è riferita la verifica.  
**CS** Coefficiente di sicurezza ([NS] = Non Significativo se CS ≥ 100; [VNR]= Verifica Non Richiesta; Informazioni aggiuntive sulla condizione: [V] = statica; [E] = eccezionale; [S] = sismica; [N] = sismica non lineare).  
**L<sub>x</sub>/L<sub>y</sub>** Dimensioni dell'elemento di fondazione.  
**R<sub>tz</sub>** Angolo compreso tra l'asse X e il lato più lungo del minimo rettangolo che delimita il poligono della platea.  
**Z<sub>p,cmp</sub>** Profondità di posa dell'elemento di fondazione dal piano campagna.  
**Z<sub>fid</sub>** Profondità della falda dal piano campagna.  
**Cmp T** Classificazione del comportamento del terreno ai fini del calcolo.  
**C.** Coefficienti correttivi per la formula di Terzaghi.  
**Terzaghi**  
**Q<sub>Ed</sub>** Carico di progetto sul terreno.  
**Q<sub>Rd</sub>** Resistenza di progetto del terreno.  
**R<sub>f</sub>** [SI] = elemento con presenza di rinforzo; [NO] = elemento senza rinforzo.

VERIFICHE CARICO LIMITE FONDAZIONI DIRETTE ALLO SLD (Fondazione)

Verifiche Carico Limite fondazioni dirette allo SLD

Id <sub>Fnd</sub>	CS	L <sub>x</sub>	L <sub>y</sub>	R <sub>tz</sub>	Z <sub>p,cmp</sub>	Z <sub>fid</sub>	Cmp T	C. Terzaghi						Q <sub>Ed</sub>	Q <sub>Rd</sub>	R <sub>f</sub>
								per N <sub>q</sub>	per N <sub>c</sub>	per N <sub>γ</sub>	N <sub>q</sub>	N <sub>c</sub>	N <sub>γ</sub>			
		[m]	[m]	[°]	[m]	[m]								[N/mm <sup>2</sup> ]	[N/mm <sup>2</sup> ]	
Platea 1	NS	23,12	23,10	90,00	-	-	-	-	-	-	-	-	-	0,112	18,630	NO

LEGENDA:

- Id<sub>Fnd</sub>** Descrizione dell'oggetto di fondazione al quale è riferita la verifica.  
**CS** Coefficiente di sicurezza ([NS] = Non Significativo se CS ≥ 100; [VNR]= Verifica Non Richiesta; Informazioni aggiuntive sulla condizione: [V] = statica; [E] = eccezionale; [S] = sismica; [N] = sismica non lineare).  
**L<sub>x</sub>/L<sub>y</sub>** Dimensioni dell'elemento di fondazione.  
**R<sub>tz</sub>** Angolo compreso tra l'asse X e il lato più lungo del minimo rettangolo che delimita il poligono della platea.  
**Z<sub>p,cmp</sub>** Profondità di posa dell'elemento di fondazione dal piano campagna.  
**Z<sub>fid</sub>** Profondità della falda dal piano campagna.  
**Cmp T** Classificazione del comportamento del terreno ai fini del calcolo.  
**C.** Coefficienti correttivi per la formula di Terzaghi.  
**Terzaghi**  
**Q<sub>Ed</sub>** Carico di progetto sul terreno.  
**Q<sub>Rd</sub>** Resistenza di progetto del terreno.  
**R<sub>f</sub>** [SI] = elemento con presenza di rinforzo; [NO] = elemento senza rinforzo.

GEOTECNICA - VERIFICHE A SCORRIMENTO (Fondazione)

Geotecnica - Verifiche a scorrimento

Elm	Dir	N <sub>Ed</sub>	M <sub>Ed</sub>	V <sub>Ed</sub>	FRD1	FRD2	FRD3	FRD	CS
		[N]	[N-m]	[N]	[N]	[N]	[N]	[N]	
Platea 1	B	57.563.756	-23.355	-138	38020468	0	7932622	45953088	NS
	L	65.782.640	462.785.024	2.077.518	43448984	0	7939490	51388472	24,74

LEGENDA:

- Elm** Elemento di fondazione su cui si esegue la verifica.  
**Dir** Direzione di verifica: per Plinti [B]= asse locale 2; [L]= asse locale 3. Per Winkler [B]= asse locale 3; [L]= asse locale 1. Per Platee [B]= asse globale Y; [L]= asse globale X.  
**FRD1** Aliquota di resistenza allo scorrimento per attrito terra-fondazione.  
**FRD2** Aliquota di resistenza allo scorrimento per adesione.

Comm.: C20-025-S05

Il presente documento è di proprietà della ANTEX GROUP srl.  
 È vietato la comunicazione a terzi o la riproduzione senza il permesso scritto della suddetta.  
 La società tutela i propri diritti a rigore di Legge.





PARCO EOLICO DI "BUDDUSO"

RELAZIONE DI CALCOLO E TABULATI OPERE EDILI  
SSEU



Ingegneria & Innovazione

30/06/2023

REV: 2

Pag. 372

Geotecnica - Verifiche a scorrimento

Elm	Dir	N <sub>Ed</sub> [N]	M <sub>Ed</sub> [N-m]	V <sub>Ed</sub> [N]	F <sub>RD1</sub> [N]	F <sub>RD2</sub> [N]	F <sub>RD3</sub> [N]	F <sub>RD</sub> [N]	CS
F <sub>RD3</sub>		Aliquota di resistenza allo scorrimento per affondamento.							
F <sub>RD</sub>		Resistenza allo scorrimento.							
CS		Coefficiente di sicurezza ([NS] = Non Significativo se CS ≥ 100; [VNR]= Verifica Non Richiesta; Informazioni aggiuntive sulla condizione: [V] = statica; [E] = eccezionale; [S] = sismica; [N] = sismica non lineare).							
N <sub>Ed</sub> , M <sub>Ed</sub> , V <sub>Ed</sub>		Sollecitazioni di progetto.							

GEOTECNICA - CALCOLO DEI CEDIMENTI (Fondazione)

Geotecnica - Calcolo dei cedimenti

Idw	N <sub>Ps</sub>	N <sub>id</sub>	W <sub>ed</sub> [cm]	W <sub>0</sub> [cm]	W <sub>c</sub> [cm]	W <sub>f</sub> [cm]
<b>SLE Rare:Carico Permanente * 1 + Permanenti NON Strutturali * 1 + Abitazioni * 0.7 + Autorimessa &lt;= 30kN * 0.7</b>						
C0001	00002	1	0,00	0,00	0,00	0,00
C0002	00006		2,77	2,77	0,00	2,77
C0003	00005		0,00	0,00	0,00	0,00
C0004	00004		0,00	0,00	0,00	0,00
C0005	00003		2,77	2,77	0,00	2,77
<b>SLE Rare:Carico Permanente * 1 + Permanenti NON Strutturali * 1 + Abitazioni * 1 + Autorimessa &lt;= 30kN * 0.7</b>						
C0001	00002	1	0,00	0,00	0,00	0,00
C0002	00006		4,21	4,21	0,00	4,21
C0003	00005		0,00	0,00	0,00	0,00
C0004	00004		0,00	0,00	0,00	0,00
C0005	00003		4,22	4,22	0,00	4,22
<b>SLE Rare:Carico Permanente * 1 + Permanenti NON Strutturali * 1 + Abitazioni * 0.7 + Autorimessa &lt;= 30kN * 1</b>						
C0001	00002	1	0,00	0,00	0,00	0,00
C0002	00006		2,80	2,80	0,00	2,80
C0003	00005		0,00	0,00	0,00	0,00
C0004	00004		0,00	0,00	0,00	0,00
C0005	00003		2,81	2,81	0,00	2,81
<b>SLE Freq:Carico Permanente * 1 + Permanenti NON Strutturali * 1 + Abitazioni * 0.3 + Autorimessa &lt;= 30kN * 0.6</b>						
C0001	00002	1	0,00	0,00	0,00	0,00
C0002	00006		0,91	0,91	0,00	0,91
C0003	00005		0,00	0,00	0,00	0,00
C0004	00004		0,00	0,00	0,00	0,00
C0005	00003		0,91	0,91	0,00	0,91
<b>SLE Freq:Carico Permanente * 1 + Permanenti NON Strutturali * 1 + Abitazioni * 0.5 + Autorimessa &lt;= 30kN * 0.6</b>						
C0001	00002	1	0,00	0,00	0,00	0,00
C0002	00006		1,83	1,83	0,00	1,83
C0003	00005		0,00	0,00	0,00	0,00
C0004	00004		0,00	0,00	0,00	0,00
C0005	00003		1,84	1,84	0,00	1,84
<b>SLE Freq:Carico Permanente * 1 + Permanenti NON Strutturali * 1 + Abitazioni * 0.3 + Autorimessa &lt;= 30kN * 0.7</b>						
C0001	00002	1	0,00	0,00	0,00	0,00
C0002	00006		0,92	0,92	0,00	0,92
C0003	00005		0,00	0,00	0,00	0,00
C0004	00004		0,00	0,00	0,00	0,00
C0005	00003		0,92	0,92	0,00	0,92
<b>SLE Perm:Carico Permanente * 1 + Permanenti NON Strutturali * 1 + Abitazioni * 0.3 + Autorimessa &lt;= 30kN * 0.6</b>						
C0001	00002	1	0,00	0,00	0,00	0,00
C0002	00006		0,91	0,91	0,00	0,91
C0003	00005		0,00	0,00	0,00	0,00
C0004	00004		0,00	0,00	0,00	0,00
C0005	00003		0,91	0,91	0,00	0,91

LEGENDA:

<b>Idw</b>	Identificativo del Punto Significativo (punto in cui viene calcolato il cedimento).
<b>N<sub>Ps</sub></b>	Numero identificativo del Punto Significativo.
<b>N<sub>id</sub></b>	Numero identificativo dell'elemento verticale (pilastro, estremo parete, setto). [*]= indica la presenza di un nodo intermedio calcolato sulla base della parete/setto/muro.
<b>W<sub>ed</sub></b>	Cedimento edometrico.
<b>W<sub>0</sub></b>	Cedimento istantaneo.
<b>W<sub>c</sub></b>	Cedimento di consolidazione.
<b>W<sub>f</sub></b>	Cedimento finale.

Comm.: C20-025-S05

Il presente documento è di proprietà della ANTEX GROUP srl.  
È Vietato la comunicazione a terzi o la riproduzione senza il permesso scritto della suddetta.  
La società tutela i propri diritti a rigore di Legge.

